



SCIENCES SUP

Mathématiques appliquées pour le Master / SMAI

CALCUL DIFFÉRENTIEL ET ÉQUATIONS DIFFÉRENTIELLES

Cours et exercices corrigés

Sylvie Benzoni-Gavage

DUNOD



CALCUL DIFFÉRENTIEL ET ÉQUATIONS DIFFÉRENTIELLES

Cours et exercices corrigés

Sylvie Benzoni-Gavage

Professeur à l'université Lyon 1

SMAT'

DUNOD

La série « Mathématiques pour le Master/SMAI » propose une nouvelle génération de livres adaptés aux étudiants de Master niveau M1 et aux élèves ingénieurs. Leur adéquation au cursus LMD et aux outils de calcul modernes sont au service de la qualité scientifique.

La SMAI (Société de Mathématiques Appliquées et Industrielles) assure la direction éditoriale grâce à un comité renouvelé périodiquement, et largement représentatif des différents thèmes des mathématiques appliquées et de leur évolution : analyse numérique, probabilités appliquées, statistique, optimisation, systèmes dynamiques et commande, traitement d'images et du signal, finance, recherche opérationnelle, etc. Son ambition est de constituer un ensemble d'ouvrages de référence.

DANS LA MÊME COLLECTION

Pierre Auger, Christophe Lett, Jean-Christophe Poggiale, *Modélisation mathématique en écologie*, 2010

Luca Amodei, Jean-Pierre Dedieu, *Analyse numérique matricielle*, 2008

Carl Graham, *Chaînes de Markov*, 2008

Bernard Bercu, Djalil Chafaï, *Modélisation stochastique et simulation*, 2007

Étienne Pardoux, *Processus de Markov et applications*, 2007

Frédéric Bonnans, *Optimisation continue*, 2006

Francis Comets, Thierry Meyre, *Calcul stochastique et modèles de diffusions*, 2006

Illustration de couverture : © Digitalvision

Le pictogramme qui figure ci-contre mérite une explication. Son objet est d'alerter le lecteur sur la menace que représente pour l'avenir de l'écrit, particulièrement dans le domaine de l'édition technique et universitaire, le développement massif du photocopillage.

Le Code de la propriété intellectuelle du 1^{er} juillet 1992 interdit en effet expressément la photocopie à usage collectif sans autorisation des ayants droit. Or, cette pratique s'est généralisée dans les établissements

d'enseignement supérieur, provoquant une baisse brutale des achats de livres et de revues, au point que la possibilité même pour les auteurs de créer des œuvres nouvelles et de les faire éditer correctement est aujourd'hui menacée.

Nous rappelons donc que toute reproduction, partielle ou totale, de la présente publication est interdite sans autorisation de l'auteur, de son éditeur ou du Centre français d'exploitation du droit de copie (CFC, 20, rue des Grands-Augustins, 75006 Paris).



© Dunod, Paris, 2010
ISBN 978-2-10-054826-2

Le Code de la propriété intellectuelle n'autorisant, aux termes de l'article L. 122-5, 2^o et 3^o a), d'une part, que les « copies ou reproductions strictement réservées à l'usage privé du copiste et non destinées à une utilisation collective » et, d'autre part, que les analyses et les courtes citations dans un but d'exemple et d'illustration, « toute représentation ou reproduction intégrale ou partielle faite sans le consentement de l'auteur ou de ses ayants droit ou ayants cause est illicite » (art. L. 122-4).

Cette représentation ou reproduction, par quelque procédé que ce soit, constituerait donc une contrefaçon sanctionnée par les articles L. 335-2 et suivants du Code de la propriété intellectuelle.

Table des matières

PRÉFACE	vii
INTRODUCTION	1

PREMIÈRE PARTIE
CALCUL DIFFÉRENTIEL

CHAPITRE 1 • DIFFÉRENTIABILITÉ	9
1.1 Introduction	9
1.2 Théorème des accroissements finis	20
1.3 Théorème d'inversion locale	26
1.4 Théorème des fonctions implicites	31
EXERCICES	33
SOLUTION DES EXERCICES	39
CHAPITRE 2 • DIFFÉRENTIELLES D'ORDRE SUPÉRIEUR	49
2.1 Différentielle seconde	49
2.2 Différentielle d'ordre n	54
2.3 Formules de Taylor	58
EXERCICES	64
SOLUTION DES EXERCICES	67

CHAPITRE 3 • EXTREMA	75
3.1 Extrema libres	75
3.2 Extrema liés	77
3.3 Fonctions convexes	80
3.4 Introduction au calcul des variations	83
EXERCICES	87
SOLUTION DES EXERCICES	91
CHAPITRE 4 • FORMES DIFFÉRENTIELLES	99
4.1 Champs de vecteurs et 1-formes différentielles	99
4.2 Formes différentielles d'ordre supérieur	101
4.3 Théorème de Poincaré	108
4.4 Théorème de Frobenius	114
4.5 Théorème de Stokes	117

DEUXIÈME PARTIE

ÉQUATIONS DIFFÉRENTIELLES

CHAPITRE 5 • INTRODUCTION ET OUTILS DE BASE	125
5.1 Modélisation et applications	126
5.2 Résolution explicite	135
5.3 Lemme de Gronwall	139
5.4 Théorème de Cauchy–Lipschitz	141
5.5 Théorème du flot	148
5.6 Équations aux différentielles totales	153
EXERCICES	157
SOLUTION DES EXERCICES	161

CHAPITRE 6 • ÉQUATIONS LINÉAIRES	169
6.1 Existence globale	169
6.2 Résolvante	171
6.3 Coefficients constants	177
6.4 Dichotomies exponentielles et sous-espaces stables	194
6.5 Coefficients périodiques et théorie de Floquet	204
EXERCICES	210
SOLUTION DES EXERCICES	213
CHAPITRE 7 • ÉQUATIONS AUTONOMES	221
7.1 Courbes intégrales	222
7.2 Flot et portraits de phase	227
7.3 Ensembles ω -limite	234
EXERCICES	239
SOLUTION DES EXERCICES	245
CHAPITRE 8 • STABILITÉ DES SOLUTIONS STATIONNAIRES	259
8.1 Théorie de Lyapunov	259
8.2 Approche spectrale	265
8.3 Points fixes hyperboliques	270
8.4 Variétés invariantes	276
8.5 Introduction aux bifurcations	283
EXERCICES	289
SOLUTION DES EXERCICES	293
APPENDICE	301
BIBLIOGRAPHIE	303
INDEX	306

Préface

Je fais partie de cette génération nourrie à l'analyse des équations aux dérivées partielles (alors appelée abusivement *analyse numérique*), dans l'idée que l'analyse des équations différentielles ordinaires était « dépassée », au point qu'elle n'était guère plus enseignée qu'aux détours de cours de géométrie ou de mécanique. J'ai néanmoins pu apprécier au fil des années la richesse des interactions entre un domaine traditionnellement réservé aux géomètres, celui des *systèmes dynamiques*, et l'analyse appliquée à des modèles divers, que ce soient des équations différentielles ordinaires, des équations aux dérivées partielles, ou encore des équations différentielles fonctionnelles. C'est ce qui m'a incitée à mettre en place un cours d'équations différentielles ordinaires en première année du master « MAIM » (Mathématiques et Applications, Ingénierie Mathématique) à Lyon 1. Cet ouvrage est issu des notes rédigées pour l'occasion, et auparavant pour la préparation à l'épreuve de modélisation à l'agrégation, ainsi que de mes notes de calcul différentiel en troisième année de licence. La transformation en livre de ces notes éparses fut encouragée, sans qu'ils en aient nécessairement conscience, par plusieurs collègues : Michelle Schatzman et Denis Serre (que je remercie au passage pour leur fidèle et amical soutien), Francis Filbet (qui m'a fait bénéficier de sa toute fraîche expérience d'auteur chez Dunod), ainsi que ceux ayant manifesté leur intérêt pour mon « poly » (en ligne sur ma page personnelle). En espérant que cela en valait la peine, je remercie de tout cœur mes proches pour leur patience (et bien plus) pendant ces mois passés à remettre l'ouvrage sur le métier. Je tiens en outre à remercier Pascal Noble, avec qui j'ai eu plaisir à enseigner cette matière et à qui je dois divers énoncés d'exercices, ainsi que des critiques constructives. Quant aux exercices de calcul différentiel, ils proviennent pour l'essentiel de sujets d'examen posés en L3 : je remercie notamment Danièle Tarral, Laurent Pujo-Menjouet et Daniel Sondaz pour leurs contributions. Je remercie enfin Sarah Delcourte pour sa relecture attentive.

Malgré le soin que je me suis efforcée d'apporter à la rédaction, le lecteur¹ trouvera sûrement des imperfections, qu'il voudra bien me pardonner ou me signaler. Il pourra aussi regretter des omissions criantes à ses yeux : sur ce point je ne peux qu'assumer mes choix, dictés par mes goûts et la place allouée par l'éditeur.

Lyon, le 29 mai 2009.

1. Si je ne cède pas aux travers de la féminisation du langage, je n'en espère pas moins avoir autant de lectrices que de lecteurs !

Introduction

Si le cœur de cet ouvrage est véritablement l'analyse des équations différentielles (en vue des applications), il commence par une partie consacrée aux éléments fondamentaux du calcul différentiel (du point de vue de l'analyse), de sorte qu'aucun pré-requis n'est nécessaire en la matière : ce livre est essentiellement « auto-contenu » sur tout ce qui touche au calcul différentiel et aux équations différentielles. Quant aux notions indispensables de topologie, calcul intégral, analyse fonctionnelle, analyse complexe, algèbre linéaire ou géométrie, elles sont rappelées au fil du texte, voire dans la suite de ce préambule pour les plus couramment utilisées.

L'objectif de la première partie est de dérouler le calcul différentiel du point de vue le plus *intrinsèque* possible, qui dépasse le cadre « élémentaire » des fonctions de plusieurs variables réelles et de leurs dérivées partielles, tout en restant au niveau de l'*analyse classique*. Le cadre choisi est celui des fonctions définies sur des (ouverts de) \mathbb{R} -espaces vectoriels normés. Il n'est pas question d'aborder ici le calcul différentiel dans des espaces plus généraux (comme les espaces de Fréchet), ni sur les variétés (la notion même de variété différentiable n'étant abordée que succinctement, à l'occasion de l'analyse qualitative des équations différentielles). On présentera donc les grands classiques du calcul différentiel (théorèmes des accroissements finis, d'inversion locale, des fonctions implicites, formules de Taylor) dans les \mathbb{R} -espaces vectoriels normés, le plus souvent supposés complets (et alors appelés espaces de Banach). Les outils ainsi introduits serviront dans la partie sur les équations différentielles dites « ordinaires » (EDO), elles aussi considérées dans des \mathbb{R} -espaces de Banach en général. Ce choix est motivé par l'étude de modèles mathématiques pouvant être vus comme des EDO en dimension infinie : par exemple les équations différentielles sur réseaux, issues ou non de la discrétisation en espace d'équations aux dérivées partielles (EDP) d'évolution, ou encore les équations différentielles dans des espaces fonctionnels comme $L^2(\mathbb{R})$ (certaines EDP d'évolution pouvant être vues comme telles).

La première partie comprend en outre, dans un chapitre consacré aux problèmes d'extremum, une introduction à l'optimisation continue et au calcul des variations. Ce sont là de vastes domaines, dont on présentera les bases permettant d'aborder la lecture d'ouvrages plus avancés. Ce sera de plus l'occasion de présenter une classe importante d'équations différentielles, à savoir les équations d'Euler–Lagrange.

Cette partie s'achève par un chapitre sur la théorie des formes différentielles, souvent absente des cursus d'enseignements universitaires, et pourtant cruciale non seulement en mathématiques dites « pures » mais aussi dans les applications des mathématiques (thermodynamique, électromagnétisme, dynamique des fluides, etc.). On définira les notions essentielles que sont le produit extérieur et la différentielle extérieure de q -formes différentielles sur \mathbb{R}^n , et l'on présentera dans ce cadre les théorèmes de Poincaré, Frobenius et Stokes. Ce chapitre ne nécessite pas de pré-requis particulier et peut servir de *vade mecum* sur le sujet.

Hormis son dernier chapitre, la première partie constitue le bagage que l'on peut attendre en calcul différentiel d'un étudiant en fin de licence.

L'analyse des équations différentielles est développée dans la seconde partie. Le cadre est celui des équations différentielles « non pathologiques », au sens où elles sont supposées résolues (en la dérivée d'ordre le plus élevé) et sans problème de régularité (on choisit de ne pas s'aventurer sur le terrain de solutions généralisées, pour des équations dont les données seraient peu régulières). C'est une partie comportant bien sûr des *outils*, sous forme de lemmes, formules, théorèmes, etc. (comme le lemme de Gronwall, la formule de Duhamel, le théorème de Cauchy-Lipschitz pour ne citer que les outils de base), mais elle est aussi l'occasion d'insister sur diverses *méthodes*, et notamment celles de Picard, Lyapunov-Schmidt et Melnikov. Sans négliger les aspects « élémentaires », comme la résolution explicite dans les cas les plus simples et la classification des points fixes dans le plan, elle va (bien) au-delà du théorème d'existence et d'unicité de Cauchy-Lipschitz. Ceci commence par la question de la dépendance des solutions par rapport aux « conditions initiales » (avec le théorème du flot) et aux paramètres, et se poursuit par un approfondissement de la théorie pour les équations linéaires d'une part, et pour les équations non-linéaires autonomes d'autre part. Pour les premières, cela comprend la notion de résolvente, la théorie de Floquet, des éléments d'analyse spectrale, les notions de projecteurs spectraux et de dichotomies exponentielles. Pour les secondes, il s'agit essentiellement de l'étude de l'existence et des propriétés qualitatives (comportement asymptotique, stabilité par rapport aux paramètres) de solutions particulières (stationnaires, périodiques, orbites homo/hétéroclines), sans chercher à les calculer explicitement, avec notamment la théorie de Lyapunov et les théorèmes de Poincaré-Bendixson, de la variété stable et de bifurcation de Hopf. Cette partie *Équations différentielles* peut faire l'objet d'un solide cours de première année de master.

► Définitions et notations

- On suppose connue la notion d'espace vectoriel. Le corps de base des espaces vectoriels considérés sera \mathbb{R} (ou éventuellement \mathbb{C}). Dans un espace vectoriel normé E , on notera en général $\|\cdot\|_E$ la *norme*, ou simplement $\|\cdot\|$ s'il n'y a pas d'ambiguïté possible. Rappelons qu'une norme est caractérisée par les trois propriétés suivantes : 1) quels que soient $\lambda \in \mathbb{R}$ et $x \in E$, $\|\lambda x\| = |\lambda| \|x\|$; 2) le

seul vecteur x tel que $\|x\|_E = 0$ est $x = 0_E$; 3) et l'on a l'*inégalité triangulaire* :

$$\|x + y\| \leq \|x\| + \|y\|, \quad \text{quels que soient } x, y \in E.$$

Un *ouvert* dans un espace vectoriel normé E est un sous-ensemble U tel que pour tout $x \in U$ il existe une boule ouverte de centre x et de rayon R , que l'on notera $B(x; R)$, incluse dans U . Un *fermé* est un sous-ensemble de E dont le complémentaire est ouvert. Un *compact* est un sous-ensemble de E dans lequel toute suite admet une sous-suite convergente (une *sous-suite* d'une suite $(x_n)_{n \in \mathbb{N}}$ étant une suite de la forme $(x_{\varphi(n)})_{n \in \mathbb{N}}$ avec $\varphi : \mathbb{N} \rightarrow \mathbb{N}$ strictement croissante).

- Un \mathbb{R} -*espace de Banach* est un \mathbb{R} -espace vectoriel normé *complet*, c'est-à-dire où toutes les *suites de Cauchy* sont convergentes (une suite $(x_n)_{n \in \mathbb{N}}$ étant dite de Cauchy si pour tout $\varepsilon > 0$ il existe $N \in \mathbb{N}$ tel que pour $n, p \geq N$, $\|x_n - x_p\| \leq \varepsilon$).
- Si E et F sont des espaces de Banach, l'espace vectoriel des applications *linéaires continues* de E dans F , muni de la norme

$$\|\ell\| = \sup_{x \in E \setminus \{0\}} \frac{\|\ell(x)\|_F}{\|x\|_E}$$

est un espace de Banach. Il sera noté $\mathcal{L}(E; F)$, ou simplement $\mathcal{L}(E)$ dans le cas $E = F$. En outre, le sous-ensemble des *isomorphismes* de E sur F :

$$\text{Isom}(E; F) := \{u \in \mathcal{L}(E; F); \exists v \in \mathcal{L}(F; E), v \circ u = \text{Id}_E \text{ et } u \circ v = \text{Id}_F\}$$

est un ouvert de $\mathcal{L}(E; F)$. En vertu du théorème d'analyse fonctionnelle suivant, $\text{Isom}(E; F)$ coïncide avec l'ensemble des isomorphismes au sens algébrique.

Théorème 0.1 (Banach) *Si E et F sont des espaces de Banach, la réciproque d'une application linéaire continue et bijective de E sur F , est continue.*

(Voir [2, Cor. II.6 p. 19].) Autrement dit, pour vérifier qu'une application u est un isomorphisme de E sur F , il « suffit » de vérifier que u est *linéaire continue et bijective*. En dimension finie, toutes les applications linéaires sont continues : ce théorème n'a donc d'intérêt qu'en dimension infinie.

- Si E_1, \dots, E_n sont des espaces de Banach, le produit cartésien $E = E_1 \times \dots \times E_n$, muni de

$$\|(x_1, \dots, x_n)\|_E = \|x_1\|_{E_1} + \dots + \|x_n\|_{E_n},$$

est aussi un espace de Banach. Une application $\phi : E \rightarrow F$ est *n-linéaire* (et lorsqu'on ne veut pas préciser n on dit *multi-linéaire*) si pour tout $j \in \{1, \dots, n\}$ et pour tout $(x_1, \dots, x_{j-1}, x_{j+1}, \dots, x_n) \in E_1 \times \dots \times E_{j-1} \times E_{j+1} \times \dots \times E_n$ (avec les conventions naturelles lorsque $j = 1$ ou $j = n$), l'*application partielle*

$$x \in E_j \mapsto \phi(x_1, \dots, x_{j-1}, x, x_{j+1}, \dots, x_n)$$

est *linéaire*. Si de plus ϕ est continue, toutes les applications partielles sont continues et il existe $C \in \mathbb{R}^{+*}$ tel que

$$\|\phi(h_1, \dots, h_n)\|_F \leq C \prod_{j=1}^n \|h_j\|_{E_j}$$

quels que soient les vecteurs $h_j \in E_j$. L'ensemble des applications n -linéaires continues forme un espace vectoriel que l'on notera $\mathcal{L}(E_1, \dots, E_n; F)$ (à ne pas confondre avec l'espace $\mathcal{L}(E_1 \times \dots \times E_n; F)$ des applications linéaires sur E). Muni de la norme définie par

$$\|\phi\|_{\mathcal{L}(E_1, \dots, E_n; F)} = \max\{\|\phi(h_1, \dots, h_n)\|_F; \|h_j\|_{E_j} \leq 1\},$$

l'espace $\mathcal{L}(E_1, \dots, E_n; F)$ est complet. Lorsque $E_1 = \dots = E_n = G$, on notera simplement $\mathcal{L}_n(G; F)$ l'espace des applications n -linéaires continues sur G^n , et $\mathcal{L}_n^s(G; F)$ le sous-espace des applications n -linéaires *symétriques*, c'est-à-dire invariante par permutation des vecteurs x_1, \dots, x_n composant les vecteurs de G^n .

- Dans les espaces vectoriels normés de dimension finie, toutes les normes sont équivalentes, et tous ces espaces sont complets (indépendamment de la norme choisie). C'est le cas en particulier de \mathbb{R}^n , pour lequel des normes classiques sont

$$\|x\|_k = \left(\sum_{j=1}^n |x_j|^k \right)^{1/k} \quad \text{si } k < \infty \quad \text{et} \quad \|x\|_\infty = \sup_{1 \leq j \leq n} |x_j|,$$

où x_1, \dots, x_n désignent les composantes de $x \in \mathbb{R}^n$. De même, l'espace des matrices $\mathcal{M}_{p,q}(\mathbb{R})$ à p lignes et q colonnes, est complet quelle que soit la norme choisie. On peut notamment considérer les normes subordonnées aux normes $\|\cdot\|_k$ dans \mathbb{R}^q et \mathbb{R}^p , définies par

$$\|M\|_k = \sup_{x \in \mathbb{R}^q, x \neq 0} \frac{\|Mx\|_k}{\|x\|_k}.$$

Si M a pour coefficients $m_{i,j}$ on a (voir par exemple [27, p. 43])

$$\|M\|_1 = \max_j \sum_i |m_{i,j}|,$$

$$\|M\|_\infty = \max_i \sum_j |m_{i,j}|,$$

$$\|M\|_2 = \sqrt{\varrho(M^t M)},$$

où $\varrho(M^t M)$ désigne le *rayon spectral*, c'est-à-dire la plus grande valeur propre (en valeur absolue) de la matrice symétrique positive $M^t M$, la matrice M^t étant par définition la transposée de M , de coefficients $(m_{j,i})_{j \leq q, i \leq p}$.

- Si E_1, \dots, E_n sont des espaces de Banach, le produit cartésien $E = E_1 \times \dots \times E_n$ peut être muni de l'une quelconque des normes, équivalentes entre elles,

$$\|(x_1, \dots, x_n)\|_{k,E} = \|(\|x_1\|_{E_1}, \dots, \|x_n\|_{E_n})\|_k.$$

- Des exemples classiques d'espaces de Banach de dimension infinie sont les espaces de suites

$$\ell^p(\mathbb{N}) := \left\{ u = (u_n)_{n \in \mathbb{N}} ; \sum_n |u_n|^p < +\infty \right\},$$

munis des normes définies par

$$\|u\|_p = \left(\sum_n |u_n|^p \right)^{1/p},$$

pour $p < +\infty$, et

$$\ell^\infty(\mathbb{N}) := \left\{ u = (u_n)_{n \in \mathbb{N}} ; \|u\|_\infty := \sup_n |u_n| < +\infty \right\},$$

ainsi que divers espaces de fonctions, comme l'espace $\mathcal{C}(K; E)$ des fonctions continues sur un compact K et à valeurs dans un espace de Banach E , muni de la « norme sup », définie par

$$\|f\| = \max_{x \in K} \|f(x)\|_E.$$

Moyennant l'identification des fonctions coïncidant presque partout, les *espaces de Lebesgue* (voir par exemple [25, chap. 3])

$$L^p(\Omega) = \left\{ f : \Omega \rightarrow \mathbb{R} \text{ mesurable ; } \int_\Omega |f(x)|^p dx < +\infty \right\},$$

$$L^\infty(\Omega) = \{ f : \Omega \rightarrow \mathbb{R} \text{ mesurable essentiellement bornée} \},$$

où Ω est un ouvert de \mathbb{R}^n , munis des normes

$$\|f\|_p := \left(\int_\Omega |f(x)|^p dx \right)^{1/p}, \quad \|f\|_\infty := \sup_{x \in \Omega} \text{ess} |f(x)|,$$

sont également des espaces de Banach de dimension infinie. Plus généralement, il est possible de définir des espaces $L^p(\Omega; E)$ pour des fonctions à valeurs dans un espace de Banach E (par exemple un autre espace L^p) : cependant cela soulève des questions délicates de mesurabilité (on renvoie à [10] pour de plus amples détails).

- Les *espaces de Hilbert* sur \mathbb{R} sont des cas particuliers de \mathbb{R} -espaces de Banach, dans lesquels la norme est définie par un *produit scalaire*, forme bilinéaire symétrique définie positive $\langle \cdot, \cdot \rangle$:

$$\|u\| = \langle u, u \rangle^{1/2}.$$

Les espaces de Hilbert sur \mathbb{C} , où la norme est associée à un *produit hermitien*, forme sesquilinéaire hermitienne définie positive, sont quant à eux des \mathbb{C} -espaces de Banach. Une propriété fondamentale des espaces de Hilbert est l'*inégalité de Cauchy–Schwarz* : quels que soient u et v dans un espace de Hilbert,

$$|\langle u, v \rangle| \leq \|u\| \|v\|.$$

Partie I

Calcul différentiel

Chapitre 1

Différentiabilité

Ce chapitre est consacré à la notion de différentiabilité et aux théorèmes fondamentaux qui lui sont attachés.

1.1 INTRODUCTION

1.1.1 Fonctions différentiables, fonctions de classe \mathcal{C}^1

On suppose que U est un ouvert non vide d'un \mathbb{R} -espace vectoriel normé E , et l'on considère une fonction

$$f : U \rightarrow F,$$

où F est un autre espace vectoriel normé. Le fait que U soit ouvert permettra de considérer les valeurs de f au voisinage de tout point de U . Si cela n'était pas le cas, il faudrait restreindre la définition qui suit aux points *intérieurs* à U . On rappelle que $\mathcal{L}(E; F)$ désigne l'espace des applications linéaires *continues* de E dans F .

Définition 1.1 La fonction f est différentiable en un point $x \in U$ s'il existe $\ell \in \mathcal{L}(E; F)$ tel que

$$\lim_{h \xrightarrow{z} 0_E} \frac{\|f(x+h) - f(x) - \ell(h)\|_F}{\|h\|_E} = 0. \quad (1.1)$$

Autrement dit, f est différentiable en x s'il existe une application linéaire continue $\ell \in \mathcal{L}(E; F)$, $R > 0$ et une application $\varepsilon : B(0_E; R) \rightarrow \mathbb{R}^+$ tendant vers 0 en 0_E telles que pour tout $h \in B(0_E; R)$,

$$\|f(x+h) - f(x) - \ell(h)\|_F = \varepsilon(h) \|h\|_E.$$

Il suffit en effet de poser $\varepsilon(0_E) = 0$ et, si $R > 0$ est choisi de sorte que la boule $B(0_E; R)$ (de centre 0_E de rayon R) soit incluse dans U (ce qui est possible car U est ouvert), $\varepsilon(h) := \|f(x+h) - f(x) - \ell(h)\|_F / \|h\|_E$ pour $0 < \|h\|_E < R$. Cela signifie que $\ell(h)$ « approche » la différence $f(x+h) - f(x)$ lorsque h tend vers 0_E .

Proposition 1.2 Une fonction $f : U \rightarrow F$ différentiable en un point $x \in U$ (au sens de la définition 1.1) est nécessairement continue au point x .

Démonstration. En introduisant la fonction ε comme ci-dessus, on a par l'inégalité triangulaire

$$\|f(x+h) - f(x)\|_F \leq \varepsilon(h) \|h\|_E + \|\ell(h)\|_F,$$

où le membre de droite tend vers 0 lorsque h tend vers 0_E grâce à (1.1) et à la continuité de ℓ en 0_E .

Remarque : Par un argument analogue, on obtient la continuité de ℓ si l'on a celle de f . En effet, si f est continue en x et s'il existe ℓ (*a priori* seulement) linéaire telle que l'on ait (1.1), alors cette application est nécessairement continue, car par l'inégalité triangulaire

$$\|\ell(h)\|_F \leq \varepsilon(h) \|h\|_E + \|f(x+h) - f(x)\|_F$$

tend vers 0 lorsque h tend vers 0_E . (On rappelle que la continuité d'une application linéaire équivaut à sa continuité en 0.)

Notation. Bien sûr, l'application ℓ dans la définition 1.1 dépend du point x . Il faut donc adopter une notation faisant apparaître x . Afin de bien voir la différentielle d'une fonction (dans la définition ci-après) comme une nouvelle fonction, nous choisissons de noter $\ell = df(x)$. La difficulté tient ici au fait que $df(x)$ est elle-même une application. Cependant, comme elle est linéaire, nous noterons simplement (pour éviter la juxtaposition de parenthèses) $df(x) \cdot h$ la valeur prise par cette application sur le vecteur $h \in E$. Ainsi, (1.1) se réécrit

$$\lim_{h \xrightarrow{\neq} 0_E} \frac{\|f(x+h) - f(x) - df(x) \cdot h\|_F}{\|h\|_E} = 0.$$

L'application linéaire $df(x)$ est appelée *différentielle* de f au point x .

Définition 1.3 On dit que la fonction f est différentiable sur U si elle est différentiable en tout point $x \in U$. Dans ce cas, on appelle différentielle de f la fonction

$$\begin{aligned} df : U &\rightarrow \mathcal{L}(E; F) . \\ x &\mapsto df(x) \end{aligned}$$

Si de plus df est continue, on dit que f est continûment différentiable, ou de façon équivalente que f est de classe \mathcal{C}^1 .

Remarque : Une erreur fréquente est de confondre df et sa valeur en x , $df(x)$. En particulier, la continuité de df n'a rien à voir avec la continuité de $df(x)$, cette dernière étant *par définition* linéaire continue. (Notons au passage que df n'a aucune raison d'être linéaire en général.) Ainsi, une fonction différentiable n'est pas nécessairement de classe \mathcal{C}^1 : un contre-exemple classique est la fonction

$$f : \mathbb{R} \rightarrow \mathbb{R} \\ x \mapsto f(x) := \begin{cases} x^2 \sin(1/x) & \text{si } x \neq 0, \\ 0 & \text{si } x = 0, \end{cases}$$

qui est dérivable y compris en 0 (de dérivée nulle) mais dont la dérivée n'a pas de limite en 0. Or on va voir ci-après que les notions de dérivabilité et de différentiabilité coïncident pour les fonctions d'une variable réelle.

1.1.2 Premiers exemples de fonctions différentiables

- Toute application *constante* est continûment différentiable, de *différentielle nulle*. En effet, pour une fonction constante f , on a pour tout $(x, h) \in U \times E$ (avec $\|h\|$ assez petit pour que $x + h \in U$), $f(x + h) - f(x) = 0$.
- Toute application *linéaire continue* ℓ est continûment différentiable, et sa *différentielle* est *constante*, égale à ℓ en tout point :

$$d\ell(x) \cdot h = \ell(h) \quad \text{quels que soient } x \text{ et } h \in E.$$

En effet, par linéarité de ℓ , on a pour tout $(x, h) \in E \times E$,

$$\ell(x + h) - \ell(x) - \ell(h) = 0.$$

- Plus généralement, toute application *multi-linéaire continue* est continûment différentiable. Si $\phi \in \mathcal{L}(E_1, \dots, E_n; F)$ alors sa différentielle est donnée par

$$d\phi(x_1, \dots, x_n) \cdot (h_1, \dots, h_n) = \sum_{j=1}^n \phi(x_1, \dots, x_{j-1}, h_j, x_{j+1}, \dots, x_n). \quad (1.2)$$

Dans cette écriture légèrement abusive, le premier terme de la somme est évidemment $\phi(h_1, x_2, \dots, x_n)$ et le dernier $\phi(x_1, \dots, x_{n-1}, h_n)$.

Le cas $n = 1$ est celui des applications linéaires continues ! Voyons le cas $n = 2$. Pour une application ϕ bilinéaire :

$$\phi(x_1 + h_1, x_2 + h_2) - \phi(x_1, x_2) - \phi(h_1, x_2) - \phi(x_1, h_2) = \phi(h_1, h_2).$$

Si de plus ϕ est continue, il existe $C > 0$ tel que

$$\|\phi(h_1, h_2)\|_F \leq C \|h_1\|_{E_1} \|h_2\|_{E_2} \leq \frac{C}{2} \|(h_1, h_2)\|_E^2.$$

(On a utilisé ici l'inégalité $2ab \leq a^2 + b^2$, se déduisant de l'identité remarquable $(a - b)^2 = a^2 + b^2 - 2ab$.) On en déduit que

$$\frac{\|\phi(x_1 + h_1, x_2 + h_2) - \phi(x_1, x_2) - \phi(h_1, x_2) - \phi(x_1, h_2)\|_F}{\|(h_1, h_2)\|_E}$$

tend vers 0 lorsque (h_1, h_2) tend vers $(0_{E_1}, 0_{E_2})$. De plus, la différentielle de ϕ ,

$$\begin{aligned} d\phi : E_1 \times E_2 &\rightarrow \mathcal{L}(E_1 \times E_2; F) \\ (x_1, x_2) &\mapsto d\phi(x_1, x_2) : (h_1, h_2) \mapsto \phi(h_1, x_2) + \phi(x_1, h_2) \end{aligned}$$

est continue : c'est même une application linéaire continue, de norme inférieure ou égale à $2\|\phi\|$.

Le cas général se traite par récurrence sur n . Admettons le résultat pour les applications n -linéaires, et considérons une application $(n + 1)$ -linéaire ϕ . Alors

$$\begin{aligned} &\phi(x_1 + h_1, \dots, x_{n+1} + h_{n+1}) - \phi(x_1, \dots, x_{n+1}) - \sum_{j=1}^{n+1} \phi(x_1, \dots, x_{j-1}, h_j, x_{j+1}, \dots, x_{n+1}) = \\ &\phi(x_1 + h_1, \dots, x_n + h_n, x_{n+1} + h_{n+1}) - \phi(x_1 + h_1, \dots, x_n + h_n, x_{n+1}) - \phi(x_1, \dots, x_n, h_{n+1}) \\ &+ \phi(x_1 + h_1, \dots, x_n + h_n, x_{n+1}) - \phi(x_1, \dots, x_{n+1}) - \sum_{j=1}^n \phi(x_1, \dots, x_{j-1}, h_j, x_{j+1}, \dots, x_{n+1}). \end{aligned}$$

Lorsqu'on divise cette égalité par $\|(h_1, \dots, h_n, h_{n+1})\|_{E_1 \times \dots \times E_{n+1}}$, qui par définition est supérieur à $\|(h_1, \dots, h_n)\|_{E_1 \times \dots \times E_n}$, la deuxième ligne du membre de droite tend clairement vers 0, grâce à l'hypothèse de récurrence appliquée à l'application n -linéaire $(x_1, \dots, x_n) \mapsto \phi(x_1, \dots, x_n, x_{n+1})$. La première ligne se réduit par multi-linéarité à :

$$\phi(x_1 + h_1, \dots, x_n + h_n, h_{n+1}) - \phi(x_1, \dots, x_n, h_{n+1}).$$

Or l'application

$$\begin{aligned} E_1 \times \dots \times E_n &\rightarrow \mathcal{L}(E_{n+1}; F) \\ (y_1, \dots, y_n) &\mapsto \phi(y_1, \dots, y_n, \cdot) \end{aligned}$$

(où $\phi(y_1, \dots, y_n, \cdot)$ désigne l'application linéaire $h_{n+1} \mapsto \phi(y_1, \dots, y_n, h_{n+1})$) est n -linéaire continue (de norme inférieure ou égale à celle de ϕ). Donc pour tout $\varepsilon > 0$, il existe $\eta > 0$ tel que $\max_{j \in \{1, \dots, n\}} \|h_j\|_{E_j} \leq \eta$ entraîne

$$\|\phi(x_1 + h_1, \dots, x_n + h_n, h_{n+1}) - \phi(x_1, \dots, x_n, h_{n+1})\|_F \leq \varepsilon \|h_{n+1}\|_{E_{n+1}}.$$

Finalement, on conclut par l'inégalité triangulaire que le rapport

$$\frac{1}{\|(h_1, \dots, h_{n+1})\|_E} \left\| \phi(x_1 + h_1, \dots, x_{n+1} + h_{n+1}) - \phi(x_1, \dots, x_{n+1}) - \sum_{j=1}^{n+1} \phi(x_1, \dots, x_{j-1}, h_j, x_{j+1}, \dots, x_{n+1}) \right\|_F$$

tend bien vers 0 lorsque (h_1, \dots, h_{n+1}) tend vers $(0_{E_1}, \dots, 0_{E_{n+1}})$.

- Une fonction d'une variable réelle est *différentiable* si et seulement si elle est *dérivable* : la différentielle d'une fonction dérivable $g : U \subset \mathbb{R} \rightarrow F$ est donnée par

$$dg(t) \cdot k = k g'(t) \quad \text{quels que soient } t \in U \text{ et } k \in \mathbb{R}.$$

(Notons que $k \in \mathbb{R}$ est un scalaire et $g'(t) \in F$ est un vecteur en général, c'est pourquoi on les a écrits dans cet ordre.) En effet, rappelons que g est dérivable en t si le *taux d'accroissement* $(g(t+k) - g(t))/k$ a une limite lorsque k tend vers 0, et la dérivée de g en t est alors définie par

$$g'(t) = \lim_{k \rightarrow 0} \frac{g(t+k) - g(t)}{k}.$$

Si tel est le cas

$$\frac{\|g(t+k) - g(t) - k g'(t)\|_F}{|k|} = \left\| \frac{g(t+k) - g(t)}{k} - g'(t) \right\|_F$$

tend vers 0 lorsque k tend vers 0, ce qui montre que g est différentiable en t avec $dg(t) \cdot k = k g'(t)$. Réciproquement, si g est différentiable en t alors (par linéarité de $dg(t)$)

$$\left\| \frac{g(t+k) - g(t)}{k} - dg(t) \cdot 1 \right\|_F = \frac{\|g(t+k) - g(t) - dg(t) \cdot k\|_F}{|k|}$$

tend vers 0 lorsque k tend vers 0, ce qui montre que g est dérivable en t avec $g'(t) = dg(t) \cdot 1$.

- Quel que soit l'espace de Banach E , si $f : U \subset E \rightarrow F$ est différentiable, alors quels que soient $x \in U$ et $h \in E$, la fonction

$$g : t \mapsto g(t) := f(x + th)$$

est dérivable en $t = 0$, et $g'(0) = df(x) \cdot h$. On dit que c'est la *dérivée de f dans la direction h* (si h est non nul). Cela fournit une interprétation très importante de la différentiabilité : une condition nécessaire pour qu'une fonction soit différentiable est qu'elle soit dérivable dans toutes les directions ; attention cependant, cette condition n'est pas suffisante (voir par exemple l'exercice 1.2), elle correspond « seulement » à ce que l'on appelle la *Gâteaux-différentiabilité*.

- **Fonctions à valeurs dans un espace produit** : une fonction

$$\begin{aligned} f : U &\rightarrow F = F_1 \times \cdots \times F_n \\ x &\mapsto f(x) = (f_1(x), \dots, f_n(x)) \end{aligned}$$

est différentiable (en x) si et seulement si les fonctions f_1, \dots, f_n le sont. Si c'est le cas, sa différentielle est donnée par

$$df(x) \cdot h = (df_1(x) \cdot h, \dots, df_n(x) \cdot h).$$

(La vérification découle directement de la définition.)

- **Fonctions définies sur un espace produit** : la situation est plus subtile. Si

$$\begin{aligned} f : U \subset E_1 \times \cdots \times E_n &\rightarrow F \\ x = (x_1, \dots, x_n) &\mapsto f(x) \end{aligned}$$

est différentiable, alors les *applications partielles*

$$x_i \mapsto f(x_1, \dots, x_{i-1}, x_i, x_{i+1}, \dots, x_n)$$

sont différentiables, et si l'on note $d_i f(x_1, \dots, x_n)$ leurs différentielles en x_i , on a

$$df(x_1, \dots, x_n) \cdot (h_1, \dots, h_n) = \sum_{i=1}^n d_i f(x_1, \dots, x_n) \cdot h_i. \quad (1.3)$$

En effet, la définition de la différentiabilité de f implique que

$$\frac{\|f(x_1, \dots, x_i + h_i, \dots, x_n) - f(x_1, \dots, x_n) - df(x) \cdot (0, \dots, h_i, \dots, 0)\|_F}{\|h_i\|_{E_i}}$$

tend vers 0 lorsque h_i tend vers 0, d'où la différentiabilité de la i -ème application partielle et la valeur de sa différentielle au point x_i appliquée au vecteur h_i :

$$d_i f(x_1, \dots, x_n) \cdot (h_i) = df(x) \cdot (0, \dots, h_i, \dots, 0).$$

On en déduit la formule (1.3) par linéarité de $df(x)$. Mais attention, la différentiabilité des applications partielles n'implique pas nécessairement la différentiabilité de f (voir à nouveau l'exercice 1.2). On verra au paragraphe 1.2.3 une condition suffisante pour que f soit différentiable, à savoir que les applications partielles soient *continûment* différentiables.

1.1.3 Premières propriétés de la différentielle

Proposition 1.4 Si $f : U \subset E \rightarrow F$ et $g : V \subset E \rightarrow F$ sont différentiables respectivement sur des ouverts U et V d'un même espace E , alors leur somme $f + g$ est différentiable sur $U \cap V$ et

$$d(f + g) = df + dg,$$

c'est-à-dire que pour tout $x \in U \cap V$ et pour tout $h \in E$,

$$d(f + g)(x) \cdot h = df(x) \cdot h + dg(x) \cdot h.$$

De plus, quel que soit $\lambda \in \mathbb{R}$, la fonction λf est différentiable et

$$d(\lambda f) = \lambda df.$$

La démonstration découle directement de la définition (et de l'inégalité triangulaire pour ce qui est de la somme). Cette proposition signifie que

- l'ensemble des fonctions différentiables sur U et à valeurs dans F est un espace vectoriel,
- la différentiation d est une application linéaire de cet espace vectoriel dans l'ensemble des fonctions de U dans $\mathcal{L}(E; F)$.

Le résultat suivant est moins évident à démontrer, mais il est extrêmement important : on le désigne souvent par *règle de dérivation des fonctions composées* (*chain rule* en anglais). Dans l'énoncé, V est un ouvert de F et G est un espace de Banach.

Théorème 1.5 Si $f : U \subset E \rightarrow F$ est différentiable en un point $x \in U$ et si $g : V \subset F \rightarrow G$ est différentiable en $f(x) \in V$, alors la fonction composée $g \circ f : U \subset E \rightarrow G$ est différentiable en x et

$$d(g \circ f)(x) \cdot h = dg(f(x)) \cdot (df(x) \cdot h) \quad \text{quels que soient } x \in U \text{ et } h \in E.$$

Autrement dit,

$$d(g \circ f)(x) = dg(f(x)) \circ df(x) \quad \text{quel que soit } x \in U. \quad (1.4)$$

Démonstration. Notons

$$\varphi(h) = f(x+h) - f(x) - df(x) \cdot h \quad \text{pour tout } h \in E,$$

$$\gamma(k) = g(y+k) - g(y) - dg(y) \cdot k \quad \text{pour tout } k \in F, \quad \text{avec } y = f(x).$$

Par définition de la différentiabilité de f et de g ,

$$\lim_{h \xrightarrow{\neq} 0_E} \frac{\|\varphi(h)\|_F}{\|h\|_E} = 0 \quad \text{et} \quad \lim_{k \xrightarrow{\neq} 0_F} \frac{\|\gamma(k)\|_G}{\|k\|_F} = 0,$$

ce que l'on peut aussi exprimer sous la forme

$$\|\gamma(k)\|_G = \varepsilon(k) \|k\|_F \quad \text{avec} \quad \lim_{k \rightarrow 0_F} \varepsilon(k) = 0.$$

On a

$$\begin{aligned} g(f(x+h)) - g(f(x)) &= g(f(x) + df(x) \cdot h + \varphi(h)) - g(f(x)) = \\ &= dg(y) \cdot (df(x) \cdot h + \varphi(h)) + \gamma(df(x) \cdot h + \varphi(h)). \end{aligned}$$

Par conséquent, pour $h \neq 0_E$,

$$\begin{aligned} &\frac{\|g(f(x+h)) - g(f(x)) - dg(y) \cdot (df(x) \cdot h)\|_G}{\|h\|_E} = \\ &\frac{\|dg(y) \cdot \varphi(h) + \gamma(df(x) \cdot h + \varphi(h))\|_G}{\|h\|_E} \\ &\leq \|dg(y)\| \frac{\|\varphi(h)\|_F}{\|h\|_E} + \left(\|df(x)\| + \frac{\|\varphi(h)\|_F}{\|h\|_E} \right) \varepsilon(df(x) \cdot h + \varphi(h)). \end{aligned}$$

Les deux morceaux ci-dessus tendent bien vers 0 lorsque h tend vers 0_E puisque c'est le cas de $\|\varphi(h)\|_F/\|h\|_E$, que $df(x) \cdot h + \varphi(h)$ tend vers 0_F et que $\varepsilon(k)$ tend vers 0 lorsque k tend vers 0_F .

Les exemples donnés au paragraphe précédent et les propriétés énoncées dans la proposition et le théorème ci-dessus permettent de *calculer* de nombreuses différentielles. Une démarche générale pour montrer qu'une fonction est différentiable consiste à : 1) supposer que sa différentielle existe et calculer un candidat pour cette différentielle ; 2) vérifier que la fonction est différentiable en injectant ce candidat dans la définition.

Voyons un exemple de calcul (étape 1, l'étape 2 faisant l'objet de l'exercice 1.7). Soient X et Y des \mathbb{R} -espaces de Banach. Considérons l'espace $E := \mathcal{L}(X; Y)$ et l'ensemble $U = \text{Isom}(X; Y) \subset E$ des isomorphismes de X sur Y . (On rappelle que U est ouvert.) Soit alors la fonction

$$\begin{aligned} f : U &\rightarrow F := \mathcal{L}(Y; X) \\ u &\mapsto u^{-1}. \end{aligned}$$

L'application

$$\begin{aligned} \phi : E \times F &\rightarrow \mathcal{L}(X; X) \\ (u, v) &\mapsto v \circ u \end{aligned}$$

est bilinéaire continue, et l'on a par définition $\phi(u, f(u)) = \text{Id}_X$ (l'application identité sur X). Par suite, en supposant *a priori* que f est différentiable, on a pour tout $u \in U$ et $h \in E$,

$$\phi(h, f(u)) + \phi(u, df(u) \cdot h) = 0.$$

Autrement dit, $u^{-1} \circ h = -(df(u) \cdot h) \circ u$, d'où $df(u) \cdot h = -u^{-1} \circ h \circ u^{-1}$.

1.1.4 Différentielles en dimension finie

On suppose dans ce paragraphe que $E = \mathbb{R}^p$ et $F = \mathbb{R}^q$, avec $p, q \in \mathbb{N}^*$.

► Notations.

Pour un vecteur $x \in \mathbb{R}^p$, resp. $y \in \mathbb{R}^q$, on notera (x_1, \dots, x_p) , resp. (y_1, \dots, y_q) ses composantes. (Attention à ne pas confondre avec les n -uplets de vecteurs considérés au paragraphe 1.1.2.) La « matrice du vecteur » x , resp. y , sera notée X , resp. Y . Ce sont les matrices colonnes :

$$X = \begin{pmatrix} x_1 \\ \vdots \\ x_p \end{pmatrix} \in \mathcal{M}_{p,1}(\mathbb{R}), \quad Y = \begin{pmatrix} y_1 \\ \vdots \\ y_q \end{pmatrix} \in \mathcal{M}_{q,1}(\mathbb{R}).$$

On désigne par e_1, \dots, e_p les vecteurs de la *base canonique* de \mathbb{R}^p : par définition, le vecteur e_i (pour $i \in \{1, \dots, p\}$) a toutes ses composantes nulles sauf la i -ème qui vaut 1.

a) Dérivées partielles

Pour tout $x \in U$ de composantes (x_1, \dots, x_p) et pour tout $i \in \{1, \dots, p\}$, l'ensemble $V_i(x) := \{t \in \mathbb{R}; (x_1, \dots, x_{i-1}, t, x_{i+1}, \dots, x_p) \in U\}$ est un voisinage ouvert de x_i . Supposons $f : U \subset \mathbb{R}^p \rightarrow F$ différentiable. Alors l'*application partielle*

$$\begin{aligned} g_i : V_i(x) &\rightarrow F \\ t &\mapsto f(x_1, \dots, x_{i-1}, t, x_{i+1}, \dots, x_p) = f(x + (t - x_i)e_i) \end{aligned}$$

est dérivable en x_i et $g'_i(x_i) = df(x) \cdot e_i$ (dérivée de f dans la direction e_i au point x). Il est d'usage de noter cette dérivée

$$\frac{\partial f}{\partial x_i}(x), \quad \text{ou } \partial_{x_i} f(x), \quad \text{voire simplement } \partial_i f(x).$$

On appelle *dérivées partielles* de f les fonctions

$$\begin{aligned} \partial_i f : U &\rightarrow F \\ x &\mapsto \frac{\partial f}{\partial x_i}(x) \end{aligned}$$

pour $i \in \{1, \dots, p\}$. Par linéarité de $df(x)$, on voit que pour tout $h \in \mathbb{R}^p$, de composantes (h_1, \dots, h_p) ,

$$df(x) \cdot h = df(x) \cdot \left(\sum_{i=1}^p h_i e_i \right) = \sum_{i=1}^p h_i df(x) \cdot e_i = \sum_{i=1}^p h_i \frac{\partial f}{\partial x_i}(x).$$

Remarque : Quel que soit $i \in \{1, \dots, p\}$, l'application $h \in \mathbb{R}^p \mapsto h_i \in \mathbb{R}$ est une forme linéaire continue (c'est-à-dire un élément de $\mathcal{L}(\mathbb{R}^p; \mathbb{R})$). Si on la note dx_i , la différentielle de f au point x s'écrit

$$df(x) = \sum_{i=1}^p \frac{\partial f}{\partial x_i}(x) dx_i.$$

Ce point de vue sera poussé plus avant au chapitre 4 sur les formes différentielles.

Attention, comme on l'a déjà signalé à propos des différentielles partielles, dont les dérivées partielles sont un cas particulier (avec $E_i = \mathbb{R}$ quel que soit i), la seule existence de dérivées partielles n'est pas suffisante en général pour qu'une fonction soit différentiable. Plus précisément, on a la caractérisation suivante.

Théorème 1.6 Une application $f : U \subset \mathbb{R}^p \rightarrow F = \mathbb{R}^q$ est continûment différentiable si et seulement si ses p dérivées partielles existent et sont continues sur U .

Ce résultat est un cas particulier du théorème 1.12 (page 23), que l'on verra comme conséquence du théorème des accroissements finis au paragraphe 1.2.3.

b) Matrice jacobienne

Si une fonction $f : U \subset \mathbb{R}^p \rightarrow \mathbb{R}^q$, de composantes (f_1, \dots, f_q) , est différentiable au point x , on définit sa *matrice jacobienne* au point x comme la matrice de l'application linéaire $df(x)$ dans les bases canoniques de \mathbb{R}^p et \mathbb{R}^q . Elle est donnée par

$$Df(x) = \begin{pmatrix} \partial_1 f_1(x) & \cdots & \partial_p f_1(x) \\ \vdots & & \vdots \\ \partial_1 f_q(x) & \cdots & \partial_p f_q(x) \end{pmatrix} \in \mathcal{M}_{q,p}(\mathbb{R}).$$

Autrement dit, le coefficient de la matrice jacobienne de f d'indice $i \in \{1, \dots, q\}$ en ligne et $j \in \{1, \dots, p\}$ en colonne est

$$(Df(x))_{i,j} = \partial_j f_i(x).$$

En particulier, si $q = 1$, $Df(x)$ est une matrice ligne. De façon générale, les lignes de $Df(x)$ sont les $Df_i(x)$.

► Opérateur « nabla » :

On note $\nabla f(x)$ (qui se lit « nabla f de x ») la matrice transposée de $Df(x)$, de sorte que :

$$(\nabla f(x))_{i,j} = \partial_i f_j(x).$$

Cette notation est souvent utilisée lorsque $q = 1$, auquel cas $\nabla f(x)$ est une matrice colonne, que l'on identifie à un vecteur de \mathbb{R}^p appelé *gradient* de f au point x .

c) Opérateurs différentiels classiques

Comme on vient de le voir, pour une fonction différentiable à valeurs scalaires, $\varphi : U \subset \mathbb{R}^p \rightarrow \mathbb{R}$, le *gradient* est défini par :

$$\begin{aligned} \text{grad } \varphi : U \subset \mathbb{R}^p &\rightarrow \mathbb{R}^p \\ x &\mapsto (\text{grad } \varphi)(x) := (\partial_1 \varphi(x), \dots, \partial_p \varphi(x))^t. \end{aligned}$$

On écrit indifféremment $\text{grad } \varphi$ ou $\nabla \varphi$.

Par ailleurs, pour une fonction différentiable $f : U \subset \mathbb{R}^p \rightarrow \mathbb{R}^p$ (noter l'égalité des dimensions au départ et à l'arrivée), de composantes (f_1, \dots, f_p) , on définit la *divergence* par

$$\begin{aligned} \text{div } f : U \subset \mathbb{R}^p &\rightarrow \mathbb{R} \\ x &\mapsto (\text{div } f)(x) := \text{tr}(Df(x)) = \sum_{i=1}^p \partial_i f_i(x). \end{aligned}$$

Il est parfois commode d'écrire $\text{div } f = \nabla \cdot f$, où ∇ est l'opérateur nabla défini ci-dessus, dont les « composantes » sont les dérivées partielles ∂_i , la notation \cdot se rapportant ici au produit scalaire canonique sur \mathbb{R}^p , défini par

$$x \cdot y = \sum_{i=1}^p x_i y_i.$$

Lorsque $p = 3$, on définit aussi le *rotationnel* de f

$$\begin{aligned} \text{rot } f : U \subset \mathbb{R}^3 &\rightarrow \mathbb{R}^3 \\ x &\mapsto (\text{rot } f)(x) \end{aligned}$$

par

$$(\text{rot } f)(x) := (\partial_2 f_3(x) - \partial_3 f_2(x), \partial_3 f_1(x) - \partial_1 f_3(x), \partial_1 f_2(x) - \partial_2 f_1(x))^t.$$

Si \times désigne le *produit vectoriel* dans \mathbb{R}^3 , il est parfois commode de voir le rotationnel comme $\text{rot } f = \nabla \times f$.

1.2 THÉORÈME DES ACCROISSEMENTS FINIS

Nous arrivons maintenant à l'un des résultats fondamentaux du calcul différentiel.

Pour une fonction de *variable réelle* et à *valeurs réelles*, on connaît la *formule des accroissements finis* (conséquence du *théorème de Rolle*, voir l'appendice) : si $\varphi : I \subset \mathbb{R} \rightarrow \mathbb{R}$ est dérivable sur l'intervalle I , alors pour tout $(x, y) \in I \times I$ (avec $x < y$), il existe $t \in]x, y[$ tel que

$$f(x) - f(y) = f'(t)(x - y).$$

Par suite, si $|f'|$ est majorée par une constante $k > 0$ sur l'intervalle I , on a l'*inégalité des accroissements finis* :

$$|f(x) - f(y)| \leq k|x - y| \quad \text{quel que soit } (x, y) \in I \times I.$$

Mais pour une fonction f à valeurs dans un espace autre que \mathbb{R} , il n'y a *pas de formule* des accroissements finis : par exemple, la fonction $f : x \mapsto e^{ix}$ est dérivable, et sa dérivée $x \mapsto i e^{ix}$ ne s'annule pas, bien qu'il existe des points (nombreux) x et y distincts où $f(x) = f(y)$. En revanche, l'*inégalité* des accroissements finis reste vraie comme on va le voir.

1.2.1 Cas des fonctions d'une variable réelle

Théorème 1.7 Soit $f : I \subset \mathbb{R} \rightarrow F$ une fonction dérivable sur un intervalle ouvert I et à valeurs dans un \mathbb{R} -espace vectoriel normé F . On suppose qu'il existe $k > 0$ tel que

$$\|f'(t)\|_F \leq k \quad \text{quel que soit } t \in I.$$

Alors

$$\|f(x) - f(y)\|_F \leq k|x - y| \quad \text{quel que soit } (x, y) \in I \times I. \quad (1.5)$$

Démonstration. Sans perte de généralité, on prend $(x, y) \in I \times I$ avec $x < y$. On ne va pas montrer directement (1.5), mais le résultat intermédiaire suivant : pour tout $\varepsilon > 0$ et pour tout $t \in [x, y]$,

$$\|f(t) - f(x)\|_F \leq (k + \varepsilon)(t - x) + \varepsilon. \quad (1.6)$$

En l'appliquant à $t = y$ puis en faisant tendre ε vers 0, on en déduit en effet (1.5). Pour démontrer (1.6), nous allons faire appel à l'axiome fondamental de \mathbb{R} , à savoir l'existence d'une borne inférieure pour tout ensemble non vide et minoré. Considérons l'ensemble :

$$\mathcal{O} := \{t \in [x, y]; \|f(t) - f(x)\|_F > (k + \varepsilon)(t - x) + \varepsilon\}.$$

C'est un ensemble ouvert (car f est continue) dans $[x, y]$, dont on veut montrer qu'il est vide.

Supposons que \mathcal{O} ne soit pas vide, et soit alors \underline{t} sa borne inférieure. Comme l'inégalité (1.6) est vraie au voisinage de x (par continuité de l'application

$$t \mapsto \|f(t) - f(x)\|_F - (k + \varepsilon)(t - x),$$

qui vaut évidemment 0 en $t = x$), on a $\underline{t} > x$, et donc $\underline{t} = \inf \mathcal{O}$ ne peut pas être dans l'ouvert \mathcal{O} (si $\tau > x$ et si τ appartient à \mathcal{O} , $[\tau, \tau] \cap \mathcal{O}$ est non vide, donc τ ne minore pas \mathcal{O} et ne peut par conséquent pas être la borne inférieure de \mathcal{O}). Donc

$$\|f(\underline{t}) - f(x)\|_F \leq (k + \varepsilon)(\underline{t} - x) + \varepsilon.$$

D'autre part, d'après la dérivabilité de f en \underline{t} , il existe $\eta > 0$ tel que pour tout $t \in]\underline{t}, \underline{t} + \eta]$,

$$k \geq \|f'(\underline{t})\|_F \geq \frac{\|f(t) - f(\underline{t})\|_F}{|t - \underline{t}|} - \varepsilon,$$

d'où

$$\|f(t) - f(\underline{t})\|_F \leq (k + \varepsilon)(t - \underline{t}).$$

Par l'inégalité triangulaire, on en déduit

$$\|f(t) - f(x)\|_F \leq (k + \varepsilon)(t - x) + \varepsilon$$

pour $t \in]\underline{t}, \underline{t} + \eta]$, c'est-à-dire que $]\underline{t}, \underline{t} + \eta] \cap \mathcal{O}$ est vide. Or $\underline{t} < y$ (si ce n'était pas le cas, \mathcal{O} serait réduit au singleton $\{y\}$, qui n'est pas ouvert dans $[x, y]$) donc pour η assez petit, $\underline{t} + \eta < y$. Par conséquent, $]\underline{t}, \underline{t} + \eta] \cap \mathcal{O} = \emptyset$ montre que $\underline{t} + \eta$ est un minorant de \mathcal{O} strictement plus grand que \underline{t} : ceci contredit le fait que \underline{t} soit la borne inférieure de \mathcal{O} .

Remarque : Le résultat s'applique même pour x et y au bord de l'intervalle I , à condition que f soit continue sur l'intervalle fermé \bar{I} et qu'on ait une estimation de f' sur l'intervalle ouvert I . En effet, dans la démonstration, l'ensemble \mathcal{O} reste un ouvert dont la borne inférieure, s'il est non vide, appartient à l'intervalle ouvert $]x, y[$.

La même méthode de démonstration permet de montrer le résultat plus général suivant.

Théorème 1.8 Soit $f : I \subset \mathbb{R} \rightarrow F$ une fonction dérivable sur un intervalle ouvert I et à valeurs dans un \mathbb{R} -espace de Banach F . On suppose qu'il existe une fonction $\varphi : I \rightarrow \mathbb{R}$ dérivable telle que

$$\|f'(t)\|_F \leq \varphi'(t) \quad \text{quel que soit } t \in I.$$

Alors

$$\|f(x) - f(y)\|_F \leq |\varphi(x) - \varphi(y)| \quad \text{quel que soit } (x, y) \in I \times I. \quad (1.7)$$

1.2.2 Cas général

Comme précédemment, E et F désignent des \mathbb{R} -espaces vectoriels normés.

Théorème 1.9 Soit $f : U \subset E \rightarrow F$ une fonction différentiable sur un ouvert convexe U . On suppose qu'il existe $k > 0$ tel que $\|df(u)\| \leq k$ quel que soit $u \in U$. Alors

$$\|f(x) - f(y)\|_F \leq k \|x - y\|_E \quad \text{quel que soit } (x, y) \in U \times U. \quad (1.8)$$

Démonstration. Fixons $(x, y) \in U \times U$. La convexité de U assure que le segment d'extrémités x et y est inclus dans U (au besoin voir la définition 3.7 p. 80), et d'après les hypothèses sur f , la fonction d'une variable réelle

$$\begin{aligned} g : [0, 1] &\rightarrow F \\ t &\mapsto f(x + t(y - x)) \end{aligned}$$

est dérivable, de dérivée

$$g'(t) = df(x + t(y - x)) \cdot (y - x),$$

satisfaisant la majoration $\|g'(t)\|_F \leq k \|y - x\|_E$ pour tout $t \in [0, 1]$. D'après le théorème 1.7, on en déduit

$$\|f(y) - f(x)\|_F = \|g(1) - g(0)\|_F \leq k \|y - x\|_E.$$

Remarque : La démonstration donne en fait l'inégalité plus fine

$$\|f(y) - f(x)\|_F \leq \sup_{t \in [0, 1]} \|df(x + t(y - x))\| \|y - x\|_E.$$

1.2.3 Premières applications

Le théorème des accroissements finis a de nombreuses applications. Nous nous limiterons ici aux applications fondamentales que sont

- la caractérisation des fonctions de différentielle nulle sur les ouverts *connexes*,
- la caractérisation des fonctions de classe \mathcal{C}^1 sur un produit cartésien.

Rappelons d'abord la notion de connexité.

Définition 1.10 *Un sous-ensemble d'un espace topologique (par exemple un espace de Banach) est connexe s'il n'admet pas de sous-ensemble à la fois ouvert et fermé autre que l'ensemble vide et lui-même.*

Théorème 1.11 *Soit $f : U \subset E \rightarrow F$ une fonction différentiable sur un ouvert connexe U , telle que $df(x) \equiv 0$ pour tout $x \in U$. Alors f est constante.*

Démonstration. Quel que soit $x \in U$, il existe $r > 0$ tel que la boule ouverte de centre x et de rayon r , $B(x; r)$ soit incluse dans U . Cette boule est convexe (cela se vérifie grâce à l'inégalité triangulaire), et puisque $df \equiv 0$, le théorème des accroissements finis montre que $f(y) = f(x)$ quel que soit $y \in B(x; r)$: cela signifie que f est *localement constante*. Comme U est connexe, cela implique que f est constante. En effet, fixons $x \in U$. L'ensemble $f^{-1}(\{f(x)\}) \subset U$ est non vide puisqu'il contient x , et fermé par continuité de f (le singleton $\{f(x)\}$ étant fermé). D'après ce qui précède, cet ensemble est aussi ouvert. Puisque U est connexe, on a donc $f^{-1}(\{f(x)\}) = U$. Autrement dit, $f(y) = f(x)$ pour tout $y \in U$.

Théorème 1.12 *Soient E_1, \dots, E_n des espaces vectoriels normés, et $E = E_1 \times \dots \times E_n$. Une fonction*

$$f : \quad U \subset E \quad \rightarrow \quad F \\ x = (x_1, \dots, x_n) \mapsto f(x)$$

est continûment différentiable si et seulement si pour tout $i \in \{1, \dots, n\}$ et pour tout $x = (x_1, \dots, x_n) \in U$, l'application partielle

$$y_i \mapsto (x_1, \dots, x_{i-1}, y_i, x_{i+1}, \dots, x_n)$$

est différentiable en $y_i = x_i$ et sa différentielle définit une fonction (appelée différentielle partielle) continue de U dans $\mathcal{L}(E_i; F)$.

Démonstration. Commençons par le sens facile, qui complète ce que l'on a vu auparavant sur les différentielles partielles. Si f est continûment différentiable, quels que soient $i \in \{1, \dots, n\}$ et $x = (x_1, \dots, x_n) \in U$, l'application partielle $g : y_i \mapsto (x_1, \dots, x_{i-1}, y_i, x_{i+1}, \dots, x_n)$ est différentiable en $y_i = x_i$, de différentielle définie par

$$dg(x_i) \cdot h_i = df(x) \cdot (0, \dots, 0, h_i, 0, \dots, 0)$$

pour tout $h_i \in E_i$. Notons $d_i f(x) \in \mathcal{L}(E_i; F)$ l'application définie comme ci-dessus par $d_i f(x) \cdot h_i = df(x)(0, \dots, 0, h_i, 0, \dots, 0)$, et

$$d_i f : \quad U \quad \rightarrow \quad \mathcal{L}(E_i; F) \\ x \mapsto d_i f(x)$$

la i -ème différentielle partielle de f . Alors $d_i f$ est continue sur U , comme composée des fonctions continues

$$\begin{aligned} df : U &\rightarrow \mathcal{L}(E; F) \text{ et } \mathcal{L}(E; F) \rightarrow \mathcal{L}(E_i; F) \\ x &\mapsto df(x) \quad \ell \mapsto (h_i \mapsto \ell(0, \dots, 0, h_i, 0, \dots, 0)). \end{aligned}$$

C'est la réciproque qui fait appel au théorème des accroissements finis. Supposons que pour tout $i \in \{1, \dots, n\}$ la différentielle partielle $d_i f$ existe et soit continue. Alors l'application

$$\begin{aligned} U &\rightarrow \mathcal{L}(E; F) \\ x &\mapsto \left((h_1, \dots, h_n) \mapsto \sum_{i=1}^n d_i f(x) \cdot h_i \right) \end{aligned}$$

est bien continue comme composée des fonctions continues

$$\begin{aligned} U &\rightarrow \mathcal{L}(E_1; F) \times \dots \times \mathcal{L}(E_n; F) \\ x &\mapsto (d_1 f(x), \dots, d_n f(x)) \end{aligned}$$

(fonction à valeurs dans un produit dont chaque composante est continue) et

$$\begin{aligned} \mathcal{L}(E_1; F) \times \dots \times \mathcal{L}(E_n; F) &\rightarrow \mathcal{L}(E; F) \\ (\ell^1, \dots, \ell^n) &\mapsto ((h_1, \dots, h_n) \mapsto \sum_{i=1}^n \ell^i(h_i)) \end{aligned}$$

(application linéaire continue). Il s'agit de montrer que f est différentiable, de différentielle précisément définie par

$$df(x) \cdot h = \sum_{i=1}^n d_i f(x) \cdot h_i$$

pour tout $x \in U$ et pour tout $h = (h_1, \dots, h_n) \in E$. Raisonnons par récurrence sur n . Le cas $n = 1$ est évident : si $E = E_1$, $df(x) \cdot h = d_1 f(x) \cdot h_1$ pour tout $x \in U$ et pour tout $h = h_1 \in E$. Supposons $n \geq 2$ et le résultat démontré pour les fonctions définies sur un ouvert d'espace produit de $(n - 1)$ espaces. Soient $x \in U$ et $r > 0$ tels que

$$\max_{i \in \{1, \dots, n\}} \|(y - x)_i\|_{E_i} \leq r \quad \Rightarrow \quad y = (y_1, \dots, y_n) \in U.$$

Pour tout $h = (h_1, \dots, h_n) \in E$ tel que $\max_{i \in \{1, \dots, n\}} \|h_i\|_{E_i} \leq r$, on a

$$f(x + h) - f(x) - \sum_{i=1}^n d_i f(x) \cdot h_i =$$

$$f(x_1+h_1, \dots, x_{n-1}+h_{n-1}, x_n+h_n) - f(x_1+h_1, \dots, x_{n-1}+h_{n-1}, x_n) - d_n f(x) \cdot h_n \\ + f(x_1+h_1, \dots, x_{n-1}+h_{n-1}, x_n) - f(x_1, \dots, x_{n-1}, x_n) - \sum_{i=1}^{n-1} d_i f(x) \cdot h_i .$$

Lorsqu'on divise cette égalité par $\|(h_1, \dots, h_n)\|$, le second morceau tend vers 0 avec h d'après l'hypothèse de récurrence. Il reste à montrer que le premier morceau tend aussi vers 0. C'est ici que va intervenir le *théorème des accroissements finis*. Par hypothèse, la fonction

$$g : y_n \mapsto f(x_1+h_1, \dots, x_{n-1}+h_{n-1}, y_n) - d_n f(x) \cdot (y_n - x_n)$$

est différentiable dans la boule ouverte de rayon r , centrée en x_n dans l'espace E_n , de différentielle définie par

$$dg(y_n) \cdot h_n = d_n f(x_1+h_1, \dots, x_{n-1}+h_{n-1}, y_n) \cdot h_n - d_n f(x) \cdot h_n$$

et donc de norme

$$\|dg(y_n)\| \leq \|d_n f(x_1+h_1, \dots, x_{n-1}+h_{n-1}, y_n) - d_n f(x)\| .$$

Or, par hypothèse, la différentielle partielle $d_n f$ est continue au point $x = (x_1, \dots, x_n)$. Soit donc $\varepsilon > 0$. Il existe $\eta \in]0, r]$ tel que

$$\max_{i \in \{1, \dots, n\}} \|(y - x)_i\|_{E_i} \leq \eta \Rightarrow \|d_n f(y_1, \dots, y_n) - d_n f(x_1, \dots, x_n)\| \leq \varepsilon .$$

Par conséquent, si $\max_{i \in \{1, \dots, n\}} \|h_i\|_{E_i} \leq \eta$,

$$\|dg(y_n)\| \leq \varepsilon \quad \text{pour} \quad \|y_n - x_n\|_{E_n} \leq \eta ,$$

et le théorème des accroissements finis (appliqué à g dans la boule de centre x_n et de rayon η , qui est bien convexe) implique

$$\|g(x_n+h_n) - g(x_n)\|_F \leq \varepsilon \|h_n\|_{E_n} .$$

Grâce à l'inégalité triangulaire, on en déduit qu'il existe $\eta_1 \leq \eta$ tel que $\max_{i \in \{1, \dots, n\}} \|h_i\|_{E_i} \leq \eta_1$ implique

$$\left\| f(x+h) - f(x) - \sum_{i=1}^n d_i f(x) \cdot (h_i) \right\|_F \leq \varepsilon (\|h_1\|_{E_1} + \dots + \|h_n\|_{E_n}) .$$

1.3 THÉORÈME D'INVERSION LOCALE

Commençons par introduire la notion fondamentale de difféomorphisme (en fait de \mathcal{C}^1 -difféomorphisme, mais on omettra systématiquement le « préfixe » \mathcal{C}^1). Dans tout ce qui suit, E et F désignent des \mathbb{R} -espaces de Banach.

Définition 1.13 Soient U et V des ouverts (non vides) de E et F respectivement. On dit qu'une application $f : U \rightarrow V$ est un difféomorphisme (de U sur V) si et seulement si

- i). f est une bijection,
- ii). f est de classe \mathcal{C}^1 , c'est-à-dire continûment différentiable sur U ,
- iii). f^{-1} est de classe \mathcal{C}^1 sur V .

► Exemple

La fonction trigonométrique \tan est un difféomorphisme de $] -\pi/2, \pi/2 [$ sur \mathbb{R} .

► Contre-exemple

La fonction polynômiale $x \mapsto x^3$ n'est pas un difféomorphisme de \mathbb{R} dans \mathbb{R} , bien que ce soit une bijection continûment différentiable : sa réciproque n'est en effet pas différentiable en $y = 0$.

Proposition 1.14 Si $f : U \rightarrow V$ est un difféomorphisme, sa différentielle est en tout point de U un isomorphisme de E sur F , et la différentielle de la fonction réciproque f^{-1} est liée à celle de f par la formule :

$$d(f^{-1})(y) = (df(f^{-1}(y)))^{-1} \quad \text{pour tout } y \in V.$$

Démonstration. Pour simplifier l'écriture, notons $g = f^{-1}$. Par définition, on a

$$g \circ f = \text{Id}_U \quad \text{et} \quad f \circ g = \text{Id}_V,$$

d'où en appliquant la règle de dérivation des fonctions composées (théorème 1.5) $dg(y) \circ df(x) = \text{Id}_E$ et $df(x) \circ dg(y) = \text{Id}_F$ pour tout $x \in U$ et $y = f(x)$.

Corollaire 1.15 S'il existe un difféomorphisme d'un ouvert de E sur un ouvert de F , les deux espaces sont isomorphes. En particulier, si l'un d'eux est de dimension finie, l'autre aussi et sa dimension est la même.

Le théorème d'inversion locale fournit une sorte de réciproque de la proposition 1.14.

Théorème 1.16 Si $f : U \rightarrow V$ est de classe \mathcal{C}^1 , si $a \in U$ est tel que $df(a)$ soit un isomorphisme de E sur F , il existe un voisinage ouvert U_a de a dans U et

un voisinage ouvert V_b de $b = f(a)$ dans V tel que la restriction de f à U_a soit un difféomorphisme de U_a sur V_b .

La démonstration utilise essentiellement trois ingrédients :

- 1) le fait que l'ensemble $\text{Isom}(E; F)$ des isomorphismes de E sur F soit un ouvert et que l'application $u \in \text{Isom}(E; F) \mapsto u^{-1} \in \text{Isom}(F; E)$ soit continue,
- 2) le théorème des accroissements finis,
- 3) le théorème du point fixe de Banach-Picard.

Le point 1) a été partiellement abordé en préambule. Il est démontré en particulier dans l'exercice 1.7. Le point 2) a fait l'objet du paragraphe 1.2.3. Pour le point 3), rappelons le

Théorème 1.17 (Banach–Picard) *Si C est un fermé non vide d'un espace de Banach E et si $h : C \rightarrow C$ est contractante, c'est-à-dire qu'il existe $k \in]0, 1[$ tel que*

$$\|h(x) - h(x')\|_E \leq k \|x - x'\|_E \quad \text{quels que soient } x \text{ et } x' \in C,$$

alors il existe un unique $x \in C$ tel que $h(x) = x$.

Démonstration. L'unicité du point fixe, s'il existe, résulte immédiatement du fait que h est contractante, car si x_0 et x_1 étaient deux points fixes distincts on aurait

$$\|x_0 - x_1\|_E = \|h(x_0) - h(x_1)\|_E \leq k \|x_0 - x_1\|_E < \|x_0 - x_1\|_E,$$

d'où une contradiction. Le point fixe s'obtient comme limite de la suite des itérés $x_{n+1} = h(x_n)$ obtenue à partir d'un point quelconque x_0 de C . Cette méthode est attribuée à *Picard*. La formule de récurrence $x_{n+1} = h(x_n)$ définit en effet une suite d'éléments de C (et de terme général $x_n = h^n(x_0)$) car C est stable par h . C'est en outre une suite de Cauchy : pour tout $n \geq 1$,

$$\|x_{n+1} - x_n\|_E = \|h(x_n) - h(x_{n-1})\|_E \leq k \|x_n - x_{n-1}\|_E,$$

d'où l'on tire par une récurrence immédiate l'inégalité

$$\|x_{n+1} - x_n\|_E \leq k^n \|x_1 - x_0\|_E,$$

qui implique que la suite (x_n) est de Cauchy car la série de terme général k^n est convergente (puisque $0 < k < 1$). L'ensemble C étant complet (comme sous-ensemble fermé d'un espace complet), la suite (x_n) est donc convergente dans C . Soit alors x sa limite. Comme h est Lipschitzienne (de rapport k) elle est a fortiori continue et par conséquent, en passant à la limite dans la formule $x_{n+1} = h(x_n)$, on obtient $x = h(x)$.

Démonstration du théorème 1.16. On procède en quatre étapes :

(0) Réduction du problème. Pour simplifier les calculs, on peut sans perte de généralité se ramener au cas où

$$E = F, \quad a = b = 0 \quad \text{et} \quad df(a) = \text{Id}_E. \quad (1.9)$$

C'est possible en remplaçant l'ouvert U par l'ensemble \tilde{U} des x tels que $a + x$ appartient à U , et f par \tilde{f} définie par

$$\tilde{f}(x) = (df(a))^{-1} (f(a + x) - f(a)).$$

Si l'on démontre le résultat pour \tilde{f} , on en déduira immédiatement le résultat pour f . Désormais, on enlève les tildas et l'on se place dans le cas (1.9).

(1) Existence de la fonction réciproque locale. Considérons l'application

$$g : x \in U \mapsto g(x) := x - f(x).$$

D'après les hypothèses et (1.9), g est de classe \mathcal{C}^1 et telle que

$$g(0) = 0, \quad dg(0) = 0.$$

Donc il existe $r > 0$ tel que pour $\|x\| \leq 2r$, $x \in U$ et

$$\|dg(x)\| \leq 1/2.$$

D'après le théorème des accroissements finis appliqué à g dans la boule $B(0; 2r)$ de centre 0 et de rayon $2r$,

$$\|g(x)\| = \|g(x) - g(0)\| \leq \frac{1}{2} \|x\| < r$$

pour tout $x \in B(0; 2r)$. Ceci signifie que $g(B(0; 2r)) \subset B(0; r)$. Par continuité de g , on a aussi l'inclusion avec les boules fermées : $g(\overline{B(0; 2r)}) \subset \overline{B(0; r)}$.

Nous allons montrer que pour tout $y \in B(0; r)$, il existe un unique $x \in B(0; 2r)$ tel que $y = f(x)$. Pour cela, fixons $y \in B(0; r)$ et considérons l'application

$$h : x \in \overline{B(0; 2r)} \mapsto h(x) := y + g(x).$$

On aura $y = f(x)$ si et seulement si $h(x) = x$. C'est ici bien sûr qu'intervient le théorème du point fixe. Vérifions d'abord que la boule fermée $\overline{B(0; 2r)}$ est stable par h :

$$\text{si } x \in \overline{B(0; 2r)}, \quad \|h(x)\| \leq \|y\| + \|g(x)\| < r + r = 2r.$$

Vérifions ensuite que h est contractante :

$$\text{si } x \text{ et } x' \in B(0; 2r), \quad \|h(x) - h(x')\| = \|g(x) - g(x')\| \leq \frac{1}{2} \|x - x'\|$$

en appliquant une nouvelle fois le théorème des accroissements finis à g dans $B(0; 2r)$. Par continuité de g (et donc de h) à nouveau, l'inégalité ci-dessus est même vraie dans la boule fermée $\overline{B}(0; 2r)$. Donc le théorème 1.17 s'applique bien à h dans $\overline{B}(0; 2r)$. On observe de plus que son point fixe x appartient en fait à la boule ouverte $B(0; 2r)$: puisque $y \in B(0; r)$,

$$\|x\| = \|h(x)\| \leq \|y\| + \|g(x)\| < r + \|g(x)\| \leq 2r.$$

Par conséquent, la restriction de f à $U_0 := B(0; 2r) \cap f^{-1}(B(0; r))$, qui est un voisinage ouvert de 0, est une bijection de U_0 sur $B(0; r)$. Par abus de notation, on note simplement f^{-1} sa réciproque.

(2) La fonction f^{-1} est Lipschitzienne : Soient $y = f(x)$ et $y' = f(x') \in B(0; r)$, avec $x, x' \in B(0; 2r)$. Alors

$$\|x - x'\| = \|y + g(x) - y' - g(x')\| \leq \|y - y'\| + \frac{1}{2} \|x - x'\|,$$

d'où $\|x - x'\| \leq 2 \|y - y'\|$.

(3) La fonction f^{-1} est de classe \mathcal{C}^1 : Par continuité de df et puisque $\text{Isom}(E; E)$ est un ouvert, pour r assez petit, $df(x) \in \text{Isom}(E; E)$ pour tout $x \in B(0; 2r)$; de plus, par continuité de $u \in \text{Isom}(E; E) \mapsto u^{-1}$, l'application

$$\begin{aligned} B(0; 2r) &\rightarrow \text{Isom}(E; E) \\ x &\mapsto (df(x))^{-1} \end{aligned}$$

est continue. Comme $df(0) = \text{Id}_E$, quitte à diminuer encore r on peut supposer $\|(df(x))^{-1}\| \leq 2$ pour tout $x \in B(0; 2r)$. Cette estimation et la constante de Lipschitz obtenue au (2) permettent de montrer que le candidat $(df(x))^{-1}$ est effectivement la différentielle de f^{-1} au point $y = f(x)$, quel que soit $x \in B(0; 2r)$. On revient pour cela à la définition de la différentielle. Il faut montrer que le rapport

$$\frac{\|f^{-1}(y+k) - f^{-1}(y) - (df(x))^{-1}(k)\|}{\|k\|}$$

tend vers 0 avec k . Pour cela on écrit $x + h = f^{-1}(y+k)$ (pour $k \in B(0; r - \|y\|)$). D'où

$$\|f^{-1}(y+k) - f^{-1}(y) - (df(x))^{-1} \cdot k\| =$$

$$\begin{aligned} & \|x + h - x - (df(x))^{-1} \cdot (f(x+h) - f(x))\| \\ & \leq \| (df(x))^{-1} \| \| f(x+h) - f(x) - df(x) \cdot h \|, \end{aligned}$$

d'où encore

$$\begin{aligned} & \frac{\|f^{-1}(y+k) - f^{-1}(y) - (df(x))^{-1} \cdot k\|}{\|k\|} \leq \\ & 2 \frac{\|f(x+h) - f(x) - df(x) \cdot h\|}{\|h\|} \frac{\|h\|}{\|k\|}. \end{aligned}$$

Or d'après le (2), $\|h\|/\|k\| \leq 2$. On conclut en appliquant la définition de la différentiabilité à f .

Le théorème d'inversion locale est fondamental en analyse. Le corollaire qui suit, parfois appelé théorème d'inversion globale, caractérise complètement les difféomorphismes.

Corollaire 1.18 *Soit $f : U \rightarrow F$ une application de classe \mathcal{C}^1 avec U un ouvert non vide. C'est un difféomorphisme (de U sur $f(U)$) si et seulement si elle est injective et sa différentielle est en tout point de U un isomorphisme de E sur F .*

Démonstration. La partie directe découle de la définition et de la proposition 1.14. Réciproquement, supposons f injective et telle que $df(x) \in \text{Isom}(E; F)$ pour tout $x \in U$. Alors f est bien sûr bijective de U sur $f(U)$. De plus, le théorème d'inversion locale montre que $f(U)$ est un ouvert. En effet, pour tout $y = f(x) \in f(U)$, il existe un voisinage ouvert de y qui s'écrit $V_y = f(U_x)$, où U_x est un voisinage ouvert de x dans U , et qui est par conséquent inclus dans $f(U)$. En fait, on montre de la même façon que l'image par f de tout ouvert inclus dans U est un ouvert. (On dit alors que f est une application *ouverte*.) Par suite, l'application réciproque $f^{-1} : f(U) \rightarrow U$ est continue. De plus, l'application

$$\begin{aligned} f(U) & \rightarrow \mathcal{L}(F; E) \\ y & \mapsto (df(f^{-1}(y)))^{-1}. \end{aligned}$$

est continue comme composée d'applications continues, et l'on sait d'après l'étape (3) de la démonstration du théorème d'inversion locale que c'est (localement) la différentielle de f^{-1} . Donc f^{-1} est continûment différentiable.

En dimension finie, le résultat peut s'énoncer ainsi :

Corollaire 1.19 *Soit U un ouvert de \mathbb{R}^p et $f : U \rightarrow \mathbb{R}^p$ injective et de classe \mathcal{C}^1 . Alors f est un difféomorphisme si et seulement si le déterminant de sa matrice jacobienne (que l'on appelle simplement le jacobien de f) ne s'annule pas sur U .*

1.4 THÉORÈME DES FONCTIONS IMPLICITES

Parmi les conséquences fondamentales du théorème d'inversion locale, on trouve un résultat tout aussi important, connu sous le nom de théorème des fonctions implicites (en fait ces deux théorèmes sont équivalents, car on peut aussi déduire le premier du second). Il concerne la résolution d'équations non-linéaires de la forme :

$$f(x, y) = 0,$$

et doit son nom au fait que, sous les hypothèses que l'on va préciser, on peut en tirer y comme fonction de x : on dit alors que $f(x, y) = 0$ définit *implicitement* y , ou encore y comme *fonction implicite* de x .

Dans l'énoncé qui suit, E , F et G sont trois espaces de Banach.

Théorème 1.20 Soit U un ouvert de $E \times F$ et $f : U \rightarrow G$ une fonction de classe \mathcal{C}^1 . On suppose qu'il existe $(a, b) \in U$ tel que $f(a, b) = 0_G$ et la différentielle partielle de f par rapport à y , $d_2 f$ est telle que $d_2 f(a, b)$ soit un isomorphisme de F sur G . Alors il existe un voisinage ouvert $U_{(a,b)}$ de (a, b) dans U , un voisinage ouvert W_a de a dans E et une fonction $\varphi \in \mathcal{C}^1(W_a; F)$ telle que :

$$((x, y) \in U_{(a,b)} \text{ et } f(x, y) = 0_G) \quad \Leftrightarrow \quad y = \varphi(x).$$

Démonstration. Comme annoncé, on va appliquer le théorème d'inversion locale. Pour cela, on considère la fonction

$$g : \begin{array}{ccc} U & \rightarrow & E \times G \\ (x, y) & \mapsto & (x, f(x, y)). \end{array}$$

Elle est de classe \mathcal{C}^1 , et pour tout $(x, y) \in U$, pour tout $(h, k) \in E \times F$, on a

$$dg(x, y) \cdot (h, k) = (h, d_1 f(x, y) \cdot h + d_2 f(x, y) \cdot k),$$

où $d_1 f$ désigne la différentielle partielle de f par rapport à x . Vérifions que $dg(a, b)$ est un isomorphisme de $E \times F$ sur $E \times G$: d'après l'hypothèse sur la différentielle partielle $d_2 f$, on a pour tout $(h', k') \in E \times G$,

$$(h, k) \in E \times F \text{ et } dg(a, b) \cdot (h, k) = (h', k')$$

équivalent à

$$h = h' \text{ et } k = (d_2 f(a, b))^{-1} (k' - d_1 f(a, b) \cdot h').$$

Donc $dg(a, b)$ est bien un isomorphisme, d'inverse

$$(dg(a, b))^{-1} : \begin{array}{ccc} E \times G & \rightarrow & E \times F \\ (h', k') & \mapsto & (h', (d_2 f(a, b))^{-1} (k' - d_1 f(a, b) \cdot h')). \end{array}$$

Par conséquent, g est un difféomorphisme d'un voisinage ouvert $U_{(a,b)}$ de (a, b) sur voisinage ouvert de $(a, 0)$, que l'on peut supposer de la forme $W_a \times Z_0$ où W_a est un voisinage ouvert de a et Z_0 est un voisinage ouvert de 0_G . La réciproque de g est nécessairement de la forme

$$g^{-1}(x, z) = (x, \phi(x, z)),$$

avec ϕ de classe \mathcal{C}^1 sur $W_a \times Z_0$. Autrement dit, on a

$$((x, y) \in U_{(a,b)} \text{ et } f(x, y) = z) \Leftrightarrow ((x, z) \in W_a \times Z_0 \text{ et } y = \phi(x, z)).$$

En particulier,

$$((x, y) \in U_{(a,b)} \text{ et } f(x, y) = 0) \Leftrightarrow (x \in W_a \text{ et } y = \varphi(x)),$$

où l'on a noté $\varphi(x) = \phi(x, 0)$.

Proposition 1.21 *Sous les hypothèses du théorème 1.20, quitte à réduire W_a , on a*

$$d\varphi(x) \cdot h = -(d_2 f(x, \varphi(x)))^{-1} d_1 f(x, \varphi(x)) \cdot h$$

pour tout $x \in W_a$ et pour tout $h \in E$.

Démonstration. L'image réciproque de l'ouvert $\text{Isom}(F; G)$ par l'application continue $d_2 f$ est un ouvert et il contient (a, b) . Donc, quitte à réduire $U_{(a,b)}$ et donc aussi W_a , on peut supposer

$$d_2 f(x, \varphi(x)) \in \text{Isom}(F; G) \quad \text{pour tout } x \in W_a.$$

On obtient le résultat en différentiant la fonction $x \mapsto f(x, \varphi(x))$, identiquement nulle dans W_a .

Signalons au passage que le théorème de Banach cité en préambule (théorème 0.1) permet de simplifier la vérification des hypothèses des théorèmes d'inversion locale ou des fonctions implicites, la continuité des applications linéaires réciproques étant automatiquement satisfaite.

EXERCICES

Exercice 1.1 On munit \mathbb{R}^n du produit scalaire habituel $\langle \cdot, \cdot \rangle$ et de la norme euclidienne associée $\| \cdot \|$.

- i). Déterminer l'ensemble Ω des points de \mathbb{R}^n où l'application $N : \mathbb{R}^n \rightarrow \mathbb{R}$ définie par $N(x) = \|x\|$ est différentiable et calculer $dN(x) \cdot h$, pour $x \in \Omega$, $h \in \mathbb{R}^n$.
- ii). Montrer que l'application $e_r : \mathbb{R}^n \rightarrow \mathbb{R}^n$ définie par $e_r(x) = x/\|x\|$ est différentiable sur Ω et calculer $de_r(x) \cdot h$, pour $x \in \Omega$, $h \in \mathbb{R}^n$.
- iii). Soit $f : \mathbb{R}^n \rightarrow \mathbb{R}$ une fonction radiale, c'est-à-dire telle que $f(x) = \varphi(\|x\|)$ pour tout x . En supposant φ dérivable sur \mathbb{R}^{+*} , montrer que f est différentiable sur Ω et exprimer son gradient à l'aide de la dérivée de φ et de e_r .
- iv). Soit $u : \mathbb{R}^n \rightarrow \mathbb{R}^n$ une fonction radiale, c'est-à-dire telle que $u(x) = U(\|x\|)x/\|x\|$ pour tout x , où $U : \mathbb{R}^{+*} \rightarrow \mathbb{R}$ est supposée dérivable. Dédurre de ce qui précède que u est différentiable sur $\mathbb{R}^n \setminus \{0\}$ et calculer sa divergence.

Exercice 1.2 Montrer que la fonction $f : \mathbb{R}^2 \rightarrow \mathbb{R}$ définie par $f(0, 0) = 0$ et $f(x, y) = x^3/(x^2 + y^2)$ est différentiable dans toutes les directions mais pas différentiable en $(0, 0)$.

Exercice 1.3 Soient f et g deux fonctions de classe \mathcal{C}^1 sur \mathbb{R} et à valeurs dans \mathbb{R} . On suppose que pour tout $(x, y) \in \mathbb{R}^2$, $f'(x) \neq g'(y)$. Montrer que la fonction

$$F : \mathbb{R}^2 \rightarrow \mathbb{R}^2 \\ (x, y) \mapsto F(x, y) := (x + y, f(x) + g(y))$$

est un (\mathcal{C}^1) difféomorphisme de \mathbb{R}^2 sur son image.

Exercice 1.4 Soient φ une application continue de \mathbb{R} dans \mathbb{R} , et $f, g : \mathbb{R}^2 \rightarrow \mathbb{R}$ définies par

$$f(x, y) := \int_0^{x+y} \varphi(t) dt \quad \text{et} \quad g(x, y) := \int_0^{xy} \varphi(t) dt.$$

- i). Montrer que f et g sont de classe \mathcal{C}^1 sur \mathbb{R}^2 et calculer leurs différentielles.

ii). On définit

$$F : \mathbb{R}^2 \rightarrow \mathbb{R}^2 \\ (x, y) \mapsto F(x, y) := (f(x, y), g(x, y)).$$

- a) On note $B :=]-1, 1[\times]-1, 1[$, et pour fixer les idées, on munit \mathbb{R}^2 de la norme $\|\cdot\|_\infty$. Montrer que F est Lipschitzienne sur B .
- b) En supposant $\varphi(0) \neq 0$ et $\varphi(1) \neq 0$, montrer que F est un difféomorphisme local au point $(0, 1)$. Dire pourquoi il en est de même au point $(1, 0)$.
- c) En supposant que $\varphi(t) > 0$ pour tout $t \in \mathbb{R}$, montrer que la restriction de F à

$$D := \{(x, y); x < y\}$$

est un difféomorphisme de D sur $F(D)$.

Exercice 1.5 Soit $f : \mathbb{R} \rightarrow \mathbb{R}$ une application de classe \mathcal{C}^1 . On suppose qu'il existe $\alpha \in [0, 1[$ tel que, pour tout $x \in \mathbb{R}$, $|f'(x)| \leq \alpha$. Soit

$$F : \mathbb{R}^2 \rightarrow \mathbb{R}^2 \\ (x, y) \mapsto F(x, y) := (x + f(y), y + f(x)).$$

- i). Montrer que F est de classe \mathcal{C}^1 sur \mathbb{R}^2 .
- ii). Montrer que pour tout $(x, y) \in \mathbb{R}^2$, $dF(x, y)$ est un isomorphisme de \mathbb{R}^2 sur lui-même.
- iii). On fixe $(a, b) \in \mathbb{R}^2$. Soit $g : \mathbb{R}^2 \rightarrow \mathbb{R}^2$
- $$(x, y) \mapsto g(x, y) := (a - f(y), b - f(x)).$$
- Montrer que g est contractante sur \mathbb{R}^2 , c'est-à-dire qu'il existe $k \in [0, 1[$ tel que pour tous (x_1, y_1) et (x_2, y_2) dans \mathbb{R}^2 ,

$$\|g(x_1, y_1) - g(x_2, y_2)\| \leq k \|(x_1, y_1) - (x_2, y_2)\|.$$

- iv). Dédurre de ce qui précède que F est un (\mathcal{C}^1) -difféomorphisme de \mathbb{R}^2 sur \mathbb{R}^2 .

Exercice 1.6 Soient p une fonction de classe \mathcal{C}^1 sur $\mathbb{R}^{**} \times \mathbb{R}$, $(x_0, y_0) \in \mathbb{R}^{**} \times \mathbb{R}$, $p_0 := p(x_0, y_0)$ et $F : \mathbb{R}^{**} \times \mathbb{R} \rightarrow \mathbb{R}$ définie par

$$F(x, y) := y - y_0 + \frac{1}{2} (p(x, y) + p_0) \left(\frac{1}{x} - \frac{1}{x_0} \right).$$

- i). Montrer qu'au voisinage de (x_0, y_0) , $F(x, y) = 0$ équivaut à $y = \phi(x)$, où ϕ est une fonction de classe \mathcal{C}^1 .

ii). Exprimer ϕ' à l'aide de p et de ses dérivées partielles.

iii). On suppose ici que $p(x, y) = \alpha x y$ avec $\alpha > 0$. Montrer que

$$\frac{p(x, \phi(x)) - p_0}{x - x_0}$$

a une limite lorsque x tend vers x_0 et la calculer.

Exercice 1.7 Soient X, Y des \mathbb{R} -espaces de Banach, $E := \mathcal{L}(X; Y)$, $U = \text{Isom}(X; Y) \subset E$, et

$$\begin{aligned} f : U &\rightarrow F := \mathcal{L}(Y; X) \\ u &\mapsto u^{-1}. \end{aligned}$$

Démontrer que f est différentiable et $df(u) \cdot h = -u^{-1} \circ h \circ u^{-1}$ pour tout $(u, h) \in U \times E$.

Exercice 1.8 Soit E un espace de Banach. On notera $I_E : x \in E \mapsto x$, et $I : u \in \mathcal{L}(E) \mapsto u$. Soit $f : \mathcal{L}(E) \rightarrow \mathcal{L}(E)$

$$u \mapsto f(u) := u^3 = u \circ u \circ u.$$

i). Montrer que f est de classe \mathcal{C}^1 sur $\mathcal{L}(E)$ et calculer sa différentielle.

ii). Démontrer l'inégalité :

$$\|df(u) - 3I\|_{\mathcal{L}(\mathcal{L}(E))} \leq 6\|u - I_E\|_{\mathcal{L}(E)} + 3\|u - I_E\|_{\mathcal{L}(E)}^2 \quad \text{pour tout } u \in \mathcal{L}(E).$$

iii). Soit B la boule ouverte dans $\mathcal{L}(E)$, de centre I_E et de rayon $1/3$. Montrer que pour tout $u \in B$, $\frac{1}{3}df(u)$ est un isomorphisme de $\mathcal{L}(E)$ dans $\mathcal{L}(E)$.

iv). a) Pour $u \in B$, on pose $g(u) = f(u) - 3u$. Montrer que pour tout $(u, v) \in B \times B$,

$$\|g(u) - g(v)\| \leq \frac{7}{3}\|u - v\|.$$

b) En déduire que f est injective sur B .

v). Montrer que f est un (\mathcal{C}^1) difféomorphisme de B sur $f(B)$.

Exercice 1.9 Soit E un espace de Banach. On note $I_E : x \mapsto x$ l'application identité sur E . Soit $\Theta : \mathcal{L}(E) \rightarrow \mathcal{L}(E)$

$$u \mapsto \Theta(u) := u \circ u.$$

i). Montrer que Θ est de classe \mathcal{C}^1 sur $\mathcal{L}(E)$ et calculer sa différentielle.

ii). Montrer qu'il existe $\varepsilon > 0$ tel que, pour tout $v \in \mathcal{L}(E)$ vérifiant $\|v - I_E\| < \varepsilon$, l'équation $u \circ u = v$ possède une solution dans $\mathcal{L}(E)$.

iii). On suppose ici $E = \mathbb{R}^2$, et l'on considère les éléments u et h de $\mathcal{L}(E)$ dont les matrices dans la base canonique de \mathbb{R}^2 sont respectivement

$$U := \begin{pmatrix} -1 & 0 \\ 0 & 1 \end{pmatrix} \quad \text{et} \quad H := \begin{pmatrix} 0 & 1 \\ 0 & 0 \end{pmatrix}.$$

Calculer $d\Theta(u) \cdot h$. En déduire qu'il n'existe pas de fonction différentiable Ψ définie sur un voisinage \mathcal{W} de I_E et à valeurs dans un voisinage de u dans $\mathcal{L}(E)$, telle que $\Psi(I_E) = u$ et $\Psi(w) \circ \Psi(w) = w$ pour tout $w \in \mathcal{W}$.

Exercice 1.10 Soit E un espace de Banach. On fixe u un isomorphisme de E sur lui-même, et l'on considère

$$\begin{aligned} f : \mathcal{L}(E) &\rightarrow \mathcal{L}(E) \\ v &\mapsto f(v) := 2v - v \circ u \circ v. \end{aligned}$$

i). Montrer que f est de classe \mathcal{C}^1 et calculer sa différentielle. Que valent $f(u^{-1})$ et $df(u^{-1})$?

ii). Montrer qu'il existe $\alpha > 0$ tel que, pour tout $v \in \mathcal{L}(E)$,

$$\|v - u^{-1}\| \leq \alpha \quad \implies \quad \|df(v)\| \leq \frac{1}{2}.$$

iii). On fixe $v_0 \in \mathcal{L}(E)$ tel que $\|v_0 - u^{-1}\| \leq \alpha$, et l'on définit par récurrence $v_{p+1} = f(v_p)$ pour tout $p \in \mathbb{N}$. Montrer que pour tout $p \in \mathbb{N}$, $\|v_p - u^{-1}\| \leq \alpha$. En déduire que la suite $(v_p)_{p \in \mathbb{N}}$ converge vers u^{-1} dans $\mathcal{L}(E)$.

Exercice 1.11 Soient E et F des espaces de Banach et

$$\begin{aligned} f : F \times E &\rightarrow E \\ (\lambda, x) &\mapsto f(\lambda, x) \end{aligned}$$

une application de classe \mathcal{C}^1 . On suppose qu'il existe $k \in [0, 1[$ tel que, pour tout $(\lambda, x) \in F \times E$, $\|d_2 f(\lambda, x)\| \leq k$ (où $d_2 f$ désigne la différentielle partielle de f par rapport à x).

i). Montrer que pour tout $\lambda \in F$, il existe un unique $x = x(\lambda) \in E$ tel que $f(\lambda, x) = x$. Le but de ce qui suit est de montrer que l'application

$$\begin{aligned} \varphi : F &\rightarrow E \\ \lambda &\mapsto x(\lambda) \end{aligned}$$

est de classe \mathcal{C}^1 .

ii). Soit

$$\begin{aligned} g : F \times E &\rightarrow E \\ (\lambda, x) &\mapsto g(\lambda, x) := x - f(\lambda, x). \end{aligned}$$

Justifier que g est de classe \mathcal{C}^1 , et montrer que pour tout $(\lambda, x) \in F \times E$, $d_2g(\lambda, x)$ est un isomorphisme de E sur lui-même.

iii). On fixe $\lambda_0 \in F$, et l'on note $x_0 = \varphi(\lambda_0)$. Montrer qu'il existe un voisinage V de λ_0 dans F et $\psi : V \rightarrow E$ une application de classe \mathcal{C}^1 telle que, pour tout $\lambda \in V$, $f(\lambda, \psi(\lambda)) = \psi(\lambda)$.

iv). Dédire que φ est de classe \mathcal{C}^1 et calculer sa différentielle.

v). **Application.** Montrer que le système

$$\begin{cases} x = \frac{1}{2} \sin(x + y) + t - 1, \\ y = \frac{1}{2} \cos(x - y) - t + \frac{1}{2}, \end{cases}$$

admet, pour tout $t \in \mathbb{R}$, une unique solution $(x, y) = (x(t), y(t))$, et que l'application $t \mapsto (x(t), y(t))$ est de classe \mathcal{C}^1 sur \mathbb{R} . Montrer que $x(t) = y(t) = 0$ si et seulement si $t = 1$. Calculer $x'(1)$ et $y'(1)$.

Exercice 1.12 Soient $E = \mathcal{M}_n(\mathbb{R})$, $G = \mathcal{A}_n(\mathbb{R})$ le sous-espace des matrices antisymétriques, et $F = \mathcal{S}_n(\mathbb{R})$ le sous-espace des matrices symétriques. On rappelle que, par définition, une matrice A est antisymétrique si $A^t = -A$, et qu'une matrice S est symétrique si $S^t = S$. On notera \mathbf{I}_n la matrice identité et $\mathbf{0}_n$ la matrice nulle. On considère l'application

$$\begin{aligned} f : G \times F &\rightarrow F \\ (A, S) &\mapsto f(A, S) := (S + A)(S - A) - \mathbf{I}_n. \end{aligned}$$

- i). Montrer que f est de classe \mathcal{C}^1 et calculer $df_{(A,S)}$ pour tout $(A, S) \in G \times F$.
- ii). Montrer que la différentielle partielle de f par rapport à S , d_2f est telle que $d_2f(\mathbf{0}_n, \mathbf{I}_n)$ est un isomorphisme de F .
- iii). Dédire de ce qui précède qu'il existe un voisinage \mathcal{V} de $\mathbf{0}_n$ dans G , un voisinage \mathcal{W} de \mathbf{I}_n dans F , et une application $\varphi : \mathcal{V} \rightarrow \mathcal{W}$ de classe \mathcal{C}^1 tels que, pour tout $(A, S) \in \mathcal{V} \times \mathcal{W}$, $f(A, S) = \mathbf{0}_n$ équivaut à $S = \varphi(A)$.
- iv). Calculer $d\varphi(\mathbf{0}_n)$.
- v). Démontrer que $E = F \oplus G$: pour toute matrice M , on calculera $S \in F$ et $A \in G$ en fonction de M et M^t tels que $M = S + A$.
- vi). Dédire de ce qui précède qu'il existe un voisinage \mathcal{U} de \mathbf{I}_n dans $\mathcal{M}_n(\mathbb{R})$, et une application $\psi : \mathcal{V} \rightarrow F$ de classe \mathcal{C}^1 tels que, $\psi(\mathbf{0}_n) = \mathbf{I}_n$, $d\psi(\mathbf{0}_n) \equiv 0$, et pour

tout $M \in \mathcal{U}$, $M M^t = \mathbf{I}_n$ équivaut à

$$M = \frac{M - M^t}{2} + \psi \left(\frac{M - M^t}{2} \right).$$

Exercice 1.13 Soit E l'ensemble des fonctions $f : \mathbb{R} \rightarrow \mathbb{R}$, de classe \mathcal{C}^1 et 1-périodiques (c'est-à-dire telles que $f(x+1) = f(x)$ pour tout $x \in \mathbb{R}$).

On munit E de la norme définie par

$$\|f\|_E = \max(\|f\|_\infty, \|f'\|_\infty) \quad \text{où} \quad \|g\|_\infty := \max_{x \in [0,1]} |g(x)|,$$

qui en fait un espace de Banach. Pour tout $f \in E$ et pour tout $s \in \mathbb{R}$, on note f_s la fonction $x \mapsto f_s(x) := f(x+s)$.

Soit $g \in E$, non constante, et

$$\begin{aligned} F : E \times \mathbb{R} &\rightarrow \mathbb{R} \\ (f, s) &\mapsto F(f, s) := \int_0^1 f_s(x) g'(x) dx. \end{aligned}$$

- i). Montrer que F est de classe \mathcal{C}^1 et calculer sa différentielle $dF(f, s)$ en tout point $(f, s) \in E \times \mathbb{R}$.
- ii). Montrer que, au voisinage de $(g, 0)$, l'égalité $F(f, s) = 0$ équivaut à $s = \sigma(f)$, où σ est une fonction de classe \mathcal{C}^1 .

Exercice 1.14 Soit $f \in \mathcal{C}^1(U; \mathbb{R})$, où U est un ouvert de \mathbb{R}^n , telle que df ne s'annule pas. Montrer que ses *ensembles de niveau* $\mathcal{F}_a := \{y \in U; f(y) = a\}$ sont des *hypersurfaces*, c'est-à-dire que pour tout $a \in \mathbb{R}$, pour tout $x \in U$ il existe un voisinage \mathcal{V}_x de x , un ouvert \mathcal{O} de \mathbb{R}^{n-1} et $\Phi \in \mathcal{C}^1(\mathcal{V}_x; \mathbb{R}^n)$ tels que $\mathcal{F}_a \cap \mathcal{V}_x = \{y = \Phi(\xi); \xi \in \mathcal{O}\}$.

SOLUTION DES EXERCICES
Exercice 1.1

- i). On remarque que N est la fonction composée de la fonction quadratique $q : x \mapsto \langle x, x \rangle$, différentiable sur \mathbb{R}^n et de la fonction $r : t \mapsto \sqrt{t}$, dérivable sur l'ouvert $\Omega = \mathbb{R}^{+*}$. Donc d'après le théorème 1.5, $N = r \circ q$ est différentiable sur $\mathbb{R}^n \setminus \{0\}$ et

$$dN(x) \cdot h = r'(q(x)) dq(x) \cdot h = \frac{\langle x, h \rangle}{\|x\|}.$$

- ii). L'application e_r est différentiable sur Ω comme quotient de l'application identité I de \mathbb{R}^n et de N . Sa différentielle est donnée par

$$de_r(x) \cdot h = \frac{dI(x) \cdot h}{\|x\|} - \frac{dN(x) \cdot h}{\|x\|^2} x = \frac{h}{\|x\|} - \frac{\langle x, h \rangle x}{\|x\|^3}.$$

(Notons que $\langle de_r(x) \cdot h, e_r(x) \rangle = 0$, ce qui est dû au fait que $\|e_r(x)\|$ est constante.)

- iii). Comme $f = \varphi \circ N$, elle est différentiable sur Ω et

$$df(x) \cdot h = \varphi'(\|x\|) dN(x) \cdot h = \varphi'(\|x\|) \frac{\langle x, h \rangle}{\|x\|} = \langle \varphi'(\|x\|) e_r(x), h \rangle$$

par bilinéarité du produit scalaire. Autrement dit, $\nabla f(x) = \varphi'(\|x\|) e_r(x)$.

- iv). On a $u = (U \circ N) \times e_r$, donc elle est différentiable sur Ω et d'après ce qui précède

$$\begin{aligned} du(x) \cdot h &= \langle U'(\|x\|) e_r(x), h \rangle e_r(x) + U(\|x\|) de_r(x) \cdot h = \\ &= \langle U'(\|x\|) e_r(x), h \rangle e_r(x) + \frac{U(\|x\|)}{\|x\|} \left(h - \langle e_r(x), h \rangle e_r(x) \right). \end{aligned}$$

Autrement dit, la matrice jacobienne de u est

$$Du(x) = \frac{U(\|x\|)}{\|x\|} \mathbf{I}_n + \left(U'(\|x\|) - \frac{U(\|x\|)}{\|x\|} \right) e_r(x) e_r(x)^t.$$

Par suite, la matrice \mathbf{I}_n étant de trace n et $e_r(x) e_r(x)^t$ (de rang 1) étant de trace 1,

$$(\operatorname{div} u)(x) = \operatorname{tr}(Du(x)) = U'(\|x\|) + \frac{n-1}{\|x\|} U(\|x\|).$$

Cette formule (divergence d'un champ de vecteurs à symétrie sphérique) est couramment utilisée en physique sous la forme

$$\operatorname{div} u = U'(r) + \frac{n-1}{r} U(r).$$

Exercice 1.2 En tant que fonction rationnelle dont le seul pôle est $(0, 0)$, la fonction f est de classe \mathcal{C}^∞ en dehors de $(0, 0)$. Comme de plus $|f(x, y)| \leq |x|$, elle est continue en $(0, 0)$. Elle est en outre homogène de degré 1, c'est-à-dire que pour tout $t \in \mathbb{R}$, $f(tx, ty) = tf(x, y)$. Cela implique qu'elle est dérivable dans la direction (x, y) , de dérivée $f(x, y)$, qui n'est pas une fonction linéaire de (x, y) . Donc f n'est pas différentiable en $(0, 0)$.

Exercice 1.3 La fonction F est de classe \mathcal{C}^1 car ses composantes le sont (la première est linéaire sur \mathbb{R}^2 et la deuxième est la somme de $(x, y) \mapsto f(x)$ et $(x, y) \mapsto g(y)$, composées respectivement de $(x, y) \mapsto x$ et f , et de $(x, y) \mapsto y$ et g). Pour tous $(x, y) \in \mathbb{R}^2$ et $(h, k) \in \mathbb{R}^2$,

$$dF(x, y) \cdot (h, k) = (h + k, f'(x)h + g'(y)k).$$

On vérifie que $dF(x, y)$ est injective car $dF(x, y) \cdot (h, k) = 0$ équivaut à $h + k = 0$ et $f'(x)h + g'(y)k = 0$; comme par hypothèse $f'(x) \neq g'(y)$, ceci implique $h = k = 0$. Donc $dF(x, y)$ est un isomorphisme de \mathbb{R}^2 . En outre, F elle-même est injective car si $F(x_1, y_1) = F(x_2, y_2)$, on a $x_1 - x_2 = y_2 - y_1$ et $f(x_1) - f(x_2) = g(y_2) - g(y_1)$. Or d'après la formule des accroissements finis, il existe x et y tels que

$$f(x_1) - f(x_2) = f'(x)(x_1 - x_2), \quad g(y_2) - g(y_1) = g'(y)(y_2 - y_1).$$

Comme par hypothèse $f'(x) \neq g'(y)$, on en déduit $x_1 = x_2$ et $y_1 = y_2$. Donc d'après le théorème d'inversion globale (corollaire 1.18), F est un difféomorphisme de \mathbb{R}^2 sur son image.

Exercice 1.4

i). La fonction f , resp. g , est de classe \mathcal{C}^1 comme composée de l'application linéaire $(x, y) \mapsto x + y$, resp. l'application bilinéaire $(x, y) \mapsto xy$, avec $t \mapsto \int_0^t \varphi(\theta) d\theta$, dont la dérivée φ est continue par hypothèse. Leurs différentielles s'obtiennent par la formule (1.4) :

$$df(x, y) \cdot (h, k) = \varphi(x + y)(h + k), \quad dg(x, y) \cdot (h, k) = \varphi(xy)(xk + yh)$$

quels que soient $(x, y) \in \mathbb{R}^2$ et $(h, k) \in \mathbb{R}^2$.

- ii). a) Comme φ est continue sur \mathbb{R} , elle est bornée sur $[-2, 2]$. Soit $M = \max_{[-2, 2]} |\varphi|$. Pour tout $(x, y) \in B$, $x + y \in [-2, 2]$ et $xy \in [-2, 2]$, on a

$$|df(x, y) \cdot (h, k)| \leq M \|(h, k)\|_1, \quad |dg(x, y) \cdot (h, k)| \leq M \|(h, k)\|_1.$$

Donc d'après le théorème des accroissements finis (théorème 1.9), les composantes f et g de F , et donc également F , sont Lipschitziennes de rapport M dans B .

- b) D'après la première question,

$$dF(0, 1) \cdot (h, k) = (\varphi(1)(h + k), \varphi(0)h).$$

Si $dF(0, 1) \cdot (h, k) = 0$ alors $h = 0$ puisque $\varphi(0) \neq 0$, et par suite $k = 0$ puisque $\varphi(1) \neq 0$. Donc $dF(0, 1)$ est un isomorphisme de \mathbb{R}^2 , et d'après le théorème 1.16, F est un difféomorphisme local au point $(0, 1)$. Comme $F(x, y)$ est symétrique en (x, y) , il en est de même pour F au point $(1, 0)$.

- c) Il suffit de vérifier que F est injective sur D . Notons que si $\varphi(t) > 0$ pour tout $t \in \mathbb{R}$, sa primitive $t \mapsto \int_0^t \varphi(\theta) d\theta$ est strictement croissante. Par conséquent, si $F(x_1, y_1) = F(x_2, y_2)$, nécessairement $x_1 + y_1 = x_2 + y_2$ et $x_1 y_1 = x_2 y_2$. Autrement dit, (x_1, y_1) et (x_2, y_2) sont deux couples de racines de $X^2 - sX + p$, avec $s := x_1 + y_1 = x_2 + y_2$ et $p := x_1 y_1 = x_2 y_2$. Un polynôme du second degré ayant au plus deux racines, on a donc $(x_1, y_1) = (x_2, y_2)$ ou $(x_1, y_1) = (y_2, x_2)$. Si en outre (x_1, y_1) et (x_2, y_2) appartiennent à D , la deuxième possibilité est exclue.

Exercice 1.5

- i). La fonction F est de classe \mathcal{C}^1 sur \mathbb{R}^2 car ses composantes le sont (mêmes raisons que dans l'exercice 1.3).
- ii). Pour tous $(x, y) \in \mathbb{R}^2$ et $(h, k) \in \mathbb{R}^2$,

$$dF(x, y) \cdot (h, k) = (h + f'(y)k, k + f'(x)h).$$

Si $dF(x, y) \cdot (h, k) = 0$, alors $(1 - f'(x)f'(y))h = (1 - f'(x)f'(y))k = 0$. Comme par hypothèse $|f'(x)f'(y)| \leq \alpha^2 < 1$, on a $f'(x)f'(y) \neq 1$ et donc $h = k = 0$. Ceci montre que $dF(x, y)$ est injective. C'est par conséquent un isomorphisme de \mathbb{R}^2 .

- iii). D'après le théorème des accroissements finis, f est Lipschitzienne de rapport α . Donc par définition de g on a pour tous (x_1, y_1) et (x_2, y_2) dans \mathbb{R}^2 ,

$$\|g(x_1, y_1) - g(x_2, y_2)\|_\infty \leq \alpha \|(x_1, y_1) - (x_2, y_2)\|_\infty.$$

iv). D'après le théorème de Banach-Picard (théorème 1.17), l'application g a un point fixe unique. Autrement dit, quel que soit $(a, b) \in \mathbb{R}^2$ il existe un unique couple $(x, y) \in \mathbb{R}^2$ tel que

$$(x + f(y), y + f(x)) = (a, b).$$

Cela montre précisément que F est une bijection de \mathbb{R}^2 sur \mathbb{R}^2 . Comme (d'après la seconde question) c'est un difféomorphisme local en tout point, F est un difféomorphisme global.

Exercice 1.6

i). Le théorème des fonctions implicites s'applique car F est de classe \mathcal{C}^1 et $\frac{\partial F}{\partial y}(x_0, y_0) = 1 \neq 0$. (Si x représente la densité d'un gaz, y son énergie interne par unité de volume et p sa pression, l'ensemble des zéros de F fait partie de ce que l'on appelle l'ensemble de Hugoniot à l'état de référence (x_0, y_0) .)

ii). Le calcul montre que

$$\phi'(x) + \frac{1}{2} \left(\frac{\partial p}{\partial x}(x, \phi(x)) + \phi'(x) \frac{\partial p}{\partial y}(x, \phi(x)) \right) \left(\frac{1}{x} - \frac{1}{x_0} \right) - \frac{1}{2x^2} (p(x, \phi(x)) + p_0)$$

est identiquement nul, d'où en particulier $\phi'(x_0) = p_0/x_0^2$.

iii). On reconnaît le taux d'accroissement de la fonction $x \mapsto p(x, \phi(x))$ entre les points x_0 et x . Par suite

$$\lim_{x \rightarrow x_0} \frac{p(x, \phi(x)) - p_0}{x - x_0} = \frac{d}{dx} p(x, \phi(x))|_{x=x_0} = \frac{\partial p}{\partial x}(x_0, y_0) + \phi'(x_0) \frac{\partial p}{\partial y}(x_0, y_0).$$

Pour $p(x, y) = \alpha x y$, ceci donne

$$\lim_{x \rightarrow x_0} \frac{p(x, \phi(x)) - p_0}{x - x_0} = (1 + \alpha) \frac{p_0}{x_0}.$$

(Cela représente le carré de la vitesse du son dans un gaz parfait de coefficient adiabatique $\gamma = 1 + \alpha$.)

Exercice 1.7 Connaissant le « candidat » pour la différentielle de f , à savoir que

$$df(u) \cdot h = -u^{-1} \circ h \circ u^{-1},$$

il reste à vérifier que c'est effectivement la différentielle de f en revenant à la définition. On a besoin pour cela de savoir que $f : u \mapsto u^{-1}$ est localement bornée. Or, si

$u \in \text{Isom}(X; Y)$, et $h \in \mathcal{L}(X; Y)$ est de norme strictement inférieure à $\|u^{-1}\|^{-1}$, $u + h \in \text{Isom}(X; Y)$ et son inverse est donné par

$$(u + h)^{-1} = (\text{Id}_X + u^{-1} \circ h)^{-1} \circ u^{-1} = \sum_{n=0}^{+\infty} (-u^{-1} \circ h)^n \circ u^{-1}.$$

Donc

$$\|(u + h)^{-1} - u^{-1}\| = \left\| \sum_{n=1}^{+\infty} (-u^{-1} \circ h)^n \circ u^{-1} \right\| \leq \frac{\|u^{-1}\|^{-1} \|h\|}{1 - \|u^{-1}\|^{-1} \|h\|},$$

ce qui tend vers zéro lorsque $\|h\|$ tend vers zéro. Ceci montre que f est continue, et en particulier localement bornée. Maintenant on observe que pour $u \in \text{Isom}(X; Y)$ et $\|h\| \leq R < \|u^{-1}\|^{-1}$,

$$(u + h)^{-1} - u^{-1} + u^{-1} \circ h \circ u^{-1} = (u^{-1} \circ h)^2 \circ (u + h)^{-1},$$

donc

$$\|(u + h)^{-1} - u^{-1} + u^{-1} \circ h \circ u^{-1}\| \leq C_R \|u^{-1}\|^2 \|h\|^2,$$

où C_R désigne un majorant de $\|(u + h)^{-1}\|$ pour $\|h\| \leq R$. Par conséquent,

$$\lim_{h \rightarrow 0} \frac{1}{\|h\|} \|(u + h)^{-1} - u^{-1} + u^{-1} \circ h \circ u^{-1}\| = 0.$$

Exercice 1.8

- i). L'application f est de classe \mathcal{C}^1 comme composée de l'application linéaire $u \mapsto (u, u, u)$ et de l'application trilinéaire $(u, v, w) \mapsto u \circ v \circ w$. Quels que soient $u \in \mathcal{L}(E)$ et $h \in \mathcal{L}(E)$,

$$df(u) \cdot h = u \circ u \circ h + u \circ h \circ u + h \circ u \circ u.$$

- ii). Soient $u \in \mathcal{L}(E)$ et $h \in \mathcal{L}(E)$. Pour alléger les écritures, on introduit $v := u - I_E$. On a

$$\begin{aligned} df(u) \cdot h - 3h &= (v + I_E)^2 \circ h + (v + I_E) \circ h \circ (v + I_E) + h \circ (v + I_E)^2 - 3h = \\ &= v^2 \circ h + h \circ v^2 + v \circ h \circ v + 3v \circ h + 3h \circ v \end{aligned}$$

après développement (en prenant garde au fait que les produits de composition ne commutent pas) et simplification. En utilisant le fait que $\|u \circ w\| \leq \|u\| \|w\|$, on en déduit

$$\|df(u) \cdot h - 3h\| \leq (3 \|v\|^2 + 6 \|v\|) \|h\|,$$

ce qui donne la majoration demandée.

iii). D'après la question précédente,

$$\|\frac{1}{3}df(u) - I\|_{\mathcal{L}(\mathcal{L}(E))} \leq 2\|u - I_E\|_{\mathcal{L}(E)} + \|u - I_E\|_{\mathcal{L}(E)}^2 < 1$$

si $\|u - I_E\| < 1/3$. Comme la boule ouverte de centre I et rayon 1 est incluse dans l'ensemble des isomorphismes de $\mathcal{L}(E)$ (cela est vrai dans toute *algèbre de Banach* ; il suffit de noter que pour $\|A\| < 1$, la série de terme général A^n converge, et l'on a alors $(A - I)^{-1} = -\sum_{n=0}^{+\infty} A^n$; c'est l'argument que l'on a déjà utilisé dans l'exercice 1.7), on en déduit que $\frac{1}{3}df(u)$, et donc aussi $df(u)$ est un isomorphisme de $\mathcal{L}(E)$.

a) On a $dg(u) = df(u) - 3I$, donc d'après la seconde question,

$$\|dg(u) - I\|_{\mathcal{L}(\mathcal{L}(E))} \leq 6 \times \frac{1}{3} + 3 \times \frac{1}{3^2} = \frac{7}{3}$$

pour $u \in B$. On en déduit la majoration demandée par le théorème des accroissements finis (théorème 1.9).

b) Si $f(u) = f(v)$ alors $g(u) - g(v) = 3(v - u)$ donc $3\|u - v\| \leq \frac{7}{3}\|u - v\|$: comme $3 > \frac{7}{3}$, cela implique $u = v$.

iv). Le théorème d'inversion globale (corollaire 1.18) s'applique à f dans B d'après ce qui précède.

Exercice 1.9

i). L'application Θ est de classe \mathcal{C}^1 sur $\mathcal{L}(E)$ comme composée de $u \mapsto (u, u)$ (dont les composantes sont $I_{\mathcal{L}(E)}$, de classe \mathcal{C}^∞ et *a fortiori* \mathcal{C}^1) et de $(u, v) \mapsto u \circ v$ (bilinéaire continue sur $\mathcal{L}(E)$). D'après la formule de différentiation des fonctions composées,

$$d\Theta(u) \cdot h = u \circ h + h \circ u$$

pour tout $u \in \mathcal{L}(E)$ et pour tout $h \in \mathcal{L}(E)$.

ii). D'après la formule ci-dessus, $d\Theta(I_E) \cdot h = 2h$, c'est-à-dire que $d\Theta(I_E) = I_{\mathcal{L}(E)}$. Donc d'après le théorème d'inversion locale, Θ est un difféomorphisme local en I_E : il existe un voisinage \mathcal{U} de I_E et un voisinage \mathcal{V} de $I_E = \Theta(I_E)$ tels que, pour tout $v \in \mathcal{V}$, il existe un unique $u \in \mathcal{U}$ pour lequel $v = \Theta(u)$. En prenant $\varepsilon > 0$ tel que la boule de centre I_E et de rayon ε soit incluse dans \mathcal{V} , on en déduit que pour tout $v \in \mathcal{L}(E)$ vérifiant $\|v - I_E\| < \varepsilon$, l'équation $u \circ u = v$ possède au moins une solution dans $\mathcal{L}(E)$ (et en fait une seule dans \mathcal{U}).

iii). Les matrices

$$U := \begin{pmatrix} -1 & 0 \\ 0 & 1 \end{pmatrix} \quad \text{et} \quad H := \begin{pmatrix} 0 & 1 \\ 0 & 0 \end{pmatrix}$$

sont telles que $UH + HU = 0$. Par conséquent, d'après la formule donnant la différentielle de Θ , $d\Theta(u) \cdot h = 0$. S'il existait une fonction différentiable Ψ définie sur un voisinage \mathcal{W} de I_E et à valeurs dans un voisinage de u dans $\mathcal{L}(E)$, telle que $\Psi(I_E) = u$ et $\Theta(\Psi(w)) = w$ pour tout $w \in \mathcal{W}$, on aurait par différentiation de la fonction $w \mapsto \Theta(\Psi(w)) - w$,

$$d\Theta(u)(d\Psi(I_E) \cdot k) = k$$

quel que soit $k \in \mathcal{L}(E)$. Donc $d\Psi(I_E)$ serait injective (la relation ci-dessus montrant que $d\Psi(I_E) \cdot k = 0 \Rightarrow k = 0$) et par conséquent aussi surjective, puisque $\mathcal{L}(E)$ est de dimension finie dans cette question : on choisissant k tel que $d\Psi(I_E) \cdot k = h$ on en déduirait (grâce à l'égalité $d\Theta(u) \cdot h = 0$) que $k = 0$, et donc $h = 0$, ce qui est évidemment faux.

Exercice 1.10

- i). L'application f est de classe \mathcal{C}^1 comme différence de $2\text{Id}_{\mathcal{L}(E)}$ et de l'application quadratique $v \mapsto v \circ u \circ v$. Quels que soient $v \in \mathcal{L}(E)$ et $h \in \mathcal{L}(E)$,

$$df(v) \cdot h = 2h - v \circ u \circ h - h \circ u \circ v.$$

Par définition, $f(u^{-1}) = u^{-1}$, et d'après la formule ci-dessus, $df(u^{-1}) \equiv 0$.

- ii). Puisque $df(u^{-1}) \equiv 0$ et df est continue, il existe une boule fermée B centrée en u^{-1} telle que $\|df(v)\| \leq \frac{1}{2}$ pour tout $v \in B$.
- iii). La boule B est stable par f car $f(u^{-1}) = u^{-1}$ et d'après le théorème des accroissements finis,

$$\|f(v) - f(u^{-1})\| \leq \frac{1}{2} \|v - u^{-1}\|$$

pour tout $v \in B$. La série de terme général 2^{-p} étant convergente, on en déduit par le critère de Cauchy que, si $v_0 \in B$, la suite des itérés $(v_p)_{p \in \mathbb{N}}$ converge vers u^{-1} dans $\mathcal{L}(E)$.

Exercice 1.11

- i). À λ fixé, le théorème de Banach-Picard (théorème 1.17) s'applique à la fonction $x \mapsto f(\lambda, x)$ d'après l'hypothèse $\|d_2 f(\lambda, x)\| \leq k < 1$ et le théorème des accroissements finis (théorème 1.9).
- ii). L'application g est de classe \mathcal{C}^1 comme différence de l'application linéaire $(\lambda, x) \mapsto x$ et de f . Pour tout $(\lambda, x) \in F \times E$, $d_2 g(\lambda, x) = \text{Id}_E - d_2 f(\lambda, x)$. Comme $\|d_2 f(\lambda, x)\| < 1$, on en déduit que $d_2 g(\lambda, x)$ est un isomorphisme de E (selon l'argument utilisé dans l'exercice 1.8).

- iii). On applique le théorème des fonctions implicites (théorème 1.20) à g .
 iv). Au voisinage de (λ_0, x_0) , φ coïncide avec la fonction ψ de la question précédente. Elle est donc de classe \mathcal{C}^1 , et l'on a, pour tout $(\mu, h) \in F \times E$,

$$d\varphi(\lambda) \cdot \mu = d_2g(\lambda, x)^{-1}(d_1f(\lambda, x) \cdot \mu).$$

- v). Le résultat ci-dessus s'applique à $F = \mathbb{R}$, $E = \mathbb{R}^2$ et

$$\begin{aligned} f : F \times E &\rightarrow E \\ (t, x, y) &\mapsto f(t, x, y) = \left(\frac{1}{2} \sin(x+y) + t - 1, \frac{1}{2} \cos(x-y) - t + \frac{1}{2}\right). \end{aligned}$$

En effet, f est une fonction de classe \mathcal{C}^1 (et même analytique), de matrice jacobienne

$$Df(x, y) = \begin{pmatrix} \frac{1}{2} \cos(x+y) & \frac{1}{2} \cos(x+y) \\ -\frac{1}{2} \sin(x-y) & \frac{1}{2} \sin(x-y) \end{pmatrix},$$

et l'on a $\|Df(x, y)\|_2 = \sqrt{\varrho(A)}$ avec

$$A = Df(x, y)^t Df(x, y) = \begin{pmatrix} \frac{1}{2} \cos^2(x+y) & 0 \\ 0 & \frac{1}{2} \sin^2(x-y) \end{pmatrix},$$

d'où $\|Df(x, y)\|_2 \leq 1/\sqrt{2} < 1$. On a clairement $f(t, 0, 0) = (0, 0)$ si seulement si $t = 1$. Donc $(x(1), y(1)) = (0, 0)$, et l'on a par dérivation de f ,

$$x'(1) = \frac{1}{2}(x'(1) + y'(1)) + 1, \quad y'(1) = -1,$$

d'où $x'(1) = 1$.

Exercice 1.12

- i). L'application f est de classe \mathcal{C}^1 comme composée de $(A, S) \mapsto (S + A, S - A)$ (linéaire continue) et de $(M, N) \mapsto MN - \mathbf{I}_n$ (somme d'une application bilinéaire continue et d'une application constante). D'après la formule de différentiation des fonctions composées,

$$df_{(A,S)}(H, K) = (K + H)(S - A) + (S + A)(K - H)$$

pour tout $(A, S) \in G \times F$ et pour tout $(H, K) \in G \times F$.

- ii). D'après la formule ci-dessus, la différentielle partielle de f par rapport à S , est donnée par

$$d_2f(\mathbf{0}_n, \mathbf{I}_n) \cdot K = 2K$$

quel que soit K , c'est-à-dire que $d_2f(\mathbf{0}_n, \mathbf{I}_n) = 2I_F$: c'est donc clairement un isomorphisme de F .

- iii). Puisque f est de classe \mathcal{C}^1 , $f(\mathbf{0}_n, \mathbf{I}_n) = \mathbf{0}_n$, et $d_2 f(\mathbf{0}_n, \mathbf{I}_n)$ est un isomorphisme, d'après le théorème des fonctions implicites, il existe un voisinage \mathcal{V} de $\mathbf{0}_n$ dans G , un voisinage \mathcal{W} de \mathbf{I}_n dans F , et une application $\varphi : \mathcal{V} \rightarrow \mathcal{W}$ de classe \mathcal{C}^1 tels que, pour tout $(A, S) \in \mathcal{V} \times \mathcal{W}$, $f(A, S) = \mathbf{0}_n$ équivaut à $S = \varphi(A)$.
- iv). D'après les formules des questions 1 et 2, on voit que $d\varphi(\mathbf{0}_n) \cdot H = \mathbf{0}_n$ quel que soit $H \in G$.
- v). Quel que soit $M \in E$,

$$M = \frac{M - M^t}{2} + \frac{M + M^t}{2},$$

ce qui montre que $E = F + G$. Et on a clairement $F \cap G = \{\mathbf{0}_n\}$. Donc $E = F \oplus G$.

- vi). Soit $\mathcal{U} = \{M = S + A; A \in \mathcal{V}, S \in \mathcal{W}\}$. C'est un voisinage de \mathbf{I}_n dans E et pour tout $M \in \mathcal{U}$, $M M^t = \mathbf{I}_n$ équivaut à

$$f\left(\frac{M - M^t}{2}, \frac{M + M^t}{2}\right) = \mathbf{I}_n$$

avec $\frac{M - M^t}{2} \in \mathcal{V}$ et $\frac{M + M^t}{2} \in \mathcal{W}$. D'après la question 3, $M M^t = \mathbf{I}_n$ équivaut donc à

$$M = \frac{M - M^t}{2} + \varphi\left(\frac{M - M^t}{2}\right).$$

Exercice 1.13

- i). On considère d'abord l'application

$$\begin{aligned} T : E \times \mathbb{R} &\rightarrow E_0 \\ (f, s) &\mapsto f_s, \end{aligned}$$

où E_0 désigne l'espace des applications continues 1-périodiques muni de la norme $\|\cdot\|_\infty$. Elle est de classe \mathcal{C}^1 car elle est continûment différentiable par rapport à f (les applications partielles $f \mapsto f_s$ étant linéaires continues, de norme 1) et continûment dérivable par rapport à s , de dérivée f'_s au point (f, s) . Puis on observe que l'application

$$\begin{aligned} I : E_0 &\rightarrow \mathbb{R} \\ f &\mapsto \int_0^1 f(x) g'(x) dx, \end{aligned}$$

est linéaire continue (de norme au plus égale à $\int_0^1 |g'(x)| dx$), donc de classe \mathcal{C}^1 . On en déduit que $F = I \circ T$ est classe \mathcal{C}^1 . Sa différentielle est donnée par

$$dF(f, s) \cdot (h, k) = I(dT(f, s) \cdot (h, k)) = \int_0^1 (h_s(x) + k f'_s(x)) g'(x) dx.$$

En particulier

$$dF(g, 0) \cdot (h, k) = \int_0^1 (h(x) + k g'(x)) g'(x) dx .$$

ii). On a $F(g, 0) = \int_0^1 g(x) g'(x) dx = \frac{1}{2}(g(1)^2 - g(0)^2)$ car g est 1-périodique, et d'après la question précédente,

$$\frac{\partial F}{\partial s}(g, 0) = \int_0^1 g'(x)^2 dx > 0$$

puisque g est non constante (et $(g')^2$ n'est donc pas identiquement nulle). Donc le théorème des fonctions implicites s'applique : $T(f, s) = 0$ équivaut au voisinage de $(g, 0)$ à $s = \sigma(f)$, où

$$d\sigma(f) \cdot h = - \frac{\int_0^1 h(x)g'(x)dx}{\int_0^1 g'(x)^2 dx} .$$

Exercice 1.14 C'est une application du théorème des fonctions implicites, prétexte à l'introduction des notions d'ensembles de niveau (généralisant les lignes de niveau bien connues des géographes) et d'hypersurfaces (généralisant les surfaces). Soient $e_n \in \mathbb{R}^n$ tel que $df(x) \cdot e_n = 1$, et (e_1, \dots, e_{n-1}) une base de l'hyperplan $dF(x)^\perp$. Alors (e_1, \dots, e_n) est une base de \mathbb{R}^n . Considérons alors $F : (\xi_1, \dots, \xi_n) \mapsto f(x + \sum_{i=1}^n \xi_i e_i) \in \mathbb{R}$. On a $\partial_n F(0, \dots, 0) = df(x) \cdot e_n = 1$. Donc d'après le théorème des fonctions implicites, il existe un voisinage \mathcal{O} de zéro dans \mathbb{R}^{n-1} , un intervalle I contenant 0, et $\varphi \in \mathcal{C}^1(\mathcal{O}; I)$ tels que pour $(\xi_1, \dots, \xi_n) \in \mathcal{O} \times I$, $f(x + \sum_{i=1}^n \xi_i e_i) = a$ équivaut à $\xi_n = \varphi(\xi_1, \dots, \xi_{n-1})$. Il suffit alors de définir Φ par $\Phi(\xi_1, \dots, \xi_{n-1}) = x + \sum_{i=1}^{n-1} \xi_i e_i + \varphi(\xi_1, \dots, \xi_{n-1})e_n$ et $\mathcal{V}_x = \{x + \sum_{i=1}^{n-1} \xi_i e_i ; (\xi_1, \dots, \xi_n) \in \mathcal{O} \times I\}$.

Chapitre 2

Différentielles d'ordre supérieur

2.1 DIFFÉRENTIELLE SECONDE

Définition 2.1 Une fonction f définie sur un ouvert (non vide) U d'un \mathbb{R} -espace de Banach E et à valeurs dans un \mathbb{R} -espace de Banach F est dite deux fois différentiable en $x \in U$ si elle est différentiable dans un voisinage ouvert U_x de x et si sa différentielle $df : U_x \rightarrow \mathcal{L}(E; F)$ est différentiable en x . On dit que f est deux fois différentiable dans U si elle est deux fois différentiable en tout point de U .

Par définition, la différentielle de df en x , $d(df)(x)$ est une application linéaire continue de E dans $\mathcal{L}(E; F)$. Elle s'identifie naturellement avec une application bilinéaire continue sur $E \times E$, en vertu de la

Proposition 2.2 Soient E , F et G des espaces de Banach. Alors les espaces $\mathcal{L}(E; \mathcal{L}(F; G))$ et $\mathcal{L}(E, F; G)$ munis des normes usuelles :

$$\|\ell\|_{\mathcal{L}(E; \mathcal{L}(F; G))} = \sup\{\|\ell(h)\|_{\mathcal{L}(F; G)}, \|h\|_E \leq 1\},$$

$$\|\phi\|_{\mathcal{L}(E, F; G)} = \sup\{\|\phi(h, k)\|_G; \|h\|_E \leq 1, \|k\|_F \leq 1\}$$

sont isométriques.

Démonstration. L'isométrie « naturelle » est définie comme suit. À $\phi \in \mathcal{L}(E, F; G)$, on associe ℓ définie par

$$\ell(h) : k \mapsto \phi(h, k).$$

Pour tout $h \in E$, on a $\ell(h) \in \mathcal{L}(F; G)$ avec

$$\|\ell(h)\|_{\mathcal{L}(F;G)} = \sup_{k \in F \setminus \{0\}} \frac{\|\phi(h, k)\|_G}{\|k\|_F} \leq \|\phi\|_{\mathcal{L}(E, F; G)} \|h\|_E,$$

et de plus $\ell \in \mathcal{L}(E; \mathcal{L}(F; G))$ avec

$$\|\ell\|_{\mathcal{L}(E; \mathcal{L}(F; G))} = \sup_{h \in E \setminus \{0\}} \sup_{k \in F \setminus \{0\}} \frac{\|\phi(h, k)\|_G}{\|h\|_E \|k\|_F} = \|\phi\|_{\mathcal{L}(E, F; G)}.$$

Inversement, à $\ell \in \mathcal{L}(E; \mathcal{L}(F; G))$ on associe

$$\phi : (h, k) \mapsto \ell(h)(k).$$

C'est une application bilinéaire continue, de norme égale à celle de ℓ . On obtient bien ainsi une bijection linéaire et préservant la norme (donc bicontinue) de $\mathcal{L}(E, F; G)$ sur $\mathcal{L}(E; \mathcal{L}(F; G))$

Définition 2.3 La différentielle seconde d'une fonction $f : U \subset E \rightarrow F$ deux fois différentiable est l'application

$$\begin{aligned} d^2 f &: U \rightarrow \mathcal{L}(E, E; F) \\ x &\mapsto d^2 f(x) \end{aligned}$$

définie par $d^2 f(x) \cdot (h, k) = d(df)(x) \cdot h \cdot k$ pour tout $(h, k) \in E \times E$.

On peut interpréter cette définition de la façon suivante, qu'on utilise en pratique pour calculer $d^2 f$. Si f est deux fois différentiable sur U , alors quel que soit $k \in E$, l'application

$$\begin{aligned} g &: U \rightarrow F \\ x &\mapsto df(x) \cdot k \end{aligned}$$

est différentiable et

$$dg(x) \cdot h = d^2 f(x) \cdot (h, k).$$

En effet, g est la composée de df et de l'application linéaire continue

$$\begin{aligned} \mathcal{L}(E; F) &\rightarrow F \\ \ell &\mapsto \ell(k). \end{aligned}$$

Une autre interprétation utilise ce que l'on a vu sur la différentielle (première). Comme

$$d(df)(x) \cdot h = \left. \frac{d(df(x + th))}{dt} \right|_{t=0} \quad \text{et} \quad df(x + th) \cdot k = \left. \frac{df(x + th + sk)}{ds} \right|_{s=0},$$

on a

$$d^2 f(x) \cdot (h, k) = \left. \frac{d}{dt} \frac{d}{ds} f(x + th + sk) \right|_{s=0} \Big|_{t=0}.$$

Théorème 2.4 (Schwarz) Si $f : U \subset E \rightarrow F$ deux fois différentiable en $x \in U$ alors $d^2 f(x)$ est une application bilinéaire symétrique.

La démonstration de ce théorème repose sur le

Lemme 2.5 À une fonction $f : U \subset E \rightarrow F$ et à un point $x \in U$ on associe la fonction (définie sur un voisinage ouvert de $(0, 0)$) :

$$A : (h, k) \mapsto A(h, k) := f(x + h + k) - f(x + h) - f(x + k) + f(x).$$

Si f est deux fois différentiable en x alors on a

$$\lim_{(h,k) \rightarrow (0,0)} \frac{\|A(h, k) - d^2 f(x) \cdot (h, k)\|}{\|h\|^2 + \|k\|^2} = 0.$$

Admettons provisoirement ce lemme, et démontrons le théorème 2.4. La fonction A est clairement symétrique : $A(h, k) = A(k, h)$. Par suite, pour tout $(h, k) \in E \times E$,

$$d^2 f(x) \cdot (h, k) - d^2 f(x) \cdot (k, h) = d^2 f(x) \cdot (h, k) - A(h, k) + A(k, h) - d^2 f(x) \cdot (k, h).$$

Soit $\varepsilon > 0$. Le lemme 2.5 montre donc qu'il existe $\eta > 0$ tel que $\|h\| \leq \eta$ et $\|k\| \leq \eta$ entraîne

$$\|d^2 f(x) \cdot (h, k) - d^2 f(x) \cdot (k, h)\| \leq 2\varepsilon (\|h\|^2 + \|k\|^2).$$

Ceci implique, par la bilinéarité de $d^2 f(x)$,

$$d^2 f(x) \cdot (h, k) = d^2 f(x) \cdot (k, h) \quad \text{pour tout } (h, k) \in E \times E.$$

En effet, pour tout $(h, k) \in E \times E$, il existe $\lambda > 0$ tel que $\|\lambda h\| \leq \eta$ et $\|\lambda k\| \leq \eta$, d'où

$$\|d^2 f(x) \cdot (\lambda h, \lambda k) - d^2 f(x) \cdot (\lambda k, \lambda h)\| \leq 2\varepsilon \lambda^2 (\|h\|^2 + \|k\|^2)$$

et donc, en simplifiant par λ^2 ,

$$\|d^2 f(x) \cdot (h, k) - d^2 f(x) \cdot (k, h)\| \leq 2\varepsilon (\|h\|^2 + \|k\|^2).$$

Cette inégalité étant vraie quel que soit $\varepsilon > 0$, on en déduit $\|d^2 f(x) \cdot (h, k) - d^2 f(x) \cdot (k, h)\| = 0$.

Démonstration du lemme 2.5. L'ingrédient essentiel est le théorème des accroissements finis. Notons

$$B(h, k) = A(h, k) - d^2 f(x) \cdot (h, k) =$$

$$f(x + h + k) - f(x + h) - f(x + k) + f(x) - d^2 f(x) \cdot (h, k).$$

La fonction B ainsi définie est différentiable par rapport à sa seconde variable au voisinage de $(0, 0)$, et pour tout $k' \in E$,

$$\begin{aligned} d_2 B(h, k) \cdot k' &= df(x + h + k) \cdot k' - df(x + k) \cdot k' - d^2 f(x) \cdot (h, k') = \\ &df(x + h + k) \cdot k' - df(x) \cdot k' - d^2 f(x) \cdot (h + k, k') \\ &+ df(x) \cdot k' - df(x + k) \cdot k' + d^2 f(x) \cdot (k, k'). \end{aligned}$$

Soit $\varepsilon > 0$. Par définition de $d^2 f$, il existe $\eta > 0$ tel que pour tout $h' \in E$ tel que $\|h'\| \leq \eta$ et pour tout $k' \in E$,

$$\|df(x + h') \cdot k' - df(x) \cdot k' - d^2 f(x) \cdot (h', k')\| \leq \varepsilon \|h'\| \|k'\|.$$

Pour tout $(h, k) \in E \times E$ tel que $\|h\| \leq \eta/2$ et $\|k\| \leq \eta/2$, on peut appliquer cette inégalité à $h' = h + k$ et à $h' = k$. On en déduit par l'inégalité triangulaire que

$$\|d_2 B(h, k) \cdot k'\| \leq 2\varepsilon (\|h\| + \|k\|) \|k'\| \quad \text{pour tout } k' \in E,$$

c'est-à-dire

$$\|d_2 B(h, k)\| \leq 2\varepsilon (\|h\| + \|k\|).$$

Le théorème des accroissements finis appliqué à $y \mapsto B(h, y)$ sur le segment $[0, k]$ montre alors (d'après la remarque p. 22) que

$$\|B(h, k)\| = \|B(h, k) - B(h, 0)\| \leq 2\varepsilon (\|h\| + \|k\|) \|k\|$$

si $\|h\| \leq \eta/2$ et $\|k\| \leq \eta/2$. On conclut en majorant (grossièrement) $(\|h\| + \|k\|) \|k\|$ par $2(\|h\|^2 + \|k\|^2)$.

► Exemples de différentielles secondes.

- Une application *affine* $f : x \mapsto \ell(x) + b$ avec $\ell \in \mathcal{L}(E; F)$ et $b \in F$ est deux fois différentiable et sa différentielle seconde est identiquement nulle.
- Une application *quadratique* $f : x \mapsto \phi(x, x)$ avec $\phi \in \mathcal{L}(E, E; F)$ est deux fois différentiable et sa différentielle seconde est constante (égale à 2ϕ si ϕ est symétrique).

► En dimension finie

Supposons ici que $E = \mathbb{R}^p$ et soit (e_1, \dots, e_p) la base « canonique ». Si f est deux fois différentiable sur un ouvert $U \subset \mathbb{R}^p$, alors on a pour tout $x \in U$, pour tous $i, j \in \{1, \dots, p\}$,

$$d^2 f(x) \cdot (e_i, e_j) = \frac{\partial}{\partial x_i} \frac{\partial f}{\partial x_j}(x).$$

Le théorème de Schwarz montre que « les dérivées partielles croisées sont égales » c'est-à-dire

$$\frac{\partial}{\partial x_i} \frac{\partial f}{\partial x_j} = \frac{\partial}{\partial x_j} \frac{\partial f}{\partial x_i}$$

pour tous $i, j \in \{1, \dots, p\}$. Ces dérivées sont en général notées

$$\frac{\partial^2 f}{\partial x_i \partial x_j}.$$

Par bilinéarité, si h et k sont deux vecteurs de \mathbb{R}^p de composantes (h_1, \dots, h_p) et (k_1, \dots, k_p) respectivement,

$$d^2 f(x) \cdot (h, k) = \sum_{i=1}^p \sum_{j=1}^p h_i k_j \frac{\partial^2 f}{\partial x_i \partial x_j}(x).$$

Théorème 2.6 (Schwarz en dimension finie) Soit $f : U \subset \mathbb{R}^p \rightarrow \mathbb{R}$ deux fois différentiable en $x \in U$ alors la matrice hessienne de f au point x

$$\text{Hess } f(x) := \left(\frac{\partial^2 f}{\partial x_i \partial x_j}(x) \right)_{1 \leq i, j \leq p}$$

est symétrique.

Notons que par définition de la matrice hessienne, quels que soient $h, k \in \mathbb{R}^p$,

$$d^2 f(x) \cdot (h, k) = \langle h, \text{Hess } f(x) k \rangle,$$

où $\langle \cdot, \cdot \rangle$ désigne le produit scalaire « canonique » de \mathbb{R}^p .

Remarque : Les identités suivantes sont des conséquences du théorème de Schwarz.

- Si $f : U \subset \mathbb{R}^3 \rightarrow \mathbb{R}^3$ est deux fois différentiable, alors $\text{div rot } f \equiv 0$.
- Si $\varphi : U \subset \mathbb{R}^3 \rightarrow \mathbb{R}$ est deux fois différentiable, alors $\text{rot grad } \varphi \equiv 0$.

2.2 DIFFÉRENTIELLE D'ORDRE n

Pour les entiers $n \geq 2$, on définit par récurrence les notions suivantes, qui généralisent de façon évidente le cas $n = 2$.

Définition 2.7 Soit une fonction f définie sur un ouvert (non vide) U d'un \mathbb{R} -espace de Banach E et à valeurs dans un \mathbb{R} -espace de Banach F , et n un entier au moins égal à 2. On dit qu'elle est

- n fois différentiable en $x \in U$ si elle est différentiable dans un voisinage ouvert U_x de x et si sa différentielle $df : U_x \rightarrow \mathcal{L}(E; F)$ est $(n - 1)$ fois différentiable en x ,
- n fois différentiable dans U si elle est n fois différentiable en tout point de U ,
- de classe \mathcal{C}^n si sa différentielle est de classe \mathcal{C}^{n-1} ,
- de classe \mathcal{C}^∞ si elle est de classe \mathcal{C}^n pour tout $n \geq 1$.

► Exemple

Les applications linéaires continues et plus généralement les applications k -linéaires continues sont de classe \mathcal{C}^∞ .

En effet, le cas $k = 1$ est clair : si $u \in \mathcal{L}(E; F)$, elle est de classe \mathcal{C}^1 et sa différentielle est constante (partout égale à u), donc de classe \mathcal{C}^∞ (les différentielles successives sont toutes identiquement nulles). Voyons le cas $k = 2$. Si $\phi \in \mathcal{L}(E_1, E_2; F)$ alors

$$d\phi(x_1, x_2) \cdot (h_1, h_2) = \phi(x_1, h_2) + \phi(h_1, x_2),$$

$$d(d\phi)(x_1, x_2) \cdot (h_1, h_2) \cdot (k_1, k_2) = \phi(k_1, h_2) + \phi(h_1, k_2),$$

c'est-à-dire que $d(d\phi)$ est constante. Donc les différentielles suivantes sont toutes identiquement nulles. Le cas général se traite par récurrence ; il est laissé en exercice.

Remarque : Comme on peut s'y attendre, la notion de fonction n fois différentiable est plus forte que celle de fonction $(n - 1)$ fois différentiable, et la notion de fonction de classe \mathcal{C}^n est plus forte que celle de fonction de classe \mathcal{C}^{n-1} . Autrement dit, si f est n fois différentiable, elle est *a fortiori* $(n - 1)$ fois différentiable ; si f est de classe \mathcal{C}^n , elle est *a fortiori* de classe \mathcal{C}^{n-1} . La preuve repose sur une récurrence facile.

Dans l'énoncé suivant, E , F et G sont des espaces de Banach, U est un ouvert de E et V est un ouvert de F contenant U .

Théorème 2.8 Si $f : U \subset E \rightarrow F$ est n fois différentiable en $x \in U$ et $g : V \subset F \rightarrow G$ est n fois différentiable en $y = f(x) \in V$, alors $g \circ f$ est n fois différentiable en x . Si f est de classe \mathcal{C}^n sur U et g est de classe \mathcal{C}^n sur V alors $g \circ f$ est de classe \mathcal{C}^n .

Démonstration. Le cas $n = 1$ résulte du théorème 1.5 (page 15) et du fait que l'application

$$d(g \circ f) : x \mapsto dg(f(x)) \circ df(x).$$

est continue si df et dg sont continues, comme composée de

$$x \mapsto (dg(f(x)), df(x)) \in \mathcal{L}(F; G) \times \mathcal{L}(E; F) \quad \text{et} \quad (v, u) \mapsto v \circ u.$$

(Notons que la seconde application est bilinéaire continue.)

Le cas général se traite par récurrence sur n . Supposons les propriétés démontrées jusqu'à l'entier $n - 1$. Si f et g sont n fois différentiables en x et $f(x)$ respectivement, alors df est $(n - 1)$ fois différentiable en x , de même que $x \mapsto dg(f(x))$ comme composée de dg et f (en appliquant l'hypothèse de récurrence). En observant que l'application bilinéaire continue

$$(v, u) \in \mathcal{L}(F; G) \times \mathcal{L}(E; F) \mapsto v \circ u$$

est de classe \mathcal{C}^∞ et en appliquant à nouveau l'hypothèse de récurrence, on en déduit que $d(g \circ f)$ est $(n - 1)$ fois différentiable en x . Cela signifie précisément que $g \circ f$ est n fois différentiable en x . Le raisonnement est identique pour montrer que $g \circ f$ est de classe \mathcal{C}^n si f et g le sont.

Théorème 2.9 *Si f est un difféomorphisme de U sur V et si f est de classe \mathcal{C}^n alors f^{-1} est aussi de classe \mathcal{C}^n .*

Démonstration. Au vu de la définition 1.13 il n'y a rien à démontrer dans le cas $n = 1$. Le cas $n \geq 2$ se traite par récurrence, en utilisant la formule

$$d(f^{-1})(y) = (df(f^{-1}(y)))^{-1}$$

et le

Lemme 2.10 *L'application*

$$\begin{aligned} \text{Isom}(E; F) &\rightarrow \text{Isom}(F; E) \\ u &\mapsto u^{-1} \end{aligned}$$

est de classe \mathcal{C}^∞ .

Admettons provisoirement ce lemme et supposons démontré que la réciproque de tout difféomorphisme de classe \mathcal{C}^{n-1} est de classe \mathcal{C}^{n-1} . Soit f un difféomorphisme de classe \mathcal{C}^n . Alors par définition, df est de classe \mathcal{C}^{n-1} , et d'après l'hypothèse de récurrence f^{-1} est de classe \mathcal{C}^{n-1} (au moins). Donc le théorème 2.8 montre que l'application $y \mapsto df(f^{-1}(y))$ est de classe \mathcal{C}^{n-1} , et grâce au lemme 2.10, le même théorème montre que $y \mapsto (df(f^{-1}(y)))^{-1}$ est de classe \mathcal{C}^{n-1} .

Démonstration du lemme 2.10. On sait déjà (voir l'exercice 1.7) que l'application $\Theta : u \mapsto u^{-1}$ est différentiable et $d\Theta(u) \cdot h = -\Theta(u) \circ h \circ \Theta(u)$, c'est-à-dire que $d\Theta(u) = \phi(\Theta(u), \Theta(u))$, où ϕ est l'application bilinéaire continue, et donc de classe \mathcal{C}^∞ ,

$$\begin{aligned} \phi : \mathcal{L}(F; E) \times \mathcal{L}(F; E) &\rightarrow \mathcal{L}(\mathcal{L}(E; F); \mathcal{L}(F; E)) \ . \\ (v, w) &\mapsto (h \mapsto -v \circ h \circ w) \end{aligned}$$

On en déduit par récurrence en faisant appel au théorème 2.8 que Θ est de classe \mathcal{C}^∞ .

On va maintenant définir la différentielle d'ordre n de façon à généraliser la notion de différentielle seconde. Si f est n fois différentiable en x , sa différentielle d'ordre n au point x sera une application n -linéaire symétrique.

Définition 2.11 Soient E et F des \mathbb{R} -espaces de Banach, et $\mathcal{L}_n(E; F)$ l'espace des applications n -linéaires continues sur E^n . Une application $\phi \in \mathcal{L}_n(E; F)$ est dite symétrique si pour toute permutation σ de l'ensemble $\{1, \dots, n\}$ et pour tout n -uplet $(x_1, \dots, x_n) \in E^n$,

$$\phi(x_{\sigma(1)}, \dots, x_{\sigma(n)}) = \phi(x_1, \dots, x_n).$$

Comme signalé en préambule, on notera $\mathcal{L}_n^s(E; F)$ l'espace des applications n -linéaires continues et symétriques sur E^n .

Remarque : Pour vérifier qu'une application n -linéaire est symétrique, il suffit de vérifier son invariance par les *transpositions* qui échangent i et $i + 1$ avec $i \leq n - 1$ et par celle qui échange 1 et n .

Théorème 2.12 Une fonction $f : U \subset E \rightarrow F$ est n fois différentiable au point $x \in U$ si et seulement s'il existe un voisinage ouvert U_x de x dans U , des fonctions $d^p f : U_x \rightarrow \mathcal{L}_p^s(E; F)$ pour $p \leq n - 1$ et $d^n f(x) \in \mathcal{L}_n^s(E; F)$ telles que $d^1 f = df$ dans U_x , pour tout $p \leq n - 2$, $d^p f$ est différentiable sur U_x , avec pour tout $y \in U_x$ et pour tout $(h_1, \dots, h_{p+1}) \in E^{p+1}$:

$$d^{p+1} f(y) \cdot (h_1, \dots, h_{p+1}) = d_{p+1} g^{[p]}(h_1, \dots, h_p, y) \cdot h_{p+1}$$

où

$$g^{[p]}(h_1, \dots, h_p, y) := d^p f(y) \cdot (h_1, \dots, h_p),$$

et enfin $d^{n-1} f$ est différentiable en x et

$$d^n f(x) \cdot (h_1, \dots, h_n) = d_n g^{[n-1]}(h_1, \dots, h_{n-1}, x) \cdot h_n$$

où

$$g^{[n-1]}(h_1, \dots, h_{n-1}, y) := d^{n-1} f(y) \cdot (h_1, \dots, h_{n-1}).$$

Démonstration. Le cas $n = 1$ est évident. Le cas $n = 2$ résulte de la définition 2.3 de la différentielle seconde et du théorème de Schwarz 2.4. Le reste de la démonstration se fait bien sûr par récurrence.

Par souci de clarté, voyons le cas $n = 3$. Il y a deux sens à démontrer. Supposons que f soit 3 fois différentiable en x : d'après la définition 2.7, il existe un voisinage ouvert U_x de x telle que df soit définie sur U_x et deux fois différentiable en x .

En particulier, df est différentiable sur U_x , ce qui montre que f est deux fois différentiable sur U_x (d'après la définition 2.3), et sa différentielle seconde d^2f est une application de U_x dans $\mathcal{L}_2^s(E; F)$ d'après le théorème de Schwarz, telle que :

$$d^2f(y) \cdot (h_1, h_2) = d_2g^{[1]}(h_1, y) \cdot h_2 \quad \text{où } g^{[1]}(h_1, y) = df(y) \cdot h_1.$$

On aura montré les propriétés voulues pour $n = 3$ si l'on prouve que d^2f est différentiable en x et que $d^3f(x) \cdot (h_1, h_2, h_3) = d_3g(h_1, h_2, x) \cdot h_3$, avec $g^{[2]}(h_1, h_2, y) := d^2f(y) \cdot (h_1, h_2)$, définit bien $d^3f(x) \in \mathcal{L}_3^s(E; F)$.

Or, pour tout $y \in U_x$, on a $d^2f(y) = \mathcal{J}(d(df)(y))$ où \mathcal{J} désigne l'isomorphisme naturel :

$$\begin{aligned} \mathcal{J} : \mathcal{L}(E; \mathcal{L}(E; F)) &\rightarrow \mathcal{L}_2(E; F) \\ \ell &\mapsto ((h, k) \mapsto \ell(h)(k)). \end{aligned}$$

Comme df est deux fois différentiable en x (par hypothèse), on en déduit par composition que d^2f est différentiable en x et (en se rappelant que \mathcal{J} est linéaire donc de différentielle constamment égale à \mathcal{J}) :

$$d(d^2f)(x) = \mathcal{J} \circ d(d(df))(x).$$

D'un point de vue un peu différent, on a pour tout $y \in U_x$:

$$g^{[2]}(h_1, h_2, y) = d^2f(y) \cdot (h_1, h_2) = \mathcal{E}_{(h_1, h_2)}(d(df)(y)),$$

où

$$\begin{aligned} \mathcal{E}_{(h_1, h_2)} : \mathcal{L}(E; \mathcal{L}(E; F)) &\rightarrow F \\ \ell &\mapsto \ell(h_1)(h_2). \end{aligned}$$

Par dérivation de fonctions composées on a donc

$$d_3g^{[2]}(h_1, h_2, x) \cdot h_3 = (d(d(df)))(x) \cdot h_3 \cdot h_1 \cdot h_2.$$

Dans cette dernière expression, on peut échanger h_1 et h_2 d'après le théorème de Schwarz appliqué à f (et qui montre que $g(y) = \mathcal{E}_{(h_2, h_1)}(d(df)(y))$), et on peut échanger h_3 et h_1 d'après le théorème de Schwarz appliqué à df .

Inversement, si f satisfait les propriétés énoncées pour $n = 3$, alors f est deux fois différentiable, df est différentiable sur U_x , et d^2f est différentiable en x . Ceci implique que df est deux fois différentiable en x , car en notant $\mathcal{J} = \mathcal{J}^{-1}$ l'isomorphisme :

$$\begin{aligned} \mathcal{J} : \mathcal{L}_2(E; F) &\rightarrow \mathcal{L}(E; \mathcal{L}(E; F)) \\ \phi &\mapsto (h \mapsto \phi(h, \cdot)). \end{aligned}$$

on a $d(df)(y) = \mathcal{J}(d^2f(y))$ pour tout $y \in U_x$ et donc $d(df)$ est différentiable comme fonction composée de fonctions différentiables.

Ceci termine le cas $n = 3$. Le passage de n à $n+1$ se traite de façon analogue, il est laissé en exercice.

2.3 FORMULES DE TAYLOR

2.3.1 Formule de Taylor avec reste intégral

Les formules de Taylor de type *global* (avec reste intégral ou de Lagrange) sont fondées sur un calcul simple concernant les fonctions d'une variable réelle.

Lemme 2.13 *Soit I un intervalle ouvert de \mathbb{R} , F un espace de Banach et $g : I \rightarrow F$ une fonction $(n+1)$ fois dérivable. On note $g^{(p)}$ ses dérivées successives, $p \in \{1, \dots, n+1\}$. Alors pour tout $t \in I$ on a :*

$$\frac{d}{dt} \left(g(t) + \sum_{p=1}^n \frac{(1-t)^p}{p!} g^{(p)}(t) \right) = \frac{(1-t)^n}{n!} g^{(n+1)}(t).$$

Démonstration. En dérivant terme à terme, on trouve :

$$\begin{aligned} \frac{d}{dt} \left(g'(t) + \sum_{p=1}^n \frac{(1-t)^p}{p!} g^{(p+1)}(t) - \sum_{p=1}^n \frac{(1-t)^{p-1}}{(p-1)!} g^{(p)}(t) \right) \\ = \sum_{p=0}^n \frac{(1-t)^p}{p!} g^{(p+1)}(t) - \sum_{p=0}^{n-1} \frac{(1-t)^p}{p!} g^{(p+1)}(t) \end{aligned}$$

par un simple changement d'indice. Tous les termes se compensent deux à deux sauf le dernier de la première somme.

En fait, on va obtenir la formule de Taylor avec reste intégral grâce à une « version intégrale » du lemme 2.13. Avant cela, il faut s'accorder sur la notion d'intégrale pour les fonctions à valeurs dans F . Comme on n'intégrera que des fonctions continues, la notion d'intégrale au sens de Riemann nous suffira. Résumons-en les propriétés importantes, qu'on laisse au lecteur le soin de vérifier.

Proposition 2.14 Soient $a, b \in \mathbb{R}$, $a \leq b$, et F un espace de Banach. Alors l'intégrale de Riemann sur le segment $[a, b]$ définit une application linéaire continue sur l'espace $\mathcal{C}([a, b]; F)$ des fonctions continues sur $[a, b]$ et à valeurs dans F , muni de la norme sup. Pour tout $g \in \mathcal{C}([a, b]; F)$, l'intégrale de Riemann de g sur le segment $[a, b]$, notée $\int_a^b g(t) dt$, vérifie l'inégalité :

$$\left\| \int_a^b g(t) dt \right\| \leq \int_a^b \|g(t)\| dt \leq (b-a) \max_{t \in [a, b]} \|g(t)\|.$$

Quels que soient $x, y \in [a, b]$, on a par définition

$$\int_x^y g(t) dt = - \int_y^x g(t) dt$$

(et donc $\int_x^x g(t) dt = 0$), et l'on a la relation de Chasles :

$$\int_x^y g(t) dt = \int_x^z g(t) dt + \int_z^y g(t) dt$$

pour tout $z \in [a, b]$. De plus, l'application $y \mapsto \int_x^y g(t) dt$ est dérivable et sa dérivée est g . Inversement, pour toute primitive G de g , on a

$$G(y) - G(x) = \int_x^y g(t) dt.$$

Si F est de dimension finie, $F = \mathbb{R}^q$ pour simplifier, $\int_a^b g(t) dt$ est simplement le vecteur dont les composantes sont $\int_a^b g_i(t) dt$ où les g_i pour $i \in \{1, \dots, n\}$ sont les composantes de g dans la base « canonique ».

On a ainsi une conséquence immédiate du lemme 2.13 :

Corollaire 2.15 Si I est un intervalle ouvert de \mathbb{R} contenant $[0, 1]$, F un espace de Banach et $g : I \rightarrow F$ une fonction de classe \mathcal{C}^{n+1} , alors

$$g(1) - g(0) - \sum_{p=1}^n \frac{1}{p!} g^{(p)}(0) = \int_0^1 \frac{(1-t)^n}{n!} g^{(n+1)}(t) dt. \quad (2.1)$$

Le corollaire 2.15 a lui-même un corollaire pour les fonctions de classe \mathcal{C}^{n+1} sur un ouvert d'un espace de Banach.

► Notation

Pour tout $h \in E$ et $n \in \mathbb{N}^*$, on désigne par $h^{[n]}$ le n -uplet de vecteurs tous égaux à h .

Théorème 2.16 *Si U est un ouvert d'un espace de Banach E , si F est un espace de Banach et $f : U \rightarrow F$ est une fonction de classe \mathcal{C}^{n+1} , alors, pour tout $(x, h) \in U \times E$ tel que le segment $[x, x + h]$ soit inclus dans U ,*

$$f(x+h) = f(x) + \sum_{p=1}^n \frac{1}{p!} d^p f(x) \cdot h^{[p]} + \int_0^1 \frac{(1-t)^n}{n!} d^{n+1} f(x+th) \cdot h^{[n+1]} dt. \quad (2.2)$$

Démonstration. On applique la formule (2.1) à la fonction

$$g : t \mapsto g(t) := f(x + th).$$

La formule (2.2) est ce qu'on appelle la *formule de Taylor avec reste intégral* à l'ordre $n + 1$. En particulier, on a à l'ordre 1 :

$$f(x+h) = f(x) + \int_0^1 df(x+th) \cdot h dt.$$

On peut remarquer que cette formule implique l'inégalité des accroissements finis, sous une hypothèse cependant plus forte (f de classe \mathcal{C}^1) que dans le théorème des accroissements finis vu au chapitre 1.2. (On verra ci-après une généralisation à l'ordre $n + 1$ de l'inégalité des accroissements finis, connue sous le nom de formule de Taylor–Lagrange, qui demande seulement à f d'être $(n + 1)$ fois différentiable.) La formule à l'ordre 2 (c'est-à-dire (2.2) avec $n = 1$) s'écrit quant à elle :

$$f(x+h) = f(x) + df(x) \cdot h + \int_0^1 (1-t) d^2 f(x+th) \cdot (h, h) dt.$$

2.3.2 Formule de Taylor–Lagrange

Une autre façon d'exploiter le lemme 2.13 est contenue dans la

Proposition 2.17 *Si I est un intervalle ouvert de \mathbb{R} contenant $[0, 1]$, F un espace de Banach et $g : I \rightarrow F$ une fonction $(n + 1)$ fois différentiable telle que*

$$\|g^{(n+1)}(t)\| \leq M, \quad \text{pour tout } t \in [0, 1],$$

alors

$$\left\| g(1) - g(0) - \sum_{p=1}^n \frac{1}{p!} g^{(p)}(0) \right\| \leq \frac{M}{(n+1)!}. \quad (2.3)$$

Démonstration. On applique le théorème 1.8 (page 21, version raffinée du théorème des accroissements finis) à

$$f(t) := g(t) + \sum_{p=1}^n \frac{(1-t)^p}{p!} g^{(p)}(t) \quad \text{et} \quad \varphi(t) := -M \frac{(1-t)^{n+1}}{(n+1)!}.$$

Le lemme 2.13 montre en effet que

$$\|f'(t)\| \leq \varphi'(t) \quad \text{pour tout } t.$$

Cette proposition se traduit pour les fonctions $(n+1)$ fois différentiables sur un ouvert d'espace de Banach par le

Théorème 2.18 *Si U est un ouvert d'un espace de Banach E , si F est un espace de Banach, si $(x, h) \in U \times E$ est tel que le segment $[x, x+h]$ soit inclus dans U , et si $f : U \rightarrow F$ est une fonction $(n+1)$ fois différentiable telle que*

$$\max_{y \in [x, x+h]} \|d^{n+1} f(y)\|_{\mathcal{L}_{n+1}(E;F)} \leq M,$$

alors

$$\left\| f(x+h) - f(x) - \sum_{p=1}^n \frac{1}{p!} d^p f(x) \cdot h^{[p]} \right\| \leq \frac{M}{(n+1)!} \|h\|^{n+1}. \quad (2.4)$$

Démonstration. On applique la proposition 2.3 à la fonction

$$g : t \mapsto g(t) := f(x + th).$$

L'inégalité (2.4), qui généralise l'inégalité des accroissements finis, est connue sous le nom de formule de *Taylor avec reste de Lagrange*, le reste en question étant seulement connu à travers une majoration, contrairement au reste intégral, qui est *exact*. Lorsque f est de classe \mathcal{C}^{n+1} , (2.4) est une conséquence immédiate de la formule de Taylor avec reste intégral (2.2).

2.3.3 Formule de Taylor-Young

Voyons une dernière version de la formule de Taylor, valable sous des hypothèses encore moins fortes, et qui pour cette raison donne un résultat *local* seulement.

Théorème 2.19 *Si U est un ouvert d'un espace de Banach E , si F est un espace de Banach, si $f : U \rightarrow F$ est une fonction n fois différentiable en $x \in U$ alors*

$$\left\| f(x+h) - f(x) - \sum_{p=1}^n \frac{1}{p!} d^p f(x) \cdot h^{[p]} \right\| = o(\|h\|^n). \quad (2.5)$$

Dans cet énoncé la notation de Landau o (qu'on lit « petit o de ») signifie que le membre de gauche divisé par $\|h\|^n$ tend vers 0 lorsque h tend vers 0. Il s'agit donc d'un résultat *local*, qui donne des renseignements sur le comportement de f au voisinage de x seulement.

Démonstration. Il n'y a rien à faire dans le cas $n = 1$: c'est la définition de la différentiabilité, reformulée à l'aide de o . On procède ensuite par récurrence. Soit $n \geq 2$. On suppose le théorème démontré pour les fonctions $(n - 1)$ fois différentiables en un point. Si f est n fois différentiable en x , considérons la fonction

$$F : h \mapsto f(x+h) - f(x) - \sum_{p=1}^n \frac{1}{p!} d^p f(x) \cdot (h^{[p]}).$$

Alors F est différentiable au voisinage de 0_E et

$$\begin{aligned} dF(h) \cdot k &= df(x+h) \cdot k - df(x) \cdot k - \sum_{p=2}^n \frac{p}{p!} d^p f(x) \cdot (h^{[p-1]}, k) \\ &= df(x+h) \cdot k - df(x) \cdot k - \sum_{p=1}^{n-1} \frac{1}{p!} d^p(df)(x) \cdot h^{[p]} \cdot k \end{aligned}$$

quel que soit $k \in E$. L'hypothèse de récurrence appliquée à la différentielle de f montre que

$$\|dF(h)\| = o(\|h\|^{n-1}).$$

Cela signifie que pour tout $\varepsilon > 0$, il existe $\eta > 0$ tel que $\|h\| \leq \eta$ implique

$$\|dF(h)\| \leq \varepsilon \|h\|^{n-1}.$$

Ainsi $\|dF(y)\| \leq \varepsilon \|h\|^{n-1}$ pour tout y appartenant au segment $[0, h]$. Grâce au théorème des accroissements finis on en déduit :

$$\|F(h)\| = \|F(h) - F(0)\| \leq \varepsilon \|h\| \|h\|^{n-1},$$

c'est-à-dire $\|F(h)\| = o(\|h\|^n)$.

Lorsque f a un cran de plus de régularité, et plus exactement lorsqu'elle est de classe \mathcal{C}^{n+1} , la formule de Taylor–Young (2.5) est une conséquence immédiate de la formule de Taylor–Lagrange (2.4) ; dans ce cas le $o(\|h\|^n)$ est même un $O(\|h\|^{n+1})$ (qu'on lit « grand o de ... »).

La série (formelle)

$$\sum_p \frac{1}{p!} d^p f(x) \cdot h^{[p]}$$

est souvent appelée *série de Taylor* de f au point x : attention, rien ne dit qu'elle converge *a priori*. (C'est le cas si f est analytique.) La somme finie

$$f(x) + \sum_{p=1}^n \frac{1}{p!} d^p f(x) \cdot h^{[p]}$$

est le *développement limité d'ordre n* de f au point x .

EXERCICES

Exercice 2.1 « Dérivées discrètes »

Soient $u \in \mathcal{C}^\infty(\mathbb{R}; F)$, où F un espace de Banach et $\Delta x > 0$. On appelle *dérivée discrète p -ième* au point $x \in \mathbb{R}$ une approximation $\delta^{(p)}u(x; \Delta x)$ de $u^{(p)}(x)$ telle que

$$\|\delta^{(p)}u(x; \Delta x) - u^{(p)}(x)\|_F \leq C_1 \Delta x.$$

avec $C_1 > 0$ indépendant de Δx . On dit que c'est une approximation à l'ordre r s'il existe $C_r > 0$ tel que

$$\|\delta^{(p)}u(x; \Delta x) - u^{(p)}(x)\|_F \leq C_r (\Delta x)^r.$$

Trouver des dérivées discrètes premières et secondes à l'ordre 2.

Exercice 2.2 Formule des trapèzes

Soit $f : [a, b] \rightarrow F$ (un espace de Banach) de classe \mathcal{C}^2 , avec $a < b$. Montrer qu'il existe $C > 0$ tel que

$$\left\| \int_a^b f(x) dx - (b-a) \frac{f(a) + f(b)}{2} \right\| \leq C \max_{\xi \in [a, b]} \|f''(\xi)\| (b-a)^3.$$

Exercice 2.3 Soient I un intervalle ouvert non vide de \mathbb{R} , E un espace de Banach et $f : I \rightarrow E$ une application de classe \mathcal{C}^1 .

i). Soit $a \in I$. Montrer que pour tout $(x, y) \in I \times I$ avec $x \neq y$,

$$\left\| \frac{1}{x-y} (f(x) - f(y)) - f'(a) \right\| \leq \sup_{z \in]x, y[} \|df(z) - df(a)\|.$$

ii). Soit

$$g : I \times I \rightarrow E$$

$$(x, y) \mapsto \begin{cases} \frac{1}{x-y} (f(x) - f(y)) & \text{si } x \neq y \\ f'(x) & \text{si } x = y \end{cases}$$

a) Montrer que g est continue sur $I \times I$.

- b) Montrer que g est de classe \mathcal{C}^1 sur $(I \times I) \setminus \Delta$, où $\Delta := \{(x, x); x \in I\}$.
- iii). Soit $a \in I$. On suppose que f est deux fois différentiable en a , et l'on veut montrer que g est différentiable en (a, a) .
- a) Quelle est la relation entre $f''(a)$ (dérivée seconde de f au point a) et $d^2 f(a)$ (différentielle seconde de f au point a) ?
- b) En supposant que g est différentiable en (a, a) , calculer un candidat pour $dg(a, a)$ à l'aide de $f''(a)$.
- c) Démontrer que g est différentiable en (a, a) .

Exercice 2.4 Identité de Jacobi

Soient $v, w \in \mathcal{C}^2(\Omega; E)$, où Ω est un ouvert d'un espace de Banach E .

- i). Montrer que l'application $x \mapsto dw(x) \cdot v(x) - dv(x) \cdot w(x)$ est de classe \mathcal{C}^1 sur Ω . Dans la suite on la note $[v, w]$ (c'est le *crochet de Lie* de v et w).
- ii). Si $u \in \mathcal{C}^2(\Omega; E)$, on définit $\phi(u, v, w)$ par $\phi(u, v, w)(x) =$

$$d^2 u(x) \cdot (w(x), v(x)) - dv(x) \cdot (du(x) \cdot w(x)) - dw(x) \cdot (du(x) \cdot v(x)).$$

Montrer que ceci définit ϕ comme application tri-linéaire sur l'espace $\mathcal{C}^2(\Omega; E)$, symétrique en (v, w) .

- iii). Exprimer $[[u, v], w]$ à l'aide de $\phi(u, v, w)$ et $\phi(v, u, w)$, et en déduire l'identité de Jacobi :

$$[[u, v], w] + [[v, w], u] + [[w, u], v] \equiv 0.$$

Exercice 2.5 Soit $\phi \in \mathcal{L}_2^s(\mathbb{R}^n; \mathbb{R})$ tel que

$$\forall x \in \mathbb{R}^n, \forall y \in \mathbb{R}^n, \quad \phi(x, y) = \phi(y, x), \text{ et } \phi(x, x) \neq 0 \text{ si } x \neq 0.$$

Soit $f : \mathbb{R}^n \rightarrow \mathbb{R}^n$ une application deux fois différentiable telle que

$$\forall x \in \mathbb{R}^n, \forall h \in \mathbb{R}^n, \quad \phi(df(x) \cdot h, df(x) \cdot h) = \phi(h, h).$$

- i). Montrer que pour tout $x \in \mathbb{R}^n$, pour tous $h, k \in \mathbb{R}^n$,

$$\phi(df(x) \cdot h, df(x) \cdot k) = \phi(h, k).$$

- ii). Montrer que $d^2 f$ est identiquement nulle.

iii). En déduire qu'il existe $\ell \in \mathcal{L}(\mathbb{R}^n)$ et $b \in \mathbb{R}^n$ tels que $f(x) = \ell(x) + b$ pour tout $x \in \mathbb{R}^n$.

iv). Montrer que f est un difféomorphisme de classe \mathcal{C}^∞ de \mathbb{R}^n sur \mathbb{R}^n .

Exercice 2.6

i). Soit $\phi \in \mathcal{L}_2^s(\mathbb{R}^n; \mathbb{R})$, et $q : \mathbb{R}^n \rightarrow \mathbb{R}$ la forme quadratique associée, définie par $q(x) := \phi(x, x)$.

a) Montrer que s'il existe un ouvert Ω non vide tel que la restriction de q à Ω soit constante, alors q est nulle.

b) On suppose q non nulle. Soient g_1 et g_2 deux fonctions continues de \mathbb{R}^n dans \mathbb{R} telles que $g_1(x) q(x) = g_2(x) q(x)$ pour tout $x \in \mathbb{R}^n$. Montrer que $g_1 = g_2$.

ii). Soit $f \in \mathcal{C}^2(\mathbb{R}^n; \mathbb{R})$, telle que $f(0) = 0$, $df(0) = 0$, $d^2f(0) \neq 0$. On suppose de plus qu'il existe une fonction $g \in \mathcal{C}^p(\mathbb{R}^n; \mathbb{R}^{+*})$ (avec $p \geq 2$) telle que $d^2f(x) \cdot (x, x) = g(x) d^2f(0) \cdot (x, x)$ pour tout $x \in \mathbb{R}^n$.

a) Vérifier que la fonction $f : (x_1, x_2) \mapsto x_1^2 - x_2^2 - x_1^2 x_2^2 + x_1^4$ satisfait à ces conditions (dans le cas $n = 2$).

b) On revient au cas général. Montrer que $d^2f(tx) \cdot (x, x) = g(tx) d^2f(0) \cdot (x, x)$ quels que soient $x \in \mathbb{R}^n$ et $t \in \mathbb{R}$. Que vaut donc $g(0)$?

iii). On pose, pour tout $x \in \mathbb{R}^n$, $h(x) = \int_0^1 (1-t) g(tx) dt$. Montrer que $f(x) = h(x) d^2f(0) \cdot (x, x)$ pour tout $x \in \mathbb{R}^n$. En déduire que f est de classe \mathcal{C}^p .

iv). En calculant $df(x) \cdot x$ de deux manières différentes, montrer que $dh(x) \cdot x + 2h(x) = \int_0^1 g(tx) dt$ pour tout $x \in \mathbb{R}^n$.

v). Montrer que pour tout $x \in \mathbb{R}^n$, l'application $\psi_x : \lambda \mapsto \lambda^2 h(\lambda x)$ est une bijection strictement croissante de \mathbb{R}^+ sur \mathbb{R}^+ .

vi). Montrer que l'application $\zeta : \mathbb{R}^n \rightarrow \mathbb{R}^n$ définie par $\zeta(x) = \sqrt{h(x)} x$ est une bijection de classe \mathcal{C}^p de \mathbb{R}^n sur \mathbb{R}^n .

vii). Montrer que pour tout $x \in \mathbb{R}^n$, $f(x) = d^2f(0) \cdot (\zeta(x), \zeta(x))$.

SOLUTION DES EXERCICES

Exercice 2.1 D'après la formule de Taylor avec reste intégral on a

$$u(x \pm \Delta x) = u(x) \pm \Delta x \partial_x u(x) + \frac{1}{2} (\Delta x)^2 \partial_{xx}^2 u(x) \pm \frac{1}{6} (\Delta x)^3 \partial_{xxx}^3 u(x) \\ + \frac{1}{6} (\Delta x)^4 \int_0^1 (1 - \theta)^3 \partial_{xxxx}^4 u(x + \theta \Delta x) d\theta.$$

On peut donc prendre

$$\delta^{(1)}(x; \Delta x) := \frac{u(x + \Delta x) - u(x - \Delta x)}{2\Delta x}, \\ \delta^{(2)}(x; \Delta x) := \frac{u(x + \Delta x) - 2u(x) + u(x - \Delta x)}{(\Delta x)^2}.$$

Notons que les dérivées discrètes décentrées

$$\delta_+^{(1)}(x; \Delta x) := \frac{u(x + \Delta x) - u(x)}{\Delta x} \quad \text{et} \quad \delta_-^{(1)}(x; \Delta x) := \frac{u(x) - u(x - \Delta x)}{\Delta x}$$

sont seulement précises à l'ordre 1. Ces dérivées discrètes sont à la base de ce que l'on appelle les *schémas aux différences finies*, permettant de calculer des solutions approchées d'équations différentielles ou aux dérivées partielles.

Exercice 2.2 On parle de formule des trapèzes car elle compare l'intégrale de f à celle de la fonction affine p définie par $p(x) := f(a) + \frac{f(b) - f(a)}{b - a} (x - a)$. On a en effet

$$\int_a^b f(x) dx - (b - a) \frac{f(a) + f(b)}{2} = \int_a^b (f(x) - p(x)) dx.$$

Si l'on note $c = (a + b)/2$, la formule de Taylor avec reste intégral appliquée à $f - p$ s'écrit $f(x) - p(x) =$

$$f(c) - p(c) + (f'(c) - p'(c))(x - c) + \int_0^1 (1 - \theta) f''(c + \theta(x - c))(x - c)^2 d\theta.$$

Notons $r(x) := \int_0^1 (1 - \theta) f''(c + \theta(x - c))(x - c)^2 d\theta$. En appliquant la formule ci-dessus à $x = a$ et $x = b$ en particulier, on en déduit (puisque $f(a) = p(a)$, $f(b) = p(b)$, et $a - c + b - c = 0$)

$$f(c) - p(c) = -\frac{r(a) + r(b)}{2}.$$

Par suite,

$$f(x) - p(x) = r(x) - \frac{r(a) + r(b)}{2},$$

d'où

$$\int_a^b (f(x) - p(x)) dx = \int_a^b r(x) dx - (b-a) \frac{r(a) + r(b)}{2}.$$

Si l'on note $k := \max_{\xi \in [a,b]} \|f''(\xi)\|$, on a $\|r(x)\| \leq k(x-c)^2/2$ et donc par l'inégalité triangulaire

$$\left\| \int_a^b r(x) dx - (b-a) \frac{r(a) + r(b)}{2} \right\| \leq \frac{k}{2} \int_a^b (x-c)^2 dx + \frac{k}{8} (b-a)^3 = k \frac{(b-a)^3}{6}.$$

Par suite, on a le résultat demandé avec $C = 1/6$. Lorsque $F = \mathbb{R}$ on peut l'améliorer en $C = 1/12$ par application du théorème de Rolle, pour chaque point $x \in [a, b]$, à la dérivée seconde de $f - p_x$, où p_x est le polynôme du second degré coïncidant avec f en a, b et x .

Exercice 2.3

- i). Comme $f : I \rightarrow E$ est de classe \mathcal{C}^1 , pour tout $a \in I$, pour tout $(x, y) \in I \times I$ avec $x \neq y$, l'application $F : z \mapsto (f(z) - f(y) - (z-y)f'(a))/(x-y)$ est aussi de classe \mathcal{C}^1 , et sa différentielle est donnée par

$$dF(z) \cdot h = \frac{1}{x-y} (df(z) \cdot h - h f'(a)) = \frac{1}{x-y} (df(z) - df(a)) \cdot h.$$

Donc d'après le théorème des accroissements finis (version "raffinée"),

$$\|F(x) - F(y)\| \leq |x-y| \sup_{z \in]x,y[} \left\| \frac{1}{x-y} (df(z) - df(a)) \right\|,$$

ce qui donne

$$\left\| \frac{1}{x-y} (f(x) - f(y)) - f'(a) \right\| \leq \sup_{z \in]x,y[} \|df(z) - df(a)\|.$$

- ii). L'application

$$g : I \times I \rightarrow E$$

$$(x, y) \mapsto \begin{cases} \frac{1}{x-y} (f(x) - f(y)) & \text{si } x \neq y \\ f'(x) & \text{si } x = y \end{cases}$$

- a) est continue sur l'ouvert $(I \times I) \setminus \Delta$ comme composée de $(x, y) \mapsto (f(x) - f(y), x - y)$ et de $(u, s) \in E \times \mathbb{R}^* \mapsto \frac{1}{s} u$. De plus, d'après la question 1),

$$\|g(x, y) - g(a, a)\| \leq \sup_{z \in]x, y[} \|df(z) - df(a)\|,$$

ce qui tend vers 0 lorsque (x, y) tend vers (a, a) , par continuité de df au point a . (On peut aussi remarquer que

$$g(x, y) = \int_0^1 f'(x + t(y - x)) dt$$

pour tout $(x, y) \in I \times I$, et appliquer le théorème de Lebesgue.)

- b) Par la même décomposition que ci-dessus, on voit que g est de classe \mathcal{C}^1 sur l'ouvert $(I \times I) \setminus \Delta$.
- iii). Soit $a \in I$. On suppose que f est deux fois différentiable en a , et l'on veut montrer que g est différentiable en (a, a) .

- a) Comme on l'a déjà utilisé, on a $df(a) \cdot h = h f'(a)$, d'où encore $d^2 f(a) \cdot (h, h) = h^2 f''(a)$ quel que soit $h \in \mathbb{R}$. Par suite, on a tout simplement $f''(a) = d^2 f(a) \cdot (1, 1)$.
- b) Si g est différentiable en (a, a) , alors en différentiant l'application $x \mapsto g(x, x) = f'(x)$ au point a , on obtient

$$d_1 g(a, a) \cdot h + d_2 g(a, a) \cdot h = h f''(a).$$

De plus, g étant symétrique, ses différentielles partielles $d_1 g$ et $d_2 g$ coïncident. Par conséquent, $d_1 g(a, a) \cdot h = d_2 g(a, a) \cdot h = \frac{h}{2} f''(a)$, d'où

$$dg(a, a) \cdot (h, k) = d_1 g(a, a) \cdot h + d_2 g(a, a) \cdot k = \frac{h+k}{2} f''(a).$$

- c) On a $g(x, y) - g(a, a) - \frac{x-a+y-a}{2} f''(a) =$
- $$= \int_0^1 (f'(x + t(y - x)) - f'(a) - (x + t(y - x) - a) f''(a)) dt.$$

Or, comme f' est différentiable en a , il existe une fonction φ tendant vers 0 au point a telle que pour tout $x \in I$,

$$f'(z) - f'(a) - (z - a) f''(a) = (z - a) \varphi(z).$$

Soit donc $\varepsilon > 0$, et $\eta > 0$ tel que $|z - a| \leq \eta$ implique $|\varphi(z)| \leq \varepsilon$. Alors, pour tout $(x, y) \in I \times I$ tel que $|x - a| \leq \eta$ et $|y - a| \leq \eta$,

$$\left| g(x, y) - g(a, a) - \frac{x - a + y - a}{2} f''(a) \right| \leq \frac{\varepsilon}{2} (|x - a| + |y - a|).$$

Cela montre que g est différentiable en (a, a) , de différentielle donnée (comme prévu) par $dg(a, a) \cdot (h, k) = \frac{h+k}{2} f''(a)$.

Exercice 2.4

i). Les applications $x \mapsto (dw(x), v(x)) \in \mathcal{L}(E) \times E$ et $x \mapsto (dv(x), w(x)) \in \mathcal{L}(E) \times E$ sont de classe \mathcal{C}^1 sur Ω car dw et dv le sont, et l'application bilinéaire continue $(\ell, y) \in \mathcal{L}(E) \times E \mapsto \ell(y)$ également. Donc par composition et addition, l'application

$$[v, w] : x \mapsto dw(x) \cdot v(x) - dv(x) \cdot w(x)$$

est de classe \mathcal{C}^1 sur Ω .

ii). La trilinearité de ϕ provient de la bilinéarité de $d^2u(x)$, de la linéarité de $du(x)$, $dv(x)$, $dw(x)$, ainsi que de la linéarité des opérateurs d , d^2 . La symétrie de ϕ en (v, w) provient du théorème de Schwarz pour le premier terme, et est évidente pour la somme des deux autres.

iii). La différentielle de $[u, v]$ est donnée par

$$\begin{aligned} d[u, v](x) \cdot h &= d^2v(x) \cdot (u(x), h) + dv(x) \cdot (du(x) \cdot h) \\ &\quad - d^2u(x) \cdot (v(x), h) + du(x) \cdot (dv(x) \cdot h). \end{aligned}$$

On en déduit en regroupant les termes trois par trois dans le développement de

$$[[u, v], w](x) = dw(x) \cdot [u, v](x) - d[u, v](x) \cdot w(x)$$

que $[[u, v], w] = \phi(u, w, v) - \phi(v, w, u)$. En faisant la somme des expressions obtenues par permutation circulaire sur (u, v, w) et en utilisant la symétrie de ϕ par rapport à ses deux dernières variables, on obtient

$$[[u, v], w] + [[v, w], u] + [[w, u], v] \equiv 0.$$

Exercice 2.5

i). En appliquant l'hypothèse au vecteur $h + k$ on a l'égalité

$$\phi(df(x) \cdot (h + k), df(x) \cdot (h + k)) = \phi(h + k, h + k),$$

qui se « développe » par bilinéarité et donne, en utilisant à nouveau l'hypothèse, pour les vecteurs h et k , ainsi que la symétrie de ϕ ,

$$\phi(df(x) \cdot h, df(x) \cdot k) = \phi(h, k).$$

ii). Par différentiation de la fonction identiquement nulle $x \mapsto \phi(df(x) \cdot h, df(x) \cdot k) - \phi(h, k)$ dans la direction y on obtient

$$\phi(d^2 f(x) \cdot (h, y), df(x) \cdot k) + \phi(df(x) \cdot h, d^2 f(x) \cdot (k, y)) = 0,$$

ou encore, par symétrie de ϕ ,

$$\phi(d^2 f(x) \cdot (h, y), df(x) \cdot k) = -\phi(d^2 f(x) \cdot (k, y), df(x) \cdot h).$$

Par suite, en échangeant les rôles de y et de h ,

$$\phi(d^2 f(x) \cdot (y, h), df(x) \cdot k) = -\phi(d^2 f(x) \cdot (k, h), df(x) \cdot y),$$

tandis qu'en échangeant les rôles de y et de k ,

$$\phi(d^2 f(x) \cdot (h, k), df(x) \cdot y) = -\phi(d^2 f(x) \cdot (y, k), df(x) \cdot h).$$

Enfin, par symétrie de $d^2 f(x)$ (théorème de Schwarz) on déduit de ces trois égalités

$$\phi(d^2 f(x) \cdot (h, k), df(x) \cdot y) = -\phi(d^2 f(x) \cdot (h, k), df(x) \cdot y),$$

d'où $\phi(d^2 f(x) \cdot (h, k), df(x) \cdot y) = 0$. Or, ϕ n'ayant pas de vecteur isotrope on a $\phi(df(x) \cdot y, df(x) \cdot y) = \phi(y, y) \neq 0$ quel que soit $y \neq 0$, et donc $df(x) \cdot y \neq 0$. Cela montre que l'application linéaire $df(x)$ est injective sur \mathbb{R}^n , et donc bijective. Donc le résultat précédent implique $\phi(d^2 f(x) \cdot (h, k), z) = 0$ quel que soit $z \in \mathbb{R}^n$, d'où $d^2 f(x) \cdot (h, k) = 0$ en utilisant à nouveau le fait que ϕ soit sans vecteur isotrope.

iii). D'après ce qui précède, la différentielle de df est identiquement nulle, et pour tout $x \in \mathbb{R}^n$, $df(x)$ est un isomorphisme de \mathbb{R}^n . Toute fonction de différentielle nulle sur un ouvert connexe étant constante, $df(x) =: \ell$ est donc un isomorphisme indépendant de x , et pour la même raison, la fonction $f - \ell$ est constante. Si l'on note $b \in \mathbb{R}^n$ sa valeur, on a par définition

$$f(x) = \ell(x) + b, \quad \forall x \in \mathbb{R}^n.$$

iv). L'application f est injective sur \mathbb{R}^n car ℓ l'est : si $f(x) = f(y)$ alors $\ell(x) = \ell(y)$ et donc $x = y$. Elle est aussi surjective car ℓ l'est : pour tout $z \in \mathbb{R}^n$, il existe $x \in \mathbb{R}^n$ tel que $\ell(x) = z - b$, et donc $f(x) = z$. De plus, f est de classe \mathcal{C}^∞ comme somme d'une application constante et d'une application linéaire continue, et pour tout $x \in \mathbb{R}^n$, $df(x) = \ell$ est un isomorphisme de \mathbb{R}^n . Donc d'après le théorème d'inversion globale, f est un difféomorphisme de classe \mathcal{C}^∞ de \mathbb{R}^n sur \mathbb{R}^n .

Exercice 2.6

- i). a) Si $q \equiv 0$ dans un ouvert Ω , alors $2q = d^2q(x) \equiv 0$.
- b) L'égalité $g_1(x)q(x) = g_2(x)q(x)$ implique $g_1(x) = g_2(x)$ pour tout x tel que $q(x) \neq 0$. Or d'après le i), les zéros de q sont isolés. Donc par continuité de $g_1 - g_2$, on a $g_1(x) - g_2(x) = 0$ quel que soit x .
- ii). a) La fonction f étant polynômiale de valuation 2, elle s'annule en $(0, 0)$ ainsi que sa différentielle. On a de plus $d^2f(x) \cdot (x, x) = (2 + 12x_1^2)(x_1^2 - x_2^2) = (1 + 6x_1^2)d^2f(0) \cdot (x, x)$.
- b) On a par hypothèse $d^2f(tx) \cdot (tx, tx) = g(tx) d^2f(0) \cdot (tx, tx)$, d'où en simplifiant par t^2 (par bilinéarité de $d^2f(0)$ et $d^2f(tx)$), $d^2f(tx) \cdot (x, x) = g(tx) d^2f(0) \cdot (x, x)$ quel que soit $t \neq 0$. Cette égalité est donc aussi valable en $t = 0$ par continuité de d^2f et g . D'après le i) appliqué à $q = d^2f(0)$, on en déduit en particulier $g(0) = 1$.
- iii). Par application répétée du théorème 1.12 (p. 23) et du théorème classique de dérivation sous le signe somme dans chaque direction x_i , la fonction h est de classe \mathcal{C}^p car $(t, x) \mapsto (1 - t)g(tx)$ est de classe \mathcal{C}^p et l'on intègre sur un compact. Par ailleurs, d'après la formule de Taylor avec reste intégral à l'ordre 2, puisque $f(0) = 0$ et $df(0) = 0$,

$$f(x) = \int_0^1 (1 - t) d^2f(tx) \cdot (x, x) dt = h(x) d^2f(0) \cdot (x, x)$$

grâce à la formule du ii)b).

- iv). En différentiant l'égalité précédente, on trouve

$$df(x) \cdot x = (dh(x) \cdot x + 2h(x)) d^2f(0) \cdot (x, x).$$

D'autre part (d'après la formule de Taylor avec reste intégral à l'ordre 1)

$$df(x) \cdot x = \int_0^1 d^2f(tx) \cdot (x, x) dt = \left(\int_0^1 g(tx) dt \right) d^2f(0) \cdot (x, x).$$

On en déduit l'égalité $dh(x) \cdot x + 2h(x) = \int_0^1 g(tx) dt$ en faisant à nouveau appel au i).

- v). La fonction ψ_x est dérivable et

$$\psi'_x(\lambda) = \lambda(2h(\lambda x) + dh(\lambda x) \cdot (\lambda x)) = \lambda \int_0^1 g(t\lambda x) dt \geq 0$$

avec inégalité stricte sauf en $\lambda = 0$. Donc ψ_x est une bijection strictement croissante, valant 0 en 0 et tendant vers $+\infty$ en $+\infty$ (car $\psi'_x(\lambda) = \int_0^\lambda g(\theta x) d\theta \geq \int_0^{\lambda_0} g(\theta x) d\theta > 0$ si $\lambda \geq \lambda_0$).

- vi). Bien sûr $0 = \zeta(0)$. Avec la notation précédente, pour tout $x \neq 0$ on a $\zeta(x) = \sqrt{\psi_y(\|x\|)} y$ avec $y = x/\|x\|$. Par suite, pour tout $z \neq 0$, $z = \zeta(x)$ équivaut à $x = \psi_y^{-1}(\|z\|^2) y$ avec $y = z/\|z\|$. Donc ζ est une bijection. Elle est de classe \mathcal{C}^p car h l'est et ne s'annule pas (et la fonction $\sqrt{\cdot}$ est de classe \mathcal{C}^∞ sur \mathbb{R}^{+*}).
- vii). D'après le iii) et la définition de ζ , $f(x) = d^2 f(0) \cdot (\zeta(x), \zeta(x))$ quel que soit x . (Ainsi la bijection ζ ramène f à une forme quadratique.)

Chapitre 3

Extrema

Dans ce chapitre on considère des fonctions à *valeurs réelles*, et l'on s'intéresse à leurs *extrema*, c'est-à-dire à leurs *minima* et *maxima*. On parlera en fait essentiellement de minima, les maxima d'une fonction f pouvant toujours être vus comme les minima de $-f$.

3.1 EXTREMA LIBRES

Définition 3.1 Si f est une fonction définie sur une partie D d'un espace de Banach E et à valeurs réelles, un point $a \in U$ est un minimum local de f s'il existe un voisinage V_a de a , ouvert dans D , tel que

$$f(x) \geq f(a) \quad \text{pour tout } x \in V_a.$$

On dira que a est un minimum global de f si

$$f(x) \geq f(a) \quad \text{pour tout } x \in U.$$

Un minimum est dit strict si l'inégalité est stricte, c'est-à-dire $f(x) > f(a)$, pour $x \neq a$.

L'objectif ici est de dégager des conditions nécessaires et/ou suffisantes pour avoir un minimal local selon le degré de différentiabilité de f .

Commençons par rappeler ce que l'on sait dans le cas $E = \mathbb{R}$.

Proposition 3.2 Soit g une fonction définie sur un intervalle ouvert I de \mathbb{R} et à valeurs dans \mathbb{R} , dérivable en $a \in I$. Si a est un minimum local de g alors $g'(a) = 0$. Si de

plus g est deux fois dérivable en a , alors $g''(a) \geq 0$. « Inversement » si $b \in I$ est tel que $g'(b) = 0$ et $g''(b) > 0$ alors b est un minimum local de g .

Démonstration. Par définition de la dérivabilité,

$$g(t) - g(a) - (t - a)g'(a) = \varepsilon(t)(t - a)$$

avec $\lim_{t \rightarrow a} \varepsilon(t) = 0$. Si $g'(a) \neq 0$, supposons par exemple $g'(a) > 0$, alors il existe $\eta > 0$ tel que pour $|t - a| \leq \eta$, $|\varepsilon(t)| \leq \frac{1}{2}g'(a)$, d'où

$$g(t) - g(a) = (g'(a) - \varepsilon(t))(t - a) \leq \frac{1}{2}g'(a)(t - a) < 0$$

pour $a - \eta \leq t < a$. Donc a ne peut pas être un minimum local.

Si g est deux fois dérivable, supposons que a soit un minimum local de g . Alors $g'(a) = 0$ d'après ce qui précède. Supposons $g''(a) < 0$. Comme d'après la formule de Taylor-Young

$$g(t) - g(a) - \frac{1}{2}(t - a)^2 g''(a) = \varepsilon(t)(t - a)^2$$

avec $\lim_{t \rightarrow a} \varepsilon(t) = 0$, il existe $\eta > 0$ tel que pour $|t - a| \leq \eta$, $|\varepsilon(t)| \leq -\frac{1}{4}g''(a)$, d'où

$$g(t) - g(a) = (\frac{1}{2}g''(a) - \varepsilon(t))(t - a)^2 \leq \frac{1}{4}g''(a)(t - a)^2 < 0$$

pour $|t - a| \leq \eta$, $t \neq a$. Donc a ne peut pas être un minimum local.

Enfin, si $g'(b) = 0$ et $g''(b) > 0$ alors

$$g(t) - g(b) - \frac{1}{2}(t - b)^2 g''(b) = \varepsilon(t)(t - b)^2$$

avec $\lim_{t \rightarrow b} \varepsilon(t) = 0$, et donc il existe $\eta > 0$ tel que pour $|t - b| \leq \eta$, $|\varepsilon(t)| \leq \frac{1}{4}g''(b)$, d'où

$$g(t) - g(b) = (\frac{1}{2}g''(b) - \varepsilon(t))(t - b)^2 \geq \frac{1}{4}g''(b)(t - b)^2 \geq 0$$

pour $|t - b| \leq \eta$.

Remarque : Les conditions $g'(a) = 0$ et $g''(a) \geq 0$ ne sont évidemment pas suffisantes (considérer par exemple $g(t) = t^3$ en $t = 0$) et la condition $g''(b) > 0$ n'est pas nécessaire (voir $g(t) = t^4$ en $t = 0$).

Les conditions de la proposition 3.2 s'étendent comme suit aux fonctions définies sur un ouvert d'espace de Banach.

Théorème 3.3 Soit f une fonction définie sur un ouvert U d'un espace de Banach E et à valeurs réelles, différentiable en $a \in U$. Si a est un minimum local de f alors $df(a) = 0$. Si de plus f est deux fois différentiable en a , alors $d^2 f(a) \cdot (h, h) \geq 0$ pour tout $h \in E$. « Inversement » si $b \in U$ est tel que $df(b) = 0$ et il existe $C > 0$ avec $d^2 f(b) \cdot (h, h) \geq C \|h\|^2$ pour tout $h \in E$ alors b est un minimum local de f .

Démonstration. Les conditions nécessaires sont des conséquences immédiates de la proposition 3.2. En effet, si a est un minimum local de f alors, quel que soit $h \in E$, 0 est un minimum local de la fonction d'une variable réelle $g : t \mapsto g(t) := f(a + th)$. Or $g'(a) = df(a) \cdot h$ et $g''(a) = d^2 f(a) \cdot (h, h)$. Pour les conditions suffisantes, on applique la formule de Taylor–Young à f . On a en effet

$$f(b + h) - f(b) - \frac{1}{2}d^2 f(b) \cdot (h, h) = \varepsilon(h) \|h\|^2$$

avec $\lim_{h \rightarrow 0} \varepsilon(h) = 0$. Donc il existe $\eta > 0$ tel que pour $\|h\| \leq \eta$, $|\varepsilon(h)| \leq \frac{C}{4}$, d'où

$$f(b + h) - f(b) \geq \frac{C}{4} \|h\|^2 \geq 0$$

pour $\|h\| \leq \eta$.

Remarque : En dimension finie, l'existence de $C > 0$ tel que $d^2 f(b) \cdot (h, h) \geq C \|h\|^2$ pour tout vecteur $h \in E$ équivaut à $d^2 f(b) \cdot (h, h) > 0$ quel que soit $h \neq 0_E$. En effet la fonction continue $h \mapsto d^2 f(b) \cdot (h, h)$ atteint son minimum sur la sphère unité (qui est compacte si E est de dimension finie). Par bilinéarité de $d^2 f(b)$ on en déduit l'inégalité voulue avec $C := \min_{\|h\|=1} d^2 f(b) \cdot (h, h)$. De plus, pour avoir $d^2 f(b) \cdot (h, h) > 0$ quel que soit $h \neq 0_E$, il faut et il suffit que la *matrice hessienne* de f en b , c'est-à-dire la matrice symétrique réelle de coefficients $\frac{\partial^2 f}{\partial x_j \partial x_i}(b)$ ait ses valeurs propres toutes strictement positives. Car toute matrice symétrique réelle est diagonalisable sur \mathbb{R} : ceci se démontre grâce au théorème des multiplicateurs de Lagrange que nous allons voir au prochain paragraphe (voir l'exercice 3.1).

3.2 EXTREMA LIÉS

Définition 3.4 Si f et g_1, \dots, g_p sont des fonctions définies sur un ouvert U d'un espace de Banach E et à valeurs réelles, un point $a \in U$ tel que

$g_1(a) = 0 \dots g_p(a) = 0$ est un minimum local de f sous les contraintes g_1, \dots, g_p s'il existe un voisinage ouvert V_a de a tel que

$$f(x) \geq f(a) \quad \text{pour tout } x \in V_a \text{ tel que } g_1(x) = 0, \dots, g_p(x) = 0.$$

On va obtenir ici une condition nécessaire pour qu'un point soit un minimum local sous contraintes lorsque les fonctions f et g_1, \dots, g_p sont continûment différentiables.

On dira que les contraintes g_1, \dots, g_p sont *indépendantes* au point $a \in U$ si la famille de formes linéaires continues $\{dg_1(a), \dots, dg_p(a)\}$ est libre.

Théorème 3.5 (multiplicateurs de Lagrange) Soient f et g_1, \dots, g_p des fonctions de classe \mathcal{C}^1 sur un ouvert U d'un espace de Banach E et à valeurs réelles. Soit $a \in U$ tel que $g_1(a) = 0, \dots, g_p(a) = 0$ et les contraintes g_1, \dots, g_p soient indépendantes au point a . Si a est un minimum local de f sous les contraintes g_1, \dots, g_p alors il existe des réels $\lambda_1, \dots, \lambda_p$ tels que $df(a) = \lambda_1 dg_1(a) + \dots + dg_p(a)$.

Dans cet énoncé les nombres $\lambda_1, \dots, \lambda_p$ sont appelés des *multiplicateurs de Lagrange*.

Démonstration. Grâce au théorème des fonctions implicites (par une généralisation de ce qui avait été fait dans l'exercice 1.14), on va se ramener au cas d'un minimum libre. On peut supposer sans perte de généralité $a = 0$. (Il suffit de considérer la fonction $x \mapsto f(x - a)$ au lieu de f .) Notons pour simplifier $\psi_i := dg_i(0)$ pour tout $i \in \{1, \dots, p\}$. Soit

$$G = \left(\text{Vect}(\psi_1, \dots, \psi_p) \right)^\perp := \{h \in E; \psi_i(h) = 0, i \in \{1, \dots, p\}\}.$$

Puisque la famille (ψ_1, \dots, ψ_p) est libre, il existe une famille de p vecteurs $h_1, \dots, h_p \in E$ indépendants tels que $\psi_i(h_j) = \delta_i^j$ (symbole de Kronecker, valant 1 si $i = j$ et 0 sinon). Alors le sous-espace $F = \text{Vect}(h_1, \dots, h_p)$ est tel que $G \oplus F = E$, c'est-à-dire que pour tout $x \in E$ il existe un unique couple $(z, y) \in G \times F$ tel que $x = z + y$. On a donc un isomorphisme

$$\begin{aligned} \mathcal{J} : G \times F &\rightarrow E \\ (z, y) &\mapsto x = z + y. \end{aligned}$$

La continuité de la réciproque découle du théorème 0.1 (Banach), mais aussi de la formule explicite : $y = \sum_{i=1}^p \psi_i(x) h_i$. Considérons alors la fonction

$$\begin{aligned} G \times F &\rightarrow \mathbb{R}^p \\ (z, y) &\mapsto (g_1(z + y), \dots, g_p(z + y)). \end{aligned}$$

C'est une fonction de classe \mathcal{C}^1 (comme fonction composée de fonctions de classe \mathcal{C}^1) et sa différentielle partielle par rapport à y au point $(0, 0)$ est un

isomorphisme de F sur \mathbb{R}^p , par hypothèse sur les fonctions g_i : en effet, dans la base (h_1, \dots, h_p) de F et la base canonique de \mathbb{R}^p , sa matrice jacobienne est la matrice de coefficients $\psi_i(h_j) = \delta_i^j$, c'est-à-dire la matrice identité.

Donc le théorème des fonctions implicites montre qu'il existe un voisinage V_0 de 0 dans U (image par \mathcal{J} d'un voisinage de $(0, 0)$ dans $G \times F$), et une application φ définie sur un voisinage W_0 de 0 dans G tels que

$$g_1(x) = 0, \dots, g_p(x) = 0 \quad x \in V_0 \quad \Leftrightarrow \quad x = z + \varphi(z).$$

Par conséquent, 0 est un minimum local de f sous les contraintes g_1, \dots, g_p si et seulement si 0 est un minimum local de la fonction $g : z \mapsto g(z) := f(z + \varphi(z))$. Une condition nécessaire est donc $dg(0) = 0$, c'est-à-dire

$$df(0) \cdot (k + d\varphi(0) \cdot k) = 0 \quad \text{pour tout } k \in G.$$

Or par construction de φ on a précisément $d\varphi(0) \cdot k = 0$ pour tout $k \in G$. En effet, comme φ est à valeurs dans l'espace vectoriel $F = \text{Vect}(h_1, \dots, h_p)$, il suffit de montrer que $\psi_i(d\varphi(0) \cdot k) = 0$ quel que soit $i \in \{1, \dots, p\}$: ceci s'obtient par différentiation de la fonction

$$z \mapsto g_i(z + \varphi(z)),$$

qui est identiquement nulle, en utilisant le fait que $dg_i(0) \cdot k = \psi_i(k) = 0$ pour $k \in G$ (par définition de G).

On a donc montré que $df(0) \cdot k = 0$ pour tout $k \in G$. Autrement dit, en notant pour simplifier $\psi = df(0)$, on a

$$\left(\text{Vect}(\psi_1, \dots, \psi_p)\right)^\perp \subset \left(\text{Vect}(\psi)\right)^\perp.$$

On en déduit, grâce au lemme algébrique classique rappelé ci-après :

$$\text{Vect}(\psi) \subset \text{Vect}(\psi_1, \dots, \psi_p)$$

c'est-à-dire que ψ est effectivement une combinaison linéaire des ψ_i .

Lemme 3.6 Soient $\psi, \psi_1, \dots, \psi_p$, des formes linéaires sur un espace vectoriel E . Si

$$\bigcap_{i=1}^p \text{Ker } \psi_i \subset \text{Ker } \psi$$

alors ψ est combinaison linéaire des ψ_i .

Démonstration. Soit F le sous-espace vectoriel de \mathbb{R}^{p+1} , image de E par l'application linéaire

$$x \mapsto (\psi(x), \psi_1(x), \dots, \psi_p(x)).$$

D'après l'hypothèse, $\mathbf{a} := (1, 0, \dots, 0)$ n'appartient pas à F (qui est donc de dimension au plus p). Par conséquent il existe un hyperplan H de \mathbb{R}^{p+1} qui contienne F et pas \mathbf{a} (si F est un hyperplan, il n'y a rien à faire ; sinon, on considère une base $(\mathbf{e}_1, \dots, \mathbf{e}_q)$ de F : comme $\{\mathbf{a}, \mathbf{e}_1, \dots, \mathbf{e}_q\}$ est une famille indépendante on peut la compléter en une base $(\mathbf{a}, \mathbf{e}_1, \dots, \mathbf{e}_p)$ de \mathbb{R}^{p+1} , et ainsi définir H comme l'hyperplan engendré par $(\mathbf{e}_1, \dots, \mathbf{e}_p)$). Soit alors une équation cartésienne de H :

$$\lambda y_0 + \sum_{j=1}^p \lambda_j y_j = 0.$$

On a $\lambda \neq 0$ puisque $\mathbf{a} \notin F$, et pour tout $x \in E$,

$$\lambda \psi(x) + \sum_{j=1}^p \lambda_j \psi_j(x) = 0.$$

Autrement dit, $\psi = \frac{1}{\lambda} \sum_{j=1}^p \lambda_j \psi_j$.

Jusqu'à présent, nous avons considéré des problèmes d'extremum sur des ensembles vérifiant une propriété topologique essentielle : celle d'être ouvert. Il est en effet important de noter que les conditions nécessaires d'extremum local de la proposition 3.2 et des théorèmes 3.3, 3.5 sont fausses lorsque U n'est pas un ouvert. (On le voit par exemple pour les fonctions monotones $[a, b] \rightarrow \mathbb{R}$.) Nous allons maintenant considérer des problèmes d'extremum sur des ensembles ayant la propriété géométrique d'être convexes.

3.3 FONCTIONS CONVEXES

3.3.1 Convexité, différentiabilité et minimisation

Définition 3.7 *Un sous-ensemble C d'un \mathbb{R} -espace vectoriel E est dit convexe si pour tous $x, y \in C$, pour tout $\theta \in [0, 1]$, $\theta x + (1 - \theta)y \in C$. Une fonction f définie sur un convexe C et à valeurs dans \mathbb{R} est dite convexe si pour tous $x, y \in C$, pour tout $\theta \in [0, 1]$,*

$$f(\theta x + (1 - \theta)y) \leq \theta f(x) + (1 - \theta)f(y).$$

Elle est dite strictement convexe si l'inégalité ci-dessus est stricte lorsque $x \neq y$ et $\theta \in]0, 1[$.

Théorème 3.8 Soit $f : U \rightarrow \mathbb{R}$ une fonction différentiable sur un ouvert U d'un \mathbb{R} -espace de Banach E et soit C un sous-ensemble convexe de U . Alors $f|_C$ est convexe si et seulement si, pour tous $x, y \in C$,

$$f(y) \geq f(x) + df(x) \cdot (y - x).$$

Elle est strictement convexe si l'inégalité ci-dessus est stricte pour $x \neq y$. En supposant en outre que f est deux fois différentiable, $f|_C$ est convexe si et seulement si pour tous $x, y \in C$,

$$d^2 f(x) \cdot (y - x, y - x) \geq 0.$$

Elle est strictement convexe si l'inégalité ci-dessus est stricte pour $x \neq y$.

Démonstration. Supposons f convexe. Soient $x, y \in C$ et $\theta \in]0, 1[$. On a

$$\frac{f(x + \theta(y - x)) - f(x)}{\theta} \leq f(y) - f(x),$$

d'où $df(x) \cdot (y - x) \leq f(y) - f(x)$ en faisant tendre θ vers 0. Si f est strictement convexe, on a une inégalité stricte pour $x \neq y$ et $\theta \in]0, 1[$, mais elle devient large dans le passage à la limite. Pour démontrer qu'effectivement $df(x) \cdot (y - x) < f(y) - f(x)$, on observe que pour tout $\omega > 0$,

$$x + \theta(y - x) = \frac{\omega - \theta}{\omega} x + \frac{\omega}{\omega} (x + \omega(y - x)),$$

d'où, pour $0 < \theta < \omega < 1$,

$$\frac{f(x + \theta(y - x)) - f(x)}{\theta} < \frac{f(x + \omega(y - x)) - f(x)}{\omega} < f(y) - f(x).$$

On obtient l'inégalité stricte souhaitée en gardant ω fixé et en faisant tendre θ vers 0. Réciproquement, si l'on a $f(y) \geq f(x) + df(x) \cdot (y - x)$ quels que soient x et $y \in C$, on obtient l'inégalité de convexité en prenant la combinaison convexe des inégalités

$$f(x) \geq f(x + \theta(y - x)) - \theta df(x + \theta(y - x)) \cdot (y - x),$$

$$f(y) \geq f(x + \theta(y - x)) + (1 - \theta) df(x + \theta(y - x)) \cdot (y - x).$$

Pour la caractérisation de la convexité en terme de différentielles secondes, on peut considérer, à x fixé, la fonction $g : y \mapsto f(y) - df(x) \cdot (y)$. La différence avec f étant une fonction affine, g est convexe si et seulement si f l'est,

et $d^2 f(x) = d^2 g(x)$. Or, si f est convexe, la première partie montre que x est un minimum (global) de $g|_C$. En appliquant à $\theta \in [0, 1] \mapsto g(x + \theta(y - x))$ la formule de Taylor–Young exactement comme dans la démonstration de la proposition 3.2, on en déduit que nécessairement $d^2 f(x) \cdot (y - x, y - x) \geq 0$. Inversement, supposons que l'on ait cette inégalité quels que soient x et y dans C . Alors d'après la formule des accroissements finis (voir le théorème 8.24, p. 301 dans l'appendice) appliquée entre 0 et 1 à la fonction

$$\begin{aligned} [0, 1] &\rightarrow \mathbb{R} \\ \theta &\mapsto f(x + \theta(y - x)) + (1 - \theta) df(x + \theta(y - x)) \cdot (y - x), \end{aligned}$$

il existe $\theta \in]0, 1[$ tel que

$$\begin{aligned} f(y) - f(x) - df(x) \cdot (y - x) &= (1 - \theta) d^2 f(x + \theta(y - x)) \cdot (y - x, y - x) \\ &= \frac{1}{1 - \theta} d^2 f(x + \theta(y - x)) \cdot (y - (x + \theta(y - x)), y - (x + \theta(y - x))) \geq 0. \end{aligned}$$

Donc f est convexe d'après la première partie.

Théorème 3.9 Soit $f : U \rightarrow \mathbb{R}$ une fonction définie sur un ouvert U d'un \mathbb{R} -espace de Banach E et soit C un sous-ensemble convexe de U .

- i). si $f|_C$ est convexe et admet un minimum local dans C , c'est un minimum global ;
- ii). si $f|_C$ est strictement convexe alors elle admet au plus un minimum, et c'est un minimum strict ;
- iii). si f est différentiable, une condition nécessaire pour qu'un point $a \in C$ soit un minimum de $f|_C$ est $df(a) \cdot (y - a) \geq 0$ pour tout $y \in C$. Si de plus $f|_C$ est convexe, cette condition est également suffisante.

Démonstration.

- i). supposons $f|_C$ convexe et admettant un minimum local en $a \in C$, et soit $x \in C$. Pour tout $\theta \in [0, 1]$, $f(a + \theta(x - a)) - f(a) \leq \theta(f(x) - f(a))$ et le membre de gauche est positif ou nul pour $\theta > 0$ assez petit. Par conséquent, $f(x) - f(a) \geq 0$.
- ii). si $f|_C$ est strictement convexe, on obtient comme ci-dessus l'inégalité stricte $f(x) - f(a) > 0$ pour $x \neq a$. Un minimum strict est toujours unique.
- iii). supposons f différentiable et admettant un minimum en $a \in C$. Soit $x \in C$: il existe une fonction $\varepsilon : \theta \mapsto \varepsilon(\theta)$ tendant vers 0 en 0, telle que

$$f(a + \theta(x - a)) - f(a) = \theta df(a) \cdot (x - a) + \theta \varepsilon(\theta).$$

Si on avait $df(a) \cdot (x - a) < 0$, on aurait $f(a + \theta(x - a)) < f(a)$ pour $\theta > 0$ assez petit. Inversement, si $f|_C$ est convexe et si l'on a l'inégalité $df(a) \cdot (y - a) \geq 0$ pour tout $y \in C$, alors d'après la première partie du théorème 3.8, a est un minimum de f .

Un exemple important de problème de minimisation sur un ensemble convexe est fourni par ce que l'on appelle des *contraintes-inégalités*

$$g_1(a) \leq 0, \dots, g_p(a) \leq 0,$$

où les fonctions g_j sont convexes. Un exemple important de fonction convexe à minimiser est celui des fonction(elle)s *quadratiques*, c'est-à-dire de la forme

$$x \mapsto f(x) = \phi(x, x) + \ell(x),$$

où ϕ est une forme bilinéaire continue positive et ℓ est une forme linéaire continue.

3.3.2 Fonctions convexes conjuguées

Soit f une fonction strictement convexe sur un ouvert convexe U de l'espace E . Pour tout $q \in E^* = \mathcal{L}(E; \mathbb{R})$, on définit

$$f^*(q) = \sup_{u \in U} (q \cdot u - f(u)).$$

La fonction $u \in U \mapsto f(u) - q \cdot u$ étant strictement convexe, ou ce qui est équivalent, la fonction $u \in U \mapsto q \cdot u - f(u)$ étant strictement concave, elle admet au plus un maximum local, et c'est un maximum global (d'après le théorème 3.8). Par suite on a soit $f^*(q) = +\infty$ soit $f^*(q) = q \cdot u^*(q) - f(u^*(q))$, où $u^*(q)$ est l'unique point critique (s'il existe) de la fonction $u \in U \mapsto q \cdot u - f(u)$, c'est-à-dire que

$$q = df(u^*(q)).$$

La fonction $f^* : E^* \rightarrow]-\infty, +\infty]$ ainsi définie est convexe : c'est la *fonction convexe conjuguée* de f , aussi appelée *transformée de Fenchel–Moreau* de f . Dans l'exemple très simple de la fonction d'une variable réelle $f : u \mapsto u^2/2$ on vérifie aisément que, moyennant l'identification de $\mathcal{L}(\mathbb{R}; \mathbb{R})$ avec \mathbb{R} , $f^* = f$.

3.4 INTRODUCTION AU CALCUL DES VARIATIONS

Considérons l'espace $E = \mathcal{C}^1([0, 1]; \mathbb{R}^n)$ muni de la norme définie par

$$\|u\| := \max(\|u\|_\infty, \|u'\|_\infty), \quad \|u\|_\infty := \max_{t \in [0, 1]} \|u(t)\|_{\mathbb{R}^n}.$$

Soient $a, b \in \mathbb{R}^n$. Considérons l'ensemble $C := \{u \in E; u(0) = a, u(1) = b\}$, convexe, et une fonction(nelle) de la forme

$$\mathcal{A} : u \in E \mapsto \int_0^1 L(u(t), u'(t)) dt,$$

où $L \in \mathcal{C}^2(\mathbb{R}^n \times \mathbb{R}^n; \mathbb{R})$ est ce que l'on appelle un *lagrangien* (et \mathcal{A} est la *fonctionnelle d'action* associée). On montre sans peine que \mathcal{A} est différentiable sur E . D'après le théorème 3.9, si \mathcal{A} admet un minimum u sur C , alors $d\mathcal{A}(u) \cdot h \geq 0$ pour tout $h \in C - u$, c'est-à-dire pour tout $h \in E$ tel que $h(0) = h(1) = 0$. Par suite, l'inégalité est en fait une égalité : une condition nécessaire pour que u soit un minimum de \mathcal{A} sur C est par conséquent (en dérivant sous le signe \int , ce qui ne pose pas de problème sur le compact $[0, 1]$),

$$\int_0^1 \sum_{i=1}^n \frac{\partial L}{\partial q_i}(u(t), u'(t)) h_i(t) + \int_0^1 \sum_{i=1}^n \frac{\partial L}{\partial \dot{q}_i}(u(t), u'(t)) h'_i(t) dt = 0,$$

quel que soit $h \in E$ tel que $h(0) = h(1) = 0$, où l'on a noté (de façon standard) q_i et \dot{q}_i les composantes des arguments de L . Si de plus u est de classe \mathcal{C}^2 , en intégrant par parties le deuxième morceau, on peut réécrire l'égalité ci-dessus sous la forme

$$\int_0^1 \sum_{i=1}^n \left(\frac{\partial L}{\partial q_i}(u(t), u'(t)) - \frac{d}{dt} \left(\frac{\partial L}{\partial \dot{q}_i}(u(t), u'(t)) \right) \right) h_i(t) dt = 0.$$

Pour qu'elle soit satisfaite quelle que soit la fonction h , il faut et il suffit, d'après ce que l'on appelle parfois le *lemme fondamental du calcul intégral* (voir par exemple [2, Lemme IV.2]) que

$$\forall t \in [0, 1], \quad \frac{\partial L}{\partial q_i}(u(t), u'(t)) - \frac{d}{dt} \left(\frac{\partial L}{\partial \dot{q}_i}(u(t), u'(t)) \right) = 0,$$

c'est-à-dire que u soit solution de l'équation différentielle

$$\frac{d}{dt} \left(\frac{\partial L}{\partial \dot{q}_i}(u, u') \right) = \frac{\partial L}{\partial q_i}(u, u'). \quad (3.1)$$

C'est l'équation d'Euler-Lagrange associée à la fonction L . En abrégé elle s'écrit $\delta\mathcal{A}(u) = 0$, où $\delta\mathcal{A}$ désigne le *gradient variationnel* de \mathcal{A} , défini par

$$\begin{aligned} \delta\mathcal{A} : \mathcal{C}^2([0, 1]; \mathbb{R}^n) &\rightarrow \mathcal{C}^0([0, 1]; \mathbb{R}^n) \\ u &\mapsto \delta\mathcal{A}(u); \end{aligned}$$

$$\delta\mathcal{A}(u)_i(t) = \frac{\partial L}{\partial q_i}(u(t), u'(t)) - \frac{d}{dt} \left(\frac{\partial L}{\partial \dot{q}_i}(u(t), u'(t)) \right), \quad i \in \{1, \dots, n\}.$$

Si L est convexe, alors \mathcal{A} aussi (par linéarité de l'intégrale), et par conséquent si $u \in C$ est solution de l'équation d'Euler-Lagrange (3.1), c'est un minimum de \mathcal{A} . Lorsque L n'est pas convexe, l'équation d'Euler-Lagrange est loin d'être suffisante pour minimiser \mathcal{A} . On peut cependant obtenir des informations en étudiant la *hessienne* de \mathcal{A} , qui n'est pas une matrice puisque E est de dimension infinie, mais en fait un opérateur différentiel à coefficients matriciels.

Proposition 3.10 *Pour une fonctionnelle*

$$\mathcal{A} : u \in \mathcal{C}^2([0, 1]; \mathbb{R}^n) \mapsto \int_0^1 L(u(t), u'(t)) dt ,$$

où $L \in \mathcal{C}^2(\mathbb{R}^n \times \mathbb{R}^n; \mathbb{R})$, pour tout $u \in \mathcal{C}^2([0, 1]; \mathbb{R}^n)$, pour tout $h \in \mathcal{C}^2([0, 1]; \mathbb{R}^n)$ tel que $h(0) = h(1) = 0$ et $h'(0) = h'(1) = 0$, on a

$$\begin{aligned} \frac{d}{d\theta} \mathcal{A}(u + \theta h)|_{\theta=0} &= \langle \delta \mathcal{A}(u), h \rangle , \\ \frac{d^2}{d\theta^2} \mathcal{A}(u + \theta h)|_{\theta=0} &= \langle h, \text{Hess} \mathcal{A}(u) h \rangle , \end{aligned}$$

où $\langle \cdot, \cdot \rangle$ désigne le produit scalaire défini sur $\mathcal{C}([0, 1]; \mathbb{R}^n)$ par

$$\langle u, v \rangle = \int_0^1 \sum_{i=1}^n u_i(t) v_i(t) dt ,$$

et

$$\text{Hess} \mathcal{A}(u) := - \frac{d}{dt} A(u) \frac{d}{dt} + B(u) \frac{d}{dt} + C(u) ,$$

$$A(u)_{i,j} = \frac{\partial^2 L}{\partial \dot{q}_i \partial \dot{q}_j}(u, u') \quad B(u)_{i,j} = 2 \frac{\partial^2 L}{\partial q_i \partial \dot{q}_j}(u, u') \quad C(u)_{i,j} = \frac{\partial^2 L}{\partial q_i \partial q_j}(u, u') .$$

Des conditions nécessaires pour que \mathcal{A} admette un minimum local en u dans l'ensemble

$$C := \{u \in E ; u(0) = a , u(1) = b , u'(0) = 0 , u'(1) = 0\}$$

sont $\delta \mathcal{A}(u) = 0$ et $\langle h, \text{Hess} \mathcal{A}(u) h \rangle \geq 0$ quel que soit h .

Démonstration. On a déjà vu que

$$\frac{d}{d\theta} \mathcal{A}(u + \theta h)|_{\theta=0} = d\mathcal{A}(u) \cdot h = \langle \delta \mathcal{A}(u), h \rangle .$$

En dérivant une fois de plus sous le signe \int (avant de faire $\theta = 0$!), on obtient

$$\begin{aligned} \frac{d^2}{d\theta^2} \mathcal{A}(u + \theta h)|_{\theta=0} &= \int_0^1 \sum_{i,j=1}^n \left(\frac{\partial^2 L}{\partial q_i \partial q_j}(u(t), u'(t)) h_i(t) h_j(t) \right. \\ &\quad \left. + 2 \frac{\partial^2 L}{\partial q_i \partial \dot{q}_j}(u(t), u'(t)) h_i(t) h'_j(t) + \frac{\partial^2 L}{\partial \dot{q}_i \partial \dot{q}_j}(u(t), u'(t)) h'_i(t) h'_j(t) \right) dt \end{aligned}$$

(on a utilisé le théorème de Schwarz pour rassembler les dérivées croisées de L dans le morceau du milieu), d'où, en intégrant par parties le dernier morceau, l'expression annoncée pour $\text{Hess}\mathcal{A}(u)$. Si \mathcal{A} a un minimum local en u dans C alors pour tout $h \in \mathcal{C}^2([0, 1]; \mathbb{R}^n)$ tel que $h(0) = h(1) = 0$ et $h'(0) = h'(1) = 0$,

$$\frac{d}{d\theta}\mathcal{A}(u + \theta h)|_{\theta=0} = 0 \quad \text{et} \quad \frac{d^2}{d\theta^2}\mathcal{A}(u + \theta h)|_{\theta=0} \geq 0,$$

ce qui implique $\delta\mathcal{A}(u) = 0$ (comme on l'a déjà vu plus haut) et

$$\langle h, \text{Hess}\mathcal{A}(u)h \rangle \geq 0$$

quel que soit h .

Un opérateur différentiel de la forme

$$P := -\frac{d}{dt}A(u)\frac{d}{dt} + B(u)\frac{d}{dt} + C(u)$$

comme ci-dessus est appelé, lorsque $n = 1$, *opérateur de Sturm–Liouville*. L'étude de ses propriétés de « monotonie » (on parle aussi de coercivité), c'est-à-dire du signe de $\langle h, Ph \rangle$ pour h appartenant à certains sous-espaces de $\mathcal{C}^2([0, 1]; \mathbb{R})$ (ou $L^2([0, 1]; \mathbb{R})$), est alors intimement liée à l'étude de ses propriétés spectrales, et fait partie de ce que l'on appelle la *théorie de Sturm–Liouville* (voir par exemple [24]).

EXERCICES

Exercice 3.1 On munit \mathbb{R}^n du produit scalaire usuel $\langle \cdot, \cdot \rangle$, et de la norme euclidienne associée, notée $\| \cdot \|$. Soit $A \in \mathcal{L}(\mathbb{R}^n)$ tel que

$$\langle A(x), y \rangle = \langle x, A(y) \rangle \quad \text{quels que soient } x \text{ et } y \in \mathbb{R}^n,$$

et soit la fonction

$$\begin{aligned} f : \mathbb{R}^n &\rightarrow \mathbb{R} \\ x &\mapsto f(x) := \langle A(x), x \rangle. \end{aligned}$$

i). Montrer que f est de classe \mathcal{C}^∞ .

ii). Montrer qu'il existe $v \in \mathbb{R}^n$ tel que $\|v\| = 1$ et

$$f(v) = \inf_{\|x\|=1} f(x).$$

iii). Montrer que v est un vecteur propre de A , c'est-à-dire que $v \neq 0$ et il existe $\lambda \in \mathbb{R}$ tel que $A(v) = \lambda v$.

iv). Montrer que λ est la plus petite valeur propre de A .

Exercice 3.2 On suppose ici $n \geq 2$. Soient a et b deux vecteurs distincts de \mathbb{R}^n , et soit

$$\begin{aligned} f : \mathbb{R}^n &\rightarrow \mathbb{R} \\ x &\mapsto \|x - a\|^2 \|x - b\|^2. \end{aligned}$$

i). Montrer que f est de classe \mathcal{C}^∞ sur \mathbb{R}^n .

ii). Calculer la différentielle et la différentielle seconde de f .

iii). Trouver tous les points critiques de f , c'est-à-dire les vecteurs $x \in \mathbb{R}^n$ tels que $df(x) \equiv 0$.

iv). La fonction f possède-t-elle des extrema locaux dans \mathbb{R}^n ? des extrema globaux dans \mathbb{R}^n ?

Exercice 3.3 Soient

$$\begin{aligned} g : \mathbb{R}^+ &\rightarrow \mathbb{R} \\ t &\mapsto g(t) := (t - 1)^2 (t + 1), \end{aligned}$$

et

$$\begin{aligned} \varphi : \mathbb{R}^3 &\rightarrow \mathbb{R} \\ (x, y, z) &\mapsto \varphi(x, y, z) := x^2 + y^2 + z^2 + xy - xz. \end{aligned}$$

- i). Montrer que g' s'annule seulement en $t = 1$.
- ii). Montrer que φ est à valeurs positives, et s'annule seulement en $(0, 0, 0)$.
- iii). Soit $f = g \circ \varphi$. Montrer que $a \in \mathbb{R}^3$ est un point critique de f si et seulement si $a = (0, 0, 0)$ ou $\varphi(a) = 1$.
- iv). Déterminer la matrice hessienne de f en $(0, 0, 0)$. En déduire la nature de ce point critique.
- v). Montrer que f est à valeurs positives. En déduire que tout point critique non nul de f est un minimum global de f .

Exercice 3.4 Soient des nombres réels strictement positifs $\alpha_1, \dots, \alpha_n$ tels que $\sum_{i=1}^n \alpha_i = 1$, et soit

$$\begin{aligned} f : (\mathbb{R}^+)^n &\rightarrow \mathbb{R} \\ x = (x_1, \dots, x_n) &\mapsto x_1^{\alpha_1} \times \dots \times x_n^{\alpha_n}. \end{aligned}$$

On notera $C := \{x = (x_1, \dots, x_n) \in (\mathbb{R}^+)^n ; \sum_{i=1}^n \alpha_i x_i = 1\}$.

- i). Montrer qu'il existe $a = (a_1, \dots, a_n) \in C$ tel que $f(a) = \sup_{x \in C} f(x)$, et que $a_i > 0$ pour tout $i \in \{1, \dots, n\}$.
- ii). Trouver tous les points $a \in C$ tels que $f(a) = \sup_{x \in C} f(x)$. En déduire que pour tout $x \in C$, $x_1^{\alpha_1} \dots x_n^{\alpha_n} \leq 1$.
- iii). Montrer que pour tout $x \in (\mathbb{R}^+)^n$, $x_1^{\alpha_1} \dots x_n^{\alpha_n} \leq \sum_{i=1}^n \alpha_i x_i$. Dans quel(s) cas a-t-on égalité ?
- iv). On considère dans \mathbb{R}^3 un parallélépipède rectangle dont les côtés ont respectivement pour longueur x , y , et z . On note V son volume et S l'aire de sa surface. En exprimant S et V en fonction de x , y , z , et en utilisant ce qui précède montrer que

$$V^{2/3} \leq S/6.$$

Comment obtenir un parallélépipède rectangle de surface minimale à volume donné ?

Exercice 3.5 Soient $U = \{x = (x_1, \dots, x_n) \in \mathbb{R}^n; x_i > 0 \ \forall i \in \{1, \dots, n\}\}$, $\alpha \in \mathbb{R}^{+*}$, et

$$f : U \rightarrow \mathbb{R}$$

$$x = (x_1, \dots, x_n) \mapsto f(x) := \prod_{k=1}^n x_k + \alpha^{n+1} \sum_{k=1}^n \frac{1}{x_k}.$$

- i). Montrer que f est de classe \mathcal{C}^∞ sur U .
- ii). Calculer $df(x)$ pour tout $x \in U$.
- iii). Montrer que f admet un unique point critique $a \in U$ (c'est-à-dire tel que $df_a = 0$).
- iv). Calculer $d^2f(x)$ pour tout $x \in U$.
- v). Montrer que a est un minimum local strict pour f .
- vi). Dans quel cas simple peut-on dire que a est un minimum global ?

Exercice 3.6 Transformée de Legendre

Soit

$$L : \mathbb{R}^n \times \mathbb{R}^n \rightarrow \mathbb{R}$$

$$(q, \dot{q}) \mapsto L(q, \dot{q})$$

de classe \mathcal{C}^2 . On suppose que L est strictement convexe par rapport à \dot{q} , c'est-à-dire que la matrice de coefficients $\frac{\partial^2 L}{\partial \dot{q}_i \partial \dot{q}_j}(q, \dot{q})$ est définie positive quel que soit (q, \dot{q}) .

- i). Montrer que l'application $(q, \dot{q}) \mapsto (q, p)$ avec

$$p := \nabla_{\dot{q}} L(q, \dot{q}), \quad \text{i.e. } p_j = \frac{\partial L}{\partial \dot{q}_j}, \quad j \in \{1, \dots, n\},$$

est un difféomorphisme local en tout point de $\mathbb{R}^n \times \mathbb{R}^n$. Pour simplifier on suppose dans la suite que c'est un difféomorphisme global.

- ii). Soient $r : \mathbb{R}^n \times \mathbb{R}^n \rightarrow \mathbb{R}^n$ tel que

$$r(q, \nabla_{\dot{q}} L(q, \dot{q})) = \dot{q}$$

pour tout $(q, \dot{q}) \in \mathbb{R}^n \times \mathbb{R}^n$, et

$$H : \mathbb{R}^n \times \mathbb{R}^n \rightarrow \mathbb{R}$$

$$(q, p) \mapsto \sum_{j=1}^n p_j r_j(q, p) - L(q, r(q, p)),$$

que l'on appelle *hamiltonien* associée au lagrangien L . Montrer que pour tout $j \in \{1, \dots, n\}$,

$$\frac{\partial H}{\partial q_j}(q, p) = -\frac{\partial L}{\partial q_j}(q, r(q, p)), \quad \frac{\partial H}{\partial p_j}(q, p) = r_j(q, p).$$

iii). En déduire que l'équation d'Euler–Lagrange pour L équivaut au système hamiltonien :

$$\begin{cases} \frac{dq_j}{dt} = \frac{\partial H}{\partial p_j}(q, p), \\ \frac{dp_j}{dt} = -\frac{\partial H}{\partial q_j}(q, p). \end{cases}$$

iv). Calculer le hamiltonien H associé à un lagrangien L de la forme

$$L(q, \dot{q}) = \frac{1}{2} \|\dot{q}\|^2 - U(q),$$

et écrire le système hamiltonien correspondant.

Exercice 3.7 Formule de Lax

On considère une équation aux dérivées partielles non-linéaire, appelée *équation de Hamilton–Jacobi*, de la forme

$$\partial_t v + f(\partial_x v) = 0, \quad (3.2)$$

où l'inconnue v est à valeurs dans \mathbb{R} et la fonction f (appelée fonction flux) est de classe \mathcal{C}^∞ (pour simplifier) et *strictement convexe*, c'est-à-dire que $f''(u) > 0$ pour tout $u \in \mathbb{R}$. On note f^* sa fonction convexe conjuguée. On suppose en outre que f' est globalement Lipschitzienne. On se donne $v_0 \in \mathcal{C}_b^2(\mathbb{R})$ (c'est-à-dire que v_0 , v_0' et v_0'' sont bornées). Montrer que, si $v \in \mathcal{C}_b^2(\mathbb{R} \times [0, T])$ est solution de (3.2) et $v(x, 0) = v_0(x)$ pour tout $x \in \mathbb{R}$, alors pour tout $(x, t) \in \mathbb{R} \times [0, T]$,

$$v(x, t) = \inf_{y \in \mathbb{R}} \left(v_0(y) + t f^* \left(\frac{x - y}{t} \right) \right).$$

Exercice 3.8 Soient U un ouvert convexe de \mathbb{R}^n , $f \in \mathcal{C}^\infty(U; \mathbb{R}^n)$, et pour tout $u \in U$, $A(u) = Df(u)$ la matrice jacobienne de f . On suppose qu'il existe $E \in \mathcal{C}^\infty(U; \mathbb{R})$, strictement convexe, c'est-à-dire telle que $d^2 E(u) > 0$ pour tout $u \in U$, et $F \in \mathcal{C}^\infty(U; \mathbb{R})$ telles que

$$dE(u) \circ df(u) = dF(u)$$

pour tout $u \in U$. L'objectif est de montrer, en faisant le moins de calculs possible, que pour tout $u \in U$, la matrice $\text{Hess} E(u)A(u)$ est symétrique. On va utiliser pour cela la fonction convexe conjuguée de E , notée E^* . Soient $\phi : q \mapsto dE^*(q)$, et $g = f \circ \phi$.

i). Montrer que $g = dG$ avec

$$G : q \mapsto \langle q, g(q) \rangle - (F \circ \phi)(q).$$

ii). Exprimer df à l'aide de $d^2 G$ et $d^2 E$ et conclure.

SOLUTION DES EXERCICES

Exercice 3.1

- i). La fonction f est de classe \mathcal{C}^∞ comme composée de l'application linéaire (donc \mathcal{C}^∞ sur \mathbb{R}^n) $x \mapsto (A(x), x)$ et du produit scalaire (bilinéaire et donc \mathcal{C}^∞ sur $\mathbb{R}^n \times \mathbb{R}^n$).
- ii). La sphère unité de \mathbb{R}^n étant compacte, la fonction continue f atteint son minimum sur cette sphère.
- iii). C'est un problème de minimisation sous la contrainte $g(u) = 0$ avec $g(u) := \|u\|^2 - 1$. Donc d'après le théorème 3.5, il existe $\lambda \in \mathbb{R}$ tel que $df(v) = \lambda dg(v)$. Or $df(v) \cdot h = 2\langle A(v), h \rangle$ et $dg(v) \cdot h = 2\langle v, h \rangle$ quel que soit $h \in \mathbb{R}^n$. Donc $A(v) = \lambda v$.
- iv). Par définition, λ est une valeur propre de A (noter que $v \neq 0$ puisqu'il est unitaire). Si μ est une autre valeur propre, on peut lui associer un vecteur propre unitaire w , pour lequel on a $f(w) = \mu \geq \inf_{\|x\|=1} f(x) = \lambda$.

Exercice 3.2

- i). La fonction

$$\begin{aligned} f : \mathbb{R}^n &\rightarrow \mathbb{R} \\ x &\mapsto \|x - a\|^2 \|x - b\|^2 \end{aligned}$$

est la composée de l'application affine $x \in \mathbb{R}^n \mapsto (x - a, x - a, x - b, x - b) \in (\mathbb{R}^n)^4$ et de la forme quadrilinéaire $(w, x, y, z) \in (\mathbb{R}^n)^4 \mapsto \langle w, x \rangle \langle y, z \rangle$, qui sont toutes deux de classe \mathcal{C}^∞ d'après le cours (les applications affines étant elles-mêmes sommes d'applications linéaires et d'applications constantes).

- ii). On différencie f grâce à cette décomposition :

$$df(x) \cdot h = 2\|x - b\|^2 \langle x - a, h \rangle + 2\|x - a\|^2 \langle x - b, h \rangle,$$

$$\begin{aligned} d^2 f(x) \cdot (h, k) &= 2(\|x - a\|^2 + \|x - b\|^2) \langle h, k \rangle + 4 \langle x - a, h \rangle \langle x - b, k \rangle \\ &\quad + 4 \langle x - a, k \rangle \langle x - b, h \rangle. \end{aligned}$$

- iii). On peut réécrire par linéarité

$$df(x) \cdot h = 2\langle \|x - b\|^2(x - a) + \|x - a\|^2(x - b), h \rangle.$$

Par suite, si $df(x)$ est identiquement nulle on doit avoir

$$\|x - b\|^2(x - a) + \|x - a\|^2(x - b) = 0.$$

Des solutions évidentes sont $x = a$ et $x = b$. Si $x \neq a$ et $x \neq b$, l'égalité ci-dessus implique que les deux vecteurs $(x - a)$ et $(x - b)$ sont colinéaires : en posant par exemple $x - b = \alpha(x - a)$ on trouve de plus que $\alpha^2 + \alpha = 0$ et donc $\alpha = -1$, ce qui donne finalement $x = (a + b)/2$. Les points critiques de f sont donc a , b et $(a + b)/2$.

- iv). Les points a et b sont des minima globaux (et *a fortiori* locaux), puisque $f(a) = f(b) = 0$ et $f(x) \geq 0$ quel que soit $x \in \mathbb{R}^n$. Pour le point critique $c := (a + b)/2$ on a

$$d^2 f(c) \cdot (h, h) = \|b - a\|^2 \|h\|^2 - 2 \langle b - a, h \rangle^2.$$

On constate en particulier que $d^2 f_c(b - a, b - a) = -\|b - a\|^4 < 0$, tandis que pour $h \neq 0$ orthogonal à $(b - a)$, on a $d^2 f(c) \cdot (h, h) = \|b - a\|^2 \|h\|^2 > 0$. Donc $d^2 f_c$ n'est ni définie positive ni définie négative et par conséquent c n'est pas un extremum local de f (ni *a fortiori* global).

Exercice 3.3

- i). On calcule $g'(t) = (t - 1)(3t + 1)$ et comme $-1/3 \notin \mathbb{R}^+$ (le domaine de définition de g et donc de g'), on en déduit que g' s'annule seulement en $t = 1$.
- ii). On a $2\varphi(x, y, z) := (x + y)^2 + (x - y)^2 + y^2 + z^2 \geq 0$ comme somme de termes positifs ou nuls, et $\varphi(x, y, z) = 0$ si et seulement tous ces termes sont nuls, ce qui équivaut à $z = 0$, $y = 0$ et $x = 0$.
- iii). Par la formule de différentiation des fonctions composées on a $df(a) \cdot h = g'(\varphi(a)) d\varphi(a) \cdot h$. Ainsi $df(a) \equiv 0$ si et seulement si $g'(\varphi(a)) = 0$ ou $d\varphi_a \equiv 0$. Comme φ est à valeurs dans \mathbb{R}^+ , $g'(\varphi(a)) = 0$ équivaut d'après le 1) à $\varphi(a) = 1$. D'autre part, pour $a = (a_1, a_2, a_3)$ et $h = (h_1, h_2, h_3)$ on a

$$d\varphi_a(h) = (2a_1 + a_2 - a_3)h_1 + (2a_2 + a_1)h_2 + (2a_3 - a_1)h_3,$$

et par conséquent $d\varphi_a \equiv 0$ équivaut à

$$\begin{cases} 2a_1 + a_2 - a_3 = 0, \\ 2a_2 + a_1 = 0, \\ 2a_3 - a_1 = 0, \end{cases}$$

système linéaire dont la seule solution est $a = (0, 0, 0)$.

- iv). Par la formule de différentiation des fonctions composées, on a pour tout $h, k \in \mathbb{R}^3$,

$$d^2 f(a) \cdot (h, k) = g''(\varphi(a)) d\varphi_a(k) d\varphi(a) \cdot h + g'(\varphi(a)) d^2 \varphi(a) \cdot (h, k).$$

En particulier, pour $a = (0, 0, 0)$ le premier terme est nul et il reste

$$d^2 f(0, 0, 0) \cdot (h, k) = g'(0) d^2 \varphi(0, 0, 0) \cdot (h, k) = -d^2 \varphi(0, 0, 0) \cdot (h, k).$$

Par conséquent la matrice hessienne de f au point $(0, 0, 0)$ est l'opposé de la matrice hessienne de φ au même point. Elle s'écrit

$$D^2 f(0, 0, 0) = \begin{pmatrix} -2 & -1 & 1 \\ -1 & -2 & 0 \\ 1 & 0 & -2 \end{pmatrix}.$$

Comme φ est quadratique définie positive d'après le 2), sa hessienne $D^2\varphi(0, 0, 0)$ est aussi définie positive (on a $d^2\varphi(a) \cdot (h, h) = 2\varphi(h)$ pour tout $h \in \mathbb{R}^3$) et $(0, 0, 0)$ est donc *maximum* local de f .

- v). Le point $t = 1$ est un minimum global de la fonction g (qui est décroissante sur $[0, 1]$ et croissante sur $[1, +\infty[$), donc g est à valeurs positives, et par conséquent f aussi. Si $a \neq (0, 0, 0)$ est un point critique de f , alors d'après le 3) on a $\varphi(a) = 1$ et donc $f(a) = g(1) = 0$, ce qui montre que a est un minimum global puisqu'on vient de montrer que pour tout $b \in \mathbb{R}^3$, $f(b) \geq 0$.

Exercice 3.4

- i). L'ensemble C est fermé comme image réciproque du singleton $\{1\}$ par l'application

$$g : (\mathbb{R}^+)^n \rightarrow \mathbb{R} \\ x = (x_1, \dots, x_n) \mapsto \sum_{i=1}^n \alpha_i x_i,$$

restriction à $(\mathbb{R}^+)^n$ d'une forme linéaire sur \mathbb{R}^n , qui est donc continue. De plus C est borné : pour tout $x = (x_1, \dots, x_n) \in C$, pour tout $i \in \{1, \dots, n\}$, on a $0 \leq \alpha_i x_i \leq 1$ et donc $0 \leq x_i \leq 1/\alpha_i$ puisque $\alpha_i > 0$ par hypothèse. Donc C est un compact de \mathbb{R}^n , et comme f est continue (comme fonction polynômiale), elle atteint son maximum sur C : il existe $a \in C$ tel que $f(a) = \max_{x \in C} f(x)$. De plus, les composantes de a sont strictement positives car si l'une était nulle on aurait $f(a) = 0$. Or f prend des valeurs strictement positives (par exemple $f(1, \dots, 1) = 1$), donc a ne pourrait pas être un maximum de f .

- ii). D'après ce qui précède, les points $a \in C$ tels que $f(a) = \sup_{x \in C} f(x)$ sont dans l'ouvert $]0, +\infty[^n$. Ce sont en outre des extrema de f sous la contrainte $g(x) = 1$. Donc d'après le théorème des multiplicateurs de Lagrange, si a est l'un d'entre eux, il existe $\lambda \in \mathbb{R}$ tel que $df(a) = \lambda dg(a)$. Or

$$df(a) \cdot h = \sum_{i=1}^n \alpha_i a_i^{\alpha_i - 1} h_i \prod_{j \neq i} a_j^{\alpha_j}, \quad dg(a) \cdot h = \sum_{i=1}^n \alpha_i h_i,$$

donc pour tout $i \in \{1, \dots, n\}$,

$$\alpha_i a_i^{\alpha_i - 1} \prod_{j \neq i} a_j^{\alpha_j} = \lambda \alpha_i,$$

ou encore

$$a_i = \frac{1}{\lambda} \prod_{j=1}^n a_j^{\alpha_j}.$$

Donc $a = (\xi, \dots, \xi)$ et $\lambda = \xi^{n-1}$. Puisque $\sum_i \alpha_i = 1$, $a = (\xi, \dots, \xi) \in C$ si et seulement si $\xi = 1$. Donc le seul point de C où f peut atteindre son maximum est $a = (1, \dots, 1)$. Comme on sait que ce point existe, on en déduit que $f(1, \dots, 1) = \sup_{x \in C} f(x)$. Enfin, comme $f(1, \dots, 1) = 1$, on a donc $f(x) = x_1^{\alpha_1} \cdots x_n^{\alpha_n} \leq 1$ pour tout $x \in C$.

iii). Soit $x \in (\mathbb{R}^+)^n$. Si $x = (0, \dots, 0)$ alors on a $x_1^{\alpha_1} \cdots x_n^{\alpha_n} = \sum_i \alpha_i x_i = 0$. Si $x \neq (0, \dots, 0)$, on a nécessairement $s := \sum_{i=1}^n \alpha_i x_i \neq 0$. Soit alors $\tilde{x} := x/s$. On a $\tilde{x} \in C$ et donc $\tilde{x}_1^{\alpha_1} \cdots \tilde{x}_n^{\alpha_n} \leq 1$, d'où

$$x_1^{\alpha_1} \cdots x_n^{\alpha_n} \leq s^{\alpha_1 + \cdots + \alpha_n} = s.$$

On a égalité si $x = (0, \dots, 0)$ ou bien $f(\tilde{x}) = 1$, et donc $\tilde{x} = (1, \dots, 1)$, ce qui équivaut à $x = (\xi, \dots, \xi)$ pour un $\xi \in \mathbb{R}^{+*}$. Les points où il y a égalité sont donc tous les points de la forme $x = (\xi, \dots, \xi)$ avec $\xi \in \mathbb{R}^+$.

iv). Un parallélépipède rectangle de côtés x , y , et z a pour volume $V = xyz$ et pour surface $S = 2xy + 2yz + 2zx$. D'après ce qui précède appliqué à $\alpha_1 = \alpha_2 = \alpha_3 = 1/3$ et $x_1 = xy$, $x_2 = yz$, $x_3 = zx$, on a

$$V^{2/3} = (xy)^{1/3} (yz)^{1/3} (zx)^{1/3} \leq \frac{1}{3}(xy) + \frac{1}{3}(yz) + \frac{1}{3}(zx) = \frac{S}{6},$$

avec égalité si et seulement si $xy = yz = zx$. Pour $xyz \neq 0$ cela équivaut à $x = y = z$: à volume donné V , le parallélépipède rectangle de surface minimale est le cube de côté $x = \sqrt[3]{V}$.

Exercice 3.5

i). L'application f est de classe \mathcal{C}^∞ , car c'est une fonction rationnelle dont le dénominateur ne s'annule pas dans U .

ii). Pour tout $x \in U$ et pour tout $h \in \mathbb{R}^n$ on a

$$df(x) \cdot h = \sum_{j=1}^n \left(\prod_{k \neq j} x_k - \alpha^{n+1} \frac{1}{x_j^2} \right) h_j.$$

iii). Si $a = (a_1, \dots, a_n) \in U$ est tel que $df_a = 0$ alors pour tout $j \in \{1, \dots, n\}$,

$$\prod_{k \neq j} a_k = \alpha^{n+1} \frac{1}{a_j^2}, \quad \text{c'est-à-dire} \quad a_j \prod_{k=1}^n a_k = \alpha^{n+1}.$$

Par conséquent les a_j sont tous égaux à α ; autrement dit $a = (\alpha, \dots, \alpha)$. Inversement, ce point est évidemment un point critique.

iv). Pour tout $x \in U$ et pour tous $h, h' \in \mathbb{R}^n$ on a

$$d^2 f(x) \cdot (h, h') = \sum_{j=1}^n \sum_{k \neq j} \prod_{m \neq j, k} x_m h_j h'_k + 2 \sum_{j=1}^n \frac{\alpha^{n+1}}{x_j^3} h_j h'_j.$$

v). En particulier on a,

$$d^2 f_a(h, h) = \alpha^{n-2} \sum_{j=1}^n \sum_{k \neq j} h_j h_k + 2 \alpha^{n-2} \sum_{j=1}^n h_j^2,$$

soit encore

$$\alpha^{2-n} d^2 f_a(h, h) = \sum_{j=1}^n h_j^2 + \left(\sum_{j=1}^n h_j \right)^2 \geq \sum_{j=1}^n h_j^2 = \|h\|^2$$

si $\| \cdot \|$ désigne la norme euclidienne dans \mathbb{R}^n . Donc (puisque $\alpha > 0$), d'après un théorème du cours, a est un minimum local strict pour f .

vi). Dans le cas $n = 1$, la fonction $f : x \mapsto x + \alpha^2/x$ atteint son minimum sur \mathbb{R}^{+*} (2α) au point $a = \alpha$ (d'après l'identité remarquable $x^2 + \alpha^2 - 2\alpha x = (x - \alpha)^2$).

Exercice 3.6

i). La jacobienne de l'application $(q, \dot{q}) \mapsto (q, \nabla_{\dot{q}} L(q, \dot{q}))$ est triangulaire, ses blocs diagonaux étant \mathbf{I}_n et $\left(\frac{\partial^2 L}{\partial \dot{q}_i \partial \dot{q}_j} \right)_{i,j}$, matrice inversible par hypothèse. Donc cette jacobienne est inversible, et l'application est un difféomorphisme local d'après le théorème d'inversion locale.

ii). Par définition de H ,

$$\frac{\partial H}{\partial q_j}(q, p) = \sum_{k=1}^n p_k \frac{\partial r_k}{\partial q_j} - \frac{\partial L}{\partial q_j}(q, r(q, p)) - \sum_{k=1}^n \frac{\partial L}{\partial \dot{q}_k}(q, r(q, p)) \frac{\partial r_k}{\partial q_j},$$

et les termes des sommes s'annulent deux à deux puisque par définition de r ,

$$p_k = \frac{\partial L}{\partial \dot{q}_k}(q, r(q, p)).$$

Pour la même raison,

$$\frac{\partial H}{\partial p_j}(q, p) = r_j(q, p) + \sum_{k=1}^n p_k \frac{\partial r_k}{\partial p_j} - \sum_{k=1}^n \frac{\partial L}{\partial \dot{q}_k}(q, r(q, p)) \frac{\partial r_k}{\partial p_j} = r_j(q, p).$$

iii). Par définition, une solution u de l'équation d'Euler–Lagrange pour L est telle que

$$\frac{d}{dt} \left(\frac{\partial L}{\partial \dot{q}_j}(u(t), u'(t)) \right) = \frac{\partial L}{\partial q_j}(u(t), u'(t))$$

quel que soit t dans un intervalle J , pour tout $j \in \{1, \dots, n\}$. Autrement dit, en notant $p_j(t) := \frac{\partial L}{\partial \dot{q}_j}(u(t), u'(t))$,

$$p'_j(t) = \frac{\partial L}{\partial q_j}(u(t), u'(t)) = - \frac{\partial H}{\partial q_j}(u(t), p(t)),$$

et par construction,

$$u'_j(t) = r_j(u(t), p(t)) = \frac{\partial H}{\partial p_j}(u(t), p(t)).$$

Donc l'application $t \in J \mapsto (u(t), p(t))$ est solution du système

$$\frac{dq_j}{dt} = \frac{\partial H}{\partial p_j}(q, p), \quad \frac{dp_j}{dt} = - \frac{\partial H}{\partial q_j}(q, p).$$

Inversement, si $t \in J \mapsto (u(t), p(t))$ est solution de ce système, alors pour tout $t \in J$, $u'_j(t) = r_j(u(t), p(t))$ et l'application $t \in J \mapsto u(t)$ est solution de l'équation d'Euler–Lagrange associée à L .

iv). Pour

$$L(q, \dot{q}) = \frac{1}{2} \|\dot{q}\|^2 - U(q),$$

$$p_j = \frac{\partial L}{\partial \dot{q}_j}(q, \dot{q}) = \dot{q}_j,$$

d'où

$$H(q, p) = \sum_j p_j^2 - \frac{1}{2} \sum_j p_j^2 + U(q) = \frac{1}{2} \|p\|^2 + U(q),$$

et le système hamiltonien est

$$q'_j = p_j, \quad p'_j = - \partial_j U(q).$$

(Cela n'est rien d'autre que l'expression de l'équation d'Euler–Lagrange

$$q''_j = - \partial_j U(q)$$

dans l'espace des phases.)

Exercice 3.7 On fixe $(x_0, t_0) \in \mathbb{R} \times [0, T]$. (L'indice 0 a pour seul rôle d'éviter les confusions dans les opérations de dérivation qui suivent.) On commence par remarquer que

$$\inf_{y \in \mathbb{R}} \left(v_0(y) + t_0 f^* \left(\frac{x_0 - y}{t_0} \right) \right) = \inf_{y \in x_0 - t_0 f'(\mathbb{R})} \left(v_0(y) + t_0 f^* \left(\frac{x_0 - y}{t_0} \right) \right),$$

car pour $q \notin f'(\mathbb{R})$, $f^*(q) = +\infty$. On montre ensuite que pour tout $y \in x_0 - t_0 f'(\mathbb{R})$ il existe $u \in \mathbb{R}$ tel que

$$v(x_0, t_0) \leq v_0(y) + (x_0 - y)u - t_0 f(u).$$

En effet, soit u tel que $x_0 - y = t_0 f'(u)$. Alors l'application

$$s \mapsto v_0(y) + s f'(u)u - s f(u) - v(y + s f'(u), s)$$

vaut 0 en $s = 0$, $v_0(y) - v(x_0, t_0)$ en $s = t_0$, et elle est croissante : en effet, sa dérivée s'écrit (grâce à (3.2)) $f(w) - f(u) - f'(u)(w - u)$, où l'on a noté $w = \partial_x v(y + f'(u)s, s)$ pour simplifier ; or $f(w) - f(u) - f'(u)(w - u) \geq 0$ par convexité de f . Enfin, on montre qu'il existe $y \in \mathbb{R}$ tel que pour tout $u \in \mathbb{R}$,

$$v(x_0, t_0) \geq v_0(y) + (x_0 - y)u - t_0 f(u).$$

C'est la partie la plus délicate. Considérons l'équation différentielle

$$\frac{d\chi}{ds} = f'(\partial_x v(\chi(s), s)). \tag{3.3}$$

Puisque f' est globalement Lipschitzienne et $\partial_{xx}^2 v$ est bornée, l'application $\theta \mapsto f'(\partial_x v(\theta, s))$ est globalement Lipschitzienne sur \mathbb{R} , uniformément par rapport à $s \in [0, T]$. Donc les solutions maximales de (3.3) sont définies sur un intervalle contenant $[0, T]$. De plus, si χ est solution de (3.3) (toujours avec v solution de (3.2)), l'application $s \mapsto \partial_x v(\chi(s), s)$ est constante. (Dériver et utiliser (3.2).) Par suite, les trajectoires de (3.3), appelées *courbes caractéristiques* de (3.2), sont en fait des segments de droite. Or, par le théorème des valeurs intermédiaires, il existe $y \in \mathbb{R}$ tel que $x_0 = y + t_0 f'(v'_0(y))$. Donc $\partial_x v(x_0, t_0) = v'_0(y)$, puisque $s \mapsto \partial_x v$ est constante le long de la caractéristique issue de $(y, 0)$, qui passe par (x_0, t_0) par construction. On conclut grâce à un nouvel argument de monotonie : quel que soit $u \in \mathbb{R}$, l'application

$$s \mapsto v_0(y) + s f'(v'_0(y))u - s f(u) - v(y + s f'(v'_0(y)), s)$$

est décroissante, puisque sa dérivée est $f(w) - f(u) - f'(u)(w - u)$, avec $w = \partial_x v(y + s f'(v'_0(y)), s) = v'_0(y)$.

Exercice 3.8

i). Par définition de G ,

$$dG(q) \cdot h = \langle h, g(q) \rangle + \langle q, df(\phi(q)) \cdot d\phi(q) \cdot h \rangle - dF(\phi(q)) \cdot d\phi(q) \cdot h,$$

et

$$dF(\phi(q)) \cdot d\phi(q) \cdot h = dE(\phi(q)) \cdot df(\phi(q)) \cdot \phi(q) \cdot h = \langle q, df(\phi(q)) \cdot d\phi(q) \cdot h \rangle.$$

ii). Par suite, $f = dG \circ \phi^{-1}$ donc $df(u) \cdot k = d^2G(\phi^{-1}(u)) \cdot d\phi^{-1}(u) \cdot k$, et $\phi^{-1}(u) = dE(u)$. Donc finalement,

$$d^2E(u) df(u) = d^2E(u) d^2G(\phi^{-1}(u)) d^2E(u).$$

Cela montre que $\text{Hess}E(u)A(u) = \text{Hess}E(u)\text{Hess}G(\phi^{-1}(u))\text{Hess}E(u)$. D'après le théorème de Schwarz (p. 51), les deux hessiennes sont symétriques, donc $\text{Hess}E(u)A(u)$ est symétrique.

Chapitre 4

Formes différentielles

L'objectif de ce chapitre, dont la lecture nécessite peu de pré-requis, est assez modeste : il vise à introduire les notions de base sur les formes différentielles sur (des ouverts de) \mathbb{R}^n et à donner les principaux résultats utiles en mathématiques appliquées. Ceux-ci comprennent notamment des théorèmes d'intégrabilité (Poincaré, Frobenius), qui seront démontrés dans leur forme la plus simple. La formule de Stokes sera quant à elle mentionnée sans démonstration, et l'on insistera surtout sur les cas particuliers souvent utilisés dans les applications (Green–Riemann, Green–Ostrogradsky, etc.). Pour un traitement approfondi des formes différentielles, on pourra se reporter par exemple aux livres de Cartan [3], Godbillon [15] (des classiques, avec beaucoup plus de variétés dans le second que dans le premier) ou Darling [9] (une référence très accessible sur les fondements de la géométrie différentielle moderne).

4.1 CHAMPS DE VECTEURS ET 1-FORMES DIFFÉRENTIELLES

Définition 4.1 *Un champ de vecteurs (de classe \mathcal{C}^k) sur (un ouvert) de \mathbb{R}^n est une application (de classe \mathcal{C}^k) à valeurs dans l'espace vectoriel \mathbb{R}^n . Une 1-forme différentielle (de classe \mathcal{C}^k) sur (un ouvert) de \mathbb{R}^n est une application (de classe \mathcal{C}^k) à valeurs dans l'espace vectoriel $\mathcal{L}(\mathbb{R}^n; \mathbb{R})$ des formes linéaires sur \mathbb{R}^n . Les 1-formes différentielles sont aussi appelées formes de Pfaff.*

On se gardera bien en général d'identifier les espaces vectoriels \mathbb{R}^n et $\mathcal{L}(\mathbb{R}^n; \mathbb{R})$ (ce qui nécessiterait de choisir un produit scalaire). La représentation matricielle des vecteurs du premier se fait naturellement au moyen de matrices (ou vecteurs) colonnes et celle du second par des matrices lignes. Une autre représentation consiste à utiliser des notations particulières pour les bases « canoniques » de \mathbb{R}^n et de $\mathcal{L}(\mathbb{R}^n; \mathbb{R})$. En

calcul différentiel, il est en effet d'usage de noter

$$\frac{\partial}{\partial x_1}, \dots, \frac{\partial}{\partial x_n}$$

les vecteurs de la base « canonique » de \mathbb{R}^n . C'est une notation bizarre au premier abord, qui se justifiera par la suite. Par définition, tout vecteur x de composantes x_1, \dots, x_n s'écrit ainsi

$$x = \sum_{j=1}^n x_j \frac{\partial}{\partial x_j}.$$

Par extension, un champ de vecteurs X de composantes X_1, \dots, X_n s'écrit

$$X = \sum_{j=1}^n X_j \frac{\partial}{\partial x_j},$$

ce qui signifie que pour tout $x \in U$ (l'ouvert de définition de X),

$$X(x) = \sum_{j=1}^n X_j(x) \frac{\partial}{\partial x_j}.$$

Cette notation permet d'identifier X à un *opérateur différentiel* (ceci sera utilisé notamment dans l'exercice 7.10) : si f est une fonction différentiable sur U , la fonction

$$Xf := \sum_{j=1}^n X_j \frac{\partial f}{\partial x_j}$$

n'est autre que la dérivée de f dans la direction X , c'est-à-dire que $(Xf)(x) = df(x) \cdot X(x)$ pour tout $x \in U$. Mais pour éviter les confusions on évitera ici de faire cette identification.

Quant à $\mathcal{L}(\mathbb{R}^n; \mathbb{R})$, on note (dx_1, \dots, dx_n) sa base « canonique », duale de $\left(\frac{\partial}{\partial x_1}, \dots, \frac{\partial}{\partial x_n}\right)$, c'est-à-dire telle que

$$dx_i \left(\frac{\partial}{\partial x_j} \right) = \delta_{i,j} := \begin{cases} 0 & \text{si } i \neq j, \\ 1 & \text{si } i = j. \end{cases}$$

Ainsi, toute 1-forme différentielle ω se décompose en

$$\omega = \sum_{i=1}^n \omega_i dx_i,$$

où les ω_i sont des applications à valeurs réelles. Inversement, si $\omega_i \in \mathcal{C}^k(U; \mathbb{R})$ pour $i \in \{1, \dots, n\}$, l'application $\omega : x \mapsto \sum_{i=1}^n \omega_i(x) dx_i$ définit une 1-forme différentielle : pour tout $x \in U$, la forme linéaire $\omega(x)$ est définie par

$$\omega(x) \cdot h = \sum_{i=1}^n \omega_i(x) h_i,$$

pour tout vecteur $h \in \mathbb{R}^n$ de composantes h_1, \dots, h_n .

Par exemple, si f est une fonction de classe \mathcal{C}^r (avec $r \geq 1$) sur U et à valeurs dans \mathbb{R} , sa différentielle

$$df = \sum_{i=1}^n \frac{\partial f}{\partial x_i} dx_i : \begin{array}{l} U \rightarrow \mathcal{L}(\mathbb{R}^n; \mathbb{R}) \\ x \mapsto \left(h \mapsto \sum_{i=1}^n \frac{\partial f}{\partial x_i}(x) h_i \right) \end{array}$$

est une 1-forme différentielle de classe \mathcal{C}^{r-1} . On dit en outre qu'elle est *exacte*.

Définition 4.2 Une 1-forme différentielle ω est *exacte* s'il existe une fonction différentiable f telle que $\omega = df$.

On verra plus loin un résultat fondamental (le théorème de Poincaré) donnant une caractérisation des formes différentielles exactes sur des ouverts d'un type particulier (à savoir, simplement connexes).

4.2 FORMES DIFFÉRENTIELLES D'ORDRE SUPÉRIEUR

4.2.1 Introduction

Comme le lecteur a pu le pressentir, si nous avons défini des 1-formes, nous pouvons aussi définir des q -formes, avec q un entier plus grand que 1. Cela passe par l'étude des formes q -linéaires alternées. Nous noterons $\mathcal{A}_q(\mathbb{R}^n)$ le sous-espace vectoriel de $\mathcal{L}_q(\mathbb{R}^n)$ des *formes q -linéaires alternées*, c'est-à-dire les $\phi \in \mathcal{L}_q(\mathbb{R}^n; \mathbb{R})$ telles que, pour tout q -uplet (u_1, \dots, u_q) de vecteurs de \mathbb{R}^n dans lequel deux vecteurs (au moins) coïncident, $\phi(u_1, \dots, u_q) = 0$. On se convainc aisément (en jouant avec la multilinéarité de ϕ) que cette propriété équivaut à l'*antisymétrie* de ϕ , c'est-à-dire

$$\phi(u_1, \dots, u_i, \dots, u_j, \dots, u_q) = -\phi(u_1, \dots, u_j, \dots, u_i, \dots, u_q)$$

pour tout q -uplet (u_1, \dots, u_q) de vecteurs de \mathbb{R}^n et pour tout couple (i, j) d'entiers entre 1 et q .

Proposition 4.3 Soit q un entier supérieur ou égal à 2. L'espace $\mathcal{A}_q(\mathbb{R}^n)$ est réduit à $\{0\}$ si $q > n$. Si $q \leq n$, $\mathcal{A}_q(\mathbb{R}^n)$ est de dimension $\binom{n}{q}$ et engendré par les q -formes linéaires du type

$$dx_{i_1} \wedge \dots \wedge dx_{i_q}$$

avec $i_1 < \dots < i_q$, où le produit extérieur $dx_{i_1} \wedge \dots \wedge dx_{i_q}$ désigne la q -forme linéaire alternée définie par

$$(dx_{i_1} \wedge \dots \wedge dx_{i_q}) \left(\frac{\partial}{\partial x_{j_1}}, \dots, \frac{\partial}{\partial x_{j_q}} \right) = \begin{cases} 0 & \text{si } \{i_1, \dots, i_q\} \neq \{j_1, \dots, j_q\}, \\ 1 & \text{si } i_k = j_k \quad \forall k. \end{cases}$$

La démonstration est laissée au lecteur. Attention, dans la définition du produit extérieur, $\{i_1, \dots, i_q\}$ désigne un ensemble non ordonné : il y a donc des cas qui ne pas écrits, ce sont tous ceux pour lesquels le q -uplet (j_1, \dots, j_q) est obtenu par permutation de (i_1, \dots, i_q) ; ils se déduisent du cas $(i_1, \dots, i_q) = (j_1, \dots, j_q)$ en utilisant que la forme doit être alternée. Si σ est une permutation de signature ε de $\{1, \dots, q\}$,

$$(dx_{i_1} \wedge \dots \wedge dx_{i_q}) \left(\frac{\partial}{\partial x_{i_{\sigma(1)}}}, \dots, \frac{\partial}{\partial x_{i_{\sigma(q)}}} \right) = (-1)^\varepsilon.$$

Remarque : La n -forme linéaire $dx_1 \wedge \dots \wedge dx_n$ coïncide avec le déterminant dans la base $\left(\frac{\partial}{\partial x_1}, \dots, \frac{\partial}{\partial x_n} \right)$. En effet, ce sont deux n -formes linéaires alternées sur \mathbb{R}^n qui coïncident en $\left(\frac{\partial}{\partial x_1}, \dots, \frac{\partial}{\partial x_n} \right)$, et $\mathcal{A}_n(\mathbb{R}^n)$ est de dimension 1.

Définition 4.4 Soit q un entier supérieur ou égal à 2. Une q -forme différentielle (de classe \mathcal{C}^k) sur (un ouvert) de \mathbb{R}^n est une application (de classe \mathcal{C}^k) à valeurs dans l'espace vectoriel $\mathcal{A}_q(\mathbb{R}^n)$ des q -formes linéaires alternées sur \mathbb{R}^n . Les q -formes différentielles sont également appelées formes différentielles de degré q .

D'après la proposition 4.3, toute q -forme différentielle α se décompose en

$$\alpha = \sum_{1 \leq i_1 < \dots < i_q \leq n} \alpha_{i_1, \dots, i_q} dx_{i_1} \wedge \dots \wedge dx_{i_q},$$

où les α_{i_1, \dots, i_q} sont des applications à valeurs réelles. Inversement, si $\alpha_{i_1, \dots, i_q} \in \mathcal{C}^k(U; \mathbb{R})$ pour $1 \leq i_1 < \dots < i_q \leq n$, l'application $x \mapsto \sum_{1 \leq i_1 < \dots < i_q \leq n} \alpha_{i_1, \dots, i_q}(x) dx_{i_1} \wedge \dots \wedge dx_{i_q}$ définit une q -forme différentielle.

Dans un souci de cohérence avec la définition 4.1 des 1-formes, $\mathcal{A}_1(\mathbb{R}^n)$ désignera aussi l'espace des formes linéaires $\mathcal{L}(\mathbb{R}^n; \mathbb{R})$, et par convention, $\mathcal{A}_0(\mathbb{R}^n)$ désignera l'espace des fonctions constantes de \mathbb{R}^n dans \mathbb{R} . Ainsi la définition 4.4 des q -formes est valable en fait pour tout entier naturel q . Une 0-forme différentielle n'est rien d'autre qu'une fonction à valeurs réelles.

4.2.2 Produit extérieur

On peut bien entendu définir $dx_{i_1} \wedge \dots \wedge dx_{i_q}$ lorsque les entiers i_1, \dots, i_q ne sont pas en ordre croissant, de telle sorte que l'application

$$\begin{aligned} \mathcal{L}(\mathbb{R}^n; \mathbb{R})^q &\rightarrow \mathcal{A}_q(\mathbb{R}^n) \\ (\ell_1, \dots, \ell_q) &\mapsto \ell_1 \wedge \dots \wedge \ell_q \end{aligned}$$

soit elle-même q -linéaire alternée. Cela permet de définir le produit extérieur de deux formes de degrés quelconques q et r par

$$\begin{aligned} \wedge : \mathcal{A}_q(\mathbb{R}^n) \times \mathcal{A}_r(\mathbb{R}^n) &\rightarrow \mathcal{A}_{q+r}(\mathbb{R}^n) \\ (\alpha, \beta) &\mapsto \alpha \wedge \beta ; \end{aligned}$$

$$\alpha \wedge \beta := \sum_{\substack{1 \leq i_1 < \dots < i_q \leq n \\ 1 \leq j_1 < \dots < j_r \leq n}} \alpha_{i_1, \dots, i_q} \beta_{j_1, \dots, j_r} dx_{i_1} \wedge \dots \wedge dx_{i_q} \wedge dx_{j_1} \wedge \dots \wedge dx_{j_r} ,$$

si

$$\begin{aligned} \alpha &= \sum_{1 \leq i_1 < \dots < i_q \leq n} \alpha_{i_1, \dots, i_q} dx_{i_1} \wedge \dots \wedge dx_{i_q} , \\ \beta &= \sum_{1 \leq j_1 < \dots < j_r \leq n} \beta_{j_1, \dots, j_r} dx_{j_1} \wedge \dots \wedge dx_{j_r} . \end{aligned}$$

L'application \wedge est clairement bilinéaire. D'autre part, puisque $\mathcal{A}_{q+r}(\mathbb{R}^n)$ est réduit à $\{0\}$ si $q+r > n$, \wedge est identiquement nul dans ce cas.

Proposition 4.5 *Le produit extérieur \wedge est associatif, et l'on a, pour tout $\alpha \in \mathcal{A}_q(\mathbb{R}^n)$ et tout $\beta \in \mathcal{A}_r(\mathbb{R}^n)$,*

$$\alpha \wedge \beta = (-1)^{qr} \beta \wedge \alpha .$$

En particulier, si $\alpha \in \mathcal{A}_q(\mathbb{R}^n)$ avec q impair, $\alpha \wedge \alpha = 0$.

La démonstration de ce résultat purement algébrique est laissée au lecteur.

Le produit extérieur \wedge s'étend naturellement aux q -formes différentielles : si α est de degré q et β de degré r , $\alpha \wedge \beta$ est de degré $q+r$, et l'on a

$$\alpha \wedge \beta = (-1)^{qr} \beta \wedge \alpha .$$

4.2.3 Tiré en arrière

Comme on l'a observé plus haut, les 0-formes différentielles ne sont rien d'autre que des fonctions à valeurs réelles. Celles-ci se « transportent » aisément par changement de variables. Plus précisément, si $\varphi : V \rightarrow U$ est une fonction (pas nécessairement un difféomorphisme) de classe \mathcal{C}^k d'un ouvert V de \mathbb{R}^n dans un ouvert U de \mathbb{R}^n , à toute « 0-forme différentielle » $f : U \rightarrow \mathbb{R}$ de classe \mathcal{C}^k on peut associer par composition avec φ une autre 0-forme différentielle $f \circ \varphi : V \rightarrow \mathbb{R}$ de classe \mathcal{C}^k . On introduit une notation pour cette fonction composée où l'ordre de φ et de f est inversé :

$$\begin{aligned} \varphi^* f &:= f \circ \varphi : V \rightarrow \mathbb{R} \\ y &\mapsto (\varphi^* f)(y) := f(\varphi(y)) . \end{aligned}$$

En anglais la transformation $\varphi^* : f \mapsto \varphi^* f$ est appelée de façon assez imagée le *pullback*. La traduction française de ce terme, *tiré en arrière* (ou parfois aussi *tirette*), n'est pas très heureuse et elle est ce fait moins utilisée.

Le *pullback* s'étend naturellement aux formes différentielles de degré quelconque. L'idée est qu'une forme différentielle de degré q sur un ouvert U (resp. V) agit sur des q -uplets de « vecteurs tangents » à U (resp. V), et que par la transformation φ , un vecteur v tangent à $y \in V$ se transforme en le vecteur tangent à U s'écrivant $u = d\varphi(y) \cdot v$. (Pour s'en convaincre en restant à un niveau de géométrie différentielle élémentaire, on peut considérer une courbe paramétrée dans V , $\{Y(t); t \in I\}$ passant par y en $t = 0$ ayant $Y'(0) = v$ comme vecteur tangent au point y . Alors son image par φ est la courbe paramétrée $\{X(t) := \varphi(Y(t)); t \in I\}$, qui vérifie $X'(0) = d\varphi(y) \cdot v$.)

Définition 4.6 Soit q un entier naturel non nul. Soit $\varphi : V \rightarrow U$ une fonction de classe \mathcal{C}^{k+1} d'un ouvert V de \mathbb{R}^n sur un ouvert U . Le pullback par φ d'une q -forme différentielle α de classe \mathcal{C}^k sur U est $\beta = \varphi^* \alpha$ la q -forme différentielle de classe \mathcal{C}^k sur V définie par $\beta(y) \cdot (v_1, \dots, v_q) := \alpha(x) \cdot (u_1, \dots, u_q)$, où $x = \varphi(y)$ et $u_k = d\varphi(y) \cdot v_k$, $k = 1, \dots, q$.

► Exemples

- Pour une 1-forme $\alpha = \sum_{j=1}^n \alpha_j dx_j$,

$$\varphi^* \alpha = \sum_{j=1}^n \sum_{i=1}^n (\alpha_i \circ \varphi) \frac{\partial \varphi_i}{\partial y_j} dy_j = \sum_{i=1}^n (\alpha_i \circ \varphi) d\varphi_i.$$

- Pour une n -forme, encore appelée *forme volume* $\alpha = f dx_1 \wedge \dots \wedge dx_n$,

$$\varphi^* \alpha = (f \circ \varphi) (\det d\varphi) dy_1 \wedge \dots \wedge dy_n.$$

- Pour $n \geq 3$, une $(n - 1)$ -forme, encore appelée *forme surfacique*

$$\alpha = \sum_{i=1}^n f_i dx_1 \wedge \dots \wedge \cancel{dx_i} \wedge \dots \wedge dx_n,$$

où dx_i n'apparaît pas tandis que tous les dx_j apparaissent dans l'ordre croissant pour $j \neq i$,

$$\varphi^* \alpha = \sum_{i=1}^n \sum_{j=1}^n (f_i \circ \varphi) (\text{cofact } d\varphi)_{i,j} dy_1 \wedge \dots \wedge \cancel{dy_i} \wedge \dots \wedge dy_n.$$

Proposition 4.7 Pour une q -forme « pure » $\alpha = f dx_{i_1} \wedge \dots \wedge dx_{i_q}$, on a

$$\varphi^* \alpha = (f \circ \varphi) d\varphi_{i_1} \wedge \dots \wedge d\varphi_{i_q}. \quad (4.1)$$

Pour toute q -forme α et toute r -forme β ,

$$\varphi^*(\alpha \wedge \beta) = (\varphi^*\alpha) \wedge (\varphi^*\beta). \quad (4.2)$$

Démonstration. Admettons provisoirement (4.2). On a déjà observé (dans le premier exemple donné ci-dessus) que pour une 1-forme $\alpha = f dx_i$, $\varphi^*\alpha = (f \circ \varphi) d\varphi_i$. On procède ensuite par récurrence sur q . Supposons (4.1) démontrée pour l'entier q , et soit

$$\omega = f dx_{i_1} \wedge \cdots \wedge dx_{i_{q+1}} = \alpha \wedge dx_{i_{q+1}}, \quad \alpha = f dx_{i_1} \wedge \cdots \wedge dx_{i_q}.$$

D'après (4.2), l'hypothèse de récurrence et le cas $q = 1$ (avec $f \equiv 1$) on a

$$\varphi^*\omega = (\varphi^*\alpha) \wedge (\varphi^*dx_{i_{q+1}}) = (f \circ \varphi) d\varphi_{i_1} \wedge \cdots \wedge d\varphi_{i_q} \wedge d\varphi_{i_{q+1}}.$$

Par suite, si l'on a (4.2), on montre immédiatement (4.1) par récurrence sur q (en utilisant l'associativité du produit extérieur).

Montrons maintenant (4.2). Par linéarité du *pullback* φ^* et bilinéarité du produit extérieur \wedge , il suffit de démontrer cette formule pour des formes pures. Commençons par le cas $q = r = 1$. Si $\alpha = f dx_i$ et $\beta = g dx_j$, on a $\varphi^*\alpha = (f \circ \varphi) d\varphi_i$ et $\varphi^*\beta = (g \circ \varphi) d\varphi_j$: si $i = j$ les deux membres de (4.2) sont donc nuls ; sinon, quitte à échanger les rôles de α et β , on peut supposer $i < j$. On a

$$(\varphi^*\alpha) \wedge (\varphi^*\beta) = (f \circ \varphi)(g \circ \varphi) d\varphi_i \wedge d\varphi_j,$$

tandis que $\alpha \wedge \beta = fg dx_i \wedge dx_j$ et donc par définition

$$\begin{aligned} \varphi^*(\alpha \wedge \beta)(y) \cdot (v_1, v_2) &= f(\varphi(y))g(\varphi(y)) (dx_i \wedge dx_j) \cdot (d\varphi(y) \cdot v_1, d\varphi(y) \cdot v_2) \\ &= f(\varphi(y))g(\varphi(y)) ((d\varphi_i(y) \cdot v_1)(d\varphi_j(y) \cdot v_2) - (d\varphi_j(y) \cdot v_1)(d\varphi_i(y) \cdot v_2)). \end{aligned}$$

Et par définition du produit extérieur de deux 1-formes, on a précisément

$$(d\varphi_i \wedge d\varphi_j)(y) \cdot (v_1, v_2) = (d\varphi_i(y) \cdot v_1)(d\varphi_j(y) \cdot v_2) - (d\varphi_j(y) \cdot v_1)(d\varphi_i(y) \cdot v_2).$$

Par souci de clarté traitons également le cas $(q, r) = (1, 2)$. Soient donc $\alpha = f dx_i$ et $\beta = g dx_j \wedge dx_k$. On a $\varphi^*\alpha = (f \circ \varphi) d\varphi_i$ et, d'après le cas $q = r = 1$, $\varphi^*\beta = (g \circ \varphi) d\varphi_j \wedge d\varphi_k$, d'où

$$(\varphi^*\alpha) \wedge (\varphi^*\beta) = (f \circ \varphi)(g \circ \varphi) d\varphi_i \wedge d\varphi_j \wedge d\varphi_k.$$

Par ailleurs, $\alpha \wedge \beta = fg dx_i \wedge dx_j \wedge dx_k$ et donc par définition

$$\varphi^*(\alpha \wedge \beta)(y) \cdot (v_1, v_2, v_3) =$$

$$f(\varphi(y))g(\varphi(y))(dx_i \wedge dx_j \wedge dx_k) \cdot (d\varphi(y) \cdot v_1, d\varphi(y) \cdot v_2, d\varphi(y) \cdot v_3).$$

Or on vérifie en développant comme dans le cas précédent les produits extérieurs que

$$\begin{aligned} (dx_i \wedge dx_j \wedge dx_k) \cdot (d\varphi(y) \cdot v_1, d\varphi(y) \cdot v_2, d\varphi(y) \cdot v_3) = \\ (d\varphi_i \wedge d\varphi_j \wedge d\varphi_k)(y) \cdot (v_1, v_2, v_3). \end{aligned} \quad (4.3)$$

Cela prouve (4.2) dans le cas $(q, r) = (1, 2)$ (et donc aussi $(q, r) = (2, 1)$ en échangeant les rôles de α et β). De la même manière, on en déduit (4.2) pour tout couple $(1, r)$ par récurrence sur r . Supposons en effet (4.2) démontrée pour tout couple $(1, r')$ avec $r' \leq r$. Soient $\alpha = f dx_i$ et une $(r+1)$ -forme $\beta = g dx_{j_0} \wedge \cdots \wedge dx_{j_r}$. On a $\varphi^* \alpha = (f \circ \varphi) d\varphi_i$ et, d'après l'hypothèse de récurrence appliquée de façon répétée,

$$\varphi^* \beta = (g \circ \varphi) d\varphi_{j_0} \wedge \varphi^*(dx_{j_1} \wedge \cdots \wedge dx_{j_r}) = (g \circ \varphi) d\varphi_{j_0} \wedge d\varphi_{j_1} \wedge \cdots \wedge d\varphi_{j_r}.$$

(Notons que cette formule n'est autre que (4.1).) Par suite,

$$(\varphi^* \alpha) \wedge (\varphi^* \beta) = (f \circ \varphi)(g \circ \varphi) d\varphi_i \wedge d\varphi_{j_0} \wedge d\varphi_{j_1} \wedge \cdots \wedge d\varphi_{j_r}.$$

Par ailleurs, $\alpha \wedge \beta = fg dx_i \wedge dx_{j_0} \wedge \cdots \wedge dx_{j_r}$ et donc par définition

$$\varphi^*(\alpha \wedge \beta)(y) \cdot (v, w_0, \dots, w_r) =$$

$$(fg)(\varphi(y))(dx_i \wedge dx_{j_0} \wedge \cdots \wedge dx_{j_r}) \cdot (d\varphi(y) \cdot v, d\varphi(y) \cdot w_0, \dots, d\varphi(y) \cdot w_r).$$

En observant que (4.3) se généralise à un nombre arbitraire de produits extérieurs, on en déduit l'égalité voulue entre $(\varphi^* \alpha) \wedge (\varphi^* \beta)$ et $\varphi^*(\alpha \wedge \beta)$. Cela prouve (4.2) pour tout couple $(1, r)$, et tout couple $(q, 1)$ en échangeant les rôles de α et β . Pour conclure, on fixe $r \geq 1$ et l'on effectue une récurrence sur q . Supposons la formule (4.2) démontrée pour (q, r) et soient une $(q+1)$ -forme pure α et une r -forme pure β . On peut écrire $\alpha = \alpha_0 \wedge \alpha_1$, où α_0 est une 1-forme pure et α_1 une q -forme pure. D'après ce qui précède

$$\varphi^*(\alpha \wedge \beta) = (\varphi^* \alpha_0) \wedge \varphi^*(\alpha_1 \wedge \beta),$$

et l'hypothèse de récurrence implique

$$\varphi^*(\alpha_1 \wedge \beta) = (\varphi^* \alpha_1) \wedge (\varphi^* \beta).$$

Comme on a aussi

$$\varphi^*(\alpha_0 \wedge \alpha_1) = (\varphi^* \alpha_0) \wedge (\varphi^* \alpha_1),$$

on en déduit l'égalité voulue grâce à l'associativité du produit extérieur.

4.2.4 Différentielle extérieure

Définition 4.8 Soit $\alpha = \sum_{1 \leq i_1 < \dots < i_q \leq n} \alpha_{i_1, \dots, i_q} dx_{i_1} \wedge \dots \wedge dx_{i_q}$ une forme de degré q et de classe \mathcal{C}^k . On lui associe la forme de degré $q + 1$ et de classe \mathcal{C}^{k-1} , appelée différentielle extérieure de α , définie par

$$d\alpha := \sum_{i=1}^n \sum_{1 \leq i_1 < \dots < i_q \leq n} \frac{\partial \alpha_{i_1, \dots, i_q}}{\partial x_i} dx_i \wedge dx_{i_1} \wedge \dots \wedge dx_{i_q}.$$

Par convention (néanmoins cohérente avec la définition ci-dessus), la différentielle extérieure d'une 0-forme f coïncide avec sa différentielle au sens des fonctions (définie au chapitre 1) :

$$df = d f = \sum_{i=1}^n \frac{\partial f}{\partial x_i} dx_i.$$

Attention cependant, il ne faut surtout pas confondre ses différentielles d'ordre supérieur $d^p f$ avec les formes différentielles obtenues par applications successives de la différentielle extérieure. En fait, il n'y a guère de risque de confusion car pour la différentielle extérieure, dès la seconde itération on obtient toujours 0, d'après ce qui suit.

Proposition 4.9 *Quelle que soit la forme différentielle α de classe \mathcal{C}^k avec $k \geq 2$, on a $d(d\alpha) = 0$.*

Démonstration. Par définition de la différentielle extérieure et par multilinéarité du produit extérieur, si $\alpha = \sum_{1 \leq i_1 < \dots < i_q \leq n} \alpha_{i_1, \dots, i_q} dx_{i_1} \wedge \dots \wedge dx_{i_q}$ on a

$$d(d\alpha) := \sum_{1 \leq i_1 < \dots < i_q \leq n} \left(\sum_{j=1}^n \sum_{i=1}^n \frac{\partial^2 \alpha_{i_1, \dots, i_q}}{\partial x_j \partial x_i} dx_j \wedge dx_i \right) \wedge dx_{i_1} \wedge \dots \wedge dx_{i_q}.$$

Or, comme $dx_j \wedge dx_i = -dx_i \wedge dx_j$, on a d'après le théorème de Schwarz, pour toute fonction f deux fois différentiable,

$$\sum_{j=1}^n \sum_{i=1}^n \frac{\partial^2 f}{\partial x_j \partial x_i} dx_j \wedge dx_i = 0.$$

Donnons maintenant une extension de la définition 4.2 :

Définition 4.10 Une forme différentielle α est dite exacte s'il existe une forme différentielle β telle que $\alpha = d\beta$. Une forme différentielle α est dite fermée si $d\alpha = 0$.

Remarque : Pour $q \geq 1$ il faut prendre garde à ne pas confondre la différentielle extérieure d'une q -forme avec sa différentielle en tant qu'application de U dans $\mathcal{A}_q(\mathbb{R}^n)$. Prenons pour simplifier le cas $q = 1$. Si $\alpha = \sum_{j=1}^n \alpha_j dx_j$ alors par définition

$$d\alpha = \sum_{i,j=1}^n \frac{\partial \alpha_j}{\partial x_i} dx_i \wedge dx_j = \sum_{1 \leq i < j \leq n} \left(\frac{\partial \alpha_j}{\partial x_i} - \frac{\partial \alpha_i}{\partial x_j} \right) dx_i \wedge dx_j.$$

Autrement dit, pour $(h, k) \in \mathbb{R}^n$,

$$d\alpha(x) \cdot (h, k) = \sum_{1 \leq i < j \leq n} \left(\frac{\partial \alpha_j}{\partial x_i} - \frac{\partial \alpha_i}{\partial x_j} \right) (h_i k_j - k_i h_j).$$

Si l'on calcule maintenant la différentielle $d\alpha$ de α en tant que fonction $\alpha : U \rightarrow \mathcal{L}(\mathbb{R}^n; \mathbb{R})$ on trouve

$$d\alpha(x) \cdot h = \sum_{i,j=1}^n \frac{\partial \alpha_j}{\partial x_i}(x) h_i dx_j,$$

ce qui signifie

$$(d\alpha(x) \cdot h) \cdot k = \sum_{i,j=1}^n \frac{\partial \alpha_j}{\partial x_i}(x) h_i k_j.$$

On voit ainsi que l'hypothèse $d\alpha = 0$ (α fermée) équivaut (« seulement ») au fait que l'application

$$(h, k) \mapsto (d\alpha(x) \cdot h) \cdot k$$

est symétrique.

4.3 THÉORÈME DE POINCARÉ

Un corollaire immédiat de la proposition 4.9 est que toute forme différentielle exacte est fermée. La réciproque n'est pas vraie en général : cela dépend des propriétés topologiques de l'ouvert U . C'est l'objet du résultat fondamental suivant.

Théorème 4.11 (Poincaré) *Soit U un ouvert simplement connexe. Toute forme différentielle fermée sur U est exacte.*

Avant d'aborder sa démonstration, précisons ce que signifie l'hypothèse sur U .

Définition 4.12 *Un ouvert U de \mathbb{R}^n est dit simplement connexe, ou encore 1-connexe si, pour toute courbe fermée (ou lacet) simple (c'est-à-dire sans point double)*

$$\{\theta(t); t \in [0, 1]\}$$

avec $\theta : [0, 1] \rightarrow U$ continue, injective sur $]0, 1[$ et telle $\theta(0) = \theta(1)$, il existe un point $x_0 \in U$ et une application (appelée homotopie) $\Theta : [0, 1] \times [0, 1] \rightarrow U$ continue telle que $\Theta(\cdot, 0) \equiv x_0$ et $\Theta(\cdot, 1) = \theta$.

En particulier, tout ouvert étoilé, c'est-à-dire dans lequel il existe un point x_0 que l'on peut relier à n'importe quel point de l'ouvert par un segment inclus dans cet ouvert, est simplement connexe. Nous nous contenterons de donner la démonstration du théorème de Poincaré dans ce cas, où il apparaît comme une conséquence du résultat suivant.

Lemme 4.13 (variante de Poincaré) Soient V et U des ouverts de \mathbb{R}^n , et $\varphi : V \times [0, 1] \rightarrow U$ de classe \mathcal{C}^∞ . On note pour tout $t \in [0, 1]$, φ_t l'application $\varphi(\cdot, t) : V \rightarrow U$. Si α est une forme différentielle fermée sur U , alors $\varphi_1^* \alpha - \varphi_0^* \alpha$ est une forme différentielle exacte.

En admettant provisoirement ce lemme, on peut l'appliquer, si U est un ouvert étoilé en x_0 , à l'application $\varphi : (x, t) \mapsto x_0 + t(x - x_0)$, qui vérifie $\varphi_1 = \text{id}$ et $\varphi_0 \equiv x_0$, de sorte que $\varphi_1^* \alpha - \varphi_0^* \alpha = \alpha$.

Pour la démonstration du lemme 4.13, nous aurons besoin de propriétés supplémentaires de la différentielle extérieure, en relation avec le pullback d'une part et le produit extérieur d'autre part.

Proposition 4.14 Soit $\varphi : V \rightarrow U$ une fonction de classe \mathcal{C}^k (avec $k \geq 1$) d'un ouvert V de \mathbb{R}^n sur un ouvert U . Soient α et β des formes différentielles de classe \mathcal{C}^k sur U . Alors

$$\varphi^*(\mathbf{d}\alpha) = \mathbf{d}(\varphi^* \alpha), \tag{4.4}$$

$$\mathbf{d}(\alpha \wedge \beta) = \mathbf{d}\alpha \wedge \beta + (-1)^p \alpha \wedge \mathbf{d}\beta, \tag{4.5}$$

où p est le degré de α .

Démonstration. Commençons par montrer (4.5). Par linéarité de la différentiation extérieure \mathbf{d} et bilinéarité du produit extérieur \wedge , il suffit de vérifier cette formule pour des formes pures

$$\alpha = f \, dx_{i_1} \wedge \cdots \wedge dx_{i_p}, \quad \beta = g \, dx_{j_1} \wedge \cdots \wedge dx_{j_q}.$$

Par définition de \mathbf{d} on a

$$\mathbf{d}\alpha = \sum_{k=1}^n \frac{\partial f}{\partial x_k} \, dx_k \wedge dx_{i_1} \wedge \cdots \wedge dx_{i_p},$$

$$\mathbf{d}\beta = \sum_{k=1}^n \frac{\partial g}{\partial x_k} \, dx_k \wedge dx_{j_1} \wedge \cdots \wedge dx_{j_q},$$

d'où

$$\begin{aligned} \mathbf{d}\alpha \wedge \beta &= \sum_{k=1}^n g \frac{\partial f}{\partial x_k} dx_k \wedge dx_{i_1} \wedge \cdots \wedge dx_{i_p} \wedge dx_{j_1} \wedge \cdots \wedge dx_{j_q}, \\ \alpha \wedge \mathbf{d}\beta &= \sum_{k=1}^n f \frac{\partial g}{\partial x_k} dx_{i_1} \wedge \cdots \wedge dx_{i_p} \wedge dx_k \wedge dx_{j_1} \wedge \cdots \wedge dx_{j_q} \\ &= (-1)^p \sum_{k=1}^n f \frac{\partial g}{\partial x_k} dx_k \wedge dx_{i_1} \wedge \cdots \wedge dx_{i_p} \wedge dx_{j_1} \wedge \cdots \wedge dx_{j_q}. \end{aligned}$$

En additionnant on trouve (4.5) grâce à la formule de dérivation du produit :

$$\frac{\partial(fg)}{\partial x_k} = f \frac{\partial g}{\partial x_k} + g \frac{\partial f}{\partial x_k},$$

puisque par définition de \wedge et \mathbf{d}

$$\mathbf{d}(\alpha \wedge \beta) = \sum_{k=1}^n \frac{\partial(fg)}{\partial x_k} dx_k \wedge dx_{i_1} \wedge \cdots \wedge dx_{i_p} \wedge dx_{j_1} \wedge \cdots \wedge dx_{j_q}.$$

Montrons maintenant (4.4). Il suffit à nouveau de la vérifier pour les formes pures, par linéarité du *pullback* φ^* et de la différentiation extérieure \mathbf{d} . Le cas d'une 0-forme est clair (c'est ce qui a motivé la définition du « pullback ») : si $f : U \rightarrow \mathbb{R}$ est une fonction régulière, $\varphi^* f = f \circ \varphi$ et

$$\mathbf{d}(\varphi^* f) = \mathbf{d}(f \circ \varphi), \quad \varphi^*(\mathbf{d}f) = \varphi^*(\mathbf{d}f),$$

d'où

$$\varphi^*(\mathbf{d}f)(y) \cdot v = \mathbf{d}f(\varphi(y)) \cdot \mathbf{d}\varphi(y) \cdot v = \mathbf{d}(\varphi^* f)(y) \cdot v$$

d'après la formule de dérivation des fonctions composées (théorème 1.5 page 15). Le cas des 1-formes découle de cette même formule. En effet, pour $\alpha = f dx_i$ on a

$$\varphi^* \alpha = (f \circ \varphi) d\varphi_i, \quad \mathbf{d}\alpha = \sum_{k=1}^n \frac{\partial f}{\partial x_k} dx_k \wedge dx_i,$$

$$\mathbf{d}(\varphi^* \alpha) = \mathbf{d}(f \circ \varphi) \wedge d\varphi_i, \quad \varphi^*(\mathbf{d}\alpha) = \sum_{k=1}^n \left(\frac{\partial f}{\partial x_k} \circ \varphi \right) d\varphi_k \wedge d\varphi_i,$$

où l'on a utilisé (4.5) et $\mathbf{d}\mathbf{d} = 0$ pour calculer $\mathbf{d}(\varphi^* \alpha)$, et (4.1) pour calculer $\varphi^*(\mathbf{d}\alpha)$. Ces deux quantités sont égales car

$$\mathbf{d}(f \circ \varphi) = \sum_{k=1}^n \left(\frac{\partial f}{\partial x_k} \circ \varphi \right) d\varphi_k$$

(formule de dérivation des fonctions composées). On peut alors montrer (4.4) par récurrence sur le degré p de α . Supposons (4.4) démontrée pour les p -formes pures. Soit $\alpha = \alpha_0 \wedge \alpha_1$ une $(p + 1)$ -forme pure, avec α_0 une 1-forme pure et α_1 une p -forme pure. Alors d'après (4.5)

$$d\alpha = d\alpha_0 \wedge \alpha_1 - \alpha_0 \wedge d\alpha_1,$$

d'où

$$\varphi^*(d\alpha) = \varphi^*(d\alpha_0) \wedge \varphi^*\alpha_1 - (\varphi^*\alpha_0) \wedge \varphi^*(d\alpha_1)$$

d'après (4.2). Par suite, d'après le cas des 1-formes appliqué à α_0 et l'hypothèse de récurrence appliquée à α_1 ,

$$\begin{aligned} \varphi^*(d\alpha) &= d(\varphi^*\alpha_0) \wedge \varphi^*\alpha_1 - (\varphi^*\alpha_0) \wedge d(\varphi^*\alpha_1) = \\ &= d((\varphi^*\alpha_0) \wedge (\varphi^*\alpha_1)) = d(\varphi^*\alpha) \end{aligned}$$

en appliquant à nouveau (4.5) puis (4.2).

Démonstration du lemme 4.13. Afin d'éviter toute confusion, introduisons la notation \mathbf{D} (respectivement D) pour la différentiation extérieure (respectivement, la différentiation des fonctions) dans $V \times [0, 1]$ (ou un ouvert le contenant), tandis que d est la différentiation extérieure dans V . La q -forme différentielle $\omega := \varphi^*\alpha$ peut se décomposer en

$$\omega = \omega_t + dt \wedge \beta_t,$$

où pour tout $t \in [0, 1]$, ω_t et β_t sont des formes différentielles sur V (dans lesquelles t joue le rôle de paramètre), ω_t étant de degré q et β_t de degré $q - 1$ si α est de degré q . De plus, on peut dériver leurs coefficients par rapport à t , et l'on obtient encore une q -forme $\frac{\partial \omega_t}{\partial t}$ et une $(q - 1)$ -forme $\frac{\partial \beta_t}{\partial t}$. Par définition de la différentielle extérieure on voit que

$$\mathbf{D}\omega_t = d\omega_t + dt \wedge \frac{\partial \omega_t}{\partial t},$$

et d'autre part, d'après (4.5),

$$D(dt \wedge \beta_t) = -dt \wedge D\beta_t = -dt \wedge d\beta_t.$$

Par conséquent,

$$D\omega = d\omega_t + dt \wedge \left(\frac{\partial \omega_t}{\partial t} - d\beta_t \right).$$

Or, par hypothèse, α est fermée et donc, d'après (4.4), ω aussi, ce qui signifie $\mathbf{D}\omega = 0$. D'après l'expression de $\mathbf{D}\omega$ cela implique

$$\mathbf{d}\omega_t = 0 \quad \text{et} \quad \mathbf{d}\beta_t = \frac{\partial \omega_t}{\partial t}.$$

Par ailleurs, tout q -uplet (v_1, \dots, v_q) de vecteurs de \mathbb{R}^n s'identifie à un q -uplet de vecteurs de \mathbb{R}^{n+1} en ajoutant 0 comme dernière composante, de sorte qu'avec un léger abus de notations on a, pour tout $(y, t) \in V \times [0, 1]$

$$\begin{aligned} \omega(y, t) \cdot (v_1, \dots, v_q) &= \omega_t(y) \cdot (v_1, \dots, v_q) + (\mathbf{d}t \wedge \beta_t) \cdot (v_1, \dots, v_q) \\ &= \omega_t(y) \cdot (v_1, \dots, v_q), \end{aligned}$$

d'où

$$\begin{aligned} \omega_t(y) \cdot (v_1, \dots, v_q) &= \alpha(\varphi(y, t)) \cdot (\mathbf{D}\varphi(y, t) \cdot v_1, \dots, \mathbf{D}\varphi(y, t) \cdot v_q) = \\ &= \alpha(\varphi_t(y)) \cdot (\mathbf{d}\varphi_t(y) \cdot v_1, \dots, \mathbf{d}\varphi_t(y) \cdot v_q), \end{aligned}$$

ce qui signifie que $\omega_t = \varphi_t^* \alpha$. Ainsi nous avons montré que

$$\frac{\partial(\varphi_t^* \alpha)}{\partial t} = \mathbf{d}\beta_t.$$

Pour conclure, on observe que β_t est une somme de termes de la forme $g_t dx_{i_1} \wedge \dots \wedge dx_{i_q}$, et donc que $\mathbf{d}\beta_t$ est somme des termes correspondants $\sum_{i=1}^n \frac{\partial g_t}{\partial x_i} dx_i \wedge dx_{i_1} \wedge \dots \wedge dx_{i_q}$, dont on peut intégrer les coefficients entre 0 et 1. On obtient ainsi finalement

$$\varphi_1^* \alpha - \varphi_0^* \alpha = \mathbf{d}\beta,$$

où la q -forme β est somme des termes $\sum_{i=1}^n \frac{\partial}{\partial x_i} \left(\int_0^1 g_t dt \right) dx_i \wedge dx_{i_1} \wedge \dots \wedge dx_{i_q}$

Remarque : Dans le cas $q = 1$, c'est-à-dire pour une 1-forme α fermée, on a une formule « explicite » pour β . On vérifie en effet, en utilisant la remarque p. 108 et une intégration par parties, que la différentielle (au sens des fonctions) de

$$\beta : x \mapsto \int_0^1 \alpha(tx) \cdot x dt$$

coïncide avec α .

► **Interprétation pour les opérateurs différentiels classiques**

Pour toute fonction $f \in \mathcal{C}^1(U; \mathbb{R})$ où U est un ouvert de \mathbb{R}^n , les composantes de ∇f dans la base $\left(\frac{\partial}{\partial x_1}, \dots, \frac{\partial}{\partial x_n}\right)$ sont les composantes de df dans la base (dx_1, \dots, dx_n) .

Pour toute fonction $a \in \mathcal{C}^1(U; \mathbb{R}^n)$ de composantes a_j dans la base $\left(\frac{\partial}{\partial x_1}, \dots, \frac{\partial}{\partial x_n}\right)$, la forme différentielle

$$\alpha := \sum_{j=1}^n a_j dx_j$$

a pour différentielle extérieure

$$d\alpha = \sum_{1 \leq i < j \leq n} \left(\frac{\partial a_j}{\partial x_i} - \frac{\partial a_i}{\partial x_j} \right) dx_i \wedge dx_j.$$

Dans le cas $n = 2$ cette formule se résume à

$$d\alpha = \left(\frac{\partial a_2}{\partial x_1} - \frac{\partial a_1}{\partial x_2} \right) dx_1 \wedge dx_2,$$

et dans le cas $n = 3$ elle s'écrit encore, par définition du *rotationnel*

$$d\alpha = (\text{rot } a)_1 dx_2 \wedge dx_3 + (\text{rot } a)_2 dx_3 \wedge dx_1 + (\text{rot } a)_3 dx_1 \wedge dx_2.$$

Ainsi, le théorème de Poincaré exprime en particulier que dans un ouvert U simplement connexe, une fonction $a \in \mathcal{C}^1(U; \mathbb{R}^n)$ s'écrit comme le *gradient* d'une fonction $f \in \mathcal{C}^1(U; \mathbb{R})$ (appelée *potentiel* en physique) si et seulement si son rotationnel est identiquement nul.

On peut aussi caractériser grâce au théorème de Poincaré les fonctions qui s'écrivent comme un rotationnel. En effet, pour toute fonction $b \in \mathcal{C}^1(U; \mathbb{R}^3)$ de composantes b_j , la forme différentielle

$$\beta := b_1 dx_2 \wedge dx_3 + b_2 dx_3 \wedge dx_1 + b_3 dx_1 \wedge dx_2$$

a pour différentielle extérieure

$$d\beta = (\text{div } b) dx_1 \wedge dx_2 \wedge dx_3.$$

Par suite, b s'écrit comme le rotationnel d'une fonction $\phi \in \mathcal{C}^1(U; \mathbb{R}^3)$ (appelée *fonction de courant* en physique) si et seulement si sa divergence est identiquement nulle.

Enfin, on peut noter que le *laplacien* d'une fonction $f \in \mathcal{C}^2(U; \mathbb{R})$ où U est un ouvert de \mathbb{R}^3 apparaît naturellement dans la différentielle extérieure de la 2-forme

$$\beta := \frac{\partial f}{\partial x_1} dx_2 \wedge dx_3 + \frac{\partial f}{\partial x_2} dx_3 \wedge dx_1 + \frac{\partial f}{\partial x_3} dx_1 \wedge dx_2,$$

puisque

$$d\beta = (\text{div } \nabla f) dx_1 \wedge dx_2 \wedge dx_3$$

et $\text{div } \nabla f = \Delta f$ par définition du laplacien Δ .

4.4 THÉORÈME DE FROBENIUS

Le théorème 4.11 (Poincaré) fournit une caractérisation des formes différentielles qui s'écrivent *globalement* comme une différentielle exacte.

Un autre résultat fournit une caractérisation des 1-formes différentielles qui s'écrivent *localement* comme une différentielle à une fonction multiplicative près.

Théorème 4.15 (Frobenius) *Soit ω une 1-forme différentielle de classe \mathcal{C}^1 sur un ouvert U de \mathbb{R}^n . S'il existe des fonctions $\theta \in \mathcal{C}^1(U; \mathbb{R})$ et $\phi \in \mathcal{C}^2(U; \mathbb{R})$ telles que $\omega = \theta d\phi$, alors $\omega \wedge d\omega = 0$. Réciproquement, si ω est une 1-forme différentielle de classe \mathcal{C}^2 telle que $\omega \wedge d\omega \equiv 0$ alors pour tout $x_0 \in U$ tel que $\omega(x_0) \neq 0$ il existe un voisinage $V_0 \subset U$ de x_0 et des $\theta \in \mathcal{C}^1(V_0; \mathbb{R})$, $\phi \in \mathcal{C}^2(V_0; \mathbb{R})$ telles que $\omega = \theta d\phi$.*

Démonstration. La partie directe est immédiate, puisque si $\omega = \theta d\phi$ alors $d\omega = d\theta \wedge d\phi$ (d'après la formule (4.5) et la propriété $dd = 0$) et donc $\omega \wedge d\omega = 0$ (le produit extérieur étant alterné). La démonstration de la réciproque repose sur le théorème 5.16 démontré au chapitre 5.4. La forme différentielle ω se décompose sur la base canonique en

$$\omega = \sum_{j=1}^n f_j dx_j.$$

Si $\omega(x_0) \neq 0$, il existe j tel que f_j ne s'annule pas au voisinage de $x_0 \in U$. Sans perte de généralité on peut supposer $j = n$, et quitte à diviser ω par f_n (ce qui revient à diviser aussi la fonction θ que l'on cherche par f_n) on peut supposer $f_n \equiv 1$ au voisinage de x_0 .

On va alors montrer que si $\omega \wedge d\omega = 0$, il existe ϕ de classe \mathcal{C}^2 dans un voisinage V de x_0 tel que pour tout $x \in V$ et pour tout $h \in \mathbb{R}^n$, $\omega(x) \cdot h = 0$ équivaut à $d\phi(x) \cdot h = 0$: ceci montrera qu'il existe un *facteur intégrant* $\theta \in \mathcal{C}^1(V; \mathbb{R})$ tel que $\omega = \theta d\phi$. En effet, pour tout $x \in V$ les formes linéaires $\omega(x)$ et $d\phi(x)$ seront colinéaires, le facteur de proportionnalité $\theta(x)$ étant donné par $\theta(x) = \omega(x) \cdot X(x)$, avec X le champ de vecteurs défini (puisqu'il ne s'annule pas plus que ω) par

$$X = \frac{1}{\|\nabla\phi\|^2} \nabla\phi,$$

de sorte que $d\phi(x) \cdot X(x) \equiv 1$; donc θ sera de classe \mathcal{C}^1 comme ω et $d\phi$.

Pour obtenir la fonction ϕ on va appliquer le théorème 5.16 (page 154 sur les équations aux différentielles totales, puis utiliser un changement de variables analogue à celui du redressement du flot des équations différentielles ordinaires (théorème 7.12 p. 230). Afin de vérifier que l'hypothèse principale du

théorème 5.16 est satisfaite, on commence par calculer

$$d\omega = - \sum_{1 \leq i, j \leq n-1} \frac{\partial f_j}{\partial x_i} dx_i \wedge dx_j - \sum_{j=1}^{n-1} \frac{\partial f_j}{\partial x_n} dx_n \wedge dx_j,$$

d'où

$$\begin{aligned} \omega \wedge d\omega &= - \sum_{1 \leq i, j \leq n-1} \left(\frac{\partial f_j}{\partial x_i} - \frac{\partial f_j}{\partial x_n} f_i \right) dx_n \wedge dx_i \wedge dx_j \\ &= - \sum_{1 \leq i < j \leq n-1} \left(\frac{\partial f_j}{\partial x_i} - \frac{\partial f_j}{\partial x_n} f_i - \frac{\partial f_i}{\partial x_j} + \frac{\partial f_i}{\partial x_n} f_j \right) dx_n \wedge dx_i \wedge dx_j. \end{aligned}$$

Par suite, $\omega \wedge d\omega = 0$ équivaut à

$$\frac{\partial f_j}{\partial x_i} - \frac{\partial f_j}{\partial x_n} f_i = \frac{\partial f_i}{\partial x_j} - \frac{\partial f_i}{\partial x_n} f_j \tag{4.6}$$

pour tout couple (i, j) . D'après le théorème 5.16 dans le cas $E = \mathbb{R}^{n-1}$, $F = \mathbb{R}$, pour la fonction

$$\begin{aligned} f : \mathbb{R}^n &\rightarrow \mathcal{L}(\mathbb{R}^{n-1}; \mathbb{R}) \\ x &\mapsto f(x) := \sum_{j=1}^{n-1} f_j(x) dx_j, \end{aligned}$$

sous la condition de symétrie

$$\begin{aligned} d_{\check{x}} f(x) \cdot h \cdot k + d_{x_n} f(x) \cdot (f(x) \cdot h) \cdot k &= \\ d_{\check{x}} f(x) \cdot k \cdot h + d_{x_n} f(x) \cdot (f(x) \cdot k) \cdot h, \end{aligned} \tag{4.7}$$

il existe un voisinage W de \check{x}_0 dans \mathbb{R}^{n-1} et $\varphi \in \mathcal{C}^2(W; \mathbb{R})$ telle que

$$d\varphi(\check{x}) = f(\check{x}, \varphi(\check{x})), \quad \varphi(\check{x}_0) = x_n^0,$$

où l'on a noté en abrégé $\check{x} := (x_1, \dots, x_{n-1})$, $\check{x}_0 := (x_1^0, \dots, x_{n-1}^0)$, les nombres x_j^0 désignant les composantes de x_0 . Or la condition (4.7) revient précisément à (4.6). On peut en fait préciser le résultat du théorème 5.16 en faisant varier la valeur de φ en \check{x}_0 : par une démonstration analogue à celle du théorème du flot (théorème 5.13) on montre qu'il existe un voisinage V de x_0 et une application $\psi \in \mathcal{C}^2(V; \mathbb{R})$ dont la différentielle partielle par rapport aux $(n - 1)$ premières variables, $d_1\psi$, vérifie pour tout $(\check{x}, y_n) \in V$,

$$d_1\psi(\check{x}, y_n) = \sum_{j=1}^{n-1} f_j(\check{x}, \psi(\check{x}, y_n)) dx_j,$$

et telle que pour tout nombre y_n pour lequel $(\tilde{x}_0, y_n) \in V$ on ait

$$\psi(\tilde{x}_0, y_n) = y_n.$$

On a en particulier

$$\frac{\partial \psi}{\partial y_n}(\tilde{x}_0, x_n^0) = 1,$$

et donc l'application

$$y = (y_1, \dots, y_{n-1}, y_n) \mapsto x := (y_1, \dots, y_{n-1}, \psi(y_1, \dots, y_{n-1}, y_n))$$

est un difféomorphisme local en x_0 . Soit alors ϕ la dernière composante du difféomorphisme réciproque : par définition on a pour tout $(\tilde{x}, y_n) \in V$ (voisinage éventuellement réduit de x_0),

$$x_n = \psi(\tilde{x}, y_n) \iff y_n = \phi(\tilde{x}, x_n),$$

c'est-à-dire que pour tout $x \in V_0$, voisinage de x_0 (image de V par le difféomorphisme),

$$x_n = \psi(\tilde{x}, \phi(\tilde{x}, x_n)).$$

En dérivant par rapport à x_n on trouve $1 = \partial_n \psi(y) \partial_n \phi(x)$, tandis qu'en dérivant par rapport à x_j pour $j \leq n-1$ on obtient

$$0 = \partial_j \psi(y) + \partial_n \psi(y) \partial_j \phi(x),$$

d'où encore, en multipliant par $\partial_n \phi(x)$ et en remarquant que $\partial_j \psi(y) = f_j(x)$,

$$0 = \partial_n \phi(x) f_j(x) + \partial_j \phi(x),$$

quel que soit $x \in V_0$. Cette identité signifie précisément que $d\phi(x) \cdot h = 0$ quel que soit $h \in \mathbb{R}^n$ tel que $\omega(x) \cdot h = 0$ (c'est-à-dire que $h_n = \sum_{j=1}^{n-1} f_j(x) h_j$).

Remarque : La condition d'intégrabilité de Frobenius $\omega \wedge d\omega = 0$ est trivialement satisfaite par toute 1-forme différentielle ω dans \mathbb{R}^n avec $n \leq 2$. En effet, si ω est une 1-forme, $\omega \wedge d\omega$ est une 3-forme. Or les 3-formes dans \mathbb{R}^n sont identiquement nulles si $n \leq 2$. Cela s'applique par exemple en *thermodynamique*. Supposons que l'état d'un système physique soit décrit par son volume v , son énergie interne e , sa pression p , et que l'on ait une *loi d'état* donnant p en fonction de (v, e) . Alors $de + p dv$ est une 1-forme différentielle dans \mathbb{R}^2 . Donc il existe un facteur intégrant θ , qui se trouve être physiquement la *température* du système et une fonction s , correspondant à l'*entropie*, tels que

$$\theta ds = de + p dv.$$

C'est la relation fondamentale de la thermodynamique.

4.5 THÉORÈME DE STOKES

Commençons par donner quelques rudiments concernant l'intégration des formes différentielles.

Définition 4.16 Soit U un ouvert borné de \mathbb{R}^n orienté par la base canonique, et $\omega = f dx_1 \wedge \cdots \wedge dx_n$ une n -forme différentielle sur U . On définit l'intégrale de ω sur U par

$$\int_U \omega := \int_U f(x) dx_1 \otimes \cdots \otimes dx_n,$$

où $dx_1 \otimes \cdots \otimes dx_n$ désigne la mesure de Lebesgue. On utilise la même formule pour définir l'intégrale sur un ouvert quelconque des formes différentielles à support compact.

Le théorème du changement de variables (voir par exemple [25, p. 166]) s'exprime comme suit en terme de formes différentielles.

Théorème 4.17 Si φ est un difféomorphisme d'un ouvert borné V de \mathbb{R}^n sur un ouvert borné U de \mathbb{R}^n , préservant l'orientation (c'est-à-dire que $\det d\varphi$ ne prend que des valeurs strictement positives), alors pour toute n -forme différentielle

$$\int_V \varphi^* \omega = \int_U \omega.$$

Nous admettrons qu'il existe un moyen naturel de définir l'intégrale d'une n -forme différentielle sur une variété différentiable orientable de dimension n , objet géométrique généralisant les courbes (de dimension 1) et les surfaces (de dimension 2) que nous ne chercherons pas à définir précisément ici.

Théorème 4.18 (Stokes) Soit U un ouvert borné de \mathbb{R}^n dont le bord ∂U est une variété différentiable (de dimension $n - 1$), orientée naturellement par la normale extérieure à U . Pour toute forme différentielle ω de degré $n - 1$ sur un voisinage de \overline{U} on a

$$\int_U d\omega = \int_{\partial U} \omega.$$

La démonstration de ce théorème est fondée sur le résultat plus simple suivant, qui nécessite seulement de savoir intégrer les $(n - 1)$ -formes à support compact sur l'hyperplan $\{x \in \mathbb{R}^n ; x_1 = 0\}$.

Proposition 4.19 Soient $H := \{x \in \mathbb{R}^n ; x_1 = 0\}$, orienté par sa normale $\frac{\partial}{\partial x_1}$, et $E := \{x \in \mathbb{R}^n ; x_1 < 0\}$. Pour toute $(n - 1)$ -forme ω à support compact sur \mathbb{R}^n .

$$\int_E d\omega = \int_H \omega := \int_{\mathbb{R}^{n-1}} \varphi^* \omega$$

où $\varphi(x_2, \dots, x_n) := (0, x_2, \dots, x_n)$.

Démonstration. D'après la définition 4.16 on a

$$\int_{\mathbb{R}^{n-1}} \varphi^* \omega = \int_{\mathbb{R}^{n-1}} \omega(0, x_2, \dots, x_n) \cdot \left(\frac{\partial}{\partial x_2}, \dots, \frac{\partial}{\partial x_n} \right) dx_2 \otimes \dots \otimes dx_n.$$

Par ailleurs, si l'on décompose ω en

$$\omega = \sum_{i=1}^n f_i dx_1 \wedge \dots \wedge dx_i \wedge \dots \wedge dx_n,$$

où la notation $dx_1 \wedge \dots \wedge dx_i \wedge \dots \wedge dx_n$ désigne comme plus haut la $(n-1)$ -forme linéaire où seule dx_i n'apparaît pas, on a

$$d\omega = \left(\sum_{i=1}^n (-1)^{i+1} \frac{\partial f_i}{\partial x_i} \right) dx_1 \wedge \dots \wedge dx_n.$$

Or, par intégration dans la direction x_i on trouve que, pour $i \neq 1$,

$$\int_{x_1 < 0} \frac{\partial f_i}{\partial x_i} dx_1 \otimes \dots \otimes dx_n = 0,$$

tandis que

$$\int_{x_1 < 0} \frac{\partial f_1}{\partial x_1} dx_1 \otimes \dots \otimes dx_n = \int_{\mathbb{R}^{n-1}} f_1(0, x_2, \dots, x_n) dx_2 \otimes \dots \otimes dx_n.$$

On conclut en observant que

$$f_1 = \omega \cdot \left(\frac{\partial}{\partial x_2}, \dots, \frac{\partial}{\partial x_n} \right).$$

Examinons maintenant en détail divers cas particuliers de la formule de Stokes.

Prenons tout d'abord $n = 2$. L'intégrale d'une 1-forme différentielle ω sur une courbe paramétrée $\Gamma := \{\varphi(t) \in U \subset \mathbb{R}^2; t \in I\}$ telle que $\varphi'(t) \neq 0$ pour tout $t \in I$ (intervalle de \mathbb{R}), orientée positivement par rapport à la base canonique de \mathbb{R}^2 , est

$$\int_{\Gamma} \alpha := \int_I \varphi^* \alpha = \int_I \alpha(\varphi(t)) \cdot \varphi'(t) dt.$$

C'est ce que l'on appelle l'intégrale curviligne. La formule de Stokes dans le cas $n = 2$ est plus connue sous le nom de formule de Green–Riemann :

$$\int_U \left(\frac{\partial Q}{\partial x} - \frac{\partial P}{\partial y} \right) dx \wedge dy = \int_{\partial U} (P dx + Q dy).$$

Dans \mathbb{R}^3 , le bord ∂U d'un ouvert régulier U est une surface qui peut (au moins localement) être paramétrée par une application

$$\begin{aligned} f : V \subset \mathbb{R}^2 &\rightarrow \mathbb{R}^3 \\ (u, v) &\mapsto f(u, v) \end{aligned}$$

telle que $\left(\frac{\partial f}{\partial u}, \frac{\partial f}{\partial v}, \frac{\partial f}{\partial u} \times \frac{\partial f}{\partial v}\right)$ forme une base directe de \mathbb{R}^3 (où \times désigne le produit vectoriel dans \mathbb{R}^3). On définit alors l'intégrale d'une 2-forme ω par

$$\int_{f(V)} \omega = \int_V f^* \omega,$$

où, rappelons le,

$$(f^* \omega(u, v)) \cdot \left(\frac{\partial}{\partial u}, \frac{\partial}{\partial v}\right) = \omega(f(u, v)) \cdot \left(\frac{\partial f}{\partial u}, \frac{\partial f}{\partial v}\right).$$

Si l'on décompose ω en

$$\omega = a_1 dx_2 \wedge dx_3 + a_2 dx_3 \wedge dx_1 + a_3 dx_1 \wedge dx_2,$$

on a

$$d\omega = (\operatorname{div} a) dx_1 \wedge dx_2 \wedge dx_3,$$

et la formule de Stokes s'écrit alors

$$\int_U (\operatorname{div} a) dx_1 \otimes dx_2 \otimes dx_3 = \int_{\partial U} a_1 dx_2 \wedge dx_3 + a_2 dx_3 \wedge dx_1 + a_3 dx_1 \wedge dx_2,$$

formule connue sous le nom de *Green–Ostrogradsky*. D'après la définition donnée ci-dessus, si $f(V) = \partial U$, le membre de droite s'écrit explicitement sous la forme

$$\int_{\partial U} a_1 dx_2 \wedge dx_3 + a_2 dx_3 \wedge dx_1 + a_3 dx_1 \wedge dx_2 = \int_V \left\langle f^* a, \frac{\partial f}{\partial u} \times \frac{\partial f}{\partial v} \right\rangle du \otimes dv,$$

où $\langle \cdot, \cdot \rangle$ est le produit scalaire « canonique » dans \mathbb{R}^3 .

En outre, la formule de Green–Riemann a un analogue dans \mathbb{R}^3 , conséquence de la formule de Stokes dans un cadre plus général que celui du théorème 4.18 : si Σ est une portion de surface dans \mathbb{R}^3 de bord régulier Γ , on trouve la formule connue sous le nom de *Stokes–Ampère*

$$\int_{\Sigma} (\operatorname{rot} a)_1 dx_2 \wedge dx_3 + (\operatorname{rot} a)_2 dx_3 \wedge dx_1 + (\operatorname{rot} a)_3 dx_1 \wedge dx_2 = \int_{\Gamma} a_1 dx_1 + a_2 dx_2 + a_3 dx_3.$$

Les formules de Green–Ostrogradsky et de Stokes–Ampère sont utilisées notamment en électromagnétisme. Par ailleurs, la formule de Stokes implique ce que l'on

appelle de façon « générique » en analyse mathématique la *formule de Green* (dont la compréhension nécessite quelques rudiments de géométrie différentielle). Commençons par la version la plus simple. Si f est une fonction scalaire différentiable au voisinage d'un ouvert U de \mathbb{R}^2 dont le bord est une courbe fermée régulière Γ , alors

$$\int_U \nabla u \, dx_1 \otimes dx_2 = \int_{\partial U} u \, \mathbf{n} \, ds, \quad (4.8)$$

où \mathbf{n} désigne la normale unitaire extérieure à U et s l'abscisse curviligne le long de Γ . Supposons en effet la courbe

$$\Gamma = \{\varphi(s) \in \mathbb{R}^2; s \in [0, L]\}$$

orientée dans le sens trigonométrique et paramétrée par l'abscisse curviligne s : en tout point $\varphi(s)$ de Γ , le vecteur normal unitaire n extérieur à U a pour composantes $(\varphi_2'(s), -\varphi_1'(s))$. Ainsi on a le long de Γ ,

$$dx_1 = \varphi_1'(s) ds = -n_2 ds, \quad dx_2 = \varphi_2'(s) ds = n_1 ds.$$

Donc, d'après la formule de Stokes on a

$$\begin{aligned} \int_U \frac{\partial u}{\partial x_1} dx_1 \wedge dx_2 &= \int_{\Gamma} u dx_2 = \int_{\Gamma} u n_1 ds, \\ \int_U \frac{\partial u}{\partial x_2} dx_1 \wedge dx_2 &= - \int_{\Gamma} u dx_1 = \int_{\Gamma} u n_2 ds, \end{aligned}$$

moyennant un léger abus de notation car l'expression correcte des termes de droite serait plutôt

$$\int_0^L (\varphi^* u) n_j ds.$$

Ainsi la formule de Green (4.8) n'est autre que l'expression vectorielle des deux formules ci-dessus (avec l'abus de notation mentionné). En appliquant (4.8) à un produit uv au lieu de u on trouve

$$\int_U u \nabla v + \int_U v \nabla u = \int_{\partial U} uv \, \mathbf{n} \, ds. \quad (4.9)$$

En appliquant la j -ème composante de cette dernière formule (4.9) à $v = \partial_j w$ et en faisant la somme sur j on obtient

$$\int_U u \Delta w + \int_U \nabla u \cdot \nabla w = \int_{\partial U} u \frac{\partial w}{\partial \mathbf{n}} ds, \quad (4.10)$$

où

$$\frac{\partial w}{\partial \mathbf{n}} = dw \cdot \mathbf{n} = \sum_{j=1}^2 \frac{\partial w}{\partial x_j} n_j.$$

D'autre part, en appliquant la j -ème composante de (4.9) à $v = a_j$ et en faisant la somme sur j on obtient

$$\int_U (\operatorname{div} a) u + \int_U a \cdot \nabla u = \int_{\partial U} \langle a, \mathbf{n} \rangle u \, ds. \tag{4.11}$$

Les formules (4.9), (4.10) et (4.11) sont en fait valables en toute dimension, pour autant que l'on définisse ds comme « l'élément de surface » de ∂U .

Mentionnons enfin une formule un peu plus sophistiquée, qui est l'analogue de (4.8) lorsque U est remplacé par une portion de surface Σ dans \mathbb{R}^3 de bord régulier Γ . On suppose pour fixer les idées que Σ est paramétrée par une application

$$\begin{aligned} f : V \subset \mathbb{R}^2 &\rightarrow \mathbb{R}^3 \\ (x, y) &\mapsto f(x, y) \end{aligned}$$

telle que $\left(\frac{\partial f}{\partial x}, \frac{\partial f}{\partial y}, \frac{\partial f}{\partial x} \times \frac{\partial f}{\partial y} \right)$ forme une base directe de \mathbb{R}^3 . On suppose de plus que $\mathbf{n} := \frac{\partial f}{\partial x} \times \frac{\partial f}{\partial y}$ est de norme 1, et pour éviter tout problème, que $\mathbf{n} = f^* \mathbf{N}$ avec \mathbf{N} bien définie et régulière au voisinage de U et à valeurs dans la sphère unité. Par définition, pour des fonctions a_1, a_2, a_3 assez régulières,

$$\int_{\Sigma} a_1 dx_2 \wedge dx_3 + a_2 dx_3 \wedge dx_1 + a_3 dx_1 \wedge dx_2 = \int_V \langle f^* a, \mathbf{n} \rangle dx \otimes dy.$$

On suppose maintenant que le bord de Σ ,

$$\Gamma = \{ \varphi(s) \in \mathbb{R}^3 ; s \in [0, L] \}$$

est orienté dans le sens trigonométrique par rapport à la normale \mathbf{n} à Σ , et paramétré par l'abscisse curviligne s . On définit en chaque point $\varphi(s)$ de Γ le vecteur unitaire \mathbf{t} , tangent à Γ , de composantes $t_j = \varphi'(s)$, et $\mathbf{m} := \mathbf{t} \times \mathbf{n}$, vecteur unitaire normal à Γ . Le long de Γ on a $dx_j = t_j ds$, et donc en particulier

$$m_1 ds = (t_2 n_3 - n_2 t_3) ds = n_3 dx_2 - n_2 dx_3.$$

Or, pour toute fonction u assez régulière au voisinage de U dans \mathbb{R}^3 ,

$$\begin{aligned} d(uN_3 dx_2 - uN_2 dx_3) &= \frac{\partial(uN_3)}{\partial x_1} dx_1 \wedge dx_2 - \frac{\partial(uN_3)}{\partial x_3} dx_2 \wedge dx_3 \\ &+ \frac{\partial(uN_2)}{\partial x_1} dx_3 \wedge dx_1 - \frac{\partial(uN_2)}{\partial x_2} dx_2 \wedge dx_3 = \end{aligned}$$

$$\frac{\partial(uN_3)}{\partial x_1} dx_1 \wedge dx_2 + \frac{\partial(uN_1)}{\partial x_1} dx_2 \wedge dx_3 + \frac{\partial(uN_2)}{\partial x_1} dx_3 \wedge dx_1 - \operatorname{div}(u\mathbf{N}) dx_2 \wedge dx_3.$$

La formule de Stokes (théorème 4.18 généralisé) et le fait que

$$N_1^2 + N_2^2 + N_3^2 = 1, \quad \sum_{j=1}^3 N_j \frac{\partial N_j}{\partial x_j} = 0,$$

impliquent donc,

$$\int_0^L (\varphi^* u) m_1 ds = - \int_V f^* (u \operatorname{div} \mathbf{N} + \mathbf{N} \cdot \nabla u) n_1 dx \otimes dy + \int_V f^* \frac{\partial u}{\partial x_1} dx \otimes dy.$$

En effectuant le même calcul pour les autres composantes on trouve

$$\int_0^L (\varphi^* u) \mathbf{m} ds = - \int_V f^* (u \operatorname{div} \mathbf{N} + \mathbf{N} \cdot \nabla u) \mathbf{n} dx \otimes dy + \int_V f^* \nabla u dx \otimes dy,$$

c'est-à-dire (avec à nouveau un léger abus de notation)

$$\int_{\partial \Sigma} u \mathbf{m} ds = \int_{\Sigma} \left(\nabla u - (u \operatorname{div} \mathbf{N} + \mathbf{N} \cdot \nabla u) \mathbf{N} \right) d\sigma,$$

où $d\sigma$ désigne l'« élément de surface ». Le lecteur avisé aura reconnu dans le facteur $-\operatorname{div} \mathbf{N}$ la *courbure moyenne* κ de Σ . Par ailleurs, les termes dérivés en u correspondent à ce que l'on appelle le *gradient surfacique* ∇_s . Ainsi la formule ci-dessus se réduit à

$$\int_{\partial \Sigma} u \mathbf{m} ds = \int_{\Sigma} \left(\nabla_s u + u \kappa \mathbf{N} \right) d\sigma,$$

formule qui étend (4.8) aux surfaces gauches (c'est-à-dire non-plates !). (Attention, \mathbf{m} joue le rôle de \mathbf{n} dans (4.8), et ce qui est ici \mathbf{N} ne joue pas de rôle dans (4.8) car $\kappa = 0$ lorsque $\Sigma = U$ est un ouvert du plan.)

Partie II

Équations différentielles

Chapitre 5

Introduction et outils de base

Ce premier chapitre consacré aux équations différentielles dites « ordinaires » (essentiellement par opposition aux équations aux dérivées partielles) sera l'occasion de décrire quelques modèles d'équations différentielles dans divers champs d'application, qui motiveront (et à l'occasion permettront d'illustrer) les développements théoriques ultérieurs. On exposera ensuite les bases de l'analyse mathématique de ces équations : résolution explicite dans les cas les plus simples, puis existence, unicité, et dépendance des solutions par rapport aux « conditions initiales » et aux paramètres. Le chapitre suivant (chapitre 6) sera quant à lui consacré aux propriétés spécifiques des équations linéaires, à coefficients constants puis à coefficients variables. À partir du chapitre 7, on s'attaquera à l'*analyse qualitative* des équations différentielles autonomes, c'est-à-dire à la description de propriétés des solutions comme leur comportement asymptotique (en « temps grand ») ou leur stabilité par rapport aux paramètres, sans chercher à calculer explicitement ces solutions. On étudiera notamment l'existence et la stabilité des solutions stationnaires, c'est-à-dire des états d'équilibre, qui jouent évidemment un rôle crucial dans les applications.

La forme la plus générale d'une *équation différentielle ordinaire* (ou EDO en sigle) est

$$F(t, u, u', \dots, u^{(n)}) = 0,$$

où u est une fonction inconnue de la variable réelle t à valeurs dans \mathbb{R}^p ou plus généralement dans un espace de Banach E , $u', \dots, u^{(n)}$ désignent les dérivées successives de u , et F est une fonction donnée, supposée « régulière » (on précisera comment par la suite) sur $I \times U \times U_1 \times \dots \times U_n$ où I est un intervalle ouvert de \mathbb{R} , U, U_1, \dots, U_n sont des ouverts connexes de E . On ne s'intéressera ici qu'à des équations différentielles *résolues*, pour lesquelles il existe une fonction f , régulière sur $I \times U \times U_1 \times \dots \times U_{n-1}$

telle que

$$F(t, u, u', \dots, u^{(n)}) = 0 \Leftrightarrow u^{(n)} = f(t, u, u', \dots, u^{(n-1)}).$$

Définition 5.1 On appelle équation différentielle d'ordre n dans un espace de Banach E une équation de la forme

$$u^{(n)} = f(t, u, u', \dots, u^{(n-1)}), \quad (5.1)$$

où f est une application définie sur $I \times U \times U_1 \times \dots \times U_{n-1}$, I étant un intervalle de \mathbb{R} et U, U_1, \dots, U_{n-1} des ouverts connexes de E . On appelle solution de (5.1) une application u de classe \mathcal{C}^n sur un intervalle $J \subset I$, telle que pour tout $t \in J$, $u(t) \in U$, $u'(t) \in U_1, \dots, u^{(n-1)}(t) \in U_{n-1}$ et

$$u^{(n)}(t) = f(t, u(t), u'(t), \dots, u^{(n-1)}(t)).$$

Cas particuliers :

- Lorsque $E = \mathbb{R}$, l'équation différentielle est dite scalaire.
- Lorsque f est linéaire par rapport à $(u, u', \dots, u^{(n-1)})$, l'équation différentielle est dite linéaire homogène (à coefficients constants si de plus f ne dépend pas de t). Si f est de la forme

$$f(t, u, u', \dots, u^{(n-1)}) = g(t, u, u', \dots, u^{(n-1)}) + b(t)$$

avec g linéaire par rapport à $(u, u', \dots, u^{(n-1)})$, l'équation différentielle est dite linéaire avec terme source.

- Lorsque f est indépendante de t , l'équation différentielle est dite autonome.

5.1 MODÉLISATION ET APPLICATIONS

Les équations différentielles ordinaires en dimension finie, c'est-à-dire dans un espace E de dimension finie (le plus souvent de petite dimension), fournissent des modèles mathématiques dans divers domaines d'application. Nous allons en présenter quelques uns avant de donner des exemples en dimension infinie.

5.1.1 Mécanique

L'équation de la mécanique des points matériels est fournie par la *loi de Newton*, exprimant que la (résultante des) force(s) $F(x)$ exercée sur un point matériel situé à la position $x \in \mathbb{R}^3$ est égale à son accélération multipliée par sa masse m :

$$m \frac{d^2x}{dt^2} = F(x). \quad (5.2)$$

Dans cette équation, l'espace des valeurs possibles des solutions $t \mapsto x(t)$ est $E = \mathbb{R}^3$ et l'ordre est $n = 2$. Notons que l'on peut écrire (5.2) de façon équivalente (au sens où les solutions sont en bijection, ceci sera précisé par la suite) dans l'espace des phases

$$\begin{cases} \frac{dx}{dt} = v, \\ \frac{dv}{dt} = \frac{1}{m} F(x). \end{cases} \quad (5.3)$$

Il se peut également que la force F dépende de la vitesse v : c'est le cas notamment en présence d'amortissement. Pour cette « équation » (ou système), l'espace E est \mathbb{R}^6 et l'ordre est $n = 1$. La fonction F peut être vue comme un champ de vecteurs dans \mathbb{R}^3 , que l'on appelle *champ de forces*. Lorsque $F(x)$ est partout colinéaire à x , c'est-à-dire que $F(x) = \lambda(x)x$ avec λ une fonction scalaire, on dit que le champ de forces est *central*. C'est le cas par exemple pour la force de gravitation exercée sur « petite » planète de masse m par une « grosse » planète de masse M située en $x = 0$: la loi de la gravitation universelle donne

$$F(x) = -\frac{GMm}{\|x\|^2} \frac{x}{\|x\|} = -\frac{GMm}{\|x\|^3} x,$$

où G est la constante d'attraction universelle ($G = 6,672 \cdot 10^{-11} \text{ m}^3 \cdot \text{s}^{-2} \cdot \text{kg}^{-1}$). Lorsque le champ F est le gradient d'une fonction (scalaire) $-V$, on dit que V est le *potentiel* de F . On vérifie que c'est le cas pour le champ ci-dessus, avec

$$V(x) = -\frac{GMm}{\|x\|}.$$

Remarque : L'équation (5.2) avec $F = -\text{grad } V$ n'est autre que l'équation d'Euler-Lagrange (voir le paragraphe 3.4) associée au lagrangien

$$L(x, v) := \frac{1}{2} m \|v\|^2 - V(x),$$

où l'on reconnaît (dans le premier terme) l'énergie cinétique du point matériel considéré.

L'équation (5.2) s'obtient aussi pour des mouvements en plus petite dimension. Par exemple si $x \in \mathbb{R}^+$ est la position de l'extrémité d'un ressort dont l'autre extrémité est fixée en $x = 0$ (voir la figure 5.1), si ℓ est la longueur au repos de ce ressort et si $k > 0$ est sa raideur, on a $F(x) = -k(x - \ell)$. L'équation obtenue pour $y := x - \ell$ est ainsi

$$m \frac{d^2 y}{dt^2} + k y = 0, \quad (5.4)$$



Figure 5.1 Ressort, modèle d'oscillateur harmonique.

dite de l'*oscillateur harmonique*. Ou bien si $\theta \in \mathbb{R}$ est l'angle par rapport à la position verticale au repos d'un *pendule simple* (voir la figure 5.2) de longueur ℓ , en l'absence d'amortissement le mouvement de ce pendule est régi par l'équation

$$\ell \frac{d^2\theta}{dt^2} + g \sin \theta = 0, \quad (5.5)$$

où g désigne l'accélération de la pesanteur (à la surface de la Terre, $g = GM/R^2$ où M est la masse de la Terre et R son rayon, soit $g \simeq 9,8 \text{ m}\cdot\text{s}^{-2}$).

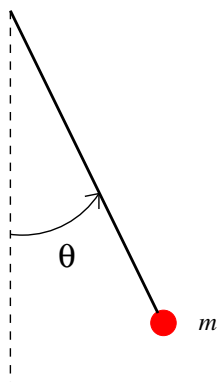


Figure 5.2 Pendule simple (oscillant dans un plan).

Remarque :

- L'équation (5.5) est l'équation d'Euler–Lagrange associée au lagrangien

$$L(\theta, \dot{\theta}) := \frac{1}{2}m\ell^2\dot{\theta}^2 + mg\ell \cos \theta.$$

(On fait apparaître ici la masse m pour une question de dimension physique, la première partie du lagrangien correspondant à l'énergie cinétique et $V := -mg\ell \cos \theta$ étant l'énergie potentielle du pendule.)

- Lorsque θ est proche de 0, c'est-à-dire que le pendule oscille peu autour de sa position au repos, on peut approcher $\sin \theta$ par θ et l'équation (5.5) obtenue revient à celle d'un oscillateur harmonique.

La mécanique du solide donne également lieu à des équations différentielles du second ordre que l'on peut obtenir comme équations d'Euler-Lagrange. C'est le cas par exemple pour le mouvement d'une toupie, c'est-à-dire d'un solide de révolution homogène avec un point fixe appartenant à l'axe de révolution (la pointe de la toupie) : il « suffit » de trois angles pour décrire la position de ce solide (voir la figure 5.3), appelés *angles d'Euler*, que l'on note ici ψ (précession), θ (nutation), φ (rotation propre). Le lagrangien associé est de la forme

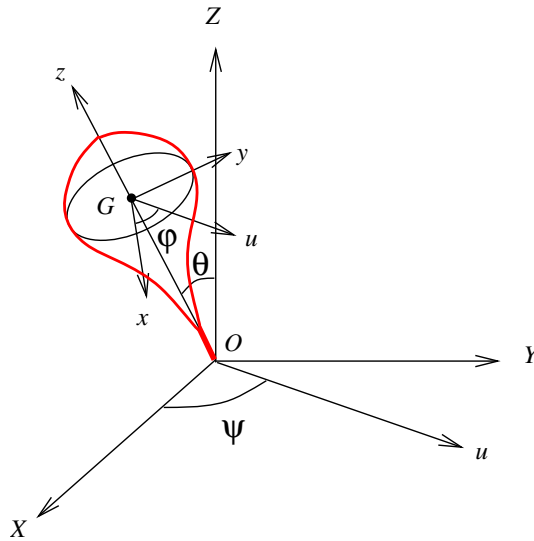


Figure 5.3 Toupie et angles d'Euler.

$$L(\theta, \psi, \dot{\theta}, \dot{\psi}, \dot{\varphi}) = \frac{1}{2} A (\dot{\theta}^2 + \dot{\psi}^2 \sin^2 \theta) + \frac{1}{2} C (\dot{\varphi} + \dot{\psi} \cos \theta)^2 - m g \ell \cos \theta,$$

où A et C sont les moments d'inertie du solide (A par rapport aux directions orthogonales à l'axe de révolution, C par rapport à cet axe), m est sa masse, ℓ la distance entre le point fixe et le centre d'inertie, g l'accélération de la pesanteur.

5.1.2 Électricité

L'état d'un circuit électrique composé de résistances, bobines et condensateurs, peut être décrit par l'intensité I et la différence de potentiel U dans chacun de ces composants. Les différentes lois de l'électricité conduisent à un système d'équations différentielles pour ces quantités. Considérons par exemple un circuit fermé comprenant un composant de chaque sorte, dans l'ordre résistance-bobine-condensateur (voir la figure 5.4), la bobine ayant pour inductance L , le condensateur ayant pour capacité

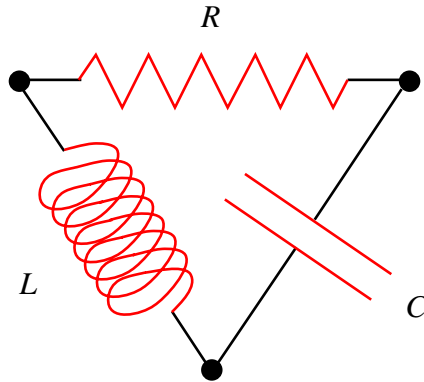


Figure 5.4 Circuit RLC.

C , et le comportement de la résistance étant régi une relation algébrique (loi d'Ohm généralisée) :

$$U_R = F(I_R).$$

Les équations régissant l'évolution de ce circuit sont :

$$\begin{cases} L \frac{dI_L}{dt} = U_L, \\ C \frac{dU_C}{dt} = I_C, \end{cases}$$

assorties des relations de compatibilité

$$U_C = U_L + U_R, \quad I_R = I_L = -I_C.$$

(L'orientation du circuit étant arbitraire, les équations sont fort heureusement invariantes par changement d'orientation.) En éliminant les autres inconnues, on se ramène à un système de deux équations pour $x = I_L$ et $y = U_C$ par exemple :

$$\begin{cases} L \frac{dx}{dt} = y - F(x), \\ C \frac{dy}{dt} = -x. \end{cases}$$

Remarque : Lorsque des paramètres physiques sont en jeu (comme ici L et C), il est souvent intéressant (par exemple pour étudier des comportements asymptotiques en fonction de ces paramètres) d'*adimensionner* les équations. Cela revient à faire des changements d'échelles et à chercher les équations satisfaites par les quantités sans dimension ainsi obtenues. Il en ressort en général

de nouveaux paramètres, sans dimension également, dont on peut déterminer le nombre par l'analyse dimensionnelle (voir le paragraphe 5.1.6).

Pour le système ci-dessus, on considère une intensité de référence I , un potentiel de référence U et un temps de référence T , et l'on pose

$$\tilde{x} := \frac{x}{I}, \quad \tilde{y} := \frac{y}{U}, \quad \tilde{t} := \frac{t}{T}, \quad \tilde{F}(\tilde{x}) := \frac{F(x)}{U}.$$

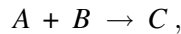
On voit alors qu'une fonction $t \mapsto (x(t), y(t))$ est solution du système de départ si et seulement si la fonction $\tilde{t} \mapsto (\tilde{x}(\tilde{t}), \tilde{y}(\tilde{t}))$ est solution de

$$\begin{cases} \frac{d\tilde{x}}{d\tilde{t}} = \frac{TU}{LI} (\tilde{y} - \tilde{F}(\tilde{x})), \\ \frac{d\tilde{y}}{d\tilde{t}} = -\frac{IT}{CU} \tilde{x}, \end{cases}$$

où il y a effectivement deux paramètres sans dimension, à savoir $(TU)/(LI)$ et $(IT)/(CU)$. (Notons qu'ils valent tous deux 1 si l'on choisit en particulier $T = \sqrt{LC}$ et $U/I = \sqrt{L/C}$.)

5.1.3 Chimie

L'évolution d'une réaction chimique simple



dont les réactants A et B et le produit C ont pour concentration a , b et c respectivement peut également être modélisée par une équation différentielle, en égalant le taux de consommation :

$$-\frac{da}{dt} = -\frac{db}{dt} = \frac{dc}{dt}$$

avec le taux de réaction, supposé de la forme

$$K a^\alpha b^\beta c^\gamma,$$

où K , α , β , γ sont des constantes empiriques. Le même raisonnement s'applique à des réactions plus complexes. En particulier, l'évolution de la réaction dite de *Belousov-Zhabotinskii* est régie par le modèle de *Field-Noyes*, qui s'écrit sous forme adimensionnée :

$$\begin{cases} \varepsilon \frac{dx}{dt} = qy - xy + x(1-x), \\ \delta \frac{dy}{dt} = -qy - xy + 2rz \\ \frac{dz}{dt} = x - z, \end{cases}$$

où ε , δ , q et r sont des paramètres sans dimension.

5.1.4 Écologie

Divers modèles classiques d'évolution d'espèces en compétition s'expriment au moyen d'équations différentielles. C'est le cas des modèles de type *prédateurs-proies* de *Lotka–Volterra*. Si une population de proies de concentration N cohabite avec une population de prédateurs de concentration P , un modèle simplifié de leur évolution s'écrit :

$$\begin{cases} \frac{dN}{dt} = N(a - bP), \\ \frac{dP}{dt} = P(cN - d), \end{cases}$$

où a est le taux de natalité des proies, d le taux de mortalité des prédateurs, tandis que b et c sont des constantes empiriques, supposées positives, représentant l'interaction entre les proies et les prédateurs. On peut également considérer des modèles non-linéaires :

$$\begin{cases} \frac{dN}{dt} = N F(N, P), \\ \frac{dP}{dt} = P G(N, P). \end{cases}$$

Pour plus de détails on renvoie au livre de Murray [22].

5.1.5 En dimension infinie

Parmi les exemples d'équations différentielles en dimension infinie on compte ce que l'on appelle les *systèmes dynamiques sur réseau* (plus connus sous le nom anglais *Lattice Dynamical Systems*, LDS en abrégé), dont les inconnues prennent typiquement leurs valeurs dans un espace $\ell^p(\mathbb{Z}^m; \mathbb{R}^d)$. L'un des LDS célèbres est le modèle de *Fermi–Pasta–Ulam* en physique de la matière, qui couple des équations du type (5.2) pour un nombre infini de masses m_j ($j \in \mathbb{Z}$). Il s'écrit

$$m_j \frac{d^2 x_j}{dt^2} = V'(x_{j+1} - x_j) - V'(x_j - x_{j-1}), \quad (5.6)$$

où V est un potentiel d'interaction donné. On peut en effet voir le système infini d'équations (5.6) pour $j \in \mathbb{Z}$ comme une équation différentielle ordinaire dans l'espace $E = \ell^\infty(\mathbb{Z}; \mathbb{R})$ des « suites » (indexées par \mathbb{Z}) bornées. Par ailleurs, on obtient des LDS par discrétisation en espace d'équations aux dérivées partielles d'évolution. Prenons par exemple l'équation de la chaleur

$$\partial_t \theta = \kappa \partial_{xx}^2 \theta \quad (5.7)$$

(décrivant l'évolution de la température θ dans une barre monodimensionnelle, le paramètre $\kappa > 0$ étant déterminé par la conductivité thermique, la chaleur massique et la densité du matériau). Une façon simple d'approcher les solutions de (5.7) est de chercher $\theta(j\Delta x, t) \simeq u_j(t)$ (où Δx est un pas de discrétisation et $j \in \mathbb{Z}$) avec

$$\frac{du_j}{dt} = \frac{\kappa}{\Delta x^2} (u_{j+1} - 2u_j + u_{j-1}). \quad (5.8)$$

On a approché ici la dérivée seconde $\partial_{xx}^2 \theta$ par un « développement de Taylor ». Plus précisément, et c'est la base de ce que l'on appelle les *schémas aux différences finies* (voir l'exercice 2.1), si θ est deux fois différentiable par rapport à x , on a par la formule de Taylor–Young,

$$\partial_{xx}^2 \theta(j\Delta x, t) = \frac{1}{\Delta x^2} (\theta((j+1)\Delta x, t) - 2\theta(j\Delta x, t) + \theta((j-1)\Delta x, t)) + o(1).$$

Le système infini d'équations (5.8) pour $j \in \mathbb{Z}$ revient à une équation différentielle ordinaire dans l'espace de suites $\ell^p(\mathbb{Z}; \mathbb{R})$ (qui est un espace de Banach quel que soit $p \in [1, \dots, +\infty]$).

Enfin, certaines équations aux dérivées partielles d'évolution peuvent être vues comme des EDO dans des espaces de fonctions appropriés. C'est le cas par exemple pour

$$\partial_{tt}^2 u - c^2 \Delta u = \gamma \Delta \partial_{tt}^2 u,$$

avec $\gamma > 0$ (cette équation apparaissant dans divers domaines, voir [30, p. 366]), car elle équivaut à $\partial_{tt}^2 u = P_\gamma u$, où P_γ est un opérateur linéaire continu sur l'espace de Hilbert $L^2(\mathbb{R}^d)$. Cela se voit par *transformation de Fourier* [25, ch. 9], qui est une isométrie de $L^2(\mathbb{R}^d)$. Mais attention, la norme de P_γ « explose » (comme $1/\gamma$) lorsque γ tend vers 0, et l'équation obtenue à la limite

$$\partial_{tt}^2 u - c^2 \Delta u = 0,$$

appelée *équation des ondes*, est d'une nature différente.

5.1.6 Rudiments d'analyse dimensionnelle

Supposons que l'on dispose pour décrire un système physique de k unités de mesure « indépendantes » (en un sens que l'on précisera plus loin). Pour fixer les idées on notera m_1, \dots, m_k ces unités. (On peut prendre par exemple $m_1 = \text{kg}$, une unité de masse, $m_2 = \text{s}$, une unité de temps, $m_3 = \text{m}$, une unité de longueur.) On considère l'ensemble de toutes les unités de mesure que l'on peut fabriquer comme produits de puissances fractionnaires de ces unités fondamentales :

$$\mathcal{P} := \{m_1^{q_1} \cdots m_k^{q_k}; (q_1, \dots, q_k) \in \mathbb{Q}^k\}.$$

(Dans l'exemple ci-dessus, \mathcal{P} contient entre autres les unités de vitesse $m \cdot s^{-1}$, d'accélération $m \cdot s^{-2}$ et d'énergie $kg \cdot m^2 \cdot s^{-2}$.) On peut munir l'ensemble \mathcal{P} d'une structure de \mathbb{Q} -espace vectoriel en demandant que l'application

$$\Theta : \begin{array}{ccc} \mathbb{Q}^k & \rightarrow & \mathcal{P} \\ (q_1, \dots, q_k) & \mapsto & m_1^{q_1} \cdots m_k^{q_k} \end{array}$$

soit un morphisme. Autrement dit l'« addition » (+) de deux unités de mesure s'obtient en additionnant les puissances (c'est-à-dire $(m_1^{q_1} \cdots m_k^{q_k}) + (m_1^{r_1} \cdots m_k^{r_k}) := m_1^{q_1+r_1} \cdots m_k^{q_k+r_k}$) et la « multiplication » (\times) par $\lambda \in \mathbb{Q}$ d'une unité de mesure s'obtient en l'élevant à la puissance λ (c'est-à-dire $\lambda \times (m_1^{q_1} \cdots m_k^{q_k}) = (m_1^{\lambda q_1} \cdots m_k^{\lambda q_k})$). Les unités de mesure m_1, \dots, m_k sont dites indépendantes si elles le sont au sens algébrique dans l'espace vectoriel \mathcal{P} (où le neutre pour l'addition est $1 := m_1^0 \cdots m_k^0$), c'est-à-dire si le seul k -uplet $(\lambda_1, \dots, \lambda_k) \in \mathbb{Q}^k$ tel que

$$\lambda_1 \times m_1 + \cdots + \lambda_k \times m_k = 1$$

est $(\lambda_1, \dots, \lambda_k) = (0, \dots, 0)$. Comme par définition de + et \times on a

$$\lambda_1 \times m_1 + \cdots + \lambda_k \times m_k = m_1^{\lambda_1} \cdots m_k^{\lambda_k},$$

on voit que les unités m_1, \dots, m_k sont indépendantes si elles ne permettent pas de former une quantité sans dimension de façon non triviale (c'est bien le cas par exemple pour les unités de masse, de longueur et de temps), ou autrement dit si \mathcal{P} est isomorphe à \mathbb{Q}^k par Θ .

La base de l'analyse dimensionnelle est de déterminer, pour un ensemble de quantités physiques données, disons p_1, \dots, p_n , s'exprimant dans les unités de mesure de \mathcal{P} , combien on peut former de quantités sans dimension avec des puissances fractionnaires de p_1, \dots, p_n . Le calcul repose sur le *théorème du rang* en algèbre linéaire. En effet, on peut associer à p_1, \dots, p_n une matrice $A \in \mathcal{M}_{k,n}(\mathbb{Q})$, de coefficients $q_{i,j}$ définis (de façon unique) par $p_j = m_1^{q_{1,j}} \cdots m_k^{q_{k,j}}$. On observe que, pour tout $r = (r_1, \dots, r_n)^t \in \mathbb{Q}^n$, la quantité $p_1^{r_1} \cdots p_n^{r_n}$ s'exprime dans l'unité de mesure $\Theta(Ar)$. Par suite le nombre de quantités sans dimension que l'on cherche coïncide avec la dimension du noyau de A , qui est égale à $n - \text{rang}(A)$ d'après le théorème du rang. Ce résultat fait partie de ce que l'on appelle le *théorème π* , pour lequel on renvoie par exemple à [20, p. 5] (ou [23, p. 215]).

► Exemples

Reprenons comme ci-dessus $m_1 = kg$, $m_2 = s$, $m_3 = m$, et comme quantités physiques une masse ($p_1 = M$), un temps ($p_2 = T$), une accélération ($p_3 = g$) et une énergie ($p_4 = E$). La matrice correspondante est

$$A = \begin{pmatrix} 1 & 0 & 0 & 1 \\ 0 & 1 & -2 & -2 \\ 0 & 0 & 1 & 2 \end{pmatrix}.$$

Elle est de rang maximal 3, et son noyau est engendré par le vecteur $(1, 2, 2, -1)^t$: cela signifie que MT^2g^2/E est sans dimension, et que toutes les autres quantités sans dimension que l'on peut former avec des puissances fractionnaires de M, T, g, E , sont des puissances fractionnaires du nombre MT^2g^2/E . Ce raisonnement est notamment à l'origine du *modèle de Taylor–Sedov* (voir [30, p. 192]), décrivant l'évolution en fonction du temps du rayon d'une onde de choc produite par une forte explosion (atomique par exemple).

Dans le cas du circuit RLC du paragraphe 5.1.2, avec des unités de temps (s), d'intensité électrique (A), de tension électrique (V) et comme quantités physiques un temps T , une intensité I , une tension U , une capacité C et une inductance L , on retrouve par l'analyse dimensionnelle les nombres sans dimension $(TU)/(LI)$ et $(IT)/(CU)$, correspondant aux éléments $(1, -1, 1, -1, 0)^t$ et $(1, 1, -1, 0, -1)^t$ du noyau de

$$A = \begin{pmatrix} 1 & 0 & 0 & 1 & 1 \\ 0 & 1 & 0 & -1 & 1 \\ 0 & 0 & 1 & 1 & -1 \end{pmatrix}.$$

L'analyse dimensionnelle permet également de montrer que les caractéristiques du mouvement d'un pendule simple ne dépendent pas de sa masse (comme le confirme l'équation (5.5), où n'intervient pas la masse m).

5.2 RÉOLUTION EXPLICITE

Il n'y a pas de méthode générale pour calculer les solutions de (5.1). On ne sait résoudre explicitement que des types bien particuliers d'équations différentielles, dont nous traitons ci-après les cas les plus fondamentaux (et en particulier ceux utiles au développement de la théorie). Pour les cas plus sophistiqués on renvoie par exemple à [8, ch. 4], ou [6] (référence récente concernant aussi les équations aux dérivées partielles).

5.2.1 Équations linéaires scalaires d'ordre 1

Étant données deux fonctions a et $b \in \mathcal{C}(I; \mathbb{R})$, l'équation $u' = a(t)u + b(t)$ admet pour solutions les fonctions de la forme

$$u(t) = u_0 e^{\int_{t_0}^t a(\tau) d\tau} + \int_{t_0}^t e^{\int_s^t a(\tau) d\tau} b(s) ds,$$

avec $t_0 \in I, u_0 \in \mathbb{R}$. Pour trouver cette formule il suffit d'observer que pour toute solution de u de $u' = a(t)u + b(t)$ sur un intervalle $J \subset I$ contenant t_0 ,

$$(u'(t) - a(t)u(t)) e^{\int_{t_0}^t a(\tau) d\tau} = \frac{d}{dt} \left(u(t) e^{\int_{t_0}^t a(\tau) d\tau} \right),$$

et d'intégrer « à vue ».

5.2.2 Équations linéaires scalaires d'ordre 2 à coefficients constants

Pour $p, q \in \mathbb{R}$, les solutions de l'équation

$$u'' + p u' + q u = 0 \quad (5.9)$$

sont de trois formes possibles, suivant les propriétés de l'équation caractéristique :

$$z^2 + p z + q = 0. \quad (5.10)$$

Pour toute solution il existe $(\lambda_1, \lambda_2) \in \mathbb{R}^2$ tel que

- ou bien $u(t) = \lambda_1 e^{a_1 t} + \lambda_2 e^{a_2 t}$ si l'équation caractéristique a deux racines réelles distinctes (a_1 et a_2);
- ou bien $u(t) = \lambda_1 e^{at} \cos bt + \lambda_2 e^{at} \sin bt$ si l'équation caractéristique a ses racines complexes conjuguées ($a \pm ib$);
- ou bien $u(t) = (\lambda_1 + t \lambda_2) e^{at}$ si l'équation caractéristique a une racine (réelle) double (a).

Pour trouver ces expressions on commence par chercher des solutions particulières de (5.9), à valeurs éventuellement complexes, de la forme $u(t) = u_0 e^{zt}$ pour $z \in \mathbb{C}$. On voit que z doit être solution de l'équation caractéristique (5.10), et l'on obtient ainsi deux solutions indépendantes de (5.9) : $u_1(t) = e^{a_1 t}$ et $u_2(t) = e^{a_2 t}$ si (5.10) a comme racines $a_1, a_2 \in \mathbb{R}, a_1 \neq a_2$; $u_1(t) = e^{at} \cos bt$ et $u_2(t) = e^{at} \sin bt$ si (5.10) a comme racines $a \pm ib$; $u_1(t) = e^{at}$ et $u_2(t) = t e^{at}$ si (5.10) admet $a \in \mathbb{R}$ comme racine double. Puis on montre que l'espace vectoriel E des solutions de (5.9) est en bijection avec \mathbb{R}^2 , et plus précisément que l'application

$$\begin{aligned} \Theta : E &\rightarrow \mathbb{R}^2 \\ u &\mapsto (u(0), u'(0)) \end{aligned}$$

est un isomorphisme : comme E est au moins de dimension 2 d'après ce qui précède, il suffit de vérifier que l'application linéaire Θ est injective. Supposons donc que u soit une solution de (5.10) sur un intervalle J contenant 0 telle que $u(0) = 0$ et $u'(0) = 0$. Alors la fonction $\varphi : t \mapsto u(t)^2 + u'(t)^2$ est telle que, pour tout $t \in J$,

$$\varphi'(t) = 2u'(t)u(t) - pu'(t) - qu(t) \leq a \varphi(t)$$

avec $a = 2|p| + |q|$. Donc la fonction $t \mapsto \varphi(t) e^{-at} \geq 0$ est décroissante et nulle en $t = 0$, donc nulle pour tout $t \geq 0$. Pour la même raison la fonction $t \mapsto \varphi(-t) e^{at} \geq 0$ est nulle pour tout $t \geq 0$. Ceci montre que u est identiquement nulle. Par suite, Θ est injective et la famille (u_1, u_2) forme une base de solutions (définies sur $J = \mathbb{R}$ tout entier).

5.2.3 Équations linéaires à coefficients constants

a) Cas homogène

Si A est une application linéaire continue sur E , les solutions de

$$\frac{du}{dt} = Au \quad (5.11)$$

s'expriment à l'aide de l'exponentielle, à savoir : $u(t) = e^{(t-t_0)A}u_0$ pour la donnée initiale $u_0 = u(t_0)$. (Dans l'écriture ci-dessus il faut voir le vecteur $Au = A \cdot u$ comme l'image de u par A : on omet le \cdot pour simplifier, de même avec l'exponentielle.)

Définition 5.2 Pour tout $A \in \mathcal{L}(E)$, l'exponentielle de A est l'application linéaire continue définie par

$$\exp(A) = e^A := \sum_{n=0}^{+\infty} \frac{1}{n!} A^n,$$

où A^n désigne la n -ième composée de A avec elle-même.

Lemme 5.3 Pour tout $A \in \mathcal{L}(E)$, l'application $t \mapsto e^{tA}$ est continûment dérivable (et même de classe \mathcal{C}^∞), et

$$\frac{d}{dt} e^{tA} = A e^{tA} = e^{tA} A.$$

Démonstration. La série définissant l'exponentielle étant normalement convergente dans $\mathcal{L}(E)$, on peut la dériver terme à terme. Ainsi on trouve

$$\frac{d}{dt} e^{tA} = \sum_{n=1}^{+\infty} \frac{1}{(n-1)!} t^{n-1} A^n = A \sum_{n=1}^{+\infty} \frac{1}{(n-1)!} t^{n-1} A^{n-1} = A e^{tA}.$$

De plus A commute avec e^{tA} comme avec toutes ses puissances.

Remarque : On peut montrer que l'exponentielle $A \mapsto e^A$ est différentiable (et même de classe \mathcal{C}^∞). Cependant l'expression de sa différentielle est assez compliquée (voir [21, p. 81]), car la propriété sous-jacente au calcul ci-dessus est la relation $e^{(t+s)A} = e^{tA} e^{sA}$, et il n'y pas d'expression analogue pour e^{A+B} lorsque A et B ne commutent pas. Toutefois la différentielle de l'exponentielle en l'application nulle se simplifie, notamment parce que cette dernière commute avec tous les éléments de $\mathcal{L}(E)$. On montre que $d(\exp)(0) \cdot H = H$ quel que soit $H \in \mathcal{L}(E)$.

En dimension finie, on peut préciser la forme des solutions de (5.11) en fonction des *valeurs propres* de A (pour les détails voir le paragraphe 6.3.2). En particulier l'équation différentielle scalaire du second ordre du paragraphe 5.2.2 peut être vue comme un système dans \mathbb{R}^2 :

$$\begin{pmatrix} u \\ v \end{pmatrix}' = \begin{pmatrix} 0 & 1 \\ -q & -p \end{pmatrix} \begin{pmatrix} u \\ v \end{pmatrix}.$$

Les valeurs propres de la matrice 2×2 ci-dessus sont précisément les racines de l'équation caractéristique $z^2 + pz + q = 0$.

b) Cas avec terme source

Pour résoudre l'équation $u' = Au + b(t)$ on peut appliquer ce que l'on appelle la méthode de « variation de la constante ». Celle-ci consiste à remplacer, dans la solution générale de l'équation homogène (5.11), la constante u_0 par une fonction : il s'avère alors que u_0 se calcule par *quadrature*, c'est-à-dire au prix du calcul d'une primitive. En effet, $u(t) = e^{tA} u_0(t)$ fournit une solution de l'équation avec terme source b si et seulement si $u_0'(t) = e^{-tA} b(t)$. On en déduit la formule dite de *Duhamel* :

$$u(t) = e^{(t-t_0)A} u(t_0) + \int_{t_0}^t e^{(t-s)A} b(s) ds.$$

Autrement dit, la solution générale de l'équation avec terme source est la somme de la solution générale de l'équation homogène $t \mapsto e^{(t-t_0)A} u(t_0)$ et de la solution particulière de l'équation avec terme source $t \mapsto \int_{t_0}^t e^{(t-s)A} b(s) ds$. Ce *principe de superposition* est lié à la *linéarité* de l'équation par rapport à u . Cependant, on verra que la formule de Duhamel est très utile même pour les équations non-linéaires, à condition de l'appliquer à un « terme source » qui dépend de la solution u elle-même (ce qui fournit alors une équation implicite en u).

5.2.4 Équations scalaires autonomes d'ordre 1

Le cas d'une équation scalaire $u' = f(u)$ est très particulier : on dit qu'il est résoluble par *quadrature*, au sens où, sans nécessairement être données par une formule explicite, ses solutions « non triviales » s'expriment toutes au moyen d'une primitive. En effet, on remarque que les solutions se séparent en deux catégories. Il y a tout d'abord les solutions constantes, dont la valeur est un zéro de f : ce sont les solutions « triviales ». Il y a d'autre part toutes les autres, qui s'avèrent être strictement monotones. Car, si une solution u est telle qu'à un instant t_* on ait $f(u(t_*)) = 0$, alors cette solution coïncide avec la solution constante égale à $u(t_*)$ (ceci découle du lemme d'unicité 5.6 que l'on verra plus loin). Autrement dit, si u est une solution telle que $f(u(t_0)) \neq 0$

alors $f(u(t)) \neq 0$ quel que soit t : cette observation nous autorise à diviser par $f(u(t))$ pour calculer u . Pour une solution u non triviale,

$$\frac{u'(t)}{f(u(t))} = 1$$

quel que soit t , et donc, si Φ désigne une primitive de $1/f$ dans le plus grand intervalle contenant $u(t_0)$ où f ne s'annule pas, $\Phi(u(t)) - \Phi(u(t_0)) = t - t_0$. Au prix du calcul de Φ , ceci définit implicitement $u(t)$ en fonction de t_0 , t et $u(t_0)$: le théorème des fonctions implicites (théorème 1.20) s'applique en effet à la fonction $(u, t) \mapsto \Phi(u) - t$ au voisinage de n'importe quel point.

5.3 LEMME DE GRONWALL

Avec la formule de Duhamel, le lemme (ou inégalité) de Gronwall est l'un des outils fondamentaux dans la théorie des équations différentielles. Il en existe plusieurs versions mais l'idée est toujours d'obtenir une estimation pour une fonction u à valeurs dans \mathbb{R} qui satisfait une inégalité implicite mais linéaire.

5.3.1 Inéquations différentielles

On appelle souvent lemme de Gronwall l'observation suivante. Supposons qu'une fonction $u \in \mathcal{C}^1(I; \mathbb{R})$ vérifie $u'(t) \leq a(t)u(t) + b(t)$ avec a et $b \in \mathcal{C}(I; \mathbb{R})$. Alors en s'inspirant de la résolution de l'équation différentielle $u' = a(t)u + b(t)$, on multiplie l'inégalité par le nombre strictement positif $\exp\left(-\int_{t_0}^t a(\tau) d\tau\right)$ et l'on en déduit

$$\frac{d}{dt} \left(e^{-\int_{t_0}^t a(\tau) d\tau} u(t) \right) \leq e^{-\int_{t_0}^t a(\tau) d\tau} b(t),$$

d'où en intégrant :

$$e^{-\int_{t_0}^t a(\tau) d\tau} u(t) - u(t_0) \leq \int_{t_0}^t e^{-\int_{t_0}^s a(\tau) d\tau} b(s) ds,$$

et finalement :

$$u(t) \leq u(t_0) e^{\int_{t_0}^t a(\tau) d\tau} + \int_{t_0}^t e^{\int_s^t a(\tau) d\tau} b(s) ds.$$

5.3.2 Inéquations intégrales

Le « vrai » lemme de Gronwall est un peu plus subtil, puisqu'il suppose une inégalité intégrale et non une inégalité différentielle (la seconde impliquant la première mais

pas l'inverse). Or les *estimations a priori* que l'on obtient en général sont plutôt du type intégral, d'où l'intérêt de ce lemme, dont la preuve est néanmoins élémentaire.

Lemme 5.4 (Gronwall)

Si $u \in \mathcal{C}([0, T]; \mathbb{R}^+)$ est telle qu'il existe $a \in \mathcal{C}([0, T]; \mathbb{R}^+)$ et $c \in \mathcal{C}([0, T]; \mathbb{R})$ avec

$$u(t) \leq c(t) + \int_0^t a(\tau) u(\tau) \, d\tau, \quad \text{pour tout } t \in [0, T], \quad (5.12)$$

alors $u(t) \leq c(t) + \int_0^t c(\tau) a(\tau) e^{\int_\tau^t a(s) \, ds} \, d\tau$ pour tout $t \in [0, T]$.

Démonstration. L'astuce consiste à démontrer l'inégalité voulue non pas pour u directement mais pour le second membre de l'inégalité (5.12)

$$v(t) := \int_0^t a(\tau) u(\tau) \, d\tau.$$

Pour tout $t \in [0, T]$, on a $v'(t) = a(t)u(t) \leq a(t)(c(t) + v(t))$ puisque $a \geq 0$. Ainsi v satisfait une inéquation différentielle comme au paragraphe précédent, avec $b(t) = a(t)c(t)$. En observant que $v(0) = 0$, on en déduit que

$$v(t) \leq \int_0^t a(\tau) c(\tau) e^{\int_\tau^t a(s) \, ds} \, d\tau, \quad \text{pour tout } t \in [0, T].$$

On conclut par transitivité entre cette majoration de $v(t)$ et l'inégalité (5.12).

Remarque : Suivant le contexte, l'inégalité de Gronwall peut se simplifier ou s'exprimer différemment. Si c est constante par exemple, on obtient la majoration $u(t) \leq c \exp\left(\int_0^t a(s) \, ds\right)$. D'autre part, on peut écrire une formule analogue avec un point t_0 quelconque à la place de 0. Mais attention, il faut penser à mettre des valeurs absolues si les bornes des intégrales ne sont pas dans l'ordre croissant. Enfin, si c est dérivable on peut donner une autre version de l'inégalité de Gronwall, en intégrant par parties :

$$u(t) \leq c(0) e^{\int_0^t a(s) \, ds} + \int_0^t c'(\tau) e^{\int_\tau^t a(s) \, ds} \, d\tau, \quad \text{pour tout } t \in [0, T].$$

5.4 THÉORÈME DE CAUCHY–LIPSCHITZ

5.4.1 Existence et unicité locales

L'essentiel de la théorie des équations différentielles est fondé sur l'existence et l'unicité locale des solutions pour ce que l'on appelle le *problème de Cauchy*, c'est-à-dire l'équation différentielle assortie d'une « condition initiale » (expression sous-entendant que t est un temps, ce qui n'est pas nécessairement le cas). Dans le cas général d'une équation d'ordre n , une condition initiale est la donnée de la fonction inconnue u et de toutes ses dérivées jusqu'à l'ordre $n - 1$ en un point t_0 . En fait (comme on l'a mentionné à propos de la loi de Newton), on peut toujours se ramener au cas $n = 1$, quitte à agrandir l'espace E et à considérer comme nouvelle fonction inconnue $(u, u', \dots, u^{(n-1)})$. Plus précisément, si $u \in \mathcal{C}^n(J; E)$ est solution de (5.1) avec pour tout $t \in J$, $u(t) \in U$, $u'(t) \in U_1, \dots, u^{(n-1)}(t) \in U_{n-1}$, alors l'application

$$\begin{aligned} J &\rightarrow U \times U_1 \times \cdots \times U_{n-1} \subset E^n \\ t &\mapsto v(t) := (u(t), u'(t), \dots, u^{(n-1)}(t)), \end{aligned}$$

est de classe \mathcal{C}^1 et solution de

$$v' = g(t, v), \quad (5.13)$$

où

$$\begin{aligned} g : I \times U \times U_1 \times \cdots \times U_{n-1} &\rightarrow E^n \\ (t, v); v = (u, v_1, \dots, v_{n-1}) &\mapsto g(t, v) \end{aligned}$$

est définie par $g(t, v) = (v_1, v_2, \dots, f(t, u, v_1, \dots, v_{n-1}))$. La fonction g est aussi régulière que f , c'est-à-dire de classe \mathcal{C}^r si et seulement si f est de classe \mathcal{C}^r . Inversement, si $v \in \mathcal{C}^1(J; E^n)$ est solution de (5.13), alors par définition de g on a $v_1 = u'$, $v_2 = v_1'$, etc., et donc u est de classe \mathcal{C}^n avec $v_k = u^{(k)}$ quel que soit $k \in \{1, \dots, n - 1\}$, ce qui implique au vu de la dernière composante de g que $u^{(n)}(t) = f(t, u(t), u'(t), \dots, u^{(n-1)}(t))$ quel que soit $t \in J$, c'est-à-dire que u est solution de (5.1).

On se place donc désormais, sans perte de généralité sur le plan théorique, dans le cas $n = 1$: on considère « une »¹ équation d'ordre 1

$$\frac{du}{dt} = f(t, u),$$

où u est une fonction inconnue de la variable réelle t à valeurs dans un espace de Banach E , et f est une fonction donnée sur $I \times U$, ouvert connexe non vide de $\mathbb{R} \times E$. Il faut bien sûr faire des hypothèses de régularité sur f . On peut montrer l'existence de solutions en supposant f continue et E de dimension finie (voir l'exercice 5.3

1. Les guillemets sont là pour souligner qu'en général il s'agit en fait d'un système d'équations.

pour un contre-exemple en dimension infinie), en faisant appel au théorème d'*Ascoli* : c'est l'objet du théorème de *Peano*, que l'on trouvera par exemple dans les ouvrages de référence de Coddington et Levinson [5] et de Hartman [16, p. 10]. Il est même possible de montrer l'existence de solutions généralisées, c'est-à-dire de fonctions *a priori* seulement continues satisfaisant l'équation intégrale

$$u(t) = u(t_0) + \int_{t_0}^t f(s, u(s)) ds, \quad (5.14)$$

pour des fonctions f discontinues. Le premier résultat dans ce sens est attribué à *Carathéodory* (raison pour laquelle on parle de solutions de *Carathéodory*), et il a été raffiné régulièrement depuis par de nombreux auteurs (en particulier dans la littérature russe, avec les travaux d'A. F. *Filippov* [12], V. V. *Filippov* [13], etc.), mais cela sort largement du cadre du présent ouvrage. L'*unicité* de la solution pour une donnée initiale fixée est un autre problème, qui requiert en général une hypothèse plus forte que la continuité de f . Des conditions assurant l'unicité sont dues à *Osgood* et *Nagumo* (voir à nouveau [5] ou [16]). Sans entrer dans le détail, il faut savoir que ces conditions sont satisfaites en particulier lorsque f est Lipschitzienne par rapport à sa variable $u \in U$, tout en étant plus faibles. L'objet n'est pas ici de considérer des hypothèses minimales sur f , et l'on se contentera du théorème classique suivant.

Théorème 5.5 (Cauchy–Lipschitz) *Soient $f \in \mathcal{C}(I \times U; E)$, où I est un intervalle ouvert de \mathbb{R} et U un ouvert d'un espace de Banach E , et $(t_0, u_0) \in I \times U$. On suppose qu'il existe un voisinage de (t_0, u_0) dans $I \times U$ et $L > 0$ tel que pour tous (t, x) et (t, y) dans ce voisinage $\|f(t, x) - f(t, y)\| \leq L \|x - y\|$. Alors on a les propriétés suivantes.*

Existence *Il existe $\tau > 0$ et $u \in \mathcal{C}^1([t_0 - \tau, t_0 + \tau]; U)$ solution du problème de Cauchy :*

$$\begin{cases} u' = f(t, u) \\ u(t_0) = u_0. \end{cases} \quad (5.15)$$

Unicité *Si v est une autre solution de (5.15), elle coïncide avec u sur un intervalle d'intérieur non vide inclus dans $[t_0 - \tau, t_0 + \tau]$.*

Régularité *Si de plus f est de classe \mathcal{C}^r , $r \geq 1$, alors u est de classe \mathcal{C}^{r+1} .*

Remarque : Dès que f est de classe \mathcal{C}^1 elle est effectivement localement Lipschitzienne au sens de l'énoncé. En effet, d'après le théorème des accroissements finis, $\|f(t, x) - f(t, y)\| \leq L \|x - y\|$, où

$$L := \max_{\theta \in [0,1]} \|\|d_2 f(\theta x + (1 - \theta)y)\|\|$$

est fini pour x et y voisins de u_0 (une fonction continue étant localement bornée).

Remarque : On pourrait se ramener à une équation autonome en observant que résoudre (5.15) équivaut à résoudre le problème *augmenté*

$$\frac{d}{ds} \begin{pmatrix} u \\ t \end{pmatrix} = \begin{pmatrix} f(t, u) \\ 1 \end{pmatrix}, \quad \begin{pmatrix} u \\ t \end{pmatrix} (t_0) = \begin{pmatrix} u_0 \\ t_0 \end{pmatrix}.$$

Cette astuce a toutefois ses inconvénients : en particulier, si l'équation de départ est linéaire (en u), l'équation augmentée n'est pas linéaire (en (u, t)) en général. C'est pourquoi il est aussi important d'étudier les équations dites à *coefficients variables*, où f dépend vraiment de t . Ce sera le cas ici et dans le chapitre 6. En revanche les chapitres 7 et 8 porteront exclusivement sur les équations autonomes.

Démonstration du théorème 5.5. Pour simplifier, on va démontrer les résultats en remplaçant l'intervalle centré $[t_0 - \tau, t_0 + \tau]$ par $[t_0, t_+]$ avec $t_+ = t_0 + \tau > t_0$ (le cas de l'intervalle $[t_0 - \tau, t_0]$ s'en déduisant par le changement de variable $t \mapsto 2t_0 - t$) : cela évite le recours à des valeurs absolues.

On commence par choisir un voisinage de (t_0, u_0) , parfois appelé *cylindre de sécurité* $C(t_+, R) := [t_0, t_+] \times \overline{B}(u_0, R) \subset I \times U$ avec $t_+ > t_0$ et $R > 0$, où $\overline{B}(u_0, R)$ désigne la boule fermée de centre u_0 et de rayon R , dans lequel f est bornée, disons par une constante M , et aussi Lipschitzienne :

$$\|f(t, x) - f(t, y)\| \leq L \|x - y\|, \quad \text{pour } (t, x), (t, y) \in C(t_+, R).$$

L'intérêt du cylindre $C(t_+, R)$ sera notamment d'empêcher la solution construite de sortir du domaine $I \times U$ de définition de f . On va en effet montrer que, quitte à diminuer t_+ , le problème de Cauchy (5.15) admet une solution u telle que $(t, u(t)) \in C(t_+, R)$ pour tout $t \in [t_0, t_+]$. L'idée est de résoudre l'équation intégrale (5.14) avec $u(t_0) = u_0$:

$$u(t) = u_0 + \int_{t_0}^t f(\tau, u(\tau)) \, d\tau. \quad (5.16)$$

En effet, si u est une solution continue de cette équation, le second membre est de classe \mathcal{C}^1 , donc u aussi, et en dérivant les deux membres de (5.16) on voit qu'elle est solution du problème de Cauchy (5.15). Plus généralement, on montre par une récurrence immédiate que si f est de classe \mathcal{C}^r , $r \geq 0$, u est de classe \mathcal{C}^{r+1} .

Pour résoudre (5.16), on peut invoquer le théorème du point fixe de Banach–Picard (théorème 1.17) ou bien, ce qui est plus instructif, construire « à la main » une solution par la *méthode de Picard*, c'est-à-dire comme limite de

la suite $(u^n)_{n \in \mathbb{N}}$ définie par $u^0 \equiv u_0$ et

$$u^{n+1}(t) = u_0 + \int_{t_0}^t f(\tau, u^n(\tau)) \, d\tau. \quad (5.17)$$

Vérifions tout d'abord que ce schéma itératif fournit une suite $(u^n)_{n \in \mathbb{N}}$ de fonctions continues sur $[t_0, t_+]$ et à valeurs dans $\overline{B}(u_0, R)$, du moins pour t_+ assez proche de t_0 . On raisonne par récurrence : la fonction constante u^0 est trivialement continue et à valeurs dans $\overline{B}(u_0, R)$. Supposons que l'on ait construit u^n continue sur $[t_0, t_+]$ et à valeurs dans $\overline{B}(u_0, R)$. Alors la formule de récurrence ci-dessus définit u^{n+1} continue et telle que :

$$\|u^{n+1}(t) - u_0\| \leq \int_{t_0}^t \|f(\tau, u^n(\tau))\| \, d\tau \leq (t_+ - t_0) M$$

pour tout $t \in [t_0, t_+]$. Pourvu que l'on ait imposé au départ $(t_+ - t_0) M \leq R$, la fonction u^{n+1} est bien à valeurs dans $\overline{B}(u_0, R)$. Désormais, on suppose que t_+ vérifie cette contrainte.

L'étape essentielle est de montrer que la suite $(u^n)_{n \in \mathbb{N}}$ est de Cauchy et donc convergente dans l'espace de Banach $\mathcal{C}([t_0, t_+]; E)$ (muni de la norme sup). Pour ce faire, on montre par récurrence (voir la démonstration du théorème 6.1) que

$$\|u^{n+1}(t) - u^n(t)\| \leq \frac{L^n (t - t_0)^n}{n!} \sup_{[t_0, t_+]} \|u^1 - u^0\| \quad \text{pour tout } t \in [t_0, t_+].$$

Par suite,

$$\sup_{[t_0, t_+]} \|u^{n+p}(t) - u^n(t)\| \leq \sum_{k=n}^{n+p-1} \frac{L^k (t_+ - t_0)^k}{k!} \sup_{[t_0, t_+]} \|u^1 - u^0\|,$$

ce qui tend vers 0 lorsque n tend vers $+\infty$ puisque la série $\sum L^n (t_+ - t_0)^n / n!$ est convergente. Cela signifie précisément que (u^n) est de Cauchy dans $\mathcal{C}([t_0, t_+]; E)$. Soit donc u la limite de cette suite. Par passage à la limite dans (5.17) on voit que u est solution de (5.16).

L'unicité locale se déduit du lemme de Gronwall (p. 140). En effet, si v est une autre solution du même problème de Cauchy, elle est à valeurs dans $\overline{B}(u_0, R)$ sur un intervalle $[t_0, t_1]$, $0 < t_1 \leq t_+$. On a par définition

$$u(t) - v(t) = \int_{t_0}^t (f(\tau, u(\tau)) - f(\tau, v(\tau))) \, d\tau$$

et donc

$$\|u(t) - v(t)\| \leq L \int_{t_0}^t \|u(\tau) - v(\tau)\| \, d\tau$$

pour tout $t \in [t_0, t_1]$. Par conséquent, le lemme de Gronwall (dans sa version la plus simple) implique :

$$\|u(t) - v(t)\| \leq e^{Lt} \|u(t_0) - v(t_0)\| = 0$$

pour tout $t \in [t_0, t_1]$.

Désormais, on suppose que $f : I \times U \rightarrow E$ est continue et localement Lipschitzienne en tout point $(t_0, u_0) \in I \times U$. Ceci nous permettra d'appliquer le théorème de Cauchy–Lipschitz (théorème 5.5) en tout point $(t_0, u_0) \in I \times U$.

5.4.2 Solutions maximales

Il n'aura pas échappé au lecteur que le théorème 5.5 fournit seulement des solutions locales, avec un résultat d'unicité local. On en déduit tout d'abord le résultat d'unicité global suivant.

Lemme 5.6 *Sous les hypothèses du théorème 5.5, si $u_1 \in \mathcal{C}^1(J_1; U)$ et $u_2 \in \mathcal{C}^1(J_2; U)$ sont deux solutions sur des intervalles J_1 et J_2 respectivement, et s'il existe $t_0 \in J_1 \cap J_2$ tel que $u_1(t_0) = u_2(t_0)$, alors $u_1(t) = u_2(t)$ pour tout $t \in J_1 \cap J_2$.*

Démonstration. C'est une application classique de la notion de *connexité*. L'ensemble $J_1 \cap J_2$ est un intervalle non vide par hypothèse. D'après l'unicité locale des solutions, l'ensemble

$$A := \{t \in J_1 \cap J_2; u_1(t) = u_2(t)\}.$$

est un ouvert. De plus, A est fermé par continuité de u_1 et u_2 . Donc A est égal à $J_1 \cap J_2$ (connexe non vide).

Une conséquence fondamentale de ce lemme est qu'il existe un plus grand intervalle J sur lequel le problème de Cauchy (5.15) admet une solution. Cette unique solution sur l'intervalle J est appelée *solution maximale* : par définition, on ne peut pas la prolonger à $I \setminus J$, et par suite J est nécessairement ouvert (sinon en appliquant le théorème de Cauchy–Lipschitz à son extrémité on prolongerait la solution). Lorsque $J = I$ on dit que cette solution est *globale*.

La question naturelle est ensuite de savoir à quelle(s) condition(s) une solution maximale est globale.

Théorème 5.7 (des bouts) *Sous les hypothèses du théorème 5.5 de Cauchy–Lipschitz, soit $u \in \mathcal{C}^1(J; U)$ une solution maximale de $u' = f(t, u)$. On note b la borne supérieure de I et $\beta \leq b$ la borne supérieure de J . Alors ou bien $\beta = b$ ou bien « u sort de tout compact » de U , c'est-à-dire que pour tout compact $K \subset U$, il existe $\eta < \beta$ tel que*

$$u(t) \in U \setminus K, \quad \text{pour } t \geq \eta \text{ avec } t \in J.$$

De même, si $\inf J > \inf I$ alors u sort de tout compact lorsque $t \searrow \inf J$.

Démonstration. Supposons $\beta < b$ et raisonnons par l'absurde. S'il existait un compact K et une suite t_n tendant vers β telle que $u(t_n) \in K$ pour tout n , quitte à en extraire une sous-suite, on pourrait supposer qu'elle converge vers $\underline{u} \in K$. Soient $\bar{\tau} > 0$ et $R > 0$ tel que f soit bornée et Lipschitzienne par rapport à u dans $[\beta - 2\bar{\tau}, \beta + 2\bar{\tau}] \times \overline{B}(\underline{u}, 2R)$. Alors en vertu du lemme 5.8 ci-après, il existe $\tau \leq \bar{\tau}$ tel que pour tout $(t_0, u_0) \in [\beta - \tau, \beta + \tau] \times \overline{B}(\underline{u}, R)$ la solution maximale du problème de Cauchy (5.15) est définie sur un intervalle contenant $[t_0 - \tau, t_0 + \tau]$. Or, pour n assez grand, $(t_n, u(t_n)) \in [\beta - \tau, \beta + \tau] \times \overline{B}(\underline{u}, R)$, et $t_n + \tau > \beta$. Ceci contredit le fait que u soit une solution maximale.

Lemme 5.8 *Supposons que f soit continue, bornée et Lipschitzienne par rapport à u dans $[\underline{t} - 2\bar{\tau}, \underline{t} + 2\bar{\tau}] \times \overline{B}(\underline{u}, 2R)$ pour $\bar{\tau} > 0$ et $R > 0$. Alors il existe $\tau \in]0, \bar{\tau}]$ tel que pour tout $(t_0, u_0) \in [\underline{t} - \tau, \underline{t} + \tau] \times \overline{B}(\underline{u}, R)$, la solution maximale du problème de Cauchy (5.15) soit définie sur un intervalle contenant $[t_0 - \tau, t_0 + \tau]$.*

Démonstration. En reprenant la démonstration du théorème 5.5 de Cauchy-Lipschitz on construit une solution $u : [t_0 - \tau, t_0 + \tau] \rightarrow \overline{B}(u_0, R)$ (donc *a fortiori* à valeurs dans $\overline{B}(\underline{u}, 2R)$ par l'inégalité triangulaire), pour tout $\tau \in]0, \min(\bar{\tau}, R/M)]$, où M est une borne de f sur $[\underline{t} - 2\bar{\tau}, \underline{t} + 2\bar{\tau}] \times \overline{B}(\underline{u}, 2R)$.

En dimension infinie, l'application du théorème 5.7 nécessite une caractérisation des compacts pas toujours évidente (rappelons qu'un espace de dimension infinie n'est pas localement compact). Cependant on peut parfois déduire du lemme 5.8 et d'estimations *a priori* une minoration du temps d'existence des solutions, voir plus précisément le théorème 7.5 (p. 224).

Si l'espace ambiant E est de dimension finie et si $U = E$, le théorème 5.7 s'exprime simplement comme suit : pour une solution maximale non globale $u \in \mathcal{C}^1(J; E)$, si $\beta := \sup J < \sup I$ alors $\lim_{t \nearrow \beta} \|u(t)\| = +\infty$, et si $\alpha := \inf J > \inf I$ alors $\lim_{t \searrow \alpha} \|u(t)\| = +\infty$. On parle d'« explosion en temps fini ».

Remarque : Ce phénomène est indépendant de la régularité de la fonction f . Il se produit par exemple pour l'équation de *Riccati*, où $E = \mathbb{R}$ et $f(t, u) = u^2$ (fonction évidemment de classe \mathcal{C}^∞) : seule la solution nulle est globale. En effet, la méthode décrite au paragraphe 5.2.4 montre qu'une solution non triviale vérifie

$$-\frac{1}{u(t)} + \frac{1}{u(t_0)} = t - t_0 \quad \text{et donc} \quad \lim_{t \rightarrow t_0 + 1/u(t_0)} |u(t)| = +\infty.$$

Il y a cependant quelques cas remarquables dans lesquels toutes les solutions maximales sont globales.

5.4.3 Existence globale

Lorsque $U = E$ et f est globalement Lipschitzienne, c'est-à-dire qu'il existe $L > 0$ tel que pour tous (t, x) et (t, y) dans $I \times E$,

$$\|f(t, x) - f(t, y)\| \leq L \|x - y\|,$$

il n'y a pas de risque de sortir de son domaine de définition ni du domaine de validité de sa constante de Lipschitz. En reprenant la démonstration du théorème 5.5 on peut donc construire, quels que soient a, b tels que $t_0 \in [a, b] \subset I$, une suite de solutions approchées (u^n) qui soit de Cauchy dans $\mathcal{C}([a, b]; X)$. On en déduit le résultat global suivant.

Théorème 5.9 *On suppose $f \in \mathcal{C}(I \times E; E)$ et globalement Lipschitzienne par rapport à u . Alors, quel que soit $(t_0, u_0) \in I \times E$, il existe (un unique) $u \in \mathcal{C}^1(I; E)$ solution de (5.15).*

Attention, ce théorème est assez restrictif : il ne s'applique pas en général à des fonctions f non-linéaires, comme le montre l'exemple de l'équation de Riccati ci-dessus. En revanche, il s'applique aux fonctions f affines.

Théorème 5.10 *Si $b \in \mathcal{C}(I; E)$ et $A \in \mathcal{C}(I; \mathcal{L}(E))$, toutes les solutions maximales de*

$$\frac{du}{dt} = A(t)u + b(t)$$

sont globales.

On reviendra plus en détails sur ce type d'équations au chapitre 6.

Un autre cas d'existence globale est le suivant.

Théorème 5.11 *Si E est de dimension finie et f est uniformément bornée sur $I \times E$, toutes les solutions maximales de $u' = f(t, u)$ sont globales.*

Démonstration. Si $u'(t) = f(t, u(t))$ pour tout $t \in J$ alors

$$\|u(t)\| \leq (\beta - t_0)M + \|u(t_0)\|$$

avec $\beta = \sup J$, $t_0 \in J$ fixé et M une borne pour f dans $I \times E$. Ainsi toute solution est bornée sur tout intervalle borné : puisque les fermés bornés sont compacts dans E , ceci implique $J = I$ d'après le théorème 5.7.

5.5 THÉORÈME DU FLOT

5.5.1 Dépendance par rapport aux données initiales

On a entrevu dans le lemme 5.8 ce que l'on peut attendre lorsqu'on fait varier la condition initiale. En fait, on peut préciser ce lemme, pour comparer effectivement deux solutions de données initiales distinctes.

Lemme 5.12 *Dans le cadre du lemme 5.8, il existe $C > 0$ tel que si $(t_i, v_i) \in [\underline{t} - \bar{\tau}, \underline{t} + \bar{\tau}] \times \overline{B}(\underline{u}, R)$ pour $i = 1$ ou 2 , avec $|t_2 - t_1| \leq \tau$, les solutions u_i des problèmes de Cauchy correspondants vérifient l'estimation :*

$$\|u_1(t) - u_2(t)\| \leq C \|v_1 - v_2\| + C |t_1 - t_2| \quad \text{pour } t \in [t_1 - \tau, t_1 + \tau] \cap [t_2 - \tau, t_2 + \tau].$$

Démonstration. Par hypothèse, l'intervalle $[t_1 - \tau, t_1 + \tau] \cap [t_2 - \tau, t_2 + \tau]$ est non vide et contient l'intervalle d'extrémités t_1 et t_2 . En faisant la différence des deux relations $u_i(t) = v_i + \int_{t_i}^t f(\tau, u_i(\tau)) d\tau$ pour $i = 1, 2$, on obtient l'inégalité :

$$\|u_1(t) - u_2(t)\| \leq \|v_1 - v_2\| + M |t_1 - t_2| + L \int_{t_1}^t \|u_1(s) - u_2(s)\| ds,$$

d'où par le lemme de Gronwall (p. 140) :

$$\|u_1(t) - u_2(t)\| \leq e^{L\tau} (\|v_1 - v_2\| + M |t_1 - t_2|).$$

Théorème 5.13 (du flot) *On suppose f de classe \mathcal{C}^2 sur $I \times U$, où I est un intervalle ouvert de \mathbb{R} et U est un ouvert de E . Pour tout $(t_0, u_0) \in I \times U$, il existe un voisinage $\mathcal{W} \times \mathcal{V} = [t_0 - \tau, t_0 + \tau] \times \overline{B}(u_0, R)$ de (t_0, u_0) dans $I \times U$ et une unique application $\phi^{t_0} \in \mathcal{C}^1(\mathcal{W} \times \mathcal{V}; U)$ telle que*

$$\begin{cases} \frac{\partial \phi^{t_0}}{\partial t}(t, v) = f(t, \phi^{t_0}(t, v)), & \text{pour tout } (t, v) \in \mathcal{W} \times \mathcal{V}, \\ \phi^{t_0}(t_0, v) = v, & \text{pour tout } v \in \mathcal{V}. \end{cases}$$

La fonction ϕ^{t_0} est appelée *flot* (local) au point t_0 de l'équation différentielle. En particulier, ce théorème affirme que pour toute donnée initiale v proche de u_0 l'application $u : t \in [t_0 - \tau, t_0 + \tau] \mapsto \phi^{t_0}(t, v)$ est solution du problème de Cauchy

$$u'(t) = f(t, u), \quad u(t_0) = v,$$

et qu'en plus elle dépend de manière \mathcal{C}^1 de v . Lorsqu'il n'y a pas d'ambiguïté, on écrira simplement ϕ au lieu de ϕ^{t_0} .

La démonstration du théorème 5.13 repose sur le calcul suivant, formel pour l’instant. Supposons que l’on ait construit ϕ deux fois différentiable. Dans tout ce qui suit, D désigne la différentiation dans E . En différentiant

$$\frac{\partial \phi}{\partial t}(t, v) = f(t, \phi(t, v))$$

par rapport à v et en permutant ∂_t avec D d’après le théorème de Schwarz, on obtient pour $\psi(t, v) := D\phi(t, v) (\in \mathcal{L}(E))$:

$$\frac{\partial \psi}{\partial t}(t, v) = Df(t, \phi(t, v)) \circ \psi(t, v).$$

En supposant ϕ connue, c’est une équation différentielle *linéaire* par rapport à ψ . De plus, en différentiant $\phi(t_0, v) = v$ on obtient la condition initiale

$$\psi(t_0, v) = \text{Id}_E.$$

Démonstration du théorème 5.13. Pour $v \in \mathcal{V} := \overline{B}(u_0, R)$ avec $\overline{B}(u_0, 2R) \subset U$, notons

$$\begin{aligned} \phi(\cdot, v) : \mathcal{W} := [t_0 - \tau, t_0 + \tau] &\rightarrow \overline{B}(v, R) \\ t &\mapsto \phi(t, v) = u(t) \end{aligned}$$

la solution de l’équation différentielle fournie par le lemme 5.8 pour la donnée initiale v . Alors ϕ est de classe \mathcal{C}^1 par rapport à t , et d’après le lemme 5.12 elle est Lipschitzienne par rapport à v avec une constante de Lipschitz uniforme sur $\mathcal{W} \times \mathcal{V}$. Elle est en particulier continue comme fonction de (t, v) . Donc l’application

$$(t, v) \mapsto Df(t, \phi(t, v))$$

est aussi continue. Par suite, pour tout $v \in \mathcal{V}$ l’équation différentielle *linéaire*, appelée *équation aux variations* :

$$\frac{d\Psi}{dt} = Df(t, \phi(t, v)) \circ \Psi, \tag{5.18}$$

admet une solution unique sur \mathcal{W} tout entier satisfaisant la condition initiale $\Psi(t_0) = \text{Id}_E$. Notons $\psi(t, v) = \Psi(t)$ cette solution à l’instant t . On veut montrer que ϕ est continûment différentiable par rapport à v et que $\psi(t, v) = D\phi(t, v)$.

La première étape de la démonstration consiste à montrer que ψ dépend continûment de (t, v) . D’après l’inégalité triangulaire, on a

$$\|\psi(t, v) - \psi(\sigma, w)\| \leq \|\psi(t, v) - \psi(\sigma, v)\| + \|\psi(\sigma, v) - \psi(\sigma, w)\|.$$

Le premier terme se majore directement par :

$$\begin{aligned} \|\psi(t, v) - \psi(\sigma, v)\| &\leq |t - \sigma| \max_{s \in [\sigma, t]} \|Df(s, \phi(s, v))\| \max_{s \in [\sigma, t]} \|\psi(s, v)\| \\ &\leq |t - \sigma| a(\sigma, t; v) e^{a(\sigma, t; v) \max(|\sigma|, |t|)} \end{aligned}$$

par le lemme de Gronwall, avec

$$a(\sigma, t; v) := \max_{s \in [\sigma, t]} \|Df(s, \phi(s, v))\| .$$

D'autre part, on peut aussi majorer le second terme grâce au lemme de Gronwall. Après calcul (voir le lemme 5.14 ci-après), on obtient :

$$\|\psi(\sigma, v) - \psi(\sigma, w)\| \leq b(\sigma; v, w) |\sigma| e^{\alpha(\sigma; v, w) |\sigma|}$$

où $b(\sigma; v, w) := \|Df(\sigma, \phi(\sigma, v)) - Df(\sigma, \phi(\sigma, w))\|$,

$$\alpha(\sigma; v, w) := \max (\|Df(\sigma, \phi(\sigma, v))\|, \|Df(\sigma, \phi(\sigma, w))\|) .$$

Par continuité de Df et de ϕ , les fonctions a et α sont localement bornées, tandis que $b(\sigma; v, w)$ converge vers 0 lorsque v tend vers w . Donc $\|\psi(t, v) - \psi(\sigma, w)\|$ tend vers 0 lorsque (t, v) tend vers (σ, w) .

La seconde étape est de montrer que $D\phi(t, v)$ existe et coïncide avec $\psi(t, v)$. Considérons pour cela l'accroissement :

$$\theta(t, h) := \phi(t, v + h) - \phi(t, v) .$$

D'après le lemme 5.12, $\|\theta(t, h)\| \leq C \|h\|$ si v et $v + h$ sont dans \mathcal{V} . Et par définition de ϕ on a

$$\theta(t_0, h) = v + h - v = h .$$

Donc $\theta(t, h) = h + \int_{t_0}^t (f(s, \phi(s, v + h)) - f(s, \phi(s, v))) ds$. D'autre part, par définition de ψ :

$$\psi(t, v) \cdot h = h + \int_{t_0}^t Df(s, \phi(s, v)) \psi(s, v) \cdot h ds .$$

D'où par soustraction et l'inégalité triangulaire, $\|\theta(t, h) - \psi(t, v) \cdot h\| \leq$

$$\int_{t_0}^t \|f(s, \phi(s, v + h)) - f(s, \phi(s, v)) - Df(s, \phi(s, v)) \cdot \theta(s, h)\| ds$$

$$+ \int_{t_0}^t \|Df(s, \phi(s, v))(\theta(s, h) - \psi(s, v) \cdot h)\| ds .$$

Le premier terme se majore en utilisant le fait que f est de classe \mathcal{C}^2 (on aurait besoin seulement de \mathcal{C}^1 en dimension finie, puisqu'alors Df serait localement uniformément continue). Quitte à réduire R on peut en effet supposer D^2f bornée sur $[t_0 - \tau, t_0 + \tau] \times \overline{B}(u_0; R)$, et donc, d'après le théorème des accroissements finis, pour tout $\varepsilon > 0$, il existe $\eta > 0$ tel que pour $x, y \in \overline{B}(u_0; 2R)$, $\|y - x\| \leq \eta$ entraîne

$$\|f(s, x) - f(s, y) - Df(s, y) \cdot (x - y)\| \leq \varepsilon \|x - y\|$$

pour tout $s \in [t_0, t]$. Donc, pour $\|h\| \leq \eta/C$, on a

$$\|f(s, \phi(s, v + h)) - f(s, \phi(s, v)) - Df(s, \phi(s, v)) \cdot \theta(s, h)\| \leq \varepsilon C \|h\| .$$

D'où pour tout $t \geq t_0$, $\|\theta(t, h) - \psi(t, v) \cdot h\| \leq$

$$\varepsilon C \|h\| (t - t_0) + a(t_0, t; v) \int_{t_0}^t \|\theta(s, h) - \psi(s, v) \cdot h\| ds$$

avec la même signification pour a que dans la première étape. On appliquant une nouvelle fois le lemme de Gronwall, on déduit pour $t \in [t_0 - \tau, t_0 + \tau]$:

$$\|\theta(t, h) - \psi(t, v) \cdot h\| \leq \varepsilon C \|h\| \tau e^{a(t_0 - \tau, t_0 + \tau; v) \tau} .$$

Ceci montre que

$$\lim_{h \rightarrow 0} \frac{1}{\|h\|} (\phi(t, v + h) - \phi(t, v) - \psi(t, v) \cdot h) = 0 ,$$

c'est-à-dire que ϕ est différentiable par rapport à v et $D\phi(t, v) = \psi(t, v)$.

En conclusion, ϕ est continûment dérivable par rapport à t et à v et donc de classe \mathcal{C}^1 .

En prime, on a montré que la différentielle de ϕ par rapport à v , $D\phi$ est de classe \mathcal{C}^1 et solution de l'équation linéaire (5.18) avec la condition initiale $D\phi(t_0, v) = \text{Id}_E$.

Montrons maintenant le lemme utilisé dans la démonstration.

Lemme 5.14 *Si $A : [t_0 - \tau, t_0 + \tau] \times \mathcal{V} \rightarrow \mathcal{L}(E)$ est continue (par rapport à sa première variable t), alors les solutions $t \mapsto \psi(t, v)$ de l'équation linéaire*

$$\frac{\partial \psi}{\partial t}(t, v) = A(t, v) \psi(t, v)$$

telles que $\psi(t_0, v) = \psi_0$ satisfont l'estimation

$$\begin{aligned} \|\psi(t, v) - \psi(t, w)\| &\leq \tau \|\psi_0\| \max_{s \in [t_0 - \tau, t_0 + \tau]} \|A(s, v) - A(s, w)\| \\ &\quad \times \exp\left(\tau \max_{s \in [t_0 - \tau, t_0 + \tau]} \max(\|A(s, v)\|, \|A(s, w)\|) \right) \end{aligned}$$

quels que soient $t \in [t_0 - \tau, t_0 + \tau]$, et $v, w \in \mathcal{V}$.

Démonstration. Quitte à faire une translation en t on peut supposer $t_0 = 0$. On traite le cas $t \geq t_0$, le cas $t \leq t_0$ s'en déduisant par symétrie. Enfin, pour simplifier les écritures, introduisons les notations

$$a(t, v) := \max_{s \in [0, t]} \|A(s, v)\| \quad \text{et} \quad b(t, v, w) := \max_{s \in [0, t]} \|A(s, v) - A(s, w)\|.$$

Puisque par définition,

$$\psi(t, v) - \psi(t, w) = \int_0^t A(s, v) \psi(s, v) - A(s, w) \psi(s, w) ds,$$

on a pour tout $t \in [0, \tau]$, $\|\psi(t, v) - \psi(t, w)\| \leq$

$$a(\tau, v) \int_0^t \|\psi(s, v) - \psi(s, w)\| ds + b(\tau, v, w) \int_0^t \|\psi(s, w)\| ds.$$

De plus, $\|\psi(t, w)\| \leq \|\psi_0\| + a(\tau, w) \int_0^t \|\psi(s, w)\| ds$. Donc, par une première application du lemme de Gronwall,

$$\|\psi(t, w)\| \leq \|\psi_0\| e^{t a(\tau, w)}.$$

On en déduit $\|\psi(t, v) - \psi(t, w)\| \leq$

$$\int_0^t a(\tau, v) \|\psi(s, v) - \psi(s, w)\| + b(\tau, v, w) e^{t a(\tau, w)} \|\psi_0\| ds.$$

En appliquant à nouveau le lemme de Gronwall, cela donne

$$\|\psi(t, v) - \psi(t, w)\| \leq b(\tau, v, w) \|\psi_0\| \int_0^t e^{s a(\tau, w)} e^{(t-s) a(\tau, v)} ds$$

$$\leq \tau b(\tau, v, w) \|\psi_0\| e^{\tau \max(a(\tau, w), a(\tau, v))},$$

ce qui est l'inégalité annoncée (avec $t \in [t_0, t_0 + \tau]$ et $t_0 = 0$).

5.5.2 Dépendance par rapport aux paramètres

La dépendance continue (voire mieux) des solutions par rapport à d'éventuels paramètres peut se déduire du théorème du flot.

Théorème 5.15 *On suppose f de classe \mathcal{C}^2 sur $I \times U \times \Lambda$, où I est un intervalle ouvert de \mathbb{R} , U est un ouvert de E et Λ un ouvert d'un autre espace de Banach Y . Les solutions de l'équation différentielle à paramètre :*

$$\frac{du}{dt} = f(t, u, \lambda)$$

sont continûment différentiables par rapport à λ .

Démonstration. Considérons le système augmenté :

$$\begin{cases} \frac{du}{dt} = f(t, u, \mu), \\ \frac{d\mu}{dt} = 0. \end{cases}$$

Soit Φ^{t_0} le flot local en t_0 de ce système. Alors la solution du problème de Cauchy :

$$u' = f(t, u, \lambda), \quad u(t_0) = v,$$

est donnée par $u(t) = P(\Phi^{t_0}(t, v, \lambda))$, où $P : E \times Y \rightarrow E$ désigne la projection sur E . D'après le théorème 5.13, c'est une fonction continûment différentiable par rapport à (v, λ) et donc en particulier par rapport à λ .

5.6 ÉQUATIONS AUX DIFFÉRENTIELLES TOTALES

En complément de ce chapitre, on va s'intéresser à des équations qui généralisent les EDO et se traitent par des arguments de type EDO. Étant donnés deux espaces de Banach E et F on considère une application $f : U \rightarrow \mathcal{L}(E; F)$ de classe \mathcal{C}^1 au moins sur un ouvert U du produit $E \times F$, et l'on considère l'équation

$$du = f(x, u), \tag{5.19}$$

dont les solutions, si elles existent, sont des fonctions $\varphi \in \mathcal{C}^1(W; F)$ où W est un ouvert de E , telles que $(x, \varphi(x)) \in U$ et $d\varphi(x) = f(x, \varphi(x))$ pour tout $x \in W$. L'équation (5.19), dite aux *différentielles totales*, se réduit à une équation différentielle ordinaire lorsque $E = \mathbb{R}$. Lorsque $E = \mathbb{R}^n$ c'est une équation aux dérivées partielles d'ordre 1. Contrairement aux EDO, lorsque E est un espace de dimension strictement

plus grande que 2, les équations du type (5.19) n'ont pas nécessairement de solution. Cependant, il existe une caractérisation des fonctions f pour lesquelles (5.19) admet des solutions (ce qui est utile notamment pour démontrer le théorème de Frobenius, voir p. 114).

Théorème 5.16 Soit $f \in \mathcal{C}^2(U; \mathcal{L}(E; F))$, avec U un ouvert de $E \times F$. Si $\varphi \in \mathcal{C}^2(W; F)$ est solution de (5.19) alors on a la relation de symétrie suivante :

$$\begin{aligned} d_x f(x, \varphi(x)) \cdot h \cdot k + d_u f(x, \varphi(x)) \cdot (f(x, \varphi(x)) \cdot h) \cdot k = \\ d_x f(x, \varphi(x)) \cdot k \cdot h + d_u f(x, \varphi(x)) \cdot (f(x, \varphi(x)) \cdot k) \cdot h \end{aligned}$$

quel que soit $(h, k) \in E \times E$. « Inversement », si la fonction f vérifie que pour tout $(x, u) \in U$ l'application

$$T : (h, k) \in E \times E \mapsto d_x f(x, u) \cdot k \cdot h + d_u f(x, u) \cdot (f(x, u) \cdot k) \cdot h$$

est symétrique alors, pour tout $(x_0, u_0) \in U$ il existe un voisinage W de x_0 dans E et une application $\varphi \in \mathcal{C}^2(W; F)$ solution de (5.19) telle que $\varphi(x_0) = u_0$.

Démonstration. La partie directe résulte d'un calcul et du théorème 2.4 (Schwarz) : si l'on a une solution φ de (5.19) alors par différentiation dans la direction h on a $d^2\varphi(x) \cdot h = dg(x) \cdot h$, où g désigne la fonction

$$\begin{aligned} g : E &\rightarrow \mathcal{L}(E; F) \\ x &\mapsto g(x) := f(x, \varphi(x)), \end{aligned}$$

dont la différentielle est donnée pour tout $h \in E$ par

$$\begin{aligned} dg(x) \cdot h &= d_x f(x, \varphi(x)) \cdot h + d_u f(x, \varphi(x)) \cdot d\varphi(x) \cdot h = \\ &= d_x f(x, \varphi(x)) \cdot h + d_u f(x, \varphi(x)) \cdot f(x, \varphi(x)) \cdot h. \end{aligned}$$

La relation de symétrie annoncée se déduit alors de la symétrie de $d^2\varphi$.

La réciproque est plus délicate. On commence par montrer qu'il existe $r > 0$ et une unique fonction φ de classe \mathcal{C}^2 dans la boule de centre x_0 et de rayon r telle que $\varphi(x_0) = u_0$ et, pour tout $x \in B(x_0; r)$, pour tout $t \in [-1, 1]$,

$$d\varphi(x_0 + t(x - x_0)) \cdot (x - x_0) = f(x_0 + t(x - x_0), \varphi(x_0 + t(x - x_0))) \cdot (x - x_0). \quad (5.20)$$

On remarque en effet que le membre de gauche est la dérivée de $t \mapsto \varphi(x_0 + t(x - x_0))$. À x fixé, chercher φ revient donc à chercher une solution de l'équation différentielle ordinaire

$$\frac{dy}{dt} = f(x_0 + t\xi, y) \cdot \xi, \quad (5.21)$$

où l'on a noté pour simplifier $\xi = x - x_0$, vérifiant $\varphi(0) = u_0$. Or il existe $r > 0$, $\rho > 0$, $M > 0$ et $k > 0$ tels que

$$\|f(x, u)\| \leq M \text{ et } \|d_u f(x, u)\| \leq k$$

pour $\|x - x_0\| \leq r$ et $\|u - u_0\| \leq \rho$. Ainsi, pour $\|\xi\| \leq r$, pour tout $t \in [-1, 1]$,

$$\|f(x_0 + t\xi, u) \cdot \xi\| \leq Mr.$$

Comme on l'a vu dans la démonstration du théorème 5.5 (Cauchy–Lipschitz), cela permet de construire une solution $\psi : [-1, 1] \rightarrow B(u_0; \rho)$ de (5.21) telle que $\psi(0) = u_0$ pourvu que l'on ait $Mr \leq \rho$, ce que l'on peut toujours supposer vrai quitte à diminuer r . De plus, d'après le théorème 5.15 (p. 153), ψ est fonction de classe \mathcal{C}^1 du paramètre ξ . On remarque de plus que l'équation (5.21) est invariante par le changement d'échelle $(t, \xi) \mapsto (t/\lambda, \lambda\xi)$. Par suite, d'après l'unicité des solutions (lemme 5.6), ψ ne dépend que de $t\xi$: si l'on écrit explicitement sa dépendance en ξ , cela signifie que

$$\psi(t, \xi) = \psi(1, t\xi).$$

On obtient alors la fonction φ cherchée en posant $\varphi(x) = \psi(1, x - x_0)$. Ainsi, pour $\xi \in B(0; r)$ et $t \in [-1, 1]$, on a

$$\varphi(x_0 + t\xi) = \psi(1, t\xi).$$

Il reste ensuite à montrer que sous l'hypothèse de symétrie de T , la fonction φ vérifie bien $d\varphi(x) = f(x, \varphi(x))$ pour tout $x \in B(x_0; r)$. Pour cela on va à nouveau invoquer le théorème de Cauchy–Lipschitz, pour une équation différentielle linéaire cette fois. Fixons $\xi \in B(0; r)$, $\eta \in E$, et considérons la fonction

$$H : t \in [-1, 1] \mapsto H(t) := t(d\varphi(x_0 + t\xi) - g(x_0 + t\xi)) \cdot \eta.$$

où g est définie comme dans la partie directe. On a évidemment $H(0) = 0$. Si l'on montre que H est solution d'une équation différentielle linéaire du premier ordre, on pourra en déduire que H est identiquement nulle et donc que pour tout $t \neq 0$,

$$d\varphi(x_0 + t\xi) \cdot \eta = f(x_0 + t\xi, \varphi(x_0 + t\xi)) \cdot \eta.$$

Ceci étant vrai quels que soient ξ et η , la démonstration sera terminée. Calculons donc la dérivée de H par rapport à t . Le premier terme de H

s'écrit aussi $d_\xi \psi(t, \xi) \cdot \eta$, donc sa dérivée par rapport à t est, compte-tenu de (5.20) et d'après le théorème de Schwarz,

$$d_\xi(g(x_0 + t\xi)) \cdot \xi \cdot \eta = t dg(x_0 + t\xi) \cdot \eta \cdot \xi + g(x_0 + t\xi) \cdot \eta,$$

En dérivant le second terme de H on trouve donc

$$\frac{dH}{dt} = t (dg(x_0 + t\xi) \cdot \eta \cdot \xi - dg(x_0 + t\xi) \cdot \xi \cdot \eta) .$$

C'est ici qu'intervient la condition de symétrie, car elle permet de transformer le second terme et montrer ainsi que

$$\frac{dH}{dt} = t d_u f(x_0 + t\xi, \varphi(x_0 + t\xi)) \cdot H(t) \cdot \xi$$

pour tout $t \in [-1, 1]$. Or, l'application $(t, h) \mapsto t d_u f(x_0 + t\xi, \varphi(x_0 + t\xi)) \cdot h \cdot \xi$ étant de classe \mathcal{C}^1 et linéaire par rapport à h , d'après le lemme 5.6, la seule solution de l'équation différentielle

$$\frac{dh}{dt} = t d_u f(x_0 + t\xi, \varphi(x_0 + t\xi)) \cdot h \cdot \xi$$

qui s'annule en $t = 0$ est l'application nulle. Donc $H \equiv 0$.

EXERCICES

Exercice 5.1 Temps d'existence de solutions maximales

Pour chacun des problèmes de Cauchy suivants, justifier l'existence d'une unique solution maximale et déterminer son intervalle de définition :

$$x' = 1 + x, \quad x(0) = 1,$$

$$x' = x^{4/3}, \quad x(0) = 1,$$

$$x' = \sin x, \quad x(0) = 2.$$

Exercice 5.2 Non unicité

Montrer que le problème de Cauchy pour l'équation $x' = x^{2/3}$ et la donnée initiale $x(0) = 0$ admet une infinité de solutions.

Exercice 5.3 Non existence

Soit E l'espace des suites réelles tendant vers 0, muni de la norme définie par $\|x\|_\infty := \sup_{n \in \mathbb{N}} |x_n|$ pour $x = (x_n)_{n \in \mathbb{N}}$ (c'est un espace de Banach).

i). Montrer que

$$f : x = (x_n)_{n \in \mathbb{N}} \mapsto y = f(x); \quad y_n = \sqrt{|x_n|} + \frac{1}{n+1}, \quad n \in \mathbb{N}$$

définit une application continue de E dans E .

ii). On considère le problème de Cauchy

$$\frac{dx}{dt} = f(x), \quad x(0) = 0_E.$$

Supposons que $x \in \mathcal{C}^1(] - a, a[; E)$ soit une solution (avec $a > 0$). Montrer qu'alors

$$x_n(t) > 0 \quad \text{et} \quad \frac{x'_n(t)}{\sqrt{x_n(t)}} > 1$$

pour tout $n \in \mathbb{N}$ et tout $t \in [0, a[$.

iii). En déduire que pour tout $n \in \mathbb{N}$ et tout $t \in [0, a[, x_n(t) \geq t^2/4$ et conclure.

Exercice 5.4 Solutions maximales/périodiques

On considère l'équation différentielle scalaire :

$$\frac{du}{dt} = (1 + \cos t)u - u^3. \quad (5.22)$$

- i). a) Si $u \in \mathcal{C}^1(J; \mathbb{R})$ est une solution sur un intervalle $J \subset \mathbb{R}$ telle qu'il existe $\tau \in J$ pour lequel $u(\tau) = 0$, que peut-on dire de u ?
- b) Soit $v \in \mathbb{R}^{+*}$ et $u \in \mathcal{C}^1(J; \mathbb{R})$ la solution maximale du problème de Cauchy pour l'équation (5.22) et la donnée initiale $u(0) = v$. Montrer qu'il existe $C > 0$ tel que $0 < u(t) \leq v \exp(Ct)$ pour tout $t \in J, t \geq 0$.
- c) Montrer que toutes les solutions maximales de (5.22) sont globales sur \mathbb{R}^+ .
- ii). On note $\phi = \phi^0$ le flot de (5.22) en $t = 0$, qui est global d'après ce qui précède, et $p(v) := \phi(2\pi, v)$ pour tout $v \in \mathbb{R}^+$.
- a) Calculer $p(0)$ et $p'(0)$.
- b) Montrer que p est solution d'une équation différentielle et la résoudre.
- c) Dédurre de ce qui précède l'existence d'une solution 2π -périodique à valeurs strictement positives de (5.22).

Exercice 5.5

- i). On considère l'équation de Riccati $u' = u^2$. Donner l'intervalle d'existence de la solution maximale du problème de Cauchy en fonction de la donnée initiale $u(0) = u_0$.
- ii). Soit v une fonction continue sur un intervalle J contenant 0 telle que

$$v(t) \leq e^{\int_0^t v(\tau) d\tau} \quad \text{pour tout } t \in J.$$

Montrer, en s'inspirant de la question précédente et de la démonstration du lemme de Gronwall, que pour tout $t \in J, t < 1, v(t) \leq 1/(1-t)$.

- iii). On considère maintenant l'équation $u' = u^2 + t^2$.
- a) Soit u la solution maximale du problème de Cauchy pour la donnée initiale $u(0) = 0$. Soit $z(t) = \exp\left(-\int_0^t u(s) ds\right)$. Ecrire une équation différentielle du second ordre pour z et montrer que $z'(0) = z''(0) = z'''(0) = 0$.

- b) Résoudre l'équation différentielle sur z en cherchant une solution sous la forme d'une série entière.
- c) En déduire alors que u est définie sur un intervalle $] - \tau, \tau[$ avec $\tau \in]2, +\infty[$.

Exercice 5.6 Soient $\lambda > 0$ et $a \in \mathcal{C}(\mathbb{R}^+; \mathbb{R}_*^+)$ continue. On suppose qu'il existe $\alpha > 0$ tel que pour tout $T > 0$,

$$\sup_{t \in]0, T]} \frac{1}{t} \int_0^t s^2 a(s) ds < \alpha,$$

et l'on considère la solution maximale $x : [0, T^*[\rightarrow \mathbb{R}$ de l'équation différentielle

$$\frac{dx}{dt} = \lambda + a(t)x^2,$$

pour la donnée initiale $x(0) = 0$.

i). L'objectif de cette question est de montrer que si $4\alpha\lambda < 1$, alors $T^* = +\infty$.

- a) Soit $T < T^*$ et $M : [0, T] \rightarrow \mathbb{R}$ définie par $M(0) = \lambda$ et $M(t) = \sup_{s \in]0, t]} \frac{x(s)}{s}$ pour $t \in]0, T]$. Montrer que M continue et à valeurs positives.
- b) Montrer qu'il existe $\mu < \alpha$ tel que $M(t) \leq \lambda + \mu M(t)^2$ pour tout $t \in [0, T]$.
- c) En déduire que si $4\alpha\lambda < 1$ alors pour tout $t \in [0, T]$, $M(t) \leq \frac{1 - \sqrt{1 - 4\mu\lambda}}{2\mu}$ et conclure.

ii). On veut maintenant construire un contre-exemple au résultat précédent lorsque $4\alpha\lambda > 1$. On pose $a(t) = (1 + t^2)^{-1}$.

- a) Vérifier que cette fonction a vérifie l'hypothèse avec $\alpha = 1$.
- b) On choisit $\lambda > \frac{1}{4}$. Soit $z(t) = x(t)/\sqrt{1 + t^2}$. Démontrer que pour tout $t \in [0, T^*[,$

$$0 < z^2(t) - z(t) + \lambda \leq z'(t)\sqrt{1 + t^2} \leq z(t)^2 + \lambda.$$

- c) En déduire que pour tout $t \in [0, T^*[,$

$$\int_0^{z(t)} \frac{ds}{s^2 + \lambda} \leq \int_0^t \frac{ds}{\sqrt{1 + s^2}} \leq \int_0^{z(t)} \frac{ds}{s^2 - s + \lambda},$$

puis que $\text{sh}(\pi/(2\sqrt{\lambda})) \leq T^* \leq \text{sh}(2\pi/(\sqrt{4\lambda - 1}))$.

Exercice 5.7 Soient $f \in \mathcal{C}^1(\mathbb{R}; \mathbb{R}^+)$ et $x_0 \in \mathbb{R}$.

i). En supposant que f ne s'annule pas et que

$$\int_{-\infty}^{\infty} \frac{ds}{f(s)} < +\infty,$$

montrer que la solution maximale du problème de Cauchy pour l'équation différentielle $x' = f(x)$ et la donnée $x(t_0) = x_0 \in \mathbb{R}$ est définie sur $]t_0 - T_*, t_0 + T^*[$, où

$$T_* = t_0 - \int_{-\infty}^{x_0} \frac{ds}{f(s)}, \quad T^* = t_0 + \int_{x_0}^{+\infty} \frac{ds}{f(s)}.$$

ii). En supposant que f s'annule en un unique point ξ_0 (et, rappelons-le, f est à valeurs dans \mathbb{R}^+), montrer que l'intervalle de définition de la solution maximale de $x' = f(x)$ pour la donnée $x(t_0) = x_0$ n'est pas majoré si $x_0 < \xi_0$, et n'est pas minoré si $x_0 > \xi_0$.

Exercice 5.8 Soit $f \in \mathcal{C}(\mathbb{R} \times \mathbb{R}^n; \mathbb{R}^n)$. On note $\|\cdot\|$ la norme euclidienne usuelle dans \mathbb{R}^n . On suppose qu'il existe $F \in \mathcal{C}(\mathbb{R}^+; \mathbb{R}^{**})$ telle que pour tout $a \in \mathbb{R}^+$,

$$\int_a^{\infty} \frac{ds}{F(s)} = +\infty,$$

et $\|f(t, x)\| \leq F(\|x\|)$ quel que soit $(t, x) \in \mathbb{R} \times \mathbb{R}^n$.

i). Soit $u \in \mathcal{C}(J; \mathbb{R}^n)$ une solution maximale de l'équation différentielle $u' = f(t, u)$. Soit $r : t \mapsto r(t) := \|u(t)\|$. Montrer que $r'(t) \leq F(r(t))$ pour tout $t \in J$ où $r(t) \neq 0$.

ii). En déduire que u est globale, c'est-à-dire que $J = \mathbb{R}$.

SOLUTION DES EXERCICES

Exercice 5.1 Les solutions de $x' = 1 + x$ sont toutes de la forme $x : t \mapsto x_0 e^t - 1$, et elles sont définies sur \mathbb{R} tout entier (ceci est dû au fait que la fonction $x \mapsto 1 + x$ est affine). La fonction $x \mapsto x^{4/3}$ est de classe \mathcal{C}^1 sur \mathbb{R} (car l'exposant $4/3$ est supérieur à 1), ce qui permet d'appliquer le théorème de Cauchy–Lipschitz. Les solutions de $x' = x^{4/3}$ ne s'annulant pas se calculent pas quadrature. On trouve ainsi que la solution maximale valant 1 en $t = 0$ est donnée par $x(t) = 1/(1 - t/3)^3$ pour tout $t \in]-\infty, 3[$. La fonction sin est de classe \mathcal{C}^1 (même analytique) et bornée sur \mathbb{R} , donc les solutions maximales de l'équation $x' = \sin x$ sont globales, c'est-à-dire définies sur \mathbb{R} tout entier (d'après le théorème 5.11).

Exercice 5.2 La fonction $x \mapsto x^{2/3}$ n'étant pas Lipschitzienne en $x = 0$, le théorème de Cauchy–Lipschitz ne s'applique pas à l'équation $x' = x^{2/3}$ près de 0. Les solutions ne s'annulant pas se calculent par quadrature : elles sont de la forme $x(t) = (x_0^{1/3} + (t - t_0)/3)^3$; on voit ainsi que pour tout $t_0 < 0$ et $x_0 > (t_0/3)^3$, la solution correspondante s'annule en $t_1 = t_0 - 3x_0^{1/3} < 0$; si on la prolonge par 0 pour tout $t \geq t_1$, on obtient une solution valant 0 en 0.

Exercice 5.3

i). L'espace E est stable par f , puisque $\sqrt{\cdot}$ est continue en 0 et la suite de terme général $1/(n + 1)$ tend vers 0. De plus, la fonction $t \mapsto \sqrt{|t|}$ est uniformément continue sur \mathbb{R} (en tant que fonction continue sur le compact $[0, T]$), et sa dérivée est uniformément bornée sur $[T, +\infty[$ pour $T > 0$: pour tout $\varepsilon > 0$ il existe $\eta > 0$ tel que si $|t - s| \leq \eta$ alors $|\sqrt{|t|} - \sqrt{|s|}| \leq \varepsilon$. Par suite, pour x et $z \in E$ tels que $\|x - z\| \leq \eta$, on a $\|f(x)_n - f(z)_n\| = |\sqrt{|x_n|} - \sqrt{|z_n|}| \leq \varepsilon$. Ceci montre que f est continue.

ii). Par hypothèse, pour tout $n \in \mathbb{N}$ et tout $t \in [0, a]$,

$$x'_n(t) = \sqrt{|x_n(t)|} + \frac{1}{n+1} > 0,$$

donc la fonction scalaire x_n est strictement croissante (c'est le seul intérêt du terme $1/(n + 1)$), ce qui implique en particulier $x_n(t) > x_n(0) = 0$. On peut donc diviser par $\sqrt{x_n(t)} = \sqrt{|x_n(t)|}$, ce qui donne

$$\frac{x'_n(t)}{\sqrt{x_n(t)}} = 1 + \frac{1}{(n+1)\sqrt{x_n(t)}} > 1.$$

pour tout $n \in \mathbb{N}$ et tout $t \in [0, a[$.

- iii). Quel que soit n , la fonction $t \mapsto \sqrt{x_n(t)}$ est continue sur $[0, a[$ et dérivable sur $]0, a[$, donc d'après la formule des accroissements finis, valable pour les fonctions scalaires, quel que soit $t \in]0, a[$, il existe τ (dépendant de t et de n) tel que

$$\sqrt{x_n(t)} = \frac{x_n'(\tau)}{2\sqrt{x_n(\tau)}} t,$$

d'où, grâce à la question précédente, $\sqrt{x_n(t)} \geq \frac{1}{2} t$ et par conséquent $x_n(t) \geq \frac{1}{4} t^2$ (y compris d'ailleurs en 0). Cela empêche évidemment la suite $x(t) = (x_n(t))_{n \in \mathbb{N}}$ de tendre vers 0 lorsque $t > 0$. L'équation n'a donc pas de solution dans E .

Exercice 5.4

- i). a) Comme la fonction nulle est trivialement solution de l'équation différentielle (qui vérifie les hypothèses du théorème de Cauchy–Lipschitz car la fonction $(t, u) \mapsto (1 + \cos t)u - u^3$ est de classe \mathcal{C}^1 , et même analytique), le lemme 5.6 montre que si une solution s'annule en un point elle identiquement nulle.
- b) Si $v \in \mathbb{R}^{+*}$ et $u \in \mathcal{C}^1(J; \mathbb{R})$ est la solution maximale du problème de Cauchy pour la donnée initiale $u(0) = v$, elle ne s'annule pas d'après la question précédente, donc elle est à valeurs strictement positives. Par suite, pour tout $t \in J$, $u'(t) < (1 + \cos t)u(t) \leq 2u(t)$, d'où par intégration, $u(t) \leq u(0)e^{2t}$.
- c) Supposons que $u \in \mathcal{C}^1(J; \mathbb{R})$ soit une solution maximale avec $\sup J = T \in \mathbb{R}$. Soit (t_n) une suite d'éléments de J tendant vers T . La suite $(u(t_n))$ est bornée (par $u(0)e^{2T}$) donc elle admet une sous-suite convergente, que l'on note encore $(u(t_n))$ pour simplifier. Notons \underline{u} sa limite. Alors d'après le lemme 5.8, il existe $\bar{\tau} > 0$, $R > 0$, et $\tau \in]0, \bar{\tau}]$ tels que pour tout $(t_0, u_0) \in [T - \bar{\tau}, T + \bar{\tau}] \times \overline{B}(\underline{u}, R)$, la solution maximale du problème de Cauchy valant u_0 en t_0 soit définie sur un intervalle contenant $[t_0 - \tau, t_0 + \tau]$. En choisissant n assez grand pour que $u(t_n) \in \overline{B}(\underline{u}, R)$ et $t_n \in]T - \tau, T + \tau[$, on peut prolonger u au delà de T en appliquant ce qui précède à $u_0 = u(t_n)$ et $t_0 = t_n$.
- ii). a) On a $\phi(t, 0) = 0$ quel que soit t (ceci est une façon de reformuler la réponse à la première question). Donc en particulier $p(0) = 0$. Par ailleurs, la dérivée par rapport à v du flot ϕ , notée ψ , vérifie l'équation aux variations :

$$\partial_t \psi = (1 + \cos t - 3\phi(t, v)^2) \psi,$$

avec la condition initiale $\psi(0, v) = 1$. Cette équation (linéaire en ψ) s'intègre (comme au §5.2.1) en $\psi(t, v) = \exp(t + \sin t - 3 \int_0^t \phi(s, v)^2 ds)$. En particulier, $p'(0) = \psi(2\pi, 0) = e^{2\pi}$.

b) Pour $v \neq 0$, $\phi(t, v)$ ne s'annule pas, et l'on a par définition

$$\frac{1}{\phi} \partial_t \phi = 1 + \cos t - \phi^2,$$

d'où par intégration

$$\int_0^t \phi(s, v)^2 ds = t + \sin t - \ln(\phi(t, v)/v).$$

En substituant cette valeur dans l'expression de $\psi(t, v)$ on obtient alors

$$\psi(t, v) = e^{-2(t+\sin t)} (\phi(t, v)/v)^3.$$

Cela montre en particulier (en $t = 2\pi$) que $p'(v) = e^{-4\pi} (p(v)/v)^3$. En intégrant (par séparation de variables comme au §5.2.4), on en déduit l'existence d'une constante C telle

$$p(v)^2 = \frac{e^{4\pi} v^2}{1 + 2Cv^2}.$$

Sachant que $p(v)$ est défini et strictement positif pour tout $v > 0$, la constante C est nécessairement positive et

$$p(v) = \frac{e^{2\pi} v}{\sqrt{1 + 2Cv^2}}.$$

(Notons que $p(v)/v$ tend bien vers $e^{2\pi} = p'(0)$ lorsque $v \rightarrow 0$.)

c) La fonction $v \mapsto p(v)/v$ admet un prolongement continu à \mathbb{R}^+ , valant $e^{2\pi} > 1$ en 0, et tendant vers 0 en $+\infty$. Donc d'après le théorème des valeurs intermédiaires, il existe $v_1 \in]0, +\infty[$ tel que $p(v_1) = v_1$. Ainsi l'application $u_1 : t \mapsto \phi(t, v_1)$ et $t \mapsto (t + 2\pi, v_1)$ sont solutions du même problème de Cauchy (car la fonction \cos est 2π -périodique), donc coïncident : cela montre que u_1 est 2π -périodique.

Exercice 5.5

i). La seule solution s'annulant est la solution identiquement nulle. Comme on l'a vu au paragraphe 5.4.2, si $u_0 \neq 0$, la solution du problème de Cauchy pour la donnée initiale $u(0) = u_0$ est donnée par $u(t) = u_0/(1 - tu_0)$ tant que le dénominateur ne s'annule pas. Si $u_0 > 0$, la solution maximale est ainsi définie sur l'intervalle $] -\infty, 1/u_0[$, tandis que si $u_0 < 0$, elle est définie sur $[1/u_0, +\infty[$.

ii). Soit $w : t \mapsto \exp\left(\int_0^t v(\tau) d\tau\right)$ la fonction définie par le second membre de l'inégalité. Alors w est dérivable (puisque v est continue) et $w'(t) = v(t)w(t) \leq w(t)^2$. Comme w ne s'annule pas, cela implique

$$\frac{w'(t)}{w(t)^2} \leq 1, \quad \text{d'où} \quad -\frac{1}{w(t)} + 1 \leq t$$

par intégration et donc $w(t) \leq 1/(1-t)$ pour $t < 1$. Cela implique finalement $v(t) \leq 1/(1-t)$.

iii). a) Si $z(t) = \exp\left(-\int_0^t u(s) ds\right)$, $z'(t) = -u(t)z(t)$, $z''(t) = -u'(t)z(t) + u(t)^2z(t) = -t^2z(t)$. Donc z est solution de l'équation différentielle

$$\frac{d^2z}{dt^2} = -t^2z.$$

Par ailleurs, $z'(0) = 0$ puisque $u(0) = 0$, $z''(0) = 0 \times z(0) = 0$, et $z'''(t) = -2tz(t) - t^2z'(t)$, qui s'annule aussi en 0.

b) Cherchons la solution z du problème de Cauchy

$$z'' = -t^2z, \quad z(0) = 1, \quad z'(0) = 0,$$

comme somme d'une série entière $\sum a_n t^n$. On a nécessairement $a_1 = z'(0) = 0$, $a_2 = z''(0)/2 = 0$, $a_3 = z'''(0)/6 = 0$. De plus, si R désigne le rayon de convergence de la série entière, on a pour tout $t \in]-R, R[$,

$$z''(t) = \sum_{n=0}^{+\infty} (n+2)(n+1)a_{n+2} t^n = -t^2 z(t) = -\sum_{n=2}^{+\infty} a_{n-2} t^n,$$

d'où la relation

$$a_n = -\frac{a_{n-4}}{n(n-1)}$$

pour tout $n \geq 4$. Par suite, $a_n = 0$ si $n \not\equiv 0[4]$, $a_0 = 1$, et quel que soit $k \in \mathbb{N}^*$,

$$a_{4k} = \frac{(-1)^k}{4k(4k-1)(4k-4)(4k-5)\cdots 4 \times 3}.$$

En particulier, une majoration grossière donne

$$|a_{4k}| \leq \frac{1}{k!4^k}$$

d'où

$$\sum_{k=0}^{+\infty} |a_{4k} t^{4k}| \leq e^{t^4/4}.$$

Par suite $R = +\infty$.

- c) Pour revenir à u il faut déterminer si z s'annule. Plus précisément, si l'on montre que z ne s'annule pas sur $[-2, 2]$, on en déduira $u(t) = -z'(t)/z(t)$ pour tout $t \in [-2, 2]$, et donc que u est définie sur un intervalle $] -\tau, \tau[$ avec $\tau > 2$. Étant donné que z est paire, il suffit de vérifier que z ne s'annule pas sur $[0, 2]$, c'est-à-dire encore que

$$f(x) := 1 + \sum_{k=1}^{+\infty} a_{4k} x^k .$$

ne s'annule pas sur $[0, 16]$. On va utiliser pour cela le fait que la série est alternée ($a_{4k} a_{4(k+1)} < 0$) et que $|a_{4(k+1)} x^{k+1}| < |a_{4k} x^k|$ pour $0 < x < 56$. Ceci implique en particulier

$$\begin{aligned} f(16) &> 1 + 16 a_4 + 16^2 a_8 + 16^3 a_{12} = \\ &1 - \frac{4}{3} + \frac{8}{21} - \frac{32}{33 \times 21} = \frac{1}{693}, \end{aligned}$$

et pour tout $x \in [0, 16]$,

$$f'(x) \leq a_4 + 2 a_8 x \leq -\frac{1}{12} + \frac{1}{42} = -\frac{5}{84} .$$

Par suite, f est décroissante et donc à valeurs strictement positives sur $[0, 16]$ puisque $f(16) > 0$.

Exercice 5.6

- i). a) Comme par hypothèse $x(0) = 0$, on a

$$\lim_{s \rightarrow 0} \frac{x(s)}{s} = x'(0) = \lambda$$

d'après l'équation différentielle satisfaite par x . Donc la fonction

$$f : s \in [0, T] \mapsto \begin{cases} x(s)/s & \text{si } s \neq 0, \\ \lambda & \text{si } s = 0, \end{cases}$$

est continue, et atteint son maximum sur le compact $[0, T]$. Par suite on a

$$M(t) = \max_{s \in [0, t]} f(s)$$

pour tout $t \in [0, T]$. La fonction M est croissante et donc à valeurs positives puisque $M(0) = \lambda > 0$. De plus, f étant uniformément continue sur le compact $[0, T]$, quel que soit $\varepsilon > 0$, il existe $\eta > 0$ tel que $|t - \tau| \leq \eta$ implique $|f(t) - f(\tau)| \leq \varepsilon$. Par suite, si $t \leq s \leq t + \eta$, pour tout $\tau \in [t, s]$ on a $f(\tau) \leq f(t) + \varepsilon \leq M(t) + \varepsilon$, tandis que pour tout $\tau \in [0, t]$, on a $f(\tau) \leq M(t)$, et donc finalement $M(s) \leq M(t) + \varepsilon$. Comme M est croissante cela suffit à montrer qu'elle est continue.

b) Par définition de x , on a pour tout $t \in [0, T]$,

$$x(t) = \int_0^t \lambda + a(s)x(s)^2 ds,$$

d'où (puisque a est à valeurs positives) pour $t > 0$,

$$\frac{x(t)}{t} \leq \lambda + M(t)^2 \frac{1}{t} \int_0^t s^2 a(s) ds,$$

et donc $M(t) \leq \lambda + \mu M(t)^2$ avec

$$\mu := \sup_{t \in]0, T]} \frac{1}{t} \int_0^t s^2 a(s) ds,$$

qui est fini, strictement inférieur à α et indépendant de T par hypothèse.

c) Si $4\alpha\lambda < 1$ alors a fortiori $4\mu\lambda < 1$ le polynôme $\mu X^2 - X + \lambda$ a ses racines réelles, ce sont $(1 \pm \sqrt{1 - 4\mu\lambda})/(2\mu)$, et prend donc des valeurs positives seulement en dehors de ces racines. Puisque $M(t) \leq \lambda + \mu M(t)^2$ on a donc, quel que soit t , ou bien $M(t) \leq (1 - \sqrt{1 - 4\mu\lambda})/(2\mu)$ ou bien $M(t) \geq (1 + \sqrt{1 - 4\mu\lambda})/(2\mu)$. Or $M(0) = \lambda < (1 - \sqrt{1 - 4\mu\lambda})/(2\mu)$. Donc par continuité de M , on $M(t) \leq (1 - \sqrt{1 - 4\mu\lambda})/(2\mu)$ quel que soit $t \in [0, T]$. Finalement, ceci prouve que x est bornée sur $[0, T]$ indépendamment de $T < T^*$, et contredit le fait qu'elle soit maximale sur $[0, T^*[$ (d'après le théorème des bouts).

ii). a) Par définition de a , on a

$$\int_0^t s^2 a(s) ds = \int_0^t \frac{s^2}{1+s^2} ds \leq t.$$

b) Si $x(t) = z(t)\sqrt{1+t^2}$ définit une solution de l'équation différentielle $x' = \lambda + x^2/(1+t^2)$ on a d'une part $x'(t) = \lambda + z(t)^2$, et d'autre part

$$z'(t)\sqrt{1+t^2} = x'(t) - \frac{t}{\sqrt{1+t^2}} z(t).$$

Comme $\frac{t}{\sqrt{1+t^2}} \in [0, 1[$ et $x(t) \leq 0$ (d'après la formule intégrale vue plus haut), d'où aussi $z(t) \geq 0$, on en déduit

$$z^2(t) - z(t) + \lambda \leq z'(t)\sqrt{1+t^2} \leq z(t)^2 + \lambda.$$

Par ailleurs, si $\lambda > 1/4$, le polynôme $X^2 - X + \lambda$ ne prend que des valeurs strictement positives sur \mathbb{R} .

c) On a donc

$$\frac{z'(t)}{z(t)^2 + \lambda} \leq \frac{1}{\sqrt{1+t^2}} \leq \frac{z'(t)}{z^2(t) - z(t) + \lambda},$$

d'où par intégration et changement de variables (justifié car z' ne s'annule pas) :

$$\int_0^{z(t)} \frac{ds}{s^2 + \lambda} \leq \int_0^t \frac{ds}{\sqrt{1+s^2}} \leq \int_0^{z(t)} \frac{ds}{s^2 - s + \lambda}.$$

L'intégrale du milieu vaut $\text{Argsh } t$, et l'intégrale de droite est majorée par

$$\int_0^{+\infty} \frac{ds}{s^2 - s + \lambda} \leq \frac{1}{\sqrt{\lambda - 1/4}} \int_{-\infty}^{+\infty} \frac{d\sigma}{1 + \sigma^2} = \frac{2\pi}{\sqrt{4\lambda - 1}},$$

d'où (la fonction sh étant croissante) $t \leq \text{sh}(2\pi/(\sqrt{4\lambda - 1}))$ quel que soit $t < T^*$, ce qui montre la majoration voulue pour T^* . D'autre part, lorsque t tend T^* , $x(t)$ doit tendre vers l'infini (d'après le théorème des bouts), et donc aussi $z(t)$. A la limite on obtient donc

$$\left(\frac{\pi}{2\sqrt{\lambda}}\right) = \int_0^{+\infty} \frac{ds}{s^2 + \lambda} \leq \text{Argsh } T^*.$$

Exercice 5.7

i). On procède comme au §5.2.4 : la solution est donnée implicitement par

$$\int_{x_0}^{x(t)} \frac{ds}{f(s)} = t - t_0.$$

Comme la fonction $1/f$ est à valeurs strictement positives, la fonction $x \mapsto \int_{x_0}^x ds/f(s)$ est un difféomorphisme (strictement croissant) de \mathbb{R} sur $] \tau_*, \tau^* [$ avec

$$\tau_* := - \int_{-\infty}^{x_0} \frac{ds}{f(s)}, \quad \tau^* := \int_{x_0}^{+\infty} \frac{ds}{f(s)}.$$

ii). Lorsque f s'annule en un unique point ξ_0 (et, rappelons-le, f est à valeurs dans \mathbb{R}^+), les solutions maximales telles que $x(t_0) = x_0 \neq \xi_0$ sont strictement croissantes, et majorées par ξ_0 si $x_0 < \xi_0$, ou minorées par ξ_0 si $x_0 > \xi_0$ (car elles ne peuvent prendre la valeur de la solution constante ξ_0 d'après le lemme d'unicité 5.6). D'après le théorème des bouts, les premières sont définies pour tout $t \geq t_0$ et les secondes pour tout $t \leq t_0$.

Exercice 5.8

i). On a $r(t)r'(t) = \langle u'(t), u(t) \rangle \leq F(r(t))r(t)$ d'après l'inégalité de Cauchy-Schwarz et l'hypothèse sur f . Donc $r'(t) \leq F(r(t))$ pour tout $t \in J$ où $r(t) \neq 0$.

ii). Si $J =]\alpha, \beta[$ avec $\beta < +\infty$ (resp. $\alpha > -\infty$) alors d'après le théorème des bouts, $\lim_{t \nearrow \beta} r(t) = +\infty$ (resp. $\lim_{t \searrow \alpha} r(t) = +\infty$). Ainsi $r(t_0) > 0$ lorsque $t_0 \nearrow \beta$ et

$$\int_{r(t_0)}^{r(t)} \frac{ds}{F(s)} \leq t - t_0$$

pour $t > t_0$ d'après la question précédente. Ceci contredit l'hypothèse sur F .

Chapitre 6

Équations linéaires

Dans ce chapitre, on s'intéresse exclusivement aux équations différentielles du type

$$\frac{du}{dt} = A(t)u + b(t), \quad (6.1)$$

avec $b \in \mathcal{C}(I; X)$ et $A \in \mathcal{C}(I; \mathcal{L}(X))$, où X est un espace de Banach et, comme au chapitre précédent, on note simplement $A(t)u = A(t) \cdot u$ l'image de u par $A(t)$. Lorsque X est de dimension finie n on confondra éventuellement $A(t)$ avec sa matrice dans la base $(\frac{\partial}{\partial u_1}, \dots, \frac{\partial}{\partial u_n})$ et les valeurs $u(t)$ avec les vecteurs colonnes formés des composantes de $u(t)$ dans cette base. On dit que (6.1) est « linéaire » (car $A(t)$ est linéaire) « forcée » ou avec « terme source », le terme $b(t)$ étant généralement dû à une source extérieure, éventuellement variable. C'est le cas par exemple pour un oscillateur harmonique soumis à une force périodique $f = f_0 \cos(\omega t)$: d'après la loi de Newton ceci conduit à une équation de la forme

$$m \frac{d^2 y}{dt^2} + k y = f_0 \cos(\omega t)$$

(qui est une version avec terme source de (5.4)). On qualifie parfois (6.1) simplement d'équation linéaire (bien que le terme correct soit plutôt « affine »).

6.1 EXISTENCE GLOBALE

D'après le théorème 5.10, les solutions de (6.1) sont globales.

Théorème 6.1 *Pour $b \in \mathcal{C}(I; X)$ et $A \in \mathcal{C}(I; \mathcal{L}(X))$, quel que soit $(t_0, u_0) \in I \times X$, il existe une unique fonction $u \in \mathcal{C}^1(I; X)$ solution de (6.1) telle que $u(t_0) = u_0$.*

On en donne ci-après une variante de démonstration, dont la méthode peut être utile dans d'autres contextes. Elle fait appel au théorème de point fixe suivant :

Théorème 6.2 Soient E un espace de Banach et $\mathcal{T} : E \rightarrow E$ dont une puissance est contractante. Alors \mathcal{T} admet un point fixe unique.

Démonstration. Ce résultat est une conséquence facile du théorème de point fixe de Banach-Picard (théorème 1.17). Par hypothèse, il existe un entier k tel que \mathcal{T}^k soit contractant et donc admette un point fixe unique u . Alors

$$\mathcal{T}^k(\mathcal{T}(u)) = \mathcal{T}(\mathcal{T}^k(u)) = \mathcal{T}(u).$$

Donc $\mathcal{T}(u)$ est aussi un point fixe de \mathcal{T}^k . À cause de l'unicité de ce point fixe on a ainsi $\mathcal{T}(u) = u$. De plus, tout point fixe de \mathcal{T} étant évidemment un point fixe de \mathcal{T}^k , u est l'unique point fixe de \mathcal{T} .

Démonstration du théorème 6.1. Pour résoudre le problème de Cauchy de donnée « initiale » $u(t_0) = u_0$, on cherche une solution continue de l'équation intégrale

$$u(t) = u_0 + \int_{t_0}^t (A(s)u(s) + b(s)) ds,$$

qui équivaut à

$$u(t) = v(t) + u_0, \quad \text{avec} \quad v(t) = \int_{t_0}^t (A(s)(v(s) + u_0) + b(s)) ds.$$

Pour simplifier on suppose $t_0 = 0$ (sans perte de généralité, quitte à faire une translation $t \mapsto t - t_0$). On ne peut pas travailler directement dans I , mais on le va le faire dans un intervalle compact arbitraire $[\alpha, \beta] \subset I$ (avec $\alpha < 0 < \beta$). Définissons l'opérateur :

$$\begin{aligned} \mathcal{T} : \mathcal{C}([\alpha, \beta]; X) &\rightarrow \mathcal{C}([\alpha, \beta]; X) \\ v &\mapsto \mathcal{T}v; (\mathcal{T}v)(t) = \int_0^t (A(s)(v(s) + u_0) + b(s)) ds. \end{aligned}$$

Quels que soient v et w dans $\mathcal{C}([\alpha, \beta]; X)$ on a

$$(\mathcal{T}v)(t) - (\mathcal{T}w)(t) = \int_0^t A(s)(v(s) - w(s)) ds$$

et donc $\|(\mathcal{T}v)(t) - (\mathcal{T}w)(t)\| \leq C t \max_{s \in [0, t]} \|v - w\|$ avec $C := \max_{s \in [\alpha, \beta]} \|A(s)\|$. Montrons par récurrence que

$$\|(\mathcal{T}^n v)(t) - (\mathcal{T}^n w)(t)\| \leq C^n \frac{t^n}{n!} \max_{s \in [0, t]} \|v - w\|$$

pour tout $t \in [\alpha, \beta]$. C'est vrai à l'ordre 1 comme on vient de le voir. Supposons l'inégalité vraie à l'ordre n . Alors

$$\begin{aligned} \|(\mathcal{J}^{n+1}v)(t) - (\mathcal{J}^{n+1}w)(t)\| &= \|(\mathcal{J}(\mathcal{J}^n v))(t) - (\mathcal{J}(\mathcal{J}^n w))(t)\| \\ &\leq C \int_0^t \|(\mathcal{J}^n v)(s) - (\mathcal{J}^n w)(s)\| ds \leq C \max_{s \in [0, t]} \|v - w\| \int_0^t C^n \frac{s^n}{n!} ds \end{aligned}$$

d'après l'hypothèse de récurrence. En évaluant l'intégrale on obtient immédiatement l'inégalité à l'ordre $n + 1$:

$$\|(\mathcal{J}^{n+1}v)(t) - (\mathcal{J}^{n+1}w)(t)\| \leq C^{n+1} \frac{t^{n+1}}{(n+1)!} \|v - w\|.$$

Par conséquent, on a

$$\|\mathcal{J}^n v - \mathcal{J}^n w\| \leq C^n \frac{(\beta - \alpha)^n}{n!} \|v - w\|$$

quels que soient v et w . Donc \mathcal{J}^n est contractant pour n assez grand et d'après le théorème 6.2, \mathcal{J} admet un point fixe unique.

6.2 RÉSOVANTE

Considérons l'équation différentielle linéaire dans $\mathcal{L}(X)$:

$$\frac{dM}{dt} = A(t) \circ M. \quad (6.2)$$

(En dimension finie, si l'on identifie $M(t)$ et $A(t)$ avec des matrices comme on le fera occasionnellement, le produit de composition \circ est simplement à remplacer par le produit matriciel, voir par exemple la proposition 6.7.) D'après le théorème 6.1 (dans l'espace $\mathcal{L}(X)$), ses solutions maximales sont globales.

Définition 6.3 On appelle résolvante (« solution operator » en anglais) de l'équation différentielle homogène

$$\frac{du}{dt} = A(t)u \quad (6.3)$$

(associée à (6.1)), l'application $R : I \times I \rightarrow \mathcal{L}(X)$ telle que pour tout $(t, t_0) \in I$, $R(t, t_0)$ soit la valeur à l'instant t de la solution du problème de Cauchy pour (6.2) avec la condition initiale $R(t_0, t_0) = \text{Id}_X$.

Par linéarité, pour tout $u_0 \in X$, l'application $u : t \mapsto R(t, t_0)u_0$ est la solution du problème de Cauchy pour (6.3) et la condition initiale $u(t_0) = u_0$. Autrement dit, le flot de (6.3) est donné par $\phi^{t_0}(t, u_0) = R(t, t_0)u_0$.

Par construction, R est continûment différentiable par rapport à t . De plus, le lemme 5.12 (conséquence du lemme de Gronwall, p. 148) montre que R est Lipschitzienne par rapport à t_0 . Donc R est une fonction continue de (t, t_0) . Comme l'ensemble des isomorphismes de $\mathcal{L}(X)$ est un ouvert et $R(t_0, t_0) = \text{Id}_X$ est trivialement un isomorphisme, $R(t, t_0)$ est un isomorphisme pour tout t voisin de t_0 . En fait, c'est vrai pour tout $t \in I$ comme conséquence de la :

Proposition 6.4 *La résolvante est telle que $R(t, s) \circ R(s, t_0) = R(t, t_0)$ quels que soient $t, s, t_0 \in I$.*

Démonstration. Soit $u_0 \in X$ et $u(t) = R(t, t_0)u_0$. Alors la solution du problème de Cauchy

$$\frac{dv}{dt} = A(t)v, \quad v(s) = u(s),$$

n'est autre que u , mais elle s'exprime aussi comme

$$v : t \mapsto v(t) = R(t, s)u(s) = R(t, s) \circ R(s, t_0)u_0.$$

D'où $R(t, t_0)u_0 = R(t, s) \circ R(s, t_0)u_0$. Ceci étant vrai quel que soit u_0 , on en déduit la formule voulue.

Corollaire 6.5 *Pour tout $(t, t_0) \in I \times I$, $R(t, t_0)$ est un isomorphisme, d'inverse $R(t_0, t)$. De plus, R est continûment différentiable comme fonction de deux variables, et ses dérivées partielles satisfont*

$$\frac{\partial R}{\partial t}(t, s) = A(t) \circ R(t, s) \quad \text{et} \quad \frac{\partial R}{\partial s}(t, s) = -R(t, s) \circ A(s).$$

Démonstration. La première partie est une conséquence immédiate de la proposition 6.4, car $R(t_0, t) \circ R(t, t_0) = R(t_0, t_0) = \text{Id}_X$ et de même en échangeant les rôles de t_0 et t , $R(t, t_0) \circ R(t_0, t) = \text{Id}_X$. L'expression de la dérivée partielle de R par rapport à sa première variable découle directement de la définition de R : on en déduit qu'elle est continue puisque A et R le sont. Pour montrer que R est dérivable par rapport à sa seconde variable, on utilise la première partie : comme $R(t, s) = R(s, t)^{-1}$, R est dérivable par rapport à s par composition de $s \mapsto R(s, t)$ et de l'application $M \in \text{Isom}(X) \mapsto M^{-1}$, dont on sait qu'elle est (continûment) différentiable (voir l'exercice 1.7). Pour exprimer effectivement la dérivée partielle de R par rapport à sa seconde variable, on dérive simplement l'identité $R(t, s) \circ R(s, t) = \text{Id}_X$ en utilisant l'expression de la dérivée partielle de R par rapport à sa première variable, ce qui donne :

$$\frac{\partial R}{\partial s}(t, s) \circ R(s, t) + R(t, s) \circ A(s) \circ R(s, t) = 0.$$

Comme $R(s, t)$ est un isomorphisme, on en déduit l'expression annoncée.

À ce stade, la résolvante n'est qu'un outil formel. On peut néanmoins la calculer dans certains cas particuliers.

6.2.1 Cas autonome

Si A est *indépendant* de t , les solutions de (6.1) s'expriment à l'aide de l'exponentielle. Le lemme 5.3 montre en effet que la résolvante de l'équation différentielle linéaire *autonome*

$$\frac{du}{dt} = A u$$

est donnée par $R(t, s) = e^{(t-s)A}$.

6.2.2 Cas scalaire

D'après le calcul fait au paragraphe 5.2.1, la résolvante de

$$\frac{du}{dt} = a(t) u,$$

où l'inconnue u est à valeurs réelles et $a : I \rightarrow \mathbb{R}$ est continue, est donnée par

$$R(t, s) = e^{\int_s^t a(\tau) d\tau}.$$

Remarque : Il est tentant de généraliser les deux cas précédents, mais comme e^{A+B} n'est pas le produit de e^A et e^B lorsque A et B ne commutent pas, $R(t, s)$ n'est égal à $\exp\left(\int_s^t A(\tau) d\tau\right)$ que si toutes les applications linéaires $A(\tau)$ commutent entre elles.

Cependant, on peut au besoin avoir recours à la majoration suivante de la résolvante.

Proposition 6.6 Si $A \in \mathcal{C}(I; \mathcal{L}(X))$, la résolvante $R : I \times I \rightarrow \text{Isom}(X) \subset \mathcal{L}(X)$ de l'équation différentielle (6.3) vérifie, quels que soient $t \in I$ et $s \in I$,

$$\| \| R(t, s) \| \| \leq e^{|\int_s^t \| A(\tau) \| d\tau|}.$$

Démonstration. C'est une application du lemme de Gronwall. D'après les formules du corollaire 6.5, on a pour tout $(t, s) \in I \times I$,

$$R(t, s) = \text{Id}_X + \int_s^t A(\tau) \circ R(\tau, s) d\tau = \text{Id}_X + \int_t^s R(t, \sigma) \circ A(\sigma) d\sigma.$$

Considérons pour fixer les idées le cas $s \leq t$. (Si $s \geq t$, on échange leurs rôles et on utilise la seconde égalité ci-dessus au lieu de la première.) On a alors

$$\| \| R(t, s) \| \| \leq 1 + \int_s^t \| \| A(\tau) \| \| \| \| R(\tau, s) \| \| d\tau,$$

d'où l'on tire par application du lemme de Gronwall à $R(\theta, s)$ pour $\theta \in [s, t]$,

$$\| \| R(t, s) \| \| \leq e^{\int_s^t \| A(\tau) \| d\tau}.$$

6.2.3 Dimension finie

Tout ce que l'on peut dire, si les valeurs $A(t)$ ne commutent pas deux à deux, est que la résolvante est liée à une base de solutions de la façon suivante.

Proposition 6.7 Soient $A : I \rightarrow \mathcal{M}_n(\mathbb{R})$ continue et $R : I \rightarrow \mathcal{M}_n(\mathbb{R})$ la résolvante de (6.3), définie comme la solution du problème

$$\frac{\partial R}{\partial t}(t, s) = A(t) R(t, s) \quad \text{et} \quad R(s, s) = \mathbf{I}_n.$$

Si (e_1, \dots, e_n) est une base de \mathbb{R}^n , alors les applications $t \mapsto R(t, t_0)e_i$, pour $i \in \{1, \dots, n\}$, forment une famille indépendante de solutions de (6.3). Inversement, si u_1, \dots, u_n est une famille indépendante de solutions de (6.3), soit $B : t \in I \mapsto B(t) \in \text{GL}_n(\mathbb{R})$ dont les vecteurs colonnes sont $u_1(t), \dots, u_n(t)$. Alors la résolvante de (6.3) est donnée par

$$R(t, s) = B(t) B(s)^{-1}.$$

Démonstration. La première partie découle de la définition et du corollaire 6.5, qui montre que $R(t, s) \in \text{GL}_n(\mathbb{R})$. La preuve de la seconde partie consiste à remarquer que l'application $t \mapsto B(t) B(s)^{-1}$ est solution du même problème de Cauchy que $t \mapsto R(t, s)$, et à conclure une nouvelle fois grâce au lemme d'unicité 5.6.

Remarque : L'application B de la proposition 6.7 n'a aucune raison d'être unique. Cependant, à $t_0 \in I$ fixé, on peut considérer l'unique solution $B \in \mathcal{C}^1(I; \mathcal{M}_n(\mathbb{R}))$ du problème de Cauchy

$$\frac{dB}{dt} = A(t) \circ B, \quad B(t_0) = \mathbf{I}_n.$$

(Ainsi $B(t) = R(t, t_0)$.) On appelle alors $B(t)$ « la » *matrice fondamentale* de (6.3).

On peut aussi montrer que $R(t, s)$ est inversible en vérifiant que son déterminant, appelé *Wronskien*, satisfait une équation différentielle scalaire linéaire d'ordre 1, ce qui implique le résultat suivant.

Proposition 6.8 formule de Liouville Soit $\Delta(t, s) := \det(R(t, s))$, où R est la résolvante de (6.3). Alors

$$\Delta(t, s) = e^{\int_s^t \text{tr}(A(\tau)) d\tau}.$$

Démonstration. Elle repose sur l'expression de la *différentielle du déterminant*, que l'on va obtenir ici avec des arguments algébriques et un minimum de calculs. Le point de départ est la définition *intrinsèque* du déterminant d'un endomorphisme. On rappelle (voir la proposition 4.3) que $\mathcal{A}_n(X)$, sous-espace vectoriel de $\mathcal{L}_n(X)$ des *formes n -linéaires alternées* sur X , est de dimension 1 si X est de dimension n . Étant donnés $w \in \mathcal{L}(X)$ et $\phi \in \mathcal{A}_n(X)$, l'application

$$\phi_w : (x_1, \dots, x_n) \in X^n \mapsto \phi(w(x_1), \dots, w(x_n))$$

est n -linéaire alternée, et par conséquent proportionnelle à ϕ , avec un facteur qui ne dépend pas de ϕ car l'application $\phi \mapsto \phi_w$ est linéaire. La définition *intrinsèque* du déterminant de w est alors $\phi_w = (\det w) \phi$. Si $\mathcal{E} = (e_1, \dots, e_n)$ est une base de X et si M est la matrice de w dans cette base, on a

$$\det M := \det_{\mathcal{E}}(w(e_1), \dots, w(e_n)) = \det w,$$

où $\det_{\mathcal{E}}$ désigne l'unique élément de $\mathcal{A}_n(X)$ valant 1 en (e_1, \dots, e_n) . On a également une définition intrinsèque de la trace, en observant que l'application

$$(x_1, \dots, x_n) \in X^n \mapsto \sum_{i=1}^n \phi(x_1, \dots, x_{i-1}, w(x_i), x_{i+1}, \dots, x_n)$$

est n -linéaire alternée et donc proportionnelle à ϕ : le facteur définit la trace de w . Ainsi

$$\operatorname{tr} M = \operatorname{tr} w := \sum_{i=1}^n \det_{\mathcal{E}}(e_1, \dots, e_{i-1}, w(e_i), e_{i+1}, \dots, e_n)$$

(avec l'abus de notation habituel pour $i = 1$ et $i = n$). Par multilinéarité de ϕ , on trouve

$$d(\det)(w) \cdot h = \sum_{i=1}^n \phi(w(e_1), \dots, w(e_{i-1}), h(e_i), w(e_{i+1}), \dots, w(e_n))$$

pour tout $h \in \mathcal{L}(X)$. Si w est un isomorphisme, ceci se réécrit $d(\det)(w) \cdot h =$

$$(\det w) \sum_{i=1}^n \phi(e_1, \dots, e_{i-1}, (w^{-1} \circ h)(e_i), e_{i+1}, \dots, e_n) = (\det w) \operatorname{tr}(w^{-1} \circ h),$$

dont la traduction en termes matriciels est

$$d(\det)(M) \cdot H = (\det M) \operatorname{tr}(M^{-1}H) = \operatorname{tr}((\operatorname{com} M)^t H)$$

où $\text{com}M$ désigne la *comatrice* de M . On a fait appel ici à la formule d'algèbre

$$M(\text{com}M)^t = (\text{com}M)^t M = (\det M) \mathbf{I}_n. \quad (6.4)$$

Par densité de $\text{GL}_n(\mathbb{R})$ dans $\mathcal{M}_n(\mathbb{R})$ on en déduit la formule

$$d(\det)(M) \cdot H = \text{tr}((\text{com}M)^t H)$$

quelles que soient M et $H \in \mathcal{M}_n(\mathbb{R})$. La formule de Liouville se déduit ensuite de la règle de dérivation des fonctions composées, car alors

$$\begin{aligned} \frac{\partial \Delta}{\partial t}(t, s) &= \text{tr}\left((\text{com}R(t, s))^t \frac{\partial R}{\partial t}(t, s)\right) = \\ &= \text{tr}\left((\text{com}R(t, s))^t A(t)R(t, s)\right) = \Delta(t, s) \text{tr}(A(t)) \end{aligned}$$

d'après la formule algébrique (6.4) et la commutativité de la trace (qui se démontre en observant que AB et $BA = B(AB)B^{-1}$ sont semblables lorsque B est inversible). On conclut en résolvant (comme au paragraphe 5.2.1) l'équation différentielle linéaire satisfaite par $t \mapsto \Delta(t, s)$.

6.2.4 Formule de Duhamel

Ce paragraphe est consacré à un résultat facile à montrer et néanmoins fondamental, généralisant le principe de superposition vu dans le cas à coefficients constants (au paragraphe 5.2.3) et selon lequel : *la solution générale d'une équation linéaire avec terme source est donnée par la somme de la solution générale de l'équation homogène et d'une solution particulière de l'équation avec terme source.*

Proposition 6.9 (Formule de Duhamel) Soit $A \in \mathcal{C}(I; \mathcal{L}(X))$ et R la résolvante de l'équation différentielle homogène (6.3). Soient $b \in \mathcal{C}(I; X)$ et ϕ^{t_0} le flot en $t_0 \in I$ de l'équation (6.1). Alors pour tout $(t, v) \in I \times X$,

$$\phi^{t_0}(t, v) = R(t, t_0)v + \int_{t_0}^t R(t, s)b(s)ds.$$

Démonstration. On vérifie par le calcul que l'application

$$t \mapsto \int_{t_0}^t R(t, s)b(s)ds$$

est solution de l'équation avec le terme source b . Comme $t \mapsto R(t, t_0)v$ est solution de l'équation homogène, la somme des deux est, par linéarité, solution de l'équation avec terme source. De plus elle vaut v à $t = t_0$. Donc c'est l'unique solution cherchée.

6.3 COEFFICIENTS CONSTANTS

Ce titre apparemment réducteur cache une partie en fait assez difficile, fondée sur des résultats non triviaux (rappelés et parfois démontrés, au fil des besoins) d'*algèbre linéaire*, de *théorie spectrale* et d'*analyse complexe*. L'objectif est d'approfondir l'analyse qualitative des solutions des équations linéaires à coefficients constants, ce qui revient à étudier plus finement la fonction exponentielle sur $\mathcal{L}(E)$, et de mettre en place des outils utiles dans l'analyse des équations non linéaires.

Par souci pédagogique on commencera par le cas de la dimension finie, reposant essentiellement sur l'algèbre linéaire, avant d'aborder le cas général, faisant appel à l'analyse fonctionnelle.

6.3.1 Dimension deux

Commençons par étudier en détail les solutions des systèmes de *deux* équations, et les *portraits de phase* associés, c'est-à-dire l'allure des courbes décrites par ces solutions dans le plan \mathbb{R}^2 . Ce n'est pas difficile, mais donne lieu à une classification qu'il convient de préciser. L'expression de l'exponentielle d'une matrice $A \in \mathcal{M}_2(\mathbb{R})$ dépend de ses valeurs propres et de leur multiplicité. On distingue trois cas pour commencer :

- i*). Les valeurs propres λ et μ de A sont réelles et A est diagonalisable. Si P est une matrice de passage à une base de vecteurs propres, on a

$$P^{-1} e^{tA} P = \begin{pmatrix} e^{\lambda t} & 0 \\ 0 & e^{\mu t} \end{pmatrix}.$$

- ii*). La matrice A admet une valeur propre réelle λ non semi-simple. Si P est une matrice de passage à une base de *Jordan*,

$$P^{-1} e^{tA} P = \begin{pmatrix} e^{\lambda t} & t e^{\lambda t} \\ 0 & e^{\lambda t} \end{pmatrix}.$$

- iii*). Les valeurs propres λ et μ de A sont complexes conjuguées. Alors A est semblable à

$$\begin{pmatrix} \alpha & \beta \\ -\beta & \alpha \end{pmatrix}$$

avec $\alpha = \operatorname{Re} \lambda$ et $\beta = \operatorname{Im} \lambda$ et

$$P^{-1} e^{tA} P = e^{\alpha t} \begin{pmatrix} \cos \beta t & \sin \beta t \\ -\sin \beta t & \cos \beta t \end{pmatrix}.$$

Les cas *i*) et *ii*) s'obtiennent directement par le calcul. Pour le cas *iii*), on diagonalise d'abord A dans une base complexe ($\mathbf{e}_1, \mathbf{e}_2 = \overline{\mathbf{e}_1}$) puis on pose $\mathbf{r}_1 = \operatorname{Re} \mathbf{e}_1$, $\mathbf{r}_2 = \operatorname{Im} \mathbf{e}_1$ pour obtenir une matrice de passage à coefficients réels.

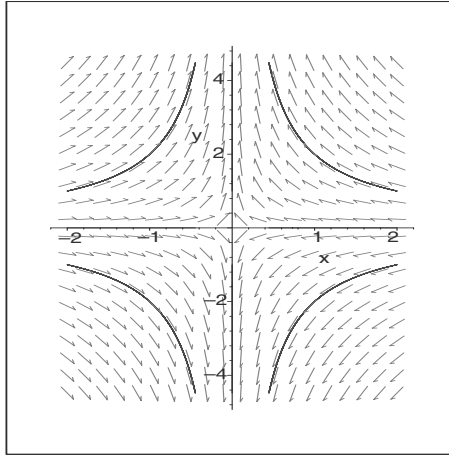


Figure 6.1 Portrait de phase pour un point selle ($\lambda = -1, \mu = 1$).

Concernant les portraits de phase, chacun des cas *i*), *ii*) et *iii*) se décompose en sous-cas selon les signes des parties réelles des valeurs propres. (On met à part le cas trivial $A = 0$.)

Le cas *i*) peut donner lieu à cinq portraits de phase différents :

Point selle ou col (figure 6.1) si $\det A < 0$, les valeurs propres sont réelles et de signe opposé.

Nœud impropre (figure 6.2) si $(\operatorname{tr} A)^2 > 4\det A > 0$, les valeurs propres sont réelles distinctes mais de même signe (nœud attractif si négatives ; nœud répulsif si positives).

Nœud propre (figure 6.3) si $A = \lambda \mathbf{I}_n$, on a un nœud attractif si $\lambda < 0$, répulsif si $\lambda > 0$.

Nœud exceptionnel (figure 6.4) si $(\operatorname{tr} A)^2 = 4\det A > 0$, A a une seule valeur propre réelle et elle n'est pas proportionnelle à \mathbf{I}_n , c'est le cas *ii*). Le nœud est attractif ou répulsif selon le signe la valeur propre réelle non semi-simple λ .

Enfin, le cas *iii*) donne trois portraits de phase distincts :

Foyer (figure 6.5) si $4\det A > (\operatorname{tr} A)^2 > 0$, les valeurs propres sont complexes conjuguées et de partie réelle non nulle (le foyer est attractif si $\operatorname{tr} A < 0$ et répulsif si $\operatorname{tr} A > 0$).

Centre (figure 6.6) si $4\det A > (\operatorname{tr} A)^2 = 0$, les valeurs propres sont imaginaires pures non nulles.

Les nœuds attractifs sont aussi appelés *puits* et les nœuds répulsifs *sources*.

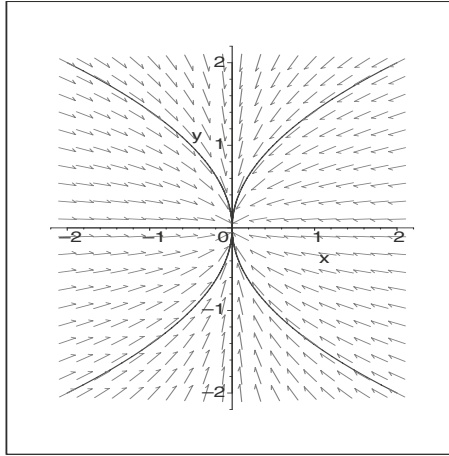


Figure 6.2 Portrait de phase pour un nœud impropre attractif ($\lambda = -2, \mu = -1$).

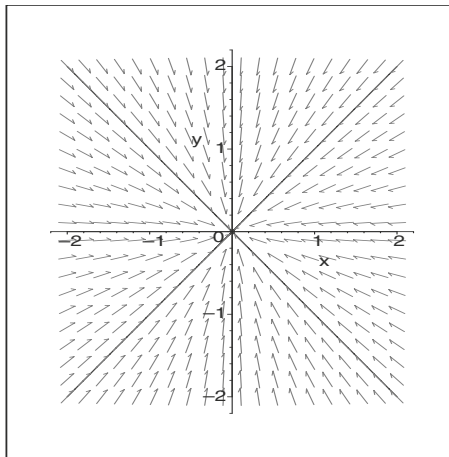


Figure 6.3 Portrait de phase pour un nœud propre attractif ($\lambda = -1$).

6.3.2 Dimension finie en général

On considère dans ce paragraphe $A \in \mathcal{M}_n(\mathbb{R})$ et l'équation différentielle linéaire homogène associée

$$\frac{du}{dt} = Au. \quad (6.5)$$

On sait que les solutions sont définies sur \mathbb{R} tout entier. Que peut-on dire de leur comportement à l'infini ? Cela dépend à l'évidence des propriétés de la matrice A , que l'on va pour l'occasion identifier à un endomorphisme de \mathbb{C}^n . L'analyse de (6.5) est intimement liée à l'algèbre linéaire, dont voici quelques rappels (le vocabulaire

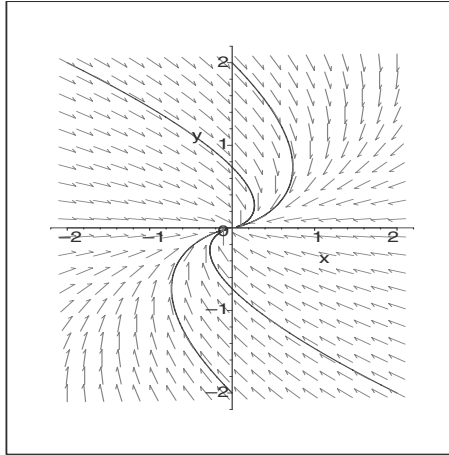


Figure 6.4 Portrait de phase pour un nœud exceptionnel attractif ($\lambda = -1$).

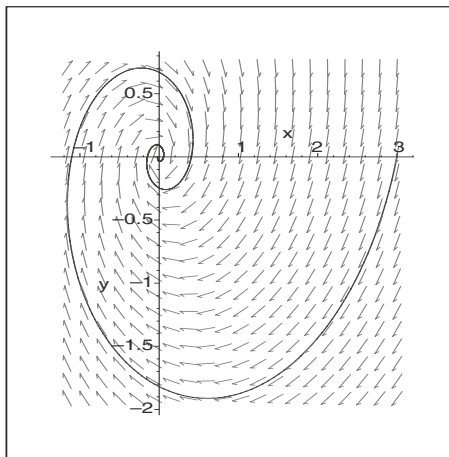


Figure 6.5 Portrait de phase pour un foyer attractif ($\alpha = -1, \beta = \pi$).

anglophone étant donné pour information entre parenthèses, surtout lorsqu'il n'est pas intuitif).

Définition 6.10 Les valeurs propres (« eigenvalues ») de A sont les nombres complexes λ pour lesquels le noyau de $(A - \lambda \mathbf{I}_n)$ est non trivial. Si λ est une valeur propre de A , on dit que l'espace $\text{Ker}(A - \lambda \mathbf{I}_n)$ est le sous-espace propre (« eigenspace ») associé. Si k est le plus grand entier tel que

$$\text{Ker}(A - \lambda \mathbf{I}_n)^{k-1} \subsetneq \text{Ker}(A - \lambda \mathbf{I}_n)^k,$$

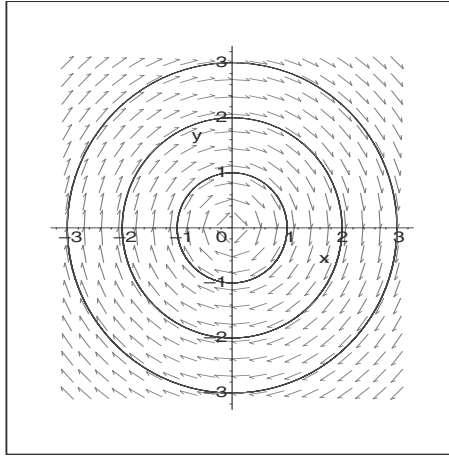


Figure 6.6 Portrait de phase pour un centre ($\beta = \pi$).

l'espace $\text{Ker} (A - \lambda \mathbf{I}_n)^k$ est appelé sous-espace caractéristique (« *generalized eigenspace* », et k est appelé « *ascent* » en anglais) de λ .

- La dimension du sous-espace propre $\text{Ker} (A - \lambda \mathbf{I}_n)$ est appelée multiplicité géométrique de λ .
- La dimension du sous-espace caractéristique $\text{Ker} (A - \lambda \mathbf{I}_n)^k$ est appelée multiplicité algébrique de λ .
- Lorsque les multiplicités géométrique et algébrique coïncident, la valeur propre λ est dite semi-simple (dans ce cas $k = 1$).
- Lorsque les multiplicités géométrique et algébrique coïncident et valent 1, la valeur propre λ est dite simple.

Théorème 6.11 (Cayley–Hamilton)

- Les valeurs propres de A sont les zéros du polynôme caractéristique :

$$P(\lambda) := \det(\lambda \mathbf{I}_n - A).$$

La multiplicité algébrique d'une valeur propre est égale à son ordre comme zéro du polynôme caractéristique. Les sous-espaces caractéristiques sont en somme directe et leur somme est \mathbb{C}^n .

- Les valeurs propres de A sont aussi les zéros du polynôme minimal, défini comme le générateur unitaire de l'idéal des polynômes annulateurs de A .
- Si toutes les valeurs propres sont semi-simples, les sous-espaces caractéristiques et les sous-espaces propres sont égaux, et la matrice A est diagonalisable.

(Voir par exemple [27, pp. 17–23].) Malheureusement, le vocabulaire se télescope entre l'algèbre et l'analyse car on appelle aussi *résolvante* de A la matrice $(A - \lambda \mathbf{I}_n)^{-1}$ lorsque λ n'est pas une valeur propre de A . Le terme est donc à manipuler avec précaution. (Cette ambiguïté n'existe pas en anglais, le terme « resolvent » étant réservé à l'opérateur $(A - \lambda \text{Id}_X)^{-1}$, noté $R_A(\lambda)$ par la suite, la résolvante $R(t, s)$ de la définition 6.3 étant appelée « solution operator ».)

Le comportement asymptotique des solutions de (6.5) est donné par le résultat suivant, que l'on donne sur \mathbb{R}^+ et qui admet évidemment un analogue sur \mathbb{R}^- (changer t en $-t$ et A en $-A$).

Proposition 6.12 *L'application $t \mapsto e^{tA}$ est bornée sur \mathbb{R}^+ si et seulement si les valeurs propres de A sont toutes de partie réelle négative ou nulle et si les valeurs propres imaginaires pures sont semi-simples. Elle tend vers 0 en $+\infty$ si et seulement si les valeurs propres de A sont toutes de partie réelle strictement négative.*

Démonstration. Soit $\{\lambda_1, \dots, \lambda_p\}$ l'ensemble des valeurs propres de A (avec $p \leq n$ et $\lambda_i \neq \lambda_j$ pour $i \neq j$). À chaque valeur propre λ_j on associe le sous-espace caractéristique E_j , et Π_j la projection sur E_j parallèlement à $\bigoplus_{i \neq j} E_i$. Par définition de E_j , il existe un entier k_j tel que

$$(A - \lambda_j \mathbf{I}_n)^{k_j} \Pi_j = 0,$$

et d'après le théorème 6.11 (Cayley-Hamilton), on a

$$\mathbf{I}_n = \sum_{j=1}^p \Pi_j.$$

Par suite $e^{tA} = \sum_{j=1}^p e^{tA} \Pi_j =$

$$\sum_{j=1}^p e^{t\lambda_j} e^{t(A - \lambda_j \mathbf{I})} \Pi_j = \sum_{j=1}^p e^{t\lambda_j} \sum_{k=0}^{k_j-1} \frac{t^k}{k!} (A - \lambda_j \mathbf{I}_n)^k \Pi_j,$$

ce qui tend bien vers 0 en $+\infty$ si les λ_j sont toutes de partie réelle strictement négative. Par ailleurs, si les λ_j sont de partie réelle négative ou nulle et si les k_j valent tous 1, alors e^{tA} est bornée sur \mathbb{R}^+ . Les réciproques sont faciles à vérifier :

- S'il existe λ de partie réelle strictement positive tel que $Av = \lambda v$ pour un vecteur v non nul, alors $e^{tA}v = e^{t\lambda}v$ est non borné.
- Si $\lambda \in i\mathbb{R}$ est une valeur propre non semi-simple, il existe des vecteurs non nuls v et w tels que $Av = \lambda v$, $Aw = \lambda w + v$. On montre par récurrence que

$$A^m w = \lambda^m w + m \lambda^{m-1} v$$

pour tout entier naturel m , et donc $e^{tA} w = e^{t\lambda} (w + t v)$ est de norme supérieure ou égale à $t \|v\| - \|w\|$ pour $t \geq 0$, ce qui est évidemment non borné.

- Enfin, si $\lambda \in i\mathbb{R}$ est une valeur propre même simple, $Av = \lambda v$ avec v non nul entraîne que $e^{tA} v = e^{t\lambda} v$ est de norme égale à $\|v\|$, ce qui ne tend pas vers 0.

Définition 6.13 Une matrice n’ayant pas de valeur propre imaginaire pure est dite hyperbolique.

Proposition 6.14 Soit $A \in \mathcal{M}_n(\mathbb{R})$ une matrice hyperbolique. Alors les ensembles

$$E^s = \{ w \in \mathbb{R}^n ; \lim_{t \rightarrow +\infty} e^{tA} w = 0 \}, \quad E^u = \{ w \in \mathbb{R}^n ; \lim_{t \rightarrow -\infty} e^{tA} w = 0 \}$$

sont des sous-espaces vectoriels de \mathbb{R}^n stables par A , appelés respectivement sous-espace stable et sous-espace instable, et il existe des projecteurs Π^u et Π^s commutant avec A tels que $\Pi^u + \Pi^s = \mathbf{I}_n$ satisfaisant les estimations suivantes. En notant $\sigma(A)$ l’ensemble des valeurs propres de A et

$$\beta = -\max\{ \operatorname{Re} \lambda < 0 ; \lambda \in \sigma(A) \} \quad \text{et} \quad \gamma = \min\{ \operatorname{Re} \lambda > 0 ; \lambda \in \sigma(A) \},$$

pour tout $\varepsilon > 0$, il existe des constantes b_ε et c_ε telles que

$$\| e^{tA} \Pi^s \| \leq b_\varepsilon e^{-(\beta-\varepsilon)t} \quad \forall t \geq 0 \quad \text{et} \quad \| e^{tA} \Pi^u \| \leq c_\varepsilon e^{(\gamma-\varepsilon)t} \quad \forall t \leq 0.$$

Démonstration. Le fait que E^s et E^u soient des sous-espaces vectoriels de \mathbb{R}^n stables par A est évident (rappelons que e^{tA} commute avec A). On va commencer par définir les projecteurs Π^u et Π^s (un projecteur étant par définition un opérateur linéaire Π idempotent, c’est-à-dire tel que $\Pi \circ \Pi = \Pi$) et l’on vérifiera ensuite que $E^s = \operatorname{Im}(\Pi^s)$ et $E^u = \operatorname{Im}(\Pi^u)$. On reprend pour cela les mêmes notations que dans la preuve de la proposition 6.12. Soient

$$\Pi^s := \sum_{j ; \operatorname{Re} \lambda_j < 0} \Pi_j \quad \text{et} \quad \Pi^u := \sum_{j ; \operatorname{Re} \lambda_j > 0} \Pi_j.$$

On remarque que \mathbb{R}^n , vu comme sous-espace de \mathbb{C}^n , est stable par ces opérateurs car les valeurs propres non réelles de A sont deux à deux conjuguées. Dans la suite, Π^u et Π^s désignent les opérateurs restreints à \mathbb{R}^n .

Comme les Π_j , Π^s et Π^u sont bien des projecteurs commutant avec A . Et comme A n’a pas de valeur propre imaginaire pure on a

$$\Pi^u + \Pi^s = \sum_{j=1}^p \Pi_j = \mathbf{I}_n.$$

De plus, on a l'expression explicite :

$$e^{tA} \Pi^s = \sum_{j; \operatorname{Re} \lambda_j < 0} e^{t \lambda_j} \sum_{k=0}^{k_j-1} \frac{t^k}{k!} (A - \lambda_j \mathbf{I}_n)^k \Pi^s,$$

d'où, pour $t \geq 0$,

$$\|e^{tA} \Pi^s\| \leq p \max_{j \leq p, k \leq K} \|(A - \lambda_j \mathbf{I}_n)^k\| \|\Pi^s\| e^{-\beta t} \sum_{k=0}^K \frac{t^k}{k!}$$

avec $K = \max_j k_j - 1$. Le dernier terme, polynôme en t , étant majoré par une constante fois $e^{\varepsilon t}$ pour $\varepsilon > 0$, on en déduit l'estimation de $\|e^{tA} \Pi^s\|$. L'estimation de $\|e^{tA} \Pi^u\|$ s'obtient exactement de la même manière. On déduit directement de ces estimations les inclusions

$$\operatorname{Im}(\Pi^s) \subset E^s \quad \text{et} \quad \operatorname{Im}(\Pi^u) \subset E^u.$$

Réciproquement, soit par exemple $w \in E^s$. Comme Π^u commute avec A , il commute aussi avec e^{tA} , donc

$$\|\Pi^u w\| = \|e^{tA} \Pi^u e^{-tA} w\| \leq c_\varepsilon e^{(\gamma-\varepsilon)t} \|e^{-tA} w\|$$

pour tout $t \leq 0$. En prenant $\varepsilon < \gamma$, le second membre tend vers 0 lorsque $t \rightarrow -\infty$ (pour le dernier terme, on utilise simplement la définition de E^s). Donc $\Pi^u w = 0$, c'est-à-dire que $w = \Pi^s w \in \operatorname{Im}(\Pi^s)$. Ainsi $E^s \subset \operatorname{Im}(\Pi^s)$. On montre de façon analogue que E^u est inclus dans $\operatorname{Im}(\Pi^u)$.

6.3.3 Dimension infinie

Pour simplifier la présentation, on suppose dans ce paragraphe que X est un \mathbb{C} -espace de Banach, et que A est un opérateur linéaire et continu sur X , ce que l'on note encore $A \in \mathcal{L}(X)$.

On a vu au paragraphe précédent des résultats sur le comportement de e^{tA} lorsque X est de dimension finie, qui reposent pour une large part sur la réduction des matrices. Lorsque X est de dimension infinie, tout devient plus délicat. Tout d'abord, le spectre de A n'est plus exclusivement constitué de valeurs propres.

Définition 6.15 On appelle spectre de $A \in \mathcal{L}(X)$ l'ensemble $\sigma(A)$ des nombres complexes λ tels que $(A - \lambda \operatorname{Id}_X) \notin \operatorname{Isom}(X)$ (ensemble des isomorphismes de X). Le spectre ponctuel est inclus dans le spectre : c'est l'ensemble des valeurs propres, c'est-à-dire des nombres $\lambda \in \mathbb{C}$ pour lesquels $(A - \lambda \operatorname{Id}_X)$ est non injectif.

- L'ensemble des isomorphismes étant un ouvert, l'ensemble résolvant de A :

$$\rho(A) := \mathbb{C} \setminus \sigma(A)$$

est ouvert, par continuité de l'application

$$\begin{aligned} \mathbb{C} &\rightarrow \mathcal{L}(X) \\ \lambda &\mapsto (A - \lambda \text{Id}_X). \end{aligned}$$

- Le spectre d'un opérateur $A \in \mathcal{L}(X)$ est borné :

$$\sigma(A) \subset \{ \lambda ; |\lambda| \leq \|A\| \}.$$

En effet, si $|\lambda| > \|A\|$, $(A - \lambda \text{Id}_X)$ est inversible d'inverse

$$(A - \lambda \text{Id}_X)^{-1} = -\frac{1}{\lambda} \sum_{m=0}^{+\infty} \frac{1}{\lambda^m} A^m,$$

cette série étant normalement convergente. Plus précisément, on montrera plus loin que

$$\sigma(A) \subset \{ \lambda ; |\lambda| \leq r_A := \lim \| \|A^m\| \|^{1/m} \} \text{ et } \sigma(A) \cap \{ \lambda ; |\lambda| = r_A \} \neq \emptyset. \quad (6.6)$$

- Ainsi, $\sigma(A)$ est un compact non vide de \mathbb{C} .

► Attention

Si A était un opérateur non-borné (c'est-à-dire linéaire mais pas continu), on pourrait encore définir son spectre mais il pourrait être vide ou non borné (voir [18, p. 174])

► Démonstration de (6.6)

C'est un peu subtil, car rien ne dit *a priori* que la limite de $\| \|A^m\| \|^{1/m}$ existe. Nous allons le prouver, en même temps que la *formule du rayon spectral* :

$$\lim_{m \rightarrow +\infty} \| \|A^m\| \|^{1/m} = \sup \{ |\lambda| ; \lambda \in \sigma(A) \}. \quad (6.7)$$

(Si l'on savait que $\sigma(A)$ est exclusivement constitué de valeurs propres, la preuve serait plus facile.) On sait déjà que $\sigma(A)$ est un compact, inclus dans le disque de centre 0 et de rayon $\|A\|$. Le critère de Cauchy sur la convergence des séries montre que

$$\{ \lambda ; |\lambda| > \limsup \| \|A^m\| \|^{1/m} \} \subset \rho(A),$$

d'où $\sigma(A) \subset \{ \lambda ; |\lambda| \leq \limsup \| \|A^m\| \|^{1/m} \}$. En fait, on a mieux presque sans effort. En effet, si $\lambda \in \sigma(A)$ alors $\lambda^m \in \sigma(A^m)$. Ceci résulte de la formule

$$(A^m - \lambda^m \text{Id}_X) = (A - \lambda \text{Id}_X) \sum_{k=0}^m \lambda^k A^{m-1-k},$$

qui montre que $(A - \lambda \text{Id}_X)$ admet un inverse si $(A^m - \lambda^m \text{Id}_X)$ en admet un. On en déduit

$$|\lambda| \leq \|A^m\|^{1/m} \quad \text{pour tout } \lambda \in \sigma(A) \quad \text{et pour tout } m \in \mathbb{N},$$

d'où

$$\sigma(A) \subset \{ \lambda; |\lambda| \leq \liminf_{m \rightarrow +\infty} \|A^m\|^{1/m} \}.$$

On aura effectivement démontré (6.7) si l'on vérifie que :

- le spectre $\sigma(A)$ est non vide, ce qui permet de définir

$$s_A := \sup\{ |\lambda|; \lambda \in \sigma(A) \},$$

- et $\limsup_{m \rightarrow +\infty} \|A^m\|^{1/m} \leq \sigma$ pour tout $\sigma > s_A$.

Car alors on aura la suite d'inégalités

$$s_A \leq \liminf_{m \rightarrow +\infty} \|A^m\|^{1/m} \leq \limsup_{m \rightarrow +\infty} \|A^m\|^{1/m} \leq s_A,$$

d'où $s_A = \liminf_{m \rightarrow +\infty} \|A^m\|^{1/m} = \limsup_{m \rightarrow +\infty} \|A^m\|^{1/m}$, ce qui montre la première partie de (6.6), tandis que pour la seconde on invoque simplement le fait que la fonction continue $\lambda \mapsto |\lambda|$ atteint son maximum sur le compact non vide $\sigma(A)$.

La démonstration des deux propriétés énoncées ci-dessus utilise le

Lemme 6.16 *L'application $R_A : \rho(A) \rightarrow \mathcal{L}(X)$ définie par*

$$R_A(\lambda) := (A - \lambda \text{Id}_X)^{-1},$$

est holomorphe (c'est-à-dire dérivable comme fonction de variable complexe).

Démonstration. On sait déjà que cette application est continue, comme composée des applications continues $\lambda \in \mathbb{C} \mapsto A - \lambda \text{Id}_X$ et $u \in \text{Isom}(X) \mapsto u^{-1}$. De plus, pour λ et λ_0 dans l'ensemble résolvant $\rho(A)$, on a ce que l'on appelle la *formule de la résolvante*

$$(A - \lambda \text{Id}_X)^{-1} - (A - \lambda_0 \text{Id}_X)^{-1} = (\lambda - \lambda_0)(A - \lambda \text{Id}_X)^{-1}(A - \lambda_0 \text{Id}_X)^{-1}, \quad (6.8)$$

qui s'obtient en écrivant $(\lambda - \lambda_0)(A - \lambda \text{Id}_X)^{-1}(A - \lambda_0 \text{Id}_X)^{-1} =$

$$\begin{aligned} & (A - \lambda \text{Id}_X)^{-1}(A - \lambda_0 \text{Id}_X)(A - \lambda_0 \text{Id}_X)^{-1} \\ & - (A - \lambda \text{Id}_X)^{-1}(A - \lambda \text{Id}_X)(A - \lambda_0 \text{Id}_X)^{-1}. \end{aligned}$$

On déduit alors de la formule (6.8) que

$$\frac{d}{d\lambda}(A - \lambda \text{Id}_X)^{-1} = (A - \lambda \text{Id}_X)^{-2}.$$

Comme R_A est à valeurs dans l'algèbre de Banach $\mathcal{L}(X)$, il faut prendre quelques précautions si l'on veut appliquer la théorie classique des fonctions de variable complexe. L'astuce consiste à considérer les applications

$$\begin{aligned} f : \rho(A) &\rightarrow \mathbb{C} \\ \lambda &\mapsto \varphi((A - \lambda \text{Id}_X)^{-1}), \end{aligned}$$

avec $\varphi \in \mathcal{L}(X)'$. Le théorème de Hahn-Banach (voir par exemple [2, Corollaire I.3, p. 3]) montre qu'il existe au moins un $\varphi \in \mathcal{L}(X)'$ pour lequel f n'est pas identiquement nul. De plus, f est holomorphe (par composition), et elle admet le développement

$$f(\lambda) = -\lambda^{-1} \sum_{m=0}^{+\infty} \lambda^{-m} \varphi(A^m)$$

pour $|\lambda| \geq \|A\|$. En particulier, on a $\lim_{|\lambda| \rightarrow +\infty} |f(\lambda)| = 0$. Le théorème de *Liouville* (voir [25, p. 206]) montre donc que $\rho(A)$ ne peut pas être égal à \mathbb{C} tout entier. Autrement dit, $\sigma(A)$ est non vide. Soit donc $s_A = \sup\{|\lambda|; \lambda \in \sigma(A)\}$ comme annoncé. L'extérieur du disque centré en 0 et rayon s_A est donc inclus dans $\rho(A)$, et f est une fonction holomorphe de $1/\lambda$ pour $|\lambda| > s_A$. Par suite, le développement en série entière

$$f(1/z) = -z \sum_{m=0}^{+\infty} z^m \varphi(A^m)$$

est convergent dans le disque de rayon $1/s_A$. En particulier, on doit donc avoir

$$\sup_m |\lambda^{-m} \varphi(A^m)| < \infty \quad \text{pour } |\lambda| > s_A.$$

Grâce au résultat d'analyse fonctionnelle donné dans le théorème 6.17 ci-après (appliqué à l'espace $\mathcal{B} = \mathcal{L}(X)$ et à la famille $B_m = \lambda^{-m} A^m$), on en déduit qu'il existe des nombres réels positifs $C(\lambda)$ tels que

$$\sup_m |\lambda|^{-m} \|A^m\| \leq C(\lambda) \quad \text{pour } |\lambda| > s_A,$$

d'où $\limsup_m \|A^m\|^{1/m} \leq |\lambda|$ pour $|\lambda| > s_A$. Ceci achève la démonstration de (6.6).

Théorème 6.17 *Si (B_m) est une famille d'éléments d'un \mathbb{C} -espace de Banach \mathcal{B} tel que pour tout $\varphi \in \mathcal{B}'$, $\sup_m |\varphi(B_m)| < \infty$, alors $\sup_m \|B_m\| < \infty$.*

Démonstration. Cela revient à combiner le théorème de Hahn-Banach avec le théorème de Banach-Steinhaus : le premier montre en effet (voir par exemple [2, Corollaire I.4, p. 4]) que

$$\|B_m\|_{\mathcal{B}} = \|b_m\|_{\mathcal{L}(\mathcal{B}'; \mathbb{C})} \quad \text{où } \langle b_m, \varphi \rangle := \varphi(B_m) \quad \forall \varphi \in \mathcal{B}',$$

et le second (voir [2, p. 16]) dit que

$$\sup_m |\langle b_m, \varphi \rangle| < \infty \quad \forall \varphi \in \mathcal{B}' \quad \Rightarrow \quad \sup_m \|b_m\|_{\mathcal{L}(\mathcal{B}'; \mathbb{C})} < \infty.$$

Grâce à l'astuce mentionnée plus haut (utiliser des formes linéaires continues φ pour revenir dans \mathbb{C}), on peut faire passer les résultats classiques de la théorie des fonctions de variable complexe (voir par exemple [25, chapitres 10 et 13]) aux fonctions à valeurs dans une *algèbre de Banach*. En particulier, on a le

Théorème 6.18 (Cauchy) *Soit Ω un ouvert connexe non vide de \mathbb{C} et \mathcal{B} une algèbre de Banach. Si $f : \Omega \rightarrow \mathcal{B}$ est holomorphe elle est analytique, c'est-à-dire développable en série entière (et réciproquement). De plus, si Γ et Γ' sont des lacets homotopes dans Ω , alors*

$$\int_{\Gamma} f(z) dz = \int_{\Gamma'} f(z) dz.$$

Dans le cas de l'algèbre $\mathcal{B} = \mathcal{L}(X)$ et de la fonction R_A , la première partie de l'énoncé est facile à vérifier. On peut même préciser l'observation faite au lemme 6.16 en

Proposition 6.19 *L'application R_A est analytique. De plus, R_A n'admet pas de prolongement analytique en dehors de $\rho(A)$.*

Démonstration. Pour $\lambda, \lambda_0 \in \rho(A)$, la formule (6.8) s'écrit aussi

$$R_A(\lambda_0) = (\text{Id}_X - (\lambda - \lambda_0)R_A(\lambda_0)) R_A(\lambda).$$

Par suite, on a

$$R_A(\lambda) = \sum_{n=0}^{+\infty} (\lambda - \lambda_0)^n (R_A(\lambda_0))^{n+1},$$

cette série étant convergente pour $|\lambda - \lambda_0| < 1/\|R_A(\lambda_0)\|$. Ceci montre que R_A est analytique dans $\rho(A)$. « Inversement » si la série ci-dessus converge, alors sa somme est

$$S_A(\lambda) := \sum_{n=0}^{+\infty} (\lambda - \lambda_0)^n (R_A(\lambda_0))^{n+1} = (\text{Id}_X - (\lambda - \lambda_0)R_A(\lambda_0))^{-1} R_A(\lambda_0).$$

Or $R_A(\lambda_0)(A - \lambda \text{Id}_X) = \text{Id}_X - (\lambda - \lambda_0)R_A(\lambda_0)$. Donc $S_A(\lambda)(A - \lambda \text{Id}_X) = \text{Id}_X$. On montre de la même façon que $(A - \lambda \text{Id}_X)S_A(\lambda) = \text{Id}_X$. D'où $\lambda \in \rho(A)$ et $R_A(\lambda) = S_A(\lambda)$. Par conséquent, R_A n'admet pas de

prolongement analytique en dehors de $\rho(A)$. Pour s'en convaincre, on raisonne classiquement par l'absurde. Supposons qu'une fonction analytique f prolonge R_A au voisinage d'un point $\underline{\lambda}$ du bord de $\rho(A)$. Par définition, $\underline{\lambda}$ n'appartient pas à l'ouvert $\rho(A)$. Soit \underline{r} le rayon de convergence du développement en série entière de f au point $\underline{\lambda}$. Il existe un point $\lambda_0 \in \rho(A) \cap \{\lambda; |\lambda - \underline{\lambda}| < \underline{r}/2\}$, et le développement en série entière de f au point λ_0 a un rayon au moins égal à $\underline{r} - |\lambda_0 - \underline{\lambda}| > |\lambda_0 - \underline{\lambda}|$. En particulier, $\underline{\lambda}$ est dans le disque de convergence. Or, f coïncide avec R_A au voisinage de λ_0 et son développement en série entière est donc

$$f(\lambda) = \sum_{n=0}^{+\infty} (\lambda - \lambda_0)^n (R_A(\lambda_0))^{n+1}.$$

D'après ce qui précède, tous les points du disque de convergence devraient être dans $\rho(A)$, mais ce n'est pas le cas de $\underline{\lambda}$.

Nous sommes maintenant armés pour aborder l'extension de la proposition 6.14 en dimension infinie. Comme en dimension finie, on dit d'un opérateur qu'il est hyperbolique s'il n'a pas de spectre imaginaire pur.

Théorème 6.20 *Si A est un opérateur hyperbolique, il existe des projecteurs continus Π^s et Π^u comme dans la proposition 6.14, c'est-à-dire tels que $\Pi^u + \Pi^s = \mathbf{I}$, Π^s et Π^u commutant avec A ,*

$$Im \Pi^s = \{w \in X; \lim_{t \rightarrow +\infty} e^{tA} w = 0\}, \quad Im \Pi^u = \{w \in X; \lim_{t \rightarrow -\infty} e^{tA} w = 0\},$$

et plus précisément, en notant

$$\beta = -\max\{Re \lambda < 0; \lambda \in \sigma(A)\} \quad \text{et} \quad \gamma = \min\{Re \lambda > 0; \lambda \in \sigma(A)\},$$

pour tout $\varepsilon > 0$, il existe des constantes b_ε et c_ε telles que

$$\|e^{tA} \Pi^s\| \leq b_\varepsilon e^{-(\beta-\varepsilon)t} \quad \forall t \geq 0 \quad \text{et} \quad \|e^{tA} \Pi^u\| \leq c_\varepsilon e^{(\gamma-\varepsilon)t} \quad \forall t \leq 0.$$

Démonstration. On procède en deux étapes : **1)** on construit les projecteurs Π^s et Π^u de sorte que $A\Pi^s$ ait son spectre de partie réelle négative et $A\Pi^u$ ait son spectre de partie réelle positive ; **2)** on démontre l'estimation de e^{tA} lorsque A a son spectre de partie réelle négative ; l'estimation « symétrique » s'en déduit par le changement de variables $t \mapsto -t$.

1) Le spectre de A étant un compact disjoint de l'axe imaginaire pur, il existe des courbes fermées simples Γ_\pm incluses dans les demi-plans de droite/gauche et qui entourent les ensembles

$$\Sigma_\pm := \sigma(A) \cap \{\lambda; Re \lambda \gtrless 0\}.$$

Soient alors

$$\Pi^s = \frac{1}{2i\pi} \int_{\Gamma_-} (z \text{Id}_X - A)^{-1} dz, \quad \Pi^u = \frac{1}{2i\pi} \int_{\Gamma_+} (z \text{Id}_X - A)^{-1} dz.$$

Ce sont des opérateurs continus puisque $(z \text{Id}_X - A)^{-1}$ est continu pour tout $z \in \Gamma_{\pm}$ et les ensembles Γ_{\pm} sont compacts. De plus, on a la relation $\Pi^s + \Pi^u = \text{Id}_X$. En effet, soit Γ_0 un cercle de rayon $R > \|A\|$ entourant Γ_+ et Γ_- , c'est-à-dire tout le spectre de A . Pour tout $z \in \Gamma_0$ on a

$$(z \text{Id}_X - A)^{-1} = \sum_{m=0}^{\infty} \frac{1}{z^{m+1}} A^m,$$

avec convergence normale de cette série. Donc

$$\frac{1}{2i\pi} \int_{\Gamma_0} (z \text{Id}_X - A)^{-1} dz = \sum_{m=0}^{\infty} \left(\frac{1}{2i\pi} \int_{\Gamma_0} \frac{1}{z^{m+1}} dz \right) A^m = \text{Id}_X$$

car seul le terme $m = 0$ contribue à la somme. Or on peut déformer continûment le contour Γ_+ par exemple pour se rapprocher de Γ_0 et de Γ_- (parcouru dans l'autre sens, voir la figure 6.7) en restant dans l'ensemble résolvant de A . D'après le théorème 6.18, ceci ne change pas la valeur de l'intégrale sur Γ_+ . À la limite on obtient

$$\int_{\Gamma_+} (z \text{Id}_X - A)^{-1} dz = \int_{\Gamma_0} (z \text{Id}_X - A)^{-1} dz - \int_{\Gamma_-} (z \text{Id}_X - A)^{-1} dz,$$

c'est-à-dire $\Pi^s = \text{Id}_X - \Pi^u$ d'après la formule vue ci-dessus.

Étudions maintenant plus en détail Π^s . Pour alléger les notations on omet l'exposant s ainsi que l'indice $-$ à Γ . On commence par vérifier que Π est un projecteur. Pour cela, on remarque d'abord, en faisant à nouveau appel au théorème 6.18 (Cauchy), que Π est invariant par un petit déplacement de Γ (puisque l'ensemble résolvant est ouvert). Soit Γ' un chemin fermé simple entourant Γ et ne rencontrant pas l'axe imaginaire. Alors

$$\begin{aligned} \Pi \circ \Pi &= \frac{1}{(2i\pi)^2} \int_{\Gamma} \int_{\Gamma'} (z \text{Id}_X - A)^{-1} (z' \text{Id}_X - A)^{-1} dz dz' \\ &= \frac{1}{(2i\pi)^2} \int_{\Gamma} \int_{\Gamma'} (z' - z)^{-1} (z \text{Id}_X - A)^{-1} - (z' - z)^{-1} (z' \text{Id}_X - A)^{-1} dz dz' \end{aligned}$$

d'après la formule (6.8). Or, puisque Γ' est extérieur à Γ , l'indice des points de Γ' par rapport à Γ est nul, tandis que l'indice des points de Γ par rapport

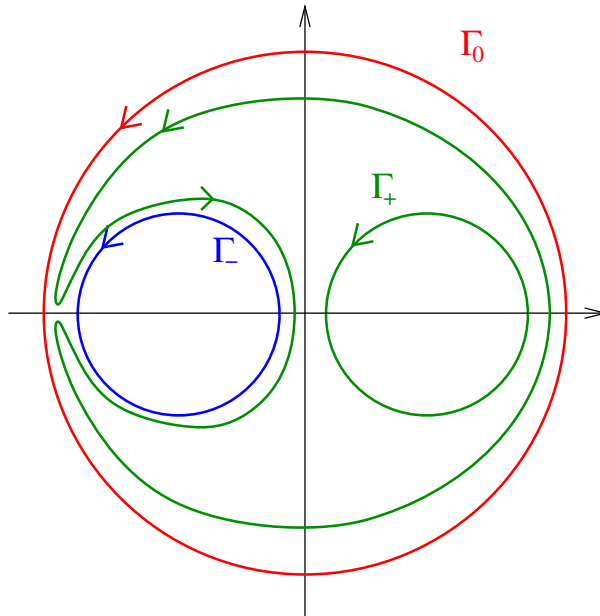


Figure 6.7 Contours séparant le spectre de A dans le plan complexe.

à Γ' vaut 1 (voir [25, p. 197]). Donc il reste seulement le premier terme, qui est égal à Π .

Pour vérifier que Π commute avec A , on utilise le fait que les résolvantes commutent entre elles (d'après la formule (6.8)). Cela implique, pour tout $\lambda \in \rho(A)$ (qui est non vide),

$$(A - \lambda \text{Id}_X)^{-1} \Pi = \Pi (A - \lambda \text{Id}_X)^{-1},$$

d'où $\Pi(A - \lambda \text{Id}_X) = (A - \lambda \text{Id}_X)\Pi$ et donc $\Pi A = A \Pi$.

Considérons alors A^- la restriction de A au sous-espace $X^- := \text{Im}(\Pi)$ (stable par A) et A^+ la restriction de A au sous-espace $X^+ := \text{Im}(\text{Id}_X - \Pi)$ (également stable par A). On a $A^\pm \in \mathcal{L}(X^\pm)$ et les ensembles résolvants de ces endomorphismes contiennent celui de A , car pour tout $\lambda \notin \sigma(A)$, on a simplement

$$(A^\pm - \lambda \text{Id}_{X^\pm})^{-1} = (A - \lambda \text{Id}_X)^{-1}|_{X^\pm}.$$

En fait, on va montrer que leurs spectres sont exactement

$$\sigma(A^\pm) = \Sigma_\pm.$$

Pour cela, on commence par observer que pour tout $\lambda \notin \sigma(A)$ qui n'est pas sur Γ ,

$$\begin{aligned} (A - \lambda \text{Id}_X)^{-1} \Pi &= -\frac{1}{2i\pi} \int_{\Gamma} (A - \lambda \text{Id}_X)^{-1} (A - z \text{Id}_X)^{-1} dz \\ &= \frac{1}{2i\pi} (A - \lambda \text{Id}_X)^{-1} \int_{\Gamma} \frac{dz}{z - \lambda} - \frac{1}{2i\pi} \int_{\Gamma} (A - z \text{Id}_X)^{-1} \frac{dz}{z - \lambda} \end{aligned}$$

d'après la formule (6.8).

- Pour λ à l'extérieur de Γ , le premier terme est nul, et il reste donc :

$$(A - \lambda \text{Id}_X)^{-1} \Pi = \frac{1}{2i\pi} \int_{\Gamma} (A - z \text{Id}_X)^{-1} \frac{dz}{\lambda - z}.$$

Le membre de droite est analytique en λ , quel que soit λ à l'extérieur de Γ , et fournit donc un prolongement analytique de $(A - \lambda \text{Id}_X)^{-1} \Pi$ à tout l'extérieur de Γ . Ceci montre que $\sigma(A^-)$ est à l'intérieur de Γ , et donc $\sigma(A^-) \subset \Sigma_-$.

- Pour λ à l'intérieur de Γ , on a $(A - \lambda \text{Id}_X)^{-1} \Pi =$

$$(A - \lambda \text{Id}_X)^{-1} + \frac{1}{2i\pi} \int_{\Gamma} (A - z \text{Id}_X)^{-1} \frac{dz}{\lambda - z}$$

et donc $(A - \lambda \text{Id}_X)^{-1} (\text{Id}_X - \Pi)$ se prolonge analytiquement à tout l'intérieur de Γ . Ceci montre que $\sigma(A^+)$ est à l'extérieur de Γ , et donc $\sigma(A^+) \subset \Sigma_+$.

Enfin, $\sigma(A) \cap \rho(A^-) \cap \rho(A^+) = \emptyset$ car pour tout $\lambda \in \rho(A^-) \cap \rho(A^+)$, on a

$$\begin{aligned} & (R_{A^-}(\lambda) \Pi + R_{A^+}(\lambda) (\text{Id}_X - \Pi)) (A - \lambda \text{Id}_X) \\ &= (A - \lambda \text{Id}_X) (R_{A^-}(\lambda) \Pi + R_{A^+}(\lambda) (\text{Id}_X - \Pi)) = \text{Id}_X \end{aligned}$$

et donc $\lambda \in \rho(A)$. Par suite, $\Sigma_{\pm} \subset \sigma(A^{\pm})$.

2) Il s'agit maintenant d'obtenir une estimation de $e^{tA} \Pi = e^{tA \Pi}$. Pour simplifier, on note A à la place de $A \Pi$, ce qui revient à supposer que le spectre de A est tout entier à l'intérieur d'une courbe fermée simple Γ , elle-même incluse dans un demi-plan $\{\lambda; \text{Re } \lambda \leq \gamma\}$ avec $\gamma \in]-\beta, 0[$. On veut montrer qu'il existe $b > 0$ tel que pour tout $t \geq 0$,

$$\|e^{tA}\| \leq b e^{\gamma t}.$$

Là encore, il faut faire preuve d'imagination car la démonstration faite en dimension finie ne s'adapte pas. L'idée repose sur la *formule d'inversion*

de Laplace (voir la proposition 8.26 dans l'appendice), qui suggère qu'au moins *formellement*

$$e^{tA} = \frac{1}{2i\pi} \int_{\text{Re } z = \gamma} e^{zt} (z \text{Id}_X - A)^{-1} dz.$$

Par construction la droite verticale $\{z; \text{Re } z = \gamma\}$ est bien incluse dans l'ensemble résolvant $\rho(A)$. Toutefois, rien n'assure que cette intégrale soit convergente. En effet, l'exponentielle est oscillante mais pas décroissante à l'infini, et $(z \text{Id}_X - A)^{-1} = -R_A(z)$ se comporte *a priori* en $1/z$ à l'infini. En revanche, si l'on modifie convenablement le chemin d'intégration on peut rendre l'intégrale absolument convergente : en l'occurrence (puisque le spectre de A est borné) on va voir qu'on peut tout simplement remplacer la droite $\{z; \text{Re } z = \gamma\}$ par la courbe fermée Γ (ce qui supprime tout problème de convergence).

Soit en effet

$$S(t) := \frac{1}{2i\pi} \oint_{\Gamma} e^{zt} (z \text{Id}_X - A)^{-1} dz.$$

Comme $\text{Re } z \leq \gamma$ le long de Γ , il existe $C > 0$ (dépendant de $\max_{z \in \Gamma} \|R_A(z)\|$) tel que pour tout $t \geq 0$, $\|S(t)\| \leq C e^{\gamma t}$. D'après l'étape 1) on sait que $S(0) = \text{Id}_X$. De plus, par dérivation sous le signe \int , on a

$$\begin{aligned} S'(t) &= \frac{1}{2i\pi} \int_{\Gamma} z e^{zt} (z \text{Id}_X - A)^{-1} dz \\ &= \frac{1}{2i\pi} \int_{\Gamma} e^{zt} (z \text{Id}_X - A + A) (z \text{Id}_X - A)^{-1} dz = A S(t) \end{aligned}$$

puisque $\oint_{\Gamma} e^{zt} dz = 0$. (d'après le théorème de Cauchy). Ainsi S est solution du problème de Cauchy :

$$\frac{dS}{dt} = A S, \quad S(0) = \text{Id}_X.$$

C'est donc que $S(t) = e^{tA}$. La formule obtenue :

$$e^{tA} = \frac{1}{2i\pi} \int_{\Gamma} e^{zt} (z \text{Id}_X - A)^{-1} dz$$

est appelée *intégrale de Dunford-Taylor*.

6.4 DICHOTOMIES EXPONENTIELLES ET SOUS-ESPACES STABLES

L'objectif de ce qui suit est d'étendre aux équations à coefficients variables ce que l'on vient de voir pour les équations à coefficients constants, à savoir la décomposition de l'espace des solutions en sous-espaces stables et instables. Une telle décomposition est importante notamment lorsqu'on veut déterminer s'il existe des solutions tendant vers 0 à l'infini, ce genre de problème apparaissant naturellement dans l'étude de la stabilité de solutions stationnaires d'équations aux dérivées partielles d'évolution. (Le terme de résolvante employé ci-après est celui de la définition 6.3 (p. 171), et non le terme algébrique utilisé au paragraphe précédent.)

Définition 6.21 *On dit que la résolvante R d'une équation différentielle linéaire (6.3) admet des dichotomies exponentielles sur \mathbb{R}^- et sur \mathbb{R}^+ s'il existe des applications continues $P^\pm : \mathbb{R}^\pm \rightarrow \mathcal{L}(X)$ et $Q^\pm : \mathbb{R}^\pm \rightarrow \mathcal{L}(X)$ telles que pour tout $t \in \mathbb{R}^\pm$, $P^\pm(t)$ et $Q^\pm(t)$ sont des projecteurs avec $P^\pm(t) + Q^\pm(t) = \text{Id}_X$, et*

i) $R(t, s)P^\pm(s) = P^\pm(t)R(t, s)$ quels que soient t et $s \in \mathbb{R}^\pm$ avec $t \geq s$,

et il existe $K \geq 0$, $L \geq 0$, $\alpha > 0$ et $\beta > 0$ tels que pour $t, s \in \mathbb{R}^\pm$ avec $t \geq s$,

ii) $\|R(t, s)P^\pm(s)\| \leq Ke^{-\alpha(t-s)}$,

iii) $\|R(s, t)Q^\pm(t)\| \leq Le^{-\beta(t-s)}$.

Prenons par exemple le cas de \mathbb{R}^+ . L'existence d'une dichotomie exponentielle sur \mathbb{R}^+ signifie que l'espace des solutions de l'équation différentielle sous-jacente qui tendent vers 0 en $+\infty$ est

$$\mathcal{E}^s := \{u \in \mathcal{C}^1(\mathbb{R}^+); u(t) = R(t, 0)u_0 \text{ avec } u_0 \in \text{Im } P^+(0)\}.$$

En effet, si $u \in \mathcal{E}^s$ alors pour tout $t \geq 0$, $u(t) = R(t, 0)P^+(0)u(0) \in \text{Im } P^+(t)$ d'après *i*), et u tend vers 0 exponentiellement vite d'après *ii*). Pour vérifier que \mathcal{E}^s contient toutes les solutions tendant vers 0, on utilise bien sûr *iii*). Supposons que $u \in \mathcal{C}^1(\mathbb{R}^+)$ soit solution de l'équation différentielle, ce qui signifie $R(s, t)u(t) = u(s)$ pour tous t et s dans \mathbb{R}^+ , et tende vers 0 en $+\infty$. Fixons alors $s \in \mathbb{R}^+$ et considérons $t \geq s$. D'après *i*) on a

$$Q^+(s)u(s) = Q^+(s)R(s, t)u(t) = R(s, t)Q^+(t)u(t),$$

ce qui tend vers 0 lorsque t tend vers $+\infty$ d'après *iii*) et l'hypothèse sur u . Par conséquent, $Q^+(s)u(s) = 0$: c'est donc que $u(s)$ appartient à $\text{Im } P^+(s)$.

Dans la définition 6.21, on pourrait remplacer \mathbb{R}^\pm par un intervalle semi-infini quelconque, et définir ainsi ce qu'est une dichotomie exponentielle sur $[t_0, +\infty[$ (ou $] -\infty, -t_0]$).

Proposition 6.22 *L'existence d'une dichotomie exponentielle sur $[t_0, +\infty[$ (resp. $]-\infty, -t_0]$) avec $t_0 \geq 0$ équivaut à l'existence d'une dichotomie exponentielle sur \mathbb{R}^+ (resp. \mathbb{R}^-).*

Démonstration. En effet, une dichotomie exponentielle sur \mathbb{R}^+ en définit a fortiori une sur $[t_0, +\infty[$. Inversement, si P et Q définissent une dichotomie exponentielle sur $[t_0, +\infty[$, on peut prolonger P et Q à \mathbb{R}^+ en posant

$$P(t) = R(t, t_0) P(t_0) R(t_0, t), \quad Q(t) = R(t, t_0) Q(t_0) R(t_0, t)$$

pour $t \in [0, t_0]$. Ces formules définissent bien des projecteurs, car grâce à la formule de la proposition 6.4,

$$\begin{aligned} P(t) P(t) &= R(t, t_0) P(t_0) R(t_0, t) R(t, t_0) P(t_0) R(t_0, t) = \\ R(t, t_0) P(t_0) R(t_0, t_0) P(t_0) R(t, t_0) &= R(t, t_0) P(t_0) P(t_0) R(t, t_0) = \\ R(t, t_0) P(t_0) R(t_0, t_0), \end{aligned}$$

et de même pour Q . Puisque $P(t_0) + Q(t_0) = \text{Id}_X$ on a aussi $P(t) + Q(t) = \text{Id}_X$. On vérifie aussi facilement la propriété *i*) : quels que soient $t, s \in \mathbb{R}^+$ avec $t \geq s$,

$$\begin{aligned} R(t, s) P(s) &= R(t, s) R(s, t_0) P(t_0) R(t_0, s) = R(t, t_0) P(t_0) R(t_0, s) = \\ R(t, t_0) P(t_0) R(t_0, t) R(t, t_0) R(t_0, s) &= P(t) R(t, s). \end{aligned}$$

Par ailleurs, les fonctions continues $(t, s) \mapsto \|R(t, s) P(s)\| e^{\alpha(t-s)}$ et $(t, s) \mapsto \|R(s, t) Q(t)\| e^{\beta(t-s)}$ sont bornées sur le compact $[0, t_0] \times [0, t_0]$. Maintenant pour $t \geq t_0 \geq s$, $R(t, s) P(s) = R(t, t_0) R(t_0, s) P(s) = R(t, t_0) P(t_0) R(t_0, s)$. Par conséquent, puisque l'application continue $s \mapsto \|R(t_0, s)\| e^{\alpha(t_0-s)}$ est bornée sur le compact $[0, t_0]$ et que $t \mapsto \|R(t, t_0) P(t_0)\| e^{\alpha(t-t_0)}$ est bornée, on a aussi une borne pour $\|R(t, s) P(s)\| e^{\alpha(t-s)}$ lorsque $t \geq t_0 \geq s$. De la même façon on obtient une borne pour $\|R(s, t) Q(t)\| e^{\beta(t-s)}$ lorsque $t \geq t_0 \geq s$.

Proposition 6.23 *Si $X = \mathbb{R}^n$ et $B(t)$ est la matrice fondamentale de (6.3) valant \mathbf{I}_n en $t = 0$, l'existence d'une dichotomie exponentielle sur \mathbb{R}^\pm équivaut à l'existence de matrices idempotentes P_0^\pm et Q_0^\pm telles que $P_0^\pm + Q_0^\pm = \mathbf{I}_n$ et de réels $K \geq 0$, $L \geq 0$, $\alpha > 0$ et $\beta > 0$ tels que pour $t, s \in \mathbb{R}^\pm$ avec $t \geq s$,*

$$ii') \quad \|B(t) P_0^\pm B(s)^{-1}\| \leq K e^{-\alpha(t-s)},$$

$$iii') \quad \|B(s) Q_0^\pm B(t)^{-1}\| \leq L e^{-\beta(t-s)}.$$

Démonstration. Rappelons que $R(t, s) = B(t) B(s)^{-1}$ (voir la proposition 6.7). Si l'on a $P^\pm(t)$ et $Q^\pm(t)$ comme dans la définition 6.21, on remarque que $P_0^\pm := P^\pm(0) =$

$$B(t)^{-1} P^\pm(t) B(t) \quad \text{et} \quad Q_0^\pm := Q^\pm(0) = B(t)^{-1} Q^\pm(t) B(t)$$

pour tout $t \in \mathbb{R}^\pm$ d'après *i*). Ainsi, pour $t, s \in \mathbb{R}^\pm$ avec $t \geq s$,

$$R(t, s) P^\pm(s) = B(t) P_0^\pm B(s)^{-1} \quad \text{et} \quad R(s, t) Q^\pm(t) = B(s) Q_0^\pm B(t)^{-1}.$$

De plus, P_0^\pm (resp. Q_0^\pm) étant semblable à $P^\pm(t)$ (resp. $Q^\pm(t)$), elle est idempotente comme elle. Inversement, si l'on a des matrices idempotentes P_0^\pm et Q_0^\pm comme dans l'énoncé,

$$P^\pm(t) := B(t) P_0^\pm B(t)^{-1} \quad \text{et} \quad Q^\pm(t) := B(t) Q_0^\pm B(t)^{-1}$$

sont idempotentes et vérifient *i*), *ii*), *iii*).

On peut en fait reformuler ce résultat en toute dimension, en remplaçant simplement $B(t)$ par $R(t, 0)$ et $B(t)^{-1}$ par $R(0, t)$. On peut de plus caractériser l'existence de dichotomies exponentielles de la façon suivante.

Proposition 6.24 *La résolvante R d'une équation différentielle linéaire admet une dichotomie exponentielle sur \mathbb{R}^\pm si seulement s'il existe des projecteurs P_0^\pm et Q_0^\pm tels que $P_0^\pm + Q_0^\pm = \text{Id}_X$, et $K \geq 0$, $L \geq 0$, $M > 0$, $\alpha > 0$, $\beta > 0$, tels que pour $t, s \in \mathbb{R}^\pm$ avec $t \geq s$, pour tout $x \in X$,*

- a) $\|R(t, 0) P_0^\pm R(0, t)\| \leq M$,
- b) $\|R(t, 0) P_0^\pm x\| \leq K e^{-\alpha(t-s)} \|R(s, 0) P_0^\pm x\|$,
- c) $\|R(s, 0) Q_0^\pm x\| \leq L e^{-\beta(t-s)} \|R(t, 0) Q_0^\pm x\|$.

Démonstration. Si l'on a $P^\pm(t)$ et $Q^\pm(t)$ comme dans la définition 6.21, on pose $P_0^\pm := P^\pm(0)$ et $Q_0^\pm := Q^\pm(0)$. D'après *i*), on a pour tout $t \in \mathbb{R}^\pm$,

$$R(t, 0) P_0^\pm = P^\pm(t) R(t, 0) \quad \text{et} \quad R(t, 0) Q_0^\pm = Q^\pm(t) R(t, 0), \quad (6.9)$$

et donc en particulier $R(t, 0) P_0^\pm R(0, t) = P^\pm(t)$. Or d'après *i*) avec $t = s$, $\|P^\pm(t)\| \leq K$: ceci montre *a*) avec $M = K$. De plus, *i*) montre que pour $t, s \in \mathbb{R}^\pm$ avec $t \geq s$, pour tout $y \in X$,

$$\|R(t, s) P^\pm(s) y\| \leq K e^{-\alpha(t-s)} \|y\|.$$

On obtient *b*) en appliquant cette inégalité à $y = R(s, 0) P_0^\pm x$, en utilisant (6.9) et le fait que P_0^\pm est un projecteur ($P_0^\pm P_0^\pm = P_0^\pm$). On déduit de la même manière *c*) de *iii*).

Réciproquement, si l'on a des projecteurs P_0^\pm et Q_0^\pm tels que $P_0^\pm + Q_0^\pm = \text{Id}_X$ on peut définir $P^\pm(t)$ et $Q^\pm(t)$ par (6.9). On a alors (en utilisant la formule de la proposition 6.4)

$$\begin{aligned} R(t, s)P^\pm(s) &= R(t, s)R(s, 0)P_0^\pm R(0, s) = R(t, 0)P_0^\pm R(0, s) \\ &= P^\pm(t)R(t, 0)R(0, s) = P^\pm(t)R(t, s). \end{aligned}$$

C'est la propriété *i*). Si de plus on a les trois majorations *a*), *b*), *c*), on déduit la majoration *ii*) des deux premières en utilisant à nouveau (6.9) (et la proposition 6.4) :

$$\begin{aligned} \|R(t, s)P^\pm(s)x\| &= \|R(t, 0)R(0, s)P^\pm(s)x\| = \|R(t, 0)P_0^\pm R(0, s)x\| \\ &\leq Ke^{-\alpha(t-s)}\|R(s, 0)P_0^\pm R(0, s)x\| \leq KM e^{-\alpha(t-s)}\|x\|. \end{aligned}$$

Le calcul est analogue pour *ii*), en utilisant *a*) et *c*).

Remarque : La propriété *a*) signifie que le projecteur $P^\pm(t) = R(t, 0)P_0^\pm R(0, t)$ est uniformément borné pour $t \in \mathbb{R}^\pm$. Autrement dit, les espaces $\text{Im } P^+(t)$ et $\text{Im } Q^+(t)$ sont « uniformément transverses », au sens où l'« angle » entre les deux reste uniformément minoré par un angle non-nul.

Le théorème 6.20 montre que les équations différentielles linéaires à coefficients constants $u' = Au$ avec A hyperbolique admettent des dichotomies exponentielles sur \mathbb{R} : on peut prendre $P^+ = P^- \equiv \Pi^s$, $Q^+ = Q^- \equiv \Pi^u$.

Un résultat fondamental est la robustesse des dichotomies exponentielles par perturbation.

Théorème 6.25 Soient $A, B : \mathbb{R}^\pm \rightarrow \mathcal{L}(X)$ des applications continues. On suppose que la résolvante de l'équation différentielle $u' = A(t)u$ admet une dichotomie exponentielle sur \mathbb{R}^\pm . Alors il existe $\delta > 0$ tel que, si $\|B(t)\| \leq \delta$ pour tout $t \in \mathbb{R}^\pm$, alors la résolvante de $u' = A(t)u + B(t)u$ admet une dichotomie exponentielle sur \mathbb{R}^\pm .

Ce résultat avait été obtenu par divers auteurs dans les années 1960, sous des hypothèses plus ou moins restrictives. Nous en donnons ici la démonstration de Coppel [7], traduite en dimension quelconque.

Démonstration. Elle repose essentiellement sur trois ingrédients : la formule de Duhamel, le théorème du point fixe de Banach-Picard (théorème 1.17 p. 27) dans $\mathcal{L}(X)$ et un lemme de type Gronwall (lemme 6.26 ci-après). On se place sur \mathbb{R}^+ (la démonstration étant parfaitement analogue sur \mathbb{R}^-) et l'on omettra pour simplifier l'exposant + pour les projecteurs. On note

R la résolvante de l'équation de référence $u' = A(t)u$, dont on suppose qu'elle admet une dichotomie exponentielle sur \mathbb{R}^+ associée aux projecteurs $P(t)$ et $Q(t)$. On notera en particulier $P_0 = P(0)$. On notera par ailleurs \tilde{R} la résolvante de l'équation perturbée $u' = A(t)u + B(t)u$, pour laquelle on cherche des projecteurs $\tilde{P}(t)$ et $\tilde{Q}(t)$ définissant une dichotomie exponentielle. On va d'abord obtenir $\tilde{P}_0 = \tilde{P}(0)$ à l'aide d'un argument de point fixe. On considère pour cela l'opérateur $\mathcal{T} : \mathcal{C}_b(\mathbb{R}^+; \mathcal{L}(X)) \rightarrow \mathcal{C}_b(\mathbb{R}^+; \mathcal{L}(X))$ tel que

$$(\mathcal{T}Y)(t) = R(t, 0)P_0 + \int_0^t R(t, \tau)P(\tau)B(\tau)Y(\tau) d\tau - \int_t^{+\infty} R(t, \tau)Q(\tau)B(\tau)Y(\tau) d\tau.$$

Ceci définit bien $\mathcal{T}Y \in \mathcal{C}_b(\mathbb{R}^+; \mathcal{L}(X))$ (qui muni de la norme $\|\cdot\|_\infty$ est un espace de Banach) car d'après les propriétés *ii*) et *iii*) de la dichotomie exponentielle, $\|(\mathcal{T}Y)(t)\| \leq K e^{-\alpha t} +$

$$K \|Y\|_\infty \|B\|_\infty \int_0^t e^{-\alpha(t-\tau)} d\tau + L \|Y\|_\infty \|B\|_\infty \int_t^{+\infty} e^{\beta(t-\tau)} d\tau,$$

d'où

$$\|\mathcal{T}Y\|_\infty \leq K + \left(\frac{K}{\alpha} + \frac{L}{\beta} \right) \|B\|_\infty \|Y\|_\infty.$$

De plus, par le même calcul que ci-dessus

$$\|\mathcal{T}Y - \mathcal{T}Z\|_\infty \leq \left(\frac{K}{\alpha} + \frac{L}{\beta} \right) \|B\|_\infty \|Y - Z\|_\infty.$$

Donc pour $\|B\|_\infty \leq \delta$ assez petit, \mathcal{T} est contractant, et admet par conséquent un point fixe unique, que l'on notera Y_1 . Le reste de la démonstration du théorème va consister à vérifier que $\tilde{P}_0 := Y_1(0)$ définit (comme dans la proposition 6.24) une dichotomie exponentielle pour \tilde{R} .

On observe tout d'abord que, puisque $P_0 P_0 = P_0$, $Y_1 P_0$ est aussi un point fixe de \mathcal{T} . Par suite, $Y_1(t)P_0 = Y_1(t)$ quel que soit $t \in \mathbb{R}^+$, et en particulier pour $t = 0$ ceci montre que $\tilde{P}_0 P_0 = P_0$.

Par définition, on a

$$Y_1(t) = R(t, 0)P_0 + \int_0^t R(t, \tau)P(\tau)B(\tau)Y_1(\tau) d\tau - \int_t^{+\infty} R(t, \tau)Q(\tau)B(\tau)Y_1(\tau) d\tau \quad (6.10)$$

quel que soit $t \in \mathbb{R}^+$. Notons que d'après la propriété *i*), le premier terme s'écrit aussi $P(t)R(t, 0)$. En remplaçant t par s dans (6.10), en composant par $R(t, 0)P_0R(0, s)$ et en remarquant que (grâce à la propriété *i*) et à la formule de la proposition 6.4) $R(t, 0)P_0R(0, s)R(s, \tau)P(\tau) =$

$$R(t, 0)P_0R(0, \tau)P(\tau) = R(t, 0)P_0P_0R(0, \tau) =$$

$$R(t, 0)P_0R(0, \tau) = R(t, 0)R(0, \tau)P(\tau) = R(t, \tau)P(\tau),$$

et que par un calcul analogue, puisque $P_0Q(0) = 0$,

$$R(t, 0)P_0R(0, s)R(s, \tau)Q(\tau) = 0,$$

on obtient aussi, en réécrivant $R(t, 0)P_0R(0, s) = R(t, 0)R(0, s)P(s) = R(t, s)P(s)$,

$$R(t, s)P(s)Y_1(s) = R(t, 0)P_0 + \int_0^s R(t, \tau)P(\tau)B(\tau)Y_1(\tau)d\tau, \quad (6.11)$$

d'où en soustrayant à l'égalité (6.10),

$$Y_1(t) = R(t, s)P(s)Y_1(s) + \int_s^t R(t, \tau)P(\tau)B(\tau)Y_1(\tau)d\tau \quad (6.12) \\ - \int_t^{+\infty} R(t, \tau)Q(\tau)B(\tau)Y_1(\tau)d\tau.$$

En faisant $t = s = 0$ dans (6.11), on voit en particulier que $P_0\tilde{P}_0 = P_0$. Ceci implique que $Y_1\tilde{P}_0$ est aussi un point fixe de \mathcal{T} , d'où $Y_1(t)\tilde{P}_0 = Y_1(t)$ quel que soit $t \in \mathbb{R}^+$. En particulier pour $t = 0$, cela montre que $\tilde{P}_0\tilde{P}_0 = \tilde{P}_0$, c'est-à-dire que \tilde{P}_0 est un projecteur.

Soient maintenant $\tilde{Q}_0 := \text{Id}_X - \tilde{P}_0$ et $Y_2(t) := \tilde{R}(t, 0)\tilde{Q}_0$. Ainsi Y_1 (d'après (6.10)) et Y_2 sont deux solutions de l'équation différentielle linéaire $Y' = A(t)Y + B(t)Y$ dans $\mathcal{L}(X)$. Par suite, puisque $Y_1(0) = \tilde{P}_0$, $Y_1(t) = \tilde{R}(t, 0)\tilde{P}_0$ (et $\tilde{R}(t, 0) = Y_1(t) + Y_2(t)$) quel que soit $t \in \mathbb{R}^+$. D'après la proposition 6.24, il reste à montrer des estimations sur Y_1 et Y_2 :

$$\|Y_1(t)x\| \leq \tilde{K}e^{-\tilde{\alpha}(t-s)}\|Y_1(s)x\|, \quad \|Y_2(s)x\| \leq \tilde{L}e^{-\tilde{\beta}(t-s)}\|Y_2(t)x\|$$

pour $0 \leq s \leq t$, $x \in X$, et une borne uniforme sur $\tilde{R}(t, 0)\tilde{P}_0\tilde{R}(0, t) =: \tilde{P}(t)$ pour $t \geq 0$.

Commençons par l'estimation de Y_1 . D'après (6.12) et les estimations *ii*) et *iii*) de R , $\|Y_1(t)x\| \leq Ke^{-\alpha(t-s)}\|Y_1(s)x\| +$

$$K\delta \int_s^t e^{-\alpha(t-\tau)}\|Y_1(\tau)x\|d\tau + L\delta \int_t^{+\infty} e^{-\beta(\tau-t)}\|Y_1(\tau)x\|d\tau.$$

(Rappelons que δ est un majorant de $\|B\|_\infty$.) Pour en tirer l'estimation voulue, on commence par introduire $K' = \max(K, L)$ et $\alpha' := \min(\alpha, \beta)$, de sorte que l'inégalité ci-dessus implique

$$\|Y_1(t)x\| \leq K' e^{-\alpha'(t-s)} \|Y_1(s)x\| + K' \delta \int_s^{+\infty} e^{-\alpha'|t-\tau|} \|Y_1(\tau)x\| d\tau.$$

Ainsi à s fixé, la fonction $y : t \mapsto y(t) := \|Y_1(t+s)x\|$ vérifie l'inégalité intégrale

$$y(t) \leq K' e^{-\alpha't} y(0) + K' \delta \int_0^{+\infty} e^{-\alpha'|t-\tau|} y(\tau) d\tau \quad \text{pour tout } t \geq 0.$$

On sait de plus qu'elle est bornée, puisque Y_1 l'est par construction. Donc on peut lui appliquer le lemme 6.26 ci-dessous. Pour $\delta < \alpha'/(2K')$, on en déduit la majoration $y(t) \leq \tilde{K} e^{-\tilde{\alpha}t} y(0)$ avec $\tilde{\alpha} = \alpha' \sqrt{1 - 2K'\delta/\alpha'}$ et $\tilde{K} = \alpha' (1 - \sqrt{1 - 2K'\delta/\alpha'})/\delta$. Cela montre la majoration cherchée pour Y_1 :

$$\|Y_1(t)x\| \leq \tilde{K} e^{-\tilde{\alpha}(t-s)} \|Y_1(s)x\|$$

pour $0 \leq s \leq t$.

Pour l'estimation de Y_2 , nous aurons besoin d'une formule analogue à (6.12). Rappelons que $Y_2(t) = \tilde{R}(t, 0) \tilde{Q}_0$. Donc par la formule de Duhamel,

$$Y_2(t) = R(t, 0) \tilde{Q}_0 + \int_0^t R(t, \tau) B(\tau) Y_2(\tau) d\tau. \quad (6.13)$$

En remplaçant t par s et en remarquant que

$$Q_0 \tilde{Q}_0 = \text{Id}_X - \tilde{P}_0 - P_0 - \tilde{P}_0 P_0 = \tilde{Q}_0,$$

on obtient la formule intermédiaire (analogue à (6.11))

$$R(t, 0) Q_0 R(0, s) Y_2(s) = R(t, 0) \tilde{Q}_0 + \int_0^s R(t, 0) Q_0 R(0, \tau) B(\tau) Y_2(\tau) d\tau.$$

En soustrayant à l'expression de $Y_2(t)$ on en déduit

$$\begin{aligned} Y_2(t) &= R(t, s) Q(s) Y_2(s) + \int_0^t R(t, \tau) P(\tau) B(\tau) Y_2(\tau) d\tau \\ &\quad - \int_s^t R(t, \tau) Q(\tau) B(\tau) Y_2(\tau) d\tau, \end{aligned}$$

d'où, en échangeant les rôles de t et s , et grâce aux estimations *ii*) et *iii*) de R pour $0 \leq s \leq t$, $\|Y_2(s)x\| \leq L e^{-\beta(t-s)} \|Y_2(t)x\| +$

$$K \delta \int_0^s e^{-\alpha(s-\tau)} \|Y_2(\tau)\| d\tau + L \delta \int_s^t e^{-\beta(\tau-s)} \|Y_2(\tau)\| d\tau.$$

Comme pour Y_1 on peut « affaiblir » cette estimation en

$$\|Y_2(s)x\| \leq K' e^{-\alpha'(t-s)} \|Y_2(t)x\| + K' \delta \int_0^t e^{-\alpha'|s-\tau|} \|Y_2(\tau)\| d\tau.$$

Ainsi à t fixé, la fonction $y : r \mapsto y(r) := \mathbf{1}_{[0,t]}(r) \|Y_2(t-r)x\|$ (où $\mathbf{1}_{[0,t]}$ désigne la fonction caractéristique de l'intervalle $[0, t]$, valant 1 dans cet intervalle et 0 ailleurs) vérifie l'inégalité intégrale

$$y(r) \leq K' e^{-\alpha' r} y(0) + K' \delta \int_0^{+\infty} e^{-\alpha'|r-\tau|} y(\tau) d\tau.$$

Cette fonction y est bien bornée sur \mathbb{R}^+ car Y_2 l'est sur $[0, t]$. L'inconvénient est qu'elle n'est pas continue : on ne peut pas lui appliquer le lemme 6.26 directement. Cependant si l'on reprend la démonstration, il suffit de modifier l'initialisation de la suite (z^n) en choisissant une fonction continue bornée z^0 telle que $y(r) \leq z^0(r)$ quel que soit $r \geq 0$. Pour $\delta < \alpha'/(2K')$, on en déduit la majoration $y(r) \leq \tilde{K} e^{-\tilde{\alpha} r} y(0)$, d'où

$$\|Y_2(s)x\| \leq \tilde{K} e^{-\tilde{\alpha}(t-s)} \|Y_2(t)x\|$$

pour $0 \leq s \leq t$.

Il reste à trouver une borne pour $\tilde{P}(t) := \tilde{R}(t, 0) \tilde{P}_0 \tilde{R}(0, t)$, ce qui équivaut au passage à trouver une borne pour $\tilde{Q}(t) := \tilde{R}(t, 0) \tilde{Q}_0 \tilde{R}(0, t)$. Sachant que $P(t)$ est bornée il suffit de trouver une borne pour

$$\tilde{P}(t) - P(t) = Q(t) \tilde{P}(t) - P(t) \tilde{Q}(t).$$

Or par construction de Y_1 et Y_2 , on a $\tilde{P}(t) = Y_1(t) \tilde{R}(0, t)$ et $\tilde{Q}(t) = Y_2(t) \tilde{R}(0, t)$. Si l'on note pour simplifier $\gamma_i(t) := \|Y_i(t) \tilde{R}(0, t)\|$ pour $i = 1, 2$, il s'agit de montrer que γ_1 et γ_2 sont bornées. Un calcul préliminaire consiste à montrer qu'il existe $\eta > 0$ tendant vers 0 avec δ , tel que

$$\|Q(t) Y_1(t)x\| \leq \eta \|Y_1(t)x\|, \quad \|P(t) Y_2(t)x\| \leq \eta \|Y_2(t)x\|.$$

Admettons le pour l'instant. Alors en appliquant les estimations ci-dessus à $x = \tilde{R}(0, t)\xi$ avec $\xi \in X$ arbitraire, on obtient

$$\gamma_1(t) \leq \|P(t)\| + \|Q(t) \tilde{P}(t)\| + \|P(t) \tilde{Q}(t)\| \leq K + \eta(\gamma_1(t) + \gamma_2(t)),$$

et de même

$$\gamma_2(t) \leq \|Q(t)\| + \|P(t) \tilde{Q}(t)\| + \|Q(t) \tilde{P}(t)\| \leq K + \eta(\gamma_1(t) + \gamma_2(t)),$$

Par suite, en faisant la somme, on en déduit si $\eta < 1/2$ que

$$\gamma_1(t) + \gamma_2(t) \leq 4K,$$

d'où *a fortiori* la majoration de γ_1 et γ_2 par $4K$. Voyons maintenant pour achever la démonstration comment on obtient les majorations de $\|Q(t)Y_1(t)x\|$ et $\|P(t)Y_2(t)x\|$. D'après (6.10), puisque $Q(t)P(t) = 0$ et $Q(t)P(t) = Q(t)$,

$$Q(t)Y_1(t) = - \int_t^{+\infty} R(t, \tau) Q(\tau) B(\tau) Y_1(\tau) d\tau.$$

Or comme on l'a montré plus haut,

$$\|Y_1(\tau)x\| \leq \tilde{K} e^{-\tilde{\alpha}(\tau-t)} \|Y_1(t)x\|$$

pour $0 \leq t \leq \tau$, et d'autre part on rappelle que

$$\|R(t, \tau) Q(\tau)\| \leq L e^{-\beta(\tau-t)}.$$

On en déduit que $\|Q(t)Y_1(t)x\| \leq$

$$\delta \tilde{K} L \|Y_1(t)x\| \int_t^{+\infty} e^{-(\tilde{\alpha}+\beta)(\tau-t)} d\tau = \delta \frac{\tilde{K} L}{\tilde{\alpha} + \beta} \|Y_1(t)x\|.$$

De façon analogue, d'après (6.13),

$$P(t)Y_2(t) = \int_0^t R(t, \tau) P(\tau) B(\tau) Y_2(\tau) d\tau$$

implique

$$\|P(t)Y_2(t)x\| \leq \delta \tilde{L} K \|Y_2(t)x\| \int_0^t e^{-(\alpha+\tilde{\beta})(\tau-t)} d\tau \leq \delta \frac{\tilde{L} K}{\alpha + \tilde{\beta}} \|Y_2(t)x\|.$$

Cela achève la démonstration du théorème 6.25.

Lemme 6.26 Soit $y \in \mathcal{C}_b(\mathbb{R}^+; \mathbb{R})$ une fonction bornée pour laquelle il existe $K > 0$, $\delta > 0$, $\alpha > 0$, tels que

$$y(t) \leq K e^{-\alpha t} y(0) + K \delta \int_0^{+\infty} e^{-\alpha|t-\tau|} y(\tau) d\tau \quad \text{pour tout } t \geq 0.$$

Si $\delta < \alpha/(2K)$ alors

$$y(t) \leq y(0) \frac{\alpha}{\delta} (1 - \sqrt{1 - 2K\delta/\alpha}) e^{-\alpha t \sqrt{1 - 2K\delta/\alpha}} \quad \text{pour tout } t \geq 0.$$

Démonstration. Dans la démonstration du lemme de Gronwall « standard », on se ramène à l'inéquation différentielle satisfaite par le second membre de l'inégalité intégrale. Ici cela ne fonctionne pas, car la dérivée de

$$w : t \mapsto \int_0^{+\infty} e^{-\alpha|t-\tau|} y(\tau) d\tau = \int_0^t e^{-\alpha(t-\tau)} y(\tau) d\tau + \int_t^{+\infty} e^{-\alpha(\tau-t)} y(\tau) d\tau$$

est donnée par

$$w'(t) = -\alpha \int_0^t e^{-\alpha(t-\tau)} y(\tau) d\tau + \alpha \int_t^{+\infty} e^{-\alpha(\tau-t)} y(\tau) d\tau,$$

et l'on ne sait pas majorer le premier terme. On considère plutôt l'équation intégrale :

$$z(t) = K e^{-\alpha t} y(0) + K \delta \int_0^{+\infty} e^{-\alpha|t-\tau|} z(\tau) d\tau. \quad (6.14)$$

Si $K \delta < \alpha$, cette équation admet une solution unique bornée, point fixe de l'application contractante

$$\begin{aligned} \mathcal{J} : \mathcal{C}_b(\mathbb{R}^+; \mathbb{R}) &\rightarrow \mathcal{C}_b(\mathbb{R}^+; \mathbb{R}) \\ z &\mapsto \mathcal{J}z; \end{aligned}$$

$$\mathcal{J}z(t) = K e^{-\alpha t} y(0) + K \delta \int_0^{+\infty} e^{-\alpha|t-\tau|} z(\tau) d\tau.$$

On peut notamment construire ce point fixe comme limite de la suite $(z^n)_{n \in \mathbb{N}}$ définie par $z^0(t) = y(t)$ et $z^{n+1} = \mathcal{J}z^n$. Or l'hypothèse sur y montre que $y(t) \leq z^n(t)$ quels que soient $t \in \mathbb{R}^+$ et $n \in \mathbb{N}$: c'est vrai par définition pour $n = 0$; si c'est vrai pour n , alors

$$y(t) \leq K e^{-\alpha t} y(0) + K \delta \int_0^{+\infty} e^{-\alpha|t-\tau|} y(\tau) d\tau \leq \mathcal{J}z^n(t) = z^{n+1}(t).$$

Donc à la limite lorsque n tend vers $+\infty$, on obtient $y(t) \leq z(t)$.

Il suffit par conséquent de montrer la majoration voulue pour z , dont on va voir qu'elle est solution d'une équation différentielle : on revient en quelque sorte à la méthode de démonstration du lemme de Gronwall, sauf que l'équation différentielle sous-jacente est d'ordre 2. En effet, par le théorème de dérivation sous le signe \int on voit que z est (au moins) de classe \mathcal{C}^2 et

$$z'(t) = -\alpha K e^{-\alpha t} y(0) - \alpha K \delta \int_0^t e^{-\alpha(t-\tau)} z(\tau) d\tau + \alpha K \delta \int_t^{+\infty} e^{-\alpha(\tau-t)} z(\tau) d\tau,$$

$$z''(t) = (\alpha^2 - 2\alpha K\delta)z(t).$$

C'est ici qu'apparaît la restriction supplémentaire $2K\delta < \alpha$, que l'on suppose satisfaite désormais. Si l'on note pour simplifier $\gamma := \alpha\sqrt{1-2\theta}$, $\theta := K\delta/\alpha$, comme z est bornée (par construction) et solution de $z'' = \gamma^2 z$, elle est nécessairement de la forme $z(t) = ce^{-\gamma t}$. En reportant cette expression dans (6.14) à $t = 0$ on en déduit

$$c = Ky(0) + K\delta c/(\alpha + \gamma),$$

d'où $c = Ky(0)(1 - \sqrt{1-2\theta})/\theta$.

Corollaire 6.27 Soient $A, B : \mathbb{R}^\pm \rightarrow \mathcal{L}(X)$ des applications continues. On suppose que la résolvante de l'équation différentielle $u' = A(t)u$ admet une dichotomie exponentielle sur \mathbb{R}^\pm . Si $\lim_{t \rightarrow \pm\infty} \|B(t)\| = 0$, alors la résolvante de $u' = A(t)u + B(t)u$ admet une dichotomie exponentielle sur \mathbb{R}^\pm .

Démonstration. Traitons le cas de \mathbb{R}^+ pour fixer les idées. Si δ est le nombre positif du théorème 6.25, il existe $t_0 > 0$ tel que pour $t \geq t_0$, $\|B(t)\| \leq \delta$. Par suite, la résolvante de $u' = A(t)u + B(t)u$ admet une dichotomie exponentielle sur $[t_0, +\infty[$, et compte tenu de la proposition 6.22, on en déduit une dichotomie exponentielle sur \mathbb{R}^+ .

6.5 COEFFICIENTS PÉRIODIQUES ET THÉORIE DE FLOQUET

Les équations différentielles linéaires à coefficients périodiques apparaissent notamment dans la linéarisation autour de solutions périodiques d'équations non-linéaires, et jouent un rôle important dans la stabilité de ces solutions périodiques. On va voir qu'en dimension finie elles se ramènent dans une certaine mesure aux équations à coefficients constants, *via* la théorie de Floquet.

Dans ce qui suit X est un espace de Banach (sur \mathbb{R} ou \mathbb{C}) et $A \in \mathcal{C}(\mathbb{R}; X)$ est périodique de période T . On considère l'équation différentielle linéaire (6.3) et $R : \mathbb{R} \times \mathbb{R} \rightarrow \text{Isom}(X)$ sa résolvante :

$$\frac{\partial R}{\partial t}(t, s) = A(t) \circ R(t, s) \quad \text{et} \quad R(s, s) = \text{Id}_X.$$

Définition 6.28 Quel que soit $s \in \mathbb{R}$, on appelle l'opérateur

$$C(s) := R(s + T, s)$$

opérateur de monodromie (au point s).

Proposition 6.29 *Les opérateurs de monodromie sont tous conjugués. Pour qu'il existe une solution T -périodique non-triviale de l'équation différentielle, il faut et il suffit que 1 soit valeur propre de ces opérateurs.*

Démonstration. On commence par observer que

$$R(t+T, s+T) = R(t, s)$$

pour tout $(t, s) \in \mathbb{R} \times \mathbb{R}$. (Les deux membres, vus comme fonctions de t , sont solutions du même problème de Cauchy.) Grâce à la formule de la proposition 6.4, on a donc, quels que soient t et s :

$$C(t) R(t, s) = R(t+T, s) = R(t+T, s+T) C(s) = R(t, s) C(s).$$

Par ailleurs, l'existence d'une solution périodique $u \neq 0$ équivaut à l'existence de $u_0 \neq 0$ tel que $R(T, 0) u_0 = u_0$.

Le résultat suivant montre que, en dimension finie, les équations différentielles linéaires à coefficients périodiques sont en quelque sorte conjuguées à des équations différentielles autonomes.

Théorème 6.30 (Floquet–Lyapunov) *Si X est un \mathbb{C} -espace vectoriel de dimension finie et $A \in \mathcal{C}(\mathbb{R}; \mathcal{L}(X))$ est T -périodique, il existe une application T -périodique $Q : \mathbb{R} \rightarrow \text{Isom}(X)$ et $B \in \mathcal{L}(X)$ telle que u est solution de $u' = A(t)u$ si et seulement si $t \mapsto v(t) := Q(t) u(t)$ est solution de $v' = Bv$.*

Démonstration. La dimension finie permet d'appliquer le lemme 6.32 *i)* ci-après : il existe donc $B \in \mathcal{L}(X)$ tel que $e^{TB} = C(0) = R(T, 0)$. Soit alors Q définie par $Q(t) = e^{tB} R(0, t)$. C'est un isomorphisme car e^{tB} et $R(0, t)$ en sont, et

$$Q(t+T) = e^{tB} R(T, 0) R(0, t+T) = e^{tB} R(T, t+T) = e^{tB} R(0, t) = Q(t).$$

Par ailleurs, si u est solution de $u' = A(t)u$ alors $u(t) = R(t, 0) u(0)$, et donc

$$v : t \mapsto v(t) := Q(t) R(t, 0) u(0) = e^{tB} u(0)$$

est solution de $v' = Bv$. Inversement, quel que soit $v_0 \in X$,

$$u : t \mapsto Q(t)^{-1} e^{tB} v_0 = R(t, 0) v_0$$

est solution de $u' = A(t)u$.

Remarque : Dans le cadre de ce théorème, on a inversement $u(t) = P(t)v(t)$, avec

$$P(t) = Q(t)^{-1} = R(t, 0)e^{-tB}.$$

La version réelle du théorème est le

Théorème 6.31 (Floquet-Lyapunov) *Si X est un \mathbb{R} -espace vectoriel de dimension finie et $A \in \mathcal{C}(\mathbb{R}; \mathcal{L}(X))$ est T -périodique, il existe une application $2T$ -périodique $Q : \mathbb{R} \rightarrow \text{Isom}(X)$ et $B \in \mathcal{L}(X)$ telle que u est solution de $u' = A(t)u$ si et seulement si $t \mapsto v(t) := Q(t)u(t)$ est solution de $v' = Bv$.*

Démonstration. D'après le lemme 6.32 ii), il existe $B \in \mathcal{L}(X)$ tel que

$$e^{2TB} = C(0)^2 = R(T, 0)^2.$$

On définit à nouveau Q par $Q(t) = e^{tB} R(0, t)$, qui est cette fois $2T$ -périodique car

$$\begin{aligned} Q(t+2T) &= e^{(t+2T)B} R(0, t+2T) = e^{tB} R(T, 0) R(T, t+2T) \\ &= e^{tB} R(T, t+T) = e^{tB} R(0, t) = Q(t). \end{aligned}$$

Lemme 6.32 (Inversion de l'exponentielle)

i). Pour tout $C \in \text{GL}_n(\mathbb{C})$, il existe $B \in \mathcal{M}_n(\mathbb{C})$ tel que $e^B = C$.

ii). Pour tout $C \in \text{GL}_n(\mathbb{R})$, il existe $B \in \mathcal{M}_n(\mathbb{R})$ tel que $e^B = C^2$.

Démonstration. i) Par réduction aux sous-espaces caractéristiques, on peut supposer que $C = \lambda \mathbf{I}_n + N$, où N est nilpotent d'ordre $k \leq n - 1$, c'est-à-dire que $N^k = \mathbf{0}_n$ et $N^{k-1} \neq \mathbf{0}_n$. Comme C est inversible, λ est non nul : il existe donc $\beta \in \mathbb{C}$ tel que $\lambda = e^\beta$, et l'on peut écrire

$$C = e^\beta (\mathbf{I}_n + \lambda^{-1} N).$$

Tout revient donc à trouver \tilde{B} tel que $e^{\tilde{B}} = \mathbf{I}_n + \tilde{N}$ avec $\tilde{N} := \lambda^{-1} N$ (nilpotent comme N), car alors il suffira de poser $B = \beta \mathbf{I}_n + \tilde{B}$. Désormais on omet les tildes (ce qui revient à supposer $\lambda = 1$). Par analogie avec le développement en série entière de $\ln(1+t)$ au point $t = 0$, un candidat est

$$B = \sum_{m=1}^{+\infty} \frac{(-1)^{m+1}}{m} N^m = \sum_{m=1}^k \frac{(-1)^{m+1}}{m} N^m.$$

La vérification de l'égalité $e^B = \mathbf{I}_n + N$ n'est toutefois pas immédiate. Pour cela on va utiliser quelques propriétés de l'exponentielle et notamment le fait que l'exponentielle est un difféomorphisme local en $\mathbf{0}_n$ (car $d(\exp)(\mathbf{0}_n) = \mathbf{I}_n$, voir la remarque p. 137) : il existe une boule \mathcal{V}_0 centrée en $\mathbf{0}_n$ et une boule \mathcal{V}_1 centrée en \mathbf{I}_n telles que pour tout $C_1 \in \mathcal{V}_1$ il existe un unique $M \in \mathcal{V}_0$ tel que $C_1 = e^M$. (Ceci résout notre problème lorsque la matrice N est « petite ».) On va de plus montrer que l'exponentielle réalise un homéomorphisme de l'ensemble des matrices nilpotentes d'ordre k , que l'on note \mathcal{N}_k , sur l'ensemble $\mathbf{I}_n + \mathcal{N}_k$. La bijection réciproque sera bien sûr celle qu'on attend, à savoir :

$$\text{Log}_k : C \mapsto \sum_{m=1}^k \frac{(-1)^{m-1}}{m} (C - \mathbf{I}_n)^m.$$

Montrons tout d'abord que le difféomorphisme local réciproque de l'exponentielle est

$$\text{Log} : C \mapsto \sum_{m=1}^{+\infty} \frac{(-1)^{m+1}}{m} (C - \mathbf{I}_n)^m.$$

On a $\text{Log}(e^{\mathbf{0}_n}) = \text{Log}(\mathbf{I}_n) = \mathbf{0}_n$. De plus, pour tout $B \in \mathcal{V}_0$ et pour tout $t \in [0, 1]$:

$$\begin{aligned} \frac{d}{dt} \text{Log}(e^{tB}) &= \sum_{m=1}^k (-1)^{m-1} (e^{tB} - \mathbf{I}_n)^{m-1} e^{tB} B = \\ &= \sum_{m=0}^{+\infty} (\mathbf{I}_n - e^{tB})^m e^{tB} B = B. \end{aligned}$$

Donc $\text{Log}(e^B) = B$. On en déduit que pour tout $M \in \mathcal{V}_1$, $e^{\text{Log}(M)} = M$. Cette formule se traduit en particulier, pour $M \in \mathcal{V}_1 \cap (\mathbf{I}_n + \mathcal{N}_k)$, par

$$e^{\text{Log}_k(M)} = M.$$

Soit $N \in \mathcal{N}_k$. L'application $t \mapsto e^{\text{Log}_k(\mathbf{I}_n + tN)} - \mathbf{I}_n - tN$ est polynômiale (car l'application $t \mapsto \text{Log}_k(\mathbf{I}_n + tN)$ est polynômiale et à valeurs dans \mathcal{N}_k , donc il ne reste qu'un nombre fini de termes lorsqu'on compose par l'exponentielle), et nulle au voisinage de 0. Elle est donc identiquement nulle. En particulier,

$$e^{\text{Log}_k(\mathbf{I}_n + N)} = \mathbf{I}_n + N.$$

ii) Ce cas se traite par réduction sous forme de *Jordan* de C^2 , dont toutes les valeurs propres réelles sont positives, voir par exemple [4, p. 163] pour les détails.

Théorème 6.33 « spectral mapping theorem » Soit $\mathbb{K} = \mathbb{R}$ ou \mathbb{C} . Si $C \in \mathbf{GL}_n(\mathbb{K})$ s'écrit $C = e^B$, alors les valeurs propres de C coïncident avec les exponentielles des valeurs propres de B , avec les mêmes multiplicités.

Ce résultat se démontre par récurrence sur n , en réduisant B à une forme triangulaire par blocs où le premier bloc est simplement λ , une valeur propre de B , de sorte que e^B a la même forme avec e^λ comme premier bloc.

Définition 6.34 Les valeurs propres des opérateurs de monodromie sont appelées multiplicateurs caractéristiques. Un nombre μ tel que $e^{\mu T}$ soit un multiplicateur caractéristique est appelé exposant de Floquet.

Grâce aux théorèmes 6.30 et 6.33, la proposition 6.12 implique le

Théorème 6.35 Si $A \in \mathcal{C}(\mathbb{R}; \mathbb{R}^n)$ est périodique, une condition nécessaire et suffisante pour que toutes les solutions de $u' = A(t)u$ soient bornées sur \mathbb{R}^+ est que les multiplicateurs caractéristiques soient tous de module inférieur ou égal à 1 et ceux de module 1 soient semi-simples. Toutes les solutions tendent vers 0 en $+\infty$ si et seulement si les multiplicateurs caractéristiques sont tous de module strictement inférieur à 1.

Proposition 6.36 Si $A \in \mathcal{C}(\mathbb{R}; X)$ et $b \in \mathcal{C}(\mathbb{R}; X)$ sont périodiques de même période T , si 1 n'est pas dans le spectre des opérateurs de monodromie de l'équation homogène (6.3), l'équation avec terme source (6.1) admet au moins une solution T -périodique.

Démonstration. Soit R la résolvante de l'équation homogène. D'après la formule de Duhamel, toute solution de l'équation avec terme source vérifie

$$u(T) = R(T, 0)u(0) + \int_0^T R(T, s)b(s) ds.$$

Si l'opérateur $\text{Id}_X - R(T, 0)$ est inversible, il existe un unique $u_0 \in X$ tel que

$$(\text{Id}_X - R(T, 0))u_0 = \int_0^T R(T, s)b(s) ds.$$

La solution du problème de Cauchy de donnée initiale u_0 en $t = 0$ vérifie donc $u(T) = u(0)$. Ceci suffit à prouver qu'elle est T -périodique, car sa translatée $t \mapsto u(t + T)$ est solution du même problème de Cauchy. Notons que lorsque $b \equiv 0$, la solution « périodique » ainsi trouvée est en fait identiquement nulle.

Théorème 6.37 Soient $A \in \mathcal{C}(\mathbb{R}; X)$ et $b \in \mathcal{C}(\mathbb{R}; X)$ des applications T -périodiques, avec X de dimension finie. Pour que l'équation (6.1) admette une solution T -périodique, il suffit qu'elle admette une solution bornée sur \mathbb{R}^+ .

Démonstration. Soit P l'application affine définie par

$$P(v) = R(T, 0) \left(v + \int_0^T R(0, s) b(s) ds \right),$$

où R est la résolvante de l'équation homogène (6.3). Toute solution u de l'équation avec terme source vérifie d'après la formule de Duhamel (itérée), pour tout $n \in \mathbb{N}$, $u(nT) = P^n(u_0)$ où $u_0 = u(0)$. Donc s'il existe une solution bornée, c'est qu'il existe $u_0 \in X$ tel que la suite $P^n(u_0)$ soit bornée. On va raisonner par l'absurde et montrer que la non-existence de solutions périodiques empêche $P^n(u_0)$ d'être bornée. S'il n'y a pas de solution périodique c'est que l'opérateur P n'a pas de point fixe. Autrement dit, le vecteur $y := R(T, 0) \int_0^T R(0, s) b(s) ds$ n'appartient pas à $E := \text{Im}(\text{Id}_X - R(T, 0))$, qui est fermé puisqu'on a supposé l'espace de dimension finie. Donc il existe $\varphi \in E^\perp$ tel que $\varphi(y) \neq 0$ (sinon on aurait $y \in (E^\perp)^\perp = \overline{E} = E$). Par construction, cela implique

$$\varphi(v - R(T, 0)v) = 0 \quad \text{pour tout } v \in X,$$

c'est-à-dire $\varphi(v) = \varphi(R(T, 0)v)$ et donc $\varphi(v) = \varphi(R(T, 0)^n v)$ pour tout entier n . Une récurrence immédiate montre alors que

$$P^n(v) = R(T, 0)^n v + \sum_{k=0}^{n-1} R(T, 0)^k y.$$

On en déduit $\varphi(P^n(v)) = \varphi(v) + n \varphi(y)$, ce qui n'est pas borné puisque $\varphi(y) \neq 0$.

En dimension infinie, la même démonstration fonctionne, à condition de *supposer* $\text{Im}(\text{Id}_X - R(T, 0))$ fermé.

EXERCICES

Exercice 6.1 Résoudre les problèmes de Cauchy suivants

$$\begin{cases} \frac{dx}{dt} = 5x - 6y, & x(0) = 1, \\ \frac{dy}{dt} = 3x - 4y, & y(0) = 0, \end{cases} \quad \begin{cases} \frac{dx}{dt} = 2x - y, & x(0) = 1, \\ \frac{dy}{dt} = x + 2y, & y(0) = 1, \end{cases}$$

$$\begin{cases} \frac{dx}{dt} = 2x, & x(0) = 1, \\ \frac{dy}{dt} = 3y, & y(0) = 1, \\ \frac{dz}{dt} = y + z, & z(0) = 1, \end{cases} \quad \begin{cases} \frac{dx}{dt} = x, & x(0) = 1, \\ \frac{dy}{dt} = x + y, & y(0) = 1, \\ \frac{dz}{dt} = y + z, & z(0) = 1. \end{cases}$$

Exercice 6.2 Soient $A \in \mathcal{M}_n(\mathbb{R})$ et $B \in \mathcal{C}(\mathbb{R}^+; \mathcal{M}_n(\mathbb{R}))$. On suppose que A a toutes ses valeurs propres de partie réelle strictement négative, et que $\lim_{t \rightarrow +\infty} \|B(t)\| = 0$. Démontrer que toutes les solutions maximales du système linéaire $x' = (A + B(t))x$ tendent vers 0 lorsque t tend vers $+\infty$.

Application : trouver des conditions sur le paramètre $a \in \mathbb{R}$ assurant que les solutions du système

$$\begin{cases} x' = e^{-t} x + \frac{t^2}{t^2+1} y + e^{-t} z, \\ y' = \frac{\sin t}{t} x + (1 + e^{-t}) z, \\ z' = (2 - a)(e^{-t} - 1)x - y - a \frac{t^3}{1+t^3} z, \end{cases}$$

tendent vers 0 en $+\infty$.

Exercice 6.3 Soient $A \in \mathcal{M}_n(\mathbb{R})$, $B \in \mathcal{C}(\mathbb{R}^+; \mathcal{M}_n(\mathbb{R}))$, $f \in \mathcal{C}(\mathbb{R}^+; \mathbb{R}^n)$. On suppose que l'application $t \mapsto e^{tA}$ est bornée sur \mathbb{R}^+ , et que

$$\int_0^{+\infty} \|B(s)\| ds < +\infty, \quad \int_0^{+\infty} \|f(s)\| ds < +\infty.$$

- i). Démontrer que toutes les solutions (maximale) du système $x' = (A + B(t))x + f(t)$ sont bornées.
- ii). Démontrer que toutes les solutions maximales de $x' = B(t)x$ ont une limite finie en $+\infty$.

iii). On suppose maintenant que e^{tA} est bornée pour $t \in \mathbb{R}$. Montrer que pour toute solution maximale de $x' = (A + B(t))x$, l'application $y : t \mapsto e^{-tA}x(t)$ a une limite en $+\infty$.

iv). *Application* : Soit $q : \mathbb{R}^+ \rightarrow \mathbb{R}$ continue telle que $\int_0^{+\infty} |q(t)| dt < \infty$ et x une solution de

$$x'' + (1 + q(t))x = 0.$$

Montrer qu'il existe $\alpha, \beta \in \mathbb{R}$ tels que $\lim_{t \rightarrow +\infty} x(t) - \alpha \cos t - \beta \sin t = 0$.

Exercice 6.4 Soit $B \in \mathcal{C}(\mathbb{R}; \mathcal{M}_n(\mathbb{R}))$ tel que $\int_{-\infty}^{+\infty} \|B(s)\| ds < +\infty$. On pose $\Delta(t, s) := \det(R(t, s))$, où R est la résolvante du système $u' = B(t)u$. Montrer qu'il existe $\delta > 0$ tel que $\Delta(t, s) \geq \delta$ quels que soient t et $s \in \mathbb{R}$.

Exercice 6.5 Soit $f \in \mathcal{C}(\mathbb{R}; \mathbb{R})$ une application T -périodique (avec $T > 0$). Trouver $b \in \mathbb{R}$ et $q \in \mathcal{C}(\mathbb{R}; \mathbb{R}^{+*})$ une application T -périodique telle que u est solution de $u' = f(t)u$ si et seulement si $v : t \mapsto q(t)u(t)$ est solution de $v' = bv$.

Exercice 6.6 On considère le système $u' = A(t)u$ avec

$$A(t) := \begin{pmatrix} \cos t & \sin t \\ -\sin t & \cos t \end{pmatrix}.$$

Les solutions sont-elles bornées sur \mathbb{R}^+ ? sur \mathbb{R}^- ? sur \mathbb{R} ? Même question avec

$$A(t) := \begin{pmatrix} \cos t & \sin t \\ \sin t & -\cos t \end{pmatrix}.$$

Exercice 6.7 Soit $f : \mathbb{R} \rightarrow \mathbb{R}$ une fonction continue bornée. On considère l'équation différentielle scalaire du second ordre

$$\frac{d^2x}{dt^2} - x = f(t).$$

i). Montrer que cette équation admet *au plus* une solution bornée sur \mathbb{R} . On se propose de calculer cette solution.

ii). Écrire l'équation sous forme d'un système $u' = Au + F(t)$ avec $A \in \mathcal{M}_2(\mathbb{R})$ et $F : \mathbb{R} \rightarrow \mathbb{R}^2$ continue, calculer e^{tA} et en déduire que toute solution de l'équation de départ s'écrit sous la forme

$$x(t) = ae^t + be^{-t} + \int_0^t \operatorname{sh}(t - \tau)f(\tau)d\tau, \forall t \in \mathbb{R}.$$

iii). On fixe $L > 0$. Trouver a_L et b_L pour que $x(L) = x(-L) = 0$. Montrer que les coefficients a_L et b_L ont des limites quand $L \rightarrow \infty$. En déduire que l'unique solution bornée cherchée s'écrit

$$x(t) = -\frac{1}{2} \left(\int_{-\infty}^t e^{s-t} f(s) ds + \int_t^{\infty} e^{t-s} f(s) ds \right).$$

SOLUTION DES EXERCICES

Exercice 6.1 Deux approches sont possibles. La plus algébrique consiste à réduire les matrices impliquées. Par exemple,

$$A = \begin{pmatrix} 5 & -6 \\ 3 & -4 \end{pmatrix}$$

est diagonalisable sur \mathbb{R} :

$$A = P D P^{-1}, \quad P = \begin{pmatrix} 1 & 2 \\ 1 & 1 \end{pmatrix}, \quad P^{-1} = \begin{pmatrix} -1 & 2 \\ 1 & -1 \end{pmatrix}, \quad D = \begin{pmatrix} -1 & 0 \\ 0 & 2 \end{pmatrix},$$

d'où

$$e^{tA} = P \begin{pmatrix} e^{-t} & 0 \\ 0 & e^{2t} \end{pmatrix} P^{-1},$$

et en particulier

$$e^{tA} \begin{pmatrix} 1 \\ 0 \end{pmatrix} = P \begin{pmatrix} e^{-t} & 0 \\ 0 & e^{2t} \end{pmatrix} \begin{pmatrix} -1 \\ 1 \end{pmatrix} = \begin{pmatrix} -e^{-t} + 2e^{2t} \\ -e^{-t} + e^{2t} \end{pmatrix}.$$

Une approche plus analytique utilise la transformation de *Laplace* (définie dans l'appendice, p. 302), qui vérifie la propriété $\mathcal{L}[f'](s) = s \mathcal{L}[f](s) - f(0)$. Sur le même problème de Cauchy que précédemment, on obtient par transformation de Laplace le système algébrique pour $(X, Y) := (\mathcal{L}[x], \mathcal{L}[y])$:

$$\begin{cases} (s - 5)X(s) + 6Y(s) = 1, \\ -3X(s) + (s + 4)Y(s) = 0, \end{cases}$$

qui se résout en

$$\begin{cases} X(s) = \frac{s+4}{s^2-s-2} = -\frac{1}{s+1} + \frac{2}{s-2}, \\ Y(s) = \frac{3}{s^2-s-2} = -\frac{1}{s+1} + \frac{1}{s-2}. \end{cases}$$

On en déduit alors par transformation de Laplace inverse, sachant que pour tout réel a , la fonction $s \mapsto 1/(s-a)$ est la transformée de Laplace de la fonction $t \mapsto e^{at}$,

$$\begin{cases} x(t) = -e^{-t} + 2e^{2t}, \\ y(t) = -e^{-t} + e^{2t}. \end{cases}$$

Voyons maintenant le deuxième problème de Cauchy. La matrice

$$A = \begin{pmatrix} 2 & -1 \\ 1 & 2 \end{pmatrix}$$

ayant pour valeurs propres $2 \pm i$, elle est diagonalisable sur \mathbb{C} mais pas sur \mathbb{R} . Cependant elle est déjà sous une forme permettant de calculer facilement son exponentielle (voir §6.3.1). On a

$$e^{tA} = e^{2t} \begin{pmatrix} \cos t & -\sin t \\ \sin t & \cos t \end{pmatrix}$$

et la solution cherchée est

$$e^{tA} \begin{pmatrix} 1 \\ 1 \end{pmatrix} = e^{2t} \begin{pmatrix} \cos t - \sin t \\ \sin t + \cos t \end{pmatrix}.$$

La résolution de ce problème par transformation de Laplace se déroule comme suit. Le système algébrique est

$$\begin{cases} (s-2)X(s) + Y(s) = 1, \\ -X(s) + (s-2)Y(s) = 1, \end{cases}$$

qui se résout en

$$\begin{cases} X(s) = \frac{(s-2)-1}{(s-2)^2+1}, \\ Y(s) = \frac{(s-2)+1}{(s-2)^2+1}. \end{cases}$$

On retrouve la solution obtenue ci-dessus par transformation de Laplace inverse, sachant que pour toute fonction f , $\mathcal{L}[fe^{at}](s) = \mathcal{L}[f](s-a)$, et que les fonctions $s \mapsto s/(s^2+a^2)$ et $s \mapsto a/(s^2+a^2)$ sont respectivement les transformées de Laplace de $t \mapsto \cos(at)$ et de $t \mapsto \sin(at)$.

Le troisième problème de Cauchy se résout « à vue », les équations sur x et y étant découplées de celle sur z . On obtient $x(t) = e^{2t}$, $y(t) = e^{3t}$, $z(t) = (e^t + e^{3t})/2$. Il est normal d'obtenir des combinaisons linéaires des fonctions exponentielles $t \mapsto e^t$, e^{2t} et e^{3t} car la matrice triangulaire inférieure

$$\begin{pmatrix} 2 & 0 & 0 \\ 0 & 3 & 0 \\ 0 & 1 & 1 \end{pmatrix}$$

a comme valeurs propres 1, 2 et 3, et elle est par conséquent diagonalisable. En revanche

$$\begin{pmatrix} 1 & 0 & 0 \\ 1 & 1 & 0 \\ 0 & 1 & 1 \end{pmatrix}$$

est une matrice de *Jordan*, non diagonalisable : on s'attend donc à un facteur polynômial dans la solution du dernier problème de Cauchy ; celle-ci s'obtient également à vue en calculant successivement $x(t) = e^t$, $y(t) = (1 + t)e^t$, $z(t) = (1 + t + t^2/2)e^t$.

Exercice 6.2 Rappelons que les solutions maximales sont globales pour tout système linéaire et en particulier pour $x' = (A + B(t))x$. De plus, d'après la formule de Duhamel, pour toute solution x , pour tous $t_0, t \in \mathbb{R}^+$,

$$x(t) = e^{(t-t_0)A}x(t_0) + \int_{t_0}^t e^{(t-s)A}B(s)x(s) ds .$$

Or d'après la proposition 6.14, il existe $b > 0$ et $\beta > 0$ tels que pour tout $t \geq 0$, $\|e^{tA}\| \leq be^{-\beta t}$. Donc pour $t_0 \leq t$,

$$\|x(t)\| \leq b e^{-\beta t} \left(e^{\beta t_0} \|x(t_0)\| + \int_{t_0}^t e^{\beta s} \|B(s)\| \|x(s)\| ds \right) .$$

Soit $\varepsilon \in]0, \beta[$. D'après l'hypothèse sur B , il existe $t_0 > 0$ tel que pour tout $t \geq t_0$, $\|B(t)\| \leq \varepsilon$, et donc

$$e^{\beta t} \|x(t)\| \leq b \left(e^{\beta t_0} \|x(t_0)\| + \varepsilon \int_{t_0}^t e^{\beta s} \|x(s)\| ds \right) .$$

Grâce au lemme de Gronwall appliqué à la fonction $u : t \mapsto e^{\beta t} \|x(t)\|$, qui vérifie l'inégalité intégrale

$$u(t) \leq b \left(u(t_0) + \varepsilon \int_{t_0}^t u(s) ds \right) ,$$

on obtient (après intégration de l'inégalité différentielle vérifiée par $t \mapsto \int_{t_0}^t u(s) ds$) la majoration $u(t) \leq b u(t_0) e^{\varepsilon t}$, d'où

$$\|x(t)\| \leq b e^{\beta t_0} \|x(t_0)\| e^{-(\beta-\varepsilon)t} \longrightarrow 0$$

lorsque $t \rightarrow +\infty$.

Soient

$$A = \begin{pmatrix} 0 & 1 & 0 \\ 0 & 0 & 1 \\ -(2-a) & -1 & -a \end{pmatrix}, \quad B(t) = \begin{pmatrix} e^{-t} & \frac{t^2}{t^2+1} - 1 & e^{-t} \\ \frac{\sin t}{t} & 0 & e^{-t} \\ (2-a)e^{-t} & 0 & a - a \frac{t^3}{1+t^3} \end{pmatrix} .$$

On a $\lim_{t \rightarrow +\infty} \|B\| = 0$, et les valeurs propres de A sont -1 et les racines de $X^2 + (a-1)X + 2-a$. Celles-ci sont toutes deux de parties réelles strictement négatives

si et seulement si $1 < a < 2$ (leur somme $1 - a$ doit être strictement négative, et leur produit $2 - a$ strictement positif ; noter qu'elles sont réelles si $a \notin]-1 - 2\sqrt{2}, -1 + 2\sqrt{2}[$ et que $1 < -1 + 2\sqrt{2} < 2$). Dans ce cas la première partie montre que les solutions de $u' = (A + B(t))u$ tendent vers 0 en $+\infty$.

Exercice 6.3

- i). Comme dans l'exercice précédent, la démonstration repose sur la formule de Duhamel. Si M est un majorant de $\|e^{tA}\|$ pour $t \in \mathbb{R}^+$ (on renvoie à la proposition 6.12 pour la caractérisation de l'existence d'un tel majorant), on a pour toute solution de $x' = (A + B(t))x + f(t)$ et pour tout $t \geq 0$,

$$\|x(t)\| \leq M \left(\|x(0)\| + \int_0^t (\|B(s)\| \|x(s)\| + \|f(s)\|) ds \right).$$

Si l'on note $u(t) = \|x(t)\|$, $F(t) = \int_0^t \|f(s)\| ds$ et $\beta(t) := \int_0^t \|B(s)\| ds$ (ces primitives étant bornées par hypothèse), on a pour tout $t \geq 0$,

$$u(t) \leq M(u(0) + F(t)) + M \int_0^t \beta'(s) u(s) ds.$$

D'après le lemme de Gronwall (sous la forme donnée dans la remarque p. 140), ceci implique que pour tout $t \geq 0$,

$$u(t) \leq M u(0) e^{M\beta(t)} + M \int_0^t F'(s) e^{M(\beta(t) - \beta(s))} ds.$$

En retournant aux notations de départ, ceci montre que pour tout $t \geq 0$,

$$\|x(t)\| \leq M e^{M \int_0^{+\infty} \|B(s)\| ds} \left(\|x(0)\| + \int_0^{+\infty} \|f(s)\| ds \right).$$

- ii). D'après la question précédente appliquée à $A = 0$ et $f \equiv 0$, les solutions maximales de $x' = B(t)x$ sont bornées. De plus, on sait que les solutions maximales sont globales, c'est-à-dire définies sur \mathbb{R}^+ , et si x est une telle solution, quels que soient t et $s \in \mathbb{R}^+$ avec $s \leq t$,

$$x(t) - x(s) = \int_s^t B(\tau)x(\tau) d\tau,$$

d'où, si C est un majorant de $\|x(\tau)\|$ pour $\tau \in \mathbb{R}^+$,

$$\|x(t) - x(s)\| \leq C \int_s^t \|B(\tau)\| d\tau,$$

ce qui tend vers 0 lorsque t et s tendent vers $+\infty$ puisque $\int_0^{+\infty} \|B(\tau)\| d\tau < +\infty$. Donc x satisfait le critère de Cauchy en $+\infty$: ceci implique qu'elle a une limite finie.

iii). Si x est une solution maximale de $x' = (A + B(t))x$, l'application $y : t \mapsto e^{-tA}x(t)$ est solution de $y' = e^{-tA} B(t)e^{tA} y$. (On a utilisé ici le fait que e^{-tA} et A commutent.) Si M' est une majorant de $\|e^{tA}\|$ pour $t \in \mathbb{R}$, on a

$$\int_0^{+\infty} \|e^{-\tau A} B(\tau) e^{\tau A}\| d\tau \leq (M')^2 \int_0^{+\infty} \|B(\tau)\| d\tau < +\infty,$$

donc la question précédente s'applique à l'équation $y' = e^{-tA} B(t)e^{tA} y$, et par conséquent y a une limite finie en $+\infty$.

iv). Toute solution de $x'' + (1 + q(t))x = 0$ est telle que $t \mapsto (x(t), x'(t))^t$ est solution du système $X' = (A + B(t))X$ avec

$$A = \begin{pmatrix} 0 & 1 \\ -1 & 0 \end{pmatrix}, \quad B(t) = \begin{pmatrix} 0 & 0 \\ -q(t) & 0 \end{pmatrix}.$$

Or

$$e^{tA} = \begin{pmatrix} \cos t & \sin t \\ -\sin t & \cos t \end{pmatrix}$$

est bornée pour $t \in \mathbb{R}$. Donc la question précédente s'applique : $Y(t) = e^{-tA} X(t)$ a une limite finie $(\alpha, \beta)^t$, et puisque e^{tA} est bornée, on en déduit que $X(t) - e^{tA}(\alpha, \beta)^t$ tend vers 0, et en particulier que sa première composante, $x(t) - \alpha \cos t - \beta \sin t$ tend vers 0.

Exercice 6.4 La formule de Liouville donne

$$\Delta(t, s) = e^{\int_s^t \text{tr}(B(\tau)) d\tau} = e^{\text{tr}(\int_s^t B(\tau) d\tau)}.$$

Or la trace est une application linéaire, donc continue, sur l'espace de dimension finie $\mathcal{M}_n(\mathbb{R})$, donc il existe $C > 0$ tel que, pour tout $A \in \mathcal{M}_n(\mathbb{R})$, $|\text{tr}(A)| \leq C \|A\|$. Comme

$$\left\| \int_s^t B(\tau) d\tau \right\| \leq \int_s^t \|B(\tau)\| d\tau$$

on a donc

$$e^{-C \int_s^t \|B(\tau)\| d\tau} \leq \Delta(t, s) \leq e^{C \int_s^t \|B(\tau)\| d\tau},$$

et par suite,

$$e^{-C \int_{-\infty}^{+\infty} \|B(\tau)\| d\tau} \leq \Delta(t, s) \leq e^{C \int_{-\infty}^{+\infty} \|B(\tau)\| d\tau}.$$

Exercice 6.5 Comme dans le théorème 6.30, on cherche b et q tels que $e^{Tb} = R(T, 0)$ et $q(t) = e^{tb} R(0, t)$. Or pour les équations scalaires on connaît explicitement la résolvante : $R(t, s) = e^{\int_s^t f(\tau) d\tau}$. Donc $b = \frac{1}{T} \int_0^T f(\tau) d\tau$ et $q(t) = e^{tb - \int_0^t f(\tau) d\tau} = e^{\int_0^t (b - f(\tau)) d\tau}$.

Exercice 6.6 Si

$$\begin{cases} x' = x \cos t + y \sin t, \\ y' = -x \sin t + y \cos t, \end{cases}$$

alors $xx' + yy' = (x^2 + y^2) \cos t$, c'est-à-dire que $r(t) := \sqrt{x(t)^2 + y(t)^2}$ vérifie l'équation scalaire $r' = r \cos t$, qui s'intègre à vue en $r(t) = r(0) e^{\sin t}$. Les solutions du système ci-dessus sont donc bornées sur \mathbb{R} . (On peut même terminer de les calculer en coordonnées polaires : en posant $x = r \cos \theta$ et $y = r \sin \theta$ on trouve que $\theta' = (xy' - yx')/r^2 = -\sin t$, d'où $\theta = \cos t$ à une constante près et $x = x(0) e^{\sin t} \cos \cos t$, $y(t) = y_1 e^{\sin t} \sin \cos t$ avec $y_1 = y(0)/\sin(1)$.)

Si maintenant

$$\begin{cases} x' = x \cos t + y \sin t, \\ y' = x \sin t - y \cos t, \end{cases}$$

on va trouver explicitement une matrice $B \in \mathcal{M}_2(\mathbb{R})$ et $Q : \mathbb{R} \rightarrow \text{GL}_2(\mathbb{R})$ une application 4π -périodique telles que (comme dans le théorème 6.31) $u = (x, y)^t$ est solution de $u' = A(t)u$ si et seulement si $t \mapsto v(t) := Q(t)u(t)$ est solution de $v' = Bv$. Pour cela on remarque que la matrice

$$A(t) = \begin{pmatrix} \cos t & \sin t \\ \sin t & -\cos t \end{pmatrix}$$

est diagonalisable dans la base orthonormée constituée des vecteurs propres

$$e_1(t) := \begin{pmatrix} \cos t/2 \\ \sin t/2 \end{pmatrix}, \quad e_2(t) := \begin{pmatrix} -\sin t/2 \\ \cos t/2 \end{pmatrix},$$

associés aux valeurs propres constantes respectivement égales à 1 et à -1 . (Pour obtenir ces vecteurs propres sans calcul, il suffit d'observer que $A(t)$ est la matrice de la rotation d'angle t composée avec la symétrie par rapport à l'axe des x .) On constate de plus que $2e_1' = e_2$ et $2e_2' = -e_1$. Par suite, si l'on décompose une solution du système $u' = A(t)u$ en $u(t) = x_1(t)e_1(t) + x_2(t)e_2(t)$, on voit que (x_1, x_2) doit être solution du système à coefficients constants :

$$\begin{cases} x_1' = x_1 + \frac{1}{2}x_2, \\ x_2' = -\frac{1}{2}x_1 - x_2. \end{cases}$$

Autrement dit on a la réduction de Floquet annoncée avec

$$B := \begin{pmatrix} 1 & 1/2 \\ -1/2 & -1 \end{pmatrix} \quad \text{et} \quad Q(t) = \begin{pmatrix} e_1(t)^t \\ e_2(t)^t \end{pmatrix} = \begin{pmatrix} \cos t/2 & \sin t/2 \\ -\sin t/2 & \cos t/2 \end{pmatrix}.$$

La matrice B a pour valeurs propres $\pm\sqrt{3}/2$. En particulier $t \mapsto v_+(t) := e^{t\sqrt{3}/2}(1, \sqrt{3} - 2)^t$ est une solution non bornée sur \mathbb{R}^+ de $v' = Bv$, et donc (comme

$Q(t)$ est orthogonale), l'application $u_+ : t \mapsto Q(t)v_+(t)$ est une solution non bornée de $u' = A(t)u$. De la même façon, $t \mapsto v_-(t) := e^{-t\sqrt{3}/2}(1, -\sqrt{3} - 2)^t$ fournit une solution non bornée sur \mathbb{R}^- .

Exercice 6.7

- i). Si on avait deux solutions bornées, leur différence serait une solution bornée de l'équation homogène $x'' - x = 0$. Or les solutions de cette équation sont de la forme $x(t) = ae^t + be^{-t}$: aucune solution non identiquement nulle n'est bornée sur \mathbb{R} .
- ii). Une application x est solution de l'équation $x'' - x = f(t)$ si et seulement si $t \mapsto (x, x')^t$ est solution de $u' = Au + F(t)$ avec

$$A = \begin{pmatrix} 0 & 1 \\ 1 & 0 \end{pmatrix}, \quad F(t) = \begin{pmatrix} 0 \\ f(t) \end{pmatrix}.$$

On calcule e^{tA} simplement en remarquant que $A^2 = \text{Id}_2$, d'où (en revenant à la définition de $e^A = \sum A^n/n!$) :

$$e^{tA} = \begin{pmatrix} \text{cht} & \text{sh}t \\ \text{sh}t & \text{cht} \end{pmatrix}.$$

Par suite, la formule de Duhamel

$$u(t) = e^{tA} u(0) + \int_0^t e^{(t-s)A} F(s) ds$$

se traduit par (sur la première composante de u) : et en déduire que toute solution de l'équation de départ s'écrit sous la forme

$$x(t) = x(0)\text{cht} + x'(0)\text{sh}t + \int_0^t \text{sh}(t - \tau)f(\tau)d\tau.$$

Et bien sûr on peut aussi écrire $x(0)\text{cht} + x'(0)\text{sh}t = ae^t + be^{-t}$, avec $a = (x(0) + x'(0))/2$ et $a = (x(0) - x'(0))/2$.

- iii). Pour que

$$t \mapsto x(t) = a_L e^t + b_L e^{-t} + \int_0^t \text{sh}(t - \tau)f(\tau)d\tau.$$

vérifie $x(L) = x(-L) = 0$ il faut et il suffit que

$$\begin{cases} a_L e^L + b_L e^{-L} = - \int_0^L \text{sh}(L - \tau)f(\tau)d\tau, \\ a_L e^{-L} + b_L e^L = \int_{-L}^0 \text{sh}(-L - \tau)f(\tau)d\tau, \end{cases}$$

d'où

$$\left\{ \begin{array}{l} a_L = -\frac{1}{2\text{sh}2L} \left(e^L \int_0^L \text{sh}(L-\tau) f(\tau) d\tau + e^{-L} \int_{-L}^0 \text{sh}(-L-\tau) f(\tau) d\tau \right) \\ \quad = -\frac{1}{2\text{sh}2L} \int_0^L \text{sh}(L-\tau) (e^L f(\tau) - e^{-L} f(-\tau)) d\tau, \\ b_L = \frac{1}{2\text{sh}2L} \left(e^{-L} \int_0^L \text{sh}(L-\tau) f(\tau) d\tau + e^L \int_{-L}^0 \text{sh}(-L-\tau) f(\tau) d\tau \right) \\ \quad = \frac{1}{2\text{sh}2L} \int_0^L \text{sh}(L-\tau) (e^{-L} f(\tau) - e^L f(-\tau)) d\tau. \end{array} \right.$$

On observe que

$$\frac{e^L \text{sh}(L-\tau)}{\text{sh}2L} = \frac{e^{-\tau} - e^{\tau-2L}}{1 - e^{-4L}} \rightarrow e^{-\tau}$$

lorsque $L \rightarrow +\infty$, avec la majoration uniforme pour $t \in [0, L]$ et $L \geq 1$.

$$\left| \frac{e^L \text{sh}(L-\tau)}{\text{sh}2L} \right| \leq \frac{e^{-\tau}}{1 - e^{-4}}$$

Par le théorème de convergence dominée de Lebesgue (la fonction f étant bornée par hypothèse) on en déduit

$$\left\{ \begin{array}{l} \lim_{L \rightarrow +\infty} a_L = -\frac{1}{2} \int_0^{+\infty} e^{-\tau} f(\tau) d\tau, \\ \lim_{L \rightarrow +\infty} b_L = -\frac{1}{2} \int_0^{+\infty} e^{-\tau} f(-\tau) d\tau = -\frac{1}{2} \int_{-\infty}^0 e^{\tau} f(\tau) d\tau \end{array} \right.$$

Par suite, la solution x_L s'annulant en $\pm L$, définie par

$$x_L(t) = a_L e^t + b_L e^{-t} + \frac{1}{2} \int_0^t (e^{t-\tau} - e^{\tau-t}) f(\tau) d\tau,$$

a pour limite lorsque $L \rightarrow +\infty$:

$$x(t) = -\frac{1}{2} \left(\int_{-\infty}^t e^{s-t} f(s) ds + \int_t^{\infty} e^{t-s} f(s) ds \right).$$

On vérifie aisément que c'est une solution de $x'' - x = f(t)$, et que pour tout $t \in \mathbb{R}$, $|x(t)| \leq \sup_{\tau \in \mathbb{R}} |f(\tau)|$.

Chapitre 7

Équations autonomes

On revient désormais à des équations non-linéaires *autonomes*, c'est-à-dire de la forme

$$\frac{du}{dt} = f(u). \quad (7.1)$$

où f est une fonction de classe \mathcal{C}^1 sur un ouvert U d'un espace de Banach E dans E . Comme on l'a observé plus haut (voir la remarque p. 143), quitte à considérer une équation augmentée, on peut toujours se ramener du point de vue théorique à une équation autonome. Cependant, même en dimension finie, il n'y a aucune méthode générale pour calculer les solutions de (7.1) lorsque f est arbitraire. C'est pourquoi ce chapitre aborde l'*analyse qualitative* de (7.1), essentielle dans les applications. Citons pour s'en convaincre l'excellent article de C.K.R.T. Jones [17] en 2001 : « *It will be a significant challenge to us, as mathematicians, in the immediate future to convince applied scientists and engineers to shed their perceived psychological security found in generating explicit solutions. The replacement by the companion approaches of computational solutions, and a (global) qualitative analysis of the behavior of the system supply the same level of information and this latter approach is much more widely applicable.* » L'approche qualitative n'est pourtant pas récente puisqu'elle trouve ses origines dans les travaux de Poincaré à la fin du XIX^{ème} siècle (et a conduit au développement de la théorie des *systèmes dynamiques* en géométrie). Elle consiste, au lieu de s'intéresser à la solution de (7.1) pour une donnée initiale fixée, à considérer les courbes décrites par les solutions de (7.1) dans leur ensemble. L'objet central d'étude devient géométrique : c'est la fonction f vue comme un *champ de vecteurs* dans E (qu'il soit de dimension finie ou non).

7.1 COURBES INTÉGRALES

Définition 7.1 Les trajectoires des solutions maximales de (7.1), c'est-à-dire les courbes dans E de la forme $\{u(t); t \in J\}$ où $u \in \mathcal{C}^1(J; U)$ est une solution maximale de (7.1), sont appelées courbes intégrales du champ de vecteurs f .

Il est important de noter que, d'après la partie unicité du théorème de Cauchy-Lipschitz (théorème 5.5 et lemme 5.6), les courbes intégrales d'un champ de vecteurs sont deux à deux disjointes.

Par définition, en tout point $u(t)$ d'une courbe intégrale, le vecteur $f(u(t)) = u'(t)$ est *tangent* à $u(t)$. En outre, il s'avère que les courbes intégrales dépendent seulement de la direction du champ de vecteurs : comme le montre le résultat suivant, la norme du vecteur $f(u_0)$ n'a pas d'influence sur la courbe intégrale de f passant par le point u_0 .

Proposition 7.2 Soit $\lambda \in \mathcal{C}^1(U; \mathbb{R}^{+*})$. Quel que soit $u_0 \in U$, la courbe intégrale de f passant par u_0 coïncide avec la courbe intégrale de λf passant par u_0 .

Démonstration. C'est une question de changement de paramétrage. Soit $u \in \mathcal{C}^1(]s_-, s_+])$ la solution maximale de

$$u'(s) = \lambda(u(s)) f(u(s)), \quad u(0) = u_0.$$

Soit alors

$$T(s) = \int_0^s \lambda(u(\sigma)) d\sigma,$$

qui est une fonction strictement croissante de s par hypothèse sur λ ($\lambda > 0$), et soit S la fonction réciproque de T , définie sur

$$]t_-, t_+[, \quad \text{où } t_{\pm} := \int_0^{s_{\pm}} \lambda(u(\sigma)) d\sigma.$$

On a $\frac{d}{dt} u(S(t)) = u'(S(t)) \frac{dS}{dt} =$

$$\lambda(u(S(t))) f(u(S(t))) \frac{1}{\lambda(u(S(t)))} = f(u(S(t)))$$

et $u(S(0)) = u(0) = u_0$. Donc $U = u \circ S$ est solution du problème de Cauchy :

$$U'(t) = f(U(t)), \quad U(0) = u_0.$$

De plus, U est maximale. Supposons en effet que l'on puisse prolonger U à $]t_-, t_+ + \varepsilon]$, $\varepsilon > 0$. Prolongeons alors S à $]t_-, t_+ + \varepsilon]$ par

$$S(t) = \int_0^t \frac{d\tau}{\lambda(U(\tau))}.$$

On peut ainsi prolonger T à $]s_-, s_+ + \eta]$ avec

$$\eta = \int_{t_+}^{t_+ + \varepsilon} \frac{d\tau}{\lambda(U(\tau))} > 0.$$

Alors $U \circ T$ est solution du même problème de Cauchy que u sur l'intervalle $]s_-, s_+ + \eta]$, contenant strictement $]s_-, s_+[$. Ceci contredit le fait que u soit maximale. C'est donc que U est aussi une solution maximale (pour le champ f). Par conséquent, la courbe intégrale de λf :

$$\{ u(s); s \in]s_-, s_+[\}$$

coïncide avec la courbe intégrale de $f : \{ U(t); t \in]t_-, t_+[\}$

7.1.1 Champs complets

Définition 7.3 *Un champ de vecteurs f est dit complet si toutes les solutions maximales de (7.1) sont globales, c'est-à-dire définies sur \mathbb{R} tout entier.*

Attention, la régularité d'un champ de vecteurs n'a rien à voir avec le fait qu'il soit complet ou non, comme le montre l'exemple de l'équation de Riccati (voir l'exercice 5.5). Pour démontrer qu'un champ de vecteurs est complet on peut en revanche chercher à appliquer le résultat suivant.

Théorème 7.4 *Supposons que pour tout intervalle ouvert borné J , toute solution $u \in \mathcal{C}^1(J; U)$ de (7.1) soit à valeurs dans un compact K_J de U . Alors le champ de vecteurs f est complet.*

Démonstration. C'est une conséquence du théorème des bouts (théorème 5.7), un peu subtile car le compact K_J peut *a priori* dépendre dangereusement du diamètre de J . En fait, on va appliquer le théorème des bouts à un système (équivalent) *augmenté*.

Soit $u \in \mathcal{C}(J; U)$ une solution maximale de (7.1) Alors l'application $s \in J \mapsto (u, t) = (u(s), s)$ est une solution maximale du système *augmenté* :

$$\begin{cases} \frac{du}{ds} = f(u), \\ \frac{dt}{ds} = 1. \end{cases}$$

Supposons que $\beta = \sup J$ et $\alpha = \inf J$ soient finis. D'après le théorème 5.7, la solution maximale (u, t) du système *augmenté* doit sortir du compact

$K_J \times [\alpha, \beta]$. Comme u reste dans K_J , c'est que t sort de l'intervalle $[\alpha, \beta]$ et donc de J ; ce qui est absurde puisque $t = s \in J$.

Donc l'une au moins des bornes de J est infinie. Et en fait les deux le sont. On s'en convainc en reprenant la démonstration du théorème des bouts : si l'on avait par exemple $J =]-\infty, \beta[$ avec $\beta < +\infty$, alors, pour tout $\gamma < \beta$, la solution $(u, t) \in \mathcal{C}^1(] \gamma, \beta[)$ du système augmenté devrait sortir du compact $K_{] \gamma, \beta[} \times] \gamma, \beta[$ lorsque $s \nearrow \beta$, ce qui est impossible.

En dimension finie, vérifier les hypothèses de ce théorème revient à trouver des *estimations a priori*, c'est-à-dire une majoration des solutions sur les intervalles bornés.

► Exemple

Le champ de vecteurs de la mécanique du point $f : (x, v) \in \mathbb{R}^n \times \mathbb{R}^n \mapsto (v, -\text{grad}V(x))$ est complet pourvu que V soit une fonction positive.

En effet, on remarque que

$$H(x, v) := \frac{1}{2} \|v\|^2 + V(x)$$

est conservée le long des courbes intégrales (on dit que H est une intégrale première, voir la définition 7.7 ci-après). Si de plus V est positive, pour toute solution $t \mapsto (x(t), v(t))$ de l'équation de Newton (5.3) associée au potentiel V , on a $v(t) = x'(t)$, d'où $x(t) = x(0) + \int_0^t v(s) ds$, et

$$\frac{1}{2} \|v(s)\|^2 \leq H(x(s), v(s)) = H(x(0), v(0)),$$

donc $\|x(t)\| \leq \|x(0)\| + T \sqrt{2H(x(0), v(0))}$ pour $t \in]-T, T[$. Ainsi la restriction de (x, v) à tout intervalle borné est à valeurs dans un ensemble fermé borné de \mathbb{R}^{2n} . Donc on peut appliquer le théorème 7.4.

Remarque : Pour un champ de vecteurs $f \in \mathcal{C}^1(\mathbb{R}^n)$, il existe $\lambda \in \mathcal{C}^1(\mathbb{R}^n; \mathbb{R}^{+*})$ tel que $g := \lambda f$ soit *complet*. En effet, il suffit de poser $\lambda(u) := 1/(1 + \|f(u)\|^2)$ car alors $g = \lambda f \in \mathcal{C}^1(\mathbb{R}^n; \mathbb{R}^n)$ est borné, ce qui suffit pour appliquer le théorème 7.4 dans $U = \mathbb{R}^n$ au champ de vecteurs g . Donc d'après la proposition 7.2, on peut toujours supposer f complet pour l'étude des courbes intégrales.

En dimension infinie, le théorème 7.4 s'applique difficilement, les compacts n'étant pas simplement les fermés bornés. Cependant, on peut avoir recours au résultat local suivant.

Théorème 7.5 Soient $f \in \mathcal{C}^1(U; E)$ et $u_* \in U$. On suppose que f est bornée dans la boule $B(u_*; 2r)$, $r > 0$. Si $u \in \mathcal{C}(J; U)$ est une solution maximale de (7.1) telle que

$$\|u(t) - u_*\| \leq \varphi(t), \quad \text{pour tout } t \in J,$$

où $\varphi : \mathbb{R}^+ \rightarrow \mathbb{R}$ est une fonction continue telle que $\varphi(0) < r$, alors ou bien $\varphi(t) < r$ quel que soit $t \in \mathbb{R}^+$ et dans ce cas J n'est pas majoré, ou bien $\sup J \geq \min\{t > 0; \varphi(t) = r\}$.

Démonstration. D'après le lemme 5.8, il existe $\tau > 0$ tel que pour tout $v \in \overline{B(u_*; r)}$, la solution de (7.1) pour la donnée initiale v est définie sur un intervalle contenant $[0, \tau]$. Supposons J majoré et notons $\beta = \sup J$. Alors nécessairement il existe $t > 0$ tel que $\varphi(t) = r$. Sinon (par le théorème des valeurs intermédiaires) on aurait $\varphi(t) < r$ quel que soit $t > 0$, et par conséquent $u(\beta - \tau/2) \in \overline{B(u_*; r)}$, donc la solution u serait prolongeable à $t \in [\beta, \beta + \tau/2]$. Si l'on note $t_r = \min\{t > 0; \varphi(t) = r\}$, on a donc $\|u(t) - u_*\| < r$ quel que soit $t \in [0, t_r[\cap J$. Si on avait $\beta < t_r$, par le même argument que précédemment on pourrait prolonger u à $[\beta, \beta + \tau/2]$.

En pratique, la majoration de $\|u(t) - u_*\|$ par $\varphi(t)$ est souvent conditionnée par la majoration (moins forte) par r , ce qui ne permet pas d'appliquer directement le théorème précédent. Un moyen de contourner la difficulté est donné par la

Proposition 7.6 Soient $\beta > 0$, $r > 0$ et z, φ deux fonctions continues sur $[0, \beta[$ telles que

i). $z(0) < r$

ii). pour tout $t \in [0, \beta[$, $\varphi(t) < r$,

iii). l'assertion suivante est vraie : si $t \in]0, \beta[$ est tel que $z(s) < r$ pour tout $s \in [0, t]$ alors $z(s) \leq \varphi(s)$ pour tout $s \in [0, t]$.

Alors on a $z(t) \leq \varphi(t)$ pour tout $t \in [0, \beta[$.

Démonstration. La démonstration est le prototype de ce que l'on appelle un argument de « bootstrap » (voir aussi la proposition 8.25 de l'appendice). Elle repose essentiellement sur la connexité de l'intervalle $[0, \beta[$. Soit en effet

$$A := \{t \in [0, \beta[; z(s) \leq \varphi(s), \forall s \in [0, t]\}.$$

D'après i) et la continuité de z , il existe $t_0 \in]0, \beta[$ tel que $z(s) < r$ pour tout $s \in [0, t_0]$, et donc $t_0 \in A$ d'après iii). De plus A est fermé par continuité de $\varphi - z$. Enfin A est ouvert : si $t \in A$ alors d'après ii), $z(s) \leq \varphi(s) < r$ pour tout $s \in [0, t]$, donc par continuité de φ il existe $\varepsilon \in]0, \beta - t[$ tel que pour tout $s \in [0, t + \varepsilon]$, $z(s) < r$; donc d'après iii), $z(s) \leq \varphi(s)$ pour tout $s \in [0, t + \varepsilon]$ et par conséquent $[0, t + \varepsilon] \subset A$. Donc par connexité de $[0, \beta[$ on a $A = [0, \beta[$.

7.1.2 Intégrales premières

Définition 7.7 On appelle *intégrale première* d'un champ de vecteurs f sur U (ou indifféremment de l'équation différentielle (7.1)) une fonction $H \in \mathcal{C}^1(U, \mathbb{R})$ telle que $dH(u) \cdot f(u) = 0$ quel que soit $u \in U$.

Par la formule de dérivation des fonctions composées, si H est une intégrale première de (7.1), alors pour toute solution $u \in \mathcal{C}^1(J; U)$ la fonction $H \circ u$ est indépendante de t : autrement dit la fonction H est constante le long des courbes intégrales de f . Inversement, si H est constante le long de toute courbe intégrale, c'est une intégrale première. Soit en effet $(t_0, u_0) \in \mathbb{R} \times U$, et $u \in \mathcal{C}^1(J; U)$ la solution maximale de (7.1) telle que $u(t_0) = u_0$. On a pour tout $t \in J$, $H(u(t)) = H(u_0)$, d'où en dérivant,

$$dH(u(t)) \cdot f(u(t)) = 0.$$

En particulier en $t = t_0$ cela donne $dH(u_0) \cdot f(u_0) = 0$. En général c'est de cette manière que l'on cherche une intégrale première (on cherche une quantité conservée le long des courbes intégrales), plutôt que d'essayer de résoudre l'équation $dH \cdot f \equiv 0$ dans U (qui est une équation aux dérivées partielles si $E = \mathbb{R}^n$).

La connaissance d'intégrales premières est cruciale pour espérer résoudre explicitement l'équation différentielle, et quoi qu'il en soit une intégrale première est un outil précieux dans l'analyse qualitative. On verra plus loin un résultat abstrait (théorème 7.13) d'existence d'intégrale première pour un champ non singulier (c'est-à-dire ne s'annulant pas). Il n'existe pas de méthode générale pour trouver des intégrales premières (sinon toutes les équations différentielles seraient résolubles explicitement). Cependant on peut faire appel à l'« intuition physique » : lorsque l'équation différentielle provient d'un modèle physique, il y a souvent (en l'absence de phénomènes dissipatifs) une intégrale première correspondant à une énergie : comme vu plus haut, c'est le cas par exemple pour l'équation (5.3).

7.1.3 Complément : incursion dans l'analyse des EDP hyperboliques

Une équation aux dérivées partielles (EDP) de la forme

$$\partial_t u + A(u) \partial_x u = 0,$$

où la fonction inconnue est $u : (t, x) \in \mathbb{R}^+ \times \mathbb{R} \rightarrow u(t, x) \in \mathbb{R}^n$ et $A \in \mathcal{C}(U; \mathcal{M}_n(\mathbb{R}))$, est dite *strictement hyperbolique* (au sens des EDP) si pour tout $u \in U$, $A(u)$ est diagonalisable sur \mathbb{R} , avec des valeurs propres distinctes $\lambda_1(u) < \dots < \lambda_n(u)$. Dans l'analyse de cette EDP interviennent alors des champs de vecteurs particuliers : ce sont les champs de vecteurs propres r_j associés aux valeurs propres λ_j (c'est-à-dire que pour tout $u \in U$, $A(u)r_j(u) = \lambda_j(u)r_j(u)$). Pour tout $j \in \{1, \dots, n\}$, une intégrale

première de r_j est appelée *j*-invariant de Riemann faible. Pour $i \in \{1, \dots, n\}$, on appelle champ de vecteurs propre à gauche pour A une application ℓ_i à valeurs dans les matrices lignes $1 \times n$ non nulles telle que $\ell_i(u)A(u) = \lambda_i(u)\ell_i(u)$ pour tout $u \in U$. Naturellement, $\ell_i(u)$ s'identifie avec une forme linéaire sur \mathbb{R}^n , et l'on peut donc voir ℓ_i comme une 1-forme différentielle. Sous la condition d'intégrabilité $\ell_i \wedge d\ell_i \equiv 0$ donnée par le théorème de Frobenius (théorème 4.15), il existe donc des fonctions θ et ϕ telles que $\ell_i = \theta d\phi$. Il s'avère que la fonction ϕ est alors un *j*-invariant de Riemann faible pour tout $j \neq i$. En effet, θ ne peut pas s'annuler puisque ℓ_i est un champ de vecteurs propres, et l'on a $\ell_i(u)r_j(u) = 0$ pour tout u et pour tout $j \neq i$ (noter que $\ell_i(u)A_i(u)r_j(u) = \lambda_i(u)\ell_i(u)r_j(u) = \lambda_j(u)\ell_i(u)r_j(u)$ avec $\lambda_i(u) \neq \lambda_j(u)$). On dit que ϕ est un *i*-invariant de Riemann fort.

Signalons en outre que la théorie des EDP hyperboliques fait appel à la théorie des EDO au travers de la *méthode des caractéristiques*, de la recherche de *solutions autosimilaires*, de la condition de *Rankine-Hugoniot* régissant les ondes de choc (voir par exemple [26]).

7.2 FLOT ET PORTRAITS DE PHASE

D'après le théorème du flot (théorème 5.13), pour tout $t_0 \in I$ il existe localement une application $\phi^{t_0} : (t, v) \mapsto \phi^{t_0}(t, v)$ donnant la solution du problème de Cauchy associé à (7.1) pour la donnée initiale $\phi^{t_0}(t_0, v) = v$. En fait, comme (7.1) est autonome, les flots locaux ϕ^{t_0} et ϕ^{t_1} pris en des instants t_0 et t_1 se déduisent l'un de l'autre par translation en t . En effet, les applications $t \mapsto \phi^{t_0}(t, v)$ et $t \mapsto \phi^{t_1}(t + t_1 - t_0, v)$ sont deux solutions de (7.1), et elles prennent la même valeur v en $t = t_0$, donc elles sont égales d'après le lemme d'unicité 5.6.

C'est pourquoi on fixe $t_0 = 0$ une fois pour toutes. Par ailleurs, on utilisera désormais une notation pour le flot qui distingue t (en indice) de v :

$$\phi_t(v) = \phi^0(t, v).$$

7.2.1 Orbites

Sauf mention du contraire on suppose désormais le champ de vecteurs f complet (ce qui n'est pas une restriction si $f : \mathbb{R}^n \rightarrow \mathbb{R}^n$ comme on l'a vu en remarque p. 224). Alors le flot est global, c'est-à-dire que pour tout $v \in U$, l'application $t \mapsto \phi_t(v)$ est définie sur \mathbb{R} tout entier. De plus, l'ensemble

$$\{ \phi_t \in \mathcal{C}^1(U; U) ; t \in \mathbb{R} \}$$

muni de la loi de composition \circ est un *groupe commutatif*. En effet, il contient $\text{Id}_U = \phi_0$ et en utilisant à nouveau l'unicité des solutions (lemme 5.6) on montre que

$$\phi_s \circ \phi_t = \phi_t \circ \phi_s = \phi_{t+s}$$

quels que soient s et t . Cette structure algébrique justifie la définition suivante.

Définition 7.8 Pour tout $v \in U$ on appelle orbite de v (pour l'équation différentielle (7.1)) la courbe intégrale de f passant par v , c'est-à-dire l'ensemble

$$\{ \phi_t(v); t \in \mathbb{R} \}.$$

On rappelle que les courbes intégrales, et donc les orbites, sont deux à deux disjointes.

On note en particulier que si f admet une intégrale première H , toute orbite est incluse dans un ensemble de niveau de H :

$$\{ \phi_t(v); t \in \mathbb{R} \} \subset \{ u \in U; H(u) = H(v) \}.$$

Proposition 7.9 L'orbite d'un point v est réduite au singleton $\{v\}$ si seulement si $f(v) = 0$. Sans nécessairement supposer le champ f complet, si $f(v) \neq 0$ et s'il existe $t_0 \neq s_0$ tel que $\phi_{t_0}(v) = \phi_{s_0}(v)$ alors $t \mapsto \phi_t(v)$ est une solution globale périodique de (7.1) et l'orbite de v est une courbe fermée simple.

Démonstration. Supposons que $\phi_t(v)$ soit défini pour $t \in [0, T[$ avec $0 \leq s_0 < t_0 < T < +\infty$. Soit m le plus grand entier tel que $m(t_0 - s_0) < T$. L'application $t \mapsto \phi_{t+t_0-s_0}(v)$ est solution de l'équation différentielle et vaut $\phi_{t_0}(v) = \phi_{s_0}(v)$ en $t = s_0$. En utilisant une fois de plus l'unicité des solutions, on en déduit

$$\phi_{t+t_0-s_0}(v) = \phi_t(v) \quad \text{pour tout } t \in [0, T - (t_0 - s_0)[.$$

En particulier, $\phi_{m(t_0-s_0)}(v) = \phi_0(v) = v$. Par conséquent, l'application u définie par

$$u(t) = \phi_{t-m(t_0-s_0)}(v) \quad \text{pour } t \in [m(t_0 - s_0), (m+1)(t_0 - s_0)]$$

est solution du problème de Cauchy :

$$u'(t) = f(u(t)), \quad u(m(t_0 - s_0)) = v,$$

et prolonge $t \mapsto \phi_t(v)$ au delà de T . C'est donc que ϕ_t peut être prolongée à tout \mathbb{R} . Et elle est périodique de période $(t_0 - s_0)$.

L'ensemble $\{t > 0; \phi_t(v) = v\}$ contient en particulier $t_0 - s_0$. On peut donc définir

$$T := \inf\{t > 0; \phi_t(v) = v\}.$$

Si v n'est pas un point fixe, T est strictement positif. En effet, il existe $\varphi \in E'$ tel que $\varphi(f(v)) \neq 0$. Supposons par exemple $\varphi(f(v)) > 0$. Par

continuité de $t \mapsto \varphi(f(\phi_t(v)))$ on a donc, dans un intervalle $[0, \eta]$ avec $\eta > 0$ assez petit, $\varphi(f(\phi_t(v))) \geq \varepsilon > 0$. Par suite,

$$\varphi(\phi_t(v) - v) = \int_0^t \varphi(f(\phi_s(v))) ds \geq t\varepsilon$$

pour $t \in [0, \eta]$. Donc $\phi_t(v) - v$ ne peut s'annuler dans $[0, \eta]$ en dehors de $t = 0$. Ceci montre que T est strictement positif. De plus T est atteint par continuité de $t \mapsto \phi_t(v)$.

Avec cette définition de T , l'application $t \mapsto \phi_t(v)$ est injective sur $[0, T[$, et l'orbite de v est la courbe fermée $\{\phi_t(v); t \in [0, T[\}$, qui est sans point double car $\phi_t(v) = \phi_s(v)$ implique $\phi_{t-s}(v) = v$ et donc $t - s \geq T$ si $t > s$.

Définition 7.10 Pour un champ de vecteurs f de flot ϕ on appelle :

- point stationnaire ou point fixe ou point d'équilibre un point $v \in U$ dont l'orbite est réduite à $\{v\}$, ce qui équivaut $f(v) = 0$: on dit aussi que v est un point singulier du champ de vecteurs f ;
- cycle une orbite $\{\phi_t(v); t \in \mathbb{R}\}$ fermée, c'est-à-dire telle qu'il existe $T > 0$ pour lequel $\phi_T(v) = v$;
- orbite hétérocline une courbe intégrale « reliant » deux points fixes différents :

$$\{\phi_t(v); t \in \mathbb{R}\}; \quad \lim_{t \rightarrow -\infty} \phi_t(v) = a \neq b = \lim_{t \rightarrow +\infty} \phi_t(v), \quad f(a) = f(b) = 0 ;$$

- orbite homocline une orbite reliant un même point fixe en $+\infty$ et $-\infty$:

$$\{\phi_t(v); t \in \mathbb{R}\}; \quad \lim_{t \rightarrow -\infty} \phi_t(v) = a = \lim_{t \rightarrow +\infty} \phi_t(v), \quad f(a) = 0.$$

Remarque : Au vocabulaire plutôt algébrique utilisé ici correspondent des termes d'analyse, de géométrie et de mécanique, rassemblés dans le tableau 7.2.2.

7.2.2 Redressement du flot

Définition 7.11 On appelle section locale du champ f en un point non singulier y (c'est-à-dire tel que $f(y) \neq 0$), un ouvert S d'une hypersurface contenant y tel que pour tout $u \in S$, $f(u) \notin T_u S$ (l'espace tangent à S au point u) : on dit aussi que $f(u)$ est transverse à $T_u S$.

En particulier, il existe toujours des sections planes, c'est-à-dire incluses dans un hyperplan affine. En effet, si $f(y) \neq 0$, d'après le théorème de Hahn-Banach (voir

[2, Corollaire I.3, p. 3]), il existe $\varphi \in E'$ non nul et tel que $\langle \varphi, f(y) \rangle \neq 0$. Donc le noyau de φ est un hyperplan (vectoriel) fermé H tel que

$$\mathbb{R} f(y) \oplus H = E.$$

Tableau 7.1 Notions équivalentes dans différents registres de langage.

Analyse	Algèbre	Géométrie	Mécanique
solution	orbite	courbe intégrale	trajectoire
solution stationnaire	point fixe	point singulier	point d'équilibre
solution périodique	cycle	lacet simple	\approx oscillation

Par continuité de f , l'ensemble $\{u \in U ; f(u) \notin H\}$ est ouvert. Donc il existe $r > 0$ tel que pour tout $u \in B(y; r)$, $f(u) \notin H$. Par conséquent, l'intersection de l'hyperplan affine $y + H$ (dont l'espace tangent en tout point est précisément H) avec $B(y; r)$ est une section locale en y .

Théorème 7.12 (de redressement du flot) *Si $\mathbb{R} f(y) \oplus H = E$, alors il existe $\tau > 0$ et $r > 0$ tels que $S_r := y + H_r$, avec $H_r := \{h \in H ; \|h\|_E < r\}$, soit une section locale en y et l'application*

$$\begin{aligned} \Phi :]-\tau, \tau[\times H_r &\rightarrow \mathcal{B} := \Phi(]-\tau, \tau[\times H_r) \\ (t, h) &\mapsto \phi_t(y + h), \end{aligned}$$

soit un difféomorphisme. En outre, pour tout $v \in \mathcal{B}$, il existe un unique $t \in]-\tau, \tau[$ tel que $\phi_t(v) \in S_r$.

L'ouvert \mathcal{B} est appelé une *boîte à flot*.

Démonstration. On a déjà vu la première partie. Il s'agit ensuite d'appliquer le théorème d'inversion locale. La fonction Φ est de classe \mathcal{C}^1 pour τ et r assez petits. De plus, la différentielle de Φ au point $(0, 0)$ est donnée par

$$d\Phi(0, 0) \cdot (s, k) = s f(y) + k \quad \text{pour tout } (s, k) \in \mathbb{R} \times H.$$

C'est une bijection de $\mathbb{R} \times H$ sur E puisque $\mathbb{R} f(y) \oplus H = E$, et elle est évidemment continue. Donc sa réciproque est aussi continue d'après le théorème de l'application ouverte : on peut aussi le voir de façon plus

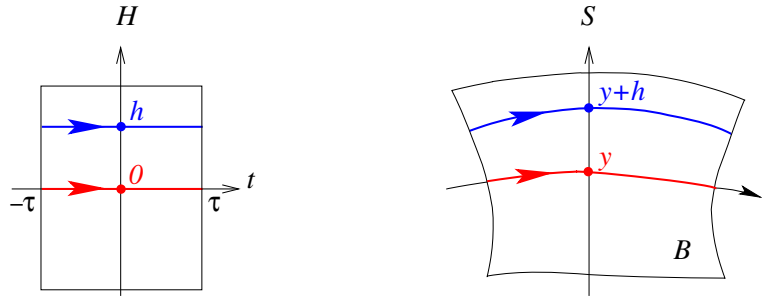


Figure 7.1 Redressement du flot et boîte à flot.

« élémentaire » (bien qu'il y ait derrière le théorème de Hahn-Banach), en écrivant $H = \text{Ker } \varphi$ avec $\varphi \in E'$ tel que $\varphi(f(y)) = \|f(y)\|^2$, de sorte que

$$s f(y) + k = x \quad \Leftrightarrow \quad s = \frac{\varphi(x)}{\varphi(f(y))}, \quad k = x - \frac{\varphi(x)}{\varphi(f(y))} f(y).$$

Par conséquent, Φ est un difféomorphisme local, et donc un difféomorphisme de $] -\tau, \tau[\times H_r$ sur son image, quitte à réduire τ et r .

Ceci implique que pour tout $v \in \mathcal{B}$, il existe un unique $(t, h) \in] -\tau, \tau[\times H_r$ tel que

$$\phi_t(y + h) = v,$$

d'où $\phi_{-t}(v) = y + h \in S_r$. Inversement, si $s \in] -\tau, \tau[$ est tel que $\phi_s(v) = y + h' \in S_r$, alors $v = \phi_{-s}(y + h')$ et donc $s = -t$ et $h = h'$.

Remarque : Le difféomorphisme inverse Φ^{-1} opère un *redressement du flot* au sens où l'image réciproque d'une orbite $\{\phi_t(v) \in \mathcal{B}; t \in] -\tau, \tau[\}$ avec $v = y + h \in S_r$ n'est autre que le segment de droite $\{(t, h); t \in] -\tau, \tau[\}$ (voir la figure 7.1).

En particulier, si E est de dimension finie n , si l'on choisit une base (h_2, \dots, h_n) de H et si l'on note z_1 la première composante de Φ^{-1} et z_2, \dots, z_n ses autres composantes, c'est-à-dire que pour tout $w \in \mathcal{B}$

$$\Phi^{-1}(w) = \left(z_1(w), \sum_{j=2}^n z_j(w) h_j \right),$$

les fonctions z_2, \dots, z_n sont constantes le long des orbites de f . Autrement dit, les fonctions z_2, \dots, z_n sont des *intégrales premières* du champ de vecteurs f dans \mathcal{B} . Elles sont de plus indépendantes, au sens où leurs différentielles sont indépendantes en tout point de \mathcal{B} , puisque Φ^{-1} est un difféomorphisme sur \mathcal{B} . D'où le

Théorème 7.13 Soit f un champ de vecteurs de classe \mathcal{C}^1 sur un ouvert U d'un espace vectoriel de dimension finie n . Si $y \in U$ est un point non singulier pour f , c'est-à-dire si $f(y) \neq 0$, alors il existe un voisinage \mathcal{B} de y dans U et $(n - 1)$ intégrales premières indépendantes de classe \mathcal{C}^1 sur \mathcal{B} .

7.2.3 Portraits de phase

L'un des objectifs de l'analyse qualitative d'une EDO est de préciser son portrait de phase, ce qui ne nécessite nullement de savoir la résoudre explicitement.

Définition 7.14 On appelle portrait de phases d'un champ de vecteurs f , ou de l'équation différentielle (7.1), la partition de l'ouvert U en orbites.

L'étude d'un portrait de phase consiste à repérer :

- i). en dimension finie tout au moins, les changements de direction du champ de vecteurs, en localisant les zéros de ses composantes,
- ii). les orbites remarquables,
- iii). les *séparatrices*, hypersurfaces que les orbites ne peuvent traverser,
- iv). les ensembles de niveau d'intégrales premières éventuelles.

La recherche d'orbites *stationnaires*, revient à résoudre l'équation algébrique $f(v) = 0$. On verra plus loin (Chapitre 8) comment trouver l'allure des orbites au voisinage des points stationnaires (où précisément le théorème de redressement du flot ne s'applique pas). La recherche de cycles et d'orbites homoclines ou hétéroclines est en général non triviale. On verra plus loin quelques outils dans cette optique. Quant aux séparatrices, le champ de vecteurs doit leur être tangent et elles doivent être invariantes par le flot. En particulier en dimension 2, les orbites non stationnaires sont des séparatrices. Ou bien par exemple pour un système de la forme

$$\begin{cases} \frac{dx}{dt} = f(x, y), \\ \frac{dy}{dt} = y g(x, y), \end{cases}$$

l'hyperplan $P = \{(x, y); y = 0\}$ est invariant, c'est-à-dire que les orbites issues de P sont incluses dans P (cela résulte une fois de plus du lemme d'unicité 5.6), et c'est donc une séparatrice. Enfin on rappelle que si H est une intégrale première, toute orbite est incluse dans un ensemble de niveau de H : en dimension finie n , si l'on dispose de $n - 1$ intégrales premières indépendantes, les intersections de leurs ensembles de niveaux sont génériquement des courbes, et l'on a ainsi le portrait de phase complet.

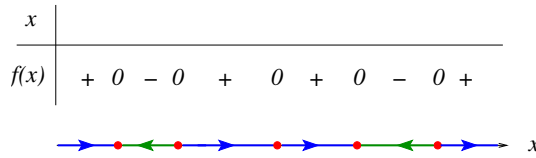


Figure 7.2 Tableau de variations et portrait de phase en dimension 1.

En dimension 1, c'est-à-dire pour une équation scalaire autonome d'ordre 1, le portrait de phase repose exclusivement sur le tableau de variations de la fonction f , voir la figure 7.2. (Rappelons au passage que l'on sait calculer les solutions par quadrature.) En effet, les zéros de f sont des séparatrices, donc d'après le théorème des bouts 5.7 toute orbite entre deux zéros est globale. De plus une telle orbite comprend tout le segment ouvert entre ces zéros, car la seule limite finie possible d'une solution en $\pm\infty$ est un point fixe (si $u(t) \rightarrow u_*$ lorsque $t \rightarrow +\infty$, $u'(t) \rightarrow f(u_*)$ et donc $f(u_*) = 0$ sinon on aurait $|u(t)| \rightarrow +\infty$).

En dimension supérieure à 3 les portraits de phase sont difficiles à représenter et d'une grande complexité en général. Le cas de la dimension 2 est à la fois riche et pas trop compliqué (on en verra une raison profonde avec le théorème de Poincaré–Bendixson). Prenons l'exemple de l'équation (5.5) pour le pendule simple. Sans chercher à calculer les solutions, on peut tracer et interpréter le portrait de phase, grâce l'intégrale première

$$H(\theta, \dot{\theta}) = \frac{1}{2}\dot{\theta}^2 - \cos \theta.$$

Si l'on note $\mathcal{E}_a := \{(\theta, \dot{\theta}); H(\theta, \dot{\theta}) = a\}$ les ensembles de niveau de H , on voit que $\mathcal{E}_{-1} = \cup_{n \in \mathbb{Z}} \{(2\pi n, 0)\}$, tandis que pour $-1 < a < 1$, \mathcal{E}_a est une réunion de courbes fermées disjointes, et pour $a > 1$, \mathcal{E}_a est formé de deux courbes disjointes et symétriques par rapport à l'axe des θ ; enfin \mathcal{E}_1 est formé de deux courbes symétriques qui s'intersectent sur l'axe des θ aux points $(\pi + 2\pi n, 0)$. On voit ainsi apparaître tous les types de solutions possibles : point d'équilibre du pendule en bas ($\theta = 2\pi n$), point d'équilibre en haut ($\theta = \pi + 2\pi n$), oscillations autour de l'équilibre du bas ($-1 < a < 1$), rotations complètes ($a > 1$). Ces solutions sont périodiques car on a négligé les phénomènes dissipatifs dans ce modèle simplifié, et donc l'amortissement du mouvement au cours du temps (pour un modèle avec amortissement, voir par exemple l'exercice 8.1). Le cas des orbites contenues dans \mathcal{E}_1 n'est pas non plus très réaliste : le mouvement du pendule partant initialement d'un point θ_0 à une vitesse $\dot{\theta}_0$ telle que

$$\frac{1}{2}\dot{\theta}_0^2 = \cos \theta_0 + 1$$

met un temps infini à atteindre le point d'équilibre du haut.

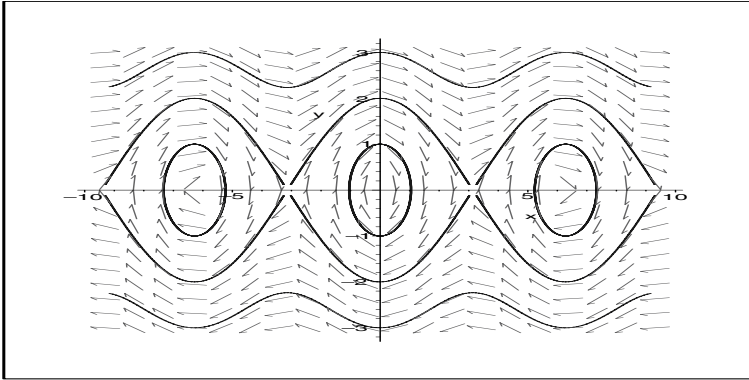


Figure 7.3 Portrait de phase pour l'équation (5.5) du pendule simple avec $g/l = 1$.

7.3 ENSEMBLES ω -LIMITE

Dans ce qui suit, $f \in \mathcal{C}^1(E; E)$ (où E est un espace de Banach) est un champ complet et ϕ_t désigne le flot de (7.1).

7.3.1 Généralités et exemples

Définition 7.15 Soit $v \in E$. On appelle ensemble ω -limite de v l'ensemble $L_\omega(v)$ des valeurs d'adhérence de $\{\phi_t(v)\}$ lorsque $t \rightarrow +\infty$. On appelle ensemble α -limite de v l'ensemble $L_\alpha(v)$ des valeurs d'adhérence de $\{\phi_t(v)\}$ lorsque $t \rightarrow -\infty$.

(Ces noms ont été choisis parce que α et ω sont respectivement la première et la dernière lettre de l'alphabet grec.)

- Par exemple, si v appartient à une orbite hétérocline, alors par définition il existe v_- et $v_+ \in U$ tels que $\lim_{t \rightarrow \pm\infty} \phi_t(v) = v_\pm$, et donc $L_\alpha(v) = \{v_-\}$, $L_\omega(v) = \{v_+\}$.
- Par ailleurs, si v appartient à un cycle γ , alors $L_\alpha(v) = L_\omega(v) = \gamma$.

Proposition 7.16 Les ensembles ω -limite et α -limite d'un point v sont fermés et invariants par le flot. Ils sont de plus inclus dans l'ensemble de niveau $\{w; E(w) = E(v)\}$ si E est une intégrale première. Plus généralement, si $F : E \rightarrow \mathbb{R}$ est une fonction continue et monotone le long des courbes intégrales, les ensembles ω -limite et α -limite sont inclus dans des ensembles de niveau de F .

Démonstration. Ces propriétés sont presque contenues dans la définition. Si $w \in L_\omega(v)$, il existe une suite t_n tendant vers $+\infty$ telle que $\phi_{t_n}(v)$ tend vers w . Alors, quel que soit t , $\phi_t(w) = \lim_{n \rightarrow +\infty} \phi_{t+t_n}(v)$ appartient aussi à $L_\omega(v)$. Donc cet ensemble est bien invariant par le flot. D'autre part, le

complémentaire de l'ensemble ω -limite est par définition l'ensemble des w tels qu'il existe $\varepsilon_0 > 0$ et $t_0 > 0$ avec

$$\|\phi_t(v) - w\| \geq \varepsilon_0$$

pour tout $t \geq t_0$. Or pour un tel w , on a évidemment

$$\|\phi_t(v) - z\| \geq \frac{1}{2}\varepsilon_0$$

pour tout $t \geq t_0$ et pour tout $z \in B(w; \frac{1}{2}\varepsilon_0)$. Donc le complémentaire de l'ensemble ω -limite est ouvert. Si $F : E \rightarrow \mathbb{R}$ est continue et telle que $t \mapsto F(\phi_t(v))$ soit simplement monotone, alors il existe $a \in [-\infty, +\infty]$ tel que

$$\lim_{t \rightarrow +\infty} F(\phi_t(v)) = a.$$

Si $y \in L_\omega(v)$, il existe une suite $(t_n)_{n \in \mathbb{N}}$ tendant vers $+\infty$ telle que

$$\lim_{n \rightarrow +\infty} \phi_{t_n}(v) = y.$$

Par continuité de F , on en déduit

$$a = \lim_{n \rightarrow +\infty} F(\phi_{t_n}(v)) = F(y)$$

(en particulier, $|a| < \infty$). Ceci prouve que $L_\omega(v) \subset \{y; F(y) = a\}$.

Proposition 7.17 Soit $v \in E$. Si l'ensemble $\{\phi_t(v); t \in \mathbb{R}^+\}$ est relativement compact, alors $L_\omega(v)$ est compact non vide et connexe.

Démonstration. La compacité de $L_\omega(v)$ est quasi-immédiate : c'est un fermé inclus dans le compact

$$\overline{\{\phi_t(v); t \in \mathbb{R}^+\}}.$$

Il est non vide puisque l'orbite $\{\phi_t(v); t \in \mathbb{R}^+\}$ admet au moins une valeur d'adhérence. La connexité de $L_\omega(v)$ demande un peu plus de travail. Raisonnons par l'absurde et supposons qu'il existe deux ouverts disjoints U_1 et U_2 tels que $L_\omega(v) \subset U_1 \cup U_2$ avec $L_\omega(v) \cap U_i \neq \emptyset$. Par définition de $L_\omega(v)$, il existe donc une suite (τ_n) strictement croissante telle que $\phi_{\tau_{2n}}(v) \in U_2$, $\phi_{\tau_{2n+1}}(v) \in U_1$. Comme l'ensemble $\{\phi_t(v); \tau_{2n} \leq t \leq \tau_{2n+1}\}$ est connexe (image d'un connexe par une application continue), il ne peut être inclus dans $U_1 \cup U_2$. Donc pour tout $n \in \mathbb{N}$, il existe $t_n \in]\tau_{2n}, \tau_{2n+1}[$ tel que $\phi_{t_n}(v) \notin U_1 \cup U_2$. Or la suite $\phi_{t_n}(v)$ admet une valeur d'adhérence $a \in L_\omega(v)$, et cette limite appartient au complémentaire de $U_1 \cup U_2$ (car c'est un fermé). Ceci contredit l'inclusion $L_\omega(v) \subset U_1 \cup U_2$. C'est donc que de tels ouverts U_1 et U_2 n'existent pas, ce qui montre que $L_\omega(v)$ est connexe.

Remarque : Inversement, si $L_\omega(v)$ est compact et non vide, l'orbite $\{\phi_t(v); t \in \mathbb{R}^+\}$ est relativement compacte, puisqu'elle admet au moins une valeur d'adhérence, et toutes ses valeurs d'adhérence sont incluses dans le compact $L_\omega(v)$.

7.3.2 Cas de la dimension 2

Dans \mathbb{R}^2 , les sections locales « planes » sont des segments de droite, en particulier orientables. De plus, on dispose du

Théorème 7.18 (Jordan) *Une courbe continue fermée simple divise le plan en deux régions connexes, l'une bornée et l'autre non bornée.*

(La démonstration de ce théorème d'apparence très intuitive est difficile, voir par exemple [11, p. 362]. Pour les courbes de classe \mathcal{C}^1 par morceaux, qui nous suffiront, elle peut se faire grâce à la notion d'indice en analyse complexe.)

Grâce à ces deux ingrédients, on peut démontrer le

Théorème 7.19 (Poincaré–Bendixson) *Pour un champ de vecteurs dans \mathbb{R}^2 , tout ensemble ω -limite compact non vide et sans point fixe est un cycle.*

La démonstration n'est pas très difficile mais assez longue. Elle repose en premier lieu sur le

Lemme 7.20 *Si S est une section locale, si (t_n) est une suite croissante telle que $y_n = \phi_{t_n}(v) \in S$, alors la suite (y_n) est aussi monotone le long de S , c'est-à-dire*

$$\det(y_{n+1} - y_n, y_n - y_{n-1}) \geq 0.$$

Démonstration. Il suffit de faire la preuve pour trois points y_0, y_1, y_2 . Fixons donc $y_0 = \phi_{t_0}(v)$ et $y_1 = \phi_{t_1}(v)$ appartenant à S avec $t_0 < t_1$ et $y_0 \neq y_1$. On peut supposer que l'orbite de v ne coupe pas S dans l'intervalle $I := [y_0, y_1]$: si tel était le cas, on remplacerait y_0 par $\tilde{y}_0 = \phi_{\tilde{t}_0}(y_1)$ le premier point appartenant à S en partant de y_1 dans le sens des $t < t_1$ (voir la figure 7.4), car montrer que y_0, y_1 et $y_2 = \phi_t(v), t > t_1$ sont ordonnés revient à montrer que \tilde{y}_0, y_1 et y_2 le sont.

Soit \mathcal{C} la courbe formée de la réunion de I et de $\{\phi_s(v); s \in [t_0, t_1]\}$. C'est une courbe fermée, simple grâce à la précaution que l'on a prise et au fait qu'une orbite ne s'intersecte pas elle-même. Donc d'après le théorème 7.18, elle divise le plan en deux composantes connexes. Soit D celle qui est bornée. Puisque S est une section, le champ f pointe vers le même demi-plan le long de S , et en particulier le long de I . En particulier, il pointe soit vers D soit vers $\mathbb{R}^2 \setminus D$. Quitte à renverser le temps (et échanger y_0 et y_1), on peut

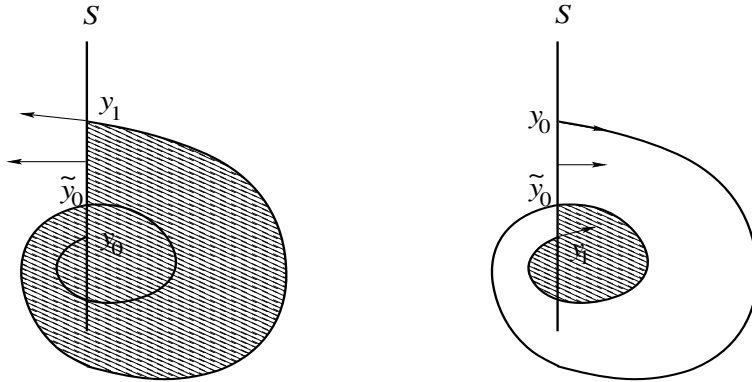


Figure 7.4 Flot et section ; composante D en hachuré.

supposer qu'on est dans le second cas. Alors D est négativement invariant par le flot, c'est-à-dire que pour tout $y \in D$, $\phi_t(y) \in D$ pour $t < 0$. En effet, le flot ne peut sortir ni par I ni par $\{\phi_t(v); t \in [t_0, t_1]\}$. Ceci implique en particulier que $\phi_t(y_1)$ appartient à $\mathbb{R}^2 \setminus D$ pour tout $t > t_1$. De plus, $S \setminus I$ est constitué de deux intervalles I_0 et I_1 contenant respectivement y_0 et y_1 dans leur bord. Or on peut joindre tout point de I_0 assez proche de y_0 à $\phi_{-\varepsilon}(y_0)$ avec $\varepsilon > 0$ assez petit, point appartenant à D , sans passer par le bord de D , on en déduit que I_0 est dans D . Donc, si $y_2 = \phi_{t_2}(v) \in S$ et $t > t_2$, y_2 appartient nécessairement à I_1 .

Corollaire 7.21 Si S est une section locale, alors pour tout $v \in U$, $L_\omega(v) \cap S$ contient au plus un point.

Démonstration. Supposons que $L_\omega(v) \cap S$ contienne deux points distincts, y_1 et y_2 . Soient alors des boîtes à flot disjointes, $\mathcal{V}_1 \ni y_1$ et $\mathcal{V}_2 \ni y_2$. Comme ces points sont dans $L_\omega(z)$, l'orbite z repasse une infinité de fois dans chacune de ces boîtes, et donc aussi par chacun des intervalles $I_1 = \mathcal{V}_1 \subset S$ et $I_2 = \mathcal{V}_2 \subset S$. Plus précisément, il existe une suite (t_n) , croissante et tendant vers $+\infty$ avec n , telle $\phi_{t_{2n+1}}(v) \in I_1$ et $\phi_{t_{2n}}(v) \in I_2$. Comme I_1 et I_2 sont disjoints, ceci contredit le lemme 7.20.

Démonstration. [Théorème de Poincaré-Bendixson] Supposons $L_\omega(v)$ compact et $y \in L_\omega(v)$. On va montrer que l'orbite de y , qui est incluse dans $L_\omega(v)$, est un cycle. On considère pour cela $L_\omega(y)$, qui est un sous-ensemble non vide de $L_\omega(v)$. Soit alors $z \in L_\omega(y)$, S une section locale en z et \mathcal{Z} une boîte à flot associée. Il existe une suite (t_n) tendant vers $+\infty$ telle que $\phi_{t_n}(y)$ appartienne au voisinage \mathcal{Z} de z pour tout n . En particulier, il existe des instants t_n et t_m distants de plus de 2τ , et des instants s_n et

$s_m \in] - \tau, \tau[$ (avec τ comme dans le théorème 7.12) tels que $\phi_{t_n+s_n}(y)$ et $\phi_{t_m+s_m}(y)$ appartiennent à S . D'après le corollaire 7.21, ceci implique

$$\phi_{t_n+s_n}(y) = \phi_{t_m+s_m}(y).$$

Comme $t_n + s_n \neq t_m + s_m$, et que y n'est pas un équilibre, l'orbite de y est donc un cycle γ d'après la proposition 7.9), et $\gamma \subset L_\omega(v)$.

Pour prouver que $L_\omega(v)$ est égal à au cycle γ , raisonnons par l'absurde. Supposons γ strictement inclus dans $L_\omega(v)$. Soit $y_0 \in L_\omega(v)$, $y_0 \notin \gamma$, et n_0 tel que $1 < 2^{n_0} \text{dist}(y_0, \gamma)$. Notons, pour tout $n \in \mathbb{N}$,

$$A_n := \bigcup_{z \in \gamma} B(z; 1/2^n).$$

Alors, pour tout $n \geq n_0$, $y_0 \notin \overline{A_n}$. De plus, pour tout $n \geq n_0$, il existe y_n tel que $y_n \in L_\omega(v) \cap A_n$ et $y_n \notin \gamma$. En effet, supposons que pour tout $y \in L_\omega(v)$, ou bien $y \in \gamma$ ou bien $y \notin A_n$. Comme le complémentaire de $\overline{A_{n+1}}$ contient le complémentaire de A_n et $\gamma \subset A_{n+2}$, $y_0 \in L_\omega(v) \cap (U \setminus \overline{A_{n+1}})$, on aurait alors

$$L_\omega(v) \subset A_{n+2} \cup (U \setminus \overline{A_{n+1}}), \quad L_\omega(v) \cap A_{n+2} \neq \emptyset, \quad L_\omega(v) \cap (U \setminus \overline{A_{n+1}}) \neq \emptyset.$$

Les ensembles A_{n+2} et $(U \setminus \overline{A_{n+1}})$ étant ouverts, cela contredirait la connexité de $L_\omega(v)$ (voir la proposition 7.17).

Maintenant, par compacité de $L_\omega(v)$, la suite (y_n) admet une sous-suite convergente vers un point z et par construction de (y_n) , $\text{dist}(z, \gamma) = 0$, donc $z \in \gamma$ puisque γ est compact. Pour simplifier, on note encore (y_n) la suite extraite. Soit S une section locale en z et \mathcal{Z} une boîte à flot associée. Pour n assez grand, $y_n \in \mathcal{Z}$, donc il existe $s_n \in] - \tau, \tau[$ tel que $x_n := \phi_{s_n}(y_n) \in S$, et $x_n \neq z$ puisque $y_n \notin \gamma$. Comme $y_n \in L_\omega(v)$, on a aussi $x_n \in L_\omega(v)$. Autrement dit, z et x_n sont deux points distincts de $L_\omega(v) \cap S$. Ceci est en contradiction avec le corollaire 7.21.

C'est donc que notre hypothèse était absurde : on a nécessairement $\gamma = L_\omega(v)$.

EXERCICES

Exercice 7.1 Trouver une intégrale première pour l'équation

$$\frac{d^2x}{dt^2} + x - \frac{1}{2}x^2 = 0$$

et tracer son portrait de phase.

Exercice 7.2 Écrire l'équation d'Euler–Lagrange (voir §3.4) pour le lagrangien associé au mouvement d'une toupie dont la pointe est fixe (voir §5.1.1) :

$$L(\theta, \dot{\psi}, \dot{\theta}, \dot{\varphi}) = \frac{1}{2} A (\dot{\theta}^2 + \dot{\psi}^2 \sin^2 \theta) + \frac{1}{2} C (\dot{\varphi} + \dot{\psi} \cos \theta)^2 - m g \ell \cos \theta.$$

Trouver trois intégrales premières et en déduire que les équations du mouvement se ramènent à une équation scalaire autonome d'ordre 1 en θ .

Exercice 7.3 Théorème de Noether, version lagrangienne

Soit un lagrangien $L \in \mathcal{C}^2(U \times \mathbb{R}^n; \mathbb{R})$, où U est un ouvert de \mathbb{R}^n , que l'on suppose invariant par une famille à un paramètre de difféomorphismes f^λ de U dans $V \subset \mathbb{R}^n$, pour $\lambda \in \mathbb{R}$ (ou un voisinage de 0), c'est-à-dire que pour tout $(q, \dot{q}) \in U \times \mathbb{R}^n$ et pour tout λ ,

$$L(q, \dot{q}) = L(f^\lambda(q), df^\lambda(q) \cdot \dot{q}).$$

On suppose que $f^0 = \text{Id}$ et que l'application $(\lambda, q) \mapsto f^\lambda(q)$ est deux fois différentiable. Montrer que

$$N : (q, \dot{q}) \mapsto N(q, \dot{q}) := \sum_{i=1}^n \frac{\partial L}{\partial \dot{q}_i}(q, \dot{q}) \frac{d}{d\lambda} (f_i^\lambda(q)) \Big|_{\lambda=0}$$

définit une intégrale première pour l'équation d'Euler–Lagrange associée à L .

Exercice 7.4 Critère de Bendixson–Dulac

Soient Ω un ouvert *simplement connexe* de \mathbb{R}^2 (voir la définition 4.12, p. 108), et f un champ de vecteurs de classe \mathcal{C}^1 sur Ω .

- i). On suppose que $\text{div } f(x) > 0$ pour tout $x \in \Omega$. Montrer que le système $u' = f(u)$ n'a pas de solution périodique dans Ω .

- ii). Montrer le même résultat en supposant « seulement » qu'il existe $\lambda \in \mathcal{C}^1(\Omega; \mathbb{R}^{**})$ tel que $\operatorname{div}(\lambda f)(x) > 0$ pour tout $x \in \Omega$.

Exercice 7.5 On considère le système de Lotka-Volterra

$$(LV) \quad \begin{cases} \frac{dn}{dt} = n(a - bp), \\ \frac{dp}{dt} = p(cn - d), \end{cases}$$

pour a, b, c, d , des paramètres strictement positifs.

- i). Déterminer l'ensemble des points critiques du système (LV).
- ii). Montrer que les axes sont invariants par le système (LV), et que le quart de plan $Q := \{(n, p); n > 0, p > 0\}$ est invariant également (c'est-à-dire que si $n(0) > 0$ et $p(0) > 0$ et (n, p) est solution de (LV) alors $n(t) > 0$ et $p(t) > 0$ quel que soit t).
- iii). Représenter l'orientation du champ de vecteurs associé à (LV) dans quatre zones caractéristiques de Q et montrer que chaque courbe intégrale rencontre successivement les quatre zones en question.
- iv). Déterminer une intégrale première à variables séparées (c'est-à-dire de la forme $E(n, p) = G(n) + H(p)$) de (LV) dans Q .
- v). En déduire que toutes les solutions pour lesquelles $n(0) > 0$ et $p(0) > 0$ sont périodiques.

Exercice 7.6 On considère le système différentiel

$$(PP) \quad \begin{cases} \frac{dx}{dt} = x - xy - 2x^2 =: f(x, y), \\ \frac{dy}{dt} = -2y + xy - y^2 =: g(x, y). \end{cases}$$

(Ceci peut représenter un modèle prédateurs-proies dans lequel les prédateurs comme les proies s'entretiennent.)

- i). Montrer que les ensembles $\{(x, y) \in \mathbb{R}^2; y = 0, x > 0\}$ et $\{(x, y) \in \mathbb{R}^2; x = 0, y > 0\}$ correspondent à des trajectoires pour le système (PP). En déduire que toute solution $(x, y) \in \mathcal{C}^1(J; \mathbb{R}^2)$ telle que si $x(0) > 0$ et $y(0) > 0$ vérifie $x(t) > 0$ et $y(t) > 0$ quel que soit $t \in J$.
- ii). Calculer les points critiques de (PP) dans $\{(x, y) \in \mathbb{R}^2; x \geq 0, y \geq 0\}$ et déterminer leur nature.

iii). Distinguer trois zones de $\{(x, y) \in \mathbb{R}^2; x \geq 0, y \geq 0\}$ où f et g sont de signe constant, et tracer l'allure du champ de vecteurs de composantes (f, g) dans chacune de ces zones.

iv). Soit $0 < \varepsilon < \frac{1}{2}$. Montrer que l'ensemble

$$\mathcal{D}_\varepsilon := \{(x, y) \in \mathbb{R}^2; 0 \leq y \leq 1 - 2\varepsilon, \varepsilon \leq x \leq 2 + y\}$$

est positivement invariant, c'est-à-dire que le champ est rentrant sur les frontières du domaine \mathcal{D}_ε .

v). Montrer que l'ensemble ω -limite de tout point $(x_0, y_0) \in \mathcal{D}_\varepsilon$ est réduit à $\{(1/2, 0)\}$.

Exercice 7.7 On considère une équation (du même type que dans l'exercice 5.6) :

$$\frac{dx}{dt} = -x + a(t)x^2,$$

où $a \in \mathcal{C}(\mathbb{R}^+; \mathbb{R})$. On fait ici l'hypothèse que $|a(t)| \leq 1$ pour tout $t \in \mathbb{R}^+$. Soient $x_0 \in]-1, 1[$ et $x \in \mathcal{C}^1([0, \beta[; \mathbb{R})$ la solution maximale de l'équation ci-dessus telle que $x(0) = x_0$. L'objectif est de montrer par un argument de « bootstrap » (proposition 7.6) que $\beta = +\infty$.

Soient $\delta \in]0, 1[$ tel que $|x_0| < 1 - \delta$, $r := 1 - \delta$, et $\varphi(t) := e^{-\delta t} |x_0|$ pour $t \in \mathbb{R}^+$. On note $z(t) := |x(t)|$ pour $t \in [0, \beta[$.

i). Montrer que si $t \in]0, \beta[$ est tel que $z(s) < r$ pour tout $s \in [0, t]$ alors $z(s) \leq \varphi(s)$ pour tout $s \in [0, t]$.

ii). En déduire que $z(t) \leq \varphi(t)$ pour tout $t \in [0, \beta[$.

iii). Conclure.

Exercice 7.8 On considère l'équation différentielle scalaire

$$(E_\varepsilon) \quad \frac{dx}{dt} = x + x^2 + \varepsilon x^3,$$

où $\varepsilon \in]0, 1/3[$. Soient $v > 0$ et $x_\varepsilon \in \mathcal{C}^1([0, T_\varepsilon[)$ la solution maximale sur \mathbb{R}^+ de l'équation (E_ε) pour la donnée initiale $x_\varepsilon(0) = v$.

i). En utilisant l'exercice 5.7 (p. 160), calculer T_0 en fonction de v .

ii). On cherche maintenant à minorer T_ε indépendamment de ε . Soit

$$B_\varepsilon := \left\{ t \in [0, T_\varepsilon[; \int_0^t \varepsilon (x_\varepsilon(s))^2 ds < \ln 2 \right\}.$$

a) Montrer qu'il existe $\beta_\varepsilon > 0$ tel que $B_\varepsilon = [0, \beta_\varepsilon[$.

b) Montrer que pour tout $T \in B_\varepsilon$, pour tout $t \in [0, T]$,

$$0 < x_\varepsilon(t) e^{-t} \leq 2v \exp\left(\int_0^t x_\varepsilon(s) ds\right).$$

c) Soit $\bar{T} < \ln(1 + \frac{1}{2v})$. Dédurre de la question précédente que pour tout $T \in B_\varepsilon \cap [0, \bar{T}]$, pour tout $t \in [0, T]$,

$$x_\varepsilon(t) \leq \frac{2v e^t}{1 - 2v(e^t - 1)}.$$

d) Dédurre de ce qui précède l'existence de $\bar{\varepsilon} > 0$ tel que pour tout $\varepsilon \in [0, \bar{\varepsilon}]$ on ait $T_\varepsilon > \bar{T}$.

Exercice 7.9 On considère l'équation différentielle scalaire

$$(E_\varepsilon) \quad \frac{d^2x}{dt^2} - \varepsilon(x^2 - 1) \frac{dx}{dt} + x = 0,$$

où $\varepsilon \in [0, 1[$ est un (petit) paramètre.

- i). Écrire l'équation (E_ε) comme un système (S_ε) dans le plan de phase $\{(x, y) = (x, x')\}$. Que peut-on dire du point $(0, 0)$?
- ii). Montrer que $(x, y) \in \mathcal{C}^1(J; \mathbb{R}^2 \setminus \{(0, 0)\})$ est solution du système (S_ε) si et seulement si $(x, y) = (r \cos \theta, r \sin \theta)$ avec r à valeurs strictement positives et (r, θ) est solution de

$$(\Sigma_\varepsilon) \quad \begin{cases} r' = \varepsilon(r^2 \cos^2 \theta - 1) r \sin^2 \theta, \\ \theta' = -1 + \varepsilon(r^2 \cos^2 \theta - 1) \sin \theta \cos \theta. \end{cases}$$

iii). Soient $v > 1$ et $(r_\varepsilon, \theta_\varepsilon) \in \mathcal{C}^1(]T_\varepsilon^-, T_\varepsilon^+])$ la solution maximale de (Σ_ε) telle que $r_\varepsilon(0) = v, \theta_\varepsilon(0) = 0$.

- a) Montrer qu'il existe $\varepsilon_0 > 0, K > 0$ et $C > 0$ tels que, pour $\varepsilon \in [0, \varepsilon_0]$ on ait $T_\varepsilon^- < -4\pi, |r_\varepsilon(t) - v| \leq K \varepsilon$ et $|\theta_\varepsilon(t) + t| \leq C \varepsilon$ pour tout $t \in [-4\pi, 0]$.
- b) Quitte à diminuer ε_0 , montrer que pour tout $\varepsilon \in [0, \varepsilon_0]$, il existe $\tau_\varepsilon \in]-4\pi, 0[$ tel que $\theta_\varepsilon(\tau_\varepsilon) = 2\pi$ et θ_ε soit un difféomorphisme de $[\tau_\varepsilon, 0]$ sur $[0, 2\pi]$. On note désormais $\tilde{r}_\varepsilon = r_\varepsilon \circ \theta_\varepsilon^{-1}$.
- c) Montrer qu'il existe $\tilde{C} > 0$ tel que pour tout $\omega \in [0, 2\pi]$,

$$\left| \frac{d\tilde{r}_\varepsilon}{d\omega} + \varepsilon(\tilde{r}_\varepsilon(\omega)^2 \cos^2 \omega - 1) \tilde{r}_\varepsilon(\omega) \sin^2 \omega \right| \leq \tilde{C} \varepsilon^2.$$

iv). En se plaçant dans le cadre de la question précédente, on note

$$R(\omega; \varepsilon, v) = \tilde{r}_\varepsilon(\omega) \quad \text{et} \quad F(v, \varepsilon) := \frac{1}{\varepsilon} (R(2\pi; \varepsilon, v) - R(0; \varepsilon, v)).$$

Montrer que $F(v, \varepsilon) = \pi(v - \frac{1}{4}v^3) + \mathcal{O}(\varepsilon)$.

v). À l'aide du théorème des fonctions implicites, montrer qu'il existe $\varepsilon_1 > 0$ et une application ρ définie sur $[0, \varepsilon_1[$ telle que $\rho(0) = 2$ et $F(\rho(\varepsilon), \varepsilon) = 0$ pour tout $\varepsilon \in [0, \varepsilon_1[$.

vi). En déduire que pour $\varepsilon \in [0, \varepsilon_1[$, l'équation (E_ε) possède une solution périodique que l'on représentera dans le plan de phase.

Exercice 7.10 Théorème de Noether, version Hamiltonienne

Soient un Hamiltonien $H \in \mathcal{C}^3(U \times \mathbb{R}^n; \mathbb{R})$, où U est un ouvert \mathbb{R}^n , et le système :

$$(H) \quad \begin{cases} \frac{dq_j}{dt} = \frac{\partial H}{\partial p_j}(q, p), \\ \frac{dp_j}{dt} = -\frac{\partial H}{\partial q_j}(q, p). \end{cases}$$

Soit une famille à un paramètre d'applications φ_λ de $U \times \mathbb{R}^n$ dans $V \times \mathbb{R}^n$, pour $\lambda \in \mathbb{R}$, avec $\varphi^0 = \text{Id}$, $\varphi_\lambda \varphi_\mu = \varphi_{\lambda+\mu}$ quels que soient λ et μ , et $(\lambda, q, p) \mapsto \varphi_\lambda(q, p)$ deux fois différentiable. On dit que $(\varphi_\lambda)_{\lambda \in \mathbb{R}}$ est un *groupe de transformations à un paramètre*. On définit son *générateur infinitésimal* par

$$v : (q, p) \mapsto v(q, p) := \frac{d}{d\lambda} (\varphi_\lambda(q, p))|_{\lambda=0}.$$

i). Inversement, montrer qu'un champ de vecteurs v complet est le générateur infinitésimal d'un unique groupe de transformations à un paramètre (φ_λ) .

ii). Pour deux champs de vecteurs dans un ouvert \mathcal{U} de \mathbb{R}^d ,

$$v = \sum_{j=1}^d \phi_j \frac{\partial}{\partial u_j} \quad \text{et} \quad w = \sum_{j=1}^d \psi_j \frac{\partial}{\partial u_j},$$

avec $\phi_j, \psi_j \in \mathcal{C}^1(\mathcal{U}; \mathbb{R})$ on définit le *crochet de Lie*

$$[v, w] := \sum_{j=1}^d \sum_{i=1}^d \left(\phi_i \frac{\partial \psi_j}{\partial u_i} - \psi_i \frac{\partial \phi_j}{\partial u_i} \right) \frac{\partial}{\partial u_j}.$$

(C'est la même définition que dans l'exercice 2.4 p. 65, réécrite avec la notation introduite au §4.1 : $(\frac{\partial}{\partial u_1}, \dots, \frac{\partial}{\partial u_n})$ désigne la base canonique de \mathbb{R}^d .) On dit qu'un champ de vecteurs v sur $U \times \mathbb{R}^n$ est un *champ de vecteurs hamiltonien* s'il s'écrit $v = \widehat{v}_K$, où la notation \widehat{v}_K signifie, quelle que soit la fonction $K \in \mathcal{C}^1(U \times \mathbb{R}^n; \mathbb{R})$,

$$\widehat{v}_K = \sum_{j=1}^n \frac{\partial K}{\partial p_j} \frac{\partial}{\partial q_j} - \frac{\partial K}{\partial q_j} \frac{\partial}{\partial p_j}.$$

Si \widehat{v}_K et \widehat{v}_H sont deux champs de vecteurs hamiltoniens, montrer en utilisant l'identité de Jacobi (voir l'exercice 2.4, chapitre 2) que $[\widehat{v}_K, \widehat{v}_H] = \widehat{v}_{\{K, H\}}$, où $\{\cdot, \cdot\}$ désigne le *crochet de Poisson* :

$$\{K, H\} := \sum_{j=1}^n \frac{\partial K}{\partial q_j} \frac{\partial H}{\partial p_j} - \frac{\partial K}{\partial p_j} \frac{\partial H}{\partial q_j}.$$

- iii). Montrer que K est une intégrale première de (H) si et seulement si $\{K, H\} = 0$.
- iv). Montrer que l'ensemble des solutions de (H) est invariant par les transformations φ_λ si et seulement si $[\widehat{v}_K, \widehat{v}_H] = 0$.

SOLUTION DES EXERCICES

Exercice 7.1 La fonction $I : (x, v) \mapsto \frac{1}{2}v^2 + \frac{1}{2}x^2 - \frac{1}{6}x^3$ est une intégrale première de l'équation écrite dans le plan de phase :

$$\begin{cases} \frac{dx}{dt} = v, \\ \frac{dv}{dt} = -x + \frac{1}{2}x^2. \end{cases}$$

Cette fonction I admet un minimum local strict en $(0, 0)$, un point selle en $(2, 0)$, et ses courbes de niveau ont l'allure représentée sur la figure 7.5. Le portrait de

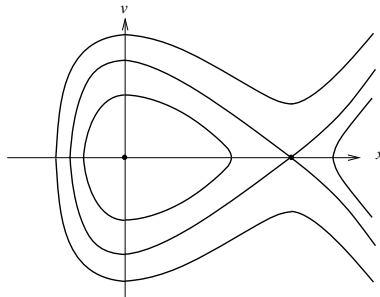


Figure 7.5 Allure des courbes de niveau de I .

phase comporte notamment une orbite homocline à $(2, 0)$ et des orbites périodiques concentriques autour de $(0, 0)$ à l'intérieur de l'orbite homocline.

Exercice 7.2 L'équation d'Euler-Lagrange pour L s'écrit

$$\begin{cases} \frac{d}{dt} \left(\frac{\partial L}{\partial \dot{\varphi}} \right) = 0, \\ \frac{d}{dt} \left(\frac{\partial L}{\partial \dot{\psi}} \right) = 0, \\ \frac{d}{dt} \left(\frac{\partial L}{\partial \dot{\theta}} \right) = \frac{\partial L}{\partial \theta}, \end{cases}$$

puisque $\frac{\partial L}{\partial \varphi} \equiv 0$, $\frac{\partial L}{\partial \psi} \equiv 0$. (On dit que φ et ψ sont des variables cycliques.) Par suite,

$$\frac{\partial L}{\partial \dot{\varphi}} = C(\dot{\varphi} + \dot{\psi} \cos \theta) \quad \text{et} \quad \frac{\partial L}{\partial \dot{\psi}} = A \dot{\psi} \sin^2 \theta + C(\dot{\varphi} + \dot{\psi} \cos \theta) \cos \theta$$

sont des intégrales premières du mouvement. La dernière équation du mouvement s'écrit quant à elle

$$\frac{d}{dt}(A \dot{\theta}) = (A - C) \dot{\psi}^2 \cos \theta \sin \theta - C \dot{\psi} \dot{\varphi} \sin \theta + m g \ell \sin \theta.$$

D'après les deux premières intégrales premières, une solution est telle que

$$C(\dot{\varphi} + \dot{\psi} \cos \theta) \equiv \gamma, \quad A \dot{\psi} \sin^2 \theta + \gamma \cos \theta \equiv \alpha \quad (7.2)$$

De plus, une troisième intégrale première est fournie par l'énergie E associée à L , c'est-à-dire le Hamiltonien (voir l'exercice 3.6, chapitre 3) exprimé en variables $(\theta, \psi, \dot{\theta}, \dot{\varphi})$:

$$E = \dot{\theta} \frac{\partial L}{\partial \dot{\theta}} + \dot{\psi} \frac{\partial L}{\partial \dot{\psi}} + \dot{\varphi} \frac{\partial L}{\partial \dot{\varphi}} - L.$$

La fonction L étant quadratique en $(\dot{\psi}, \dot{\theta}, \dot{\varphi})$, on obtient simplement

$$E = L + m g \ell \cos \theta = \frac{1}{2} A (\dot{\theta}^2 + \dot{\psi}^2 \sin^2 \theta) + \frac{1}{2} C (\dot{\varphi} + \dot{\psi} \cos \theta)^2 + m g \ell \cos \theta.$$

En particulier, le long d'une solution vérifiant (7.2),

$$E = \frac{1}{2} A \dot{\theta}^2 + \frac{1}{2} \frac{(\alpha - \gamma \cos \theta)^2}{A \sin^2 \theta} + \frac{1}{2} \frac{\gamma^2}{C} + m g \ell \cos \theta.$$

Autrement dit, les mouvements de la toupie sont gouvernés par les équations de la forme

$$\dot{\theta}^2 + \frac{(\alpha - \gamma \cos \theta)^2}{\sin^2 \theta} + \beta \cos \theta = \delta,$$

où $\alpha, \beta, \gamma, \delta$ sont des paramètres dépendant des valeurs des trois intégrales premières et des données physiques A, C , et $m g \ell$.

Exercice 7.3 Supposons que u soit une solution de l'équation d'Euler-Lagrange associée à L . Comme par hypothèse on a

$$L(u(t), u'(t)) = L(f^\lambda(u(t)), df^\lambda(u(t)) \cdot u'(t))$$

quels que soient t et λ , en dérivant par rapport à λ on obtient en $\lambda = 0$,

$$0 = \sum_{i=1}^n \frac{\partial L}{\partial q_i}(u(t), u'(t)) \frac{d}{d\lambda} (f_i^\lambda(q)) \Big|_{\lambda=0} + \sum_{i=1}^n \frac{\partial L}{\partial \dot{q}_i}(u(t), u'(t)) \frac{d}{d\lambda} (df_i^\lambda(u(t)) \cdot u'(t)) \Big|_{\lambda=0}$$

Par ailleurs,

$$\begin{aligned} \frac{d}{dt} N(u(t), u'(t)) &:= \sum_{i=1}^n \frac{d}{dt} \left(\frac{\partial L}{\partial \dot{q}_i}(u(t), u(t)) \right) \frac{d}{d\lambda} (f_i^\lambda(u(t))) \Big|_{\lambda=0} \\ &+ \sum_{i=1}^n \frac{\partial L}{\partial \dot{q}_i}(u(t), u(t)) \frac{d}{dt} \left(\frac{d}{d\lambda} (f_i^\lambda(u(t))) \Big|_{\lambda=0} \right). \end{aligned}$$

Or le théorème de dérivation des fonctions composées et le théorème de Schwarz montrent que

$$\frac{d}{dt} \left(\frac{d}{d\lambda} (f_i^\lambda(u(t))) \right) = \frac{d}{d\lambda} (df_i^\lambda(u(t)) \cdot u'(t)) .$$

Donc, par définition de l'équation d'Euler-Lagrange et d'après l'égalité obtenue plus haut, on trouve que

$$\frac{d}{dt} N(u(t), u'(t)) = 0 .$$

Exercice 7.4

- i). Supposons que $u \in \mathcal{C}^1(\mathbb{R}; \Omega)$ soit une solution périodique de période T . Alors $\Gamma := \{u(t); t \in [0, T]\}$ est une courbe fermée simple dans Ω , séparant le plan en deux composantes connexes d'après le théorème de Jordan. Soit U la composante bornée : c 'est l'intérieur de Γ ; de plus, puisque Ω est simplement connexe, \bar{U} est inclus dans Ω . Donc d'après la formule de Green-Riemann,

$$\oint_{\Gamma} f_1(x_1, x_2) dx_2 - f_2(x_1, x_2) dx_1 = \iint_U \operatorname{div} f(x_1, x_2) dx_1 \otimes dx_2 .$$

Or par définition de Γ , $\oint_{\Gamma} f_1(x_1, x_2) dx_2 - f_2(x_1, x_2) dx_1 =$

$$\int_0^T (f_1(u_1(t), u_2(t)) u_2'(t) - f_2(u_1(t), u_2(t)) u_1'(t)) dt = 0$$

puisque $u_1'(t) = f_1(u_1(t), u_2(t))$ et $u_2'(t) = f_2(u_1(t), u_2(t))$ (par définition de u). On en déduit que $\iint_U \operatorname{div} f(x_1, x_2) dx_1 \otimes dx_2 = 0$, ce qui contredit l'hypothèse $\operatorname{div} f > 0$ dans U .

- ii). D'après la proposition 7.2, l'existence d'un cycle pour le système $u' = f(u)$ équivaut à l'existence d'un cycle pour le système $u' = \lambda(u)f(u)$. Il suffit alors d'appliquer la première question au champ λf .

Exercice 7.5

- i). Les points critiques sont les zéros de $f : (n, p) \mapsto (n(a - bp), p(cn - d))$. On en trouve deux, à savoir $(0, 0)$, $(d/c, a/b)$.
- ii). Supposons que $(n, p) \in \mathcal{C}^1(J; \mathbb{R}^2)$ soit une solution de (LV) telle que $n(t_0) = 0$ pour une valeur $t_0 \in J$. Alors $t \in \mathbb{R} \mapsto (0, p(t_0)e^{-d(t-t_0)})$ est solution du même problème de Cauchy et coïncide donc partout avec (n, p) . De même, si $p(t_1) = 0$ alors $t \in \mathbb{R} \mapsto (n(t_1)e^{a(t-t_1)}, 0)$ coïncide avec (n, p) . Ceci prouve que les axes $\{(0, p), p \in \mathbb{R}\}$ et $\{(n, 0), n \in \mathbb{R}\}$ sont invariants par (LV). Par suite, le quart de plan $Q := \{(n, p); n > 0, p > 0\}$ l'est aussi (si une solution atteignait une autre région du plan, sa trajectoire devrait passer par l'un des axes, à cause du théorème des valeurs intermédiaires, et dans ce cas elle serait complètement incluse dans cet axe).
- iii). L'orientation du champ de vecteurs f dans Q dépend du signe de $a - bp$ et de $cn - d$, comme représenté sur la figure 7.6. Supposons que $(n, p) \in \mathcal{C}^1(J; \mathbb{R}^2)$ soit une solution maximale de (LV) pour laquelle $0 < n(t) < d/c$ et $0 < p(t) < a/b$ quel que soit $t \in J$. Alors $J = \mathbb{R}$ (ceci résulte du théorème 5.11 car (n, p) est bornée) et n est une fonction strictement croissante sur \mathbb{R} , tandis que p est strictement décroissante. Ces fonctions ont par conséquent des limites $n_+ \in]0, d/c]$ et $p_+ \in [0, a/b[$ en $+\infty$, d'où

$$\lim_{t \rightarrow +\infty} (n'(t), p'(t)) = f(n_+, p_+),$$

et nécessairement $f(n_+, p_+) = 0$: d'après la première question, ceci est impossible car $n_+ > 0$ et $p_+ < a/b$. Supposons maintenant que $(n, p) \in \mathcal{C}^1(J; \mathbb{R}^2)$ soit une solution maximale de (LV) pour laquelle $d/c < n(t)$ et $0 < p(t) < a/b$ quel que soit $t \in J$. Alors les fonctions n, p sont strictement croissantes et ont donc des limites $n_+ \in]d/c, +\infty]$, $p_+ \in [0, a/b]$ lorsque $t \rightarrow \sup J$ (ou $+\infty$ si J n'est pas majoré). Si n était borné, alors J ne serait pas majoré (d'après le théorème des bouts) et comme précédemment on aboutirait à une contradiction (car (n_+, p_+) devrait être un point fixe, ce qui n'est pas possible puisque $n_+ > d/c$). Donc pour tout $t_0 \in J$, n est un difféomorphisme de $J \cap [t_0, +\infty[$ sur $[n(t_0), +\infty[$. Alors la fonction

$$\begin{aligned} \tilde{p} : [n(t_0), +\infty[&\rightarrow [p(t_0), p_+[\\ \nu &\mapsto \tilde{p}(\nu) := p(n^{-1}(\nu)) \end{aligned}$$

vérifie $\lim_{\nu \rightarrow +\infty} \tilde{p}(\nu) = p_+$ et

$$\frac{d\tilde{p}}{d\nu} = \frac{p(c\nu - d)}{\nu(a - bp)},$$

qui a une limite strictement positive (ou infinie si $p_+ = a/b$). Ceci étant incompatible avec la limite finie pour \tilde{p} , on a une contradiction. Les arguments à invoquer sont analogues pour une solution qui serait à valeurs dans l'une des deux autres régions $\{(n, p); 0 < n < d/c, p > a/b\}$ (échanger les rôles de n et p et considérer le comportement des solutions en « remontant » le temps), et $\{(n, p); n > d/c, p > a/b\}$ (considérer le comportement des solutions en « remontant » le temps).

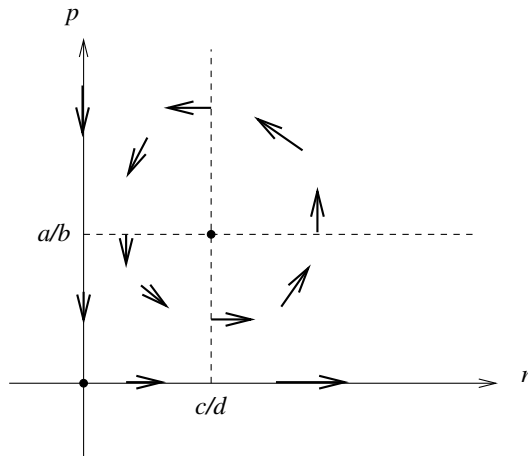


Figure 7.6 Orientation du champ de vecteurs $(n, p) \mapsto (n(a - bp), p(cn - d))$.

- iv). Une façon commode de trouver une intégrale première à variables séparées (lorsqu'elle existe) est de travailler avec des formes différentielles. On remarque en effet qu'une fonction (n, p) à valeurs dans l'une quatre zones de Q où les composantes du champ f ne s'annule pas est une solution de (LV) si et seulement si

$$dt = \frac{dn}{n(a - bp)} = \frac{dp}{p(cn - d)},$$

d'où

$$\frac{(cn - d)dn}{n} = \frac{(a - bp)dp}{p},$$

c'est-à-dire encore $d(cn - d \ln n) = d(a \ln p - bp)$. On en déduit que la fonction $E : (n, p) \mapsto cn - d \ln n + bp - a \ln p$ est de différentielle nulle, et donc constante le long de cette solution. Plus généralement on vérifie que

E est constante le long de toute solution à valeurs dans Q . C'est donc une intégrale première. (Une méthode sans forme différentielle consiste à chercher des fonctions G et H telles que $E : (n, p) \mapsto G(n) + H(p)$ soit une intégrale première, c'est-à-dire que

$$(n(a - bp) \frac{dG}{dn} + p(cn - d) \frac{dH}{dp} = 0,$$

ce qui montre qu'à une constante multiplicative près E est la fonction trouvée ci-dessus.)

- v). On vérifie sans peine que E a un minimum global en $(d/c, a/b)$. Ses courbes de niveau dans Q sont donc des courbes fermées. Par conséquent, toute trajectoire de (LV) dans Q , nécessairement incluse dans une courbe de niveau de E , est relativement compacte : ceci montre (par le théorème des bouts) que toutes les solutions maximales sont globales. D'après la question iii), une trajectoire revient forcément dans la zone d'où elle est partie initialement, aussi bien lorsque $t \rightarrow +\infty$ que lorsque $t \rightarrow -\infty$. Comme elle est connexe, elle ne peut que coïncider avec la courbe de niveau de $\{(n, p); E(n, p) = E(n_0, p_0)\}$.

Exercice 7.6

- i). Comme $f(0, y) = 0$ et $g(x, 0) = 0$ quels que soient x et y , le champ de vecteurs (f, g) est colinéaire aux axes $x = 0$ et $y = 0$, qui sont par conséquent des droites invariantes par le flot. Plus précisément, quel que soit $y_0 > 0$, l'orbite de y_0 pour l'équation scalaire $y' = -2y - y^2$ est égale à \mathbb{R}^{+*} , qui s'identifie à l'orbite de $(0, y_0)$ pour le système (PP). De façon analogue, quel que soit $x_0 > 0$, l'orbite de x_0 pour l'équation scalaire $x' = x - 2x^2$ est égale à $]0, x_*[$ si $x_0 \in]0, x_*[$, $\{x_*\}$ si $x_0 = x_*$, et $]x_*, +\infty[$ si $x_0 > x_*$, et c'est dans tous les cas l'orbite de $(x_0, 0)$ pour le système (PP). Par suite, les orbites étant disjointes, l'orbite d'un point (x_0, y_0) avec $x_0 > 0$ et $y_0 > 0$ est incluse dans le quart de plan $Q := \{(x, y) \in \mathbb{R}^2; x > 0, y > 0\}$.
- ii). Les points critiques de (PP) vérifient $(x = 0$ ou $2x + y = 1)$ et $(y = 0$ ou $x - y = 2)$, ce qui laisse deux points possibles dans \overline{Q} : $(0, 0)$ et $(x_*, 0)$. Le système linéarisé en $(0, 0)$ est formé des deux équations découplées $x' = x$ et $y' = -2y$. On a donc un point selle en $(0, 0)$. Le système linéarisé en $(x_*, 0)$ est $x' = -x - y/2, y' = -3y/2$. La matrice

$$\begin{pmatrix} -1 & -1/2 \\ 0 & -3/2 \end{pmatrix}$$

ayant ses valeurs propres réelles de même signe (négatif), le point fixe $(x_*, 0)$ est un nœud attractif.

- iii). On a $f(x, y) > 0$ et $g(x, y) < 0$ si $0 < x < 1/2$ et $0 < y < 1 - 2x$, $f(x, y) < 0$ et $g(x, y) < 0$ si $1/2 < x < 2$ et $0 < y$, $f(x, y) < 0$ et $g(x, y) > 0$ si $2 < x$ et $0 < y < x - 2$, voir la figure 7.7.

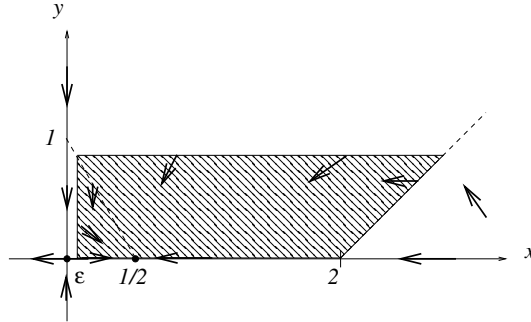


Figure 7.7 Orientation du champ de vecteurs (f, g) et domaine \mathcal{D}_ε (hachuré).

- iv). Le champ (f, g) est clairement rentrant (ou tangent, pour $y = 0$) sur les côtés de \mathcal{D}_ε (voir à nouveau la figure 7.7).
- v). Pour $(x_0, y_0) \in \mathcal{D}_\varepsilon$, si $y_0 = 0$, on a déjà vu que l'orbite de (x_0, y_0) s'identifiait à celle de x_0 pour l'équation scalaire $x' = x - 2x^2$. En particulier, comme l'ensemble ω -limite de x_0 pour $x' = x - 2x^2$ est $\{1/2\}$, celui de (x_0, y_0) pour le système (PP) est $\{(1/2, 0)\}$. Si $y_0 > 0$, la solution maximale passant par (x_0, y_0) est telle que y est strictement décroissante et à valeurs strictement positives. Donc y a une limite $y_\infty \geq 0$. Si de plus $y_0 \leq 1 - 2x_0$, le triangle $\mathcal{T}_\varepsilon := \{(x, y); \varepsilon \leq x \leq 1/2, 0 \leq y \leq 1 - 2x\}$ étant positivement invariant par le flot, $t \mapsto x(t)$ est strictement croissante et majorée par $1/2$. On en déduit qu'elle a une limite $x_\infty \geq 1/2$. Le point (x_∞, y_∞) est donc nécessairement un point fixe : dans \mathcal{D}_ε ce ne peut être que $(x_\infty, y_\infty) = (1/2, 0)$. Reste le cas des points $(x_0, y_0) \in \mathcal{D}_\varepsilon$ tels que $y_0 > 1 - 2x_0$: ou bien l'orbite de (x_0, y_0) atteint le triangle \mathcal{T}_ε et l'on conclut comme précédemment, ou bien cette orbite reste dans le trapèze $\{(x, y); (1 - y)/2 \leq x \leq 2 - y, 0 \leq y \leq 1 - 2\varepsilon\}$, et dans ce cas $t \mapsto x(t)$ est décroissante minorée par ε , donc elle a encore une limite x_∞ et l'on conclut de la même façon. Ce résultat signifie que pour une donnée initiale dans \mathcal{D}_ε , les prédateurs s'éteignent et la population de proies tend vers l'état d'équilibre qu'elle aurait aussi seule.

Exercice 7.7

- i). D'après la formule de Duhamel, pour tout $s \in [0, \beta[$,

$$x(s) = e^{-s}x_0 + \int_0^s e^{\tau-s} \alpha(\tau)(x(\tau))^2 d\tau,$$

d'où, si $z(s) < r$ pour tout $s \in [0, t]$,

$$z(s) \leq |x(s)| \leq e^{-s} |x_0| + r \int_0^s e^{\tau-s} z(\tau) d\tau.$$

Autrement dit, l'application $s \in [0, t] \mapsto y(s) := e^s z(s)$ vérifie l'inégalité intégrale

$$y(s) \leq |x_0| + r \int_0^s y(\tau) d\tau$$

pour $s \in [0, t]$, d'où par le lemme de Gronwall,

$$y(s) \leq |x_0| e^{rs}.$$

En revenant à z , ceci donne $z(s) \leq |x_0| e^{(r-1)s} = \varphi(s)$.

- ii). Par construction, $z(0) = |x_0| < r$, et $\varphi(t) \leq |x_0| < r$ pour tout $t \in \mathbb{R}^+$. Comme de plus φ est continue, le résultat de la question précédente permet d'appliquer la proposition 7.6. On a donc $z(t) \leq \varphi(t)$ pour tout $t \in [0, \beta[$.
- iii). D'après ce qui précède, $|x(t)| \leq \varphi(t) < r < 1$ pour tout $t \in [0, \beta[$. Le théorème 7.5 (ou le théorème des bouts) appliqué au système autonome

$$\begin{cases} x' = -x + a(t)x^2, \\ t' = 1, \end{cases}$$

montre alors que nécessairement $\beta = +\infty$.

Exercice 7.8

- i). D'après l'exercice 5.7, le temps maximal d'existence de la solution de

$$\frac{dx}{dt} = x + x^2$$

telle que $x(0) = v > 0$ est égal à $T_0 = \int_v^{+\infty} \frac{dx}{x+x^2} = \ln\left(1 + \frac{1}{v}\right)$.

- ii). a) L'ensemble $B_\varepsilon := \left\{ t \in [0, T_\varepsilon[; \int_0^t \varepsilon x_\varepsilon(s)^2 ds < \ln 2 \right\}$ contient évidemment 0 (puisque $\ln 2 > 0$), et même l'intervalle $[0, \tau_\varepsilon]$ avec $\tau_\varepsilon > 0$ tel que $0 < v \leq x_\varepsilon(t) < 2v$ pour $t \in [0, \tau_\varepsilon]$, car alors

$$\int_0^t \varepsilon x_\varepsilon(s)^2 ds = \int_0^t \left(\frac{x'_\varepsilon(s)}{x_\varepsilon(s)} - 1 - x_\varepsilon(s) \right) ds \leq \int_0^t \frac{x'_\varepsilon(s)}{x_\varepsilon(s)} ds = \ln\left(\frac{x_\varepsilon(t)}{v}\right).$$

(Le fait que $0 < v \leq x_\varepsilon(t)$ vient de ce que la fonction $x \mapsto x + x^2 + \varepsilon x^3$ est à valeurs strictement positives sur \mathbb{R}^{+*} , qui est donc en particulier invariant

par le flot de l'équation différentielle (E_ε). De plus B_ε est un intervalle car si $t \in B_\varepsilon$ et $0 \leq \tau \leq t$,

$$\int_0^\tau \varepsilon x_\varepsilon(s)^2 ds \leq \int_0^t \varepsilon x_\varepsilon(s)^2 ds < \ln 2.$$

Par suite, puisque B_ε est ouvert dans $[0, T_\varepsilon[$, si l'on note $\beta_\varepsilon = \sup B_\varepsilon$ on a $B_\varepsilon = [0, \beta_\varepsilon[$.

b) On a déjà fait observer que $x_\varepsilon(t) \geq v > 0$ pour tout $t \in [0, T_\varepsilon[$. De plus,

$$\frac{x'_\varepsilon(t)}{x_\varepsilon(t)} = 1 + x_\varepsilon(t) + \varepsilon x_\varepsilon(t)^2,$$

d'où

$$\ln \left(\frac{x_\varepsilon(t)}{v} \right) = t + \int_0^t (x_\varepsilon(s) + \varepsilon x_\varepsilon(s)^2) ds,$$

et donc $x_\varepsilon(t) \leq 2v e^t \exp(\int_0^t x_\varepsilon(s) ds)$ si $t \in B_\varepsilon$.

c) En s'inspirant de la démonstration du lemme de Gronwall, on cherche à estimer le majorant de $x_\varepsilon(t) e^{-t}$ fourni par l'inégalité ci-dessus (bien qu'elle soit hautement non-linéaire), à savoir (au facteur $2v$ près) $y_\varepsilon(t) := \exp(\int_0^t x_\varepsilon(s) ds)$. Pour majorer $y_\varepsilon(t)$ il suffit de majorer $u_\varepsilon(t) := -1/y_\varepsilon(t)$, dont la dérivée vérifie

$$u'_\varepsilon(t) = \frac{x_\varepsilon(t) y_\varepsilon(t)}{y_\varepsilon(t)^2} \leq 2v e^t,$$

d'où par intégration entre 0 et t ,

$$u_\varepsilon(t) \leq -1 + 2v(e^t - 1),$$

et finalement

$$x_\varepsilon(t) \leq 2v e^t y_\varepsilon(t) \leq \frac{2v e^t}{1 - 2v(e^t - 1)}.$$

d) Puisque $\bar{T} < \ln(1 + \frac{1}{2v})$, la fonction $\varphi : t \mapsto 2v e^t (1 - 2v(e^t - 1))^{-1}$ est continue donc bornée sur $[0, \bar{T}]$, disons pas \bar{C} . On a alors le résultat voulu pour

$$\bar{\varepsilon} < \frac{\ln 2}{\bar{T} \bar{C}^2}.$$

En effet, raisonnons par l'absurde et supposons que, pour $\varepsilon \leq \bar{\varepsilon}$, $T_\varepsilon \leq \bar{T}$. Alors par un argument de connexité, et plus exactement de « bootstrap », on

peut déduire de ce qui précède que $\beta_\varepsilon = T_\varepsilon$ et que x_ε est bornée par \overline{C} sur $[0, T_\varepsilon]$, ce qui est en contradiction avec le théorème des bouts.

Pour préciser l'argument de bootstrap, on peut faire appel à la proposition 8.25 de l'appendice. En posant $J = [0, T_\varepsilon[$, on définit les propositions $H(t)$ et $C(t)$ pour $t \in J$ comme suit : $H(t)$ demande que $t \in B_\varepsilon$, tandis que $C(t)$ demande que $x_\varepsilon(s) \leq \varphi(s)$ pour tout $s \in [0, t]$. Alors $H(0)$ est vraie (puisque $0 \in B_\varepsilon = [0, \beta_\varepsilon[$!), et l'ensemble des t tels que $C(t)$ est fermé puisque $\varphi - x_\varepsilon$ est continue sur J . Si $C(t)$ est vraie, alors $0 < x_\varepsilon(t) \leq \overline{C}$ (puisque $t \in J \subset [0, \overline{T}[$), d'où

$$\int_0^t \varepsilon x_\varepsilon(s)^2 ds \leq \overline{T} \overline{C}^2 \overline{\varepsilon} < \ln 2$$

par hypothèse sur $\overline{\varepsilon}$. Donc $H(t)$ est vraie et elle le reste au voisinage de t puisque c'est une condition ouverte. Enfin, la question précédente montre que si $H(t)$ est vraie alors $C(t)$ l'est. Donc $C(t)$, ainsi que $H(t)$, sont vraies pour tout $t \in J$.

Exercice 7.9

- i). Le système (S_ε) est constitué des deux équations $x' = y$, $y' = \varepsilon(x^2 - 1)y - x$. Le point $(0, 0)$ en est le seul point fixe. Le système linéarisé en ce point est $x' = y$, $y' = -\varepsilon y - x$. Les valeurs propres de la matrice correspondantes sont complexes conjuguées de partie réelle $-\varepsilon/2 < 0$: le point $(0, 0)$ est donc un puits.
- ii). Si $(x, y) = (r \cos \theta, r \sin \theta)$ alors $r' = x' \cos \theta + y' \sin \theta$ et $\theta' = (y' \cos \theta - x' \sin \theta)/r$, ce qui donne immédiatement le système (Σ_ε) lorsque (x, y) est solution de (S_ε) , et vice versa.
- iii). a) L'essentiel du travail porte sur la majoration de $\rho_\varepsilon := |r_\varepsilon - v|$, car

$$\theta_\varepsilon(t) + t = \varepsilon \int_0^t (r_\varepsilon(s)^2 \cos^2 \theta_\varepsilon(s) - 1) \sin \theta_\varepsilon(s) \cos \theta_\varepsilon(s) ds,$$

et donc $|\theta_\varepsilon(t) + t| \leq 4\pi \varepsilon ((v + K\varepsilon_0)^2 - 1)$ si $\rho_\varepsilon \leq K\varepsilon$, $|t| \leq 4\pi$ et $\varepsilon \leq \varepsilon_0$. Sous les mêmes conditions, en notant $C_K := ((v + K\varepsilon_0)^2 - 1)$, on observe également que, puisque

$$v - r_\varepsilon(t) = \varepsilon \int_t^0 (r_\varepsilon(s)^2 \cos^2 \theta_\varepsilon(s) - 1) r_\varepsilon(s) \sin^2 \theta_\varepsilon(s) ds,$$

$$\rho_\varepsilon(t) \leq \varepsilon C_K \int_t^0 (v + \rho_\varepsilon(s)) ds,$$

pour $t \leq 0$, d'où par le lemme de Gronwall (en prenant garde au fait que t est négatif)

$$\rho_\varepsilon(t) \leq (e^{-\varepsilon C_K t} - 1)v.$$

Or, d'après l'inégalité $e^x - 1 \leq xe^x$, on a $(e^{-\varepsilon C_K t} - 1)v < K\varepsilon$ si $4\pi C_K e^{4\pi C_K \varepsilon_0} v < K$. Pour satisfaire cette dernière inégalité il suffit par exemple de choisir $K > \max(1, 4\pi(4v^2 - 1)e^{4\pi(4v^2 - 1)})v$ et $\varepsilon_0 = v/K$. Ces choix étant faits, on démontre effectivement le résultat voulu par un argument de bootstrap : il suffit d'appliquer la proposition 7.6 avec $z(t) := \rho_\varepsilon(-t)$, $r := K\varepsilon$ (et $\varepsilon \leq \varepsilon_0$), et $\varphi(t) := (e^{-\varepsilon C_K t} - 1)v$, ainsi que le théorème 7.5 pour assurer la minoration du temps d'existence par 4π .

b) On a $|\theta'(t) + 1| \leq C\varepsilon/(4\pi)$ (inégalité se montrant exactement comme sa version « intégrée » $|\theta(t) + t| \leq C\varepsilon$). Donc pour $\varepsilon \leq \varepsilon_0 < 2\pi/C$, $\theta'(t) > 1/2$, ce qui implique que θ est un difféomorphisme strictement croissant, et de plus, $\theta(-4\pi) \geq 4\pi - C\varepsilon > 2\pi$, tandis que $\theta(0) = 0$: d'après le théorème des valeurs intermédiaires, il existe un unique $\tau_\varepsilon \in]-4\pi, 0[$ tel que $\theta_\varepsilon(\tau_\varepsilon) = 2\pi$.

c) Par définition,

$$\frac{d\tilde{r}_\varepsilon}{d\omega} = \frac{\varepsilon(\tilde{r}_\varepsilon(\omega)^2 \cos^2 \omega - 1)\tilde{r}_\varepsilon(\omega) \sin^2 \omega}{-1 + \varepsilon(\tilde{r}_\varepsilon(\omega)^2 \cos^2 \omega - 1) \cos \omega \sin \omega},$$

Or avec nos choix précédents $|\tilde{r}_\varepsilon| \leq 2v$ et $\varepsilon|\tilde{r}_\varepsilon(\omega)^2 \cos^2 \omega - 1| \leq 1/2$, donc

$$\left| \frac{d\tilde{r}_\varepsilon}{d\omega} + \varepsilon(\tilde{r}_\varepsilon(\omega)^2 \cos^2 \omega - 1)\tilde{r}_\varepsilon(\omega) \sin^2 \omega \right| \leq 4\varepsilon^2(4v^2 - 1)^2 v.$$

iv). D'après la question précédente et comme $\tilde{r}_0(\omega) = v$,

$$\lim_{\varepsilon \rightarrow 0} F(v, \varepsilon) = \int_0^{2\pi} (v \sin^2 \omega - v^3 \cos^2 \omega \sin^2 \omega) d\omega = \pi \left(v - \frac{1}{4}v^3 \right).$$

v). D'après ce qui précède, $F(2, 0) = 0$ et $\partial_v F(2, 0) = -2\pi \neq 0$, donc le théorème des fonctions implicites s'applique.

vi). Pour tout $\varepsilon \in]0, \varepsilon_1[$, il existe $v = \rho(\varepsilon)$ tel que $R(\omega; \varepsilon, v) = R(0; \varepsilon, v)$: ceci fournit une solution de Σ_ε telle que $r_\varepsilon(\tau_\varepsilon) = r_\varepsilon(0)$ et $\theta_\varepsilon(\tau_\varepsilon) = 2\pi$, et donc une solution de $|\tau_\varepsilon|$ -périodique de (S_ε) , voir la figure 7.8.

Exercice 7.10

i). Le flot de l'équation différentielle

$$\frac{du}{d\lambda} = v(u)$$

définit un unique groupe de transformations à un paramètre (φ_λ) dont v est, par construction, le générateur infinitésimal.

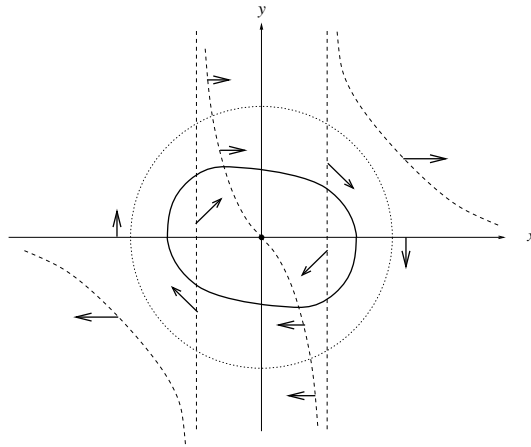


Figure 7.8 Éléments du portrait de phase pour le système S_e .

- ii). Pour traiter cette question avec un minimum de calculs, il est bon d'observer que deux champs de vecteurs v et w coïncident si et seulement si, pour toute fonction $f : \mathbb{R}^d \rightarrow \mathbb{R}$ de classe \mathcal{C}^∞ , $v(f) = w(f)$, où l'on utilise ici l'interprétation de v et w comme des opérateurs différentiels (voir le §4.1), c'est-à-dire que

$$v(f) = \sum_{j=1}^d \phi_j \frac{\partial f}{\partial u_j}.$$

Par linéarité, il suffit de se convaincre qu'un champ v est identiquement nul si et seulement si $v(f) = 0$ quelle que soit f : ceci est clair, en choisissant successivement les fonctions $f = f_j : u \mapsto u_j$. De plus, concernant le crochet de Lie, on a la relation fondamentale

$$[v, w](f) = v(w(f)) - w(v(f)).$$

Ceci résulte de la règle de dérivation d'un produit et de l'égalité des dérivées croisées pour f (théorème de Schwarz). Enfin, une dernière observation utile (bien qu'immédiate), est que pour un champ hamiltonien \widehat{v}_K , pour toute fonction $f \in \mathcal{C}^\infty(U \times \mathbb{R}^n; \mathbb{R})$, on a $\widehat{v}_K(f) = \{f, K\}$. Par conséquent

$$\begin{aligned} [\widehat{v}_K, \widehat{v}_H](f) &= \widehat{v}_K(\widehat{v}_H(f)) - \widehat{v}_H(\widehat{v}_K(f)) = \{\{f, H\}, K\} - \{\{f, K\}, H\} \\ &= \{f, \{H, K\}\} = \widehat{v}_{\{H, K\}}(f), \end{aligned}$$

où l'on a de plus utilisé l'identité de Jacobi (voir p. 65).

- iii). Par définition, K est une intégrale première de (H) si et seulement si $dK \cdot \widehat{v}_H \equiv 0$, c'est-à-dire $\widehat{v}_H(K) = 0$, ce qui s'écrit encore $\{K, H\} = 0$.

iv). La question peut se traiter pour une équation non nécessairement hamiltonienne. Supposons que v soit le générateur infinitésimal d'un groupe à un paramètre de transformations φ_λ laissant invariant les solutions de $u' = g(u)$, avec g de classe \mathcal{C}^3 sur $U \subset \mathbb{R}^d$. Par souci de cohérence des notations, renommeons w le champ g , c'est-à-dire que

$$w := \sum_{j=1}^d g_j \frac{\partial}{\partial u_j}.$$

Toute solution de $u' = g(u)$ est de classe \mathcal{C}^2 et par l'hypothèse d'invariance on a $(\varphi_\lambda(u))' = g(\varphi_\lambda(u))$. En dérivant par rapport à λ et en permutant les dérivées en t et λ (ce qui est possible car $(\lambda, t) \mapsto \varphi_\lambda(u(t))$ est deux fois différentiable), on obtient (en $\lambda = 0$), $(v(u))' = dg(u) \cdot v(u)$. Avec les notations précédentes, si $v = \sum_{j=1}^d \phi_j \frac{\partial}{\partial u_j}$, cette égalité s'écrit encore, composante par composante, $(\phi_j(u))' = v(g_j)(u)$, soit par dérivation de fonctions composées,

$$\sum_{k=1}^d \frac{\partial \phi_j}{\partial u_k}(u) u'_k = v(g_j)(u), \quad j \in \{1, \dots, d\}.$$

Ceci doit être vrai quel que soit $(u, u') \in U \times \mathbb{R}^d$ tel que $u' = g(u)$ (car pour tout $u_0 \in \mathbb{R}^d$ il existe une solution (unique) de $u' = g(u)$ valant u_0 à $t = 0$ par exemple). Or en substituant g_k à u'_k , l'égalité ci-dessus s'écrit :

$$\sum_{k=1}^d g_k \frac{\partial \phi_j}{\partial u_k} - \sum_{k=1}^d \phi_k \frac{\partial g_j}{\partial u_k} \equiv 0, \quad j \in \{1, \dots, d\},$$

ce qui signifie précisément $[v, w] = 0$. Inversement, si $[v, w] = 0$, en utilisant que

$$\frac{\partial \varphi_\lambda}{\partial \lambda} = v(\varphi_\lambda)$$

et en « remontant les calculs », on obtient que pour toute solution de l'équation différentielle $u' = g(u)$,

$$\frac{d}{d\lambda} ((\varphi_\lambda(u))' - g(\varphi_\lambda(u))) = 0,$$

et donc $(\varphi_\lambda(u))' - g(\varphi_\lambda(u)) = (\varphi_0(u))' - g(\varphi_0(u)) = u' - g(u) = 0$. Au des deux questions précédentes, on a ainsi montré que K est une intégrale première de (H) si et seulement si \hat{v}_K est le générateur infinitésimal d'un groupe de transformations à un paramètre.

Chapitre 8

Stabilité des solutions stationnaires

Les solutions stationnaires constituent des états d'équilibre dont la stabilité (ou l'instabilité) est cruciale du point de vue des applications : dans le « monde réel », un système physique est toujours soumis à des perturbations, aussi infimes soient-elles, et lorsqu'on cherche à le simuler numériquement avec un ordinateur, on commet nécessairement des erreurs de mesures et des erreurs d'arrondis (sans parler des approximations inhérentes à la modélisation). On va s'intéresser ici à deux types de stabilité : l'une concernant le comportement asymptotique des solutions pour des données initiales proches d'une solution stationnaire ; l'autre concernant le portrait de phase autour d'un point fixe et sa sensibilité aux perturbations (liées par exemple à des variations de paramètres). Dans le premier cas, on parle de *stabilité asymptotique* (ou de stabilité tout court), pour laquelle on peut avoir recours à la théorie de *Lyapunov*. Dans le second cas, on parle de *stabilité structurelle*, ce qui amène aux notions de *variétés stable/instable/centrale* et de *bifurcations*.

8.1 THÉORIE DE LYAPUNOV

Dans ce qui suit, U est un ouvert d'un espace de Banach E .

Définition 8.1 Soit un champ de vecteurs complet $f \in \mathcal{C}^1(U; E)$ de flot ϕ . Un point singulier v de f (c'est-à-dire tel que $f(v) = 0_E$) est dit *stable* s'il existe un voisinage \mathcal{V}_0 de v dans U tel que

- i). le flot $\phi_t(w)$ est défini pour tout $t \geq 0$ et pour tout $w \in \mathcal{V}_0$,
- ii). pour tout voisinage \mathcal{W} de v dans U , il existe un voisinage $\mathcal{V} \subset \mathcal{V}_0$ tel que $\phi_t(w)$ appartient à \mathcal{W} pour tout $t \geq 0$ et pour tout $w \in \mathcal{V}$.

Il est dit asymptotiquement stable si de plus il existe un voisinage $\mathcal{V}_1 \subset \mathcal{V}_0$ tel que,

iii). pour tout $w \in \mathcal{V}_1$, $\lim_{t \rightarrow +\infty} \phi_t(w) = v$.

On dit d'un point non stable qu'il est instable.

On a en fait déjà étudié la stabilité des équilibres pour les équations linéaires en dimension finie. La proposition 6.12 (p. 182) montre le

Théorème 8.2 Soit $A \in \mathcal{M}_n(\mathbb{R})$. Le point 0 est stable pour le champ linéaire $u \mapsto Au$ si et seulement si

- i). les valeurs propres de A sont toutes de partie réelle négative ou nulle,
- ii). les valeurs propres imaginaires pures de A sont semi-simples.

Le point 0 est asymptotiquement stable si et seulement si

- iii). les valeurs propres de A sont toutes de partie réelle strictement négative.

En dimension infinie, c'est-à-dire pour une équation linéaire $u' = Au$ avec $A \in \mathcal{L}(E)$ où E est de dimension infinie, on n'a pas de résultat aussi net. Toutefois, le théorème 6.20 (p. 189) montre qu'une condition suffisante de stabilité asymptotique est que le spectre de A soit inclus dans $\{\lambda \in \mathbb{C}; \operatorname{Re} \lambda < 0\}$.

Pour les équations non-linéaires, la stabilité des équilibres est plus délicate à étudier, que ce soit en dimension finie ou a fortiori en dimension infinie. La théorie de Lyapunov fait appel à des fonctions particulières au voisinage de l'équilibre, permettant de « contrôler » le comportement asymptotique des solutions pour des données initiales dans ce voisinage.

Théorème 8.3 (Lyapunov n°1) Soit v un point singulier de $f \in \mathcal{C}^1(U; E)$. On suppose qu'il existe un voisinage \mathcal{V} de v dans U et une fonction $F \in \mathcal{C}^2(\mathcal{V})$, telle que

- le point v est un minimum local de F , d'où nécessairement $dF(v) = 0$, et de plus il existe $\alpha > 0$ tel que $d^2F(v) \geq \alpha \operatorname{Id}_E$,
- et la fonction F est décroissante le long des orbites issues de \mathcal{V} , c'est-à-dire $dF(u) \cdot f(u) \leq 0$ pour tout $u \in \mathcal{V}$.

Alors v est un point d'équilibre stable.

Démonstration. Soit $\eta_0 > 0$ tel que f soit bornée, disons par M , et Lipschitzienne dans la boule $B(v; 2\eta_0) \subset \mathcal{V}$. Le lemme 5.8 montre que le flot $\phi_t(w)$ est défini pour tout $w \in B(v; \eta_0)$ et $t \in [0, \tau]$ avec $\tau := \eta_0/(2M)$, et à valeurs dans $B(v; 2\eta_0)$. D'après l'hypothèse sur F et la formule de Taylor-Young à l'ordre 2, il existe $\eta_1 \leq \eta_0$ tel que

$$F(v+h) - F(v) \geq \frac{\alpha}{4} \|h\|^2$$

pour tout $h \in E$ avec $\|h\| \leq \eta_1$. Pour tout $\eta \leq \eta_1$, on a donc

$$\inf_{\|h\|=\eta} F(v+h) \geq F(v) + \frac{\alpha}{4} \eta^2 =: m_\eta.$$

Par continuité de F , $\mathcal{V}_\eta := \{u \in B(v; \eta); F(u) < m_\eta\}$ est un voisinage ouvert de v dans U . De plus, si $w \in \mathcal{V}_\eta$,

$$F(\phi_t(w)) \leq F(w) < m_\eta$$

pour $t \in [0, \tau]$ et donc $\|\phi_t(w) - v\|$ reste strictement inférieur à $\eta \leq \eta_1$. En particulier, $\phi_\tau(w)$ appartient à $\mathcal{V}_\eta \subset B(v; \eta_0)$. On en déduit (comme dans le théorème 7.5 p. 224) que pour tout $w \in \mathcal{V}_\eta$, $\phi_t(w)$ est défini pour tout $t \geq 0$, et à valeurs dans $\mathcal{V}_\eta \subset \mathcal{W}_\eta := B(v; \eta)$. Les boules $B(v; \eta)$ pour $\eta \leq \eta_1$ formant une base de voisinages de v , ceci prouve bien la stabilité de v .

Définition 8.4 On appelle fonction de Lyapunov une fonction F vérifiant les hypothèses du théorème 8.3.

Remarque : En dimension finie, on peut se contenter d'une fonction F de classe \mathcal{C}^1 ayant un minimum local strict en v : il suffit alors dans la démonstration de remplacer m_η par $\min_{\|h\|=\eta} F(v+h)$ (qui est atteint puisque la sphère de rayon η est compacte).

► Exemple :

Une intégrale première ayant un minimum local (au sens strict de l'énoncé du théorème 8.3) en v est une fonction de Lyapunov.

Dans les modèles physiques, les fonctions de Lyapunov sont souvent reliées à une énergie (voir la remarque p. 262 ci-après).

Théorème 8.5 (Lyapunov n°2) Soit v un point singulier de $f \in \mathcal{C}^1(U; E)$. On suppose qu'il existe un voisinage \mathcal{V} de v dans U et une fonction de Lyapunov $F \in \mathcal{C}^2(\mathcal{V})$ pour laquelle

- il existe $\beta > 0$ tel que $dF(u) \cdot f(u) \leq -\beta(F(u) - F(v))$ pour tout $u \in \mathcal{V}$.

Alors v est un point d'équilibre asymptotiquement stable.

Démonstration. D'après la preuve du théorème 8.3, il existe un voisinage \mathcal{V}_{η_1} de v inclus dans \mathcal{V} tel que $\phi_t(\mathcal{V}_{\eta_1}) \subset \mathcal{V}_{\eta_1}$ pour tout $t \geq 0$. De plus, pour tout $w \in \mathcal{V}_{\eta_1}$ on a

$$\frac{d}{dt}(F(\phi_t(w)) - F(v)) = dF(\phi_t(w)) \cdot f(\phi_t(w)) \leq -\beta(F(\phi_t(w)) - F(v)),$$

ce qui implique par intégration :

$$(F(\phi_t(w)) - F(v)) \leq (F(w) - F(v)) e^{-\beta t}.$$

Or par construction de η_1 on a

$$F(\phi_t(w)) - F(v) \geq \frac{\alpha}{4} \|\phi_t(w) - v\|^2$$

avec $\alpha > 0$. Comme $\beta > 0$ on en déduit que $\phi_t(w) - v$ tend vers 0 lorsque $t \rightarrow +\infty$.

Définition 8.6 Une fonction F vérifiant les hypothèses du théorème 8.5 est appelée une fonction de Lyapunov forte.

Remarque :

- i). En dimension finie, on peut à nouveau affaiblir ces hypothèses et se contenter d'une fonction F de classe \mathcal{C}^1 ayant un minimum local strict en v telle que $dF(w) \cdot f(w) < 0$ pour $w \neq v$ au voisinage de v : on démontre alors par l'absurde que l'ensemble ω -limite de w est le singleton $\{v\}$ (s'il existait $t_n \rightarrow +\infty$ tel que $\lim_{n \rightarrow +\infty} \phi_{t_n}(w) = w_\infty \neq v$, on aurait pour $t_n > s > 0$, $F(\phi_{t_n}(w)) < F(\phi_s(w)) < F(w)$, d'où $F(w_\infty) \leq F(\phi_s(w))$ par continuité de F ; par ailleurs, on aurait pour tout $\tau > 0$, $\lim_{n \rightarrow +\infty} F(\phi_{\tau+t_n}(w)) = F(\phi_\tau(w_\infty)) < F(w_\infty)$ puisque $w_\infty \neq v$; ceci contredirait, pour n assez grand, l'inégalité $F(w_\infty) \leq F(\phi_{\tau+t_n}(w))$.)
- ii). Une intégrale première ne peut pas être une fonction de Lyapunov forte. Cependant, une intégrale première d'un système « approché » peut s'avérer utile. Par exemple pour l'équation du pendule avec amortissement :

$$\frac{d^2x}{dt^2} + k \frac{dx}{dt} + \sin x = 0, \quad k > 0,$$

la fonction E (intégrale première dans le cas $k = 0$) définie par

$$E(x, x') = \frac{1}{2} (x')^2 - \cos x$$

est décroissante le long des solutions :

$$\frac{d}{dt} E(x(t), x'(t)) = x'(t)(x''(t) + \sin x(t)) = -k(x'(t))^2 < 0$$

pour $x'(t) \neq 0$. C'est une fonction de Lyapunov aux points de la forme $(2k\pi, 0)$; ce n'est pas tout à fait une fonction de Lyapunov forte, mais elle permet de montrer que ces points sont asymptotiquement stables (voir l'exercice 8.1).

iii). Il y a parfois une fonction de Lyapunov forte « évidente », comme pour certains systèmes gradient, c'est-à-dire de la forme

$$\frac{du}{dt} = -\text{grad}V(u).$$

Si V a un minimum local strict en v et si dV se n'annule pas au voisinage de v en dehors de v , alors V est une fonction de Lyapunov forte au point v , car $-dV(u) \cdot \text{grad}V(u) = -\|\text{grad}V(u)\|^2 < 0$.

Théorème 8.7 (Lyapunov n°3) Soit v un point d'équilibre du champ $f \in \mathcal{C}^1(U; \mathbb{R}^n)$, $U \subset \mathbb{R}^n$. On suppose que la matrice jacobienne $Df(v)$ a toutes ses valeurs propres de partie réelle strictement négative. Alors v est asymptotiquement stable.

Les théorèmes 8.2 et 8.7 montrent ainsi qu'en dimension finie, si 0 est un point d'équilibre asymptotiquement stable du système linéarisé autour d'un point d'équilibre v :

$$\frac{du}{dt} = Df(v)u,$$

alors v est asymptotiquement stable pour le système *non-linéaire*. La stabilité asymptotique pour le système linéarisé étant d'après le théorème 8.2 équivalente à la *stabilité spectrale*, c'est-à-dire au fait que le spectre du linéarisé soit inclus dans $\{\lambda \in \mathbb{C}; \text{Re } \lambda < 0\}$, on peut même dire que la stabilité spectrale implique la stabilité non-linéaire. On verra au paragraphe 8.2 que ce résultat très fort reste vrai pour les équations différentielles ordinaires dans les espaces de Banach de dimension infinie : ceci contraste avec ce que l'on sait des équations aux dérivées partielles d'évolution, pour lesquelles il en général difficile de montrer que la stabilité spectrale implique la stabilité linéaire (et non-linéaire).

Pour démontrer le théorème 8.7, nous utiliserons le résultat préliminaire suivant.

Lemme 8.8 Soit $A \in \mathcal{M}_n(\mathbb{R})$ dont les valeurs propres sont toutes de partie réelle strictement négative. Alors l'équation $u' = Au$ admet une forme quadratique comme fonction de Lyapunov forte.

Démonstration. On commence par « diagonaliser A à ε près », c'est-à-dire à trouver, pour tout $\varepsilon > 0$, une matrice $P_\varepsilon \in \text{GL}_n(\mathbb{C})$ et une matrice $C_\varepsilon \in \mathcal{M}_n(\mathbb{C})$ de norme (subordonnée à la norme hermitienne sur \mathbb{C}^n) inférieure à ε telles que $P_\varepsilon^{-1} A P_\varepsilon = D + C_\varepsilon$, avec D diagonale de coefficients $\{\lambda_1, \dots, \lambda_n\}$ les valeurs propres de A . Pour cela, il suffit de trigonaliser A de façon particulière : si a est l'endomorphisme de matrice A dans la base canonique de \mathbb{C}^n , on choisit une base $(\mathbf{e}_1, \dots, \mathbf{e}_n)$ dans laquelle la matrice de a soit une matrice triangulaire supérieure $D + B$, c'est-à-dire que pour

tout $j \in \{1, \dots, n\}$:

$$a(\mathbf{e}_j) = \lambda_j \mathbf{e}_j + \sum_{i=1}^{j-1} b_{ij} \mathbf{e}_i,$$

puis on dilate les vecteurs de base en $\tilde{\mathbf{e}}_j = \eta^j \mathbf{e}_j$, de sorte que

$$a(\tilde{\mathbf{e}}_j) = \lambda_j \tilde{\mathbf{e}}_j + \sum_{i=1}^{j-1} b_{ij} \eta^{j-i} \tilde{\mathbf{e}}_i.$$

Autrement dit, on a $P^{-1} A P = D + C$ avec P la matrice de vecteurs colonnes $\tilde{\mathbf{e}}_1, \dots, \tilde{\mathbf{e}}_n$ et C la matrice triangulaire supérieure de coefficients $c_{ij} := b_{ij} \eta^{j-i}$ pour $i \leq j-1$ (et $c_{ij} = 0$ pour $i \geq j$). Cette matrice est de norme inférieure à ε pourvu que $\eta < \min(1, \varepsilon/\|B\|)$.

Soient alors $Q := P_\varepsilon^{-1}$ et $q(u) := u^* Q^* Q u = \|Q u\|^2$. On a

$$q(0) = 0, \quad dq(u) \cdot h = u^* Q^* Q h + h^* Q^* Q u, \quad \text{Hess}q(u) = 2 Q^* Q.$$

Comme $Q^* Q$ est hermitienne définie positive, la fonction q admet bien un minimum local strict en 0 (on a $Q^* Q \geq \alpha \mathbf{I}_n$ avec $\alpha = \min_{\|h\|=1} \|Qh\|^2$). De plus, $Dq(u) A u = 2 \operatorname{Re}(u^* Q^* Q A u) =$

$$2 \operatorname{Re}(u^* Q^* D Q u) + 2 \operatorname{Re}(u^* Q^* C Q u).$$

D'après l'inégalité de Cauchy–Schwarz, on a

$$\operatorname{Re}(u^* Q^* C Q u) \leq \|Q u\| \|C Q u\| \leq \varepsilon \|Q u\|^2$$

par construction de C . Donc, si $\beta = -\max_j \operatorname{Re} \lambda_j$, on a

$$Dq(u) A u \leq -2(\beta - \varepsilon)q(u),$$

ce qui implique que q est une fonction de Lyapunov forte pourvu qu'on ait choisi $\varepsilon < \beta$.

Démonstration. [Théorème 8.7] On peut appliquer le lemme 8.8 à la matrice jacobienne $A = Df(v)$. On a ainsi une forme quadratique $q(u) = \|Q u\|^2$, telle que

$$q(0) = 0, \quad Dq(0) = \mathbf{0}_n, \quad \text{Hess}q(0) = 2 Q^* Q \geq \alpha \mathbf{I}_n$$

et $Dq(u) A u \leq -\beta q(u)$ avec α et $\beta > 0$. Alors $F(w) := q(w - v)$ définit une fonction de Lyapunov forte pour le champ f . En effet, on a :

$$F(v) = 0, DF(v) = Dq(0) = \mathbf{0}_n, \text{Hess}F(v) = \text{Hess}q(0) \geq \alpha \mathbf{I}_n.$$

De plus, d'après la formule de Taylor avec reste intégral,

$$f(w) = df(v) \cdot (w - v) + B(v, w) \cdot (w - v, w - v)$$

où $B(v, w)$ est l'application bilinéaire définie par :

$$B(v, w) = \int_0^1 (1 - \theta) d^2 f(v + \theta(w - v)) d\theta.$$

En particulier, il existe $c > 0$ tel que pour $\|w - v\| \leq 1$:

$$\|B(v, w) \cdot (w - v, w - v)\| \leq c \|w - v\|^2 \leq \frac{2c}{\alpha} \|Q(w - v)\|^2.$$

Or $DF(w) f(w) = 2 \text{Re} ((w - v)^* Q^* Q f(w)) =$

$$\begin{aligned} & Dq(w - v) A (w - v) + 2 \text{Re} ((w - v)^* Q^* Q B(v, w) \cdot (w - v, w - v)) \\ & \leq -\beta F(w) + \frac{4c}{\alpha} \|Q\| \|Q(w - v)\|^3 \leq -(\beta - \frac{4c}{\alpha} \|Q\|^2 \|w - v\|) F(w) \end{aligned}$$

par l'inégalité de Cauchy-Schwarz et la minoration de $Q^* Q$. Pour $\|w - v\| \leq \alpha \beta / (8c \|Q\|^2)$ on a donc $DF(w) f(w) \leq -(\beta/2) F(w)$. Ceci montre que F est une fonction de Lyapunov forte pour f au point v , et l'équilibre v est donc asymptotiquement stable d'après le théorème 8.5.

Il existe divers outils pour le calcul, exact ou approché, des valeurs propres d'une matrice (voir par exemple [27, chap. 10]), ou bien encore pour la détermination du nombre de valeurs propres de partie réelle négative (théorème de *Routh-Hurwitz*, voir [14]). Cependant pour un « gros » système, il peut être plus facile de trouver une fonction de Lyapunov que de montrer la stabilité spectrale. La recherche de fonctions de Lyapunov est donc très importante. C'est d'autant plus vrai en dimension infinie car bien que l'on puisse en théorie avoir recours à la généralisation du théorème 8.7 (théorème 8.9 ci-après), le spectre du linéarisé est en général difficile à localiser (il n'y a pas de polynôme caractéristique en dimension infinie).

8.2 APPROCHE SPECTRALE

Malgré les limites que l'on vient de signaler, l'approche spectrale peut dans certains cas permettre de démontrer de la stabilité ou de l'instabilité, grâce aux deux théorèmes suivants.

Premièrement, la stabilité spectrale au sens fort implique la stabilité non-linéaire, et ceci même en dimension infinie.

Théorème 8.9 Soient $f : U \rightarrow E$ de classe \mathcal{C}^2 sur un ouvert U d'un espace de Banach E et $v \in U$ tel que $f(v) = 0$. Si le spectre de $df(v)$ est inclus dans le demi-plan ouvert $\{\lambda; \operatorname{Re} \lambda < 0\}$ alors v est un point d'équilibre asymptotiquement stable pour l'équation $u' = f(u)$.

Démonstration. Elle repose sur les outils introduits dans la démonstration du théorème 6.20 (p. 189), et sur un argument de « *bootstrap* » allié au théorème 7.5 (p. 224). Soit $\varepsilon > 0$. On veut montrer qu'il existe $\eta > 0$ tel que pour tout $u_0 \in E$ tel que $\|u_0 - v\| \leq \eta$, la solution maximale de $u' = f(u)$ vérifiant $u(0) = u_0$ est définie pour tout $t \geq 0$, telle que $\|u(t) - v\| \leq \varepsilon$ pour tout $t \geq 0$, et $\lim_{t \rightarrow +\infty} \|u(t) - v\| = 0$.

On commence par observer que, puisque le spectre de $A := df(v)$ est compact (voir p. 185) et inclus dans $\{\lambda; \operatorname{Re} \lambda < 0\}$, il existe $\beta > 0$ et une courbe fermée simple Γ incluse dans un demi-plan $\{\lambda; \operatorname{Re} \lambda \leq -\beta\}$ entourant l'ensemble du spectre de A . De la formule de Dunford-Taylor on déduit alors l'existence de $C_1 > 0$ tel que $\|e^{tA}\| \leq C_1 e^{-\beta t}$ pour tout $t \in \mathbb{R}^+$. Par ailleurs, d'après la formule de Duhamel, une fonction $u \in \mathcal{C}^1(J; E)$ est solution de $u' = f(u)$ sur un intervalle J contenant 0 si et seulement si

$$u(t) - v = e^{tA} (u(0) - v) + \int_0^t e^{(t-s)A} g(u(s)) ds \quad \text{pour tout } t \in J,$$

où $g(u) := f(u) - df(v) \cdot (u - v)$ (rappelons que $f(v) = 0$). D'après la formule de Taylor (avec reste intégral, en utilisant que d^2g est localement bornée), il existe $r_0 \in]0, \varepsilon]$ et $C_0 > 0$ tels que $\|u - v\| \leq r_0$ implique $\|g(u)\| \leq C_0 \|u - v\|^2$. (En dimension finie, où les boules fermées sont compactes, on a une telle majoration quel que soit r_0 .) Grâce à cette majoration et à celle de $\|e^{tA}\|$, on va montrer que la proposition 7.6 (« *bootstrap* », p. 225) s'applique sur $J \cap \mathbb{R}^+$ à $r \in]0, r_0]$ convenablement choisi, $z(t) := \|u(t) - v\|$ et $\varphi(t)$ de la forme $C_1 \eta e^{-\gamma t}$, où $\gamma \in]0, \beta[$ est indépendant de $\eta \in]0, \min(r, r/C_1)[$ et de $u \in \mathcal{C}^1(J; E)$ solution de $u' = f(u)$ telle que $\|u(0) - v\| \leq \eta$.

Le premier point à vérifier est évident dès lors que $\eta < r$: si $\|u(0) - v\| \leq \eta$ alors $\|u(0) - v\| < r$. Le deuxième point demande que $C_1 \eta e^{-\gamma t} < r$ pour tout $t \geq 0$, ce qui sera le cas si $\eta < r/C_1$. Le dernier point est celui qui demande un peu de travail. Soit $t \in J \cap \mathbb{R}^+$, où J est l'intervalle de définition de u , une solution maximale de $u' = f(u)$. On suppose que $\|u(s) - v\| < r$ pour tout $s \in [0, t]$ et l'on veut en déduire une majoration de la forme

$$\|u(s) - v\| \leq C_1 \eta e^{-\gamma s} \quad \text{pour tout } s \in [0, t].$$

D'après les majorations de $\|g\|$ et $\|e^{tA}\|$ et la formule intégrale pour u , on a pour tout $s \in [0, t]$,

$$\|u(s) - v\| \leq C_1 e^{-\beta s} \|u(0) - v\| + C_0 C_1 r \int_0^s e^{-\beta(s-\sigma)} \|u(\sigma) - v\| d\sigma.$$

Autrement dit, la fonction $f : s \mapsto e^{\beta s} \|u(s) - v\|$ vérifie l'inéquation intégrale linéaire

$$f(s) \leq C_1 f(0) + C_0 C_1 r \int_0^s f(\sigma) d\sigma$$

pour tout $s \in [0, t]$. C'est un cas d'application du lemme de Gronwall (lemme 5.4 p. 140), qui donne simplement $f(s) \leq C_1 f(0) e^{C_0 C_1 r s}$ pour tout $s \in [0, t]$, d'où

$$\|u(s) - v\| \leq C_1 e^{-(\beta - C_0 C_1 r)s} \|u(0) - v\|.$$

On peut maintenant préciser le choix des paramètres : on choisit d'abord $r \in]0, r_0]$ tel que $C_0 C_1 r \leq \beta/2$ par exemple, de sorte que $\beta - C_0 C_1 r \geq \gamma := \beta/2$, puis $\eta \in]0, \min(r, r/C_1)[$.

Ainsi, la proposition 7.6 montre que

$$\|u(t) - v\| \leq C_1 \eta e^{-\gamma t} < r \quad \text{pour tout } t \in J \cap \mathbb{R}^+,$$

et le théorème 7.5 implique que $J \cap \mathbb{R}^+ = \mathbb{R}^+$. Comme $r \leq r_0 \leq \varepsilon$, on a bien $\|u(t) - v\| \leq \varepsilon$ pour tout $t \in \mathbb{R}^+$. Et puisque $\gamma > 0$, $\lim_{t \rightarrow +\infty} \|u(t) - v\| = 0$.

D'autre part, l'instabilité spectrale implique l'instabilité non-linéaire.

Théorème 8.10 Soient $f \in \mathcal{C}^2(U; E)$ et $v \in U$ tel que $f(v) = 0$. On suppose que $\max\{\operatorname{Re} \lambda; \lambda \in \sigma(df(v))\}$ est atteint en une valeur propre de $df(v)$ de partie réelle strictement positive. Alors v est un point d'équilibre instable pour l'équation $u' = f(u)$.

Démonstration. On cherche $\varepsilon_0 > 0$ tel que pour tout $\eta > 0$ il existe $T > 0$ et une solution $u \in \mathcal{C}^1([0, T])$ vérifiant $\|u(0) - v\| \leq \eta$ et $\|u(T) - v\| \geq \varepsilon_0$. Les ingrédients de la démonstration sont essentiellement les mêmes que pour le théorème 8.9, bien que sa mise en place (en particulier le choix des paramètres) soit un peu plus compliquée. On note $A = df(v)$, $\gamma = \operatorname{Re} \lambda$, et x un vecteur propre associé à λ (dans le complexifié de E).

Soit $\varepsilon > 0$ (sur lequel on introduira par la suite une condition de petitesse). L'hypothèse sur le spectre de A permet de l'entourer par une courbe fermée

incluse dans le demi-plan $\{z \in \mathbb{C}; \operatorname{Re} z \leq \gamma + \varepsilon\}$. Grâce à la formule de Dunford-Taylor sur cette courbe, on en déduit l'existence d'une constante $C_\varepsilon > 0$ telle que pour tout $t \in \mathbb{R}^+$,

$$\|e^{tA}\| \leq C_\varepsilon e^{(\gamma+\varepsilon)t}.$$

Soit $\delta > 0$ un second paramètre à ajuster ultérieurement. Alors $u_\ell : t \mapsto \delta e^{\lambda t} x$ est solution de l'équation linéarisée $u' = A u$. En posant $u = v + u_\ell + w$, il s'agit de contrôler la solution de l'équation $w' = A w + g(u_\ell + w)$, avec $g(w) := f(v + w) - df(v) \cdot w$, pour la donnée initiale $w(0) = 0$. On considère la solution maximale $w \in \mathcal{C}^1(J; E)$ de ce problème. Par la formule de Duhamel et la majoration de $\|e^{tA}\|$ obtenue précédemment on a

$$\|w(t)\| \leq C_\varepsilon \int_0^t e^{(\gamma+\varepsilon)(t-s)} \|g(u_\ell(s) + w(s))\| ds$$

pour tout $t \in J$, $t \geq 0$. Or comme $g(0) = 0$, $dg(0) = 0$, d'après la formule de Taylor-Lagrange, il existe $r_0 > 0$ et $C_0 > 0$ tel que $\|w\| \leq 2r_0$ implique $\|g(w)\| \leq C_0 \|w\|^2$. Dans la suite, pour $\delta \in]0, r_0/\|x\|$ on note,

$$T_\delta := \frac{1}{\gamma} \ln \left(\frac{r_0}{\delta \|x\|} \right) > 0.$$

Comme par définition, $\|u_\ell(t)\| = \delta \|x\| e^{\gamma t}$, on a $\|u_\ell(t)\| \leq r_0$ pour tout $t \in [0, T_\delta]$. Par conséquent, pour tout $t \in J \cap [0, T_\delta]$, si $\|w(t)\| < r_0$ alors

$$\|g(u_\ell(t) + w(t))\| \leq 2C_0 (\|u_\ell(t)\|^2 + \|w(t)\|^2).$$

Ainsi, pour tout $t \in J \cap [0, T_\delta]$ tel que $\|w(s)\| < r_0$ quel que soit $s \in [0, t]$,

$$\|w(t)\| \leq 2C_0 C_\varepsilon e^{(\gamma+\varepsilon)t} \int_0^t (\delta^2 e^{(\gamma-\varepsilon)s} \|x\|^2 + e^{-(\gamma+\varepsilon)s} \|w(s)\|^2) ds. \quad (8.1)$$

Grâce à cette propriété, nous allons montrer qu'il existe $r \in]0, r_0]$, $C > 0$ et $\kappa \in]0, r_0/\|x\|$, tels que l'on puisse appliquer, pour tout $\delta \in]0, \kappa[$, la proposition 7.6 (« bootstrap ») à $z(t) := \|w(t)\|$ et $\varphi(t) := C\delta^2 e^{2\gamma t}$ sur $[0, \beta[$ avec $\beta := \frac{1}{\gamma} \ln \left(\frac{\kappa}{\delta} \right) \leq \min(T_\delta, \sup J)$. Les hypothèses à satisfaire sont :

- i). $\|w(0)\| < r$
- ii). pour tout $t \in [0, \beta[$, $C\delta^2 e^{2\gamma t} < r$,
- iii). si $t \in]0, \beta[$ est tel que $\|w(s)\| < r$ pour tout $s \in [0, t]$ alors $\|w(s)\| \leq C\delta^2 e^{2\gamma s}$ pour tout $s \in [0, t]$.

Puisque $w(0) = 0$ on a trivialement *i*). Pour *ii*) il faudra s'assurer que

$$\beta < \frac{1}{2\gamma} \ln \left(\frac{r}{C\delta^2} \right),$$

c'est-à-dire simplement $\kappa^2 < r/C$ (tout en ayant $\kappa \leq r_0/\|x\|$, pour que $\beta \leq T_\delta$). L'essentiel du travail consiste donc à montrer *iii*).

Prenons $r = b\kappa^2$ avec $b \in]0, r_0/\kappa^2]$ un paramètre auxiliaire. Pour tout $t \in J \cap [0, \beta]$, si $\|w(s)\| < r$ pour tout $s \in [0, t]$ alors d'après l'inégalité (8.1) au point s (au lieu de t)

$$\|w(s)\| \leq 2C_0 C_\varepsilon e^{(\gamma+\varepsilon)s} \int_0^s (\delta^2 e^{(\gamma-\varepsilon)\sigma} \|x\|^2 + b\kappa^2 e^{-(\gamma+\varepsilon)\sigma} \|w(\sigma)\|) d\sigma. \quad (8.2)$$

De cette inéquation intégrale linéaire on peut déduire une estimation de $\|w\|$ sur $[0, t]$ par le lemme de Gronwall. Pour plus de clarté, faisons le calcul explicitement. On considère la fonction auxiliaire

$$\zeta : s \mapsto \zeta(s) = \int_0^s (\delta^2 e^{(\gamma-\varepsilon)\sigma} \|x\|^2 + b\kappa^2 e^{-(\gamma+\varepsilon)\sigma} \|w(\sigma)\|) d\sigma.$$

D'après (8.2) on a pour tout $s \in [0, t]$,

$$\zeta'(s) \leq \delta^2 e^{(\gamma-\varepsilon)s} \|x\|^2 + 2C_0 C_\varepsilon b\kappa^2 \zeta(s),$$

d'où par intégration sur $[0, s]$, en supposant désormais $\varepsilon \leq \gamma/4$ et $2C_0 C_\varepsilon b\kappa^2 \leq \gamma/4$,

$$\zeta(s) \leq \frac{2}{\gamma} \delta^2 e^{(\gamma-\varepsilon)s} \|x\|^2,$$

et en reportant dans (8.2), $\|w(s)\| \leq C\delta^2 e^{2\gamma s}$ avec $C := 4C_0 C_\varepsilon \|x\|^2/\gamma$. Cette constante étant donnée, on choisit $b > C$ puis $\kappa \in]0, r_0/\|x\|]$ tel que $\kappa^2 \leq r_0/b$ et enfin $r = b\kappa^2$: ainsi on a bien $r \leq r_0$ et $\kappa^2 < r/C$. La proposition 7.6 montre alors que pour tout $t \in [0, \beta]$,

$$\|w(t)\| \leq C\delta^2 e^{2\gamma t} < r,$$

et l'on déduit du théorème 7.5 que $\sup J \geq \beta$.

La fin de la démonstration est quasiment immédiate. Pour tout $\eta > 0$, pour tout $\delta \in]0, \kappa[$ tel que $\delta\|x\| \leq \eta$, pour $T = \frac{1}{\gamma} \ln \left(\frac{\kappa}{\delta} \right)$ il existe une solution $u = v + u_\ell + w \in \mathcal{C}^1([0, T])$ satisfaisant d'une part $\|u(0) - v\| = \|u_\ell(0)\| = \delta\|x\| \leq \eta$, et d'autre part, $\|u_\ell(T)\| = \kappa\|x\|$ et $\|w(T)\| \leq C\kappa^2$, d'où

$$\|u(T) - v\| \geq \kappa\|x\| - C\kappa^2 \geq \frac{1}{2}\kappa\|x\| =: \varepsilon_0 > 0$$

si de plus κ a été choisi inférieur à $\|x\|/(2C)$.

En résumé on a trouvé $\varepsilon_0 > 0$ tel que pour tout $\eta > 0$ il existe $T > 0$ et une solution $u \in \mathcal{C}^1([0, T])$ vérifiant $\|u(0) - v\| \leq \eta$ et $\|u(T) - v\| \geq \varepsilon_0$, ce qu'il fallait démontrer pour que v soit instable.

8.3 POINTS FIXES HYPERBOLIQUES

Passons maintenant aux questions de stabilité structurelle, c'est-à-dire de sensibilité par rapport aux perturbations de l'équation elle-même (et non des données initiales). La classification des points fixes dans le plan (voir le paragraphe 6.3.1) montre que les centres (correspondant à une matrice $A \in \mathcal{M}_2(\mathbb{R})$ dont les valeurs propres sont imaginaires pures) jouent un rôle particulier, au sens où ils ne sont pas structurellement stables : une modification arbitrairement petite de la matrice

$$\begin{pmatrix} 0 & \beta \\ -\beta & 0 \end{pmatrix} \text{ en } \begin{pmatrix} \alpha & \beta \\ -\beta & \alpha \end{pmatrix}$$

avec $|\alpha| \ll 1$ modifie dramatiquement le portrait de phase au voisinage du point $(0, 0)$. Ces points sont les prototypes de points fixes *non hyperboliques*.

Définition 8.11 *Un point singulier v d'un champ $f \in \mathcal{C}^1(U; E)$ est dit hyperbolique si le spectre de l'opérateur $df(v)$ n'intersecte pas l'axe imaginaire. On dit aussi que c'est un point fixe hyperbolique pour l'équation $u' = f(u)$.*

Les points fixes hyperboliques sont précisément ceux qui sont structurellement stables, au sens topologique du terme. C'est l'objet du théorème suivant, que nous admettrons (voir [16, p. 244]).

Théorème 8.12 (Hartman–Grobman) *Si v est un point fixe hyperbolique de l'équation différentielle $u' = f(u)$, pour un champ complet $f \in \mathcal{C}^1(U; \mathbb{R}^n)$, U un ouvert de \mathbb{R}^n , il existe un voisinage \mathcal{V} de v dans U , un voisinage \mathcal{O} de 0 dans \mathbb{R}^n et un homéomorphisme h de \mathcal{V} sur \mathcal{O} tel que le flot ϕ du champ f vérifie :*

$$h(\phi_t(w)) = e^{t df(v)} h(w)$$

pour tout $w \in \mathcal{V}$ et $t \in \mathbb{R}$.

Ce théorème signifie que l'on peut déformer *continûment* les orbites au voisinage de v pour obtenir les orbites du système linéarisé

$$\frac{du}{dt} = df(v) \cdot (u - v),$$

et réciproquement. Il ne dit rien sur les propriétés de nature différentielle (tangentes, courbure, etc.) de ces courbes. En particulier, il ne fait pas la distinction entre les

différentes sortes de nœuds en dimension 2. Le théorème dit de la variété stable ci-après ne fait pas non plus de distinction entre ces points, mais il donne des informations sur les propriétés différentielles des orbites, permettant en outre de se ramener à des espaces de phases de plus petite dimension.

Théorème 8.13 (de la variété stable) *Soit $f \in \mathcal{C}^1(U; \mathbb{R}^n)$ un champ complet de flot ϕ . On suppose que v est un point fixe hyperbolique de l'équation différentielle $u' = f(u)$, et l'on note E^s et E^u , les sous-espaces stable et instable de $df(v)$ donnés par le théorème 6.20 (p. 189). Alors il existe un voisinage \mathcal{V} de v dans U tel que les ensembles*

$$\mathcal{W}_{\text{loc}}^s = \{ w \in \mathcal{V}; \phi_t(w) \in \mathcal{V}, \forall t \in \mathbb{R}^+ \}, \quad \mathcal{W}_{\text{loc}}^u = \{ w \in \mathcal{V}; \phi_t(w) \in \mathcal{V}, \forall t \in \mathbb{R}^- \}$$

soient des graphes de fonctions différentiables « au dessus » de voisinages de v dans les sous-espaces affines $v + E^s$ et $v + E^u$ respectivement, de différentielles nulles en v . (On dit que ce sont des variétés (à bord) contenant v , tangentes respectivement à E^s et E^u .) De plus, $\mathcal{W}_{\text{loc}}^s$ est positivement invariante par le flot, c'est-à-dire que $\phi_t(\mathcal{W}_{\text{loc}}^s) \subset \mathcal{W}_{\text{loc}}^s$ pour tout $t \geq 0$, tandis que $\phi_t(\mathcal{W}_{\text{loc}}^u) \subset \mathcal{W}_{\text{loc}}^u$ pour tout $t \leq 0$, et l'on a

$$\mathcal{W}_{\text{loc}}^s = \{ w \in \mathcal{V}; \lim_{t \rightarrow +\infty} \phi_t(w) = v \}, \quad \mathcal{W}_{\text{loc}}^u = \{ w \in \mathcal{V}; \lim_{t \rightarrow -\infty} \phi_t(w) = v \}.$$

Définition 8.14 *Les ensembles $\mathcal{W}_{\text{loc}}^s$ et $\mathcal{W}_{\text{loc}}^u$ sont appelés respectivement variété stable locale et variété instable locale.*

Nous allons voir une démonstration du théorème de la variété stable (locale) à l'aide de la *méthode de Lyapunov–Schmidt*

► **Méthode de Lyapunov–Schmidt**

Cette méthode permet de résoudre des problèmes non-linéaires auxquels le théorème des fonctions implicites ne s'applique pas directement. Plus précisément, considérons une fonction F de la forme

$$F(x, \xi) = Bx - G(x, \xi)$$

pour $(x, \xi) \in \mathcal{X} \times \mathbb{R}^p$, où \mathcal{X} est un espace de Banach, $B \in \mathcal{L}(\mathcal{X}; \mathcal{Z})$ avec \mathcal{Z} un autre espace de Banach, et $G \in \mathcal{C}^1(\mathcal{X} \times \mathbb{R}^p; \mathcal{Z})$ est telle que¹

$$G(0, 0) = 0, \quad d_x G(0, 0) = 0.$$

La méthode de Lyapunov–Schmidt est fondée sur une conséquence du

1. Il suffit en fait que G soit de classe \mathcal{C}^1 au voisinage de $(0, 0)$

Théorème 8.15 (de l'application ouverte) *Si B est une application linéaire continue surjective d'un espace de Banach X dans un espace de Banach Y , alors B est ouverte, c'est-à-dire pour tout ouvert Ω de X , $B(\Omega)$ est un ouvert de Y . Par suite, si B est bijective, son inverse B^{-1} est continu.*

(Pour la démonstration, voir par exemple [2], p. 19–20. Notons que le théorème de Banach énoncé p. 3 en est une conséquence.) Une application linéaire injective admet un inverse à gauche au sens algébrique, de même qu'une application linéaire surjective admet un inverse à droite. Du point de vue de l'analyse fonctionnelle, l'existence d'un inverse à droite continu pour une application linéaire continue surjective demande en plus que son noyau admette un *supplémentaire topologique*², tandis que l'existence d'un inverse à gauche continu pour une application linéaire continue injective demande que son image soit fermée et admette un supplémentaire topologique (voir par exemple [2], p. 23). Le lemme suivant rassemble en quelque sorte ces deux résultats en un seul.

Lemme 8.16 *Soit $B \in \mathcal{L}(X; Z)$, où X et Z sont des espaces de Banach. Si $X_0 := \text{Ker} B$ admet un supplémentaire topologique $X_1 = \text{Ker} P$, où P est un projecteur continu d'image X_0 , et si $\text{Im} B$ est fermé, alors il existe un opérateur K linéaire continu de $\text{Im} B$ dans X_1 tel que*

$$BK = \text{Id}_{\text{Im} B} \quad \text{et} \quad KB = \text{Id}_X - P.$$

Démonstration. La restriction de B à X_1 est injective d'image $\text{Im} B$. Donc, pour tout $z \in \text{Im} B$, il existe un unique $x \in X_1$ tel que $z = Bx$. Si l'on définit l'opérateur K sur $\text{Im} B$, qui est un espace de Banach comme sous-espace fermé d'un espace de Banach, par $Kz = x$, K est évidemment linéaire, et continu d'après le théorème de l'application ouverte ; il vérifie par construction l'identité $KBx = x$ pour tout $x \in X_1$. De plus, n'importe quel $x \in X$ s'écrit de façon unique sous la forme $x = x_0 + x_1$ avec $x_0 = Px \in \text{Ker} B$ et $x_1 \in X_1$. On a alors $Bx = Bx_1$, d'où $KBx = KBx_1 = x_1 = x - Px$ par définition de K .

Ainsi, pour un opérateur B satisfaisant les hypothèses de ce lemme et $G \in \mathcal{C}^1(X \times \mathbb{R}^p; Z)$, l'équation $Bx = G(x, \xi)$ équivaut à $G(x, \xi) \in \text{Im} B$ et $B(x_0 + x_1) = G(x_0 + x_1, \xi)$ avec $x_0 = Px \in X_0 = \text{Ker} B$ et $x_1 \in X_1$. Si de plus il existe Q un projecteur continu sur $\text{Im} B$, ceci équivaut à $G(x_0 + x_1, \xi) = QG(x_0 + x_1, \xi)$ et $Bx_1 = QG(x_0 + x_1, \xi)$. En composant à gauche par K , cette dernière équation

2. Par définition, un supplémentaire topologique d'un sous-espace *fermé* est un supplémentaire au sens algébrique, qui est de plus fermé et sur lequel il existe un projecteur continu.

implique $x_1 = x_1 - P x_1 = K Q G(x_0 + x_1, \xi)$. On arrive ainsi au système :

$$\begin{cases} x_1 = K Q G(x_0 + x_1, \xi), \\ 0 = (\text{Id}_Z - Q) G(x_0 + x_1, \xi), \end{cases} \tag{8.3}$$

Réciproquement, si l'on a une solution $(x_1, x_0) \in \mathcal{X}_1 \times \mathcal{X}_0$ de ce système, alors

$$B(x_0 + x_1) = B x_1 = B K Q G(x_0 + x_1, \xi) = Q G(x_0 + x_1, \xi) = G(x_0 + x_1, \xi).$$

Or la première équation du système (8.3) se résout par le théorème des fonctions implicites. En effet, par hypothèse sur G , la fonction

$$\begin{aligned} F_1 : \mathcal{X}_1 \times \mathcal{X}_0 \times \mathbb{R}^p &\rightarrow \mathcal{X}_1 \\ (x_1, x_0, \xi) &\mapsto x_1 - K Q G(x_0 + x_1, \xi) \end{aligned}$$

est telle que $F_1(0, 0, 0) = 0$ et $d_{x_1} F_1(0, 0, 0) = \text{Id}_{\mathcal{X}_1}$. Donc il existe une application χ_1 de classe \mathcal{C}^1 au voisinage de $(0, 0)$ telle que $F_1(x_1, x_0, \xi) = 0$ avec (x_1, x_0, ξ) voisin de $(0, 0, 0)$ équivaut à $x_1 = \chi_1(x_0, \xi)$. En substituant cette relation dans la deuxième équation du système (8.3), on voit que la résolution de l'équation de départ $F(x, \xi) = 0$ au voisinage de $(0, 0)$ équivaut à la résolution de

$$(\text{Id}_Z - Q) G(x_0 + \chi_1(x_0, \xi), \xi) = 0$$

au voisinage de $(0, 0)$. Cette dernière équation est trivialement satisfaite dans le cas où $Q = \text{Id}_Z$, c'est-à-dire si $\text{Im} B = Z$. Ce sera le cas dans la démonstration du théorème de la variété stable par cette méthode.

Démonstration. [Théorème de la variété stable locale] Sans perte de généralité, quitte à faire une translation dans l'espace des phases, on suppose $v = 0$. On notera $A := df(0)$ et $g(u) := f(u) - Au$.

On va traiter le cas de $\mathcal{W}_{\text{loc}}^u$, celui de $\mathcal{W}_{\text{loc}}^s$ s'en déduisant en changeant t en $-t$. Les espaces $\mathcal{X} := \mathcal{C}_b^1(\mathbb{R}^-; X)$ et $\mathcal{Z} := \mathcal{C}_b(\mathbb{R}^-; X)$ munis des normes « naturelles » :

$$\|x\|_{\mathcal{X}} = \max(\|x\|_{\infty}, \|x'\|_{\infty}), \quad \|z\|_{\mathcal{Z}} = \|z\|_{\infty} := \max_{t \in \mathbb{R}^-} \|z(t)\|_X$$

sont des espaces de Banach et

$$B : x \in \mathcal{X} \mapsto \frac{dx}{dt} - Ax$$

définit un opérateur linéaire continu de \mathcal{X} dans \mathcal{Z} . D'après le théorème 6.20 (p. 189), on voit que $\text{Ker} B = \text{Im} S$, où $S : E^u \rightarrow \mathcal{X}$ est défini par $(S\xi)(t) := e^{tA} \xi$. Un projecteur sur $\text{Ker} B$ est simplement donné par

$$P x = S \circ \Pi^u x(0),$$

où Π^u est le projecteur sur E^u donné par le théorème 6.20. On a bien $P \circ P = P$ puisque $(P x)(0) = \Pi^u x(0)$ et donc

$$P(P x) = S \circ \Pi^u (P x)(0) = S \circ \Pi^u \circ \Pi^u x(0) = S \circ \Pi^u x(0) = P x.$$

D'autre part, $\text{Im} B = \mathcal{Z}$. Soit en effet $z \in \mathcal{Z}$. L'équation $z = B x$ n'étant autre que l'équation différentielle avec terme source :

$$\frac{dx}{dt} = A x + z,$$

montrons que la formule (de type Duhamel) :

$$x(t) = \int_{-\infty}^t e^{(t-\tau)A} \Pi^s z(\tau) d\tau - \int_t^0 e^{(t-\tau)A} \Pi^u z(\tau) d\tau \quad (8.4)$$

fournit un antécédent $x \in \mathcal{X}$ de z par B . La première intégrale est bien convergente et :

$$\left| \int_{-\infty}^t e^{(t-\tau)A} \Pi^s z(\tau) d\tau \right| \leq b_\varepsilon \|z\|_{\mathcal{Z}} \int_{-\infty}^t e^{-(\beta-\varepsilon)(t-\tau)} d\tau = \frac{b_\varepsilon}{\beta - \varepsilon} \|z\|_{\mathcal{Z}}.$$

On a aussi une majoration pour la seconde intégrale :

$$\left| \int_t^0 e^{(t-\tau)A} \Pi^u z(\tau) d\tau \right| \leq c_\varepsilon \|z\|_{\mathcal{Z}} \int_t^0 e^{(\gamma-\varepsilon)(t-\tau)} d\tau = \frac{c_\varepsilon}{\gamma - \varepsilon} \|z\|_{\mathcal{Z}} (1 - e^{(\gamma-\varepsilon)t}).$$

Donc la formule (8.4) définit bien une fonction continue bornée sur \mathbb{R}^- ; le fait que $x'(t) = A x(t) + z(t)$ découle d'un calcul facile, en se rappelant que $\Pi^u + \Pi^s = \text{Id}_X$; et on déduit une borne pour x' . Donc x appartient à \mathcal{X} et vérifie $B x = z$.

Étant donné $w \in X$ proche de 0, on peut reformuler à l'aide des opérateurs B et S le fait que $x : t \mapsto \phi_t(w)$ appartienne à \mathcal{X} . En effet, par définition du flot, x doit être solution du problème de Cauchy :

$$x' = A x + g(x), \quad x(0) = w. \quad (8.5)$$

Ce problème a une solution $x \in \mathcal{X}$ si et seulement si $Px = S\xi$ avec $\xi = \Pi^u w$ et $x_1 = x - Px \in \mathcal{X}_1 := \text{Ker} P$ est solution de

$$Bx_1 = g(S\xi + x_1).$$

D'après le lemme 8.16, il existe un opérateur K linéaire continu de \mathcal{Z} dans \mathcal{X}_1 tel que $BK = \text{Id}_{\mathcal{Z}}$ et $KB = \text{Id}_{\mathcal{X}} - P$. On a même une expression explicite de K , d'après la formule (8.4) :

$$(Kz)(t) = \int_{-\infty}^t e^{(t-\tau)A} \Pi^s z(\tau) d\tau - \int_t^0 e^{(t-\tau)A} \Pi^u z(\tau) d\tau, \quad t \leq 0.$$

Soit alors

$$\begin{aligned} F_1 : \mathcal{X}_1 \times E^u &\rightarrow \mathcal{X}_1 \\ (x_1, \xi) &\mapsto x_1 - K g(S\xi + x_1). \end{aligned}$$

On a $F_1(0, 0) = 0$ et $d_{x_1} F_1(0, 0) = \text{Id}_{\mathcal{X}_1}$. Donc on peut appliquer le théorème des fonctions implicites à F_1 au voisinage de $(0, 0)$. On en déduit que l'équation $Bx_1 = g(S\xi + x_1)$ admet une solution unique $x_1 = \chi_1(\xi)$ dans un voisinage $\mathcal{V}_1 \times \mathcal{W} \subset \mathcal{X}_1 \times E^u$ de $(0, 0)$, avec χ de classe \mathcal{C}^1 sur \mathcal{W} et $\chi_1(0) = 0, d_\xi \chi_1(0) = 0$ (puisque $dg(0) = 0$). Par suite, pour tout $w \in (\Pi^u)^{-1}(\mathcal{W})$, le problème de Cauchy (8.5) admet une unique solution $x \in S\mathcal{W} + \mathcal{V}_1 \subset \mathcal{X}$, donnée par $x = S\xi + \chi_1(\xi), \xi = \Pi^u w$. En particulier, on a $w = x(0) = \xi + \chi_1(\xi)(0)$. On observe que $\chi_1(\xi)(0)$ appartient à E^s , car $x_1 = \chi_1(\xi)$ appartient à $\text{Ker} P$ et donc $S\Pi^u x_1(0) = 0$, ce qui implique $\Pi^u x_1(0) = 0$. L'application

$$\begin{aligned} h : \mathcal{W} \subset E^u &\rightarrow E^s \\ \xi &\mapsto h(\xi) = \chi_1(\xi)(0) \end{aligned}$$

est de classe \mathcal{C}^1 et vérifie $h(0) = 0, d_\xi h(0) = 0$. Ceci signifie exactement que

$$\mathcal{W}_{\text{loc}}^u := \{w \in (\Pi^u)^{-1}(\mathcal{W}); t \mapsto \phi_t(w) \in \mathcal{X}\} = \{w = \xi + h(\xi); \xi \in \mathcal{W}\}$$

est une variété tangente à E^u .

Il reste à vérifier que le voisinage $\mathcal{V} = (\Pi^u)^{-1}(\mathcal{W})$, est tel que $\phi_t(\mathcal{V}) \subset \mathcal{V}$ pour tout $t \leq 0$, et qu'on a même $\lim_{t \rightarrow -\infty} \phi_t(w) = 0$ pour tout $w \in \mathcal{V}$. Pour cela on va appliquer le théorème de Lyapunov n°3 à une équation différentielle réduite, pour laquelle 0 est asymptotiquement stable. Considérons en effet, pour $w \in \mathcal{V}, y(t) := \Pi^u(\phi_t(w))$: au voisinage de $t = 0$ on a

$y(t) \in \mathcal{W}$ et donc $\phi_t(w) = y(t) + h(y(t))$ (puisque $\phi_t(w) \in \mathcal{W}_{\text{loc}}^u$ comme w), ce qui montre que y est solution dans E^u du problème de Cauchy :

$$\begin{cases} \frac{dy}{dt} = A^u y + \Pi^u \circ g(y + h(y)), \\ y(0) = \Pi^u w, \end{cases}$$

où $A^u = A \circ \Pi^u$. Par construction, l'application $y \mapsto \Pi^u \circ g(y + h(y))$ a une différentielle nulle en $y = 0$. Comme A^u a tout son spectre de partie réelle strictement positive, le théorème 8.7 (en renversant le temps) montre que, quitte à réduire \mathcal{W} , $y(t)$ reste dans \mathcal{W} pour tout $t \leq 0$ et de plus que

$$\lim_{t \rightarrow -\infty} y(t) = 0.$$

Ceci implique évidemment $\phi_t(w) \in \mathcal{W}$ pour tout $t \leq 0$ et, par continuité de h (qui vaut 0 en 0), $\lim_{t \rightarrow -\infty} \phi_t(w) = 0$.

Remarque : À partir des variétés stable et instable locale on peut définir les variétés globales :

$$\mathcal{W}^s = \bigcup_{t \leq 0} \phi_t(\mathcal{W}_{\text{loc}}^s) \quad \text{et} \quad \mathcal{W}^u = \bigcup_{t \geq 0} \phi_t(\mathcal{W}_{\text{loc}}^u).$$

Cependant, rien ne dit que ce sont des graphes, et elles peuvent même coïncider, comme par exemple pour un point selle admettant deux orbites homoclines (dessin en forme de 8).

8.4 VARIÉTÉS INVARIANTES

Plus généralement, on peut construire des variétés invariantes par le flot d'une équation différentielle en séparant de façon arbitraire le spectre de l'équation linéarisée, s'affranchissant ainsi de l'hyperbolicité du point fixe.

De plus, on peut construire des « variétés globales » qui soient des graphes de fonctions définies sur des sous-espaces invariants par l'équation linéarisée, à condition que la partie non-linéaire du champ de vecteurs soit globalement assez petite. C'est l'objet du résultat suivant, que l'on admettra (voir [4, p. 286]) mais dont on montrera comment il implique en particulier le théorème 8.13.

Théorème 8.17 Soient $f \in \mathcal{C}^1(\mathbb{R}^n; \mathbb{R}^n)$ et $v \in \mathbb{R}^n$ tels que $f(v) = 0$. Soient E^- , E^+ des sous-espaces supplémentaires dans \mathbb{R}^n , invariants par $A := df(v)$ tels que

$$\sigma(A|_{E^-}) \subset \{\lambda; \operatorname{Re} \lambda \leq -\beta\}, \quad \sigma(A|_{E^+}) \subset \{\lambda; \operatorname{Re} \lambda \geq \gamma\},$$

où $-\beta < \gamma$. En notant $g(x) := f(x) - df(v) \cdot (x - v)$, il existe $\varepsilon > 0$ tel que si $\|g\|_{\mathcal{C}_b^1(\mathbb{R}^n)} \leq \varepsilon$, il existe un unique $h \in \mathcal{C}^1(E^+; E^-)$ tel que

$$h(0) = 0, \quad dh(0) = 0, \quad \sup_{\xi \in E^+} \|dh(\xi)\| < +\infty,$$

et le graphe de h , $\mathcal{W}^+ := \{v + \xi + h(\xi); \xi \in E^+\}$, soit invariant par le flot ϕ de l'équation différentielle $u' = f(u)$. De plus, pour tout $w = v + \xi + h(\xi) \in \mathcal{W}^+$ et pour tout $\gamma' > \gamma$ il existe $C > 0$ tel que

$$\|\phi_t(w) - v\| \leq C e^{\gamma' t} \|\xi\|, \quad t < 0.$$

Dans cet énoncé, si les deux paramètres β et γ sont strictement positifs, le point fixe est hyperbolique, et la variété obtenue est la variété instable.

Voyons comment le théorème 8.13 se déduit du théorème 8.17. Quitte à modifier f , et donc aussi g en dehors d'un voisinage de v , on peut supposer $\|g\|_{\mathcal{C}^1(\mathbb{R}^n)} \leq \varepsilon$. En effet, il existe une boule $B(v; \eta)$ dans \mathbb{R}^n telle que

$$\sup_{x \in B(v; \eta)} \|dg(x)\| \leq \varepsilon/3, \quad \text{d'où} \quad \sup_{x \in B(v; \eta)} \|g(x)\| \leq \eta \varepsilon/3$$

par le théorème des accroissements finis. Soit alors $\chi \in \mathcal{C}^\infty(\mathbb{R}^n; \mathbb{R}^+)$, valant identiquement 1 dans $B(v; \eta/3)$, identiquement 0 en dehors de $B(v; \eta)$ telle que

$$\sup_{x \in \mathbb{R}^n} \|\chi(x)\| = 1, \quad \sup_{x \in \mathbb{R}^n} \|d\chi(x)\| \leq 2/\eta.$$

(L'existence d'un tel χ , appelé *fonction de troncature* est laissée en exercice. C'est ici que se situerait la principale difficulté dans un espace de Banach de dimension infinie au lieu de \mathbb{R}^n , voir [29].) Considérons \tilde{f} définie par

$$\tilde{f}(x) = df(v) \cdot (x - v) + \tilde{g}(x), \quad \tilde{g} := \chi g.$$

Évidemment on a $\tilde{f} = f$ dans $B(v; \eta/3)$, et donc en particulier $d\tilde{f}(v) = df(v)$. De plus

$$\|d\tilde{g}(x)\| \leq \|d\chi(x)\| \sup_{x \in B(v; \eta)} \|g(x)\| + \|dg(x)\| \leq \frac{2}{\eta} \frac{\eta \varepsilon}{3} + \frac{\varepsilon}{3} = \varepsilon.$$

Donc le théorème 8.17 s'applique à l'équation différentielle $u' = \tilde{f}(u)$, dont le flot coïncide avec celui de $u' = f(u)$ dans $B(v; \eta/3)$.

Définition 8.18 Lorsque $\gamma = 0$ dans l'énoncé du théorème 8.17, la variété obtenue \mathcal{W}^+ est appelée variété centrale-instable (au point v) et généralement notée \mathcal{W}^{cu} . On

obtient la variété centrale-stable \mathcal{W}^{cs} par renversement du temps ($t \mapsto -t$). On définit alors la variété centrale (au point v) par $\mathcal{W}^c := \mathcal{W}^{cu} \cap \mathcal{W}^{cs}$.

Quitte à diminuer ε dans l'énoncé du théorème 8.17, on peut démontrer que \mathcal{W}^c est le graphe d'une fonction de classe \mathcal{C}^1 au dessus de $E^c := E^{cu} \cap E^{cs}$ où E^{cu} et E^{cs} désignent naturellement les espaces tangents respectivement à \mathcal{W}^{cu} et \mathcal{W}^{cs} au point v . D'après le théorème 8.17, si $w \in \mathcal{W}^c$, pour tout $\alpha > 0$ il existe $C > 0$ tel que

$$\forall t \in \mathbb{R}, \quad \|\phi_t(w) - v\| \leq C e^{\alpha t}.$$

Autrement dit, les solutions de problèmes Cauchy avec donnée initiale dans la variété centrale \mathcal{W}^c ne peuvent croître que de façon modérée (tout en restant à valeurs dans \mathcal{W}^c du fait de son invariance par le flot).

Insistons sur le fait que le théorème 8.17 ne s'applique qu'aux champs de vecteurs dont la partie non-linéaire est assez petite dans $\mathcal{C}_b^1(\mathbb{R}^n)$. Cependant on peut démontrer (notamment à l'aide d'une troncature comme ci-dessus, voir [28]), l'existence d'une *variété centrale locale*.

Théorème 8.19 (de la variété centrale locale) *Soient $f \in \mathcal{C}^1(U; \mathbb{R}^n)$ un champ complet de flot ϕ et v tels que $f(v) = 0$. On suppose que E^c , le sous-espace central de $df(v)$, c'est-à-dire la somme des sous-espaces caractéristiques associés aux valeurs propres imaginaires pures de $df(v)$, est non trivial. Alors il existe un voisinage \mathcal{V} de v dans U et une variété locale \mathcal{W}_{loc}^c , tangente à E^c au point v , c'est-à-dire que*

$$\mathcal{W}_{loc}^c = \{ w = v + \xi + h(\xi); \xi \in \mathcal{O} \subset E^c \},$$

où \mathcal{O} est un voisinage de 0 dans E^c et $h : \mathcal{O} \rightarrow E^s \oplus E^u$ (somme des sous-espaces caractéristiques associés aux valeurs propres de parties réelles respectivement strictement négatives et strictement positives) est telle que $h(0) = 0$, $dh(0) = 0$, vérifiant les deux propriétés suivantes :

i). Invariance par le flot : *quel que soit $w \in \mathcal{W}_{loc}^c$, quel que soit $t \in \mathbb{R}$,*

$$\phi_t(w) \in \mathcal{V} \quad \Rightarrow \quad \phi_t(w) \in \mathcal{W}_{loc}^c.$$

ii). Lieu des orbites globales proches de v : *quel que soit $w \in \mathcal{V}$, si $\phi_t(w)$ est à valeurs dans \mathcal{V} quel que soit $t \in \mathbb{R}$, alors $w \in \mathcal{W}_{loc}^c$.*

Remarque : Ce théorème ne dit rien de l'unicité de \mathcal{W}_{loc}^c , qui est fautive en général. Un exemple très simple est celui du système

$$\begin{cases} x' = x^2, \\ y' = -y, \end{cases}$$

dont on peut calculer explicitement les solutions et constater que les orbites sont incluses dans les courbes ayant une équation de la forme

$$y = C \exp(1/x),$$

où C est une constante arbitraire. Le portrait de phase (voir la figure 8.3) montre ainsi une infinité de courbes tangentes à l'axe Ox et vérifiant les propriétés *i*) *ii*) : ce sont précisément les graphes de toutes les fonctions de la forme

$$x \mapsto \begin{cases} 0 & x \geq 0, \\ C \exp(1/x) & x < 0. \end{cases}$$

Les variétés invariantes jouent un rôle crucial dans l'étude des propriétés qualitatives des équations différentielles. Nous allons en donner une illustration avec la *méthode de Melnikov*, qui permet de montrer la persistance d'orbites hétéroclines (ou homoclines).

► Méthode de Melnikov

Considérons une équation différentielle dans \mathbb{R}^2 , dépendant d'un paramètre $\omega \in \Omega \subset \mathbb{R}^p$ (Ω ouvert) :

$$\frac{du}{dt} = g(u, \omega),$$

avec $g \in \mathcal{C}^1(U \times \Omega)$, U un ouvert de \mathbb{R}^2 . Un exemple avec $p = 1$ est le système du pendule amorti ($\omega = k$ le taux d'amortissement, voir p. 262). On verra plus loin un exemple plus intéressant avec $p = 3$, provenant de la modélisation de transitions de phase.

Commençons par un résultat facile concernant la persistance des points selles. Par souci de lisibilité on note D la différentiation partielle par rapport à u .

Lemme 8.20 *Supposons qu'il existe $u_0 \in U$ et $u_1 \in U$ tels que pour $j = 0$ ou 1 , $g(u_j, \omega_0) = 0$, et $Dg(u_j, \omega_0)$ ait comme valeurs propres λ_j, μ_j , avec*

$$Re \lambda_j < 0 < Re \mu_j.$$

Alors il existe des voisinages $\mathcal{U}_0, \mathcal{U}_1$ et \mathcal{O} de u_0, u_1 et ω_0 respectivement, et des applications $u_- \in \mathcal{C}^1(\mathcal{O}; \mathcal{U}_0)$, $u_+ \in \mathcal{C}^1(\mathcal{O}; \mathcal{U}_1)$, telles que

$$(g(u, \omega) = 0, (u, \omega) \in \mathcal{U}_1 \times \mathcal{O}) \iff u = u_+(\omega),$$

$$(g(u, \omega) = 0, (u, \omega) \in \mathcal{U}_0 \times \mathcal{O}) \iff u = u_-(\omega).$$

De plus, pour tout $\omega \in \mathcal{O}$, les jacobiniennes $Dg(u_{\pm}(\omega), \omega)$ ont des valeurs propres λ_{\pm}, μ_{\pm} , avec $Re \lambda_{\pm} < 0 < Re \mu_{\pm}$.

Démonstration. La première partie est une simple application du théorème des fonctions implicites. La seconde utilise la continuité des valeurs propres (voir [18, p. 107]) par rapport à (u, ω) .

Dans l'exemple du pendule amorti :

$$\begin{cases} x' = y, \\ y' = -k y - \sin x, \end{cases}$$

les applications u_{\pm} sont en fait triviales : $u_+ \equiv u_1 = (\pi, 0)^t$ et $u_- \equiv u_0 = (-\pi, 0)^t$.

En se plaçant dans le cadre du lemme 8.20, on suppose de plus qu'il existe une orbite hétérocline reliant u_0 à u_1 pour la valeur ω_0 du paramètre, c'est-à-dire une solution $\varphi \in \mathcal{C}^1(\mathbb{R})$ de

$$\varphi'(t) = g(u, \omega_0), \quad \lim_{t \rightarrow -\infty} \varphi(t) = u_0, \quad \lim_{t \rightarrow +\infty} \varphi(t) = u_1. \quad (8.6)$$

La question est de savoir si, lorsqu'on modifie (légèrement) le paramètre ω , il persiste des orbites hétéroclines reliant les points fixes voisins $u_-(\omega)$ et $u_+(\omega)$. On va voir que la méthode de Melnikov en fournit une condition suffisante. L'idée de départ est d'exprimer l'existence d'une orbite hétérocline entre $u_-(\omega)$ et $u_+(\omega)$ sous forme d'une équation scalaire $\delta(\omega) = 0$. Dans le cas d'un paramètre ω scalaire, il n'y a « génériquement » (si $\delta'(\omega_0) \neq 0$) que la valeur ω_0 qui fournisse une orbite hétérocline : c'est le cas par exemple pour le pendule amorti. La méthode de Melnikov est vraiment intéressante lorsqu'il y a plus d'un paramètre (scalaire), c'est-à-dire si $p \geq 2$, car on peut espérer appliquer le théorème des fonctions implicites.

D'après le théorème de la variété centrale-stable (théorème 8.17) appliqué au système augmenté (comme au § 5.5.2) de l'équation $\omega' = 0$, quitte à diminuer \mathcal{O} , pour tout $\omega \in \mathcal{O}$ il existe deux courbes $\mathcal{W}^u(\omega)$ et $\mathcal{W}^s(\omega)$ « proches » de l'orbite $\gamma = \{\varphi(t); t \in \mathbb{R}\}$, l'une est la variété instable issue de u_- et l'autre la variété stable issue de $u_+(\omega)$, pour l'équation $u' = g(u, \omega)$. En particulier, si Σ est une *section locale* en $\varphi(0)$, $\mathcal{W}^u(\omega)$ et $\mathcal{W}^s(\omega)$ intersectent (transversalement) Σ en des points $y_0(\omega)$ et $y_1(\omega)$ respectivement. L'existence d'une orbite hétérocline joignant $u_-(\omega)$ à $u_+(\omega)$ équivaut alors à

$$y_0(\omega) = y_1(\omega),$$

ou encore à la relation scalaire $\delta(\omega) = 0$ avec $\delta(\omega) := \varphi'(0) \wedge (y_0(\omega) - y_1(\omega))$, où l'on note ici \wedge la forme bilinéaire alternée définie par le déterminant dans la base canonique de \mathbb{R}^2 . La fonction δ , mesurant une sorte de distance entre les variétés $\mathcal{W}^u(\omega)$ et $\mathcal{W}^s(\omega)$, est appelée fonction (de séparation) de *Melnikov*. Comme $y_1(\omega_0) = y_0(\omega_0) = \varphi(0)$, on a bien sûr $\delta(\omega_0) = 0$. La force de la méthode réside dans l'évaluation des dérivées partielles de δ .

Lemme 8.21 *Dans le cadre du lemme 8.20, si φ est solution de (8.6), et σ désigne l'une quelconque des composantes de ω , la fonction δ définie ci-dessus vérifie :*

$$\frac{\partial \delta}{\partial \sigma}(\omega_0) = \int_{-\infty}^{+\infty} e^{-\int_0^s \text{tr D}g(\varphi(\tau), \omega_0) d\tau} g(\varphi(s), \omega_0) \wedge \frac{\partial g}{\partial \sigma}(\varphi(s), \omega_0) ds.$$

Démonstration. Par définition de $y_0(\omega)$ et $y_1(\omega)$, les applications φ_0 et φ_1 définies respectivement par

$$\varphi'_0(t) = g(\varphi_0(t), \omega) \quad \forall t \leq 0, \quad \varphi_0(0) = y_0(\omega),$$

$$\varphi'_1(t) = g(\varphi_1(t), \omega) \quad \forall t \geq 0, \quad \varphi_1(0) = y_1(\omega),$$

vérifient $\lim_{t \rightarrow -\infty} \varphi_0(t) = u_-(\omega)$ et $\lim_{t \rightarrow +\infty} \varphi_1(t) = u_+(\omega)$. De plus, on a (si toutes les composantes de ω sauf σ coïncident avec celles de ω_0),

$$\varphi_j(t) = \varphi(t) + (\sigma - \sigma_0) \chi_j(t) + \mathcal{O}((\sigma - \sigma_0)^2),$$

où les applications χ_0 et χ_1 sont définies et bornées sur \mathbb{R}^- et sur \mathbb{R}^+ respectivement par

$$\chi'_j(t) = \text{D}g(\varphi(t), \omega_0) \chi_j(t) + \frac{\partial g}{\partial \sigma}(\varphi(t), \omega_0), \quad \chi_j(0) = \frac{\partial y_j}{\partial \sigma}(\omega_0).$$

On a donc en particulier :

$$\frac{\partial \delta}{\partial \sigma}(\omega_0) = \varphi'(0) \wedge (\chi_0(0) - \chi_1(0)).$$

Pour évaluer ce nombre, introduisons :

$$\Delta_j(t) := \varphi'(t) \wedge \chi_j(t) = g(\varphi(t), \omega_0) \wedge \chi_j(t)$$

pour $j = 0$ ou 1 . On a

$$\begin{aligned} \frac{d}{dt} \Delta_j(t) &= (\text{D}g(\varphi(t), \omega_0) \cdot \varphi'(t)) \wedge \chi_j(t) + g(\varphi(t), \omega_0) \wedge \chi'_j(t) \\ &= (\text{tr D}g(\varphi(t), \omega_0)) \Delta_j(t) + g(\varphi(t), \omega_0) \wedge \frac{\partial g}{\partial \sigma}(\varphi(t), \omega_0). \end{aligned}$$

Soit $a(t) = \text{tr D}g(\varphi(t), \omega_0)$. On a

$$\lim_{t \rightarrow -\infty} a(t) = \lambda_0 + \mu_0, \quad \lim_{t \rightarrow +\infty} a(t) = \lambda_1 + \mu_1$$

et

$$\begin{aligned} \varphi(t) &= \mathcal{O}(e^{\mu_0 t}), \quad t \rightarrow -\infty, \\ \varphi(t) &= \mathcal{O}(e^{\lambda_1 t}), \quad t \rightarrow +\infty. \end{aligned}$$

On en déduit facilement³

$$\lim_{t \rightarrow -\infty} \Delta_0(t) e^{-\int_0^t a(\tau) d\tau} = 0, \quad \lim_{t \rightarrow +\infty} \Delta_1(t) e^{-\int_0^t a(\tau) d\tau} = 0,$$

3. On rappelle le résultat classique de comparaison entre primitives : si $a(t) \stackrel{t \rightarrow +\infty}{\sim} \mathcal{O}(b(t))$ avec $b(t)$ de signe constant et $\int_0^t b(\tau) d\tau$ divergente, alors $\int_0^t a(\tau) d\tau = \mathcal{O}\left(\int_0^t b(\tau) d\tau\right)$.

d'où les formules pour $\Delta_0(0)$ et $\Delta_1(0)$:

$$\Delta_0(0) = \int_{-\infty}^0 e^{-\int_0^s a(\tau) d\tau} g(\varphi(s), \omega_0) \wedge \frac{\partial g}{\partial \sigma}(\varphi(s), \omega_0) ds,$$

$$\Delta_1(0) = - \int_0^{\infty} e^{-\int_0^s a(\tau) d\tau} g(\varphi(s), \omega_0) \wedge \frac{\partial g}{\partial \sigma}(\varphi(s), \omega_0) ds.$$

Comme

$$\frac{\partial \delta}{\partial \sigma}(\omega_0) = \Delta_0(0) - \Delta_1(0),$$

on en déduit la formule annoncée.

► Application aux transitions de phase

Certaines transitions de phase (liquide-vapeur ou dans un matériau élastique) peuvent être décrites au moyen d'un système d'équations aux dérivées partielles de la forme :

$$\begin{cases} \partial_t v - \partial_x u = 0, \\ \partial_t u + \partial_x(p(v)) = \mu \partial_{xx}^2 u - \varepsilon \partial_{xxx}^3 v. \end{cases} \quad (8.7)$$

Le paramètre $\mu \geq 0$ est un coefficient de *viscosité* et $\varepsilon > 0$ est un coefficient de *capillarité*. Des transitions de phase se produisent lorsque la fonction $v \mapsto p(v)$ n'est pas monotone. Pour fixer les idées considérons $p(v) := v(1-v)(2v-1)$. La primitive f de $-p$ s'annulant en 0 admet deux puits, l'un en 0 et l'autre en 1, appelés *points de Maxwell*. Il existe une solution de (8.7), représentant une transition de phase stationnaire, indépendante de t avec $\lim_{x \rightarrow -\infty} v(x) = 1$ et $\lim_{x \rightarrow +\infty} v(x) = 0$. En effet, les solutions du système d'EDO

$$\begin{cases} u' = 0, \\ (p(v))' = \mu u'' - \varepsilon v''', \end{cases}$$

sont telles que $u = \text{constante}$ et par conséquent $p(v) + \varepsilon v'' = \text{constante}$. Si v converge suffisamment vite en $\pm\infty$, toutes ses dérivées tendent vers 0, et il faut donc $p(v) + \varepsilon v'' = 0$. Ceci est une équation différentielle du second ordre admettant v' comme facteur intégrant : en multipliant par v' et en intégrant « à vue » entre $-\infty$ et x , on obtient

$$\frac{1}{2} \varepsilon (v')^2 = - \int_0^v p(w) dw = f(v).$$

Or la fonction \sqrt{f} est localement Lipschitzienne dans $[0, 1]$ (car $f(0) = f'(0) = 0$, $f(1) = f'(1) = 0$ et $f(v) > 0$ pour $v \in]0, 1[$), donc le théorème de Cauchy-Lipschitz s'applique à l'équation $v' = \sqrt{2 f(v)}/\varepsilon$, et quel que soit $v_0 \in]0, 1[$, la solution valant v_0 en $x = 0$ est globale et fournit une orbite hétérocline de 0 à 1. Toutes les

solutions ainsi obtenues sont en fait, d'après le lemme d'unicité (5.6), des translatées $x \mapsto \underline{v}(x - x_0)$ de \underline{v} , valant par exemple $1/2$ en $x = 0$.

Ces considérations sur les solutions stationnaires étant faites, on fixe \underline{v} comme ci-dessus et l'on cherche des solutions *ondes progressives* « proches » de \underline{v} , c'est-à-dire des solutions ne dépendant que de $x - \sigma t$ avec σ petit et ayant pour comportements asymptotiques :

$$\lim_{x \rightarrow -\infty} v(x, t) = v_- \approx 0, \quad \lim_{x \rightarrow +\infty} v(x, t) = v_+ \approx 1.$$

Ceci revient (par un changement d'échelle ou en cherchant directement des solutions comme fonctions de $\xi := (x - \sigma t)/\sqrt{\varepsilon}$) à chercher des orbites hétéroclines du système

$$\begin{cases} \sigma v' + u' = 0, \\ -\sigma u' + (p(v))' = \mu u'' - \varepsilon v''', \end{cases}$$

avec $\eta := \mu/\sqrt{\varepsilon}$. L'élimination de u et une première intégration à vue sont encore possibles. On se ramène ainsi à l'équation en v :

$$v'' + \sigma \eta v' + p(v) - p(v_-) + \sigma^2 (v - v_-) = 0.$$

Cette nouvelle équation différentielle n'admet pas de facteur intégrant évident, et c'est tout l'intérêt de la méthode de Melnikov pour chercher des orbites hétéroclines. On peut en effet appliquer cette méthode avec comme paramètre $\omega = (\sigma, v_-)$, en écrivant l'équation sous forme d'un système du premier ordre dans le plan de phase :

$$\begin{cases} v' = w, \\ w' = -\sigma \eta w - p(v) + p(v_-) - \sigma^2 (v - v_-). \end{cases}$$

Le champ $g(v, w; \sigma, v_-) := (w, -\sigma \eta w - p(v) + p(v_-) - \sigma^2 (v - v_-))^t$ est tel que

$$g(\underline{v}, \underline{w}; 0, 0) \wedge \frac{\partial g}{\partial \sigma}(\underline{v}, \underline{w}; 0, 0) = -\eta \underline{w}^2 < 0.$$

Par conséquent, d'après le lemme 8.21 et le théorème des fonctions implicites, pour tout σ proche de 0 il existe v_- proche de 0, et v_+ proche de 1 relié à v_- par une orbite hétérocline.

8.5 INTRODUCTION AUX BIFURCATIONS

On va s'intéresser ici aux bifurcations dites de co-dimension 1, c'est-à-dire concernant des champs de vecteurs dépendant d'un paramètre scalaire et dont le portrait de phase (local) change brutalement lorsque le paramètre traverse une valeur critique. D'après

le théorème de Hartman-Grobman, ceci ne peut se produire qu'au voisinage d'un point fixe *non hyperbolique*. Nous allons donc considérer

$$\begin{aligned} f : U \times \Lambda \subset \mathbb{R}^n \times \mathbb{R} &\rightarrow \mathbb{R}^n \\ (u, \lambda) &\mapsto f(u, \lambda), \end{aligned}$$

de classe \mathcal{C}^2 , tel qu'il existe $(u_0, \lambda_0) \in U \times \Lambda$ pour lequel $f(u_0, \lambda_0) = 0$ et le spectre de $Df(u_0, \lambda_0)$ (où D désigne comme au paragraphe précédent la différentielle partielle par rapport à u) intersecte l'axe imaginaire. Plus précisément, nous allons nous placer successivement dans les cas les plus simples :

- i). la seule valeur propre imaginaire pure de $Df(u_0, \lambda_0)$ est 0 ;
- ii). la jacobienne $Df(u_0, \lambda_0)$ admet exactement deux valeurs propres imaginaires pures (et donc forcément conjuguées l'une à l'autre).

Sous des hypothèses « génériques », le premier cas correspond à la bifurcation élémentaire dite *nœud-col*, et le second à une *bifurcation de Hopf*.

8.5.1 Bifurcation nœud-col

Si $Df(u_0, \lambda_0)$ a seulement 0 comme valeur propre imaginaire pure, alors le système *augmenté* :

$$\begin{cases} \frac{du}{dt} = f(u, \lambda), \\ \frac{d\lambda}{dt} = 0, \end{cases} \quad (8.8)$$

admet une variété centrale locale en (u_0, λ_0) de dimension 2. Le système réduit sur cette variété est de la forme

$$\begin{cases} \frac{dx}{dt} = g(x, \lambda), \\ \frac{d\lambda}{dt} = 0, \end{cases} \quad (8.9)$$

où l'inconnue x est scalaire, $g(0, \lambda_0) = 0$ et $\partial_x g(0, \lambda_0) = 0$. Supposons en outre que

$$\partial_\lambda g(0, \lambda_0) \neq 0, \quad \partial_x^2 g(0, \lambda_0) \neq 0.$$

Pour fixer les idées, on supposera ces deux quantités positives. Dans ce cas, pour $\lambda < \lambda_0$, la fonction $g(\cdot, \lambda)$ ne s'annule pas au voisinage de 0, pour $\lambda = \lambda_0$ elle s'annule exactement au point 0, et pour $\lambda > \lambda_0$ elle s'annule en deux points de signes opposés. Plus précisément, au voisinage de $(0, \lambda_0)$ dans le plan $\{(x, \lambda) \in \mathbb{R}^2\}$, l'ensemble des

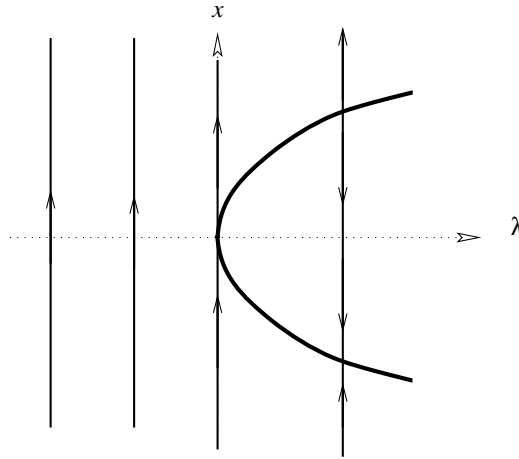


Figure 8.1 Portrait de phase du système (8.9) lorsque $\partial_{\lambda}g(0, \lambda_0) > 0$ et $\partial_x g(0, \lambda_0) > 0$.

zéros de g est une courbe, tangente à l'axe Ox en $(0, \lambda_0)$, avec la concavité tournée vers $\lambda > \lambda_0$. Le portrait de phases du système (8.9) est particulièrement simple à tracer, car sur les droites d'équation $\lambda = \text{constante}$, il se ramène au portrait de phase d'équations différentielles *scalaires*. Il est d'usage de tracer ce portrait de phases avec le paramètre (λ) en abscisse, voir la figure 8.1.

Le nom de cette bifurcation provient du portrait de phase de l'équation scalaire

$$\frac{dx}{dt} = g(x, \lambda)$$

augmentée d'une équation hyperbolique, par exemple

$$\frac{dy}{dt} = -y .$$

Le portrait de phase du système plan ainsi obtenu est qualitativement le même que celui du système modèle :

$$\begin{cases} \frac{dx}{dt} = x^2 - \lambda + \lambda_0, \\ \frac{dy}{dt} = -y, \end{cases} \tag{8.10}$$

(aussi appelé forme réduite). Il change radicalement lorsque λ traverse la valeur critique λ_0 , voir les figures 8.2, 8.3, 8.4.

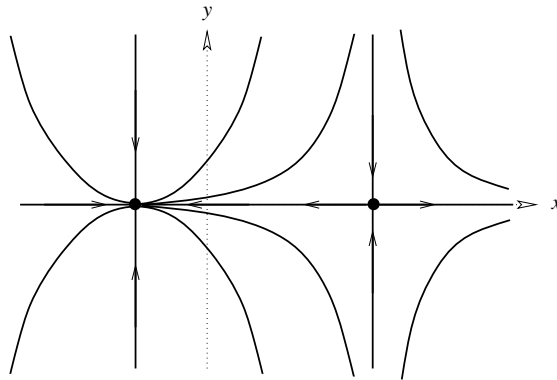


Figure 8.2 Portrait de phase du système (8.10) pour $\lambda > \lambda_0$.

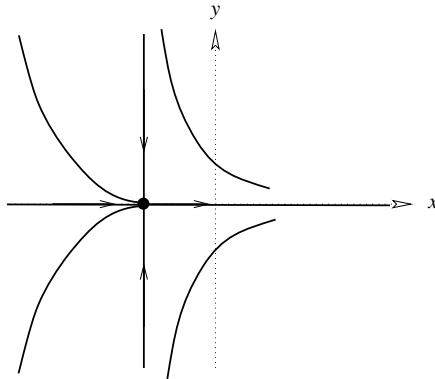


Figure 8.3 Portrait de phase du système (8.10) pour $\lambda = \lambda_0$.

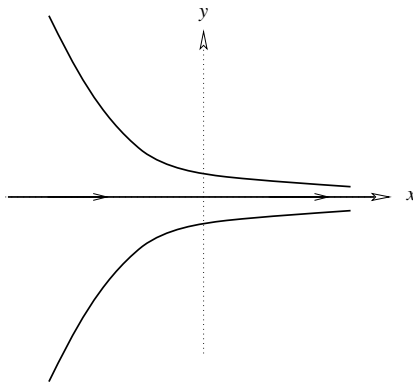


Figure 8.4 Portrait de phase du système (8.10) pour $\lambda < \lambda_0$.

8.5.2 Bifurcation de Hopf

On revient maintenant à un champ f tel que $f(u_0, \lambda_0) = 0$ et l'on suppose que $Df(u_0, \lambda_0)$ admet exactement deux valeurs propres imaginaires pures, $\pm i\omega$ avec $\omega \neq 0$. Ainsi, 0 n'est pas valeur propre, et donc $Df(u_0, \lambda_0)$ est inversible. Le théorème des fonctions implicites montre donc que l'ensemble des zéros de f voisins de (u_0, λ_0) est paramétré par λ : il existe une fonction u_* , définie et de classe \mathcal{C}^2 au voisinage de λ_0 , telle que $u_*(\lambda_0) = u_0$ et

$$f(v, \lambda) = 0 \iff v = u_*(\lambda).$$

À nouveau le système augmenté (8.8) admet une variété centrale locale en (u_0, λ_0) . Elle est ici de dimension 3, et contient nécessairement la courbe de points fixes $\{(u_*(\lambda), \lambda)\}$. Le système réduit sur cette variété se ramène à un système plan dépendant du paramètre λ . C'est pourquoi on suppose dans ce qui suit $n = 2$.

Théorème 8.22 (bifurcation de Hopf) *On suppose que $Df(u_*(\lambda), \lambda)$ admet deux valeurs propres complexes conjuguées valant $\pm i\omega$ en λ_0 et dont la partie réelle change de signe en λ_0 . Alors trois cas sont possibles au voisinage de λ_0 :*

- i). *le point fixe $u_*(\lambda)$ est un centre : le portrait de phase du champ de vecteurs (non-linéaire) $f(\cdot, \lambda)$ est constitué de cycles concentriques ;*
- ii). *on a une bifurcation surcritique : pour $\lambda < \lambda_0$, le champ de vecteurs $f(\cdot, \lambda)$ n'admet aucun cycle autour de $u_*(\lambda)$, et pour $\lambda > \lambda_0$, il admet exactement un cycle autour (et assez proche) de $u_*(\lambda)$; le diamètre de ce cycle est en $\mathcal{O}(\sqrt{\lambda - \lambda_0})$.*
- iii). *on a une bifurcation souscritique : pour $\lambda > \lambda_0$, le champ de vecteurs $f(\cdot, \lambda)$ n'admet aucun cycle autour de $u_*(\lambda)$, et pour $\lambda < \lambda_0$, il admet exactement un cycle autour (et assez proche) de $u_*(\lambda)$; le diamètre de ce cycle est en $\mathcal{O}(\sqrt{\lambda_0 - \lambda})$.*

La démonstration de ce théorème repose sur la théorie des formes normales (voir [1, p. 257]). Nous nous contenterons d'observer ce qui se passe sur la *forme réduite de Poincaré–Andronov* :

$$\begin{cases} x' = -y + \lambda - x(x^2 + y^2), \\ y' = x + \lambda - y(x^2 + y^2). \end{cases}$$

La valeur critique du paramètre est ici évidemment $\lambda = 0$. En passant en coordonnées polaires, ce système se ramène à

$$\begin{cases} r' = \lambda r - r^3, \\ \theta' = 1, \end{cases}$$

c'est-à-dire finalement à l'équation scalaire

$$\frac{dr}{d\theta} = \lambda r - r^3 .$$

Si $\lambda < 0$ cette équation a un seul point fixe, 0, et si $\lambda > 0$, elle en a trois : 0 et $\pm\sqrt{\lambda}$. Attention, $\sqrt{\lambda}$ et $-\sqrt{\lambda}$ ne sont pas des points fixes du système de départ, mais $\sqrt{\lambda}$ est précisément le rayon d'un cycle.

EXERCICES

Exercice 8.1 Soient $k > 0$ et le système

$$(PA) \quad \begin{cases} \frac{dx}{dt} = v, \\ \frac{dv}{dt} = -k v - \sin x. \end{cases}$$

(C'est l'équation du mouvement d'un pendule simple avec amortissement écrite dans le plan de phases.) Démontrer que l'équilibre $(0, 0)^t$ est asymptotiquement stable.

Exercice 8.2 On considère le système

$$(S) \quad \begin{cases} x' = y, \\ y' = -x + (x^2 - 1)y. \end{cases}$$

- i). Montrer que $(0, 0)^t$ est un point fixe hyperbolique asymptotiquement stable pour (S).
- ii). Montrer que $H : (x, y) \in \mathbb{R}^2 \mapsto x^2 + y^2$ est une fonction de Lyapunov pour (S) au point $(0, 0)$.
- iii). Soient (x_0, y_0) tel que $H(x_0, y_0) < 1$ et $L_\omega(x_0, y_0)$ l'ensemble ω -limite de $(x_0, y_0)^t$, relativement à (S). Montrer que $L_\omega(x_0, y_0)$ est compact et non-vide.
- iv). Le système (S) admet-il des cycles dans $\mathcal{D} := \{(x, y); x^2 + y^2 < 1\}$?
- v). Dédurre de ce qui précède que $L_\omega(x_0, y_0)$ est réduit à $\{(0, 0)^t\}$. Dire en quoi ce résultat est plus fort que la stabilité asymptotique de $(0, 0)^t$.

Exercice 8.3 On considère le système

$$(\Sigma) \quad \begin{cases} \frac{dx}{dt} = -y + xy, \\ \frac{dy}{dt} = x + \frac{1}{2}(x^2 - y^2). \end{cases}$$

- i). Déterminer les points fixes de (Σ) et leur nature.

ii). Montrer que les courbes stables et instables des points fixes hyperboliques sont des droites.

iii). Montrer que (Σ) admet une intégrale première H telle que

$$\frac{\partial H}{\partial y} = -y + xy.$$

iv). Montrer que H admet un maximum local en $(0, 0)$.

v). Tracer (qualitativement) le portrait de phase de (Σ) .

Exercice 8.4 Soient $\gamma \geq 0$ et $\alpha \geq 0$. On considère l'équation différentielle scalaire

$$(E_{\gamma, \alpha}) \quad \frac{d^2 x}{dt^2} + \gamma(x^2 - 1) \frac{dx}{dt} + x = \alpha.$$

i). Écrire $(E_{\gamma, \alpha})$ sous forme d'un système du premier ordre $(P_{\gamma, \alpha})$ dans le plan de phase.

ii). Montrer que l'application $\Psi : (x, y) \mapsto (x, y + \gamma(x - x^3/3))$ est un difféomorphisme de \mathbb{R}^2 .

iii). Soit $u \in \mathcal{C}^1(J; \mathbb{R}^2)$ une solution de $(P_{\gamma, \alpha})$. Montrer que la fonction $\Psi^{-1} \circ u$ est solution d'un système $(L_{\gamma, \alpha})$ que l'on explicitera.

iv). Démontrer que les points fixes de $(P_{\gamma, \alpha})$ et de $(L_{\gamma, \alpha})$ sont en bijection et sont de même nature.

v). Déterminer ces points fixes et leur nature selon les valeurs des paramètres γ et α . Donner notamment des valeurs de γ et α pour lesquelles les systèmes présentent une bifurcation de Hopf.

Exercice 8.5 On considère le système de *van der Pol*

$$(VdP) \quad \begin{cases} \frac{dx}{dt} = y - x + x^3, \\ \frac{dy}{dt} = -x, \end{cases}$$

modélisant un circuit RLC (voir §5.1.2, chapitre 5) dans lequel la loi d'Ohm généralisée est (en variables adimensionnées) $F(x) = x - x^3$.

i). Déterminer les points critiques du système (VdP) et leur nature.

ii). Représenter, dans quatre régions remarquables du plan $\{(x, y) \in \mathbb{R}^2\}$ que l'on précisera, l'orientation du champ de vecteurs correspondant.

- iii). Montrer que chaque courbe intégrale rencontre successivement les quatre zones en question.
- iv). Montrer que $(x, y) \mapsto x^2 + y^2$ est une fonction de Lyapunov en $(0, 0)$ pour le système (VdP), et que le disque ouvert $D = \{(x, y); x^2 + y^2 < 1\}$ est positivement invariant par le flot de ce système.
- v). Montrer que pour tout $(x_0, y_0) \in D$, la solution de (VdP) telle que $x(0) = x_0$ et $y(0) = y_0$ tend vers $(0, 0)$ en $+\infty$.
- vi). Montrer qu'il existe une application continue $\alpha : \mathbb{R}^{+*} \rightarrow \mathbb{R}^{-*}$ telle que pour tout $y_0 \in \mathbb{R}^{+*}$, l'orbite positive du point $(0, y_0)$, c'est-à-dire $\{(x(t), y(t); t \geq 0\}$ où (x, y) est la solution de (VdP) telle que $x(0) = 0$ et $y(0) = y_0$, recoupe pour la première fois l'axe des y au point $(0, \alpha(y_0))$.
- vii). Exprimer $\delta(p) := \alpha(p)^2 - p^2$ sous forme intégrale.
- viii). Grâce au théorème des valeurs intermédiaires, montrer que la fonction δ s'annule en un point $p_* \in \mathbb{R}^{+*}$.
- ix). Montrer que l'orbite de $(0, p_*)$ est un cycle.

Exercice 8.6 On considère l'EDP de *réaction-diffusion* appelée équation de Fisher

$$\partial_t u = \kappa \partial_{xx}^2 u + au(1 - u), \quad (8.11)$$

(modélisant par exemple l'évolution d'une population de concentration u , diffusant avec un coefficient de diffusion κ , réagissant selon un taux de croissance linéaire a et un terme de modération $-au^2$ analogue à ceux de l'exercice 7.6). Le but est de démontrer l'existence de solutions *ondes progressives* de (8.11), c'est-à-dire ne dépendant que de $x - \sigma t$ pour certaines valeurs de la vitesse $\sigma > 0$, ayant pour comportements asymptotiques :

$$\lim_{x \rightarrow -\infty} u(x, t) = 1, \quad \lim_{x \rightarrow +\infty} u(x, t) = 0$$

(ces solutions représentent l'« envahissement » de l'espace par la population).

- i). Montrer qu'une telle onde progressive existe si et seulement le système

$$v' = u, \quad u' = -cv + u(u - 1), \quad (8.12)$$

où l'on exprimera c en fonction de σ , κ et a , admet des orbites hétéroclines reliant $(1, 0)$ à $(0, 0)$.

- ii). Donner la nature des points fixes $(1, 0)$ et $(0, 0)$ selon les valeurs de c , et en déduire une condition nécessaire sur c pour qu'il existe une orbite hétérocline de (8.12) reliant $(1, 0)$ à $(0, 0)$ dans le demi-plan $\{(u, v); u \geq 0\}$.

- iii). On suppose désormais $c \geq 2$. Montrer que le triangle \mathcal{T} délimité par les droites $\{(u, 0)\}$, $\{(u, v); 2v = (-c + \sqrt{c^2 - 4})u\}$ et $\{(u, v); 2v = (-c + \sqrt{c^2 + 4})(u - 1)\}$ est positivement invariant par le flot de (8.12).
- iv). Montrer que si la courbe instable du point selle $(1, 0)$ intersecte l'intérieur de \mathcal{T} alors il existe une orbite hétérocline de $(1, 0)$ à $(0, 0)$.
- v). Donner un développement à l'ordre 2 de l'équation de cette courbe, et en déduire qu'elle intersecte effectivement \mathcal{T} .

SOLUTION DES EXERCICES

Exercice 8.1 Comme on l'a vu plus haut (remarque 8.6), la fonction $E : (x, v) \mapsto \frac{1}{2}v^2 - \cos x$ est une fonction de Lyapunov en $(0, 0)$ pour le système (PA). Donc d'après le théorème 8.3, $(0, 0)$ est un point d'équilibre stable. Pour démontrer qu'il est asymptotiquement stable, puisque E n'est pas une fonction de Lyapunov forte, il faut faire appel à d'autres arguments (le *principe d'invariance de LaSalle* en référence à [19]). On va obtenir un résultat plus global en faisant appel au théorème de Poincaré-Bendixson. Notons Φ_t le flot de (PA). Si (x_0, v_0) appartient à la composante connexe de $(0, 0)$ dans l'ouvert $\{(x, v); E(x, v) < 1\}$ (incluse dans $] - \pi, \pi[\times] - 2, 2[$ et en forme d'œil : voir la figure 7.3, où apparaissent les courbes de niveau remarquables de E), alors pour tout $t \geq 0$, $\Phi_t(x_0, v_0)$ appartient au compact $\mathcal{K} := \{(x, v) \in] - \pi, \pi[\times] - 2, 2[; E(x, v) \leq E(x_0, v_0)\}$. Donc l'ensemble $\{\Phi_t(x_0, v_0); t \geq 0\}$ est relativement compact, et par suite (d'après la proposition 7.17) l'ensemble ω -limite $L_\omega(x_0, v_0)$ est compact non vide. D'après le théorème 7.19, si $L_\omega(x_0, v_0)$ ne contenait pas de point fixe, ce serait un cycle. Or le système (PA) n'admet pas de cycle (pour $k > 0$) : si $t \mapsto (x(t), v(t))$ était une solution périodique de période T , on aurait $E(x(T), v(T)) = E(x(0), v(0))$ et la fonction monotone $t \mapsto E(x(t), v(t))$ serait donc constante ; on aurait donc

$$0 = \frac{d}{dt} E(x(t), v(t)) = -k v(t)^2$$

et par conséquent $v(t) = 0$ quel que soit t , et x serait constante. C'est donc que $L_\omega(x_0, v_0)$ contient au moins un point fixe. Comme $(0, 0)$ est le seul point fixe dans \mathcal{K} , $(0, 0) \in L_\omega(x_0, v_0)$. De plus, $L_\omega(x_0, v_0)$ doit être inclus dans \mathcal{K} et, d'après la proposition 7.16, dans un ensemble de niveau de E . Or

$$\{(0, 0)\} = \mathcal{K} \cap \{(x, v); E(x, v) = E(0, 0)\},$$

donc $L_\omega(x_0, v_0)$ est en fait réduit à $\{(0, 0)\}$. Ceci implique que $\Phi_t(x_0, v_0)$ converge vers $(0, 0)$ lorsque t tend vers $+\infty$.

Exercice 8.2

- i). Le système (S) coïncide avec celui de l'exercice 7.9 dans le cas particulier $\varepsilon = 1$. On a vu à cette occasion que le point $(0, 0)$ était un puits, c'est pourquoi il est asymptotiquement stable.
- ii). La fonction H a évidemment un minimum (global) strict en $(0, 0)$. De plus, le long d'une solution on a $H(x, y)' = y^2(x^2 - 1) \leq 0$ tant que $(x(t), y(t)) \in \mathcal{D}$.

Ceci montre que le disque \mathcal{D} est positivement invariant par le flot et que H est une fonction de Lyapunov.

- iii). D'après ce qui précède, si $(x_0, y_0) \in \mathcal{D}$ alors $L_\omega(x_0, y_0) \subset \overline{\mathcal{D}}$, et donc $L_\omega(x_0, y_0)$ est compact et non-vide.
- iv). Le système (S) n'admet pas de cycle dans \mathcal{D} car H décroît strictement en dehors de l'axe Oy le long des orbites incluses dans \mathcal{D} .
- v). On en déduit que $L_\omega(x_0, y_0) = \{(0, 0)^t\}$ comme dans le premier exercice. C'est un résultat est plus fort que la stabilité asymptotique de $(0, 0)^t$ car il montre que les orbites de tous les points de \mathcal{D} (et pas seulement ceux voisins de $(0, 0)^t$) convergent vers $(0, 0)^t$.

Exercice 8.3

- i). Les points fixes de (Σ) sont caractérisés par $y(x - 1) = 0$ et $x^2 - y^2 + 2x = 0$, ce qui donne quatre points : $O := (0, 0)$, $A := (-2, 0)$, $B := (1, -\sqrt{3})$ et $C := (1, \sqrt{3})$. Le système linéarisé autour du premier est $x' = -y$, $y' = x$, dont les valeurs propres sont $\pm i$: ceci correspond à un centre, Les trois autres sont des points selle, de valeurs propres $\pm\sqrt{3}$. (Le linéarisé en $(-2, 0)$ est $x' = -3y$, $y' = -x$, et en $(1, \pm\sqrt{3})$ c'est $x' = \pm x\sqrt{3}$, $y' = 2x \mp y\sqrt{3}$.)
- ii). La courbe stable en $(1, \sqrt{3})$ a une tangente verticale (direction du vecteur propre associé à la valeur propre négative $-\sqrt{3}$), de même que la courbe instable en $(1, -\sqrt{3})$. Or la droite d'équation $x = 1$ est invariante par le flot, puisque le champ de vecteurs est vertical sur cette droite. Donc la courbe stable de $(1, \sqrt{3})$ et la courbe instable de $(1, -\sqrt{3})$ coïncident avec cette droite. On remarque que les droites passant par $(-2, 0)$ et $(1, \pm\sqrt{3})$ sont aussi invariantes par le flot (si $y = \pm(x + 2)\sqrt{3}$ alors $x + (x^2 - y^2)/2 = \pm(-y + xy)\sqrt{3}$) : ce sont les courbes stable (signe +) et instable (signe -) de $(-2, 0)$, et aussi la courbe instable (signe +) de $(1, \sqrt{3})$ et la courbe stable (signe -) de $(-1, \sqrt{3})$. En fait, le système est invariant par la rotation d'angle $2\pi/3$: ceci se voit facilement en l'écrivant sous forme complexe, $z' = i(z + \bar{z}^2/2)$, car ladite rotation revient à une multiplication par $j := (-1 + i\sqrt{3})/2 = \bar{j}^2$.
- iii). On trouve par intégration en y puis en x que $H(x, y) := \frac{1}{2}(x - 1)y^2 - \frac{1}{2}x^2 - \frac{1}{6}x^3$ définit une intégrale première comme demandé. (Notons que H est bien invariante par la rotation mentionnée ci-dessus, car $H(x, y) = \frac{2}{3}(\operatorname{Re} z) \operatorname{Re}(jz) \operatorname{Re}(j^2z) - \frac{1}{2}|z|^2$.)
- iv). Comme $dH(0, 0) \equiv 0$ et $d^2H(0, 0) = -\mathbf{I}_2$, H a un maximum local strict en $(0, 0)$.
- v). D'après l'invariance par la rotation d'angle $2\pi/3$, les orbites à l'intérieur du triangle ABC sont des cycles. Les orbites à l'extérieur sont non bornées.

Exercice 8.4

i). Dans le plan de phase, $(E_{\gamma,\alpha})$ s'écrit

$$(P_{\gamma,\alpha}) \quad \begin{cases} x' = v, \\ v' = \gamma(1 - x^2)v - x + \alpha. \end{cases}$$

- ii). La jacobienne de Ψ est triangulaire inférieure de coefficients diagonaux égaux à 1, donc inversible en tout point. De plus, Ψ est bijective car $\Psi(x, y) = (\xi, v)$ équivaut à $x = \xi$ et $y = v - \gamma(\xi - \xi^3/3)$.
- iii). Si $u = (x, v)$ est solution de $(P_{\gamma,\alpha})$ alors $\tilde{u} := (x, y := v - \gamma(x - x^3/3))$ (coordonnées de Liénard) est solution de

$$(L_{\gamma,\alpha}) \quad \begin{cases} x' = y + \gamma(x - x^3/3), \\ y' = -x + \alpha, \end{cases}$$

et réciproquement.

- iv). C'est un résultat général : d'après la formule de dérivation des fonctions composées, si u est solution de $u' = f(u)$ et $u = \Psi \circ \tilde{u}$ alors \tilde{u} est solution de $\tilde{u}' = g(\tilde{u}) := (d\Psi(\tilde{u}))^{-1}f(\Psi(\tilde{u}))$. Ainsi Ψ est (naturellement) une bijection entre les points singuliers (c'est-à-dire les zéros) de f et de g . Quant à leur nature, elle est déterminée par les valeurs propres de $df(u)$ et de $dg(\tilde{u})$, qui se réduit à $(d\Psi(\tilde{u}))^{-1}df(\Psi(\tilde{u}))d\Psi(\tilde{u})$ si $f(u) = 0$, c'est-à-dire que $df(u)$ et $dg(\tilde{u})$ sont conjuguées : elles ont donc mêmes valeurs propres.
- v). Concentrons nous sur le système $(L_{\gamma,\alpha})$, d'une certaine façon plus simple que $(P_{\gamma,\alpha})$ (qui a été étudié à l'exercice 7.9 dans le cas $\gamma = \varepsilon > 0$ petit et $\alpha = 0$). Les changements de direction du champ de vecteur ont lieu sur l'axe Oy (au lieu de l'axe Ox dans le plan de phase), et surtout sur la courbe régulière d'équation $y = \gamma(x^3/3 - x)$ (au lieu de celle d'équation $\gamma(1 - x^2)v - x + \alpha$, qui a des asymptotes en $x = \pm 1$). Le seul point fixe est $A := (\alpha, \gamma(\alpha^3/3 - \alpha))$, le système linéarisé en ce point étant $x' = y + \gamma(1 - \alpha^2)x$, $y' = -x$. Si $\gamma^2(1 - \alpha^2)^2 > 4$, le point A est un nœud (attractif si $\gamma(1 - \alpha^2) < 0$ ou répulsif si $\gamma(1 - \alpha^2) > 0$). Si $\gamma^2(1 - \alpha^2)^2 < 4$, c'est un puits de plus $\gamma(1 - \alpha^2) < 0$, ou une source si $\gamma(1 - \alpha^2) > 0$. Le cas $\gamma(1 - \alpha^2) = 0$ correspond à une bifurcation de Hopf, où les valeurs propres traversent l'axe imaginaire.

Exercice 8.5

i). Les points critiques du système (VdP) sont caractérisés par $x = 0$ et $y = x - x^3$: il n'y a donc que le point $(0, 0)$!. La matrice du système linéarisé en ce point est

$$A = \begin{pmatrix} -1 & 1 \\ -1 & 0 \end{pmatrix},$$

dont les valeurs propres sont $(-1 \pm i\sqrt{3})/2$: ce point est donc hyperbolique, et c'est plus précisément un puits.

- ii). L'orientation du champ de vecteurs $(x, y) \mapsto (y - x + x^3, -x)$ dépend de la position de (x, y) par rapport à l'axe de y (lieu des points où le champ est horizontal) et par rapport à la courbe \mathcal{C} d'équation $y = x - x^3$ (lieu des points où le champ est vertical), voir la figure 8.5.

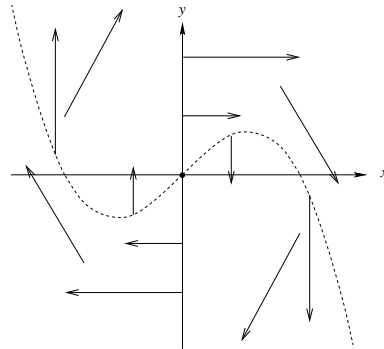


Figure 8.5 Orientation du champ de vecteurs $(x, y) \mapsto (y - x + x^3, -x)$.

- iii). Le fait que chaque courbe intégrale rencontre successivement les quatre zones délimitées par l'axe des y et la courbe \mathcal{C} se montre par un raisonnement analogue à celui effectué pour le système de Lotka-Volterra (voir l'exercice 7.5, solution p. 248).
- iv). La fonction $E : (x, y) \mapsto x^2 + y^2$ a un minimum global strict en $(0, 0)$. De plus, si $t \mapsto (x(t), y(t))$ est solution de (VdP) alors

$$\frac{d}{dt} (x(t)^2 + y(t)^2) = -2x^2(1 - x^2) \leq 0$$

dans la bande $B := \{(x, y) ; |x| \leq 1\}$, qui contient le disque $D = \{(x, y) ; x^2 + y^2 < 1\}$. Ceci montre à la fois que E est une fonction de Lyapunov en $(0, 0)$ pour le système (VdP), et que le D est positivement invariant par le flot (puisque E décroît le long des orbites des points de D).

- v). Pour $(x_0, y_0) \in D$, on montre comme dans l'exercice 8.1 (solution p. 293) que l'ensemble ω -limite $L_\omega(x_0, y_0)$ se réduit à $\{(0, 0)\}$.
- vi). Si l'on note Φ_t le flot de (VdP), d'après la question iii) pour tout $y_0 \in \mathbb{R}^{+*}$, il existe $t_c = t_c(y_0) > 0$ et $t_2 = t_2(y_0) > 0$ tels que pour $t \in]0, t_c[$, $\Phi_t(0, y_0)$ appartienne à la région du plan au dessus de \mathcal{C} et à droite de l'axe des y , pour $t \in]t_c, t_2[$ appartienne à la région du plan en dessous de \mathcal{C} et à droite de l'axe des y , et $\Phi_{t_2}(0, y_0)$ appartienne à l'axe des y . On définit alors $\alpha(y_0) := \Phi_{t_2}(0, y_0)$.

vii). On a par définition,

$$\delta(p) = \|\Phi_{t_2(p)}(0, p)\|^2 - \|\Phi_0(0, p)\|^2 = \int_0^{t_2(p)} \frac{d}{dt} \|\Phi_t(0, p)\|^2 dt.$$

c'est-à-dire encore, si l'on note ξ_t la première composante de Φ_t ,

$$\delta(p) = 2 \int_0^{t_2(p)} \xi_t(p)^2 (\xi_t(p)^2 - 1) dt.$$

Si $0 < p < 1$, on a (d'après la question iv)), $0 < \xi_t(p) < 1$ pour tout $t \in]0, t_2(p)[$, donc $\delta(p) < 0$. D'autre part, pour p assez grand, on peut découper $\{\Phi_t(p); t \in [0, t_2(p)]\}$ en trois morceaux : deux inclus dans la bande B et paramétrés par x ,

$$\{(x, y); y = Y_p^\pm(x), x \in [0, 1]\},$$

le troisième dans le demi-plan $\{(x, y); x \geq 1\}$ et paramétré par y ,

$$\{(x, y); x = X_p(y), y \in [Y_p^-(1), Y_p^+(1)]\},$$

avec $Y_p^-(x) < 0 < Y_p^+(x)$ pour $x \in [0, 1]$, de sorte que le point $\Phi_{t_1}(p)$ soit sur le morceau paramétré par y (son ordonnée étant un zéro de X'_p). En notant que $Y_p^-(x) < x - x^3 < Y_p^+(x)$ pour $x \in [0, 1]$, le long des morceaux paramétrés respectivement par x et par y on a

$$dt = \frac{dx}{dY_p^\pm(x) - x + x^3} \quad \text{et} \quad dt = -\frac{dy}{X_p(y)},$$

d'où l'expression

$$\begin{aligned} \int_0^{t_2(p)} \xi_t(p)^2 (\xi_t(p)^2 - 1) dt &= \int_0^1 \frac{x^2(x^2 - 1)}{Y_p^+(x) - x + x^3} dx \\ &- \int_0^1 \frac{x^2(x^2 - 1)}{Y_p^-(x) - x + x^3} dx + \int_{Y_p^-(1)}^{Y_p^+(1)} X_p(y) (X_p(y)^2 - 1) dy. \end{aligned}$$

Le dernier morceau est minoré par 0. Les deux autres sont des fonctions croissantes de p . En effet, les orbites ne s'intersectant pas, $p \mapsto Y_p^+(x)$ est croissante et $p \mapsto Y_p^-(x)$ est décroissante.

viii). D'après ce qui précède, δ prend des valeurs négatives dans $]0, 1[$ et positives pour p assez grand. Puisqu'elle est continue, le théorème des valeurs intermédiaires implique qu'elle s'annule en un point $p_* \in \mathbb{R}^{+*}$.

- ix). Par définition $\alpha(p_*) = -p_*$. De plus, le système est invariant par la symétrie centrale $(x, y) \mapsto (-x, -y)$. Donc l'orbite de $(0, -p_*)$ est symétrique de celle de $(0, p_*)$: puisque le premier appartient à l'orbite du second, leurs deux orbites sont par conséquent confondues et forment un cycle.

Exercice 8.6

- i). Le problème revient à chercher une solution de (8.11) ne dépendant que de $\xi := (x - \sigma t)\sqrt{a/\kappa}$, c'est-à-dire une solution de l'EDO du second ordre $u'' + cu' + u(1 - u) = 0$ (ce qui donne le système voulu dans le plan de phase) avec $c := \sigma/\sqrt{a\kappa}$, tendant vers 1 en $-\infty$ et vers 0 en $+\infty$.

- ii). Le système linéarisé autour du point fixe $(1, 0)$ est

$$u' = v, \quad v' = -cv + u,$$

dont les valeurs propres sont $\lambda_1^\pm := (-c \pm \sqrt{c^2 + 4})/2$, de signes opposés (et les vecteurs propres associés sont $(1, \lambda_1^\pm)^t$). Le point $(1, 0)$ est donc un point selle. Pour qu'une orbite relie $A := (1, 0)$ à $O := (0, 0)$ en restant dans le demi-plan $u \geq 0$, il ne faut pas que $(0, 0)$ soit un foyer. Or le système linéarisé autour du point fixe $(0, 0)$ est

$$u' = v, \quad v' = -cv - u,$$

dont les valeurs propres sont réelles si et seulement si $c^2 \geq 4$, auquel cas elles valent $\lambda_0^\pm := (-c \pm \sqrt{c^2 - 4})/2$. Une condition nécessaire est donc $c^2 \geq 4$, c'est-à-dire $c \geq 2$ puisqu'on a supposé $c > 0$ au départ.

- iii). Le point B d'intersection des droites d'équation $v = \lambda_1^+(u - 1)$ (tangente à la courbe instable en A) et $v = \lambda_0^+u$ est en dessous de l'axe Ou puisque $\lambda_0^+ < 0 < \lambda_1^+$, et l'on a

$$\mathcal{T} = OBA = \{(u, v); u \in [0, 1], v \leq 0, v \geq \lambda_0^+u, v \geq \lambda_1^+(u - 1)\}.$$

Le long du segment $[OA]$ ($u \in [0, 1], v = 0$), le champ est vertical dirigé vers le bas. Le long du segment $[OB]$ ($u \in [0, 1], v = \lambda_0^+u$),

$$v' - \lambda_0^+u' = -c\lambda_0^+u + u(u - 1) - (\lambda_0^+)^2u = u^2 \geq 0,$$

et le long du segment $[BA]$ ($u \in [0, 1], v = \lambda_1^+(u - 1)$),

$$v' - \lambda_1^+u' = -c\lambda_1^+(u - 1) + u(u - 1) - (\lambda_1^+)^2(u - 1) = (u - 1)^2 \geq 0.$$

- iv). Supposons que (u_0, v_0) soit un point de la courbe instable de A à l'intérieur de \mathcal{T} . Alors, puisque \mathcal{T} est positivement invariant, la solution (u, v) de (8.12)

valant (u_0, v_0) en $t = 0$ est à valeurs dans \mathcal{T} pour tout $t \geq 0$, ce qui implique en particulier que $u' = v \leq 0$. Donc u est décroissante et a une limite $u_\infty \in [0, 1]$ en $+\infty$. Ainsi l'ensemble ω -limite de (u_0, v_0) est inclus dans $\mathcal{T} \cap \{(u_\infty, v)\}$, et ne peut donc par contenir de cycle. D'après le théorème de Poincaré-Bendixson, il doit donc contenir un point fixe. Ceci implique nécessairement $u_\infty = 0$ et $L_\omega(u_0, v_0) = \mathcal{T} \cap \{(0, v)\} = \mathcal{O}$.

- v). Faisons un changement de variables affine $(u, v) \mapsto (q, p)$ tel que l'équation de la tangente à la courbe instable en A soit $p = 0$:

$$q := u - 1, \quad p := v - \lambda_1^+(u - 1).$$

Après calcul (en utilisant que $(\lambda_1^+)^2 + c\lambda_1^+ - 1 = 0$), le système (8.12) équivaut à

$$q' = p + \lambda_1^+ q, \quad p' = -(c + \lambda_1^+)p + q^2.$$

D'autre part, l'équation de la courbe instable en A est de la forme $p = h(q)$ avec $h(0) = 0$ et $\frac{dh}{dq}(0) = 0$. Et le long de toute orbite sur cette courbe (qui est invariante par le flot) on a $p' = \frac{dh}{dq}(q)q'$. Ceci fournit l'équation implicite pour h :

$$-(c + \lambda_1^+)h(q) + q^2 = \frac{dh}{dq}(q)(h(q) + \lambda_1^+ q).$$

On déduit (soit en identifiant le coefficient de q^2 dans le développement limité, soit en évaluant en $q = 0$ la dérivée seconde de chacun des deux membres) que $h(q) = \frac{q^2}{c+3\lambda_1^+} + \mathcal{O}(q^3)$. Comme $c + 3\lambda_1^+ > 0$, ceci montre que, localement, la courbe instable est dans le demi-plan défini par $p \geq 0$, donc dans le triangle \mathcal{T} pour la partie en dessous de l'axe Ou .

Appendice

► Formule des accroissements finis pour les fonctions à valeurs réelles

Théorème 8.23 (Rolle) Soit une fonction $f : [a, b] \rightarrow \mathbb{R}$, avec $a < b$. On suppose que f est continue sur $[a, b]$, dérivable sur $]a, b[$ et que $f(a) = f(b)$. Alors il existe $c \in]a, b[$ tel que $f'(c) = 0$.

Démonstration. Si f est constante, on a $f'(c) = 0$ pour tout c et il n'y a donc rien à démontrer. Supposons maintenant f non constante. La fonction f atteint son minimum et son maximum sur le compact $[a, b]$. Puisqu'elle n'est pas constante, l'un des deux au moins est différent de la valeur $y := f(a) = f(b)$. Supposons que ce soit le maximum (si ce n'était pas le cas, on changerait f en $-f$). Cela veut dire qu'il existe $c \in]a, b[$ tel que $f(c) > y$ et pour tout $x \in [a, b]$, $f(x) \leq f(c)$. Voyons maintenant pourquoi cela implique $f'(c) = 0$. Soit $\eta > 0$ tel que $[c - \eta, c + \eta] \subset [a, b]$. On a, pour $c - \eta \leq x < c$,

$$\frac{f(x) - f(c)}{x - c} \geq 0,$$

alors que pour $c < x \leq c + \eta$,

$$\frac{f(x) - f(c)}{x - c} \leq 0.$$

Par suite, la limite à gauche en c du taux d'accroissement de f est positive ou nulle et la limite à droite est négative ou nulle. Comme ces limites à gauche et à droite sont toutes deux égales à $f'(c)$, on en déduit $f'(c) = 0$.

Théorème 8.24 (Formule des accroissements finis) Soit une fonction $f : [a, b] \rightarrow \mathbb{R}$, avec $a < b$. On suppose que f est continue sur $[a, b]$, dérivable sur $]a, b[$. Alors il existe $c \in]a, b[$ tel que

$$f'(c) = \frac{f(b) - f(a)}{b - a}.$$

Démonstration. Si l'on note $\gamma := \frac{f(b)-f(a)}{b-a}$, on peut considérer la fonction

$$g : x \mapsto f(x) - \gamma(x - a).$$

Elle est, comme f , continue sur $[a, b]$, dérivable sur $]a, b[$. Et par construction elle vérifie $g(b) = g(a) = f(a)$. Donc sa dérivée $g' : x \mapsto f'(x) - \gamma$ s'annule en un point c de $]a, b[$.

► **Bootstrap** (ou « induction continue »)

Proposition 8.25 Soit J un intervalle non vide de \mathbb{R} . On considère deux familles de propositions paramétrées par $t \in J$: une famille d'« hypothèses » $H(t)$ et une famille de « conclusions » $C(t)$, et l'on suppose que

- i). il existe au moins une proposition vraie $H(t_0)$,
- ii). l'ensemble des $t \in J$ tels que $C(t)$ est vraie est fermé,
- iii). pour tout $t \in J$, si $C(t)$ est vraie alors il existe un voisinage \mathcal{V} de t dans J tel que pour tout $s \in \mathcal{V}$, $H(s)$ est vraie.
- iv). pour tout $t \in J$, si $H(t)$ est vraie alors $C(t)$ est vraie.

Alors $C(t)$ est vraie pour tout $t \in J$.

Démonstration. La démonstration repose sur la connexité de J . Soit en effet

$$A := \{t \in J ; C(t) \text{ est vraie} \}.$$

D'après i) et iv), A contient t_0 . D'après ii), A est fermé. D'après iii) et iv), A est ouvert. Donc $A = J$.

► **Transformation de Laplace**

Proposition 8.26 Soit $f : \mathbb{R}^+ \rightarrow \mathbb{C}$ une fonction localement intégrable et de type exponentiel $a \in \mathbb{R}$, c'est-à-dire qu'il existe $C > 0$ tel que $|f(t)| \leq Ce^{at}$ pour tout $t \in \mathbb{R}^+$. Alors la fonction $t \in \mathbb{R}^+ \mapsto f(t)e^{-\gamma t}$ est intégrable pour tout $\gamma > a$, et la fonction

$$\mathcal{L}[f] : s \mapsto \int_0^{+\infty} f(t)e^{-st} dt$$

est holomorphe dans le demi-plan complexe $\{s \in \mathbb{C} ; \operatorname{Re} s > a\}$. Si $F := \mathcal{L}[f]$ est intégrable sur la droite verticale $\{z ; \operatorname{Re} z = \gamma\}$ avec $\gamma > a$, alors

$$f(t) = \frac{1}{2i\pi} \int_{-\infty}^{+\infty} F(\gamma + i\xi) e^{(\gamma+i\xi)t} d\xi.$$

C'est la formule d'inversion de Laplace (qui se déduit de la formule d'inversion de Fourier).

Bibliographie

- [1] ARNOLD V., *Équations différentielles ordinaires*, Éditions Mir, Moscow, 1974, Champs de vecteurs, groupes à un paramètre, difféomorphismes, flots, systèmes linéaires, stabilités des positions d'équilibre, théorie des oscillations, équations différentielles sur les variétés, Traduit du russe par Djilali Embarek, 267 pages.
- [2] BREZIS H., *Analyse fonctionnelle. théorie et applications*, Collection Mathématiques Appliquées pour la Maîtrise., Masson, Paris, 1983, xiv+234 pages.
- [3] CARTAN H., *Formes différentielles. Applications élémentaires au calcul des variations et à la théorie des courbes et des surfaces*, Hermann, Paris, 1967, 186 pages.
- [4] CHICONE C., *Ordinary differential equations with applications*, Texts in Applied Mathematics, vol. 34, Springer-Verlag, New York, 1999, xvi+561 pages.
- [5] CODDINGTON E. A. & LEVINSON N., *Theory of ordinary differential equations*, McGraw-Hill Book Company, Inc., New York-Toronto-London, 1955, xii+429 pages.
- [6] CONTE R. & MUsETTE M., *The Painlevé handbook*, Springer, Dordrecht, 2008, xxiv+256 pages.
- [7] COPPEL W. A., *Dichotomies in stability theory*, Lecture Notes in Mathematics, Vol. 629, Springer-Verlag, Berlin, 1978, ii+98 pages.
- [8] CUNNINGHAM W. J., *Analyse non linéaire. Résolution des équations différentielles*, Traduit par P. de Miribel, Dunod, Paris, 1963, ix+358 pages.
- [9] DARLING R. W. R., *Differential forms and connections*, Cambridge University Press, Cambridge, 1994, x+256 pages.
- [10] DIESTEL J. & UHL J. J., JR., *Vector measures*, Mathematical Surveys, No. 15, American Mathematical Society, Providence, R.I., 1977, xiii+322 pages.

- [11] DUGUNDJI J., *Topology*, Allyn and Bacon Inc., Boston, Mass., 1966, xvi+447 pages.
- [12] FILIPPOV A. F., *Differential equations with discontinuous righthand sides*, Mathematics and its Applications (Soviet Series), vol. 18, Kluwer Academic Publishers Group, Dordrecht, 1988, Translated from the Russian, x+304 pages.
- [13] FILIPPOV V. V., *Basic topological structures of ordinary differential equations*, Mathematics and its Applications, vol. 432, Kluwer Academic Publishers, Dordrecht, 1998, Translated from the Russian, xiv+516 pages.
- [14] GANTMACHER F. R., *The theory of matrices. Vol. 1*, AMS Chelsea Publishing, Providence, RI, 1998, Translated from the Russian by K. A. Hirsch, Reprint of the 1959 translation, x+374 pages.
- [15] GODBILLON C., *Géométrie différentielle et mécanique analytique*, Hermann, Paris, 1969, 183 pages.
- [16] HARTMAN P., *Ordinary differential equations*, Classics in Applied Mathematics, vol. 38, Society for Industrial and Applied Mathematics (SIAM), Philadelphia, PA, 2002, xx+612 pages.
- [17] JONES C. K. R. T., « Whither applied nonlinear dynamics ? », in *Mathematics unlimited—2001 and beyond*, Springer, Berlin, 2001, p. 631-645.
- [18] KATO T., *Perturbation theory for linear operators*, Classics in Mathematics, Springer-Verlag, Berlin, 1995, Reprint of the 1980 edition, xxii+619 pages.
- [19] LASALLE J. P., « Some extensions of Liapunov's second method », *IRE Trans. CT-7* (1960), p. 520-527.
- [20] LOGAN J. D., *Applied mathematics*, third ed., Wiley-Interscience [John Wiley & Sons], Hoboken, NJ, 2006, xiv+529 pages.
- [21] MNEIMNÉ R. & TESTARD F., *Introduction à la théorie des groupes de Lie classiques*, Collection Méthodes., Hermann, Paris, 1986, vi+346 pages.
- [22] MURRAY J. D., *Mathematical biology. I an introduction*, third ed., Interdisciplinary Applied Mathematics, vol. 17, Springer-Verlag, New York, 2002, xxiv+551 pages.
- [23] OLVER P. J., *Applications of Lie groups to differential equations*, second ed., Graduate Texts in Mathematics, vol. 107, Springer-Verlag, New York, 1993, xxviii+513 pages.

- [24] PROTTER M. H. & WEINBERGER H. F., *Maximum principles in differential equations*, Springer-Verlag, New York, 1984, Corrected reprint of the 1967 original, x+261 pages.
- [25] RUDIN W., *Analyse réelle et complexe*, Masson, Paris, 1980, Traduit de l'anglais, x+397 pages.
- [26] SERRE D., *Systèmes de lois de conservation. I. hyperbolicité, entropies, ondes de choc*, Fondations., Diderot Editeur, Paris, 1996, xii+300 pages.
- [27] SERRE D., *Les matrices. théorie et pratique.*, Dunod, Paris, 2001, vii+168 pages.
- [28] VANDERBAUWHEDE A., « Center manifolds and their basic properties. An introduction », *Delft Progr. Rep.* **12** (1988), no. 1, p. 57-78.
- [29] VANDERBAUWHEDE A. & IOOSS G., « Center manifold theory in infinite dimensions », in *Dynamics reported : expositions in dynamical systems*, Dynam. Report. Expositions Dynam. Systems (N.S.), vol. 1, Springer, Berlin, 1992, p. 125-163.
- [30] WHITHAM G. B., *Linear and nonlinear waves*, Pure and Applied Mathematics, John Wiley & Sons Inc., New York, 1999, Reprint of the 1974 original, A Wiley-Interscience Publication, xviii+636 pages.

Index

Symboles

1-connexe 108

A

accroissement
 taux d' 13
action
 fonctionne d' 84
adimensionnement 130
alternée
 forme q -linéaire 101, 175
analytique
 fonction 188
angles d'Euler 129
antisymétrique
 forme q -linéaire 101
augmentée
 équation 143, 153, 223, 284

B

Banach
 algèbre de 44, 188
 espace de 3
 théorème de 3
Banach–Picard
 théorème du point fixe de 27
base canonique 17
Belousov–Zhabotinskii
 réaction de 131
Bendixson–Dulac
 critère de 239

bootstrap 225, 266, 268, 302
Buckingham
 théorème π de 134

C

capillarité 282
caractéristique
 courbe 97
 multiplicateur 208
 polynôme 181
 sous-espace 181
Carathéodory
 solutions de 142
Cauchy
 problème de 141, 142
 suite de 3
 théorème de 188
Cauchy–Lipschitz
 théorème de 142
Cauchy–Schwarz
 inégalité de 6
Cayley–Hamilton
 théorème de 181
central
 champ de forces 127
centre 178
chain rule 15
chaleur
 équation de la 132
champ de forces 127
 central 127
champ de vecteurs 99, 221

Chasles
 relation de 59
 classe C^1
 fonction de 11
 classe C^n
 fonction de 54
 coefficients variables
 équation à 143
 comatrice 176
 compact 3
 complet
 espace vectoriel normé 3
 connexe 23
 simplement 108
 convexe
 fonction 80
 fonction strictement 81
 partie 80
 convexe conjuguée
 fonction 83
 Coppel
 théorème de 197, 204
 courant
 fonction de 113
 courbe intégrale 222
 critère
 de Bendixson–Dulac 239
 crochet
 de Lie 65, 243
 de Poisson 244
 curviligne
 intégrale 118
 cylindre de sécurité 143

D

dérivée
 dans une direction 13
 discrète 64
 partielle 17
 dérivation des fonctions composées 15
 déterminant
 définition intrinsèque 175
 différentielle du 175
 développement limité 63
 degré
 d'une forme différentielle 102

difféomorphisme 26
 différences finies 133
 différentiabilité 10
 en un point 9
 Gâteaux 13
 différentiable
 continûment 11
 deux fois 49
 différentiel
 opérateur 19, 100
 différentielle
 d'une fonction 10
 d'une fonction en un point 10
 de l'exponentielle 137
 du déterminant 175
 extérieure 107
 seconde 50
 divergence 19, 113
 Duhamel
 formule de 138, 176

E

ensemble
 α -limite 234
 ω -limite 234
 de niveau 38, 228
 entropie 116
 équation
 aux différentielles totales 153
 aux variations 149
 de Fisher 291
 de Hamilton–Jacobi 90
 de la chaleur 132
 de réaction-diffusion 291
 de Riccati 146
 de van der Pol 290
 des ondes 133
 équation différentielle
 ordinaire 125
 résolue 125
 espace
 de Banach 3
 de Hilbert 6
 de Lebesgue 5
 vectoriel normé 2
 estimation a priori 224

Euler
 angles d' 129
 Euler–Lagrange
 équation d' 84
 exacte
 1-forme différentielle 101
 forme différentielle 107
 explosion
 en temps fini 146
 exponentielle 137
 extérieur
 produit 102
 extérieure
 différentielle 107

F

facteur intégrant 114
 Fenchel–Moreau
 transformée de 83
 fermé 3
 fermée
 forme différentielle 107
 Fermi–Pasta–Ulam
 modèle de 132
 Fields–Noyes
 modèle de 131
 Filippov 142
 Fisher
 équation de 291
 Floquet
 exposant de 208
 Floquet–Lyapunov
 théorème de 205, 206
 flot 148
 fonction quadratique 83
 forme q -linéaire
 alternée 101, 175
 antisymétrique 101
 forme de Pfaff 99
 forme différentielle
 q -forme 102
 1-forme 99
 exacte 107
 fermée 107
 forme réduite de Poincaré–Andronov 287

formule
 d'inversion de Laplace 193, 302
 de Duhamel 138, 176
 de Green 120
 de Green–Ostrogradsky 119
 de Green–Riemann 118
 de la résolvante 186
 de Lax 90
 de Liouville 174
 de Stokes 117
 de Stokes–Ampère 119
 de Taylor avec reste de Lagrange 61
 de Taylor avec reste intégral 60
 des accroissements finis 301
 des trapèzes 64
 du rayon spectral 185
 Fourier
 transformation de 133
 foyer 178

G

générateur infinitésimal 243
 Gâteaux
 différentiabilité 13
 gradient 19, 113
 surfacique 122
 variationnel 84
 Green
 formule de 120
 Green–Ostrogradsky
 formule de 119
 Green–Riemann
 formule de 118
 Gronwall
 lemme de 140
 groupe de transformations à un paramètre 243

H

Hamilton–Jacobi
 équation de 90
 hamiltonien 89
 champ de vecteurs 244
 système 90, 243
 Hartman–Grobman
 théorème de 270

hessienne
 d'une fonctionnelle 85
 matrice 53
 Hilbert
 espace de 6
 holomorphe 186
 Hopf
 théorème de bifurcation de 287
 hyperbolique
 EDP 226
 matrice 183
 point fixe 270
 hypersurface 38

I

idempotent
 opérateur 183
 identité
 de Jacobi 65
 inégalité
 de Cauchy–Schwarz 6
 triangulaire 3
 index 190
 indice 236
 instable
 sous-espace 183
 intégrale
 curviligne 118
 de Riemann 59
 intégrale première 226, 231
 invariant de Riemann 227
 isomorphisme 3

J

Jacobi
 identité de Jacobi 65
 jacobien 30
 jacobienne
 matrice 18
 Jordan
 base de 177
 matrice de 215
 réduction de 207
 théorème de 236

L

lacet 108
 Lagrange
 multiplicateur de 78
 lagrangien 84
 Landau
 notation de 62
 Laplace
 formule d'inversion de 193, 302
 transformation de 213, 302
 laplacien 113
 LaSalle
 principe d'invariance de 293
 Lax
 formule de 90
 Lebesgue
 espace de 5
 Legendre
 transformée de 89
 lemme
 de Gronwall 140
 fondamental du calcul intégral 84
 Liénard
 coordonnées de 295
 Lie
 crochet de 65, 243
 linéarisé
 système 263
 Liouville
 formule de 174
 théorème de 187
 Lotka–Volterra
 équations de 132
 Lyapunov
 théorème de 260, 261, 263
 Lyapunov–Schmidt
 méthode de 271

M

méthode
 de Lyapunov–Schmidt 271
 de Melnikov 279
 de Picard 27, 143

matrice
 fondamentale 174
 hessienne 53
 jacobienne 18
 Maxwell
 points de 282
 Melnikov
 fonction de 280
 méthode de 279
 minimal
 polynôme 181
 modèle
 de Taylor–Sedov 135
 monodromie
 opérateur de 204
 multi-linéaire
 application 3
 multiplicateur de Lagrange 78
 multiplicité
 algébrique 181
 géométrique 181

N

nœud 178
 nabla 19
 Nagumo
 condition de 142
 Newton
 loi de 126
 nilpotent
 opérateur 206
 niveau
 ensemble de 38, 228
 Noethe
 théorème de 239, 243
 norme 2
 d'une application linéaire continue 3
 de matrice 4

O

onde progressive 283, 291
 opérateur
 de monodromie 204
 de Sturm–Liouville 86
 différentiel 19

divergence 19
 gradient 19
 idempotent 183
 laplacien 113
 nabla 19
 nilpotent 206
 rotationnel 19
 orbite 228
 hétérocline 229
 homocline 229
 oscillateur harmonique 128
 Osgood
 condition de 142
 ouvert 3
 ouverte
 application 30

P

partielle
 application 3, 14, 17, 23
 dérivée 17
 différentielle 23
 Peano
 théorème de 142
 pendule simple 128
 Pfaff
 forme de 99
 phase
 portrait de 177, 232
 phases
 espace des 127
 Picard
 méthode de 27, 143
 Poincaré
 théorème de 108
 Poincaré–Andronov
 forme réduite de 287
 Poincaré–Bendixson
 théorème de 236
 point
 d'équilibre 229
 fixe 229
 selle 178
 singulier 229
 stationnaire 229

Poisson
 crochet de 244
 polynôme
 caractéristique 181
 minimal 181
 portrait de phase 177, 232
 potentiel 113, 127
 prédateurs-proies 132
 produit
 extérieur 102
 hermitien 6
 scalaire 6
 projecteur 183
 propre
 sous-espace 180
 valeur 180
 puits 178
 pullback 104

Q

quadrature 138
 qualitative
 analyse 125, 221

R

résolvant
 ensemble 185
 résolvante 171, 182
 rayon spectral 4
 réaction-diffusion 291
 redressement du flot
 théorème de 230
 resolvent 182
 Riccati
 équation de 146
 Riemann
 intégrale de 59
 invariant de 227
 Rolle
 théorème de 301
 rotationnel 19, 113
 Routh–Hurwitz
 théorème de 265

S

séparatrice 232
 schéma
 aux différences finies 133
 schéma aux différences finies 67
 Schwarz
 théorème de 51
 section locale 280
 semi-simple
 valeur propre 181
 simple
 valeur propre 181
 simplement
 connexe 108
 solution
 globale 145
 locale 145
 maximale 145
 solution operator 171
 source 178
 sous-espace
 caractéristique 181
 instable 183
 propre 180
 stable 183
 sous-suite 3
 spectral mapping theorem 208
 spectre 184
 stabilité 259
 asymptotique 260
 non-linéaire 263
 spectrale 263
 stable
 sous-espace 183
 Stokes
 formule de 117
 Stokes–Ampère
 formule de 119
 Sturm–Liouville
 opérateur de 86
 théorie de 86
 superposition
 principe de 138
 surfacique
 forme 104

- symétrique
 application n -linéaire 56
- système
 gradient 263
- T**
- taux d'accroissement 13
- Taylor
 formule avec reste de Lagrange 61
 formule avec reste intégral 60
 série de 63
- Taylor–Sedov
 modèle de 135
- Taylor–Young
 formule de 62
- température 116
- théorème
 π de Buckingham 134
 d'inversion locale 26
 de Banach 3
 de bifurcation de Hopf 287
 de Cauchy 188
 de Cauchy–Lipschitz 142
 de Cayley–Hamilton 181
 de Coppel 197, 204
 de dérivation des fonctions composées 15
 de Floquet–Lyapunov 205, 206
 de Frobenius 114
 de Hartman–Grobman 270
 de Jordan 236
 de l'application ouverte 272
 de la variété centrale 278
 de la variété stable 271
 de Lyapunov 260, 261, 263
 de Noether 239, 243
 de Poincaré 108
 de Poincaré–Bendixson 236
 de redressement du flot 230
 de Rolle 301
 de Schwarz 51
 de Stokes 117
 des accroissements finis 20, 22
 des accroissements finis généralisé 21
 des bouts 145
 des fonctions implicites 31
 des multiplicateurs de Lagrange 78
 du flot 148
 du point fixe de Banach–Picard 27
- thermodynamique 116
- tiré en arrière 104
- tirette 104
- trace
 définition intrinsèque 175
- trajectoire 222
- transformée
 de Fenchel–Moreau 83
 de Legendre 89
- transformation
 de Fourier 133
 de Laplace 302
- transposition 56
- V**
- valeur propre 180
 semi-simple 181
 simple 181
- van der Pol
 système de 290
- variété
 centrale 278
 centrale locale 278
 centrale-instable 277
 centrale-stable 278
 instable locale 271
 stable locale 271
- viscosité 282
- volume
 forme 104
- W**
- Wronskien 174